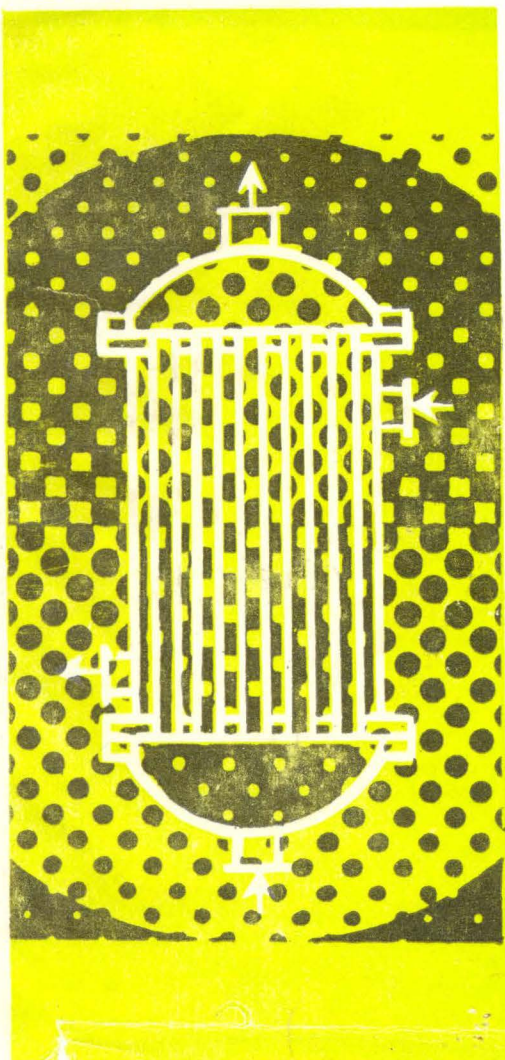


**SERIA
INGINERIA
CHIMICĂ**

**K.F. PAVLOV
P.G. ROMANKOV
A.A. NOSKOV**



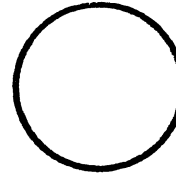
PROCESE ȘI APARATE ÎN INGINERIA CHIMICĂ

EXERCII ȘI PROBLEME



EDITURA TEHNICĂ

CONSTANTIN FEOFANOVICI PAVLOV
PETR GRIGOREVICI ROMANKOV
ANATOLI ALECSEEVICI NOSKOV



PROCESE ȘI APARATE IN INGINERIA CHIMICĂ

EXERCII ȘI PROBLEME

TRADUCERERE DIN LIMBA RUSĂ DUPĂ EDIȚIA A 8-a



**EDITURA TEHNICĂ
BUCUREȘTI - 1981**

P R E F A Ț A

la ediția în limba română

Un rol important în pregătirea inginerilor și proiectanților din industria chimică precum și din alte industrii similare, cum ar fi de exemplu industria alimentară, în special în domeniul operațiilor și utilajelor, îl are rezolvarea exercițiilor și problemelor legate de dimensionarea utilajelor și de verificarea performanțelor lor. Lucrarea „Procese și aparate în ingineria chimică. Exerciții și probleme” de K. F. Pavlov, P. G. Romankov și A. A. Noskov este consacrată acestui domeniu. Ea conține aplicații numerice din capitolele : hidraulică aplicată, pompe, ventilatoare, compresoare, metode hidrodinamice de separare, hidrodinamica stratului fluidizat, amestecarea în mediu lichid, transmiterea căldurii în aparatura chimică, evaporarea, cristalizarea, bazele transferului de masă, absorbția, distilarea, rectificarea, extracția, uscarea, răcirea moderată și înaintată.

La începutul fiecărui capitol sînt date relațiile principale de calcul, necesare rezolvării exercițiilor și problemelor, iar la sfîrșitul unor capitole sînt date exemple de calcul complet al unor aparate caracteristice.

În anexă sînt date cele mai importante tabele, diagrame, nomograme, folosite pentru calculul aparaturii chimice. Pentru unele mărimi folosite mai rar se fac trîmîteri la literatura tehnică de specialitate.

În carte se folosește sistemul internațional de unități de măsură (SI).

Cartea a fost adaptată în mare măsură la necesitățile învățămîntului de inginerie chimică din R. S. România. S-a folosit notația și nomenclatura utilizată în limba română. Tabelele cu date după GOST au fost înlocuite cu tabele cu date după STAS. Trîmîterile din text la manuale tehnice sovietice s-au înlocuit, atît cît a fost posibil, cu trîmîteri la manuale tehnice românești.

Traducerea și adaptarea în limba română au fost efectuate de un colectiv format din cadre de la disciplinele de fenomene de transfer și de operații și aparate din industria chimică și industria alimentară din cadrul Institutului Politehnic „Traian Vuia” din Timișoara, Institutul Politehnic „Gh. Asachi” din Iași și Universității din Galați, sub conducerea prof. dr. ing. Z. Gropșianu și a prof. ing. I. Rășănescu. Din colectivul de traducere și adaptare au făcut parte : Minodora Medeleanu, D. Kohn, M. Moraru, Romulus Minea, Ludmila Iovi, Mariana Șora, I. Ibănescu, V. Jășcanu, Rodica Alexandru, Șt. Răcoreanu, Viorica Borha.

Lucrarea se adresează inginerilor proiectanți și tehnologi din industria chimică și din industriile care se bazează pe procesele de transfer de impuls, de căldură sau (și) de masă, precum și studenților de la facultățile de tehnologie chimică și similare.

Prof. dr. ing. Z. Gropșianu
Prof. ing. I. Rășănescu

К. Ф. Павлов, П. Г. Романков, А. А. Носков

ПРИМЕРЫ И ЗАДАЧИ ПО КУРСУ ПРОЦЕССОВ И АППАРАТОВ
ХИМИЧЕСКОЙ ТЕХНОЛОГИИ

Издание восьмое, переработанное и дополненное
Под редакцией чл. — корр. АН СССР

П. Г. Романкова
Издательство „ХИМИЯ”, 1976, Ленинградское отделение

În ultimii ani cursul pentru ingineri „Procese și aparate în tehnologia chimică” a căpătat o dezvoltare mare, ceea ce se oglindește și prin a noua ediție (1973) a manualului lui Kasatkin, realizat la catedra de procese și aparate MHTI-Mendeleev.

La însușirea noțiunilor de la curs, fundamentale pentru instituțiile de învățământ chimico-tehnologic, un rol practic îl joacă părțile aplicative, de calcul, ale cursului. Cu acest scop, la catedra de procese și aparate de la Institutul tehnologic din Leningrad s-a scris și editat o culegere de exerciții și probleme de un real ajutor învățământului, care de la ediție la ediție s-a perfecționat. În ea sînt sistematizate exemple, probleme, metode de calcul, formule de calcul, material informațional.

Ediția a opta cu probleme se deosebește de toate cele precedente, pentru că în ea sînt incluse, pentru prima dată, exemple de calcul (pentru aparatele cu transfer de căldură, coloane de absorbție, coloane de rectificare) cu calculatorul, în limbaj FORTRAN.

Pe capitole s-au făcut următoarele modificări. La capitolul „Bazele hidraulice aplicate” se adaugă un exemplu de determinare a curbelor de transport și a coeficientului în schimbul continuu. O schimbare importantă s-a efectuat la capitolul „Transferul de căldură în aparatura chimică”. În el sînt incluse date noi pentru calculul termic, adăugîndu-se și exemplul pentru schimbul de căldură în regim staționar. S-a elaborat un capitol nou „Bazele transferului de masă”, în care sînt date exemple și probleme pe baza proceselor noi de transfer de masă, incluzînd și un exemplu în legătură cu deplasarea longitudinală în coloane fixe.

Autorii își exprimă mulțumirea tuturor tovarășilor de catedră care au citit capitolele componente ale lucrării, și scot în evidență ajutorul deosebit dat de M. I. Kurocikinoi la pregătirea manuscrisului pentru tipar.

P. G. Romankov

A. A. Noskov

Prefață la ediția în limba română	5
Prefață la ediția a opta	6
Indicații de bază și unități de măsură	9
Indicații generale pentru rezolvarea problemelor	17
1. Bazele hidraulicii aplicate	15
1.1. Formule de calcul	15
1.2. Exemple	34
1.3. Probleme	65
2. Pompe, ventilatoare, compresoare	71
2.1. Formule de calcul	71
2.2. Exemple	77
2.3. Probleme	92
3. Metode hidrodinamice de separare. Hidrodinamica stratului fluidizat. Amestecarea în mediu lichid	95
3.1. Formule de calcul	95
3.1.1. Sedimentarea	95
3.1.2. Filtrarea	100
3.1.3. Centrifugarea	103
3.1.4. Hidrodinamica stratului fluidizat	107
3.1.5. Amestecarea în mediu lichid	112
3.2. Exemple	113
3.2.1. Sedimentarea	113
3.2.2. Filtrarea	119
3.2.3. Centrifugarea	125
3.2.4. Fluidizarea	131
3.2.5. Amestecarea în mediu lichid	136
3.3. Probleme	142
3.4. Exemplu de calcul al unei baterii de cicloane	145
3.5. Exemplu de calcul al unui spălător de gaze cu spumă pentru purificarea gazelor de praf	146
3.6. Exemplu de calcul al unui filtru de vid cu tambur	152
4. Transmiterea căldurii în aparatura chimică	155
4.1. Bazele teoretice și formule de calcul	155
4.1.1. Transmiterea căldurii prin conducție	155
4.1.2. Transmiterea căldurii prin convecție	157
4.1.3. Transmiterea căldurii în schimbătoare de căldură de suprafață	173
4.1.4. Transmiterea căldurii la contactul direct între fluide	176
4.1.5. Valori orientative ale coeficienților parțiali de transfer a căldurii prin convecție și ale coeficienților totali de transmitere a căldurii	177
4.2. Exemple	178
4.3. Probleme	206
4.4. Exemple de calcul a schimbătoarelor de căldură	211
5. Evaporarea. Cristalizarea	231
5.1. Variabilele de bază și relații de calcul	231
5.2. Exemple	240
5.3. Probleme	254
5.4. Exemplu de calcul al unei instalații de evaporare cu trei trepte	258

6. Bazele transferului de masă. Absorbția	265
6.1. Variabilele de bază și relații de calcul	265
6.2. Exemple	280
6.3. Probleme	303
7. Distilarea și rectificarea	307
7.1. Variabile fundamentale și relații de calcul	307
7.2. Exemple	314
7.3. Probleme	337
7.4. Exemplu de calcul al unei coloane de rectificare cu talere	340
8. Extracția	351
8.1. Variabile de bază și formule de calcul	351
8.2. Exemple	364
8.3. Probleme	387
9. Adsorbția	390
9.1. Bazele teoretice și formule de calcul	390
9.2. Exemple	399
9.3. Probleme	409
10. Uscarea	411
10.1. Bazele teoretice și formule de calcul	411
10.2. Exemple	420
10.3. Probleme	442
10.4. Exemplu de calcul al unui uscător în strat fluidizat pentru uscarea clorurii de potasiu	445
10.5. Exemplu de calcul al unui uscător cu valțuri	450
11. Răcire moderată și înaintată	453
11.1. Legile de bază și formule de calcul	453
11.2. Exemple	459
11.3. Probleme	481
11.4. Răspunsuri la probleme	483
Bibliografie	489
Anexe	495
Diagrame și nomograme	532
Indicatorul tabelor și diagramelor prezentate în anexa	552

INDICAȚII DE BAZĂ ȘI UNITĂȚI DE MĂSURĂ

Mărimea	Simbolul	Unitatea de măsură în sistemul SI
1	2	3
Cifra de reflux	R	—
Conductivitate termică	λ	$W/(m \cdot K)$
Coefficientul de debit	α	—
Coefficientul de difuziune	D	m^2/s
Difuzivitate termică	a	m^2/s
Coefficientul de dilatare volumică	β	K^{-1}
Coefficientul de frecare	λ	—
Coefficientul de rezistență locală	ζ	—
Coefficientul frigorific	ε	—
Coefficientul parțial de transfer de căldură	α	$W/(m^2 \cdot K)$
Coefficientul total (global) de transfer de căldură	K	$W/(m^2 \cdot K)$
Coefficientul parțial de transfer de masă	k_x, k_y	$kmol/(m^2 \cdot s)$ (sau kg)
Coefficientul total (global) de transfer de masă	K_x, K_y	$m^2 \cdot s$ (unit. forță, mot.) (sau kg)
Concentrația masică	\bar{x}, \bar{y}	$kgA/kg (A + B)$
Concentrația masică relativă	\bar{X}, \bar{Y}	$kgA/kg B$
Concentrația masică raportată la volum	\bar{C}_x, \bar{C}_y	$kgA/m^3 (A + B)$
Concentrația molară	x, y	$kmol A/kmol (A + B)$
Concentrația molară relativă	X, Y	$kmol A/kmol B$
Concentrația molară raportată la volum	C_x, C_y	$kmol A/m^3 (A + B)$
Căldura consumată (debit caloric)	Q	W
Căldura latentă de vaporizare	r	J/kg
Căldură specifică (masică)	c	$J/(kg \cdot K)$
Debitul masic	G, L, M, W	kg/s
Debitul volumic	Q	m^3/s
Densitatea	ρ	kg/m^3
Diametrul	D, d	m
Entalpia (masică, specifică)	$H, I, (i)$	$J/(kg)$
Greutatea	G	N
Înălțimea	H, h	m
Încărcarea termică	q	W/m^2
Lățimea	B, b	m
Lungimea	L, l	m
Masa molară	M	$kg/kmol$
Perimetrul	P	m
Porozitatea	ε	—
Presiunea	P, p	Pa
Presiunea dinamică	h_d	m
Presiunea statică	h_{st}	m
Puterea	N, P	W
Randamentul	η	—
Raza	R, r	m
Suprafața secțiunii transversale	S	m^2

(continuare)

1	2	3
Suprafața (aria suprafeței)	A	m ²
Temperatura	T, t, θ	K, °C
Timpul	τ	s
Turația	n	rot/s
Conținutul de umezeală a aerului	x	kg/kg
Umiditatea materialului	u, u'	kg/kg
Umezeala relativă a aerului	φ	—
Viteza	w	m/s
Viteza unghiulară	ω	rad/s
Viscozitatea cinematică	ν	m ² /s
Viscozitatea dinamică	η	Pa·s
Volumul	V	m ³
Volumul specific	v	m ³ /kg

INDICAȚII GENERALE PENTRU REZOLVAREA PROBLEMELOR

Scopul practic al orelor de la cursul de procese și aparate este învățarea studenților cu metodele de calcul și proiectare a aparaturii chimice, putând astfel examina problemele și exemplele concrete.

La calculul aparatelor se întâlnesc diferite mărimi fizice, exprimate prin proprietățile fizice ale substanțelor (densitate, viscozitate, conductivitate termică și altele). Toate aceste mărimi au putut fi măsurate și exprimate într-o unitate sau alta.

În U.R.S.S. se preferă în toate domeniile științei și tehnicii, a economiei naționale, Sistemul Internațional de unități de măsură (SI), cu unitățile sale fundamentale care sînt: pentru lungime — metrul (m), pentru masă — kilogramul (kg), pentru timp — secunda (s), pentru intensitatea curentului electric — amperul (A), pentru temperatură — Kelvin (K), intensitatea luminoasă — candela (cd), pentru cantitatea de substanță — molul (mol). În afară de acestea, sînt legiferate două unități suplimentare: unitatea pentru unghiul plan — radian (rad) și unitatea pentru unghiul solid — steradian (sr).

Unitățile derivate se constituie pe baza acestor unități fundamentale. Mărimea unităților derivate se determină cu ajutorul formulelor fizice, care exprimă legătura între mărimi. Corespondența principalelor unități ale sistemului SI cu unitățile altor sisteme sau cu unități în afara sistemelor, este dată în anexă — tabelul LVIII.

La problemele rezolvate, s-a prezentat schema instalației cu toate dimensiunile și mărimile, s-au precizat direcțiile de curgere și s-au efectuat calculele cerute în condițiile de lucru ale instalației.

Apoi s-a urmărit să se extragă toate datele problemei, să se scrie noile formule de calcul găsind metoda de rezolvare, împărțind problema în primul rînd în probleme particulare, scriind constantele necesare.

După ce s-a procedat la calculele aritmetice, punind în formulele de calcul valorile problemei, se verifică justetea substituției.

Rezultatul găsit se supune discuțiilor din toate punctele de vedere, dacă corespunde rezultatelor urmărite în condițiile practice de lucru ale instalației calculate sau ale aparatului.

Este util de a rezolva problema din punct de vedere general și a cerceta rezultatele, clarificînd influența unor sau a altor factori, care se introduc în condițiile problemei.

În timpul seminariilor, studenții pot studia noțiunile din nolle îndrumare apărute, care unesc experiența multor date de cercetare și proiectare (îndreptar de chimie, îndreptar fizico-chimic și tehnologic, îndreptarul atelierelor mecanice și chimice), de asemenea a standardelor în vigoare precum și a diferitelor cataloage.

Prelucrarea din punct de vedere al tehnicii de calcul este o problemă dificilă după formulele de calcul ale cursului. Eroarea uzuală pentru calculele ingineresti este de ~5%.

Aplicarea scării logaritmice este obligatorie. Cîteva probleme pot fi rezolvate cu calculatorul, cum sînt exemplele: 4-20, 4-V, 6-8, 7-15.

Pentru aprofundarea noțiunilor de la curs există două caiete: unul cu probleme grupate, altul cu teme de casă independente — în care se cere rezolvarea problemelor și descrierea schițelor aparatelor mari și a detaliilor acestora.

Expunerea de față sistematizează noțiunile ce se predau la curs, făcîndu-le apte pentru a fi folosite la rezolvarea problemelor.

În încheiere se examinează cîteva exemple de introducere a unităților măsurate și de determinare a unităților mărimilor derivate pe baza relațiilor existente între e.e.

1. Să se găsească unitatea de măsură a coeficientului de viscozitate dinamică, în SI

$$F = \eta \cdot A \cdot \frac{dw}{dy}$$

În care: η este coeficientul de viscozitate dinamică;

F — forța de frecare între două straturi la curgerea lor paralelă;

A — aria suprafețelor în contact a celor două straturi;

dw/dy — gradientul de viteză.

Rezolvând această expresie se determină η , obținând următoarea unitate de măsură:

$$[\eta] = \left[\frac{F \cdot dy}{A \cdot dw} \right] = \frac{N \cdot m \cdot s}{m^2 \cdot m} = \frac{N \cdot s}{m^2} = \frac{kg}{m \cdot s} = Pa \cdot s.$$

2. Să se găsească unitatea de măsură a conductivității termice, în SI.

În cazul pereților plani omogeni, cantitatea de căldură transmisă prin conducție este:

$$Q = \frac{\lambda}{\delta} \cdot A \cdot \Delta t$$

În care: λ este conductivitatea termică;

δ — grosimea pereților;

A — aria suprafeței prin care se transmite căldura;

Δt — diferența de temperatură între cele două fețe ale pereților.

Se explicită λ și se rezolvă ecuația dimensională obținută. Se găsește:

$$[\lambda] = \left[\frac{Q \cdot \delta}{A \cdot \Delta t} \right] = \frac{J \cdot m}{m^2 \cdot s \cdot K} = \frac{W}{m \cdot K}$$

3. Să se găsească relația între unitățile de măsură ale viscozității dinamice în sistemul SI și sistemul CGS.

$$1 Pa \cdot s = 1 \frac{kg}{m \cdot s} = \frac{1000 g}{100 cm \cdot s} = 10 \frac{g}{cm \cdot s} = 10 P = 1000 cP.$$

4. Să se deducă relația existentă între unitățile de măsură ale conductivității termice

$$\frac{kcal}{m \cdot h \cdot ^\circ C} \text{ și } \frac{W}{m \cdot K}.$$

$$1 \frac{kcal}{m \cdot h \cdot ^\circ C} = \frac{4190 J}{m \cdot 3600 s \cdot K} = 1,163 \frac{W}{m \cdot K}.$$

5. Cunoscându-se că 1 fund englez = 0,454 kg și $1^\circ C = 1,8^\circ F$, să se deducă relația existentă între BTU (unitatea engleză de cantitatea de căldură), kcal și J; 1 BTU este cantitatea de căldură necesară unui fund apă pentru a-și ridica temperatura cu $1^\circ F$. Căldura specifică a apei în sistemul englez are unitatea de măsură $c = 1 \frac{BTU}{lb \cdot ^\circ F}$.

Relația ce definește cantitatea de căldură este:

$$Q = c \cdot M \cdot (t_2 - t_1)$$

unde: Q este cantitatea de căldură utilizată la încălzirea celor M unități de masă de apă;

c — căldura specifică a apei;

t_1 și t_2 sunt temperaturile inițiale și finale ale apei.

$$Q = 1 \frac{BTU}{lb \cdot ^\circ F} \cdot 1 lb \cdot 1^\circ F = 1 BTU$$

și

$$Q = 1 \frac{kcal}{kg \cdot ^\circ C} \cdot 0,454 kg \cdot \frac{1}{1,8} ^\circ C = 0,252 kcal$$

deci:

$$1 BTU = 0,252 kcal$$

Deoarece 1 kcal = 4190 J, rezultă,

$$1 BTU = 0,252 \cdot 4190 J = 1055 J$$

6. Să se determine valoarea lui $K = 50 \frac{BTU}{ft^2 \cdot h \cdot ^\circ C}$ dacă se exprimă în $W/(m^2 \cdot K)$.

Știind că 1 BTU = 1055 J; 1 ft = 0,305 m; $1^\circ F = 0,56 K$, atunci:

$$K = 50 \cdot \frac{1055 J}{(0,305 m)^2 \cdot 3600 s \cdot 0,56 K} = 50 \cdot 5,6 \frac{J}{m^2 \cdot s \cdot K} = 280 \frac{W}{m^2 \cdot K}.$$

1. BAZELE HIDRAULICII APLICATE

1.1. FORMULE DE CALCUL

1. *Greutatea specifică* (greutatea unității de volum) γ și *densitatea* (masa unității de volum) ρ sînt legate între ele prin relația :

$$\gamma = \rho g \quad (1-1)$$

în care $g = 9,81 \text{ m/s}^2$ este accelerația căderii libere.

Deoarece în sistemul SI s-a admis ca unitate de masă (kg), masa unui etalon oarecare, iar în sistemul tehnic MKfS s-a luat greutatea aceluiași etalon (kgf), atunci densitatea în unități SI (kg/m^3) este egală numeric cu greutatea specifică în unități MKfS (kgf/m^3).

Densitatea relativă (sau greutatea specifică relativă) d este raportul dintre densitatea (sau greutatea specifică) pentru o substanță și densitatea (sau greutatea specifică) a apei :

$$d = \frac{\rho}{\rho_a} = \frac{\gamma}{\gamma_a} \quad (1-2)$$

În intervalul de temperatură de la 0 la 100°C densitatea apei ρ_a se poate considera, cu suficientă precizie pentru calculele tehnice, egală cu 1000 kg/m^3 .

Densitatea unui amestec de lichide, la amestecarea cărora nu se produc variații importante fizico-chimice, se poate calcula, cu aproximație, cu luarea în considerație că volumul amestecului este egal cu suma volumelor componentilor, cu formula :

$$\frac{1}{\rho_{am}} = \frac{x_1}{\rho_1} + \frac{x_2}{\rho_2} + \dots \quad (1-3)$$

în care : x_1, x_2, \dots sînt fracții masice ale componentilor amestecului ;

$\rho_{am}, \rho_1, \rho_2, \dots$ — densitățile amestecului și ale componentilor.

Cu formula analogă :

$$\frac{1}{\rho_{am}} = \frac{x}{\rho_s} + \frac{1-x}{\rho_l} \quad (1-4)$$

se calculează densitatea unei suspensii.

Aici : x este fracția masică a fazei solide ;

ρ_s și ρ_l — densitatea fazei solide și respectiv lichide.

2. Pe baza ecuației Clapeyron*, densitatea unui gaz poate fi calculată cu formula :

$$\rho = \rho_0 \frac{T_0 p}{T p_0} = \frac{M}{22,4} \frac{273}{T p_0} p \quad (1-5)$$

în care : $\rho_0 = \frac{M}{22,4}$ kg/m³ este densitatea gazului în condiții normale ;

M — masa molară a gazului, în kg/kmol ;
 T — temperatura, în K.

Presiunea p și p_0 trebuie să fie exprimată în aceleași unități de măsură.
 Densitatea unui amestec de gaze este dată de :

$$\rho_{am} = y_1 \rho_1 + y_2 \rho_2 + \dots$$

în care : y_1, y_2, \dots sînt fracții volumice ale componentilor amestecului gazos ;

ρ_1, ρ_2, \dots — densitățile corespunzătoare ale componentilor, în kg/m³.

3. Presiunea p a unei coloane de lichid de înălțime h și densitate ρ este egală cu :

$$p = \rho gh \quad (1-6)$$

în care : p este presiunea exprimată, în Pa ;

ρ — densitatea lichidului, în kg/m³ ;
 h — înălțimea coloanei de lichid, în m ;
 $g = 9,81$ m/s² — accelerația căderii libere.

Plecînd de la această relație, se obțin următoarele relații între unitățile de presiune :

$$1 \text{ atm} = 760 \text{ mm Hg} = \rho gh = 13\,600 \cdot 9,81 \cdot 0,76 = 1,013 \cdot 10^5 \text{ Pa} =$$

$$= 1,033 \cdot 10^4 \text{ mm H}_2\text{O} = 1,033 \cdot 10^4 \text{ kgf/m}^2 = 1,033 \text{ kgf/cm}^2 ;$$

$$1 \text{ at} = 1 \text{ kgf/cm}^2 = 10^4 \text{ kgf/m}^2 = 9,81 \cdot 10^4 \text{ Pa} = 735 \text{ mm Hg} =$$

$$= 10^4 \text{ mm H}_2\text{O}$$

4. Ecuația fundamentală a hidrostaticii este :

$$p = p_0 + \rho gh \quad (1-7)$$

în care : p este presiunea hidrostatică la adîncimea h (în m) de la suprafața lichidului, în Pa ;

p_0 — presiunea la suprafața lichidului, în Pa.

Forța presiunii exercitată de un lichid pe un perete plan P (în Pa) este :

$$P = (p_0 + \rho gh)A \quad (1-8)$$

* Ecuația Clapeyron pentru un kmol de gaz : $p v_m = RT$, în care p este presiunea absolută a gazului, în Pa ; v_m — volumul unui kmol, în m³/kmol ; $R = p_0 v_{m0} / T_0 = 8\,310 \text{ J/kmol} \cdot \text{K}$; $T_0 = 0^\circ\text{C} = 273,15 \text{ K}$ și $p_0 = 760 \text{ mm Hg} = 1,013 \cdot 10^5 \text{ Pa}$

în care : p_0 este presiunea la suprafața lichidului, în Pa ;

ρ — densitatea lichidului, în kg/m³ ;
 h — adîncimea la care se află centrul de greutate al peretelui sub nivelul lichidului, în m ;
 A — suprafața peretelui, în m² ;
 $g = 9,81$ — accelerația căderii libere, în m/s².

5. Unitatea de măsură a coeficientului viscozității dinamice (numit obișnuit viscozitate) η este :

$$[\eta]_{SI} = \text{N} \cdot \text{s} / \text{m}^2 = \text{Pa} \cdot \text{s} = \text{kg} / \text{m} \cdot \text{s}$$

$$[\eta]_{MKIS} = \text{kgf} \cdot \text{s} / \text{m}^2$$

$$[\eta]_{CGS} = \text{dyn} \cdot \text{s} / \text{cm}^2 = \text{g} / \text{cm} \cdot \text{s} = \text{P (poise)}$$

Relațiile între unitățile de măsurarea viscozității η folosite obișnuit sînt :

$$1 \text{ cP} = 10^{-3} \text{ Pa} \cdot \text{s} = \frac{1}{9\,810} \text{ kgf} \cdot \text{s} / \text{m}^2.$$

Coeficientul viscozității cinemactice (numit de asemenea obișnuit viscozitate cinematică) ν (în m²/s) este legat de coeficientul viscozității dinamice η prin relația :

$$\nu = \frac{\eta}{\rho} \quad (1-9)$$

6. Valoarea viscozității lichidelor la diverse temperaturi se poate determina după nomograma din figura V (v. anexa).

În lipsa datelor experimentale, viscozitatea multor lichide organice, se poate calcula aproximativ, la 20°C, cu ajutorul următoarei formule empirice* :

$$\lg(\lg \eta) = (\Sigma A_n + \Sigma p) \frac{\rho}{10^3 M} - 2,9 \quad (1-10)$$

în care : η este viscozitatea lichidului la presiunea atmosferică și 20°C, în milipoise ;

ρ — densitatea lichidului, în kg/m³ ;
 M — masa molară, în kg/kmol ;
 A — numărul de atomi de același fel din molecula compusului organic ;
 n — valoarea numerică a constantei atomice ;
 p — corecția pentru gruparea atomilor și caracterul legăturii între ei.

Constantele atomice n sînt date în tabelul IX (v. anexa), iar valorile numerice ale corecțiilor p în tabelul X.

Calculul viscozității se face mai ușor cu ajutorul nomogramei din figura I, în care mărimea $\lg(\lg \eta)$ este reprezentată prin y . Dacă y are o

* Sounders, M., J. Am. Chem. Soc., 60, 1938, p. 154 ; Planovschi, A. N., Kafarov, V. V., Hlm. prom., nr. 8, 1944, p. 19.

valoare pozitivă, se folosește scara din dreapta; când y este negativ se folosește scara din stînga. Fiecărei valori y îi corespunde o valoare η , care este viscozitatea lichidului la 20°C, în cP.

7. Pentru determinarea viscozității gazelor la diferite temperaturi se poate folosi nomograma din fig. VI.

Viscozitatea unui amestec de gaze se poate calcula cu formula aproximativă:

$$\frac{M_{am}}{\eta_{am}} = \frac{y_1 M_1}{\eta_1} + \frac{y_2 M_2}{\eta_2} + \dots \quad (1-11)$$

în care: M_{am} , M_1 , M_2 , ... sînt masele molare ale amestecului gazos și ale diferiților componenți;
 η_{am} , η_1 , η_2 , ... — viscozitatea amestecului, respectiv a componenților;

y_1 , y_2 , ... — fracțiile volumice ale componenților.

Pentru calculul viscozității unui amestec de gaze se folosește, de asemenea, următoarea formulă empirică, verificată pentru o serie de amestecuri de gaze (gaz de cocserie, gaz de generator și altele), la presiunea atmosferică:

$$\eta_{am} = \frac{y_1 \eta_1 \sqrt{M_1 T_{cr,1}} + y_2 \eta_2 \sqrt{M_2 T_{cr,2}} + \dots}{y_1 \sqrt{M_1 T_{cr,1}} + y_2 \sqrt{M_2 T_{cr,2}} + \dots} \quad (1-12)$$

în care: η_{am} este viscozitatea amestecului la temperatura t ;
 η_1 , η_2 , ... — viscozitatea componenților la temperatura t ;
 y_1 , y_2 , ... — fracțiile volumice ale componenților;
 M_1 , M_2 , ... — masele molare;
 $T_{cr,1}$, $T_{cr,2}$, ... — temperaturile critice ale componenților, în K.
 În tabelul XI sînt date valorile expresiei $\sqrt{MT_{cr}}$ pentru diverse gaze.
 Variația viscozității gazelor cu temperatura se exprimă prin formula:

$$\eta_t = \eta_0 \frac{273 + C}{T + C} \left(\frac{T}{273} \right)^{3/2} \quad (1-13)$$

în care: η_0 este viscozitatea la 0°C;

T — temperatura, în K;

C — constanta lui Sutherland [0—24, t.I], (v. tabelul V).

8. Viscozitatea unui amestec de lichide perfecte (neasociate) se poate calcula cu formula:

$$\lg \eta_{am} = x_1 \lg \eta_1 + x_2 \lg \eta_2 + \dots \quad (1-14)$$

în care: η_1 , η_2 , ... sînt viscozitățile diferiților componenți;

x_1 , x_2 , ... — fracțiile molare ale componenților amestecului.

În concordanță cu aditivitatea fluidității componenților*, viscozitatea dinamică a unui amestec de lichide perfecte se determină din relația:

$$\frac{1}{\eta_{am}} = \frac{x_{v1}}{\eta_1} + \frac{x_{v2}}{\eta_2} + \dots \quad (1-14, a)$$

în care: x_{v1} , x_{v2} , ... sînt concentrații volumice ale componenților în amestec.

* Fiziceskii entīclopēdiceskii slovar. Izd. „Sovetcaia Entīclopēdia”, t.I, 1960, p. 357

Viscozitatea suspensiilor diluate, a căror concentrație în fază solidă este sub 10% volumice, se poate calcula cu formula:

$$\eta_s = \eta_l (1 + 2,5\varphi) \quad (1-15)$$

iar la concentrațiile fazei solide pînă la 30% volumice cu formula*:

$$\eta_s = \eta_l \frac{0,59}{(0,77 - \varphi)^2} \quad (1-15, a)$$

în care: η_s este viscozitatea suspensiei;

η_l — viscozitatea lichidului pur;

φ — concentrația volumică a fazei solide în suspensie.

9. Pentru determinarea viscozității unui lichid, raportată la viscozitatea unui lichid standard, se poate folosi legea liniarității funcțiilor univoce fizico-tehnice, lege stabilită de K. F. Pavlov**. Pe baza acestei legi se obține:

$$\frac{t_{\eta_1} - t_{\eta_2}}{\theta_{\eta_1} - \theta_{\eta_2}} = k = \text{const.}^{***} \quad (1-16)$$

în care: t_{η_1} și t_{η_2} sînt temperaturile lichidului;

θ_{η_1} și θ_{η_2} — temperaturile lichidului standard, la care viscozitățile sînt egale cu viscozitățile corespunzătoare ale lichidului de cercetat.

Pentru multe lichide relația între $\ln \eta$ și $\frac{1}{T}$ este practic o dreaptă:

$$\lg \eta = a + \frac{b}{T} \quad (1-16, a)$$

în care: a și b sînt constante caracteristice lichidului;
 T — temperatura, în K.

Din ultima ecuație rezultă că va fi o dreaptă și raportul între logaritmi viscozității a două lichide A și B , la aceleași temperaturi:

$$\frac{\lg \eta_{A,T_1} - \lg \eta_{A,T_2}}{\lg \eta_{B,T_1} - \lg \eta_{B,T_2}} = \text{const.} \quad (1-16, b)$$

La calculul aproximativ al viscozității unui lichid după regula liniarității rezultatele sînt cu atît mai sigure, cu cît cele două lichide sînt mai apropiate fizico-chimic (soluții apoase a unei sări-apă, hidrocarburi-heptan și altele).

10. Ecuațiile debitului

Debitul volumic al unui lichid sau gaz V , în m³/s;

$$V = S \cdot w \quad (1-17)$$

* Weinspach P. M. Chem. Ing. Techn., 1969, Bd. 41, nr. 5—6, p. 260—265.

** Pavlov K. F. Him. prom., 1936, nr. 6, p. 327. Vezi și Pilař A. Lineární závislost chemicko-inženýrských výpočtech, Praga, 1937.

*** Această relație a fost găsită experimental de A. Porter.

Debitul masic al unui lichid sau gaz M , în kg/s :

$$M = V \cdot \rho = S \cdot w \cdot \rho \quad (1-18)$$

în care : S este suprafața secțiunii transversale de trecere a curentului, în m²;

w — viteza medie în secțiune a curentului, în m/s ;

ρ — densitatea lichidului sau gazului, în kg/m³.

În cazul unei conducte cu secțiune circulară, ecuația (1-17) capătă forma :

$$V = 0,785 d^2 \cdot w,$$

în care d este diametrul interior al conductei, în m.

La un debit cunoscut V și o viteză admisă w , diametrul d al conductei se exprimă prin ecuația :

$$d = \sqrt{\frac{V}{0,785 w}} \quad (1-19)$$

Această ecuație a servit la construirea nomogramei din figura IV, cu ajutorul căreia se determină diametrul conductei care să asigure un anumit debit la o viteză dată.

Valorile orientative ale vitezelor, admise pentru calculul conductelor scurte (din interiorul fabricilor) sînt date în tabelul 1-1.

Tabelul 1-1

Denumirea curentului	w , m/s
Gaze în convecție liberă	2—4
Gaze la presiunea atmosferică sau apropiată în conducte de ventilație și conducte	5—20
Lichide în curgere liberă	0,1—0,5
Lichide în conducte de presiune	0,5—2,5
Vapori de apă saturați la presiunea absolută :	
$\geq 4,9 \cdot 10^4$ Pa (0,5 at)	15—40
$(1,96 \dots 4,9) \cdot 10^4$ Pa (0,2 — 0,5 at)	40—60

Ecuația continuității pentru un fluid, în regim staționar, care curge printr-o conductă de secțiune variabilă este :

$$M = S_1 w_1 \rho_1 = S_2 w_2 \rho_2 = \dots \quad (1-20)$$

La un fluid necompresibil, la care $\rho = \text{const.}$, ecuația (1-20) ia forma :

$$V = S_1 w_1 = S_2 w_2 = \dots \quad (1-20, a)$$

11. Criteriile de bază ale similitudinii hidrodinamice

Criteriul lui Reynolds caracterizează regimul hidrodinamic și este o măsură a raportului forțelor de inerție și de frecare internă :

$$Re = \frac{w d \rho}{\eta} = \frac{w d}{\nu} \quad (1-21)$$

în care : w este viteza medie a curentului, în m/s ;

d — diametrul conductei, în m ;

ρ — densitatea fluidului, în kg/m³ ;

η — viscozitatea fluidului, în Pa·s ;

ν — viscozitatea cinematică, în m²/s.

Pentru fluide care curg prin conducte drepte sînt caracteristice următoarele regimuri de curgere :

Regim laminar	$Re < 2\,300$
Regim intermediar	$Re = 2\,300 \dots 10\,000$
Regim turbulent	$Re > 10\,000$

Pentru fluide care curg prin țevi curbate (serpentine) valoarea critică a criteriului Reynolds (Re_{cr}) este mai mare decît pentru țevi drepte și depinde de raportul $\frac{d}{D}$, în care d este diametrul interior al țevii iar D este diametrul spirelor serpentinei. Această relație este reprezentată în figura 1-1.

Pentru conducte, a căror secțiune transversală nu este circulară, în expresia pentru Reynolds se introduce diametrul echivalent (d_{ech}), egal cu de patru ori raza hidraulică (r_h).

Raza hidraulică r_h este raportul dintre secțiunea transversală a conductei S și perimetrul udat de fluid P :

$$r_h = \frac{S}{P} \quad (1-22)$$

Pentru țevi cu secțiunea circulară, complet umplute de curentul de fluid, raza hidraulică are expresia :

$$r_h = \frac{\pi d^2}{4\pi d} = \frac{d}{4} \quad (1-23)$$

Prin urmare, pentru cazul cînd secțiunea curentului nu este circulară, în locul diametrului se folosește diametrul echivalent :

$$d_{ech} = 4r_h = \frac{4S}{P} \quad (1-24)$$

Criteriul Froude este raportul dintre forța de inerție și forța de gravitație :

$$Fr = \frac{w^2}{gd} \quad (1-25)$$

în care g este accelerația căderii libere, în m/s².

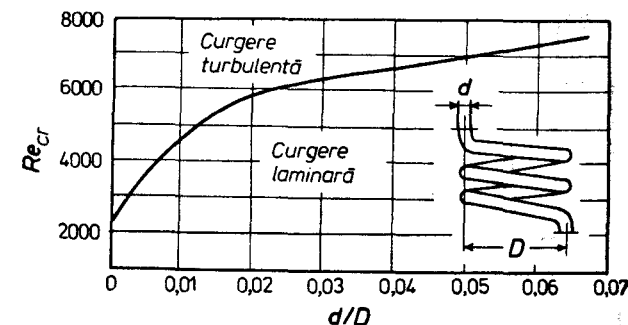


Fig. 1-1. Variația criteriului Re la serpentine, în funcție de raportul d/D .

Criteriul Euler, care reprezintă o măsură a raportului dintre forțele presiunii și ale inerției, are expresia :

$$Eu = \frac{\Delta p}{\rho w^2} \quad (1-26)$$

în care Δp este diferența de presiune (presiunea consumată pentru învingerea rezistenței hidraulice), în Pa.

12. **Ecuția lui Bernoulli** pentru fluide necompresibile cu vîscozitate foarte mică (ideale) are expresia :

$$h_1 + \frac{p_1}{\rho g} + \frac{w_1^2}{2g} = h_2 + \frac{p_2}{\rho g} + \frac{w_2^2}{2g} \quad (1-27)$$

Pentru fluide viscoase (reale), necompresibile, ecuația are forma :

$$h_1 + \frac{p_1}{\rho g} + \frac{w_1^2}{2g} - h_p = h_2 + \frac{p_2}{\rho g} + \frac{w_2^2}{2g} \quad (1-27, a)$$

în care : h este presiunea (înălțimea) geometrică, în m ;

$\frac{p}{\rho g}$ — presiunea piezometrică sau statică, în m ;

$\frac{w^2}{2g}$ — presiunea dinamică, în m ;

h_p — pierderea de presiune pentru învingerea rezistențelor, în m.

13. **Relația între viteza medie w și viteza maximă (axială) w_{max}** într-o conductă este :

a) în regim laminar $w = 0,5w_{max}$;

b) în regim turbulent raportul $\frac{w}{w_{max}}$ depinde de valoarea lui Re (fig. 1-2) :

$$Re_{max} = \frac{dw_{max} \cdot \rho}{\eta}$$

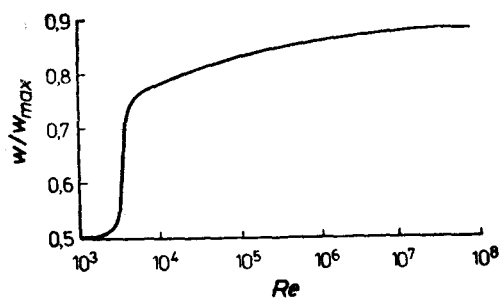


Fig. 1-2. Variația raportului w/w_{max} în funcție de criteriul Re la curgerea fluidelor în conducte.

În curgerea turbulentă valoarea lui w este aproximativ egală cu $(0,8 \dots 0,9)w_{max}$. La valori mari ale lui Re (la gaze) raportul $\frac{w}{w_{max}}$ poate fi mai mare decît 0,9.

14. **Viteza de scurgere a unui lichid printr-un orificiu mic la fundul sau pe peretele unui vas, la nivel constant al lichidului în vas, este :**

$$w = \varphi \sqrt{2gH} \quad (1-28)$$

în care : φ este coeficientul de viteză, adimensional ;

g — accelerația căderii libere, în m/s^2 ;

H — înălțimea nivelului de lichid deasupra centrului orificiului, în m.

Dacă presiunea la suprafața lichidului în vas (p_0 , în Pa) și presiunea în vasul de recepție (p , în Pa) sînt diferite, H în formula (1-28) se înlocuiește cu mărimea $H' = H + \frac{p_0 - p}{\rho g}$, în care ρ este densitatea lichidului care se scurge, în kg/m^3 .

Debitul volumic de lichid V , în m^3/s , care se scurge printr-un orificiu cu secțiunea S_0 , în m^2 , la nivel constant al lichidului în vas și la $p_0 = p$, este :

$$V = \alpha S_0 \sqrt{2gH} \quad (1-29)$$

în care α este coeficientul de debit (adimensional), care reprezintă produsul dintre coeficientul de viteză φ și coeficientul de contracție al vinei de lichid ε :

$$\alpha = \varphi \varepsilon \quad (1-30)$$

15. **Timpul τ (în s) de golire printr-un orificiu cu suprafața S_0 a unui vas deschis, avînd o secțiune constantă S , se poate calcula cu ajutorul ecuației :**

$$\tau = \frac{2S\sqrt{H}}{\alpha S_0 \sqrt{2g}} \quad (1-31)$$

în care H este nivelul inițial al lichidului deasupra orificiului, în m.

16. **Măsurarea debitului de lichid sau de gaz cu ajutorul diafragmei normale** (fig. 1-3).

Debitul de lichid sau de gaz, în m^3/s :

$$V = \alpha k S_0 \sqrt{2 \frac{\Delta p}{\rho}} = \alpha k S_0 \sqrt{2gH \frac{\rho_M - \rho}{\rho}} \quad (1-32)$$

în care : α este coeficientul de debit al diafragmei normale într-o conductă (nerugoză) (tabelul XV) ;

k — factor de corecție, care ia în considerare rugozitatea peretelui conductei (valoarea medie k pentru țevi este dată în tabelul XVI ; pentru țevi netede din punct de vedere hidraulic $k = 1$) ;

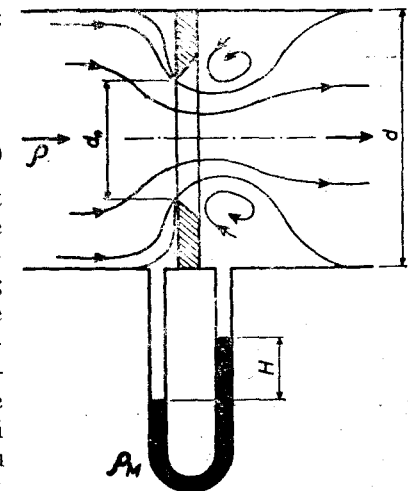


Fig. 1-3. Schița măsurării căderii de presiune cu ajutorul diafragmei.

- $S_0 = 0,785d_0^2$ — suprafața secțiunii transversale a orificiului diafragmei, în m^2 ;
 d_0 — diametrul orificiului diafragmei, în m ;
 H — diferența de nivel la manometrul diferențial legat de diafragmă, în m ;
 ρ_M — densitatea lichidului manometric, în kg/m^3 ;
 ρ — densitatea lichidului sau gazului care curge prin conductă, în kg/m^3 .

Deoarece coeficientul de debit al diafragmei α depinde de $Re = \frac{wd}{\nu}$, iar valoarea lui Re nu se cunoaște apriori, atunci la măsurarea debitului V , pentru α se ia o valoare medie din tabelul XV pentru un m dat. Apoi se calculează V , se determină valoarea lui Re , se recalculează α și, dacă este necesar, se corectează calculul.

17. Măsurarea debitului de lichid sau de gaz cu ajutorul tubului Pitot-Prandtl (fig. 1-4).

Tubul Pitot-Prandtl se fixează exact în axul conductei și cu ajutorul manometrului diferențial legat de el se găsește mărimea $\Delta p = H(\rho_M - \rho)g = \Delta p_d$. După aceea, se calculează viteza maximă (din ax) a curentului

$w_{max} = \sqrt{2gH \frac{\rho_M - \rho}{\rho}}$, se determină $Re_{max} = \frac{w_{max}d}{\nu}$ și din grafic (fig. 1-2) se găsește raportul w/w_{max} din care se calculează viteza medie w .

Debitul de lichid sau de gaz se determină după formula:

$$V = Sw$$

în care S este suprafața secțiunii transversale a conductei, în m^2 .

18. Puterea P (în kW) necesară pentru a acționa o pompă sau un ventilator se calculează cu formula:

$$P = \frac{V\Delta p}{1000 \eta} = \frac{V\rho g H_M}{1000 \eta} \quad (1-33)$$

în care: V este debitul volumic de lichid sau de gaz, în m^3/s ;

Δp — diferența de presiune realizată de pompă sau de ventilator pentru transportul fluidului, egală cu suma rezistențelor hidraulice ale rețelei*, în Pa ;

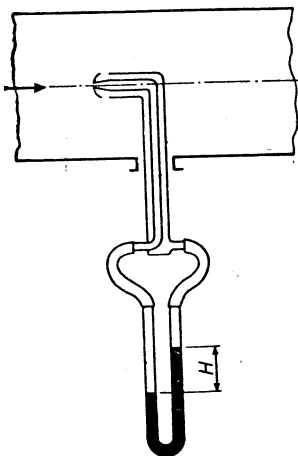


Fig. 1-4. Schița măsurării căderii de presiune cu ajutorul tubului Pitot-Prandtl.

* Se numește rețea sistemul de armături, aparate etc. prin care pompa sau ventilatorul transportă curentul de lichid sau de gaz. Presiunea imprimată de pompă fluidului se consumă în întregime pentru învingerea rezistențelor hidraulice ale rețelei.

- H_M — înălțimea de ridicare (manometrică) a pompei sau a ventilatorului, în m ;
 ρ — densitatea lichidului sau gazului, în kg/m^3 ;
 $g = 9,81 \text{ m/s}^2$ — accelerația căderii libere;
 η — randamentul total al pompei sau ventilatorului [v. formula (2-4)].

În cazul transportului lichidelor cu ajutorul pompelor, ecuația (1-33) se aplică pentru orice valori ale lui Δp . În transportul gazelor cu ventilatoare, ecuația (1-33) se aplică numai pentru $\Delta p < 0,981 \cdot 10^4 \text{ Pa}$ (adică mai mică decât $0,1 \text{ at}$). Dacă Δp pentru gaze este mai mare decât $0,981 \cdot 10^4 \text{ Pa}$ (suflante, compresoare), consumul de energie se calculează cu formule termodinamice (v. cap. 2).

Valoarea lui Δp se calculează ca sumă a următorilor termeni:

$$\Delta p = \Delta p_d + \Delta p_{fr} + \Delta p_{r,l} + \Delta p_{s,t} + \Delta p_r \quad (1-34)$$

în care: Δp_d — este presiunea consumată pentru crearea vitezei curentului la ieșirea din rețea (viteza în spațiul de aspirație este egală cu zero);

Δp_{fr} — pierderea de presiune pentru învingerea forțelor de frecare, pe porțiunile drepte ale conductei;

$\Delta p_{r,l}$ — pierderea de presiune pentru învingerea rezistențelor locale;

$\Delta p_{s,t} = p_2 - p_1$ — diferența de presiune statică dintre spațiul de refulare p_2 și de aspirație p_1 ;

$\Delta p_r = \rho gh$ — presiunea consumată pentru ridicarea pe înălțimea h a lichidului.

19. Presiunea consumată pentru crearea vitezei:

$$\Delta p_d = \frac{w^2}{2} \rho \quad (1-35)$$

în care: w este viteza curentului în conductă, în m/s ;

ρ — densitatea lichidului sau gazului, în kg/m^3 .

20. Pierderea de presiune pentru învingerea forțelor de frecare în conducte drepte și canale.

A. În curgerea izotermă

În acest caz temperatura lichidului sau gazului este constantă.

Formula de calcul este:

$$\Delta p_{fr} = \lambda \frac{L}{d_{ech}} \frac{w^2}{2} \rho \quad (1-36)$$

sau sub formă criterială (la o rugozitate dată):

$$Eu = C Re^m \Gamma \quad (1-37)$$

În aceste formule:

λ este coeficientul de frecare*, adimensional (valoarea lui, în general, depinde de regimul de curgere și de rugozitatea peretelui țevii e);

* În literatura anglo-saxonă în locul coeficientului de frecare λ se folosește coeficientul $4f$.

- L — lungimea conductei, în m;
 w — viteza curentului, în m/s;
 ρ — densitatea lichidului sau gazului, în kg/m³;
 d_{ech} — diametrul echivalent al conductei, în m (pentru conducte cu secțiunea circulară $d_{ech} = d$);

$$Eu = \frac{\Delta p_{fr}}{\rho w^2}; \quad Re = \frac{w d_{ech} \rho}{\eta}; \quad \Gamma = \frac{L}{d_{ech}}.$$

Valorile coeficientului de frecare λ se determină cu datele din tabelul XII și din figura 1-5* și 1-6 sau cu formulele date în continuare.

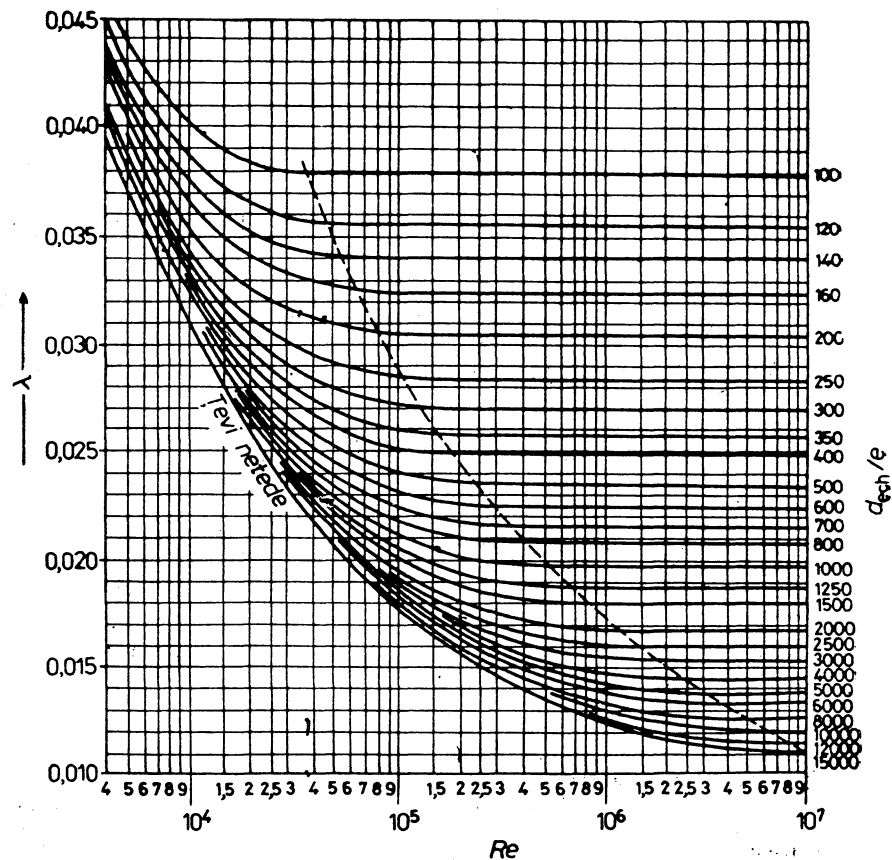


Fig. 1-5. Variația coeficientului de frecare λ în funcție de criteriul Re și de rugozitatea d_{ech}/e .

* În figura 1-5 este trasată punctat limita așa-numitului domeniu de automodelare, în care coeficientul de frecare λ nu depinde de criteriul Re și se determină numai după valoarea raportului d_{ech}/e .

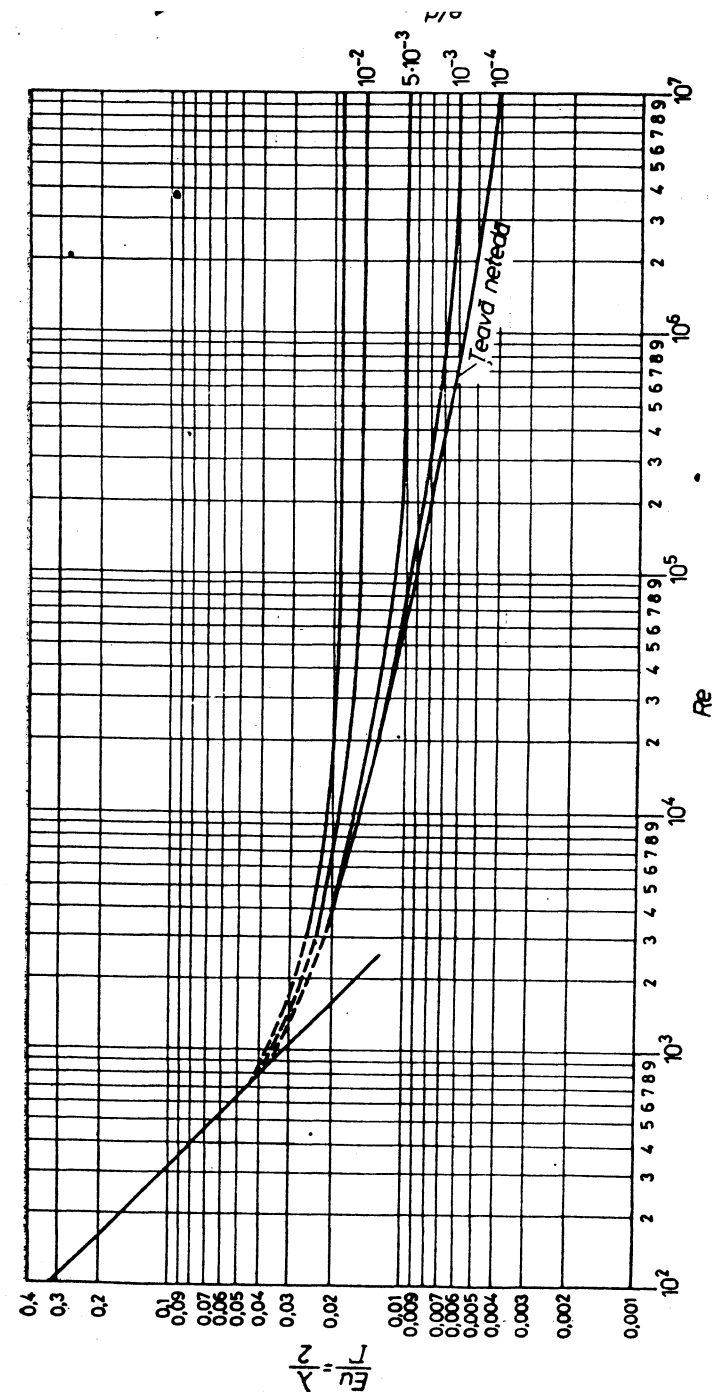


Fig. 1-6. Variația raportului Eu/Γ în funcție de criteriul Re și de rugozitatea relativă e/d_{ech} .

I. Regim laminar de curgere ($Re \leq 2300$)

Coefficientul λ nu depinde de rugozitatea pereților conductei, ci numai de Re :

pentru conducte cu secțiunea circulară:

$$\lambda = \frac{64}{Re}; \quad (1-38)$$

pentru conducte de altă secțiune:

$$\lambda = \frac{A}{Re}. \quad (1-38, a)$$

Valorile lui A pentru diverse forme ale secțiunii sînt date în tabelul XIV.

În regimul laminar de curgere izotermă a fluidelor pierderea de presiune datorită frecării se poate determina, de asemenea, cu formula lui Hagen-Poiseuille:

$$\Delta p_{fr} = 32 \frac{L \eta w}{d^3} \quad (1-39)$$

II. Regim turbulent de curgere ($Re > 2300$)

1. Țevi netede din punct de vedere hidraulic (de sticlă, de cupru, de plumb):

$$\lambda = \frac{0,316}{Re^{0,25}} \quad (1-40)$$

Formula (1-40), a lui Blasius, se aplică pentru $Re < 100\,000$.

2. Țevi rugoase din punct de vedere hidraulic (de oțel, de fontă).

Caracteristica țevelor rugoase din punct de vedere hidraulic este rugozitatea relativă, care este raportul înălțimii medii a asperităților e (numită rugozitate absolută) pe pereții țevii și al diametrului echivalent:

$$\varepsilon = \frac{e}{d_{ech}} \quad (1-41)$$

Se folosește, de asemenea, și mărimea inversă (d_{ech}/e).

Valorile orientative ale rugozității absolute a țevelor e (în mm) sînt date în tabelul XII.

Formula pentru calculul coeficientului de frecare λ în conducte rugoase este:

$$\frac{1}{\sqrt{\lambda}} = -2 \lg \left[\frac{\varepsilon}{3,7} + \left(\frac{6,81}{Re} \right)^{0,9} \right] \quad (1-42)$$

care se aplică și pentru domeniul de automodelare, dacă al doilea termen din paranteza dreaptă se egalează cu zero.

B. În curgerea neizotermă

În cazul curgerii neizoterme, cînd fluidul care curge prin țevi se încălzește sau se răcește, deci cînd temperatura peretelui țevii diferă de a lichidului,

partea dreaptă a formulelor (1-38) și (1-40) se înmulțește cu un coeficient adimensional de corecție x [4-1]:

Pentru regimul laminar:

$$x = \left(\frac{Pr_p}{Pr_l} \right)^{1/3} \left[1 + 0,22 \left(\frac{Gr_l Pr_l}{Re_l} \right)^{0,15} \right] \quad (1-43)$$

Pentru curgerea turbulentă:

$$x = \left(\frac{Pr_p}{Pr_l} \right)^{1/3} \quad (1-44)$$

în care: Re_l , Pr_l , Gr_l sînt criteriile lui Reynolds, Prandtl și Grashof (v.p 158) calculate pentru temperatura medie a lichidului;

Pr_p — criteriul lui Prandtl, calculat pentru lichid la temperatura peretelui țevii.

Deoarece pentru gaze valoarea criteriului Pr rămîne aproape constantă la variația temperaturii, rezultă că valoarea coeficientului x în formula (1-44) este egală cu unitatea.

Cu ridicarea temperaturii lichidelor, valoarea criteriului Pr se micșorează (fig. XIII). De aceea coeficientul de corecție $\left(\frac{Pr_p}{Pr_l} \right)^{1/3}$ la răcirea lichidului ($t_p < t_l$) este mai mare ca unitatea, iar la încălzire ($t_p > t_l$) mai mic decît unitatea.

21. Pierderile de presiune prin frecare în conducte curbate (serpentine) Δp_{serp} sînt mai mari decît prin conducte drepte Δp_{drept} :

$$\Delta p_{serp} = \Delta p_{drept} x \quad (1-45)$$

Coeficientul adimensional de corecție $x > 1$ se calculează cu formula:

$$x = 1 + 3,54 \frac{d}{D} \quad (1-46)$$

în care: d este diametrul interior al conductei, în m;

D — diametrul spirei serpentinei (v. fig. 1-1).

22. Pierderile de presiune pentru învingerea rezistențelor locale (coturi, diafragme, dispozitive de închidere, lărgire sau îngustare bruscă și altele).

Pierderea de presiune pentru fiecare rezistență locală este suma a două rezistențe: de frecare și pierdere suplimentară cauzată de variația direcției sau a suprafeței secțiunii curentului. Deoarece în calculul rezistenței prin frecare Δp_{fr} se ține seama de toată lungimea conductei L (inclusiv lungimea rezistențelor locale), atunci Δp_{rl} în ecuația (1-34) reprezintă numai suma acestor pierderi suplimentare.

Calculul pierderii de presiune datorită rezistențelor locale se face după formula:

$$\Delta p_{rl} = \sum \zeta \frac{w^2}{2} \rho \quad (1-47)$$

în care ζ este coeficientul rezistenței locale, adimensional (valorile pentru unele rezistențe locale sînt date în tabelul XIII).

Uneori se folosește altă metodă de calcul, conform căreia pierderea de presiune se determină prin egalarea rezistenței locale cu o conductă dreaptă de lungime echivalentă :

$$\Delta p_{rl} = \lambda \frac{L_{ech}}{d} \frac{w^2}{2} \rho = \lambda n \frac{w^2}{2} \rho \quad (1-48)$$

în care : $L_{ech} = nd$ este lungimea echivalentă a unei conducte drepte, avînd aceeași rezistență hidraulică ca și rezistența locală dată ;

n — coeficient numeric, adimensional, a cărui valoare este dată în literatură (de exemplu pentru robinet normal $n = 100 \dots 200$, pentru robinet în unghi drept $n = 10 \dots 20$).

23. Dacă rețeaua este formată din conducte de secțiune constantă, viteza lichidului sau gazului este constantă pe lungimea conductei și rezistența hidraulică totală a rețelei Δp , în conformitate cu ecuația (1-34) va fi egală cu :

$$\Delta p = \frac{w^2}{2} \rho \left(1 + \frac{\lambda L}{d_{ech}} + \Sigma \zeta \right) + \rho g h_r + (p_2 - p_1) \quad (1-49)$$

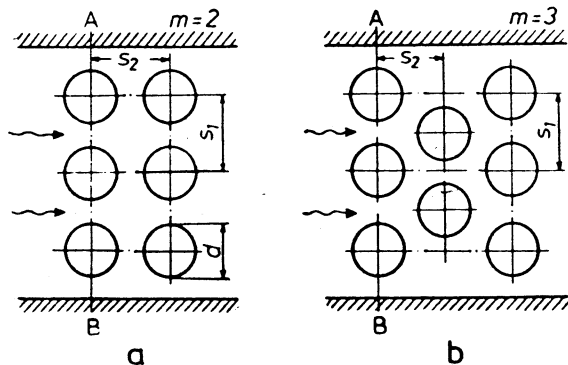
sau după a doua metodă pentru calculul rezistențelor locale :

$$\Delta p = \frac{w^2}{2} \rho \left[1 + \frac{\lambda(L + \Sigma L_{ech})}{d_{ech}} \right] + \rho g h_r + (p_2 - p_1) \quad (1-50)$$

24. Rezistența hidraulică a unui fascicul de țevi la curgerea perpendiculară a fluidului peste ele (fig. 1-7).

— Fascicul cu țevi nedecalate :

$$Eu = b(3 + 4,5m) \left(\frac{s_1}{d} \right)^{-0,21} Re^{-0,26} \quad (1-51)$$



— Fascicul cu țevi decalate :

pentru $\frac{s_1}{d} < \frac{s_2}{d}$

$$Eu = b(2 + 3,3m) Re^{-0,28} \quad (1-52)$$

pentru $\frac{s_1}{d} > \frac{s_2}{d}$

$$Eu = b(2,7 + 1,7m) Re^{-0,28} \quad (1-53)$$

Fig. 1-7. Schema aranjării țevelor într-un fascicul :
a — nedecalat ; b — decalat.

În aceste formule :

- b este coeficientul de corecție care depinde de unghiul de atac φ (unghiul între axa conductei și direcția de mișcare a curențului, v. fig. 4-3) și care se determină din tabelul 1-2 ;
 m — numărul de rînduri de țevi din fascicul în direcția curgerii ;
 d — diametrul exterior al țevelor ;
 s_1 și s_2 — pasul transversal și longitudinal (distanța între axele țevelor).

Viteza curențului se calculează pentru secțiunea cea mai îngustă a fasciculului AB ; valorile constantelor fizico-chimice se iau pentru temperatura medie a curențului. În criteriul Re se introduce diametrul exterior al țevei.

Tabelul 1-2

φ°	90	80	70	60	50	40	30	10
b	1	1	0,95	0,83	0,69	0,53	0,38	0,15

25. Rezistența hidraulică a schimbătoarelor de căldură cu țevi și cu manta. Atît pentru spațiile din interiorul țevelor (intratubulare) cit și dintre țevi (intertubulare) ale schimbătoarelor de căldură fără pereți despărțitori (v. fig. 1-22) se folosește formula :

$$\Delta p = \lambda \frac{nL}{d_{ech}} \frac{w^2}{2} \rho + \Sigma \zeta \frac{w^2}{2} \rho \quad (1-54)$$

în care : L este lungimea unei treceri, în m ;

n — numărul de treceri.

Celelalte notații sînt aceleași ca în formulele precedente.

Valorile coeficienților ζ ale rezistențelor locale din schimbătoare de căldură cu țevi cu manta au următoarele valori :

Spațiul din țevi (intratubular)

Intrarea sau ieșirea din cameră	1,5
Întoarcerea de 180° între treceri sau secțiuni	2,5
Intrarea în țevi sau ieșirea din ele	1,0

Spațiul dintre țevi (intertubular)

Intrarea în spațiul dintre țevi sau ieșirea din el.	1,5
Întoarcerea de 180° peste un perete despărțitor în spațiul dintre țevi	1,5
Întoarcerea de 90° în spațiul dintre țevi	1,0

În prezența pereților despărțitori în spațiul dintre țevi (v. fig. 4-4) rezistența hidraulică în el se determină cu formulele (1-51) ... (1-53). Se folosește de asemenea formula [0-4] :

$$\zeta = \frac{3m}{Re^{0,2}}$$

în care m este numărul de rînduri de țevi în direcția curgerii.

Viteza fluidului în racorduri este de obicei apropiată de viteza în țevi sau în spațiul dintre țevi. Dacă viteza în racorduri este mai mare, pierderile de presiune la intrarea și ieșirea din schimbătorul de căldură se vor calcula la vitezele din racorduri.

26. Rezistența hidraulică a umpluturilor din scrubere

Rezistența hidraulică a unui strat de umplutură uscată (neudată) este dată de formula :

$$\Delta p_{usc} = \lambda \frac{H}{d_{ech}} \frac{w_g^2}{2} \rho \quad (1-55)$$

în care : λ este coeficientul de rezistență la trecerea gazului prin stratul de umplutură ;

H — înălțimea stratului de umplutură, în m ;

d_{ech} — diametrul echivalent, în m ;

w_g — viteza gazului în secțiunea liberă a umpluturii (viteza reală), în m/s ;

ρ — densitatea gazului, în kg/m³.

Diametrul echivalent se poate exprima prin caracteristicile umpluturii : volumul liber V_1 , în m³/m³ și suprafața specifică σ , m²/m³ :

$$d_{ech} = \frac{4S_l}{P} \frac{\frac{4HS_l}{V}}{\frac{PH}{V}} = 4 \frac{V_1}{\sigma} \quad (1-56)$$

în care : S_l este suprafața secțiunii libere a scruberului, în m² ;

P — perimetrul mediu al secțiunii libere, în m ;

V — volumul total ocupat de stratul de umplutură de înălțime H (inclusiv golurile din umplutură), în m³.

Viteza reală w_g a gazului în secțiunea liberă a scruberului este legată de viteza fictivă a gazului w_f (raportată la toată secțiunea aparatului) prin relația :

$$w_g = \frac{w_f}{V_1} \quad (1-57)$$

După datele lui N. M. Javoronkov, pentru umpluturi din inele așezate neregulat :

pentru $Re_g < 40$

$$\lambda = \frac{140}{Re_g} \quad (1-58)$$

pentru $Re_g > 40$

$$\lambda = \frac{16}{Re_g^{0,2}} \quad (1-59)$$

$$\text{în care } Re_g = \frac{w_g d_{ech} \rho}{\eta} = \frac{4w_f \rho}{\sigma \eta}$$

Calculul rezistenței hidraulice a umpluturii udăte este mult mai complicat — v. formulele și graficele din [6-1] și [6-2].

27. Rezistența hidraulică a coloanelor cu talere.

Rezistența Δp a unui taler cu barbotare se calculează ca suma a trei termeni :

$$\Delta p = \Delta p_{usc} + \Delta p_\sigma + \Delta p_{g1} \quad (1-60)$$

în care : Δp_{usc} este rezistența talerului uscat ;

Δp_σ — rezistența datorită forțelor tensiunii superficiale ;

Δp_{g1} — rezistența stratului gaz-lichid de pe taler.

Rezistența talerului uscat :

$$\Delta p_{usc} = \zeta \frac{w_0^2}{2} \rho_g \quad (1-61)$$

în care : w_0 este viteza gazului între creștăturile clopotului sau în găurile talerului, în m/s ;

ρ_g — densitatea gazului, în kg/m³ ;

ζ — coeficientul de rezistență egal cu :

pentru talere cu clopote	4,5—5,0
pentru talere cu sită :	
cu secțiunea liberă a ochiurilor 7—10%	1,82
cu secțiunea liberă a ochiurilor 11—25%	1,45
pentru talere cu grătare	1,4—1,5

Rezistența cauzată de tensiunea superficială se exprimă prin :

$$\Delta p_\sigma = \frac{4\sigma}{d_{ech}} \quad (1-62)$$

în care : σ este tensiunea superficială, în N/m ;

d_{ech} — diametrul echivalent al creștăturilor, în m ; pentru talere cu clopote $d_{ech} = \frac{4S}{P}$ (S este suprafața secțiunii libere a creștăturilor, iar P perimetrul creștăturilor), pentru talere cu sită și cu grătare găurite d_{ech} este egal cu diametrul ochiului, iar pentru talere cu grătare cu bare d_{ech} este egal cu dublul lățimii dintre bare.

Rezistența stratului gaz-lichid (la aceleași viteze a gazului care se folosesc în coloanele de transfer de masă cu talere — v. cap. 6 și 7) :

a) la talerul cu clopote :

$$\Delta p_{g1} = 1,3k\rho_l \left(l + \frac{c}{2} + \Delta h \right) g \quad (1-63)$$

în care : g este accelerația căderii libere, în m/s² ;

k — densitatea relativă a stratului de gaz-lichid (de spumă ; în calcule se ia aproximativ $k = 0,5$;

ρ_l — densitatea lichidului, în kg/m³ ;

l — distanța de la marginea superioară a creștăturii la pragul preaplinului, în m ;

e — înălțimea creștăturii, în m;

Δh — înălțimea nivelului lichidului deasupra pragului preaplinului, în m.

b) la talerul cu sită:

$$\Delta p_{pl} = 1,3gk\rho_l(h_p + h) \quad (1-64)$$

în care h_p este înălțimea pragului preaplinului, în m (v. fig. 7-18).

Mărima Δh se determină cu formula curgerii peste baraj, ținând seama de densitatea spumei:

$$\Delta h = \left(\frac{V_l}{1,85 \rho k} \right)^{2/3} \quad (1-65)$$

în care: V_l este debitul de lichid, în m^3/s ;

p — perimetrul preaplinului, în m;

k — 0,5 (v. mai sus).

1.2. EXEMPLE

Exemplul 1-1. Densitatea relativă a țiteiului este 0,89. Să se exprime densitatea țiteiului în unități SI și în unități MKfS.

Rezolvare. 1) în sistemul SI. Conform relației (1-2), $d = \rho/\rho_a = \frac{\gamma}{\gamma_a}$

deci:

$$\rho = 0,89 \cdot 1000 = 890 \text{ kg/m}^3$$

2) în MKfS:

$$\gamma = d\gamma_a = 0,89 \cdot 1000 = 890 \text{ kgf/m}^3.$$

Din ecuația (1-1):

$$\rho = \frac{\gamma}{g} = \frac{890}{9,81} = 90,6 \text{ kgf} \cdot \text{s}^2/\text{m}^4.$$

Exemplul 1-2. Să se determine în unități SI densitatea bioxidului de azot la $p = 10$ at și $t = 20^\circ\text{C}$. Presiunea atmosferică este 760 mm Hg (1.03 ata).

Rezolvare. Din ecuația (1-5):

$$\rho = \frac{M \cdot 273p}{22,4 \cdot 293p_0} = \frac{46 \cdot 273 \cdot 11,03}{22,4 \cdot 293 \cdot 1,03} = 20,5 \text{ kg/m}^3$$

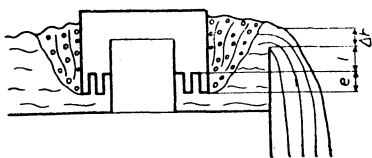


Fig. 1-8. Schița unui taler cu clopote.

Exemplul 1-3. Să se determine densitatea aerului sub un vid de 440 mm Hg la -40°C .

Rezolvare. Masa molară a aerului (79% azot și 21% oxigen, în vol.):

$$M = 0,79 \cdot 28 + 0,21 \cdot 32 = 28,8 \text{ kg/kmol}$$

Din formula (1-5):

$$\rho = \frac{M}{22,4} \cdot \frac{273p}{T p_0} = \frac{28,8 \cdot 273(760 - 440)}{22,4 \cdot 273 \cdot 760} = 0,615 \text{ kg/m}^3.$$

Exemplul 1-4. Prin țevile unui schimbător de căldură tubular cu o singură trecere (numărul de țevi $n = 121$, diametrul exterior al țevii 38 mm, grosimea peretelui 2 mm) circulă aer la temperatura medie 50°C și presiunea manometrică 2 at cu viteza 9 m/s. Presiunea barometrică 740 mm Hg. Să se determine: a) debitul masic de aer; b) debitul volumic de aer în condițiile de lucru; c) debitul volumic de aer în condiții normale.

Rezolvare. Densitatea aerului în condiții normale $\rho_0 = 1,293 \text{ kg/m}^3$ (tabelul V).

Presiunea de lucru (absolută):

$$p = p_{at} + p_s = 740 \cdot 133,3 + 98 \cdot 100 \cdot 2 = 294 \cdot 800 \text{ Pa}$$

$$\text{sau: } p = p_{at} + p_s = 740 + 735 \cdot 2 = 2210 \text{ mm Hg.}$$

Relații între unitățile de măsură sînt date în tabelul LVIII.

Densitatea aerului în condiții de lucru:

$$\rho = \rho_0 \frac{p T_0}{p_s T} = 1,293 \frac{294 \cdot 800 \cdot 273}{101300(273 + 50)} = 3,18 \text{ kg/m}^3$$

sau

$$\rho = \rho_0 \frac{p T_0}{p_s T} = 1,293 \frac{2210 \cdot 273}{760(273 + 50)} = 3,18 \text{ kg/m}^3.$$

Debitul masic de aer conform formulei (1-18):

$$M = V\rho = wS\rho = wn \cdot 0,785d^2\rho = 9 \cdot 121 \cdot 0,785 \cdot 0,034^2 \cdot 3,18 = 3,14 \text{ kg/s.}$$

Debitul volumic de aer în condițiile de lucru:

$$V = \frac{M}{\rho} = \frac{3,14}{3,18} = 0,99 \text{ m}^3/\text{s.}$$

Debitul volumic de aer în condiții normale:

$$V_a = \frac{M}{\rho_0} = \frac{3,14}{1,293} = 2,43 \text{ m}^3/\text{s.}$$

Exemplul 1-5. Într-un rezervor deschis se găsește un lichid cu densitatea relativă 1,23. Un manometru legat într-un punct oarecare la peretele rezervorului indică presiunea $p = 0,31$ at. La ce înălțime deasupra punctului dat se găsește nivelul lichidului din rezervor?

Rezolvare. Înălțimea nivelului lichidului din rezervor deasupra punctului de legare a manometrului se determină din ecuația (1-7):

$$h = \frac{p - p_0}{\rho g}$$

Conform condițiilor din problemă :

$$p - p_0 = 0,31 \text{ at} = 0,31 \cdot 10^4 \cdot 9,81 \text{ Pa.}$$

Densitatea lichidului este :

$$\rho = 1,23 \cdot 1000 = 1230 \text{ kg/m}^3$$

de unde :

$$h = \frac{0,31 \cdot 10^4 \cdot 9,81}{1230 \cdot 9,81} = 2,52 \text{ m.}$$

Exemplul 1-6. Vacuummetrul de la un condensator barometric indică un vid de 60 cm Hg. Presiunea barometrică este 748 mm Hg.

Să se determine : a) presiunea absolută din condensator în Pa și în at ; b) la ce înălțime H se ridică apa în tubul barometric (fig. 1-9).

Rezolvare. a) presiunea absolută în condensator este :

$$p = 748 - 600 = 148 \text{ mm Hg} = 148 \cdot 133,3 = 19700 \text{ Pa} = \\ = \frac{19700}{10^4 \cdot 9,81} = 0,201 \text{ at ;}$$

b) înălțimea coloanei de apă în tubul barometric se află din ecuația:

$$H = \frac{p_{\text{bar}} - p}{\rho g} = \frac{600 \cdot 133,3}{1000 \cdot 9,81} = 8,16 \text{ m.}$$

Exemplul 1-7. Un manometru în formă de U, umplut cu mercur, este legat la două puncte ale unei conducte orizontale. Diferența de nivel a mercurului din manometru este 26 mm. Ce diferență de presiune este între cele două puncte, dacă prin conductă trece : a) apă ; b) aer la 20°C și presiunea atmosferică ?

Rezolvare. Din condiția egalității presiunii la nivelul $a-a$ din stînga și din dreapta (fig. 1-10) :

$$p_1 + h_1 \rho g = p_2 + h_2 \rho g + h \rho_M g$$

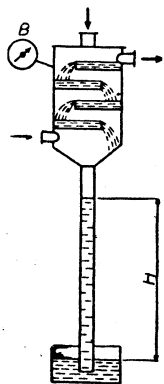


Fig. 1-9. Schița la exemplul 1-6.

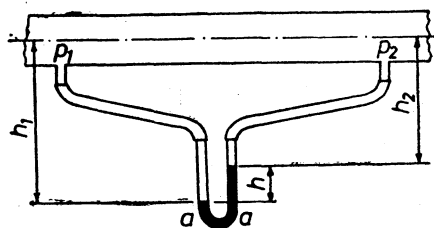


Fig. 1-10. Schița la exemplul 1-7.

se obține, înlocuind pe h_2 cu $(h_1 - h)$:

$$p_1 - p_2 = h(\rho_M - \rho)g$$

în care : ρ este densitatea lichidului din conductă și din tuburile de legătură ;

ρ_M — densitatea lichidului manometric.

Din condițiile problemei $h = 0,026 \text{ m}$, $\rho_M = 13600 \text{ kg/m}^3$.

a) pentru apă :

$$\rho = 1000 \text{ kg/m}^3$$

$$p_1 - p_2 = 0,026(13600 - 1000)9,81 = 3220 \text{ Pa}$$

b) pentru aer :

$$\rho = \frac{29 \cdot 273}{22,4 \cdot 293} = 1,2 \text{ kg/m}^3$$

$$p_1 - p_2 = 0,026(13600 - 1,2)9,81 \approx 0,026 \cdot 13600 \cdot 9,81 = 3470 \text{ Pa.}$$

Din ultima egalitate rezultă că, la măsurarea diferenței de presiune în curenți de gaze cu manometre diferențiale cu lichid, se poate neglija corecția pentru densitatea gazului (la presiuni apropiate de cea atmosferică densitatea gazului este foarte mică în comparație cu densitatea lichidului).

Exemplul 1-8. Clopotul unui rezervor de gaze umede pentru azot, cu diametrul de 6 m, cîntărește cu balastul suplimentar 2900 kgf (fig. 1-11). Neglijînd „pierderea” în greutate a părții clopotului scufundat în apă, să se determine presiunea gazului cînd rezervorul este plin.

Rezolvare. Suprafața proiecției orizontale a clopotului este :

$$0,785 \cdot 6^2 = 28,2 \text{ m}^2.$$

Presiunea în rezervorul de gaze va fi :

$$p_s = \frac{2900 \cdot 9,81}{28,2} = 1010 \text{ Pa}$$

sau

$$\frac{1010}{9,81 \cdot 10^4} \approx 0,01 \text{ at.}$$

Exemplul 1-9. Să se determine viscozitatea cinematică a bioxidului de carbon la $t = 30^\circ\text{C}$ și $p = 5,28 \text{ at}$.

Rezolvare. Neglijînd variația viscozității cu presiunea, se găsește din grafic (fig. VI) pentru bioxidul de carbon la 30°C :

$$\eta = 0,015 \text{ cP} = 0,015 \cdot 10^{-3} \text{ Pa}\cdot\text{s.}$$

Densitatea bioxidului de carbon este :

$$\rho = \frac{44 \cdot 273 \cdot 5,28}{22,4 \cdot 303 \cdot 1,033} = 9,05 \text{ kg/m}^3$$

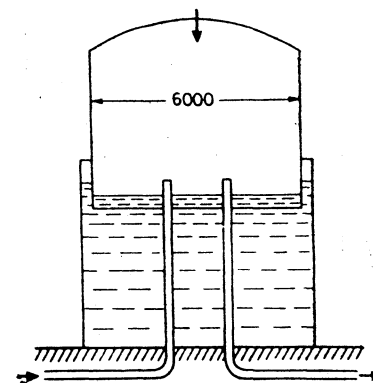


Fig. 1-11. Schița la exemplul 1-8.

Viscozitatea cinematică este :

$$\nu = \frac{\eta}{\rho} = \frac{0,015 \cdot 10^{-3}}{9,05} = 1,66 \cdot 10^{-6} \text{ m}^2/\text{s}.$$

Exemplul 1-10. Presupunind lipsa datelor experimentale, să se calculeze cu aproximație viscozitatea nitrobenzenului ($\text{C}_6\text{H}_5\text{NO}_2$) la 20°C .

Rezolvare. Se întrebuițează formula empirică (1-10). Masa molară a nitrobenzenului este 123 kg/kmol , iar densitatea 1200 kg/m^3 (tabelul III).

Se calculează suma constantelor atomice ΣAn (tabelul IX) :

$$\Sigma An = 6 \cdot 50,2 + 5 \cdot 2,7 + 1 \cdot 37 + 2 \cdot 29,7 = 411,1.$$

Se calculează suma corecțiilor de structură Σp din tabelul X, cu ajutorul punctelor 1, 3, 4 și 16 :

$$\Sigma p = 3(-15,5) + 1(-21,0) + 1(-17,0) + (1-16,4) = -100,9$$

$$K = \Sigma An + \Sigma p = 411,1 - 100,9 = 310,2$$

În continuare :

$$\lg(\lg \eta) = K \frac{\rho}{1000 M} - 2,9 = 310,2 \frac{1200}{1000 \cdot 123} - 2,9 = 0,216$$

Din nomograma (fig. I) se obține :

$$\eta = 2,15 \text{ cP} = 2,15 \cdot 10^{-3} \text{ Pa} \cdot \text{s},$$

care corespunde cu datele experimentale (fig. V).

Exemplul 1-11. Să se determine viscozitatea gazelor de ardere care au următoarea compoziție : CO_2 — 16% ; O_2 — 5% ; N_2 — 79% volumice. Temperatura gazelor este 400°C , iar presiunea $p = 1 \text{ at}$.

Rezolvare. Din nomograma (fig. IV) se găsește viscozitatea componentelor amestecului. La temperatura de 400°C :

$$\eta_{\text{CO}_2} = 0,035 \text{ cP} ; \eta_{\text{O}_2} = 0,039 \text{ cP} ; \eta_{\text{N}_2} = 0,0335 \text{ cP}.$$

Pentru calculul viscozității amestecului se folosește formula (1-11) :

$$\frac{M_{am}}{\eta_{am}} = \frac{0,16 \cdot 44}{0,035} + \frac{0,05 \cdot 32}{0,039} + \frac{0,79 \cdot 28}{0,0335} = 902$$

Masa molară a amestecului este :

$$M_{am} = 0,16 \cdot 44 + 0,05 \cdot 32 + 0,79 \cdot 28 = 30,8 \text{ kg/mol}$$

Viscozitatea amestecului va fi :

$$\eta_{am} = \frac{30,8}{902} = 0,034 \text{ cP} = 0,034 \cdot 10^{-3} \text{ Pa} \cdot \text{s}.$$

Exemplul 1-12. Să se determine viscozitatea cinematică, la 84°K și $p = 1 \text{ at}$, a unui lichid având compoziția : 70% mol oxigen și 30% mol azot.

Rezolvare. Considerând că oxigenul și azotul lichid aparțin clasei lichidelor perfecte, viscozitatea amestecului se calculează cu formula (1-14).

La 84°K viscozitatea oxigenului lichid este $\eta_1 = 22,6 \cdot 10^{-5} \text{ Pa} \cdot \text{s}$, iar a azotului lichid este $\eta_2 = 11,8 \cdot 10^{-5} \text{ Pa} \cdot \text{s}$. În aceste condiții :

$$\lg \eta_{am} = x_1 \lg \eta_1 + x_2 \lg \eta_2 = 0,7 \lg(22,6 \cdot 10^{-5}) + 0,3 \lg(11,8 \cdot 10^{-5}) = 6,2694$$

de unde : $\eta_{am} = 18,6 \cdot 10^{-5} \text{ Pa} \cdot \text{s}$.

Conținutul în procente masice al componentilor din amestec este :

$$\text{oxigen } x_1 = \frac{0,7 \cdot 32}{0,7 \cdot 32 + 0,3 \cdot 28} = 0,727$$

$$\text{azot } x_2 = \frac{0,3 \cdot 28}{0,7 \cdot 32 + 0,3 \cdot 28} = 0,273$$

Densitățile componentilor sînt :

$$\text{oxigen lichid } \rho_1 = 1180 \text{ kg/m}^3$$

$$\text{azot lichid } \rho_2 = 780 \text{ kg/m}^3$$

Densitatea amestecului după ecuația (1-3) :

$$\rho_{am} = \frac{1}{\frac{0,727}{1180} + \frac{0,273}{780}} = 1030 \text{ kg/m}^3$$

Viscozitatea cinematică a amestecului este :

$$\nu_{am} = \frac{\eta_{am}}{\rho_{am}} = \frac{18,6 \cdot 10^{-5}}{1030} = 0,18 \cdot 10^{-6} \text{ m}^2/\text{s}.$$

Exemplul 1-13. Să se calculeze viscozitatea unei suspensii de benzidină în apă, obținută într-un vas în care la 10 m^3 apă se adaugă 1 t benzidină. Temperatura suspensiei 20°C , iar densitatea relativă a fazei solide 1,2.

Rezolvare. Volumul fazei solide este :

$$V = \frac{G}{\rho} = \frac{1000}{1200} = 0,833 \text{ m}^3$$

Concentrația volumică a fazei solide în suspensie este :

$$\varphi = \frac{0,833}{10 + 0,833} = 0,077 \text{ m}^3/\text{m}^3.$$

La 20°C viscozitatea apei este 1 cP (tabelul VI). Viscozitatea suspensiei calculată cu formula (1-15) este :

$$\eta_s = \eta_1(1 + 2,5\varphi) = 1(1 + 2,5 \cdot 0,077) = 1,19 \text{ cP} = 1,19 \cdot 10^{-3} \text{ Pa} \cdot \text{s}.$$

Calculată cu formula (1-15, a) va fi :

$$\eta_s = \eta_1 \frac{0,59}{(0,77 - \varphi)^2} = \frac{1 \cdot 0,59}{(0,77 - 0,077)^2} = 1,23 \text{ cP} = 1,23 \cdot 10^{-3} \text{ Pa} \cdot \text{s}.$$

Exemplul 1-14. Se știe că viscozitatea clorbenzenului la 20°C este $0,9 \text{ cP}$, iar la 50°C este $0,6 \text{ cP}$. Să se determine viscozitatea clorbenzenului la 70°C .

Rezolvare. Ca lichid standard se alege apa. Se determină temperaturile lichidului standard la care viscozitatea este egală cu $0,9$ și $0,6 \text{ cP}$.

Viscozitatea apei, egală cu 0,9 cP, corespunde temperaturii de 25°C, iar viscozitatea de 0,6 cP temperaturii de 45°C (tabelul VI).

Prin urmare constanta ecuației (1-16) va fi:

$$K = \frac{\eta_{t_2} - \eta_{t_1}}{\theta_{t_2} - \theta_{t_1}} = \frac{50 - 20}{45 - 25} = \frac{30}{20} = 1,5$$

Se calculează apoi temperatura apei la care viscozitatea ei este egală cu viscozitatea clorbenzenului la 70°C, folosind ecuația:

$$1,5 = \frac{70 - 20}{\theta_{\eta_s} - 25}$$

de unde $\theta_{\eta_s} = 58,4^\circ\text{C}$.

Viscozitatea apei la această temperatură se găsește prin interpolare:

$$\eta_s = 0,48 \text{ cP},$$

adică viscozitatea clorbenzenului la 70°C este 0,48 cP.

Dacă pentru comparație se folosește direct nomograma (fig. V), se obține $\eta = 0,46 \text{ cP} = 0,46 \cdot 10^{-3} \text{ Pa}\cdot\text{s}$.

Exemplul 1-15. Viscozitatea unui lichid are următoarele valori:

la $t = 34^\circ\text{C}$.	0,554 Pa·s
la $t = 28^\circ\text{C}$.	0,934 Pa·s
la $t = 25^\circ\text{C}$.	1,42 Pa·s
la $t = 20^\circ\text{C}$.	2,09 Pa·s

Să se determine viscozitatea acestui lichid la $t + 16^\circ\text{C}$.

Rezolvare. Se va folosi regula liniarității, admitînd glicerina ca lichid de referință. Variația viscozității glicerinei cu temperatura $\eta_{gl} = f(\theta)$ este dată în figura 1-12 (curba AB). Cu această curbă se află temperatura θ a glicerinei:

la $\eta_{gl} = 0,554 \text{ Pa}\cdot\text{s}$	32°C
la $\eta_{gl} = 0,934 \text{ Pa}\cdot\text{s}$	26°C
la $\eta_{gl} = 1,42 \text{ Pa}\cdot\text{s}$	21°C
la $\eta_{gl} = 2,09 \text{ Pa}\cdot\text{s}$	16°C

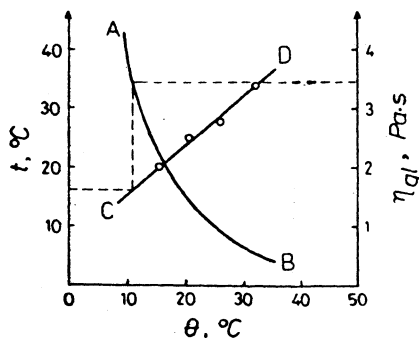


Fig. 1-12. Schița la exemplul 1-15.

Reprezentînd grafic variația temperaturii t a lichidului în funcție de temperatura θ a glicerinei la valori egale ale viscozității, se obține dreapta CD. Apoi se află, după cum arată linia întreruptă, că viscozitatea căutată a lichidului la $t = 16^\circ\text{C}$, egală cu viscozitatea glicerinei la $\theta = 11^\circ\text{C}$, este 3,46 Pa·s.

Exemplul 1-16. Țevile de oțel ale unui schimbător de căldură au diametrul $76 \times 3 \text{ mm}$ (primul număr reprezintă diametrul exterior al țevii, al doilea grosimea peretelui

țevii). Prin țevi trece un gaz la presiunea atmosferică. Să se determine diametrul țevilor cînd este folosit același gaz însă la presiunea $p = 5 \text{ at}$, dacă viteza gazului rămîne aceeași și dacă debitul masic al gazului și numărul de țevi rămîn neschimbate.

Rezolvare. La presiunea $p = 5 \text{ at}$ densitatea gazului, conform formulei (1-5) va fi de 6 ori mai mare decît la presiunea atmosferică.

Dacă debitul masic al gazului:

$$G = V\rho = wS\rho$$

trebuie să rămînă neschimbat, rezultă că:

$$w_1 n_1 0,785 d_1^2 \rho_1 = w_2 n_2 0,785 d_2^2 \rho_2$$

Înlocuind $w_2 = w_1$, $n_2 = n_1$, $\rho_2 = 6\rho_1$, $d_1 = 0,07 \text{ m}$, se obține:

$$0,07^2 = 6d_2^2$$

de unde

$$d_2 = \sqrt{\frac{0,07^2}{6}} = 0,0286 \text{ m} \approx 29 \text{ mm}.$$

Exemplu 1-17. Să se determine regimul de curgere al unui lichid în spațiul intertubular al unui schimbător de căldură de tip „țevă în țevă” (fig. 1-13), în următoarele condiții: țeava interioară a schimbătorului de căldură are diametrul $25 \times 2 \text{ mm}$, iar cea exterioară $51 \times 2,5 \text{ mm}$; debitul masic al lichidului este 3730 kg/h , densitatea lichidului 1150 kg/m^3 , viscozitatea $1,2 \text{ cP}$.

Rezolvare. Se calculează viteza lichidului cu ecuația debitului:

$$w = \frac{V}{S} = \frac{3730}{1150 \cdot 3600 \cdot 0,785(0,046^2 - 0,025^2)} = 0,77 \text{ m/s}.$$

Diametrul echivalent al secțiunii inelare se determină cu formula (1-24):

$$d_{ech} = \frac{4S}{P} = \frac{4\pi(D^2 - d^2)}{\pi 4(D + d)} = D - d = 0,046 - 0,025 = 0,021 \text{ m}$$

în care: D este diametrul interior al țevii exterioare, în m;

d — diametrul exterior al țevii interioare, în m.

Viscozitatea lichidului este

$$\eta = 1,2 \cdot 10^{-3} \text{ Pa}\cdot\text{s}.$$

Valoarea criteriului Reynolds este:

$$\begin{aligned} \text{Re} &= \frac{wd_{ech}\rho}{\eta} = \\ &= \frac{0,77 \cdot 0,021 \cdot 1150}{1,2 \cdot 10^{-3}} = \\ &= 15500 \end{aligned}$$

deci regimul este turbulent.

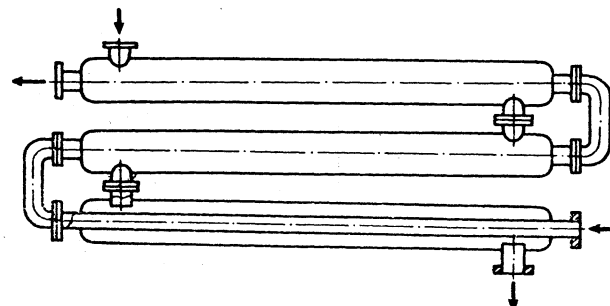


Fig. 1-13. Schița la exemplul 1-17.

Exemplul 1-18. Să se afle viteza critică a fluidului care curge printr-o conductă dreaptă de diametru $51 \times 2,5$ mm pentru :

- aer la 20°C și presiunea 1 at și
- ulei mineral cu viscozitatea $\eta = 35$ cP și densitatea relativă 0,963.

Rezolvare. Fluidul are viteza critică la $Re_{cr} = 2\,300$; prin urmare din ecuația (1-21) se deduce :

$$w_{cr} = \frac{2\,300 \eta}{d\rho}$$

- a) pentru aer :

$$w_{cr} = \frac{2\,300 \cdot 0,018 \cdot 10^{-3}}{0,046 \cdot 1,2} = 0,75 \text{ m/s}$$

în care : 0,018 este viscozitatea aerului la 20°C (fig. VI), în cP ;

1,2 — densitatea aerului la 20°C și $p = 1$ ata, conform formulei (1-5), în kg/m^3 .

- b) pentru uleiul mineral :

$$w_{cr} = \frac{2\,300 \cdot 35 \cdot 10^{-3}}{0,046 \cdot 963} = 1,8 \text{ m/s}.$$

Exemplul 1-19. O conductă cu diametrul 200 mm își îngustează secțiunea pînă la un diametru de 100 mm (fig. 1-14). Prin conductă circulă gaz metan la 30°C cu un debit de $1\,700 \text{ m}^3/\text{h}$ (socotiți în condiții normale). Pe porțiunea mai largă a conductei, înainte de îngustare, este fixat un manometru cu apă în U, care comunică cu atmosfera și care arată un plus de presiune de 40 mm H_2O . Ce presiune va indica același manometru în porțiunea îngustă a conductei ? În calcule se vor neglija pierderile de presiune. Presiunea atmosferică este 760 mm Hg.

Rezolvare. Considerînd densitatea metanului în porțiunea de conductă între punctele de racordare a manometrului ca fiind aproximativ constantă (ceea ce se verifică la sfîrșitul calculului), se stabilește ecuația Bernoulli pentru un fluid necompresibil :

$$\frac{p_1}{\rho g} + \frac{w_1^2}{2g} = \frac{p_2}{\rho g} + \frac{w_2^2}{2g}$$

din care se găsește :

$$p_1 - p_2 = \frac{w_2^2 - w_1^2}{2} \rho$$

Se determină apoi viteza metanului în secțiunile I și II, considerînd că presiunea în conductă este aproximativ egală cu cea atmosferică :

$$w_1 = \frac{1\,700 \cdot 303}{3\,600 \cdot 273 \cdot 0,785 \cdot 0,2^2} = 16,7 \text{ m/s}$$

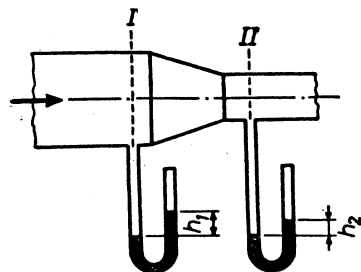


Fig. 1-14. Schița la exemplul 1-19.

Conform ecuației (1-20) :

$$w_2 = w_1 \frac{S_1}{S_2} = 16,7 \left(\frac{200}{100} \right)^2 = 66,8 \text{ m/s}$$

Se calculează apoi densitatea metanului :

$$\rho = \frac{MT_0}{22,4T} = \frac{16 \cdot 273}{22,4 \cdot 303} = 0,645 \text{ kg/m}^3$$

Folosind valorile calculate se află diferența de presiune :

$$p_1 - p_2 = \frac{(66,8^2 - 16,7^2) \cdot 0,645}{2} = 1\,354 \text{ Pa}$$

sau

$$\frac{1\,354}{9,81} = 138 \text{ mm H}_2\text{O}$$

de unde :

$$p_2 = p_1 - 138 = 40 - 138 = -98 \text{ mm H}_2\text{O},$$

adică presiunea în secțiunea II este mai mică decît în secțiunea I cu 138 mm H_2O și manometrul va arăta în secțiunea II un vid egal cu 98 mm H_2O .

Presiunea absolută în secțiunea I a conductei este :

$$10\,330 + 40 = 10\,370 \text{ mm H}_2\text{O} = 1,037 \text{ at} = 0,1017 \text{ MPa}$$

iar în secțiunea II :

$$10\,330 - 98 = 10\,232 \text{ mm H}_2\text{O} = 1,023 \text{ at} = 0,1003 \text{ MPa}$$

Admițînd în calculul vitezelor și a densității metanului că presiunea în conductă este constantă, se introduce o eroare care nu depășește :

$$\frac{1,037 - 1,023}{1,023} 100 \approx 1,4\%$$

Exemplul 1-20. În fig. 1-15 este reprezentat așa numitul vas Mariotte, care constă dintr-un rezervor închis, din care lichidul se poate scurge prin țeava A. Țeava B comunică la partea de sus cu atmosfera. La scurgerea lichidului prin țeava A, în partea superioară a rezervorului se formează un vid, care conduce la aspirarea de aer din atmosferă prin țeava B. Datorită acestui fapt, la nivelul H în rezervor va fi totdeauna o presiune egală cu cea atmosferică, indiferent de cantitatea de lichid din rezervor, iar scurgerea lichidului va avea loc sub presiune constantă atît timp cît nivelul său nu scade sub H. Pe baza datelor indicate în fig. 1-15 (în mm), să se determine viteza de scurgere a apei și timpul în care

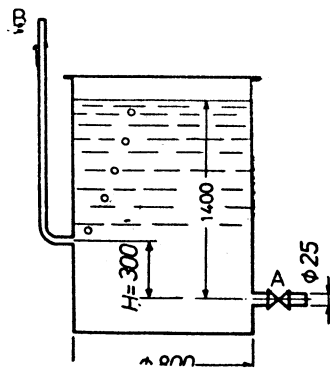


Fig. 1-15. Schița la exemplul 1-20.

nivelul ei va scădea de la cel inițial (1 400 mm) în valoarea H (300 mm). Coeficientul de viteză $\varphi = 0,82$, iar coeficientul de contracție a vinei de lichid $\epsilon = 1$.

Rezolvare. Cu ajutorul formulei (1-28) pentru $p_0 = p$, se determină viteza de scurgere a lichidului:

$$w = \varphi \sqrt{2gH} = 0,82 \sqrt{2 \cdot 9,81 \cdot 0,3} = 1,98 \text{ m/s}$$

Volumul de apă care se va scurge din vas la scăderea nivelului de la 1 400 la 300 mm este:

$$V = 0,785 \cdot 0,8^2 (1,4 - 0,3) = 0,553 \text{ m}^3$$

Durata de scurgere va fi:

$$\tau = \frac{0,053}{0,785 \cdot 0,025^2 \cdot 1,98} = 569 \text{ s} \approx 9,5 \text{ min}$$

✓ **Exemplul 1-21.** Un rezervor cilindric cu diametrul 1 m și înălțimea 2,5 m este umplut cu apă până la înălțimea de 2 m. Orificiul de scurgere de la fund are diametrul 3 cm. Să se determine timpul necesar pentru golirea rezervorului.

Rezolvare. Se folosește formula (1-31):

$$\tau = \frac{2S\sqrt{H}}{\alpha S_0 \sqrt{2g}}$$

în care: S este suprafața secțiunii vasului, în m^2 ;

S_0 — suprafața orificiului, în m^2 ;

H — nivelul inițial al lichidului, în m;

α — coeficientul de debit (pentru orificii cu margini ascuțite se poate lua $\alpha = 0,61$).

Înlocuind valorile date în formulă, se găsește:

$$\tau = \frac{2 \cdot 0,785 \cdot 1^2 \sqrt{2}}{0,61 \cdot 0,785 \cdot 0,03^2 \sqrt{2 \cdot 9,81}} = 1\,180 \text{ s} \approx 20 \text{ min}$$

Exemplul 1-22. Într-o conductă orizontală netedă cu diametrul interior 152 mm curge apă la temperatura 20°C cu viteză medie 1,3 m/s. În conductă este fixată o diafragmă normală cu diametrul orificiului de 83,5 mm. Să se determine valoarea indicată de manometrul diferențial cu mercur (fig. 1-3).

Rezolvare. Debitul de apă:

$$V = Sw = 0,785 \cdot 0,152^2 \cdot 1,3 = 0,0236 \text{ m}^3/\text{s}$$

Criteriul Reynolds:

$$\text{Re} = \frac{wd}{\nu} = \frac{1,3 \cdot 0,152}{1,01 \cdot 10^{-6}} = 195\,000$$

în care: ν este viscozitatea cinematică a apei la 20°C (tabelul XXXIX), în m^2/s .

Se determină coeficientul de debit α , care depinde de valoarea criteriului Re și de valoarea $m = \left(\frac{d_0}{d}\right)^2 = \left(\frac{83,5}{152}\right)^2 \approx 0,3$.

După tabelul XV, în condițiile date, $\alpha \approx 0,635$.

Pornind de la formula (1-32) și luând $k = 1$, se obține:

$$\sqrt{H} = \frac{V}{\alpha S_0 \sqrt{2g \frac{p_M - p}{\rho}}} = \frac{0,0236}{0,635 \cdot 0,785 \cdot 0,0835^2 \sqrt{2 \cdot 9,81 \frac{13\,600 - 1\,000}{1\,000}}} = 0,432$$

de unde: $H = H_M = 0,188 \text{ m} = 188 \text{ mm}$.

Exemplul 1-23. Indicația manometrului diferențial al tubului Pitot-Prandtl (v. fig. 1-4), fixat în axa unei conducte orizontale de aer este 13 mm H_2O . Să se determine debitul de aer, dacă temperatura lui este 40°C , diametrul conductei $159 \times 6 \text{ mm}$, iar înaintea tubului Pitot-Prandtl este o porțiune de conductă dreaptă de 7 m. Aerul se găsește la presiunea atmosferică.

Rezolvare. Densitatea aerului la 40°C este:

$$\rho = 1,293 \frac{273}{313} = 1,13 \text{ kg/m}^3$$

Viteza maximă (din axă) a aerului se determină din ecuația:

$$w_{\max} = \sqrt{\frac{2\Delta p_s}{\rho}} = \sqrt{\frac{2 \cdot 13 \cdot 9,81}{1,13}} = 15,07 \text{ m/s}$$

Acestei viteze îi corespunde o valoare a criteriului Reynolds:

$$\text{Re} = \frac{w_{\max} d \rho}{\eta} = \frac{15,07 \cdot 0,147 \cdot 1,13}{0,019 \cdot 10^{-3}} = 132\,000$$

Lungimea porțiunii drepte de stabilizare a curentului înaintea tubului Pitot-Prandtl nu trebuie să fie mai mică de 40 de diametre: $40 \times 0,147 = 5,9 \text{ m}$. Această condiție este respectată, deoarece porțiunea de conductă dreaptă este de 7 m. Din fig. 1-2, pentru $\text{Re} = 132\,000$ raportul vitezei medii la cea maximă $w/w_{\max} \approx 0,85$.

Viteza medie a curentului:

$$w = 0,85 \cdot 15,07 = 12,8 \text{ m/s}$$

Debitul de aer:

$$V = 0,785 \cdot 0,147^2 \cdot 12,8 = 0,217 \text{ m}^3/\text{s} = 780 \text{ m}^3/\text{h}$$

Exemplul 1-24. Gazele de ardere dintr-o instalație de cuptoare se îndepărtează printr-un coș înalt de 19 m. Compoziția gazelor, în % vol.: CO_2 — 12,7%, O_2 — 4,9%, N_2 — 77,5%, H_2O — 4,9%. Suprafața secțiunii transversale a coșului este egală cu suprafața secțiunii transversale a canalelor de gaze. Temperatura medie a gazelor în canalele de gaze și în

coș este 250°C. Să se găsească viteza gazelor, dacă suma coeficienților de rezistență în canalele de gaze și în coș este :

$$\frac{\lambda_g L_g}{d_{ech}} + \frac{\lambda_c H}{d} + \Sigma \zeta = 27,3$$

în care : λ_g și λ_c sînt coeficienți de frecare ;

- L_g — lungimea canalelor de gaze ;
- d_{ech} — diametrul echivalent al canalelor de gaze ;
- d — diametrul interior al coșului ;
- H — înălțimea coșului ;
- $\Sigma \zeta$ — suma coeficienților rezistențelor locale.

Rezolvare. Densitatea gazului în condiții normale :

$$\rho_0 = \frac{M}{22,4} = \frac{1}{22,4} (44 \cdot 0,127 + 32 \cdot 0,049 + 28 \cdot 0,775 + 18 \cdot 0,049) = 1,328 \text{ kg/m}^3$$

Densitatea gazelor la 250°C :

$$\rho_g = 1,328 \frac{273}{273 + 250} = 0,693 \text{ kg/m}^3$$

Cînd temperatura medie a aerului este 17,5°C (tabelul XV), densitatea aerului este :

$$\rho_a = 1,293 \frac{273}{273 + 17,5} = 1,216 \text{ kg/m}^3$$

După teorema lui Bernoulli, considerînd o secțiune la nivelul canalelor de gaze :

$$p_{bar'} + \frac{\rho_g w^2}{2} = p_{bar''} + \frac{\rho_g w^2}{2} + \rho_g gH + \Delta p_p$$

în care : $p_{bar'}$ este presiunea barometrică la nivelul canalelor orizontale de gaze ;

- $p_{bar''}$ — presiunea barometrică la marginea superioară a coșului ;
- w — viteza gazelor ;
- H — înălțimea coșului ;
- Δp_p — suma pierderilor de presiune (suma rezistențelor din canalele de gaze și coș).

Partea din stînga a ecuației Bernoulli corespunde secțiunii de la începutul canalelor de gaze, iar partea din dreapta — secțiunii de la capătul superior al coșului de fum.

Presiunea barometrică la nivelul canalelor orizontale de gaze :

$$p_{bar'} = p_{bar''} + \rho_a gH$$

Introducînd această valoare în ecuația Bernoulli se obține $\Delta p_p = (\rho_a - \rho_g)gH$

Rezistența canalelor de gaze și a coșului Δp_p poate fi calculată cu ecuația :

$$\Delta p_p = \left(\frac{\lambda_g L}{d_{ech}} + \frac{\lambda_c H}{d} + \Sigma \zeta \right) \frac{\rho_g w^2}{2}$$

Se înlocuiește valoarea sumei coeficienților de rezistență din condiția dată :

$$\Delta p_p = 27,3 \frac{\rho_g w^2}{2}$$

Prin urmare :

$$27,3 \frac{\rho_g w^2}{2} = (\rho_a - \rho_g)gH$$

Se înlocuiesc valorile numerice :

$$27,3 \frac{0,693 w^2}{2} = (1,216 - 0,693)9,81 \cdot 19$$

din care se găsește viteza gazelor în canalele de gaze și în coș în condițiile date : $w = 3,2 \text{ m/s}$.

În mod analog se pot calcula și alte viteze ale gazelor în alte condiții de temperatură, conform datelor din tabelul XV.

Exemplul 1-25. Să se determine pierderea de presiune prin frecare într-o serpentină (fig. 1-61) prin care circulă apă cu viteza 1 m/s. Serpentina este confecționată dintr-o țevă de oțel, avînd diametrul 43×2,5 mm. Diametrul spirei serpentinei este 1 m. Serpentina are 10 spire. Temperatura medie a apei este 30°C.

Rezolvare. Pierderea de presiune prin frecare se află cu formula (1-36) valabilă pentru conducte drepte. Rezultatul obținut se înmulțește cu factorul de corecție pentru serpentină, calculat cu formula (1-46). În prealabil se determină regimul de curgere. Viscositatea apei la 30°C este 0,8 cP (tabelul VI). Se calculează criteriul Re :

$$Re = \frac{wd\rho}{\eta} = \frac{1 \cdot 0,038 \cdot 1000}{0,8 \cdot 10^{-3}} = 47500$$

Pentru o țevă trasă de oțel cu coroziune neînsemnată se consideră $e = 0,2 \text{ mm}$ (tabelul XII). În acest caz $\frac{d_{ech}}{e} = \frac{380}{2} = 190$.

Din graficul (fig. 1-5), pentru $Re = 47500$ și $d_{ech}/e = 190$ se găsește $\lambda = 0,0316$.

Lungimea serpentinei este aproximativ egală cu :

$$L = \pi Dn = 3,14 \cdot 1 \cdot 10 = 31,4 \text{ mm}.$$

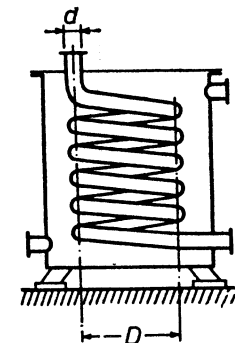


Fig. 1-16. Schița la exemplul 1-25.

Pierdere de presiune prin conducta dreaptă, prin frecare, este :

$$\Delta p_p = \lambda \frac{L}{d} \frac{w^2}{2} \rho = 0,0316 \frac{31,4}{0,038} \frac{1\,000 \cdot 1^2}{2} = 13\,100 \text{ Pa}$$

Din formula (1-46) se află coeficientul de corecție :

$$x = 1 + 3,54 \frac{d}{D} = 1 + 3,54 \frac{0,038}{1} = 1,134$$

Deci, pentru serpentină :

$$\Delta p_{serp} = \Delta p_{cond} \cdot x = 13\,100 \cdot 1,134 = 14\,800 \text{ Pa} = 1\,510 \text{ mm H}_2\text{O}$$

Exemplul 1-26. 30 t/h nitrobenzen la 20°C sînt transvazate cu o pompă dintr-un rezervor la presiune atmosferică într-un reactor, unde se menține o suprapresiune de 0,1 at (fig. 1-17). Conducta, din țevă de oțel cu diametru 89×4 mm, are o coroziune neînsemnată. Lungimea întregii conducte, inclusiv rezistențele locale, are 45 m. Pe conductă sînt fixate : o diafragmă ($d_0 = 51,3 \text{ mm}$), două vane și 4 curbe de 90° cu raza de curbura $R_0 = 160 \text{ mm}$. Înălțimea de ridicare a lichidului 15 m. Să se găsească puterea consumată de pompă, admitînd randamentul total al acesteia egal cu 0,65.

Rezolvare. Debitul masic al nitrobenzenului :

$$M = \frac{30\,000}{3\,600} = 8,34 \text{ kg/s}$$

Debitul volumic :

$$V = \frac{M}{\rho} = \frac{8,34}{1\,200} = 0,00695 \text{ m}^3/\text{s}$$

În care $\rho = 1\,200 \text{ kg/m}^3$ este densitatea nitrobenzenului (tabelul III).

Viteza nitrobenzenului :

$$w = \frac{V}{S} = \frac{0,00695}{0,785 \cdot 0,081^2} = 1,35 \text{ m/s}$$

Criteriul Reynolds :

$$Re = \frac{wd\rho}{\eta} = \frac{1,35 \cdot 0,081 \cdot 1\,200}{2,1 \cdot 10^{-3}} = 62\,500$$

În care η este viscozitatea nitrobenzenului (fig. V).

Se determină coeficientul de frecare. Din tabelul XII, valoarea rugozității pentru țevi de oțel cu coroziune neînsemnată $e = 0,2 \text{ mm}$. Din fig. 1-5, pentru

$\frac{d}{e} = \frac{0,081}{0,0002} = 405$ și $Re = 62\,500$ se găsește $\lambda = 0,0257$.

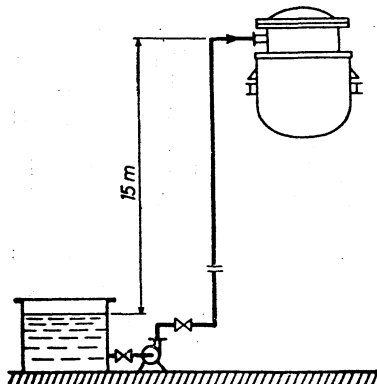


Fig. 1-17. Schița la exemplul 1-26.

Coeficienții rezistențelor locale, luați din tabelul XIII, sînt :

Rezistența locală	ζ
Intrarea lichidului din rezervor în conductă (țevă cu margini ascuțite) . . .	0,5
Diafragmă cu $\left[m = \left(\frac{51,3}{81} \right)^2 = 0,4 \right]$	8,25
Vană ($\zeta = 0,5$)	$2 \cdot 0,5 = 1,0$
Cură (cu $\varphi = 90^\circ$ și $\frac{R_0}{d} = \frac{160}{81} \approx 2$) : $\zeta = AB = 1 \cdot 0,15 = 0,15$	$4 \cdot 0,15 = 0,6$
	10,35

Rezistența hidraulică totală a conductei (rețelei) din ecuația (1-49) :

$$\begin{aligned} \Delta p &= \frac{\rho w^2}{2} \left(1 + \frac{\lambda L}{d} + \sum \zeta \right) + \rho g h_r + \Delta p_{st} = \\ &= \frac{1\,200 \cdot 1,35^2}{2} \left(1 + \frac{0,0257 \cdot 45}{0,081} + 10,35 \right) + 1\,200 \cdot 9,81 \cdot 15 + \\ &\quad + 0,1 \cdot 9,81 \cdot 10^4 = 215\,000 \text{ Pa.} \end{aligned}$$

Puterea consumată de pompă din ecuația (1-33) :

$$P = \frac{V \Delta p}{1\,000 \eta} = \frac{0,00695 \cdot 215\,000}{1\,000 \cdot 0,65} = 2,3 \text{ kW}$$

Exemplul 1-27. Un ventilator introduce aer de 50°C într-o instalație unde există o suprapresiune de 35 mm H₂O. Conducta este confecționată din țevă de oțel cu diametrul 102×6 mm cu coroziune neînsemnată. Lungimea conductei, incluzînd rezistențele locale, este de 70 m. Pe conductă sînt fixate : o diafragmă ($d_0 = 49,3 \text{ mm}$), două vane și patru curbe de 90° cu raza de curbura 300 mm. Electromotorul ventilatorului folosește o putere de 1,35 kW ; randamentul electromotorului $\eta_e = 0,95$. Indicația manometrului diferențial, legat de diafragmă, 400 mm. Să se determine randamentul ventilatorului.

Rezolvare. Densitatea aerului la 50°C :

$$\rho = \rho_0 \frac{T_0}{T} = 1,293 \frac{273}{328} = 1,09 \text{ kg/m}^3$$

Coeficientul de debit al diafragmei se determină din tabelul XV. La $m = \left(\frac{49,3}{90} \right)^2 = 0,3$ se admite valoarea medie $\alpha \approx 0,64$.

Debitul de aer din formula (1-32), la $k = 1$ (tabelul XVI) :

$$\begin{aligned} V &= \alpha S_0 \sqrt{2gH \frac{\rho_m - \rho}{\rho}} = \\ &= 0,64 \cdot 0,785 \cdot 0,0493^2 \sqrt{2 \cdot 9,81 \cdot 0,4 \frac{988 - 1,09}{1,09}} = 0,103 \text{ m}^3/\text{s} \end{aligned}$$

Viteza aerului în conductă :

$$w = \frac{v}{0,785 d^2} = \frac{0,103}{0,785 \cdot 0,09^2} = 16,2 \text{ m/s}$$

Criteriul Reynolds, determinat cu diametrul coloanei :

$$Re = \frac{wd\rho}{\eta} = \frac{16,2 \cdot 0,09 \cdot 1,09}{0,0196 \cdot 10^{-3}} = 81\,000$$

Viscozitatea aerului $\eta = 0,0196 \cdot 10^{-3} \text{ Pa}\cdot\text{s}$ s-a determinat din fig. VI.

Se verifică valoarea admisă α . Din tabelul XV pentru $m = 0,3$ și $Re = 81\,000$ se află $\alpha = 0,637$, ceea ce practic coincide cu valoarea admisă.

Se determină coeficientul de frecare. Din tabelul XII, rugozitatea medie pentru țevi de oțel cu coroziune neînsemnată $e = 0,2 \text{ mm}$. Din figura 1-5 pentru $\frac{d}{e} = 450$ și $Re = 81\,000$ se găsește $\lambda \approx 0,025$.

Coeficienții rezistențelor locale, luați din tabelul XIII, sînt trecuți în tabel :

Rezistența locală	ζ
Intrarea aerului în conductă (țeavă cu marginile rotunjite)	0,2
Diafragmă ($m = 0,3$)	18,2
Vană ($\zeta = 0,5$)	$2 \cdot 0,5 = 1,0$
Curbe (cu $\varphi = 90^\circ$ și $\frac{R_0}{d} = \frac{300}{90} = 3,3$)	$4 \cdot 0,13 = 0,52$
$\zeta = \Delta B = 1 \cdot 0,13 = 0,13$	$\sim 20,0$

Rezistența hidraulică totală a conductei (rețelei) :

$$\Delta p = \frac{\rho w^2}{2} \left(1 + \frac{\lambda L}{d} + \Sigma \zeta \right) + \Delta p_{st} =$$

$$= \frac{1,09 \cdot 16,2^2}{2} \left(1 + \frac{0,025 \cdot 70}{0,09} + 20 \right) + 35 \cdot 9,81 = 6\,030 \text{ Pa}$$

Randamentul ventilatorului :

$$\eta_{vent} = \frac{V \Delta p}{1\,000 \eta_e P} = \frac{0,103 \cdot 6\,030}{1\,000 \cdot 0,95 \cdot 1,35} \approx 0,48$$

Exemplul 1-28. Un lichid cu densitatea $1\,200 \text{ kg/m}^3$ și viscozitatea 2 cP curge liber din rezervorul cu nivel constant 1 în reactorul 2 (fig. 1-18). Să se determine care este cantitatea maximă de lichid (cînd robinetul este deschis complet) care poate curge din rezervor în reactor. Nivelul lichidului în rezervor se găsește cu 6 m mai sus decît nivelul lichidului în reactor. Conducta este executată din țevi de aluminiu cu diametrul interior 50 mm . Lungimea totală a conductei, incluzînd rezistențele locale, este $16,4 \text{ m}$. Pe

conductă se găsesc 3 coturi și un robinet pentru probe. Presiunea în rezervor și în reactor este cea atmosferică.

Rezolvare. Scriem ecuația Bernoulli pentru regim staționar al curentului de lichid, admițînd prima secțiune la nivelul lichidului din rezervor iar a doua la capătul conductei la intrarea curentului în reactor.

$$h_1 + \frac{p_1}{\rho g} + \frac{w_1^2}{2g} - h_p = h_2 + \frac{p_2}{\rho g} + \frac{w_2^2}{2g}$$

Deoarece $p_1 = p_2$ și $w_1 \ll w_2$, atunci

$$h_1 - h_2 = \frac{w_2^2}{2g} + h_p = \frac{w_2^2}{2g} + h_{fr} + h_{rl}$$

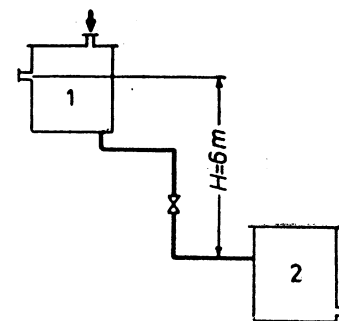


Fig. 1-18. Schița la exemplul 1-28.

sau

$$H\rho g = \frac{w^2 \rho}{2} \left(1 + \frac{\lambda L}{d} + \Sigma \zeta \right) \quad (a)$$

Presiunea hidrostatică se consumă pentru învingerea tuturor rezistențelor conductei.

În această ecuație sînt două mărimi necunoscute, w și λ .

Rezolvarea poate fi aflată prin metoda aproximațiilor succesive.

Din tabelul XII se ia, pentru țevile de aluminiu netede, rugozitatea $e = 0,06$. În acest caz $\frac{d}{e} = \frac{50}{0,06} = 840$. Se admite, cu verificare ulterioară, valoarea $\lambda = 0,022$.

Coeficienții rezistențelor locale, luați din tabelul XIII, sînt transpuși în tabel :

Rezistența locală	ζ
Intrarea lichidului în conductă	0,5
Robinet pentru probe	2,0
Cot ($\zeta = 1,1$)	$3 \cdot 1,1 = 3,3$
	<u>5,8</u>

Ecuația inițială (a) ia forma :

$$6 \cdot 1\,200 \cdot 9,81 = \frac{1\,200 w^2}{2} \left(1 + \frac{0,022 \cdot 16,4}{0,05} + 5,8 \right)$$

de unde $w = 2,9 \text{ m/s}$.

Debitul maxim de lichid (cînd robinetul este complet deschis) :

$$V = Sw = 2,9 \cdot 0,785 \cdot 0,05^2 = 0,0057 \text{ m}^3/\text{s} = 20,5 \text{ m}^3/\text{h}.$$

Se precizează valoarea lui λ . Criteriul $Re = \frac{wd\rho}{\eta} = \frac{2,9 \cdot 0,05 \cdot 1\,200}{2 \cdot 10^{-3}} = 87\,000$.

Din figura 1-5. pentru $Re = 87\,000$ și $\frac{d}{e} = 840$ se află $\lambda = 0,022$, ceea ce coincide cu valoarea admisă.

Exemplul 1-29. Printr-o conductă cu diametrul 108×4 mm se pompează 40 000 l/h ulei mineral într-un rezervor situat la înălțimea de 20 m. Lungimea porțiunii orizontale a conductei este 430 m.

Să se calculeze puterea necesară a pompei, dacă transportul se face: a) la 15°C și b) la 50°C. La aceste temperaturi densitatea relativă a uleiului este, respectiv, 0,96 și 0,89, iar viscozitatea 3,430 și 0,187 Pa·s.

Să se arate dacă este economic să se încălzească uleiul la 50°C înainte de pompare, știind că un kWh costă 40 bani iar o tonă de abur rezidual ($p = 1$ at) costă 20 lei, iar randamentul total al instalației de pompare este 0,5.

Rezolvare. Viteza uleiului:

$$w = \frac{40}{0,785 \cdot 0,1^2 \cdot 3\,600} = 1,414 \text{ m/s}$$

Criteriul Reynolds:

$$\text{la } 15^\circ\text{C } Re = \frac{0,1 \cdot 1,414 \cdot 960}{3,43} = 39$$

$$\text{la } 50^\circ\text{C } Re = \frac{0,1 \cdot 1,414 \cdot 890}{0,187} = 670$$

Deci în ambele cazuri regimul este laminar.

Pierderea de presiune prin frecare se determină cu formula (1-39):

$$\text{la } 15^\circ\text{C } \Delta p_{fr} = \frac{32(430 + 20)1,414 \cdot 3,43}{0,1^5} = 7\,010\,000 \text{ Pa sau } 71,5 \text{ at}$$

$$\text{la } 50^\circ\text{C } \Delta p_{fr} = 7\,010\,000 \frac{0,187}{3,43} = 383\,000 \text{ Pa sau } 3,9 \text{ at.}$$

Presiunea pentru ridicarea lichidului se determină cu formula (1-34):

$$\text{la } 15^\circ\text{C } \Delta p_r = 20 \cdot 960 \cdot 9,81 = 188\,400 \text{ Pa sau } 1,92 \text{ at}$$

$$\text{la } 50^\circ\text{C } \Delta p_r = 20 \cdot 890 \cdot 9,81 = 174\,600 \text{ Pa sau } 1,78 \text{ at}$$

Presiunea necesară pentru crearea vitezei, formula (1-35):

$$\Delta p_a = \frac{960 \cdot 1,414^2}{2} = 960 \text{ Pa}$$

În cazul dat, această valoare, ca și pierderile de presiune datorate rezistențelor locale, se pot neglija.

Puterea necesară, calculată cu formula (1-33), va fi:

$$\text{la } 15^\circ\text{C } P = \frac{40(7\,010\,000 + 188\,400)}{3\,600 \cdot 1\,000 \cdot 0,5} = 160 \text{ kW}$$

$$\text{la } 50^\circ\text{C } P = \frac{40(383\,000 + 174\,600)}{3\,600 \cdot 1\,000 \cdot 0,5} = 12,3 \text{ kW}$$

Deci la pomparea uleiului rece este necesar un consum suplimentar de putere de $160 - 12,3 = 147,7 \text{ kW}$.

În condițiile problemei costul energiei electrice suplimentare pentru pompare va fi:

$$147,7 \cdot 0,40 = 59 \text{ lei/h.}$$

Consumul de căldură pentru încălzirea uleiului de la 15 la 50°C, căldura specifică a acestuia fiind $c = 1,68 \cdot 10^3 \text{ J/kg} \cdot \text{K}$, va fi:

$$Q = \frac{40 \cdot 960 \cdot 1,68 \cdot 10^3 (50 - 15)}{3\,600} = 625\,000 \text{ W}$$

Căldura de condensare a aburului rezidual ($p = 1$ at):

$$r = 2\,260 \cdot 10^3 \text{ J/kg}$$

Consumul de abur pentru încălzirea uleiului va fi:

$$D = \frac{Q}{r} = \frac{625\,000}{2\,260 \cdot 10^3} = 0,276 \text{ kg/s} \approx 1\,000 \text{ kg/h}$$

Costul unei tone de abur este 20 lei. Deci, încălzirea prealabilă a uleiului înainte de pompare, la costul aburului și energiei electrice menționate, este convenabilă și prin urmare recomandabilă.

Exemplul 1-30. Să se deducă formula generală de calcul a coeficientului de frecare în țevi, pe baza următoarelor date experimentale:

a) la pomparea țiteiului cu densitatea relativă 0,9 printr-o conductă de oțel cu diametrul interior 300 mm s-au obținut pe porțiunea de conductă dreaptă, cu lungimea 13 m, următoarele valori pentru pierderile de presiune, în funcție de viteza țiteiului:

Viteza, m/s: 0,85; 1,21; 1,54; 1,91; 2,32

Pierderea de presiune, Pa: 738; 1 300; 2 060; 3 020; 4 050

b) se cunosc, de asemenea, date experimentale pentru apă pompată printr-o conductă dreaptă de oțel cu diametrul interior 60 mm și lungimea 24 m:

Viteza, m/s	Pierderea de presiune, Pa
0,11	105
0,16	201
0,22	238
0,26	455

Rezolvare. Se calculează valoarea coeficientului de frecare λ pentru țitei și pentru apă cu formula (1-36).

Se determină întâi valorile mărimilor constante, folosind datele experiențelor efectuate:

$$A = \frac{L \cdot \rho}{2d}$$

$$\text{Pentru țitei: } A = \frac{13 \cdot 900}{2 \cdot 0,3} = 19\,500$$

$$\text{Pentru apă: } A = \frac{24 \cdot 1\,000}{2 \cdot 0,06} = 200\,000$$

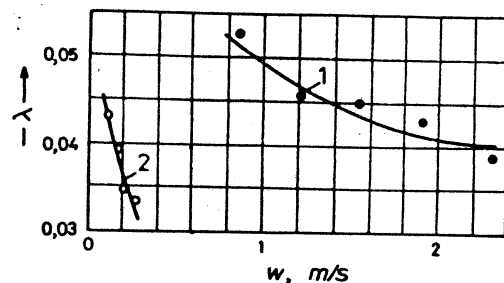


Fig. 1-19. Schița la exemplul 1-30.

Tabelul 1-3

Lichidul	w , m/s	w^3 , m ³ /s ³	p , Pa	$\lambda = \frac{\Delta p}{\Delta w^3}$
Țiței	0,85	0,723	738	0,0522
	1,21	1,46	1 300	0,0458
	1,54	2,37	2 060	0,0445
	1,91	3,65	3 020	0,0424
	2,32	5,38	4 050	0,0386
Apă	0,11	0,0121	105	0,0433
	0,16	0,0256	201	0,0392
	0,22	0,0484	238	0,0348
	0,26	0,0676	455	0,0337

fiecare din ele fiind valabilă numai pentru condițiile în care a fost obținută. Astfel, de exemplu, ultima formulă se poate folosi numai pentru calculul coeficientului de frecare al apei, care curge printr-o conductă cu diametrul interior de 60 mm și cu o viteză cuprinsă între 0,1 și 0,3 m/s, la aceeași temperatură la care s-au făcut experiențele.

Obținerea pe baza datelor experimentale pentru țiței și apă a unor formule generale de calcul, aplicabilă nu numai la țiței și apă, ci și pentru alte lichide cu viteze, diametre ale conductelor și temperaturi diferite, este posibilă numai cu ajutorul teoriei similitudinii.

Pentru pierderea de presiune prin frecare în conducte, teoria similitudinii exprimă relația (1-37) în forma criterială:

$$Eu = \varphi(Re, \Gamma)$$

Astfel, pentru conducte cu o anumită rugozitate a pereților, în domeniul curgerii turbulente (până la automodelare), coeficientul de frecare λ depinde numai de mărimea criteriului $Re - v$. ecuațiile (1-38, 1-40, 1-42):

$$\lambda = f(Re)$$

Restul calcului este dat în tabelul 1-3.

Din tabelul 1-3 rezultă că valoarea coeficientului de frecare λ scade cu creșterea vitezei lichidului.

Dacă se reprezintă grafic variația coeficientului de frecare în funcție de viteză (fig. 1-19), se obțin două curbe diferite.

Într-o diagramă logaritmică, adică în coordonate $\lg w - \lg \lambda$, se obțin două drepte ale căror ecuații aproximative sînt:

pentru țiței

$$\lg \lambda = -1,31 - 0,25 \lg w$$

$$\text{sau } \lambda = 0,049w^{-0,25}$$

pentru apă

$$\lg \lambda = -1,65 - 0,31 \lg w$$

$$\text{sau } \lambda = 0,0224w^{-0,31}$$

În felul acesta se obțin două formule empirice diferite,

Exemple

Prin urmare pentru obținerea unei formule generale, trebuie să se determine variația coeficientului de frecare nu în funcție de viteză, așa cum s-a făcut anterior, ci în funcție de mărimea criteriului Re .

Valoarea viscozității cinematice a țițeiului și apei, în cazul experiențelor efectuate, a fost:

— pentru țiței

$$\nu = 0,8 \cdot 10^{-4} \text{ m}^2/\text{s}$$

— pentru apă

$$\nu = 10^{-6} \text{ m}^2/\text{s}$$

Dacă se construiește diagrama variației lui λ în funcție de Re , se obține o singură curbă pe care se găsesc toate punctele pentru țiței și apă.

În coordonate logaritmice se obține o dreaptă (fig. 1-20). Pe acest grafic, pentru economie de spațiu, pe axa absciselor sînt trecute mărimile $x = \lg Re - 3,5$, iar pe axa ordonatei $y = -\lg \lambda + 2$.

În tabelul 1-4 sînt date valorile pentru Re și λ , calculate pe baza datelor experimentale.

Ecuația dreptei obținute este:

$$y = -0,254x + 0,71$$

sau

$$\lg \lambda + 2 = -0,254(\lg Re - 3,5) + 0,71$$

$$\lg \lambda = -0,254 \lg Re - 0,4$$

de unde:

$$\lambda = \frac{0,398}{Re^{0,254}}$$

Formula obținută reprezintă o relație generală, care poate fi utilizată pentru calculul coeficientului de frecare în conducte, nu numai pentru țiței și apă, ci și pentru oricare alte lichide, în limitele criteriului Re de la 3 000 la 16 000. Mai trebuie de menționat că această formulă este aplicabilă numai pentru conducte a căror rugozitate relativă a pereților este identică cu a celor utilizate în încercări.

Tabelul 1-4

Lichidul	w , m/s	$Re = \frac{wd}{\nu}$	λ	$\lg Re$	$\lg \lambda$
Țiței	0,85	3 190	0,0522	3,50	2,72
	1,21	4 530	0,0458	3,66	2,66
	1,54	5 780	0,0445	3,76	2,65
	1,91	7 160	0,0424	3,85	2,63
Apă	2,32	8 700	0,0386	3,94	2,59
	0,11	6 600	0,0438	3,82	2,64
	0,16	9 600	0,0392	3,98	2,59
	0,22	13 200	0,0348	4,12	2,54
	0,26	15 600	0,0337	4,19	2,53

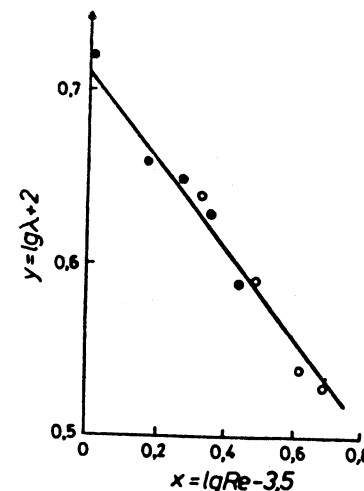


Fig. 1-20. Schița la exemplul 1-30.

Pentru că datele experimentale se înșiră pe o dreaptă (fig. 1-20), se poate considera că rugozitatea relativă a pereților $\frac{\epsilon}{d}$ în experiențele cu țitei și apă a fost aceeași.

Această rugozitate relativă se poate afla dacă pe graficele (fig. 1-5 sau 1-6) se trec datele experimentale din tabelele 1-3 și 1-4, reprezentate sub forma:

$$\lambda = f(\text{Re}) \text{ sau } \frac{Eu}{\Gamma} = f(\text{Re}).$$

Exemplul 1-31. Pentru studiul experimental al unui proces de fabricație în condiții de laborator, s-a construit un model geometric la scară 1:10 a aparatului industrial. În aparatul industrial mediul de lucru este aerul fierbinte ($t = 100^\circ\text{C}$) la presiunea atmosferică, care circulă cu o viteză de 3 m/s. În modelul de laborator s-a ales ca mediu de lucru aer la presiunea atmosferică și la temperatura de 22°C .

Este posibilă obținerea în aceste condiții a similitudinii hidrodinamice totale între aparatul industrial și model și care trebuie să fie, în acest caz, viteza aerului în model?

Rezolvare. Pentru respectarea similitudinii hidrodinamice în aceleași condiții limită similare, este necesar ca valoarea numerică a criteriilor Reynolds și Froude (criteriul Euler în acest caz nu este determinant) să fie aceeași în model și în aparatul industrial, adică:

$$\text{Re}_1 = \text{Re}_2; \frac{w_1 l_1 \rho_1}{\eta_1} = \frac{w_2 l_2 \rho_2}{\eta_2} \quad (\text{a})$$

$$\text{Fr}_1 = \text{Fr}_2; \frac{w_1^2}{gl_1} = \frac{w_2^2}{gl_2} \quad (\text{b})$$

În aceste condiții indicele „1” se referă la aparatul industrial, iar indicele „2” la model.

În condițiile problemei:

$$w_1 = 3 \text{ m/s}; l_2 = 0,1 \cdot l_1$$

$$\rho_1 = 1,293 \frac{273}{373} = 0,945 \text{ kg/m}^3; \rho_2 = 1,293 \frac{273}{295} = 1,19 \text{ kg/m}^3$$

$$\eta_1 = 0,0215 \text{ cP}; \eta_2 = 0,0185 \text{ cP}$$

Înlocuind aceste valori în ecuația (a), se găsește:

$$\frac{3 \cdot 0,945}{0,0215} = \frac{w_2 \cdot 0,1 \cdot 1,19}{0,0185}$$

de unde:

$$w_2 = \frac{3 \cdot 0,945 \cdot 0,0185}{0,1 \cdot 0,0215 \cdot 1,19} = 20,5 \text{ m/s}$$

Prin înlocuire în ecuația (b):

$$\frac{3^2}{l_1} = \frac{w_2^2}{0,1 \cdot l_1}$$

de unde $w_2 = \sqrt{0,9} = 0,946 \text{ m/s}$.

Rezultatele obținute arată că nu este posibilă respectarea similitudinii hidrodinamice totale, adică respectarea concomitentă a similitudinii forțelor de frecare și forțelor gravitației. Trebuie deci să se aibă în vedere o reproducere aproximativă a procesului, așa cum de altfel se întâmplă în majoritatea cazurilor în practică, adică respectarea unei singure condiții (fie $\text{Re} = \text{idem}$, fie $\text{Fr} = \text{idem}$), în funcție de importanța mai mare a uneia dintre aceste condiții. Dacă, de exemplu, pierderile de presiune prin frecare au în cazul de față o importanță mai mare, adică trebuie respectat criteriul Re , viteza aerului în model trebuie să fie 20,5 m/s.

În cele ce urmează se explică în ce condiții se poate obține simultan similitudinea forțelor de frecare și a forțelor gravitației în model și în aparatul industrial.

Din condiția $\text{Re} = \text{idem}$, adică $\frac{w_1 l_1}{\nu_1} = \frac{w_2 l_2}{\nu_2}$, în care ν este viscozitatea cinematică, rezultă:

$$\frac{w_1}{w_2} = \frac{\nu_1 l_2}{\nu_2 l_1}$$

Din condiția $\text{Fr} = \text{idem}$, adică $\frac{w_1^2}{gl_1} = \frac{w_2^2}{gl_2}$ se găsește:

$$\frac{w_1}{w_2} = \left(\frac{l_1}{l_2}\right)^{1/2}$$

Ambele condiții ($\text{Re} = \text{idem}$ și $\text{Fr} = \text{idem}$) vor fi îndeplinite, dacă:

$$\frac{\nu_1 l_2}{\nu_2 l_1} = \left(\frac{l_1}{l_2}\right)^{1/2}, \text{ adică } \frac{\nu_1}{\nu_2} = \left(\frac{l_1}{l_2}\right)^{3/2}$$

Ultima egalitate exprimă condiția necesară a similitudinii concomitente a forțelor de frecare și ale gravitației.

Exemplul 1-32. Să se afle diametrul unei conducte cu o lungime de 1 000 m, prin care se transportă 120 kg/h hidrogen, dacă se admite o pierdere de presiune $\Delta p = 110 \text{ mm H}_2\text{O}$. Densitatea hidrogenului este $0,0825 \text{ kg/m}^3$. Coeficientul de frecare $\lambda = 0,03$.

Rezolvare. În conductele magistrale lungi presiunea gazului se consumă mai ales pentru învingerea frecării, de aceea se egalează pierderea de presiune admisibilă cu pierderea de presiune prin frecare $\Delta p = \Delta p_{fr}$.

Deoarece viteza curentului este o mărime necunoscută, aceasta se exprimă în funcție de debitul volumic V și de diametrul căutat și expresia obținută se înlocuiește apoi în ecuația (1-36):

$$w = \frac{V}{0,785d^2}$$

Atunci :

$$\Delta p = \lambda \frac{L}{d} \frac{V^2 \rho}{2 \cdot 0,785 \cdot d^4}$$

Rezolvind această ecuație în raport cu diametrul, se obține :

$$d = C \sqrt[5]{\frac{LV^2 \rho}{\Delta p}}$$

în care :

$$C = \sqrt[5]{\frac{\lambda}{0,785 \cdot 2}} = \sqrt[5]{\frac{0,03}{0,785 \cdot 2}} = 0,48$$

Debitul volumic pe secundă de hidrogen este :

$$V = \frac{120}{0,0825 \cdot 3600} = 0,405 \text{ m}^3/\text{s}$$

Deoarece $\Delta p = 110 \cdot 9,81 = 1080 \text{ Pa}$, rezultă :

$$d = 0,48 \sqrt[5]{\frac{0,0825 \cdot 0,405^2 \cdot 1000}{1080}} = 0,2 \text{ m}$$

Exemplul 1-33. Să se determine presiunea inițială necesară pentru transportul unui gaz printr-o conductă la o distanță de 100 km în următoarele condiții : debitul gazului 5 000 kg/h, densitatea gazului 0,65 kg/m³ (în condiții normale), temperatura medie a gazului 18°C, diametrul conductei 0,3 m, coeficientul de frecare $\lambda = 0,0253$. Presiunea gazului la ieșirea din conductă trebuie să fie 1,5 at.

Rezolvare. Ca și în exemplul precedent, se consideră că pierderile de presiune din conductă se datoresc numai frecării. În cazul conductelor lungi de gaze, pentru determinarea pierderilor de presiune prin frecare, se integrează forma diferențială a formulei (1-36) (semnul minus arată că presiunea scade cu creșterea lungimii conductei), pentru că variază densitatea și viteza în lungul conductei :

$$-dp = \frac{\lambda}{d} \frac{\rho w^2}{2} dl$$

în care densitatea ρ și viteza w sînt funcții de presiunea gazului, care se micșorează pe măsură ce gazul se deplasează în conductă. Dar produsul ρw , adică viteza masică a curenților, rămîne constant pe toată lungimea conductei.

Se exprimă ρ și w prin caracteristicile respective ale gazului în condiții normale :

$$\rho = \rho_0 \frac{p T_0}{p_0 T}, \quad w = w_0 \frac{p_0 T}{p T_0}$$

și înlocuind aceste mărimi în ecuația pentru pierderea de presiune, rezultă :

$$-dp = \frac{\lambda}{2d} \frac{\rho_0 p T_0}{p_0 T} \frac{w_0^2 p_0^2 T^2}{p^2 T_0^2} dl$$

Exemple

Considerînd că temperatura T este constantă pe toată lungimea conductei și introducînd toate mărimile constante (coeficientul de frecare λ este constant pe lungimea conductei, la fel ca și criteriul Re, întrucît $w\rho = w_0\rho_0 = \text{const.}$) într-un termen general :

$$C = \frac{\lambda \rho_0 w_0^2 p_0 T}{2dT_0}$$

ecuația diferențială capătă forma :

$$-pdp = CdL$$

Integrînd această ecuație în limitele respective :

$$-\int_{p_n}^{p_{fin}} pdp = C \int_0^L dL$$

se obține :

$$\frac{1}{2} (p_{in}^2 - p_{fin}^2) = CL$$

sau

$$p_{in}^2 - p_{fin}^2 = 2CL$$

În condițiile problemei, viteza gazului, la 0°C și 760 mm Hg, este .

$$w_0 = \frac{5000}{0,65 \cdot 3600 \cdot 0,785 \cdot 0,3^2} = 30 \text{ m/s.}$$

Prin urmare :

$$C = \frac{0,0253 \cdot 0,65 \cdot 30^2 \cdot 101300 \cdot 291}{2 \cdot 0,3 \cdot 273} = 266 \cdot 10^4$$

Înlocuind mărimile date și aflate în ecuația obținută, se găsește :

$$p_{in}^2 - (14,7 \cdot 10^4)^2 = 2 \cdot 266 \cdot 10^4 \cdot 10^5$$

Efectuînd calculele se găsește că presiunea inițială a gazului în rețea trebuie să fie :

$$p_{in} = 71 \cdot 10^4 \text{ Pa sau } 7,3 \text{ ata}$$

Exemplul 1-34. Să se determine diametrul util cel mai economic al unei conducte de gaz, care să transporte 6 000 m³/h (considerați în condiții normale) metan la o distanță de 4 km. Randamentul suflantei și al motorului electric este 0,5. Costul a 1 kWh este 40 bani, iar amortizarea conductei este 24 lei pe an pe 1 m lungime și 1 m diametru. Costul reparației (exploatarei) conductei este 18 lei pe an pe 1 m lungime și 1 m diametru.

Rezolvare. Se consideră cu aproximație $\lambda = 0,03$ și pierderile prin rezistențe locale 10% din totalul pierderilor prin frecare.

Calculul se conduce pentru temperatura convențională de 30°C, C, admițînd, cu verificare ulterioară, că scăderea presiunii în conductă este neînsemnată și presiunea medie aproximativ egală cu cea atmosferică.

Debitul volumic al metanului :

$$V = \frac{6\,000 \cdot 303}{3\,600 \cdot 273} = 1,85 \text{ m}^3/\text{s}$$

iar viteza :

$$w = \frac{V}{0,785d^2} = \frac{1,85}{0,785d^2} = \frac{2,36}{d^2} \text{ m/s}$$

Dacă în formula (1-34) se neglijează presiunea consumată pentru a imprima curentului de gaz viteza necesară, pentru o conductă orizontală de gaz la care $\Delta p_{st} = 0$, se obține :

$$\Delta p = \Delta p_{fr} + \Delta p_{rt} = 1,1\Delta p_{fr}$$

adică :

$$\Delta p = \frac{1,1 \lambda L w^2 \rho}{d \cdot 2} = \frac{1,1 \cdot 0,03 \cdot 4\,000 \cdot 2,36^2 \cdot 0,64}{d \cdot 2d^4} = \frac{235}{d^5} \text{ Pa}$$

în care densitatea metanului este :

$$\rho = \frac{16 \cdot 273}{22,4 \cdot 303} = 0,64 \text{ kg/m}^3$$

Luind în considerare admiterile făcute, se calculează puterea consumată de agregat la $\Delta p < 0,1$ at folosind formula (1-33) :

$$P = \frac{V \Delta p}{1\,000 \eta} = \frac{1,85 \cdot 235}{1\,000 \cdot 0,5d^4} = \frac{0,87}{d^4} \text{ kW}$$

1 kW/an costă $0,40 \cdot 24 \cdot 330 = 3\,160$ lei, considerind 330 zile lucrătoare pe an.

Prin urmare, costul anual al energiei electrice, în funcție de diametrul conductei, se poate exprima prin formula :

$$E = \frac{0,87 \cdot 3\,160}{d^4} = \frac{2\,750}{d^4} \text{ lei/an}$$

În mod analog se exprimă costul anual al amortizării conductei :

$$A = 24Ld = 24 \cdot 4\,000d = 96\,000d \text{ lei/an}$$

Costul reparației (exploatării) conductei va fi :

$$R = 18Ld = 72\,000d \text{ lei/an}$$

Costul anual total, în funcție de diametru, se exprimă prin ecuația :

$$E + A + R = \frac{2\,750}{d^4} + 168\,000d \text{ lei/an}$$

Pentru găsirea diametrului minim al conductei se egalează cu zero derivata ecuației :

$$\frac{\partial}{\partial d} (E + A + R) = -5 \cdot 2\,750d^{-5} + 168\,000 = 0$$

A doua derivată este pozitivă.

Din ultima ecuație se obține :

$$d = 0,66 \text{ m}$$

Această valoare a diametrului reprezintă soluția economică optimă pentru transportul gazului metan.

Se verifică pierderea de presiune în conductă cu diametrul 0,66 m :

$$\Delta p = \frac{235}{d^5} = \frac{235}{0,63^5} = 1\,890 \text{ Pa sau } 0,0193 \text{ at,}$$

adică mai puțin de 0,1 at, așa cum s-a admis inițial.

Exemplul 1-35. La calculul termic al schimbătorului de căldură pentru încălzirea unei soluții s-a ales din catalog un schimbător de căldură cu țevi în manta cu 4 treceri (fig. 1-21). Soluția circulă prin țevi cu viteza 0,3 m/s. Să se determine rezistența hidraulică din spațiul intratubular.

Caracteristicile schimbătorului de căldură : numărul total de țevi 90 ; țevi de oțel cu diametrul 38×2 mm cu coroziune neînsemnată ; înălțimea țevilor 2 m ; racordurile pentru soluție de diametru $159 \times 4,5$ mm. Temperatura medie a soluției $47,5^\circ\text{C}$; viscozitatea 0,83 cP ; densitatea $1\,100 \text{ kg/m}^3$.

Rezolvare. Criteriul Reynolds pentru soluție :

$$Re = \frac{wd\rho}{\eta} = \frac{0,3 \cdot 0,034 \cdot 1\,100}{0,83 \cdot 10^{-3}} = 13\,500$$

În acest exemplu trebuie să se determine pierderea de presiune pentru un curent neizoterm turbulent. Dar, întrucât se încălzește un curent de lichid, rezistența hidraulică se calculează cu aproximație ca și pentru un curent izoterm făcând prin aceasta o eroare în sensul obținerii unei pierderi de presiune mai mare decât cea reală, adică în sensul siguranței funcționării. Pentru calcul se folosește formula (1-54).

Se determină pierderea de presiune pentru învingerea frecării din țevi.

Din tabelul XII, pentru țevi de oțel cu coroziune neînsemnată, rugozitatea $e = 0,2$ mm. La aceasta $\frac{d}{e} = \frac{34}{0,2} = 170$.

Din figura 1-5 pentru $Re = 13\,500$ și $d/e = 170$, se găsește $\lambda \approx 0,035$.

Pierderea de presiune dinamică în țevi :

$$\Delta p_d = \frac{\rho w^2}{2} = \frac{1\,100 \cdot 0,3^2}{2} = 49,5 \text{ Pa}$$

Pierderea de presiune pentru învingerea frecării în țevi :

$$\Delta p_{fr} = \lambda \frac{nL}{d} \Delta p_d = 0,035 \frac{4 \cdot 2}{0,034} 49,5 = 407 \text{ Pa}$$

în care n este numărul trecerilor prin spațiul tubular.

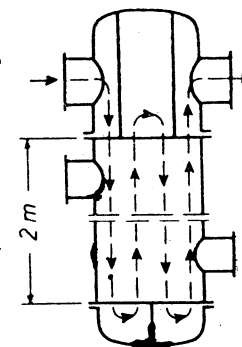


Fig. 1-21. Schița la exemplul 1-35.

Se determină pierderea de presiune pentru învingerea rezistențelor locale ale schimbătorului (fig. 1-21) după următorul tabel :

Rezistența	ζ	$\Sigma \zeta$
Camera de intrare și de ieșire	1,5	$1,5 \cdot 2 = 3,0$
Intrarea în țevi și ieșirea din ele	1	$1 \cdot 8 = 8,0$
Întoarcerea de 180° dintr-o trecere în alta	2,5	$2,5 \cdot 3 = 7,5$

Viteza soluției în racorduri :

$$w_r = w \frac{nd_{teava}^2}{d_r^2} = 0,3 \frac{90 : 4 \cdot 0,034^2}{0,15^2} = 0,346 \text{ m/s}$$

Pierderea de presiune dinamică în racorduri :

$$\Delta p_d^2 = \frac{\rho w_r^2}{2} = \frac{1 \cdot 100 \cdot 0,346^2}{2} = 66 \text{ Pa}$$

Viteza în racorduri este mai mare decât în țevi și de aceea pierderea de presiune pentru camera de intrare și ieșire se stabilește după viteza din racorduri, iar pierderile pentru intrarea și ieșirea din țevi și pentru întoarcerile dintr-o trecere în alta după viteza din țevi :

$$\Delta p_{r1} = 3 \cdot 66 + (8 + 7,5) 49,5 = 966 \text{ Pa}$$

Rezistența hidraulică totală a spațiului intratubular al schimbătorului de căldură va fi :

$$\Delta p = 407 + 966 = 1 \, 373 \text{ Pa} = 140 \text{ mm H}_2\text{O}$$

Exemplul 1-36. În spațiul intertubular al unui schimbător de căldură tubular cu manta (fig. 1-22), paralel cu axa țevelor, circulă anilina cu viteza 0,5 m/s. Schimbătorul de căldură are 19 țevi de oțel cu diametrul $26 \times 2,5$ mm și lungimea 2,7 m. Diametrul interior al mantalei 200 mm. Rugozitatea medie a țevelor $e = 0,2$ mm. Anilina se răcește în schimbătorul de căldură cu apă de la 100 la 40°C.

Să se determine pierderea de presiune datorită frecării pentru anilina : a) considerînd curentul izoterm ; b) pentru curent neizoterm la temperatura medie a peretelui 25°C.

Rezolvare. a) pierderea de presiune prin frecare pentru un curent izoterm se calculează cu formula (1-36) la temperatura medie a anilinei $\frac{100 + 40}{2} = 70^\circ\text{C}$,

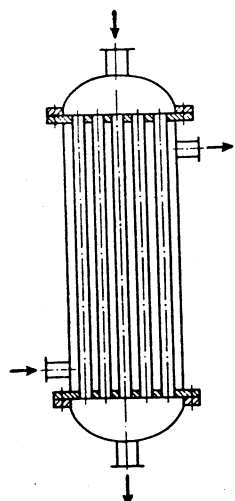


Fig. 1-22. Schița la exemplul 1-36.

Diametrul echivalent al spațiului intertubular al schimbătorului de căldură este :

$$d_{ech} = \frac{4S}{P} = \frac{D^2 - nd^2}{D + nd} = \frac{200^2 - 19 \cdot 26^2}{200 + 19 \cdot 26} = 39,2 \text{ mm}$$

în care : D este diametrul interior al mantalei, în mm ;
 d — diametrul exterior al țevii, în mm ;
 n — numărul de țevi.

Se determină valoarea criteriului Reynolds :

$$Re = \frac{wd\rho}{\eta} = \frac{0,5 \cdot 0,0392 \cdot 1 \, 040}{1,4 \cdot 10^{-3}} = 14 \, 600$$

în care : 1 040 kg/m³ este densitatea anilinei ;
 $1,4 \cdot 10^{-3}$ Pa·s — viscozitatea anilinei la 70°C (fig. V).

Coeficientul de frecare se determină din figura 1-5. Pentru $Re = 14 \, 600$ și $\frac{d}{e} = \frac{39,2}{0,2} = 196$ se află $\lambda = 0,034$.

Pierderea de presiune prin frecare este :

$$\Delta p_{fr} = \lambda \frac{L}{d} \frac{w^2 \rho}{2} = \frac{0,034 \cdot 2,7 \cdot 0,5^2 \cdot 1 \, 040}{0,0392 \cdot 2} = 304 \text{ Pa}$$

b) dacă curentul este neizoterm (temperatura peretelui diferă de temperatura lichidului), atunci valoarea Δp_{fr} pentru curentul izoterm trebuie să fie înmulțită cu un coeficient de corecție, care se determină ca și pentru țevile netede hidraulic cu ecuația (1-44) :

$$x = \left(\frac{Pr_p}{Pr_i} \right)^{1/3}$$

în care : Pr_p este criteriul Prandtl pentru lichidul care curge la temperatura peretelui țevii ;

Pr_i — criteriul Prandtl al lichidului care curge la temperatura medie a acestuia.

Valorile criteriului Prandtl pentru anilină se găsesc în nomograma din figura XIII :

pentru $t_p = 25^\circ\text{C}$ $Pr = 47$

pentru $t_i = 70^\circ\text{C}$ $Pr = 16,5$

Pierderea de presiune prin frecare pentru curentul neizoterm (care se răcește) de anilină este :

$$\Delta p_{fr} = 304 \left(\frac{47}{16,5} \right)^{1/3} = 430 \text{ Pa}$$

adică mult mai mare decât pentru curentul izoterm.

Exemplul 1-37. Pentru determinarea coeficientului de amestecare longitudinală E , într-o coloană cu umplutură pentru faza gazoasă au fost efectuate experiențe pentru obținerea curbei de răspuns la introducerea unui indicator sub formă de impuls (momentan) în curentul de gaz la intrare.

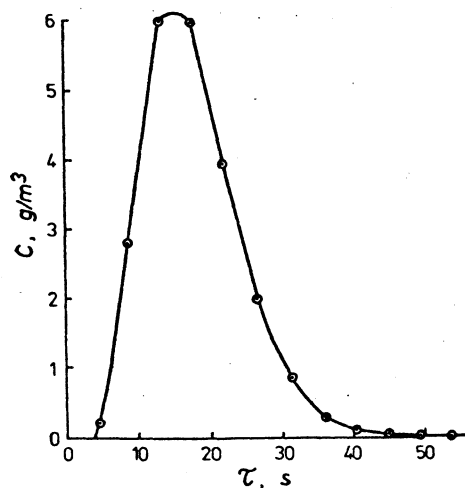


Fig. 1-23. Schița la exemplul 1-37.

Rezolvare. Se află timpul mediu de staționare a volumelor elementare de gaz.

$$\tau_m = \frac{\int_0^{\infty} \tau C d\tau}{\int_0^{\infty} C d\tau}$$

Cu aproximație pentru $\Delta\tau = \text{const.}$:

$$\int_0^{\infty} C d\tau \approx \Delta\tau \sum_{i=1}^n \frac{C_i + C_{i+1}}{2} = \frac{\Delta\tau}{2} \left(\sum_{i=1}^n C_i + \sum_{i=1}^n C_{i+1} \right) =$$

$$= \frac{4,5}{2} (22,256 + 22,254) = 100 \text{ g} \cdot \text{s} / \text{m}^3$$

$$\int_0^{\infty} \tau C d\tau \approx \frac{\Delta\tau}{2} \left(\sum_{i=1}^n \tau_i C_i + \sum_{i=1}^n \tau_{i-1} C_{i-1} \right) =$$

$$= \frac{4,5}{2} (410,265 + 410,157) = 1850 \text{ g} \cdot \text{s}^2 / \text{m}^3$$

$$\tau_m = \frac{1850}{100} = 18,5 \text{ s}$$

Tabelul 1-5

τ	C	τ	C
0	0,0	31,5	0,845
4,5	0,208	36,0	0,288
9,0	2,80	40,5	0,102
13,5	6,01	45,0	0,031
18,0	5,98	49,5	0,009
22,5	3,956	54,0	0,002
27,0	2,025		

τ — timpul din momentul introducerii indicatorului, în s ;

C — concentrația indicatorului la ieșire, în g/m³.

Înălțimea stratului de umplură 6 m. Viteza gazului în coloană (viteza fictivă) 0,4 m/s. Rezultatele obținute sînt transcrise în tabelul 1-5 și în figura 1-23. Să se ale mărimea E_g .

Se determină dispersia (varianța):

$$\sigma^2 = \frac{\int_0^{\infty} \tau^2 C d\tau}{\int_0^{\infty} C d\tau} - \tau_m^2$$

$$\int_0^{\infty} \tau^2 C d\tau \approx \Delta\tau \sum_{i=1}^n \frac{\tau_i^2 C_i + \tau_{i-1}^2 C_{i-1}}{2} = \frac{\Delta\tau}{2} \left(\sum_{i=1}^n \tau_i^2 C_i + \sum_{i=1}^n \tau_{i-1}^2 C_{i-1} \right) =$$

$$= \frac{4,5}{2} (8352,80 + 8346,97) = 37590$$

$$\sigma^2 = \frac{37590}{100} - 342 = 33,9 \text{ s}^2$$

În unități adimensionale:

$$\sigma_0 = \frac{\sigma^2}{\tau_m^2} = \frac{33,9}{342} = 0,0992$$

Se află criteriul Peclet modificat pentru amestecarea longitudinală $Pe = \frac{wH}{E_g}$ din ecuația*):

$$\sigma_0^2 = \frac{2}{Pe^2} (Pe - 1 + e^{-Pe})$$

Rezolvînd această ecuație prin metoda aproximațiilor succesive se găsește: $Pe = 19,11$.

Coefficientul amestecării longitudinale este:

$$E_g = \frac{wH}{Pe} = \frac{0,4 \cdot 6}{19,11} = 0,126 \text{ m}^2/\text{s}.$$

1.3. PROBLEME**

1-1. Să se afle masa molară și densitatea gazului de apă la $t = 90^\circ\text{C}$ și $p = 1,2 \text{ ata}$. Compoziția gazului de apă, în procente volumice, este: $\text{H}_2 - 50\%$; $\text{CO} - 40\%$; $\text{N}_2 - 5\%$; $\text{CO}_2 - 5\%$.

1-2. Să se determine densitatea dioxidului de carbon la $t = 85^\circ\text{C}$ și $p = 2 \text{ ata}$. Presiunea atmosferică 760 mm Hg.

1-3. Compoziția produselor de ardere a 1 kg gaze de cocserie (în kg) este: $\text{CO}_2 - 1,45$; $\text{N}_2 - 8,74$; $\text{H}_2\text{O} - 1,92$. Să se determine compoziția în volume a produselor de ardere.

1-4. Depresiunea într-un turn de uscare a unei fabrici de acid sulfuric se măsoară cu un vacuummetru în formă de U, umplut cu acid sulfuric cu densitatea 1800 kg/m^3 .

* Van der Laan, E. Th. Chem. Eng. Sci., 1958, v. 7, p. 187.

** Răspunsurile la probleme sînt date la pag. 483.

Vacuummetrul indică 3 cm. Care este presiunea absolută în turn, exprimată în Pa, dacă presiunea atmosferică este 750 mm Hg?

1-5. Un manometru, fixat pe o conductă plină cu lichid, indică o presiune de 0,18 kgf/cm². La ce înălțime h deasupra punctului de fixare a manometrului se ridică lichidul în piezometrul deschis, dacă acest lichid este: a) apă, b) tetraclorură de carbon (fig. 1-24.)?

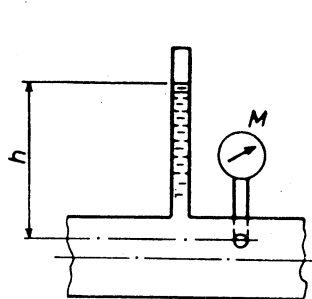


Fig. 1-24. Schița la problema 1-5.

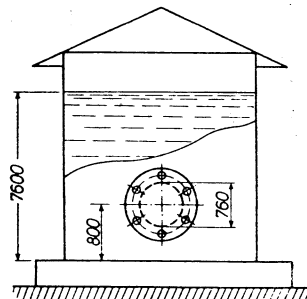


Fig. 1-25. Schița la problema 1-6.

1-6. Înălțimea nivelului păcurei într-un rezervor este 7,6 m (fig. 1-25). Densitatea relativă a păcurei este 0,96. La înălțimea de 800 mm de la fundul rezervorului se află o gură de vizitare rotundă cu diametrul 760 mm, al cărei capac este fixat cu șuruburi cu diametrul 10 mm. Admițând că fixarea capacului se face cu șuruburi a căror rezistență admisibilă la tracțiune este 700 kgf/cm², să se determine numărul necesar de șuruburi. Să se determine de asemenea, presiunea păcurei pe fundul rezervorului.

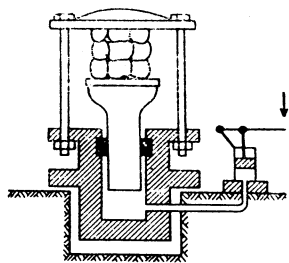


Fig. 1-26. Schița la problema 1-7.

1-7. Asupra pistonului mic cu diametrul de 40 mm al unei prese hidraulice manuale (fig. 1-26) acționează o forță de 589 N (60 kgf). Neglijând pierderile, să se determine forța care acționează asupra obiectului presat, dacă diametrul pistonului mare este 300 mm.

1-8. Viscositatea dinamică a unui lichid la 50°C este 30 cP. Densitatea relativă a lichidului este 0,9. Să se determine viscositatea cinematică a lichidului.

1-9. Să se determine viscositatea la 20°C și la presiunea atmosferică a unui amestec de hidrogen și azot, amestec care conține 75% hidrogen și 25% azot (în volume).

1-10. Se știe că viscositatea uleiului de in la 30°C este 0,331 poise, iar la 50°C 0,176 poise. Care este viscositatea acestui ulei la 90°C? Se va folosi regula variației lineare, luând ca lichid standard, de exemplu, glicerina de 100%.

1-11. Un răcitor vertical este format din 19 țevi cu diametrul 20×2 mm (v. fig. 1-22). În spațiul tubular al răcitorului intră apă pe o conductă cu diametrul 57×3,5 mm. Viteza apei în această conductă este 1,4 m/s. Apa de răcire circulă de jos în sus. Să se determine viteza apei în țevile răcitorului.

1-12. Prin țevile unui schimbător de căldură, format din 379 țevi cu diametrul 16×1,5 mm, trece azot în cantitate de 6 400 m³/h, la o presiune de 3 at (6 400 m³/h sînt considerați la 0°C și 760 mm Hg). Azotul intră în schimbător la 120°C și iese cu 30°C. Să se determine viteza azotului în țevile schimbătorului de căldură la intrare și ieșire.

1-13. Un răcitor constă din două țevi concentrice de oțel, avînd diametrele $d = 29 \times 25$ mm și $D = 54 \times 2,5$ mm. Prin țeava interioară trec 3,73 t/h saremură cu densitatea 1 150 kg/m³. În spațiul dintre cele două țevi trec 160 kg/h gaz la presiunea 3 ata și la

temperatura medie 0°C. Densitatea gazului în condiții normale este 1,2 kg/m³. Să se afle viteza gazului și lichidului din răcitor.

1-14. Să se determine diametrul țevii exterioare în condițiile problemei precedente, dacă gazul trece la presiunea atmosferică, avînd însă aceeași viteză și același debit masic.

1-15. Să se calculeze într-o formă generală raza hidraulică pentru o secțiune complet umplută de formă circulară, patratică, dreptunghiulară și în formă de triunghi echilateral.

1-16. Să se determine diametrul echivalent al spațiului intertubular al unui schimbător de căldură cu țevi în manta, format din 61 țevi cu diametrul 38×2,5 mm. Diametrul interior al mantalei 625 mm.

1-17. Să se determine regimul de curgere a apei în spațiul dintre țevile unui schimbător de căldură tip „țevă în țevă” (fig. 1-13). Diametrul conductei exterioare 96×3,5 mm, iar a celei interioare 57×3 mm; debitul apei 3,6 m³/h iar temperatura medie a apei 20°C.

1-18. Să se determine regimul de curgere a alcoolului etilic: a) într-o conductă cu diametrul 40×2,5 mm; b) într-o serpentină confecționată din aceeași țevă. Diametrul spirei serpentinei 570 mm. Viteza alcoolului 0,13 m/s, iar temperatura medie 52°C.

1-19. Să se determine viteza locală de-a lungul axei unei conducte cu diametrul 57×3,5 mm, prin care curge acid acetic în cantitate de 200 l/h la 38°C.

1-20. În mijlocul unei conducte cu diametrul interior 320 mm este fixat un tub Pitot-Prandtl (v. fig. 1-4), al cărui manometru diferențial plin cu apă indică o diferență de nivel de $h = 5,8$ mm. Prin conductă trece aer uscat la presiunea atmosferică și 21°C. Să se determine debitul masic al aerului.

1-21. Printr-un orificiu cu diametrul 10 mm, situat la fundul unui vas deschis, în care se menține un nivel constant de lichid la înălțimea de 900 mm, se scurg 750 l de lichid pe oră. Să se determine coeficientul de debit. După cit timp se golește rezervorul, dacă se intrerupe alimentarea lui cu lichid? Diametrul rezervorului este 800 mm.

1-22. Într-un rezervor de presiune cu suprafața secțiunii 3 m² intră apă. La fundul vasului se găsește un orificiu de golire. În momentul stabilizării curgerii, debitul care se scurge prin orificiu este egal cu cel care intră în rezervor, iar nivelul apei se menține la înălțimea de 1 m. Dacă se intrerupe alimentarea cu apă, nivelul va scădea și rezervorul se golește în 100 s. Să se determine debitul de alimentare cu apă a rezervorului.

1-23. Printr-o conductă orizontală cu diametrul interior 200 mm curge ulei mineral cu densitatea relativă 0,9. Pe conductă este fixată o diafragmă (v. fig. 1-3) cu marginile ascuțite (coeficientul de debit 0,61). Diametrul orificiului diafragmei 76 mm. Manometrul diferențial fixat la diafragmă indică o diferență de presiune înainte și după diafragmă de 102 mm Hg. Să se determine viteza și debitul uleiului din conductă.

1-24. Pe o conductă cu diametrul 160×5 mm este fixat un măsurător de debit „tub Venturi” (fig. 1-27), al cărui diametru interior în porțiunea îngustă este 60 mm. Prin conductă trece etan la presiunea atmosferică și 25°C. Indicația manometrului diferențial la tubului Venturi este $h = 32$ mm H₂O. Să se determine debitul masic al etanului care trece prin conductă (în kg/h), considerînd un coeficient de debit 0,97.

1-25. Să se determine pierderea de presiune prin frecare la trecerea apei printr-o conductă de alamă cu diametrul 19×2 mm și lungimea 10 m. Viteza apei este 2 m/s iar temperatura 55°C.

Rugozitatea se ia $e = 0,005$ mm.

1-26. Să se determine pierderea de presiune prin frecare într-o serpentină de plumb prin care curge acid sulfuric de 60% cu viteza 0,7 m/s, la o temperatură medie 55°C. Se admite rugozitatea maximă a țevilor de plumb din tabelul XII. Diametrul interior al țevii serpentinei 50 mm, diametrul spirei serpentinei 800 mm, iar numărul de spire 20. Lungimea serpentinei se va determina aproximativ după numărul de spire și diametrul lor.

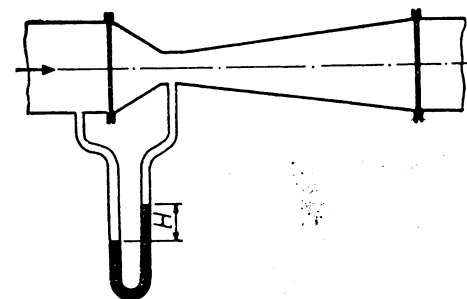


Fig. 1-27. Schița la problema 1-24.

1-27. Printr-o conductă de oțel cu diametrul interior 200 mm, lungă de 1 000 m. se transportă hidrogen cu un debit de 120 kg/h. Presiunea medie în rețea este 1 530 mm Hg. Temperatura gazului 27°C. Să se determine pierderea de presiune prin frecare.

1-28. Să se calculeze pierderea de presiune prin frecare a aburului într-o conductă de oțel, lungă de 50 m și cu diametrul 108×4 mm. Presiunea aburului este 6 ata. iar viteza 25 m/s.

1-29. Cum variază pierderea de presiune prin frecare într-o conductă prin care trece azot, dacă menținând același debit masic de azot: a) se mărește presiunea (absolută) a azotului de la 1 la 10 ata, temperatura rămânând neschimbată; b) se mărește temperatura azotului de la 0 la 80°C, păstrându-se aceeași presiune.

1-30. O conductă debitează 10 m³/h apă. Câtă apă va debita pe oră o conductă a cărei diametru este dublu la aceeași pierdere de presiune prin frecare? Coeficientul de frecare se consideră constant, iar curgerea turbulentă.

1-31. Printr-o conductă orizontală dreaptă, lungă de 150 m, trebuie să se transporte 10 m³/h lichid. Pierderea de presiune admisibilă este de 10 m. Să se determine diametrul conductei, admitând un coeficient de frecare $\lambda = 0,03$.

1-32. Cum variază pierderea de presiune prin frecare, dacă, la același debit de lichid, se micșorează diametrul conductei la jumătate? Problema se va rezolva în două variante: a) considerind că ambele regimuri (cel vechi și cel nou) se găsesc în domeniul curgerii laminare; b) considerind că ambele regimuri se găsesc în domeniul de automodelare (în care predomină forțele de inerție).

1-33. Un lichid cu densitatea relativă 0,9 intră prin curgere liberă dintr-un vas deschis, situat la înălțime, într-o coloană de rectificare (fig. 1-28). Presiunea din coloana de rectificare citită la manometru este $p = 0,4$ ata. La ce înălțime x trebuie să fie nivelul lichidului în vasul de alimentare față de intrarea lichidului în coloană, pentru ca viteza lichidului în conductă să fie 2 m/s? Pierderea de presiune prin frecare și rezistențe locale corespunde la 2,5 m. Se folosește ecuația Bernoulli.

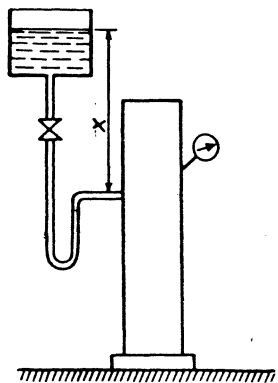


Fig. 1-28. Schița la problema 1-33.

1-34. O soluție de glicerină de 86% se scurge din rezervorul 1 în aparatul 2 printr-o conductă cu diametrul 20×2 mm (fig. 1-29). Diferența de nivel a soluției este 10 m, iar lungimea totală a conductei 110 m. Să se determine debitul de soluție, dacă densitatea relativă este 1,23, iar viscozitatea 97 cP. Rezistențele locale se neglijează. Regimul de curgere se consideră laminar (cu verificare ulterioară). Nivelul soluției în rezervor se admite constant.

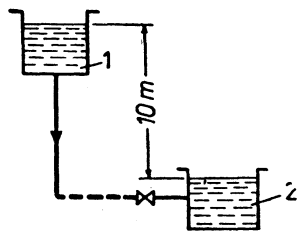


Fig. 1-29. Schița la problema 1-34.

1-35. 20 t/h clorbenzen la 45°C se pompează din reactorul 1 în vasul de presiune 2 (fig. 1-30). În reactor deasupra lichidului se menține o depresiune de 200 mm Hg, iar în vasul de presiune presiunea atmosferică. Conducta este confecționată din țevi de oțel de diametru 76×4 mm, lungă de 26,6 m, cu coroziune neînsemnată. Pe conductă se găsesc două robinete, o diafragmă ($d_0 = 48$ mm) și 5 curbe de 90° ($\frac{R_0}{d} = 3$). Clorbenzenul se pompează la o înălțime $H = 15$ m. Să se determine puterea pompei, la un randament total 0,7.

1-36. Un schimbător de căldură tubular cu manta (v. fig. 1-22) are 187 țevi de oțel cu coroziune neînsemnată ($c = 0,2$ mm), cu diametrul 18×2 mm și lungimea 1,9 m. Mantaua are diametrul 426×12 mm. Prin spațiul intertubular, paralel cu axa țevelor, circulă 3 000 m³/h (considerați în condiții normale) azot la presiunea atmosferică și temperatura medie -10°C . Diametrul racordului de intrare și ieșire 250 mm. Să se determine rezistența hidraulică a spațiului intertubular.

1-37. Într-un schimbător de căldură tip „țevă în țevă“ (v. fig. 1-13), format din două țevi concentrice (țeva interioară are diametrul $44,5 \times 3,5$ și țeva exterioară 89×5 mm) se răcesc 1 900 kg/h toluen de la 70 la 30°C. Toluenu circulă prin spațiul inelar dintre țeva exterioară și cea interioară, iar prin țeva interioară curge apă de răcire, care se încălzește de la 14 la 21°C. Să se determine pierderea de presiune prin frecare pentru toluen și apă, considerind că țevile de oțel au coroziune neînsemnată și temperatura peretelui țevii interioare este 25°C.

1-38. Să se transforme formula (1-40) sub formă criterială.

1-39. La ce scară trebuie să se aleagă un model, dacă în aparatul industrial lichidul este țitei, iar în model apa, știind că viscozitatea cinematică a apei este de 50 de ori mai mică decât a țiteiului? Ce viteză trebuie să aibă apa în model, dacă viteza țiteiului în aparatul industrial este 1 m/s? Se modelează simultan forțele de frecare și de gravitație.

1-40. Să se determine puterea necesară pentru a transporta cu o pompă 4,6 m³/h soluție refrigerantă (soluție de 25% CaCl₂) din instalația de răcire în condensatorul așezat deasupra coloanei de rectificare. Înălțimea de ridicare este 16 m; viscozitatea soluției 9,5 cP; densitatea 1 200 kg/m³; diametrul conductei $32 \times 2,5$ mm; lungimea totală 80 m. Conducta de oțel are o coroziune neînsemnată. Pe conductă sint montate 6 curbe de 90° ($R_0/d = 4$) și 4 robinete normale. Randamentul total al pompei și electromotorului se consideră 0,5.

1-41. Printr-o conductă orizontală se pompează un lichid. De câte ori se mărește consumul de energie necesar pomparei, dacă prin aceeași conductă trebuie să treacă o cantitate dublă de lichid? Coeficientul de frecare se consideră constant, iar $\Delta p_{ii} = 0$.

1-42. Printr-o conductă de oțel cu diametrul interior 75 mm se pompează 25 m³/h lichid cu densitatea 1 200 kg/m³ și viscozitatea 1,7 cP. Diferența de înălțime între punctul inițial și final este 24 m. iar lungimea conductei 112 m. Conducta este prevăzută cu două robinete normale și 5 curbe de 90° , cu raza de curbă 300 mm. Țevile au coroziune neînsemnată. Să se determine puterea necesară, dacă randamentul total al instalației de pompare este 0,6.

1-43. Dintr-un riu se trimite cu o pompă apă la 10°C într-un rezervor deschis (fig. 1-31). Nivelul apei în rezervor este cu 50 m mai sus decât nivelul apei din riu. Conducta este din oțel cu coroziune neînsemnată, cu diametrul interior 80 mm. Lungimea de calcul (lungimea proprie plus suma lungimilor echivalente pentru curbe, robinete, etc.) este 165 m. Pompa debitează 575 l/min. Care este puterea consumată de pompă, dacă randamentul instalației de pompare este 0,55?

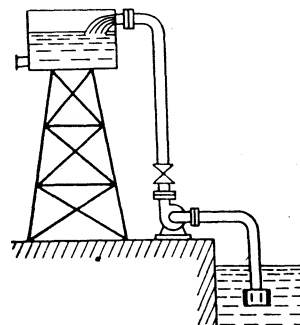


Fig. 1-31. Schița la problema 1-43.

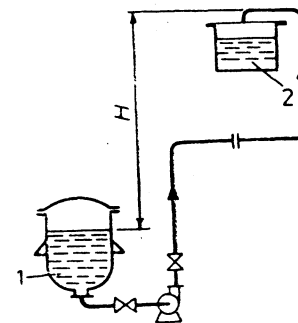


Fig. 1-30. Schița la problema 1-35.

1-44. Printr-o conductă dreaptă, cu secțiune dreptunghiulară cu laturile 400×600 mm, confecționată din tablă de oțel, trebuie să se transporte $14\,400$ kg/h aer la 27°C și la presiunea atmosferică. Lungimea conductei este 60 m. Să se afle puterea electromotorului, dacă randamentul său este $0,95$, iar randamentul ventilatorului $0,4$.

1-45. Printr-o conductă cu diametrul interior 100 mm se transportă bioxid de carbon sub presiunea de 2 at (după manometru), la temperatura medie 75°C , cu o viteză masică 30 kg/m²·s. Coroziunea țevii este $e = 0,7$ mm. Să se determine rezistența hidraulică a conductei orizontale de lungime 90 m, având 4 coturi de 90° și o vană. Să se determine de asemenea, puterea necesară suflantei pentru transportul bioxidului de carbon, dacă randamentul ei este 50% .

1-46. Dintr-un rezervor, situat la $7,2$ m înălțime, se scurge alcool etilic de 40% printr-o conductă cu diametrul $33,5 \times 2,8$ mm. Pe conductă se găsește un robinet cu cep și două coturi de 90° . Lungimea totală a conductei este 49 m. Să se determine viteza alcoolului în conductă. Coeficientul de frecare se admite aproximativ $0,025$. Cunoscând viteza să se verifice valoarea coeficientului de frecare. Temperatura alcoolului 35°C .

1-47. Printr-o conductă cu diametrul $26,8 \times 2,5$ mm curge nitrobenzen cu temperatura de 44°C . Punctul inițial al conductei este mai sus cu 200 mm față de punctul final. Lungimea părții orizontale a conductei este 242 m. În calculul rezistenței se consideră numai rezistența prin frecare. Să se afle debitul masic al nitrobenzenului și să se verifice regimul de curgere considerat.

1-48. Într-un aparat care lucrează sub o presiune de 2 ata trebuie să se pompeze apă dintr-un rezervor printr-o conductă cu diametrul 70 mm. Punctul superior al conductei este mai înalt cu 5 m decât nivelul apei din rezervor. Lungimea de calcul a conductei (lungimea proprie plus suma lungimilor echivalente ale rezistențelor locale) este 350 mm. Coeficientul de frecare $\lambda = 0,03$. Să se stabilească relația între debitul de apă care curge prin conductă și pierderea de presiune pentru învingerea tuturor rezistențelor din conductă (să se afle ecuația caracteristicii rețelei).

1-49. O pompă centrifugă are următoarele caracteristici:

Debitul apei, în m ³ /h	12	18	24	30
Înălțimea manometrică, în m	38	36	32	26

Cită apă va debita această pompă, dacă e cuplată să lucreze în condițiile rețelei din problema 1-48? Să se afle punctul de lucru.

1-50. Un ventilator debitează $12\,500$ m³/h aer aspirat din atmosferă. Ce debit masic de aer va debita ventilatorul iarna ($t = -15^\circ\text{C}$) și vara ($t = 30^\circ\text{C}$)?

1-51. Să se determine presiunea dezvoltată de un ventilator, care debitează aer din atmosferă la 18°C într-un spațiu cu o suprapresiune de 43 mm H₂O. Pierderea din presiune în conductă este 275 Pa, iar viteza aerului în ea $11,5$ m/s.

1-52. Ce presiune absolută (în ata) trebuie să aibă aerul introdus într-un monteju (fig. 1-32) pentru ridicarea la o înălțime de 21 m a unui acid sulfuric cu densitatea relativă $1,78$? Se neglijează rezistențele hidraulice.

1-53. Viteza apei la ieșirea din difuzorul unui injector orizontal (v. fig. 2-10) este $2,35$ m/s. Apa iese din difuzor cu presiunea atmosferică. Diametrul orificiului la ieșirea din difuzor este 62 mm, iar diametrul orificiului ajutorului (duzei) (secțiunea I) este 30 mm. Neglijând pierderile, să se determine înălțimea teoretică H până la care poate fi ridicată apa dintr-un rezervor deschis.

1-54. Să se determine rezistența hidraulică a unui strat de 3 m de umplutură uscată, format din inele ceramice de $15 \times 15 \times 2$ mm. Prin umplutură se trimite aer cu temperatura 20°C și la presiunea atmosferică. Viteza aerului $0,4$ m/s (viteza fictivă).

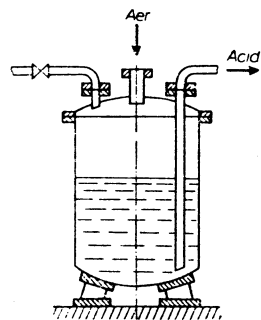


Fig. 1-32. Schița la problema 1-52.

2. POMPE, VENTILATOARE, COMPRESORE

2.1. FORMULE DE CALCUL

1. Înălțimea totală de ridicare (numită curent înălțime manometrică H_m) a unei pompe (fig. 2-1) se determină cu ecuația:

$$H_m = \frac{p_2 - p_1}{\rho g} + H_g + h_p \quad (2-1)$$

identică cu ecuația (1-49), în care:

- H_m — este înălțimea totală de ridicare a pompei, în metri coloană de lichid care se pompează;
- p_2 și p_1 — presiunile de refulare și de aspirație, în Pa;
- ρ — densitatea lichidului pompat, în kg/m³;
- H_g — înălțimea geometrică de ridicare a lichidului, în m;
- h_p — pierderea de presiune pentru crearea vitezei și pentru învingerea frecării și a tuturor rezistențelor locale în conductele de aspirație și de refulare, în m;

$g = 9,81$ m/s² — accelerația căderii libere.

Înălțimea totală H_m poate fi exprimată și printr-o altă ecuație:

$$H_m = \frac{p_{ref} - p_{asp}}{\rho g} + H_0 + \frac{w_{ref}^2 - w_{asp}^2}{2g} \quad (2-2)$$

în care: p_{ref} este presiunea în conducta de refulare la ieșirea lichidului din pompă, în Pa;

p_{asp} — presiunea în conducta de aspirație la intrarea lichidului în pompă, în Pa;

H_0 — distanța pe verticală între punctele în care se măsoară p_{ref} și p_{asp} , în m;

w_{ref} — viteza lichidului în conducta de refulare, în m/s;

w_{asp} — viteza lichidului în conducta de aspirație, în m/s.

Dacă vitezele de refulare și de aspirație sînt de valoare apropiată și distanța H_0 este mică, ecuația (2-2) se simplifică:

$$H_m \approx \frac{p_{ref} - p_{asp}}{\rho g} \quad (2-2a)$$

Formulele (2-1) și (2-2) se obțin din ecuația Bernoulli, exprimată pentru secțiunile corespunzătoare ale curentului. Formula (2-2) se utilizează la verificarea pompelor în funcțiune, iar formula (2-1) la proiectarea instalațiilor de pompare.

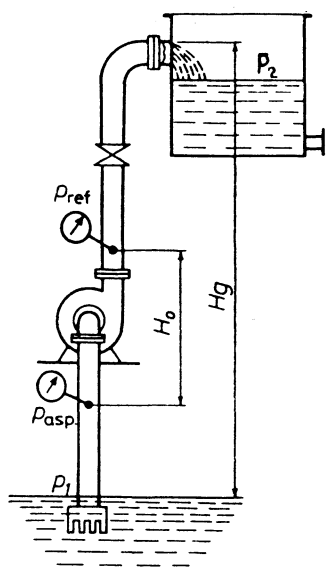


Fig. 2-1. Schema unei instalații de pompare.

Motorul instalat are o putere P_{inst} ceva mai mare decât cea calculată cu formula (2-3), pentru a dispune de o rezervă la o eventuală supraîncălzire :

$$P_{inst} = \beta P$$

în care : P_{inst} este puterea instalată ;

P — puterea necesară.

Coefficientul de siguranță al puterii β se alege în funcție de valoarea lui P (tabelul 2-1).

Tabelul 2-1

P, kW	β
<1	2 — 1,5
1 — 5	1,5 — 1,2
5 — 50	1,2 — 1,15
>50	1,1

Σh_p — pierderile pe conducta de aspirație, care cuprind consumul de energie pentru imprimarea vitezei lichidului, pierderea datorită inerției și a rezistențelor locale pe conducta de aspirație ; Σh_p crește cu mărirea numărului de ture al pompei.

* În manualele despre pompe și ventilatoare debitul volumic al fluidelor se notează obișnuit cu Q .

2. Puterea P (în kW) a motorului pompei se calculează cu formula :

$$P = \frac{V \rho g H_m}{1000 \eta} \quad (2-3)$$

în care : V este debitul volumic* al pompei, în m^3/s ;

ρ — densitatea lichidului pompat, în kg/m^3 ;

g — accelerația căderii libere ($g = 9,81 m/s^2$) ;

H_m — înălțimea totală de ridicare a pompei, în metri coloană de lichid ridicat ;

η — randamentul total al instalației de pompare, care reprezintă produsul dintre randamentul pompei η_p , randamentul transmisiei η_t și randamentul motorului η_m :

$$\eta = \eta_p \eta_t \eta_m \quad (2-4)$$

3. Înălțimea teoretică de aspirație a unei pompei cu piston H_{asp} (fig. 2-2) se determină cu ajutorul expresiei :

$$H_{asp} \leq p_{atm} - h_t - \Sigma h_p \quad (2-5)$$

în care : p_{atm} este presiunea atmosferică ;

h_t — presiunea vaporilor saturați ai lichidului aspirat la temperatura de pompare t ;

Toate mărimile : p_{atm} , h_t , Σh_p sunt exprimate în metri de lichid pompat.

Presiunea atmosferică p_{atm} depinde de altitudinea locului de amplasare a instalației deasupra nivelului mării (tabelul XIX).

Presiunea vaporilor saturați ai lichidului aspirat h_t este determinată de temperatura acestuia. Pentru apă valoarea h_t este dată în tabelul 2-2.

Practic pentru determinarea înălțimii de aspirație (în m) admisibilă la pomparea apei cu o pompă cu piston se recomandă datele din tabelul XX.

4. Debitul unei pompei cu piston :

a) pompă cu efect simplu și diferențială :

$$V = \eta_v \frac{S s n}{60} \text{ în } m^3/s \quad (2-6)$$

b) pompă cu dublu efect :

$$V = \eta_v \frac{(2S - S') s n}{60} \text{ în } m^3/s \quad (2-7)$$

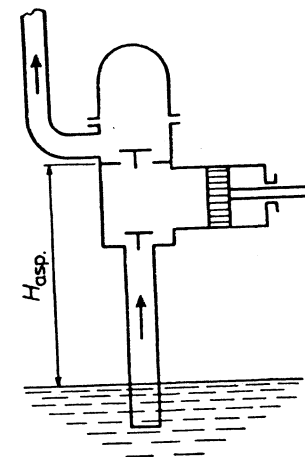


Fig. 2-2. Schema unei pompei cu piston.

Tabelul 2-2

Temperatura, °C	5	10	20	30	40	50	60	70	80	90	100
Presiunea vaporilor saturați, h_t :											
— m H ₂ O	0,09	0,12	0,24	0,43	0,75	1,25	2,02	3,17	4,82	7,14	10,33
— kPa	0,88	1,18	2,36	4,22	7,36	12,26	19,82	31,10	47,30	70,04	101,3

În aceste formule :

η_v este randamentul volumic, a cărui valoare este în medie 0,8...0,9 ;

S — suprafața de lucru (secțiunea) a pistonului (plunjerului), în m^2 ;

S' — secțiunea tijei pistonului, în m^2 ;

s — cursa pistonului, în m ;

n — numărul de ture, adică numărul de curse duble ale pistonului pe minut.

5. Înălțimea de ridicare și debitul unei pompei centrifuge la un număr de ture dat sînt interdependente. Dacă pe graficul acestei relații, denumit caracteristica pompei, se reprezintă curba caracteristică a rețelei (fig. 2-3), intersecția celor două curbe dă așa numitul punct de lucru, care determină

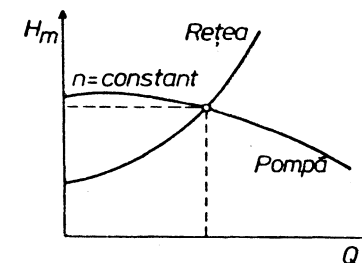


Fig. 2-3. Caracteristicile unei pompei centrifuge și a rețelei.

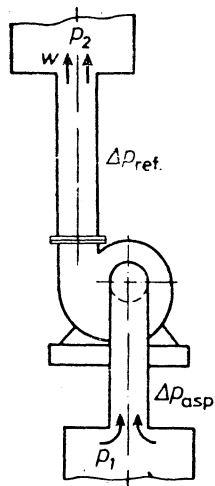


Fig. 2-4. Schema unui ventilator.

înălțimea de ridicare și debitul pompei care funcționează în acea rețea.

Randamentul pompei centrifuge variază dacă se schimbă înălțimea și debitul.

La variația numărului de rotații în limite nu prea mari n ale pompei centrifuge, variația debitului V , a înălțimii H_m și a puterii P se determină cu următoarele relații:

$$\frac{V_1}{V_2} = \frac{n_1}{n_2}; \frac{H_{m1}}{H_{m2}} = \left(\frac{n_1}{n_2}\right)^2; \frac{P_1}{P_2} = \left(\frac{n_1}{n_2}\right)^3 \quad (2-8)$$

Înălțimea de aspirație a unei pompei centrifuge H_{asp} (în m) se calculează cu formula:

$$H_{asp} \leq p_{atm} - h_t - h_{p,asp} - h_{cav}$$

în care: p_{atm} este presiunea atmosferică;

h_t — presiunea vaporilor saturați ai lichidului aspirat;

$h_{p,asp}$ — rezistența hidraulică pe conducta de aspirație, inclusiv consumul de energie pentru imprimarea vitezei curentului de lichid;

h_{cav} — corecția pentru cavitație (scăderea înălțimii de aspirație pentru evitarea cavitației), dependentă de debitul V (în m^3/s) și de numărul de ture n (în rot/min);

$$h_{cav} = 0,00125(Vn^2)^{0,67}.$$

Toate mărimile: p_{atm} , h_t , $h_{p,asp}$, h_{cav} sînt exprimate în metri coloană de lichid pompat.

6. Presiunea produsă de un ventilator* (fig. 2-4) la debitarea aerului se determină cu ecuațiile:

$$\Delta p = (p_2 - p_1) + (\Delta p_{asp} + \Delta p_{ref}) + \frac{w^2 \rho}{2} \quad (2-9)$$

sau

$$\Delta p = \left(p_{st,ref} + \frac{w_{ref}^2 \rho}{2}\right) - \left(p_{st,asp} + \frac{w_{asp}^2 \rho}{2}\right) \quad (2-10)$$

în care: p_1 este presiunea în spațiul din care ventilatorul aspiră aerul, în Pa;

p_2 — presiunea în spațiul în care ventilatorul suflă aerul, în Pa;

* În lucrările care tratează despre instalațiile de ventilație, această presiune se numește uneori presiunea totală a ventilatorului și se notează cu H .

Δp_{asp} și Δp_{ref} — pierderile de presiune în conductele de aspirație și de refulare;

w — viteza aerului la ieșirea din rețea, în m/s;

$p_{st,asp}$ și $p_{st,ref}$ — presiunile statice înainte și după ventilator, în Pa;

w_{asp} și w_{ref} — viteza aerului în conductele de aspirație și de refulare, în m/s;

ρ — densitatea aerului, în kg/m^3 .

Ecuația (2-9) este identică cu ecuația (2-1) pentru pompe și cu ecuația (1-49). Ecuația (2-10) este identică cu ecuația (2-2) pentru pompe. Dacă ventilatorul debitează nu aer, ci un alt gaz, a cărui densitate este diferită de aceea a aerului înconjurător, atunci în formulele anterioare ρ este densitatea gazului, iar în partea dreaptă a ecuației (2-9) se adaugă mărimea:

$$\Delta p_g = (\rho - \rho_{aer})gh$$

în care h este diferența între înălțimea locurilor de aspirație și de refulare, în m.

Puterea P (în kW) consumată de o instalație de ventilație se calculează cu formula:

$$P = \frac{V \Delta p}{1000 \eta} \quad (2-11)$$

în care: V este debitul ventilatorului, în m^3/s ;

Δp — presiunea realizată de ventilator, în Pa;

$\eta = \eta_v \eta_t \eta_m$ — randamentul total al ventilatorului — v. ecuația (2-4).

7. La fel ca în cazul pompelor centrifuge, caracteristica grafică a ventilatorului își modifică poziția odată cu schimbarea turației ventilatorului. În acest caz relația între parametrii inițiali și parametrii noi de funcționare ai ventilatorului centrifugal se determină, în limite nu prea mari, cu formulele (2-8).

În figura 2-5 este reprezentată caracteristica unui ventilator centrifugal la diferite turații.

8. Lucrul mecanic teoretic L_{ad} (în J/kg) consumat de un compresor cu o singură treaptă, la comprimarea adiabatică (izotropică) a 1 kg de gaz, se poate calcula cu formula:

$$L_{ad} = \frac{k}{k-1} p_1 v_1 \left[\left(\frac{p_2}{p_1} \right)^{\frac{k-1}{k}} - 1 \right] = \frac{k}{k-1} RT_1 \left[\left(\frac{p_2}{p_1} \right)^{\frac{k-1}{k}} - 1 \right] \quad (2-12)$$

sau cu formula:

$$L_{ad} = i_2 - i_1 \quad (2-13)$$

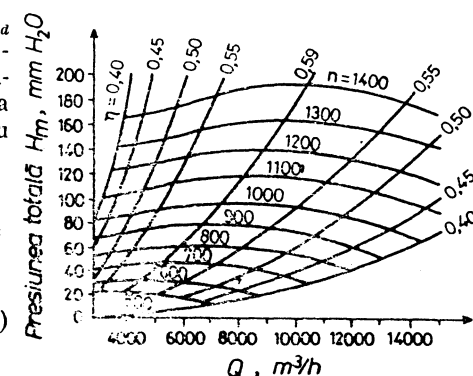


Fig. 2-5. Caracteristica ventilatorului centrifugal.

Temperatura gazului la sfârșitul comprimării adiabatică se determină cu ecuația :

$$\frac{T_2}{T_1} = \left(\frac{p_2}{p_1} \right)^{\frac{k-1}{k}} \quad (2-14)$$

În aceste formule :

- k — este exponentul adiabatic, egal cu raportul c_p/c_v ;
- p_1 și p_2 — presiunea inițială și finală, în Pa ;
- v_1 — volumul specific al gazului în condițiile inițiale, adică la presiunea p_1 și temperatura T_1 , în m^3/kg ;
- i_1 și i_2 — entalpia inițială și finală a gazului, în J/kg ;
- R — constanta gazului, egală cu $\frac{8310}{M}$, în $J/kg \cdot K$;
- M — masa molară a gazului.

Puterea P (în kW) necesară pentru un compresor cu o singură treaptă, care comprimă G kg/gaz pe oră de la presiunea inițială p_1 la presiunea finală p_2 , se calculează cu formula :

$$P = \frac{GL_{ad}}{3600 \cdot 1000 \eta} \quad (2-15)$$

în care η este randamentul adiabatic total al instalației de comprimare.

9. Debitul (în m^3/s) al unui compresor cu piston cu acțiune simplă se determină cu ecuația :

$$V = \lambda \frac{Ssn}{60} \quad (2-16)$$

în care : λ este coeficientul de debit, adimensional ;

- S — secțiunea pistonului, în m^2 ;
- s — lungimea cursei pistonului, în m ;
- n — numărul de rotații pe minut.

Coeficientul de debit este dat de relația :

$$\lambda = (0,8 \dots 0,95) \lambda_0$$

În această relație λ_0 este randamentul volumic al compresorului, dat de relația :

$$\lambda_0 = 1 - \varepsilon_0 \left[\left(\frac{p_2}{p_1} \right)^{\frac{1}{m}} - 1 \right] \quad (2-17)$$

în care : ε_0 este raportul dintre spațiul mort al cilindrului și volumul descris de piston ;

- m — exponentul politropic de destindere a gazului care rămâne în spațiul mort.

10. Lucrul mecanic teoretic L_{ad} (în J/kg), consumat de un compresor cu mai multe trepte la comprimarea adiabatică a 1 kg gaz de la presiunea inițială p_1 la presiunea finală p_f , se determină cu formula :

$$L_{ad} = np_1 v_1 \frac{k}{k-1} \left[\left(\frac{p_f}{p_1} \right)^{\frac{k-1}{kn}} - 1 \right] = nRT_1 \frac{k}{k-1} \left[\left(\frac{p_f}{p_1} \right)^{\frac{k-1}{kn}} - 1 \right] \quad (2-18)$$

sau cu formula :

$$L_{ad} = \Delta i_1 + \Delta i_2 + \dots + \Delta i_n \quad (2-19)$$

în care : n este numărul treptelor de comprimare ;
 $\Delta i_1, \Delta i_2, \dots$ — diferența de entalpie între treptele 1, 2, ... [formula (2-13)].

Puterea necesară la un compresor cu mai multe trepte se calculează cu formula (2-15). Pentru compresoarele de aer se utilizează uneori și ecuația aproximativă :

$$P = \frac{1,69 GL_{12}}{3600 \cdot 1000} = \frac{1,69 GRT_1 \ln \frac{p_f}{p_1}}{3600 \cdot 1000} \quad (2-20)$$

în care : P este puterea, în kW ;

1,69 — coeficient practic care ține seama de diferența dintre procesul real de comprimare și cel izoterm.

Debitul unui compresor cu mai multe trepte este determinat de debitul primei trepte.

Neglijând pierderile de presiune dintre trepte, numărul treptelor de comprimare n se determină cu aproximație cu ecuația :

$$x^n = \frac{p_f}{p_1} \quad (2-21)$$

de unde

$$n = \frac{\lg p_f - \lg p_1}{\lg x}$$

în care x este gradul de comprimare realizat într-o singură treaptă.

Ecuațiile (2-18) și (2-21) sînt valabile pentru gaze cvasi ideale ($z = 1$) cu condiția ca temperatura de intrare în fiecare treaptă să fie aceeași și ca raportul între presiunea de refulare și de aspirație al tuturor treptelor să fie constant.

2.2. EXEMPLE

Exemplul 2-1. Manometrul de pe conducta de refulare a unei pompe (v. fig. 2-1), care transportă $8,4 m^3$ apă pe minut indică o presiune de $3,8 \text{ kgf/cm}^2$. Vacuummetrul fixat pe conducta de aspirație indică un vid de 21 cm Hg . Distanța pe verticală între locul de fixare a manometrului și vacuummetrului este 410 mm . Diametrul conductei de aspirație este 350 mm , iar al celei de refulare 300 mm . Să se determine înălțimea totală de ridicare a pompei.

Rezolvare. Se utilizează formula (2-2).

Viteza apei în conducta de aspirație este :

$$w_{asp} = \frac{8,4}{60 \cdot 0,785 \cdot 0,35^2} = 1,45 \text{ m/s}$$

$$w_{ref} = \frac{8,4}{60 \cdot 0,785 \cdot 0,30^2} = 1,98 \text{ m/s}$$

Presiunea în conducta de refulare (admițind presiunea atmosferică $1,013 \cdot 10^5$ Pa, adică 760 mm Hg) :

$$p_{ref} = (3,8 + 1,03)9,81 \cdot 10^4 = 474\,000 \text{ Pa}$$

Presiunea în conducta de aspirație este :

$$p_{asp} = (0,76 - 0,21)133,3 \cdot 1\,000 = 73\,300 \text{ Pa}$$

Înălțimea totală de ridicare a pompei este :

$$H_m = \frac{474\,000 - 73\,300}{1\,000 \cdot 9,81} + 0,41 + \frac{1,98^2 - 1,45^2}{2 \cdot 9,81} = 40,8 + 0,41 + 0,09 = 41,3 \text{ m H}_2\text{O}$$

Exemplul 2-2. O pompă cu piston care face 150 rot/min, trebuie să transporte apă încălzită la 60°C. Calcule preliminare au indicat o pierdere de energie de 6,5 m H₂O pentru imprimarea vitezei, învingerea inerției și a rezistențelor hidraulice pe conducta de aspirație. Presiunea atmosferică medie la locul de instalare a pompei este 736 mm Hg. La ce înălțime deasupra nivelului apei trebuie să fie instalată pompa ?

Rezolvare. Expresia $p_{atm} - h_t - \Sigma h$ [formula (2-5)] în acest caz este egală cu :

$$\frac{0,736 \cdot 13\,600}{1\,000} - 2,02 - 6,5 = 1,48 \text{ m}$$

în care h_t este luat din tabelul 2-2.

Prin urmare, înălțimea teoretică de aspirație nu poate fi mai mare de 1,48 m. Practic, după datele din tabelul XX, înălțimea de aspirație în acest caz (la $n = 150$ rot/min) este egală cu zero, adică pompa trebuie să fie instalată mai jos de nivelul lichidului („pomă înecată”).

Exemplul 2-3. O pompă cu piston cu dublu efect (fig. 2-6) transportă 22,8 m³/h lichid. Turația pompei este 65 rot/min, diametrul plungerului 125 mm, diametrul tijei 35 mm, raza manivelei 136 mm. Să se determine coeficientul de debit al pompei.

Rezolvare. Volumul deplasat de plunger la o rotație :

$$(2S - S')s = (2 \cdot 0,785 \cdot 0,125^2 - 0,785 \cdot 0,035^2)0,272 = 0,00637 \text{ m}^3$$

în care 0,272 m este lungimea cursei plungerului, egală cu dublul razei manivelei.

Debitul teoretic al pompei la 65 rot/min este :

$$65 \cdot 0,00637 = 0,413 \text{ m}^3/\text{min}$$

Debitul real al pompei :

$$\frac{22,8}{60} = 0,38 \text{ m}^3/\text{min}$$

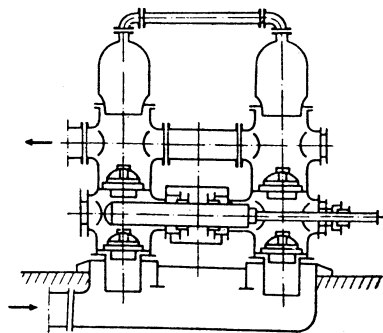


Fig. 2-6. Schița la exemplul 2-3.

de unde coeficientul de debit :

$$\eta_v = \frac{0,38}{0,413} = 0,92$$

Exemplul 2-4. Cu o pompă cu piston cu simplu efect (v. fig. 2-2), avind diametrul pistonului 160 mm și cursa 200 mm, trebuie să se transporte 430 l/min lichid cu densitatea relativă 0,93 dintr-un rezervor într-un aparat în care presiunea este 3,2 at. Presiunea în rezervor este cea atmosferică. Înălțimea geometrică de ridicare este 19,5 m. Pierderea de presiune în conducta de aspirație este 1,7 m, iar în conducta de refulare 8,6 m. Care va fi turația pompei și puterea motorului, la un coeficient de debit al pompei 0,85, randamentul pompei 0,8, iar pentru transmisie și electromotor câte un randament de 0,95 ?

Rezolvare. Din formula (2-6) se găsește :

$$n = \frac{V \cdot 60}{\eta_v S s}$$

În acest caz :

$$V = \frac{430}{1\,000 \cdot 60} = 0,00717 \text{ m}^3/\text{s}$$

$$S = 0,785 \cdot 0,16^2 = 0,0201 \text{ m}^2$$

$$n = \frac{0,00717 \cdot 60}{0,85 \cdot 0,0201 \cdot 0,2} = 126 \text{ rot/min}$$

Înălțimea de ridicare a pompei se determină cu formula (2-1) :

$$H_m = \frac{3,2 \cdot 1\,000 \cdot 9,81}{930 \cdot 9,81} + 19,5 + 10,3 = 64,2 \text{ m}$$

Puterea necesară motorului pompei se calculează cu formula (2-3) :

$$P = \frac{0,43 \cdot 930 \cdot 9,81 \cdot 64,2}{60 \cdot 1\,000 \cdot 0,72} = 5,82 \text{ kW}$$

în care 0,72 este randamentul total al instalației de pompare, egal cu :

$$\eta_v \eta_i \eta_m = 0,8 \cdot 0,95 \cdot 0,95 = 0,72$$

Conform datelor din tabelul 2-1, este necesar să se instaleze, cu luarea în considerare a unui plus pentru supraîncărcare, un electromotor cu puterea :

$$(\eta) \quad 5,82 \cdot 1,17 = 6,8 \text{ kW}$$

Exemplul 2-5. O pompă centrifugă, cu turația 1 200 rot/min, a dat la încercări următoarele date :

V, l/s	0	10,8	21,2	29,8	40,4	51,1
H _m , m	23,5	25,8	25,4	22,1	17,3	11,9
P, kW	5,16	7,87	10,1	11,3	12,0	18,5

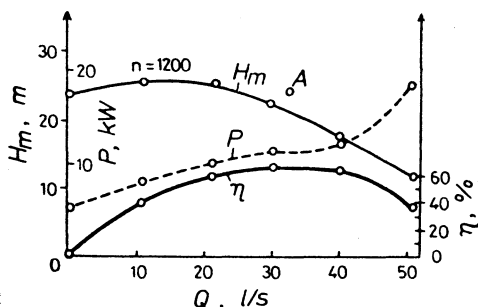


Fig. 2-7. Schița la exemplele 2-5 și 2-6.

Cu această formulă s-au calculat următoarele valori ale randamentului pompei:

$V, \text{l/s}$	0	10,8	21,2	29,8	40,4	51,1
η	0	0,39	0,587	0,643	0,637	0,36

Caracteristica grafică a pompei este reprezentată în figura 2-7.

Exemplul 2-6. Se cere să se transporte $115 \text{ m}^3/\text{h}$ soluție cu densitatea relativă 1,12 dintr-un rezervor într-un aparat situat la înălțimea de 10,8 m, măsurată de la nivelul lichidului din rezervor. Presiunea în aparat este 0,4 at, iar presiunea în rezervor cea atmosferică. Conducta are diametrul $140 \times 4,5 \text{ mm}$, iar lungimea calculată (lungimea proprie plus lungimea echivalentă pentru rezistențele locale) 140 m. Se poate utiliza pompa centrifugă din exemplul anterior, dacă se consideră coeficientul de frecare în conductă $\lambda = 0,03$?

Rezolvare. Se determină înălțimea totală de ridicare pe care trebuie să o învingă pompa.

Viteza lichidului este:

$$w = \frac{115}{3600 \cdot 0,785 \cdot 0,131^2} = 2,37 \text{ m/s}$$

Pierdere datorită vitezei este:

$$h_w = \frac{w^2}{2g} = \frac{2,37^2}{2 \cdot 9,81} = 0,286 \text{ m}$$

Pierdere de presiune datorită frecării și rezistențelor locale este:

$$h_{f+rl} = \frac{\lambda(L + L_{ech})}{d} h_w = \frac{0,03 \cdot 140}{0,131} \cdot 0,286 = 9,16 \text{ m}$$

Înălțimea totală de ridicare a pompei se calculează cu formula (2-1):

$$H_m = \frac{0,4 \cdot 10000 \cdot 9,81}{1120 \cdot 9,81} + 10,8 + 9,16 + 0,286 = 23,8 \text{ m}$$

Debitul pompei este:

$$V = \frac{115 \cdot 1000}{3600} = 32 \text{ l/s}$$

S-a pompat o soluție cu densitatea relativă 1,12. Să se determine randamentul pompei pentru fiecare debit și să se construiască caracteristica grafică a pompei.

Rezolvare. Din ecuația:

$$P = \frac{V \rho g H_m}{1000 \eta}$$

rezultă relația pentru randamentul pompei:

$$\eta = \frac{V \rho g H_m}{1000 P}$$

Din figura 2-7 se observă că punctul A cu coordonatele $V = 32 \text{ l/s}$ și $H = 23,8 \text{ m}$ se găsește deasupra curbei caracteristice a pompei și prin urmare pompa dată cu 1200 rot/min nu poate da debitul necesar (la $H_m = 23,8 \text{ m}$ pompa poate transporta numai 26 l/s). Dacă însă se mărește turația, poate ar putea satisface debitul cerut. Utilizând relația (2-8):

$$\frac{V_1}{V_2} = \frac{n_1}{n_2} \text{ și } \frac{H_{m1}}{H_{m2}} = \left(\frac{n_1}{n_2}\right)^2$$

se poate găsi noua turația a pompei.

Dacă, de exemplu, se admite $n_2 = 1260 \text{ rot/min}$ și se recalculază datele exemplului 2-5 cu formula (2-8), se obțin datele din tabelul 2-3.

Trasind după datele tabelului 2-3 caracteristica pompei la $n_2 = 1260 \text{ rot/min}$ (fig. 2-8), se constată că la această turație pompa realizează debitul necesar (32 l/s) și înălțimea dată 23,8 m.

Puterea necesară pompei pentru noua turație se calculează cu formula:

$$P = \frac{V \rho g H_m}{1000 \eta}$$

considerind că randamentul pompei nu s-a schimbat*. Valoarea lui se ia din datele exemplului 2-5, în care s-a găsit că pentru $V = 30 \dots 40 \text{ l/s}$, randamentul pompei este aproximativ 0,64.

Puterea necesară pompei la $n_2 = 1260 \text{ rot/min}$ este:

$$P = \frac{32 \cdot 1120 \cdot 9,81 \cdot 23,8}{1000 \cdot 1000 \cdot 0,64} = 13,1 \text{ kW}$$

Exemplul 2-7. Să se determine coeficientul de debit al unei pompe cu roți dințate (fig. 2-9) care face 440 rot/min. Numărul de dinți al roții este 12,

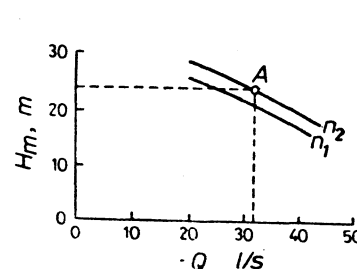


Fig. 2-8. Schița la exemplul 2-6.

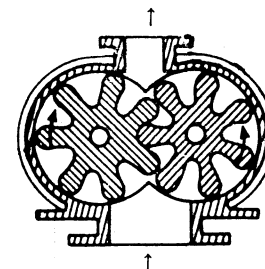


Fig. 2-9. Schița la exemplul 2-7.

* Puterea pompei se poate calcula și cu formula $P_2 = P_1 \left(\frac{1260}{1200}\right)^3$, luind valoarea lui P_1 din grafic (fig. 2-7).

lăţimea dinţilor este 42 mm, suprafaţa secţiunii unui dinte, limitată de perimetrul exterior al roţii vecine, 960 mm². Pompa transportă 0,312 m³/min.

Rezolvare. Debitul unei pompe cu roţi dinţate V (în m³/s) se determină cu formula :

$$V = \eta_v \frac{2Sbz n}{60}$$

în care : η_v este coeficientul de debit ;

S — suprafaţa secţiunii dintelui, limitată de perimetrul exterior al roţii vecine, în m² ;

b — lăţimea dintelui, în m ;

z — numărul de dinţi ai roţii ;

n — numărul de rotaţii pe minut.

În acest caz debitul teoretic V_t este :

$$V_t = \frac{2Sbz n}{60} = \frac{2 \cdot 0,00096 \cdot 0,042 \cdot 12 \cdot 440}{60} = 0,00708 \text{ m}^3/\text{s}$$

Debitul real este :

$$V = \frac{0,312}{60} = 0,0052 \text{ m}^3/\text{s}$$

De aici, coeficientul de debit :

$$\eta_v = \frac{V}{V_t} = \frac{0,0052}{0,00708} = 0,735$$

Exemplul 2-8. Să se determine, neglijând pierderile, vidul teoretic care poate fi obţinut de un jet de apă în camera A a unei pompe cu ejector (fig. 2-10). Presiunea la ieşirea din difuzor este cea atmosferică, (1,013·10⁵ Pa, sau 760 mm Hg), iar viteza jetului este 2,7 m/s.

Diametrul jetului în secţiunea I este 25 mm, iar în secţiunea II 50 mm.

Rezolvare. Se scrie ecuaţia Bernoulli (neglijând pierderile) pentru secţiunile I şi II ale jetului :

$$h_1 + \frac{p_1}{\rho g} + \frac{w_1^2}{2g} = h_2 + \frac{p_2}{\rho g} + \frac{w_2^2}{2g}$$

În cazul aşezării orizontale a pompei :

$$h_1 = h_2$$

Apoi :

$$w_1 = \frac{S_2}{S_1} w_2 = \left(\frac{50}{25} \right)^2 2,7 = 12,8 \text{ m/s}$$

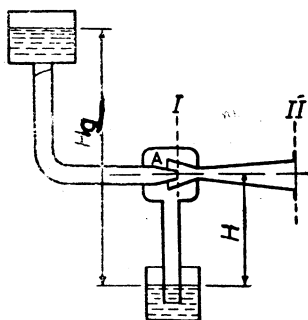


Fig. 2-10. Schița la exemplele 2-8 și 2-9.

Din ecuația Bernoulli rezultă :

$$p_1 = p_2 + \frac{(w_2^2 - w_1^2)\rho}{2} = 760 \cdot 133,3 + \frac{2,7^2 - 12,8^2}{2} 1000 = 101\,300 - 78\,300 = 23\,000 \text{ Pa}$$

Vidul teoretic este deci :

$$V_t = \frac{101\,300 - 23\,000}{9,81 \cdot 10^4} = 0,8 \text{ at}$$

Exemplul 2-9. Un ejector cu apă (fig. 2-10) ridică 7,8 m³/h lichid cu densitatea relativă 1,02 la înălțimea $H = 4$ m. Debitul de apă pentru funcționare este 9,6 m³/h. Înălțimea de lucru a apei înaintea pompei $H_g = 22$ m. Să se determine randamentul ejectorului.

Rezolvare. Lucrul util efectuat de pompă (puterea) este :

$$P_{ut} = \frac{7,8 \cdot 1020 \cdot 9,81 \cdot 4}{3\,600} = 86,7 \text{ W}$$

Puterea consumată de pompă va fi :

$$P = \frac{9,6 \cdot 1000 (22 - 4) 9,81}{3\,600} = 471 \text{ W}$$

De unde, randamentul pompei :

$$\eta = \frac{86,7}{471} 100 = 18,4\%$$

Exemplul 2-10. Să se determine presiunea dezvoltată de un ventilator (v. fig. 2-4) care transportă azot ($\rho = 1,2 \text{ kg/m}^3$) dintr-un rezervor într-o instalație. Suprapresiunea în rezervorul de gaz este 60 mm H₂O, iar în instalație 74 mm H₂O. Pierderile pe conducta de aspirație reprezintă 19 mm H₂O, iar pe cea de refulare 35 mm H₂O. Viteza azotului în conducta de refulare este 11,2 m/s.

Rezolvare. Presiunea realizată de ventilator se determină cu formula (2-9). Diferența de presiune între locul de refulare și de aspirație este :

$$p_2 - p_1 = (74 - 60) 9,81 = 137 \text{ Pa sau } 14 \text{ mm H}_2\text{O}$$

Pierderile totale în conductele de aspirație și de refulare sînt :

$$\Delta p_{asp} + \Delta p_{ref} = (19 + 35) 9,81 = 530 \text{ Pa sau } 54 \text{ mm H}_2\text{O}$$

Presiunea dinamică la ieșirea din conductă este :

$$\frac{w^2 \rho}{2} = \frac{11,2^2 \cdot 1,2}{2} = 76 \text{ Pa sau } 7,7 \text{ mm H}_2\text{O}$$

• Presiunea dezvoltată de ventilator va fi :

$$\Delta p = 137 + 530 + 76 = 743 \text{ Pa sau } 76 \text{ mm H}_2\text{O}$$

Exemplul 2-11. În conducta de aspirație a unui ventilator centrifugal există un vid de 15,8 mm H₂O, iar manometrul pe conducta de refulare, situat imediat după ventilator, arată o suprapresiune de 20,7 mm H₂O. Debitmetrul indică un debit al ventilatorului de 3 700 m³/h. Conductele de aspirație și de refulare au același diametru. Turația este 960 rot/min. Ventilatorul consumă 0,77 kW.

Să se determine presiunea dezvoltată de ventilator și randamentul acestuia. Cum variază debitul ventilatorului dacă se mărește turația la 1 150 rot/min și ce putere se va consuma la noua turație?

Rezolvare. Presiunea dezvoltată de ventilator se calculează cu formula (2-10). Deoarece conductele de aspirație și de refulare au același diametru, pierderea de presiune datorită vitezei dinamice este aceeași iar presiunea dezvoltată este egală cu:

$$\Delta p = p_{st,ref} - p_{st,asp} = 20,7 \cdot 9,81 - (-15,8 \cdot 9,81) = 354 \text{ Pa}$$

Debitul ventilatorului va fi:

$$V = \frac{3\,700}{3\,600} = 1,03 \text{ m}^3/\text{s}$$

Puterea teoretică este:

$$P_t = \frac{1,03 \cdot 354}{1\,000} = 0,368 \text{ kW}$$

Randamentul ventilatorului va fi:

$$\eta = \frac{P_t}{P} = \frac{0,368}{0,77} = 0,48$$

Debitul ventilatorului la turația $n_2 = 1\,150$ rot/min se determină cu formula (2-8):

$$V_2 = V_1 \frac{n_2}{n_1} = 3\,700 \frac{1\,150}{960} = 4\,430 \text{ m}^3/\text{h}$$

Puterea la noua turație va fi:

$$P_2 = P_1 \left(\frac{n_2}{n_1} \right)^3 = 0,77 \left(\frac{1\,150}{960} \right)^3 = 1,33 \text{ kW}$$

Exemplul 2-12. La încercarea unui ventilator centrifugal cu turația 1 440 rot/min s-au obținut următoarele date:

V, m ³ /h	100	350	700	1 000	1 600	2 000
Δp {Pa	449	424	432	427	387	316
{mm H ₂ O	45,8	43,2	44,0	43,5	39,5	32,2

Cît aer va debita ventilatorul lucrînd cuplat la o rețea și avînd aceeași turație ca și la încercările făcute, dacă calculul de rezistență a rețelei a arătat că la trecerea prin rețea a 1 350 m³/h aer se obțin următoarele valori pentru pierderile de presiune:

$$\Delta p_a = 85 \text{ Pa sau } 8,7 \text{ mm H}_2\text{O}$$

$$\Delta p_f + \Delta p_{rt} = 288 \text{ Pa sau } 29,4 \text{ mm H}_2\text{O}$$

Diferența de presiune din spațiul de refulare și de aspirație în rețeaua considerată este:

$$\Delta p_{st} = p_2 - p_1 = 128 \text{ Pa sau } 13 \text{ mm H}_2\text{O}$$

Rezolvare. Pentru rezolvarea acestei probleme trebuie să se găsească punctul de lucru situat la intersecția caracteristicii ventilatorului și a rețelei. Caracteristica rețelei se prezintă printr-o parabolă în ecuația căreia

$$\Delta p = aV^2 + b$$

primul termen a părții din dreapta aV^2 este egal cu suma pierderilor $\Delta p_a + \Delta p_f + \Delta p_{rt}$ și variază proporțional cu patratul debitului, iar al doilea termen b nu depinde de debit și reprezintă diferența presiunilor în spațiul de refulare și de aspirație, adică Δp_{st} ; a este un coeficient constant.

În tabelul 2-4 sînt calculate cîteva puncte ale acestei parabole.

Tabelul 2-4

V, m ³ /h	aV ²	b		Δp	
		Pa	mmH ₂ O	Pa	mmH ₂ O
1 350	38,1	128	13	501	51,4
$\frac{1\,350}{1,5} = 900$	$\frac{38,1}{1,5^2} = 16,9$	128	13	293	29,9
$\frac{1\,350}{2} = 675$	$\frac{38,1}{2^2} = 9,5$	128	13	221	22,5
$\frac{1\,350}{2,5} = 540$	$\frac{38,1}{2,5^2} = 6,1$	128	13	187	19,1
0	0	128	13	128	13,0

Se trasează apoi pe un grafic comun (fig. 2-11) caracteristica ventilatorului după rezultatele încercării și caracteristica rețelei după punctele calculate.

Punctul de intersecție a celor două caracteristici arată că, dacă se lucrează cu rețeaua dată, ventilatorul va transporta 1 170 m³/h aer.

Exemplul 2-13. Să se compare lucrul teoretic consumat pentru comprimarea a 1 m³ aer de la 1 at: a) la 1,1 at și b) pînă la 5 at. Să se calculeze lucrul consumat atît cu formula termodinamică a comprimării adiabatică cît și cu formula hidraulică (adică, considerînd că aerul este necompresibil).

Rezolvare.

$$a) p_1 = 9,81 \cdot 10^4 \text{ Pa}; p_2 = 10,8 \cdot 10^4 \text{ Pa}$$

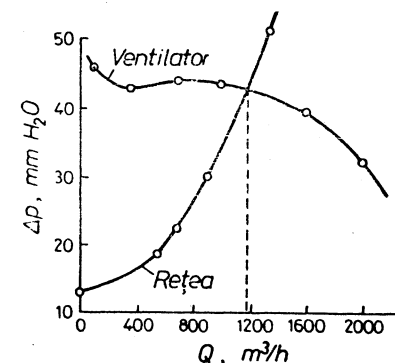


Fig. 2-11. Schița la exemplul 2-12.

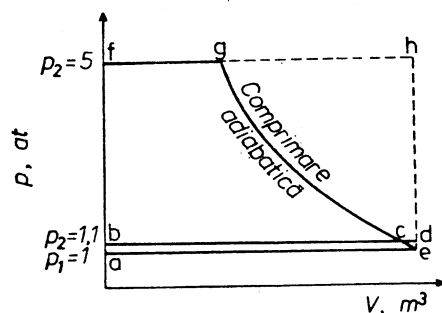


Fig. 2-12. Schița la exemplul 2-13.

Calculul cu formula hidraulică :

$$L_h = V \Delta p$$

dă pentru $\Delta p = 10,8 \cdot 10^4 - 9,81 \cdot 10^4 = 9,8 \cdot 10^3$ Pa

$$L_h = 1,9,81 \cdot 10^3 = 9810 \text{ J/m}^3$$

b) $p_1 = 9,81 \cdot 10^4$; $p_2 = 49,1 \cdot 10^4$ Pa

Cu formula termodinamică :

$$L_{ad} = \frac{1,4}{0,4} 9,81 \cdot 10^4 \left[5^{\frac{0,4}{1,4}} - 1 \right] = 201\,000 \text{ J/m}^3$$

Cu formula hidraulică, la $\Delta p = 49,1 \cdot 10^4 - 9,81 \cdot 10^4 = 39,3 \cdot 10^4$ Pa

$$L_h = 1,39,3 \cdot 10^4 = 393\,000 \text{ J/m}^3$$

Comparind variantele a) și b), se observă că în primul caz rezultatele obținute cu formulele termodinamică și hidraulică diferă în total cu 3%. Acest caz ($p_2/p_1 = 1,1$) corespunde treptei limită de comprimare a aerului cu ventilatoare, pentru care calculul puterii necesare se face, după cum s-a arătat, cu formula hidraulică.

În al doilea caz ($p_2/p_1 = 5$), care corespunde comprimării aerului în compresor, rezultatele obținute cu formula comprimării adiabatică și cu formula hidraulică diferă cu 100%. Pentru calculul puterii necesare compresorului, se utilizează totdeauna formulele termodinamice (2-12) și (2-13).

Pe diagrama teoretică indicatoare a unui compresor cu piston (fig. 2-12) se vede clar că suprafața *abce* (care reprezintă lucrul consumat în comprimarea adiabatică la $p_2 = 1,1$ at) este aproximativ egală cu suprafața *abde*, însă suprafața *afge* (pentru $p_2 = 5$ at) diferă mult de suprafața *afhe*.

Exemplul 2-14. Să se determine puterea necesară a unui compresor cu piston cu o singură treaptă, care comprimă 460 m³/h (considerați la 0°C

* Deoarece între cele două mărimi din paranteză există o diferență mică, nu este indicat să se calculeze cu rigla de calcul, care în acest caz nu dă o exactitate suficientă.

și 760 mm Hg) amoniac de la 2,5 ata la 12 ata. Temperatura inițială a amoniacului este -10°C; randamentul compresorului 0,7. Să se determine de asemenea temperatura amoniacului la sfârșitul comprimării.

Rezolvare. Se determină lucrul mecanic teoretic al compresorului cu formula (2-12) pentru comprimarea adiabatică.

În tabelul V pentru amoniac se găsește :

$$k = 1,29$$

$$R = \frac{8\,310}{17} = 489 \text{ J/kg} \cdot \text{K}$$

$$L_{ad} = \frac{1,29}{0,29} 489 \cdot 263 \left[\left(\frac{12}{2,5} \right)^{\frac{0,29}{1,29}} - 1 \right] = 240\,000 \text{ J/kg}$$

Aceeași mărime se calculează apoi cu formula (2-13). Din diagrama $T-S$ pentru amoniac (fig. XXVI) se găsește pentru punctul 1 ($t_1 = -10^\circ\text{C}$; $p_1 = 2,5$ at) $i_1 = 1\,440$ kJ/kg. Ducind din acest punct o verticală ($S = \text{const}$) pînă la intersecția cu izobara $p_2 = 12$ ata, se găsește punctul 2 pentru care $i_2 = 1\,673$ kJ/kg. Folosind formula (2-13), se obține :

$$L_{ad} = 1\,673\,000 - 1\,440\,000 = 233\,000 \text{ J/kg}$$

valoare apropiată de aceea găsită anterior (diferența este de circa 3%).

Debitul masic de amoniac este :

$$G = 460 \cdot 0,76 = 350 \text{ kg/h}$$

Aici 0,76 kg/m³ este densitatea amoniacului în condiții normale :

$$\rho_0 = \frac{M}{22,4} = \frac{17}{22,4} = 0,76 \text{ kg/m}^3$$

Puterea necesară a compresorului se calculează cu formula (2-15) :

$$P = \frac{350 \cdot 240\,000}{3\,600 \cdot 0,7 \cdot 1\,000} = 33,4 \text{ kW}$$

Temperatura la sfârșitul comprimării se calculează cu formula (2-14) :

$$T_2 = 263 \left(\frac{12}{2,5} \right)^{\frac{0,29}{1,29}} = 374 \text{ K} = 101^\circ\text{C}$$

Dacă se determină această temperatură direct din diagrama $T-S$ se găsește în punctul 2 valoare :

$$T_2 = 104^\circ\text{C}$$

Exemplul 2-15. Se cere să se producă 80 kg/h aer comprimat la o presiune de 4,5 at. Să se arate dacă se poate folosi un compresor cu piston cu o singură treaptă, cu acțiune simplă, avînd diametrul cilindrului 180 mm, lungimea cursei pistonului 200 mm și 240 rot/min. Spațiul mort reprezintă 5%

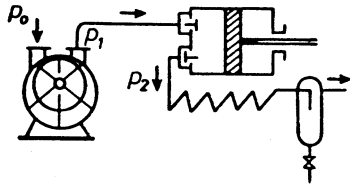


Fig. 2-13. Schița la exemplul 2-15 :

$P_0=1$ at ; $P_1=1,26$ at ; $P_2=5,5$ at.

din volumul descris de piston. Coeficientul politropic se va lua egal cu 1,25.

Rezolvare. Debitul compresorului se determină cu formula (2-16). Se calculează la început randamentul volumic λ_0 al compresorului.

Cu ecuația (2-17) se obține :

$$\lambda_0 = 1 - 0,05(5,5^{\frac{1}{1,25}} - 1) = 0,854$$

Coeficientul de debit este dat de :

$$\lambda = 0,85 \lambda_0 = 0,85 \cdot 0,854 = 0,725$$

Debitul compresorului este :

$$V = \frac{0,725 \cdot 0,18^2 \cdot 3,14 \cdot 0,2 \cdot 240}{4 \cdot 60} = 0,0147 \text{ m}^3/\text{s} = 53 \text{ m}^3/\text{h}$$

Considerind că compresorul aspiră aer din atmosferă cu temperatura de $\sim 20^\circ\text{C}$, avînd densitatea $1,2 \text{ kg}/\text{m}^3$, se obține debitul masic al compresorului :

$$53 \cdot 1,2 = 63,6 \text{ kg/h}$$

Prin urmare compresorul nu poate asigura debitul necesar (80 kg/h). Totuși debitul necesar poate fi obținut și prin utilizarea acestui compresor dacă se mărește turația compresorului de la 240 la $\frac{80}{63,6} 240 = 302 \text{ rot/min}$ sau dacă, menținînd turația de 240 rot/min, se cuplează compresorul cu o suflantă, care să comprime aerul de la presiunea atmosferică la presiunea $\frac{80}{63,6} = 1,26$ ata și să se treacă apoi aerul cu această presiune în conducta de aspirație a compresorului (fig. 2-13).

În ambele cazuri funcționarea compresorului trebuie să se verifice prin calcule speciale.

Exemplul 2-16. Spațiul mort al unui compresor cu piston cu o singură treaptă, folosit pentru comprimarea metanului, reprezintă 8,5% din volumul descris de piston. Considerînd că procesul de dilatare a gazului din spațiul mort este adiabatic, să se determine presiunea limită de refulare la care debitul compresorului devine nul. Presiunea de aspirație este cea atmosferică.

Rezolvare. Debitul compresorului este nul, atunci cînd randamentul volumic devine nul, adică :

$$\lambda_0 = 1 - \epsilon_0 \left[\left(\frac{p_2}{p_1} \right)^{\frac{1}{m}} - 1 \right] = 0$$

Conform condițiilor date, dilatarea gazului din spațiul mort se consideră adiabatică, adică în locul exponentului politropic m se ia exponentul adia-

hatic k , egal cu 1,31 la metan (tabelul V). Spațiul mort $\epsilon_0 = 0,085$. Presiunea de aspirație $p_1 = 1$ at.

Atunci :

$$1 - 0,085(p_2^{\frac{1}{1,31}} - 1) = 0$$

Din această ecuație se găsește :

$$p_2^{\frac{1}{1,31}} = 12,8$$

de unde

$$p_2 \approx 28 \text{ ata}$$

Prin urmare debitul compresorului va fi egal cu zero la presiunea de refulare de 28 ata.

Exemplul 2-17. Să se compare temperatura la sfîrșitul comprimării, lucrul mecanic teoretic consumat și valoarea randamentului volumic al unui compresor la comprimarea aerului de la 1 la 9 at :

a) într-un compresor cu piston cu o singură treaptă ;

b) într-un compresor cu două trepte și răcitor intermediar.

Temperatura inițială a aerului și după răcitor 20°C . Volumul spațiului mort reprezintă 8% din volumul descris de piston.

Rezolvare. a) comprimarea într-o singură treaptă.

Temperatura la sfîrșitul comprimării se calculează cu formula (2-14). Pentru aer $k = 1,4$ (tabelul V) :

$$T_2 = 293 \cdot 9^{\frac{1}{1,4}} = 293 \cdot 1,88 = 551 \text{ K} = 278^\circ\text{C}$$

Lucrul mecanic teoretic consumat se calculează cu formula (2-12). Pentru aer din tabelul V se găsește :

$$R = \frac{8310}{29} = 287 \text{ J/kg}$$

Prin urmare :

$$L_{ad} = \frac{1,4}{0,4} 287 \cdot 293(1,88 - 1) = 260\,000 \text{ J/kg}$$

Randamentul volumic al compresorului se determină cu ecuația (2-17) considerînd că dilatarea aerului din spațiul mort se face adiabatic :

$$\lambda_0 = 1 - 0,08(9^{\frac{1}{1,4}} - 1) = 0,7$$

b) comprimarea în două trepte.

Gradul de comprimare în fiecare treaptă se găsește cu ecuația (2-21) : $x^2 = 9$ de unde $x = 3$.

Temperatura după fiecare treaptă de comprimare este :

$$T_2 = 293 \cdot 3^{\frac{0,4}{1,4}} = 293 \cdot 1,37 = 402 \text{ K} = 129^\circ\text{C}$$

Lucrul mecanic teoretic total consumat în ambele trepte se calculează cu formula (2-18):

$$L_{ad} = 2 \cdot 287 \cdot 293 \frac{1,4}{0,4} (1,88^{\frac{1}{2}} - 1) = 218\,000 \text{ J/kg}$$

în care

$$1,88 = \left(\frac{p_{fin}}{p_1} \right)^{\frac{k-1}{k}}$$

Randamentul volumic va fi:

$$\lambda_0 = 1 - 0,08(3^{\frac{1}{1,4}} - 1) = 0,905$$

Se compară rezultatele obținute la comprimarea într-o singură treaptă și în două trepte:

Numărul treptelor de comprimare	1	2
Temperatura la sfârșitul comprimării, T_2 , °C	278	129
Lucrul mecanic teoretic consumat L_{ad} , J/kg	260 000	218 000
Randamentul volumic, λ_0	0,7	0,905

Această comparație arată clar superioritatea comprimării în două trepte. Cu cât raportul p_{fin}/p_1 este mai mare, cu atât apare mai evident avantajul comprimării în mai multe trepte.

Exemplul 2-18. Un compresor trebuie să debiteze 210 m³/h metan (în condiții normale), comprimat la 55 at. Presiunea inițială este cea atmosferică iar temperatura este 18°C. Să se determine: a) numărul treptelor de comprimare și repartizarea presiunii pe fiecare treaptă; b) puterea consumată, considerând randamentul adiabatic al compresorului egal cu 0,7; c) debitul apei de răcire în răcitoarele compresorului, dacă apa se încălzește cu 10°C.

Rezolvare. a) la un grad de comprimare egal cu ~ 4 , numărul necesar de trepte, conform ecuației (2-21), va fi:

$$n = \frac{\lg 55}{\lg 4} = 2,9 \approx 3$$

Neglijând pierderile de presiune între trepte, se precizează gradul de comprimare pe fiecare treaptă a compresorului cu trei trepte (fig. 2-14):

$$x = \sqrt[3]{55} = 3,8$$

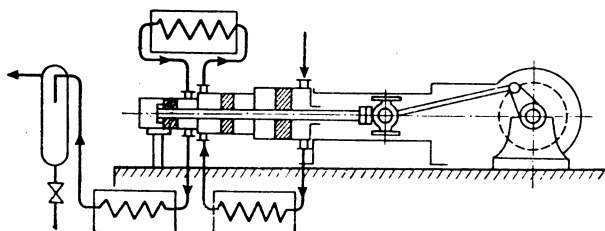


Fig. 2-14. Schița la exemplul 2-18.

Repartizarea aproximativă a presiunii pe trepte va fi:

	p_{tn}	p_{fin}
Treapta I	1	3,8
Treapta II	3,8	14,45
Treapta III	14,45	55

b) consumul teoretic de lucru mecanic se determină cu formula (2-18). Pentru metan în tabelul V se găsește:

$$k = 1,31$$

$$R = \frac{8\,310}{16} = 519 \text{ J/kg} \cdot \text{K}$$

$$\rho_0 = 0,72 \text{ kg/m}^3 \text{ (la } 0^\circ\text{C și } 760 \text{ mm Hg)}$$

Considerînd că în răcitoarele intermediare metanul se răcește pînă la 30°C, se găsește:

$$L_{ad} = 3 \cdot 519 \cdot 303 \frac{1,31}{0,31} (55^{\frac{0,31}{1,31}} - 1) = 746\,000 \text{ J/kg}$$

Puterea consumată se calculează cu formula (2-15):

$$P = \frac{210 \cdot 0,72 \cdot 746\,000}{3\,600 \cdot 1\,000 \cdot 0,7} = 44,6 \text{ kW}$$

c) pentru determinarea consumului de apă în răcitoarele compresorului se calculează temperatura după treapta a II-a și a III-a de comprimare, considerînd, după cum s-a spus, că în răcitoarele intermediare după treapta I-a și a II-a metanul se răcește la 303 K (fig. 2-15). În cilindru primei trepte a compresorului temperatura la sfârșitul comprimării va fi puțin mai mică, deoarece în prima treaptă metanul este aspirat la 18°C și nu la 30°C.

Conform ecuației (2-14):

$$T_2 = 303 \cdot 3,8^{\frac{0,31}{1,31}} = 416 \text{ K} = 143^\circ\text{C}$$

Considerînd căldura specifică a metanului la presiunile 3,8; 14,45 și 55 at ca fiind aproximativ identică și egală cu 2,22 kJ/kg·K rezultă că în cele trei răcitoare ale compresorului (după treptele I, II și III) apa de răcire trebuie să preia în total o cantitate de căldură egală cu:

$$Q = \frac{3 \cdot 210 \cdot 0,72 \cdot 2,22 \cdot 10^3 (143 - 30)}{3\,600} = 31\,700 \text{ W}$$

Această cantitate de căldură poate fi calculată și prin altă metodă, ca o cantitate de căldură echivalentă cu lucrul mecanic consumat pentru comprimare:

$$Q = L_{ad} V_0 \rho_0 = \frac{746\,000 \cdot 210 \cdot 0,72}{3\,600} = 31\,300 \text{ W}$$

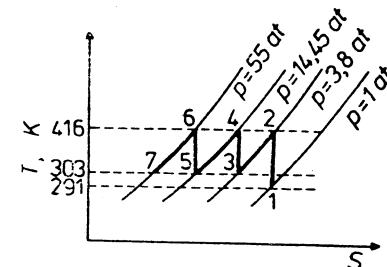


Fig. 2-15. Schița la exemplul 2-18.

La încălzirea apei cu 10°C debitul acesteia va fi :

$$G_{apa} = \frac{Q}{c(t_2 - t_1)} = \frac{31\,700}{4,19 \cdot 10^3 \cdot 10} = 0,756 \text{ kg/s}$$

sau

$$V_{apa} = \frac{0,756 \cdot 3\,600}{1\,000} = 2,71 \text{ m}^3/\text{h}$$

Aici $c = 4,19 \cdot 10^3 \text{ J/kg} \cdot \text{K}$ este căldura specifică a apei.

Exemplul 2-19. O pompă de vid cu piston trebuie să realizeze într-un aparat un vid de 0,9 at. Considerind că procesul de comprimare a aerului în pompa de vid este politrop (cu un exponent politropic $m = 1,25$), să se determine lucrul mecanic teoretic consumat :

a) în momentul când se atinge un vid de 0,1 at, adică presiunea în aparat este 0,9 ata ;

b) când presiunea în aparat, a ajuns la 0,3 at ;

c) când s-a atins vidul necesar, adică presiunea în aparat este 0,1 at.

Rezolvare. Se calculează lucrul mecanic consumat pentru aspirarea a 1 m³ aer (în J/m³) cu formula (2-12) :

$$L = \frac{m}{m-1} p_1 \left[\left(\frac{p_2}{p_1} \right)^{\frac{m-1}{m}} - 1 \right]$$

în care m este exponentul politropic de comprimare.

$$a) \frac{p_2}{p_1} = \frac{9,81 \cdot 10^4}{8,83 \cdot 10^4} = 1,11 ; \quad \frac{m}{m-1} = \frac{1,25}{0,25} = 5 ; \quad \frac{m-1}{m} = 0,2$$

$$L = 5 \cdot 8,83 \cdot 10^4 (1,11^{0,2} - 1) = 9\,720 \text{ J/m}^3$$

$$b) \frac{p_2}{p_1} = \frac{9,81 \cdot 10^4}{2,94 \cdot 10^4} = 3,33$$

$$L = 5 \cdot 2,94 \cdot 10^4 (3,33^{0,2} - 1) = 40\,000 \text{ J/m}^3$$

$$c) \frac{p_2}{p_1} = \frac{9,81 \cdot 10^4}{0,981 \cdot 10^4} = 10$$

$$L = 5 \cdot 0,981 \cdot 10^4 (10^{0,2} - 1) = 28\,600 \text{ J/m}^3$$

Se observă că lucrul mecanic consumat de pompa de vid trece printr-un maxim. Pentru acest maxim se calculează și puterea motorului necesar pompei de vid.

2.3. PROBLEME

2-1. O pompă transportă acid sulfuric de 30%. Indicația manometrului pe conducta de refulare este 1,8 kgf/cm²; indicația vacuometrului pe conducta de aspirație este un vid de 29 mm Hg. Manometrul este fixat cu 0,5 m mai sus decât vacuometrul. Conducta de aspirație și de refulare au același diametru. Ce presiune învinge pompa ?

2-2. O pompă transportă un lichid cu densitatea 960 kg/m³ dintr-un rezervor cu presiunea atmosferică într-un aparat în care presiunea este 37 at (v. fig. 2-1). Înălțimea de ridicare este 16 m. Rezistența totală pe conductele de aspirație și refulare este 65,6 m. Să se determine presiunea totală învinsă de pompă.

2-3. Să se determine randamentul unei stații de pompare. Pompa debitează 380 l/min păcură cu densitatea relativă 0,9. Înălțimea totală de ridicare este 30,8 m. Puterea necesară motorului este 2,5 kW.

2-4. Debitul unei pompe care transportă lichid cu densitatea relativă 1,16 este 11 l/s. Înălțimea totală de ridicare este 58 m. Randamentul pompei este 0,64, al transmisiei 0,97, al electromotorului 0,95. Care va fi puterea instalată a motorului ?

2-5. O pompă cu piston (v. fig. 2-2) este instalată la înălțimea de 300 m deasupra nivelului mării. Pierderile totale la aspirație reprezintă 5,5 m H₂O. Înălțimea geometrică de aspirație este 3,6 m. Să se determine temperatura maximă a apei la care mai este posibilă aspirația.

2-6. Să se determine debitul unei pompe cu piston diferențiale (fig. 2-16), care are diametrul mare al plunjerului 340 mm, iar cel mic 240 mm. Cursa plunjerului este 480 mm, turația 60 rot/min. Coeficientul de debit este 0,85. Să se determine de asemenea, cantitatea de lichid care este refulată de fiecare parte a plunjerului.

2-7. O pompă cu plunjer cu dublu efect (v. fig. 2-6) umple un rezervor cu diametrul 3 m și înălțimea 2,6 m în 26,5 min. Diametrul plunjerului pompei este 180 mm, diametrul tijei 50 mm, raza manivelei 145 mm. Turația 55 rot/min. Să se determine coeficientul de debit al pompei.

2-8. O pompă centrifugă cu turația 1 800 rot/min trebuie să transporte 140 m³/h apă, care are temperatura 30°C. Presiunea atmosferică medie la locul de instalare a pompei este 745 mm Hg. Pierderile de presiune pe conducta de aspirație reprezintă 4,2 m H₂O. Să se determine înălțimea teoretică de aspirație admisibilă.

2-9. O pompă centrifugă debitează 280 l/min apă și învinge o înălțime $H = 18$ m. Să se arate dacă această pompă se poate folosi pentru transportul a 15 m³/h lichid cu densitatea relativă 1,06 dintr-un rezervor la presiunea atmosferică într-un aparat cu suprapresiunea 0,3 at printr-o conductă cu diametrul 70 × 2,5 mm. Înălțimea geometrică de ridicare este 8,5 m. Lungimea calculată a conductei (lungimea proprie plus lungimea echivalentă rezistențelor locale) este de 124 m. Coeficientul de frecare în conductă se consideră egal cu 0,03. Să se determine, de asemenea, care trebuie să fie puterea motorului instalat, dacă randamentul instalației de pompare este 0,55.

2-10. O pompă centrifugă pentru transportul apei are următoarele caracteristici : $V = 56 \text{ m}^3/\text{h}$; $H = 42 \text{ m}$; $P = 10,9 \text{ kW}$ la $n = 1\,140 \text{ rot/min}$. Să se determine : 1) randamentul pompei ; 2) debitul, înălțimea de ridicare și puterea necesară la $n = 1\,450 \text{ rot/min}$, considerind că randamentul rămâne neschimbat.

2-11. La încercarea unei pompe centrifuge s-au obținut următoarele date :

V , l/min	0	100	200	300	400	500
H , m	37,2	38,0	37,0	34,5	31,8	28,5

Cît lichid va debita pompa pe o conductă cu diametrul 76 × 4 mm, lungă de 355 m (lungimea proprie plus lungimea echivalentă rezistențelor locale), la o înălțime geometrică de ridicare de 4,8 m ? Coeficientul de frecare $\lambda = 0,03$; $\Delta p_{el} = 0$. Să se traseze curbele caracteristice ale pompei și conductei și să se afle punctul de lucru.

Cum variază debitul pompei dacă înălțimea geometrică de ridicare este 19 m ?

2-12. Să se determine debitul unei pompe cu roți dințate (v. fig. 2-9), cunoscind următoarele date : turația 650 rot/min, numărul dinților pe roată 12, lățimea unui dinte 30 mm, suprafața secțiunii dintelui limitată pe perimetrul exterior al roții vecine 7,85 cm², coeficientul de debit 0,7.

2-13. Se cere să se pompeze cu ajutorul unui ejector 215 l/min soluție cu densitatea relativă 1,06 dintr-un rezervor așezat la subsol (v. fig. 2-10). Înălțimea de ridicare este 3,8 m. Presiunea apei înainte pompei este 1,9 at. Randamentul pompei 0,15. Cîți metri cubi de apă va consuma ejectorul pe oră ?

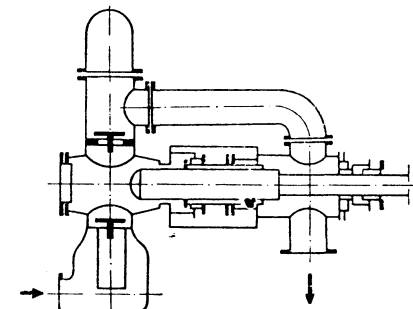


Fig. 2-16. Schița la problema 2-6.

2-14. Ce putere instalează trebuie să aibă motorul unui ventilator cu debitul de 110 m³/min la o presiune totală de 834 Pa (85 mm H₂O)? Randamentul ventilatorului 0,47.

2-15. Un ventilator centrifugal cu turații 960 rot/min debitează 3 200 m³/h aer, consumând pentru aceasta 0,8 kW. Presiunea creată de ventilator este 44 mm H₂O. Care va fi debitul, presiunea și puterea consumată de acest ventilator la $n = 1\,250$ rot/min? Să se determine, de asemenea, randamentul ventilatorului.

2-16. Ce cantitate de aer va transporta ventilatorul din exemplul 2-12, dacă funcționează într-o rețea în care pentru un debit de 1 000 m³/h suma ($\Delta p_d + \Delta p_f + \Delta p_i$) reprezintă 265 Pa, iar diferența de presiune între spațiul de refulare și cel de aspirație este 20 mm H₂O?

2-17. Cît aer va transporta ventilatorul din exemplul 2-12 într-o rețea în care, la un debit de 1 350 m³/h, suma ($\Delta p_d + \Delta p_f + \Delta p_i$) reprezintă 167 Pa, iar $\Delta p_{a,i}$ este 128 Pa?

2-18. Ce turație trebuie să aibă ventilatorul din exemplul 2-12, dacă el trebuie să transporte 1 500 m³/h aer într-o rețea a cărei rezistență totală pentru acest debit este 422 Pa?

2-19. Să se determine pe cale analitică și cu ajutorul diagramei $T - S$ temperatura aerului la sfîrșitul comprimării adiabactice de la presiunea inițială 1 ata pînă la cea finală 3,5 ata. Temperatura inițială este 0°C. Să se determine, de asemenea, lucrul mecanic necesar pentru comprimarea a 1 kg aer.

2-20. Să se determine puterea necesară a unui compresor cu piston pentru bioxid de carbon avînd un debit de 5,6 m³/h (în condițiile de aspirație). Compresorul comprimă bioxid de carbon de la 20 la 70 ata. Temperatura inițială este -15°C. Randamentul compresorului se consideră egal cu 0,65. Să se rezolve această problemă pe cale analitică și cu ajutorul diagramei $T - S$ pentru bioxid de carbon (fig. XXVII).

2-21. Să se determine randamentul volumic al compresorului din problema precedentă, dacă spațiul mort reprezintă 6% din volumul descris de piston, iar exponentul politropic de dilatare $m = 1,2$.

2-22. Să se determine debitul și puterea consumată de un compresor cu piston cu o singură treaptă, avînd următoarele caracteristici: diametrul pistonului 250 mm, cursa pistonului 275 mm, volumul spațiului mort 5,4% din volumul descris de piston, turația 300 rot/min. Compresorul comprimă aer de la presiunea atmosferică pînă la 4 at. Exponentul politropic de dilatare este cu 10% mai mic decît exponentul adiabatic. Temperatura inițială a aerului este 25°C. Randamentul total al compresorului este 0,72.

2-23. Cum variază debitul și puterea necesară compresorului din problema precedentă, dacă aerul este introdus cu o suflantă la o presiune de 0,4 ata (v. fig. 2-13)? Presiunea finală este 4 at.

2-24. La ce presiune de refulare randamentul volumic al unui compresor cu piston cu o singură treaptă, care comprimă etilenă, scade la 0,2? Presiunea de aspirație este 1 at. Dilatarea gazului din spațiul mort se consideră adiabatică. Volumul spațiului mort reprezintă 7% din volumul descris de piston.

2-25. Știînd că uleiurile obișnuite de uns pentru compresoare permit, fără o înrăutățire apreciabilă a gresajului, ridicarea temperaturii în cilindru pînă la maximum 160°C, să se determine presiunea limită de refulare într-un compresor cu piston cu o singură treaptă: a) pentru aer; b) pentru etan. Presiunea de aspirație este cea atmosferică (1 ata). Temperatura inițială este 25°C. Procesul de comprimare se va considera adiabatic.

2-26. După datele din exemplul 2-17 să se determine, pentru un compresor cu o singură treaptă și cu două trepte, lucrul teoretic consumat în ambele cazuri folosind formulele (2-13) și (2-19).

2-27. Să se determine numărul treptelor unui compresor cu piston, care trebuie să comprime azot de la 1 pînă la 100 ata, dacă temperatura admisibilă la sfîrșitul comprimării nu trebuie să depășească 140°C. Procesul de comprimare se consideră adiabatic. Temperatura inițială a azotului este 20°C.

2-28. Să se determine lucrul mecanic teoretic consumat la comprimarea hidrogenului de la 1,5 la 17 ata, în una și în două trepte. Temperatura inițială a hidrogenului este 20°C.

2-29. Un compresor supus verificării a comprimat aer într-un balon cu o capacitate de 42,4 l. După 10,5 min presiunea în balon a crescut de la 0 la 52 at, iar temperatura aerului în balon s-a ridicat de la 17 la 37°C. Să se determine debitul compresorului în m³/h (în condiții normale)

2-30. Să se determine puterea necesară și debitul de apă în răcitorul unui compresor cu piston, care comprimă 625 m³/h (în condiții normale) etilenă de la presiunea absolută $9,81 \cdot 10^4$ la $176,6 \cdot 10^4$ Pa. Randamentul compresorului este 0,75. Apa de răcire se încălzește în răcitor cu 13°C. Temperatura inițială a gazului este 20°C.

3. METODE HIDRODINAMICE DE SEPARARE. HIDRODINAMICA STRATULUI FLUIDIZAT. AMESTECAREA ÎN MEDIU LICHID.

3.1. FORMULE DE CALCUL

3.1.1. Sedimentarea

Sedimentarea sub acțiunea forței de gravitație (camere de desprăfuire, decantoare).

1. Pentru descrierea sub formă criterială a procesului de sedimentare a particulelor sferice solide și lichide într-un mediu nelimitat, în repaus, se pot folosi criteriile de similitudine Arhimede Ar, Liascenco Li, Reynolds Re.

Relația criterială cea mai convenabilă este:

$$Li = f(Ar)$$

2. În așa-numitul regim laminar de sedimentare, care este caracterizat prin $Re < 0,2$; $Ar < 3,6$; $Li < 2 \cdot 10^{-3}$, Stokes a obținut teoretic următoarea formulă pentru viteza de sedimentare a particulelor sferice*:

$$w_{sed} = \frac{d^2(\rho - \rho_m)g}{18 \eta_m} \quad (3-1)$$

Pentru sedimentarea particulelor într-un mediu gazos, formula (3-1) se simplifică:

$$w_{sed} = \frac{d^2 \rho g}{18 \eta_m} \quad (3-2)$$

pentru că în acest caz mărimea ρ_m se poate neglija în comparație cu ρ .

În formulele (3-1) și (3-2):

d este diametrul particulelor sferice, în m;

ρ — densitatea particulei, în kg/m³;

ρ_m — densitatea mediului, în kg/m³;

η_m — viscozitatea mediului, în Pa·s sau N·s/m² sau kg/m·s.

3. Determinarea vitezei de sedimentare a unei particule sferice într-un mediu nelimitat, în repaus, aplicabilă la orice regim de sedimentare, se face în ordinea următoare.

* Practic este posibilă utilizarea formulei lui Stokes și la alte valori ale criteriilor lui Arhimede și Liascenco.

Se determină criteriul Arhimede :

$$Ar = Ga \frac{\Delta \rho}{\rho_m} = \frac{Re^2}{Fr} \frac{\rho - \rho_m}{\rho_m} = \frac{d^2(\rho - \rho_m)\rho_m g}{\eta_m^2} \quad (3-3)$$

în care $Ga = \frac{Re^2}{Fr}$ este criteriul Galileu.

Pentru sedimentarea în mediu gazos :

$$Ar = \frac{d^2 \rho \rho_m g}{\eta_m^2}$$

Cu valoarea criteriului Ar se determină valoarea criteriului Re sau a criteriului Li (fig. 3-1) :

$$Li = \frac{Re^3}{Ar} = \frac{Re Fr \rho_m}{\rho - \rho_m} = \frac{w_{sed}^2 \rho_m^2}{\eta_m (\rho - \rho_m) g} \quad (3-4)$$

sau, dacă mediul este gazos :

$$Li = \frac{w_{sed}^2 \rho_m^2}{\eta_m \rho g} \quad (3-4, a)$$

Apoi se calculează viteza de sedimentare :

$$w_{sed} = \frac{Re \eta_m}{d \rho_m} \quad (3-5)$$

sau

$$w_{sed} = \sqrt[3]{\frac{Li \eta_m (\rho - \rho_m) g}{\rho_m^2}} \quad (3-5, a)$$

Pentru particule cu formă neregulată se introduce în formula vitezei d_{ech} în locul diametrului d . Diametrul echivalent d_{ech} al particulei de formă neregulată reprezintă diametrul unei sfere geometrice ipotetice, al cărei volum este egal cu volumul particulei de formă neregulată :

$$d_{ech} = \sqrt[3]{\frac{6}{\pi} V} = 1,24 \sqrt[3]{\frac{M}{\rho}} \quad (3-6)$$

în care M este masa particulei, în kg.

4. Dacă se cunoaște viteza de sedimentare, diametrul particulei de formă sferică se determină pe cale inversă, adică se calculează mai întâi criteriul Liascenko, cu ec. (3-4) :

$$Li = \frac{w_{sed}^2 \rho_m^2}{\rho_m (\rho - \rho_m) g}$$

și cu valoarea găsită pentru Li se determină criteriul Ar (fig. 3-1), din care se calculează cu formula (3-3) diametrul particulei sferice.

5. Diametrul echivalent al particulelor unui corp solid de formă neregulată se determină pe aceeași cale, dacă se cunoaște viteza de sedimentare. Mai întâi se determină criteriul Li cu formula (3-4), apoi se află valoarea

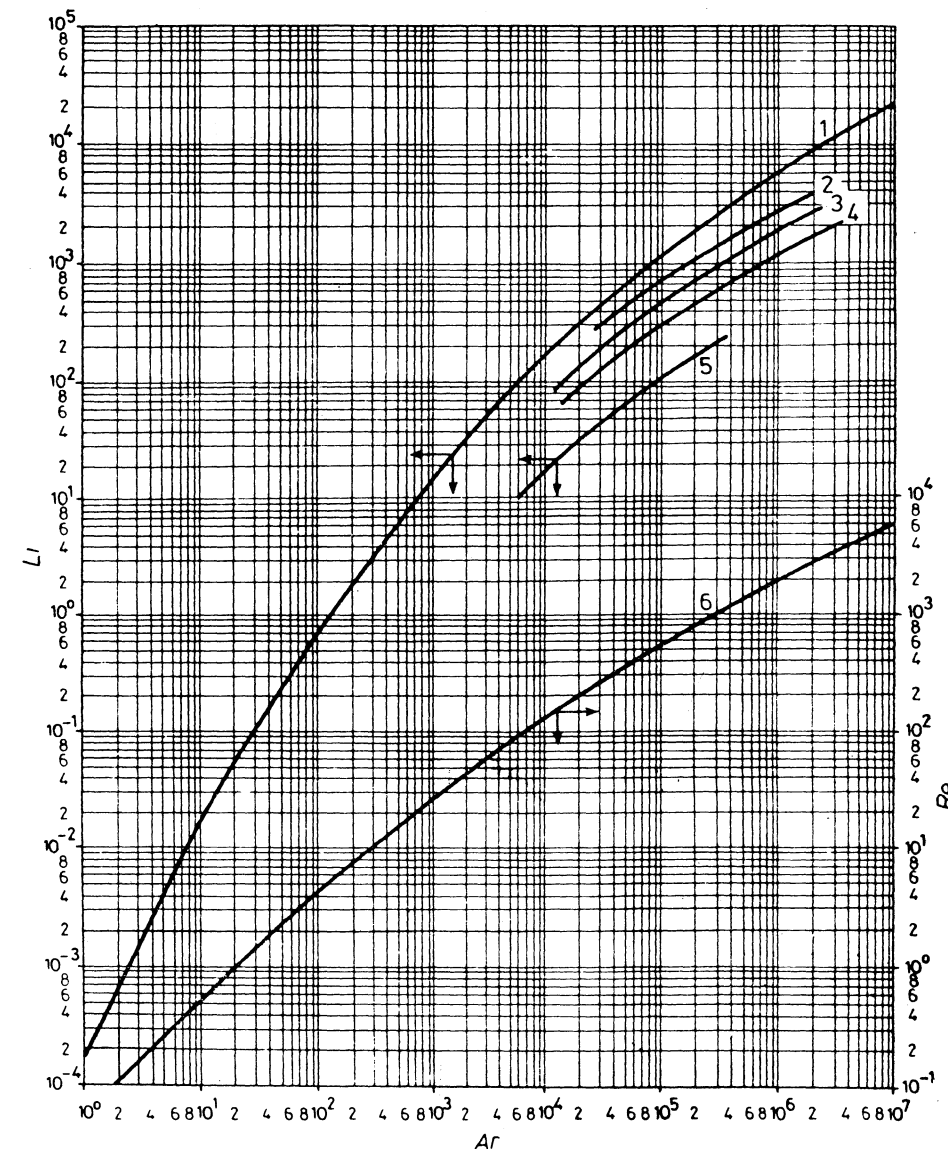


Fig. 3-1. Variația criteriilor Re și Li în funcție de criteriul Ar la sedimentarea particulelor individuale într-un mediu imobil :

1 și 6 — particule sferice ; 2 — rotunjite ; 3 — colțuroase ; 4 — alungite ; 5 — lamelare.

criteriului Ar pentru particule de forma corespunzătoare din figura 3-1 și se calculează diametrul echivalent :

$$d_{ech} = \sqrt[3]{\frac{Ar\gamma_m^2}{(\rho - \rho_m)\rho_m g}} \quad (3-7)$$

6. Suprafața de sedimentare S_{sed} (în m^2) a unei camere de desprăfuire sau a unui decantor pentru suspensii se determină cu formula :

$$S_{sed} = \frac{V}{w'_{sed}} \quad (3-8)$$

în care : V este debitul volumic al gazului sau lichidului care trece prin aparat paralel cu suprafața de sedimentare, în m^3/s ;
 w_{sed} — viteza medie de calcul de sedimentare, în m/s .

Raportul între viteza medie de calcul w_{sed} a particulelor în sedimentarea frinată și viteza w_{sed} a unei particule în sedimentarea liberă depinde de concentrația volumică a suspensiei [3-2].

Pentru calcule de orientare, ținând seama de deosebirea între condițiile reale de sedimentare față de cele teoretice (frinarea sedimentării, forma particulelor, mișcarea mediului) viteza medie de calcul, de sedimentare se admite adesea egală cu jumătate din viteza teoretică de sedimentare :

$$w'_{sed} = 0,5 w_{sed}$$

7. În cazul decantoarelor cu funcționare continuă folosite la separarea suspensiilor (fig. 3-2), formula (3-8) capătă forma :

$$S_{sed} = \frac{G_i \left(1 - \frac{c_i}{c_f}\right)}{\rho w'_{sed}} \quad (3-9)$$

sau

$$S_{sed} = \frac{V_0(x_f - x_i)}{w'_{sed} x_f} \quad (3-10)$$

în care : G_i este debitul inițial masic de suspensie diluată, în kg/s ;
 c_i — concentrația masică a fazei solide în suspensia inițială, în kg/kg ;

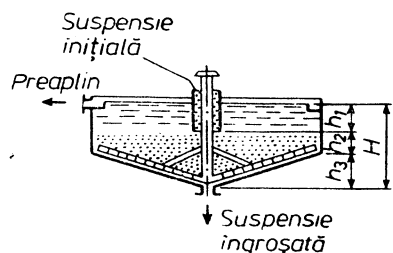


Fig. 3-2. Decantor cu funcționare continuă.

c_f — concentrația masică a fazei solide în suspensia în groșată (nămol), în kg/kg ;
 ρ — densitatea lichidului decantat, în kg/m^3 ;
 V_0 — debitul volumic al fazei lichide conținută în suspensia inițială, în m^3/s ;
 x_i și x_f — concentrația masică a suspensiei inițiale și a nămolului, în kg fază solidă/ kg fază lichidă.

3. Sedimentarea sub acțiunea forței centrifuge (cicloane).

Dimensiunile caracteristice ale unui ciclon (fig. 3-3) se determină de obicei în funcție de diametrul D . Pentru cicloanele NIOGAZ, frecvent folosite, în tabelul 3-1 sînt date aceste dimensiuni ca părți din diametrul D .

Tabelul 3-1

Dimensiunea	Tipul de ciclon		
	TN-24	TN-15	TN-11
Diametrul conductei de ieșire D_i , în m	0,60	0,60	0,60
Lățimea conductei de intrare b , în m	0,26	0,26	0,26
Înălțimea conductei de intrare h_1 , în m	1,11	0,66	0,48
Înălțimea conductei de ieșire h_2 , în m	2,11	1,74	1,56
Înălțimea părții cilindrice h_3 , în m	2,11	2,26	2,08
Înălțimea părții conice h_4 , în m	1,75	2,00	2,00
Înălțimea totală a ciclonului H , în m	4,26	4,56	4,38
Coeficientul de rezistență ζ	60	105	180

Se folosesc trei tipuri de aceste cicloane :

1) cu unghiul de 24° (TN-24) ; acest tip prezintă o productivitate mărită la o rezistență hidraulică minimă ; este indicat pentru captarea prafului de dimensiuni mari ;

2) cu unghiul de 15° (TN-15) ; acest tip realizează un grab bun de separare la o rezistență hidraulică relativ mică ;

3) cu unghiul de 11° (TN-11) ; acest tip asigură o eficacitate mărită și este recomandat ca deprăfuitor unificat.

9. Diametrul ciclonului D se determină din condiția vitezei convenționale a gazului w_c , raportată la secțiunea transversală totală a părții cilindrice a ciclonului :

$$D = \sqrt{\frac{V}{0,785 w_c}} \quad (3-11)$$

în care V este debitul de gaz care trece prin ciclon, în m^3/s .

Viteza w_c se determină din formula (3-12). Pentru aceasta în prealabil se dă raportul $\Delta p/\rho$ (v. exemplul 3-10). După [3-2] viteza variază între 2,5 și 4 m/s .

10. Rezistența hidraulică a ciclonului (în Pa) se calculează cu formula :

$$\Delta p = \zeta \frac{w_c^2 \rho}{2} \quad (3-12)$$

în care : ζ este coeficientul de rezistență al ciclonului ;
 ρ — densitatea gazului care trece prin ciclon, în kg/m^3 .

11. Gradul de separare a prafului η în ciclon depinde, în afară de proprietățile gazului, de dia-

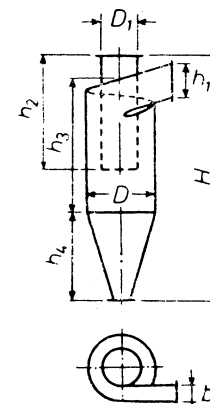


Fig. 3-3. Ciclon NIOGAZ.

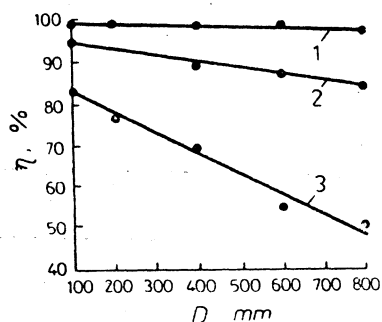


Fig. 3-4. Gradul de separare a prafului în cicloul TN-15:

Valoarea lui d (în μm): 1—15; 2—10; 3—5

metrul cicloului și de viteza gazului w , adică de raportul $\Delta p/\rho$, în conformitate cu formula (3-12).

În figura 3-4 este arătată variația gradului de separare η în funcție de diametrul cicloului la diverse diametre d ale particulelor de praf. Graficul se referă la un praf cu densitatea 2300 kg/m^3 la $\Delta p/\rho = 740 \text{ m}^2/\text{s}^2$.

3.1.2. Filtrarea

12. La $\Delta p = \text{const.}$, volumul de filtrat V , care trece prin 1 m^2 suprafață de filtrare în timpul τ și durata de filtrare τ sunt legate prin ecuația:

$$V^2 + 2CV = K\tau \quad (3-13)$$

în care: C este constanta mediului de filtrare (a pinzei), care caracterizează rezistența hidrolică a mediului de filtrare, în m^3/m^2 ;

K — constanta precipitatului, care ține seama de regimul procesului de filtrare și de proprietățile fizico-chimice ale precipitatului și lichidului [v. formula (3-15)], în m^2/s ;

τ — durata de filtrare, în s.

Constantele C și K se determină pe cale experimentală.

13. Viteza de filtrare (în $\text{m}^3/\text{m}^2 \cdot \text{s}$) la un moment dat se determină cu ecuația:

$$\frac{dV}{d\tau} = \frac{K}{2(V + C)} \quad (3-14)$$

Cu această ecuație se poate calcula și viteza de spălare a precipitatului cu lichid de spălare, dacă viscozitatea lichidului de spălare este aceeași ca și a filtratului și dacă lichidul de spălare trece prin filtru pe același parcurs ca și filtratul. În aceste condiții, viteza de spălare este egală cu viteza de filtrare în momentul final.

Forma modificată a ecuației (3-14):

$$\frac{d\tau}{dV} = \frac{2}{K} V + \frac{2C}{K}$$

care exprimă relația liniară între mărimile $\frac{d\tau}{dV}$ și V , se utilizează pentru determinarea constantelor C și K pe baza datelor experimentale. În acest scop pe axa absciselor se înscriu valorile măsurate pentru V_1, V_2, \dots , iar pe axa ordonatelor valorile corespunzătoare pentru $\frac{\Delta\tau_1}{\Delta V_1}, \frac{\Delta\tau_2}{\Delta V_2}, \dots$. Ducând prin punctele obținute o dreaptă (fig. 3-5), se găsesc apoi valorile lui C și K din ecuațiile:

$$\text{tg } \beta = \frac{2}{K}; \quad m = \frac{2C}{K}$$

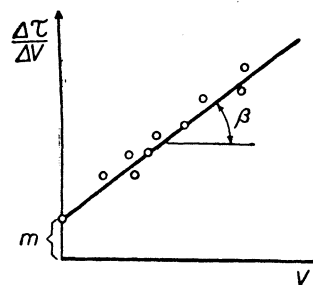


Fig. 3-5. Dependența dintre $\Delta\tau/\Delta V$ și V .

14. Constanta precipitatului K (în m^2/s), raportată la 1 m^2 suprafață de filtrare, la $\Delta p = \text{const.}$, este legată de rezistența specifică a precipitatului prin formula [3-9]:

$$K = \frac{2\Delta p}{\eta cr} \quad (3-15)$$

în care: Δp este căderea de presiune în filtru, în Pa;

η — viscozitatea filtratului, în Pa·s;

r — rezistența specifică a precipitatului (calculată la 1 kg de substanță uscată), în m/kg ;

c — masa substanței solide uscate care se depune la trecerea prin suprafața filtrantă a 1 m^3 filtrat, în kg/m^3 .

15. Mărima c (în kg/m^3) se poate exprima prin concentrația x a suspensiei filtrate în felul următor (v. exemplul 3-11):

$$c = \frac{\rho x}{1 - mx} \quad (3-16)$$

în care: ρ este densitatea filtratului;

x — concentrația masică a fazei solide în suspensie, în kg/kg ;

m — masa precipitatului umed raportată la 1 kg de substanță uscată conținută în el, în kg/kg .

La înlocuirea lui c în ecuația (3-15) se obține următoarea formulă pentru constanta K :

$$K = \frac{2\Delta p(1 - mx)}{\eta r \rho x} \quad (3-17)$$

Dacă se cunoaște constanta de filtrare K , rezistența specifică a precipitatului r se poate afla din ecuația (3-15), rezolvată în raport cu r (în m/kg precipitat uscat):

$$r = \frac{2\Delta p(1 - mx)}{K \eta \rho x} \quad (3-18)$$

16. Constanta mediului de filtrare C (în m^3/m^2), care caracterizează rezistența mediului (pinzei) de filtrare și este raportată la 1 m^2 de suprafață a filtrului, la $\Delta p = \text{const.}$, se determină cu ajutorul expresiei următoare:

$$C = \frac{r_p}{rc} \quad (3-19)$$

în care: r_p este rezistența specifică a pinzei filtrante (pe 1 m^2 de suprafață), în m/m^2 ;

r — rezistența specifică a precipitatului, în m/kg , sau, în conformitate cu ecuația (3-16):

$$C = \frac{r_p(1 - mx)}{rx\rho} \quad (3-20)$$

Prin urmare, dacă valoarea constantei de filtrare C este cunoscută (în m^3/m^2), rezistența specifică a pînzei se poate calcula cu formula :

$$r_p = \frac{Crpx}{1 - mx} \quad (3-21)$$

17. Concentrația apei de spălare într-un moment oarecare de la începutul perioadei principale de spălare* (de difuziune) se poate calcula cu ecuația :

$$C = C_1 e^{\frac{-Kw\tau}{\delta}} \quad (3-22)$$

în care : C_1 este concentrația apei de spălare la începutul procesului ;
 e — baza logaritmilor naturali ($e = 2,718$) ;
 K — coeficientul care ține seama de proprietățile fizico-chimice ale precipitatului și ale apei de spălare, precum și de regimul de spălare (se stabilește pe cale experimentală) ;
 w — intensitatea specifică de spălare sau viteza de trecere a apei de spălare, în $\text{m}^3/\text{m}^2 \cdot \text{s}$;
 τ — durata de spălare, în s ;
 δ — grosimea stratului de precipitat, în m.
 Prin logaritmare ecuația (3-22) capătă forma :

$$\frac{\tau_2 - \tau_1}{\lg C_1 - \lg C_2} = \frac{2,3 \delta}{Kw} \quad (3-23)$$

în care : τ_1 și τ_2 reprezintă timpul inițial și final într-o perioadă oarecare a spălării prin difuziune ;
 C_1 și C_2 — concentrațiile corespunzătoare ale apei de spălare.

Din ecuațiile (3-22) și (3-23) se poate determina durata de spălare adică timpul necesar pentru a realiza variația stabilită a concentrației substanței spălate din precipitat, precum și mărimea coeficientului K .

18. Cantitatea de substanță uscată G (în kg) în precipitatul obținut pe filtru depinde de cantitatea de filtrat colectat V , de densitatea filtratului ρ , de concentrația masică x a fazei solide în suspensie, de umiditatea precipitatului (exprimată prin raportul masic m) și se poate calcula cu formula :

$$G = Vc = V \frac{\rho x}{1 - mx} \quad (3-24)$$

19. Concentrația x a fazei solide în suspensie, în funcție de densitatea suspensiei ρ_{susp} , se poate exprima prin formula :

$$x = \frac{(\rho_{susp} - \rho)\rho_s}{(\rho_s - \rho)\rho_{susp}} \quad (3-25)$$

* În timpul perioadei principale de spălare are loc un proces de difuziune a substanței solubile în apa de spălare și îndepărtarea ei cu apa. În timpul perioadei inițiale de spălare are loc numai o înlocuire a filtratului din porii precipitatului cu apa de spălare.

Densitatea suspensiei ρ_{susp} se poate calcula cu formula :

$$\rho_{susp} = \frac{n + 1}{\frac{1}{\rho_s} + \frac{n}{\rho}} = \frac{\rho(1 + n)\rho_s}{\rho + \rho_s n} \quad (3-26)$$

În aceste formule :

x este concentrația masică a fazei solide în suspensie, în kg/kg ;
 ρ_{susp} — densitatea suspensiei, în kg/m^3 ;
 ρ — densitatea fazei lichide, în kg/m^3 ;
 ρ_s — densitatea fazei solide, în kg/m^3 ;
 n — masa fazei lichide din suspensie pe unitatea de masă de fază solidă ($s : l = 1 : n$).

Cu ajutorul formulei (3-26) se poate calcula și densitatea precipitatului umed, considerîndu-l ca o soluție concentrată.

20. Calculul filtrelor cu saci pentru gaze se reduce la determinarea suprafeței S (în m^2), după formula :

$$S = \frac{V}{V_{sp}} \quad (3-27)$$

în care : V este debitul volumic al gazului de purificat, în m^3/min ;
 V_{sp} — debitul volumic specific de gaz de purificat, raportat la 1 m^2 de suprafață a sacului, în $\text{m}^3/\text{m}^2 \cdot \text{min}$.

Mărima V_{sp} are de obicei valori de la 0,2 la $1 \text{ m}^3/\text{m}^2 \cdot \text{min}$, iar la gaze cu particule grosiere pînă la $2,5 \text{ m}^3/\text{m}^2 \cdot \text{min}$.

3.1.3. Centrifugarea

21. Forța centrifugă (în N), dezvoltată la centrifugare se determină cu ecuația :

$$C = \frac{Mu^2}{R} = M\omega^2 R \approx 40Mn^2 R \approx 20Mn^2 D \quad (3-28)$$

în care : M este masa de precipitat și de lichid care se găsește în tamburul centrifugei, în kg ;

$D = 2R$ — diametrul respectiv raza tamburului, în m ;

n — turația centrifugii, în $1/\text{s}$;

ω — viteza unghiulară a tamburului, în $1/\text{s}$.

Presiunea de filtrare (în Pa) la centrifugare :

— aproximativă :

$$\Delta p_{cent} = \frac{C}{A} \quad (3-29)$$

în care : C este forța centrifugă calculată cu ecuația (3-28) ;

$A = \pi DH$ — suprafața medie de filtrare, în m^2 ;

D — diametrul interior al tamburului centrifugei, în m ;

H — înălțimea tamburului (la centrifugele cu funcționare discontinuă și semicontinuă) sau lungimea zonei de filtrare (la centrifugele cu funcționare continuă).

— mai precisă :

$$\Delta p_{cent} = 20 \rho_{susp} n^2 (R_2^2 - R_1^2) = 5 \rho_{susp} n^2 (D_2^2 - D_1^2) \quad (3-30)$$

în care : ρ_{susp} este densitatea suspensiei, în kg/m^3 ;

$D_1 = 2R_1$ — diametrul interior al stratului de lichid, în m ;

$D_2 = 2R_2$ — diametrul interior al tamburului, în m ;

n — turația centrifugii, în 1/s.

22. Factorul de separare al unei centrifuge este raportul dintre accelerația forței centrifuge și accelerația căderii libere :

$$f = \frac{C}{G} = \frac{\omega^2 R}{g} \approx 20 Fr_c^* \quad (3-31)$$

în care : R este raza tamburului, în m ;

ω — viteza unghiulară, în 1/s.

23. Viteza de filtrare la centrifugare se poate exprima sub forma legii generale din hidraulică :

$$\frac{dV}{d\tau} = \frac{\Delta p_{cent}}{R_{cent}}$$

în care : Δp_{cent} este căderea de presiune la centrifugare ;

$R_{cent} = R_p + R_f$ — rezistența totală la centrifugare, egală cu suma rezistențelor precipitatului și a mediului filtrant.

Valorile rezistențelor R_p și R_f se pot calcula cu ecuația filtrării sau se determină experimental.

24. Adâncimea pilniei de lichid h (în m), formată la rotirea tamburului centrifugei, se calculează cu aproximație cu formula :

$$h = 2n^2 R^2 \quad (3-32)$$

în care : n este turația tamburului, în 1/s ;

R — raza tamburului, în m.

Cu aceeași formulă se poate calcula cu aproximație și adâncimea pilniei de lichid în aparatele prevăzute cu agitator.

25. Consumul de energie în perioada de pornire a centrifugelor cu funcționare discontinuă se calculează cu următoarele formule :

a) puterea consumată pentru învingerea inerției tamburului și a încărcăturii.

Lucrul mecanic (în J) consumat pentru învingerea inerției tamburului în perioada de pornire este :

$$L_1 = \frac{M_t w_1^2}{2} \quad (3-33)$$

în care : M_t este masa tamburului, în kg ;

w_1 — viteza periferică de rotație la raza exterioară R_2 a tamburului, în m/s.

* Factorul de separare este o formă modificată a criteriului Fr (la centrifugare) ;
 $Fr_c = \frac{Dn^2}{g}$

Lucrul mecanic L_2 (în J) consumat pentru învingerea inerției încărcăturii în perioada de pornire (volumul de material încărcat se ia jumătate din volumul total al tamburului) este :

$$L_2 = \frac{0,75 w_1^2 \rho V}{4} \quad (3-34)$$

în care : w_1 este viteza periferică de rotație la raza interioară a tamburului R_1 , în m/s ;

ρ — densitatea materialului încărcat, în kg/m^3 ;

V — volumul total al tamburului centrifugei, egal cu $\pi R_1^2 H$, în m^3 .

Puterea P_1 (în W) consumată pentru învingerea inerției tamburului și încărcăturii în perioada de pornire va fi :

$$P_1 = \frac{L_1 + L_2}{\tau} \quad (3-35)$$

în care τ este durata de pornire, în s.

După date practice τ este de obicei 1—3 min.

b) puterea P_2 (în W) consumată pentru învingerea forței de frecare a axului în lagăre este :

$$P_2 = \lambda M w_{ax} g \quad (3-36)$$

în care : λ este coeficientul de frecare, egal cu 0,07—0,1* ;

M — masa totală a tuturor părților centrifugei care se rotesc, inclusiv încărcătura, în kg ;

w_{ax} — viteza periferică de rotație a axului, în m/s.

c) puterea P_3 (în W) consumată pentru învingerea frecării peretelui tamburului cu aerul este :

$$P_3 = 2,94 \cdot 10^{-3} \beta R_2^2 w_2^2 \rho_{aer} \quad (3-37)$$

în care : ρ_{aer} este densitatea aerului, în kg/m^3 ;

β — coeficient de rezistență egal în medie cu 2,3.

d) consumul total de putere pentru o centrifugă cu funcționare periodică (în W) în perioada de pornire va fi :

$$P_t = P_1 + P_2 + P_3 \quad (3-38)$$

Ținând seama de randamentul mecanismului de transmisie η_t , puterea consumată va fi :

$$P = \frac{P_t}{\eta_t} \quad (3-39)$$

Puterea instalată a motoarelor electrice pentru centrifuge trebuie luată cu o rezervă de 10—20%.

* Pentru lagăre obișnuite cu ungere inelară. Pentru rulmenți cu bile $\lambda = 0,03$.

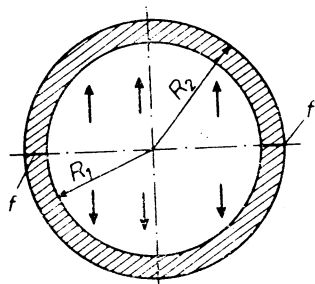


Fig. 3-6. Schema forțelor care acționează asupra tamburului unei centrifuge.

26. Calculul grosimii peretelui centrifugei sau verificarea rezistenței peretelui se poate face cu ecuația :

$$\sigma_r = \frac{C_1 + C_2}{2S} \quad (3-40)$$

în care : σ — este rezistența admisibilă a materialului peretelui tamburului la rupere, în Pa ;

S — suprafața secțiunii peretelui, în m^2 ; deoarece forțele care acționează sînt preluate atît de partea din dreapta, cît și de partea din stînga a secțiunii tamburului, rezultă că secțiunea totală va fi $2S$ (fig. 3-6) ;

C_1 — forța centrifugă a unei jumătăți de secțiune inelară a peretelui, în N ;

C_2 — forța centrifugă a unei jumătăți de secțiune inelară a încărcăturii, în N.

Mărimile C_1 și C_2 se calculează cu ecuația (3-28), în care R (în m), distanța între centrul de greutate al jumătății de secțiune inelară care se rotește și axa de rotație, se determină cu formula :

$$R = \frac{4}{3\pi} \left(\frac{R_2^3 - R_1^3}{R_2^2 - R_1^2} \right) \quad (3-40, a)$$

în care R_1 și R_2 sînt raza interioară și exterioară a jumătății de secțiune inelară, în m.

27. a. Capacitatea de producție V (debitul volumic al suspensiei, în m^3/s) a unei centrifuge de sedimentare, cu îndepărtarea cu cuțit a sedimentului, de tip AOG, cu regim laminar de sedimentare, se determină cu ecuația (3-8) modificată :

$$V = S'w\eta \quad (3-41)$$

în care : $S' = 2\pi R_0 L$ este suprafața oglinzii suspensiei în tambur, în m^2 ;

R_0 — raza interioară a stratului de suspensie, în m ;

L — lungimea tamburului, în m ;

$w = w_{sed}f$ — viteza de sedimentare sub acțiunea forței centrifuge, în m/s ;

f — factorul de separate determinat la raza R_0 ;

η — coeficient care ține seama de raportul dintre debitul real și cel teoretic al centrifugei, care se admite egal cu 0,4—0,5 în lipsa datelor experimentale ; el depinde de alunecarea lichidului față de tambur și ține seama și de prezența vîrtejurilor care frînează sedimentarea.

Formula (3-41) poate fi pusă sub o formă mai comodă de calcul :

$$V_k = 25,3 \eta L n^2 w_{sed} R_0^2 k \quad (3-42)$$

în care : V_k este debitul volumic, în m^3/h ;

k — raportul dintre durata alimentării centrifugei cu suspensie (durata proprie de centrifugare) și durata totală de funcționare a centrifugei.

b. Debitul V (în m^3/h) de suspensie al unei centrifuge de sedimentare orizontală, cu funcționare continuă, cu șnec de descărcare (tip NOGS), se determină cu formula :

$$V = 3,5 \frac{D_{p1}^2 L_{p1} (\rho - \rho_m) d^2 n^2}{\eta} \quad (3-42, a)$$

în care : D_{p1} și L_{p1} sînt diametrul și lungimea „cilindrului de preaplin”, în m ;

ρ și ρ_m — densitatea particulelor și a mediului, în kg/m^3 ;
 d — diametrul celor mai mici particule care sedimentează, în m ;

n — numărul de rotații ale rotorului, în rot/min ;

η — viscozitatea mediului, în Pa·s.

28. Debitul V (în m^3/s) a unei supercentrifuge tubulare se determină din următoarea expresie¹ :

$$V \leq \frac{wV_1}{h} \quad (3-43)$$

în care : w este viteza de depunere a particulelor în cîmpul centrifugal, în m/s ;

$V_1 = 0,785(D^2 - D_0^2)L$ — volumul de lichid în tambur, în m^3 ;

h — adîncimea curentului în tambur, în m ;

L — lungimea părții de lucru a tamburului, în m ;

D — diametrul interior al tamburului, în m ;

D_0 — diametrul pragului de preaplin, în m.

Condiția bunei funcționări a unei supercentrifuge (fără îndepărtarea sedimentului), care servește la calculul diametrului, este prezența regimului laminar de mișcare a curentului în tambur ($Re \leq 350$). La valori mai mari ale lui Re este necesar să se mărească lungimea tamburului.

3.1.4. Hidrodinamica stratului fluidizat

29. La un strat fix de particule solide porozitatea, adică fracțiunea de goluri, este dată de :

$$\epsilon_0 = \frac{V_{gr} - V}{V_{gr}} \quad (3-44)$$

În cazul în care se poate neglija densitatea mediului din golurile dintre particule, în comparație cu densitatea particulelor, porozitatea este dată de :

$$\epsilon_0 = 1 - \frac{\rho_{gr}}{\rho} \quad (3-44, a)$$

¹ Sokolov, V. I. Trubcialie sverhtsentrifughi, Goshimizdat, 1949.

Aici: V și V_{gr} sînt volumul ocupat de particule și volumul total al stratului, în m^3 ;

ρ și ρ_{gr} — densitatea particulelor și densitatea stratului (așa numita densitate în vrac), în kg/m^3 .

În practică porozitatea unui strat fix de sfere de același diametru, așezate la întimplare, variază în limitele 0,38–0,42; în calcul se admite valoarea medie 0,40.

La stratul fluidizat a unor particule solide porozitatea este dată de formula:

$$\epsilon = \frac{V_{fl} - V}{V_{fl}} \quad (3-45)$$

în care V_{fl} este volumul stratului fluidizat, în m^3 .

30. Condiția de trecere a stratului fix în strat fluidizat este egalitatea forței de presiune (care se manifestă ca pierdere de presiune pe înălțimea stratului) cu greutatea stratului pe unitatea de secțiune transversală.

Pentru stratul fluidizat în care nu variază cantitatea de particule solide, pierderea de presiune este dată de expresia:

$$\Delta p_{st} = \frac{G_{st}}{S} = \text{const.} \quad (3-46)$$

în care: G_{st} este greutatea materialului în strat, în N ;
 S — suprafața secțiunii transversale, în m^2 .

Pierderea de presiune (în Pa) a curentului care trece prin stratul fluidizat al particulelor solide se determină din ecuația:

$$\Delta p_{st} = (\rho - \rho_m)g(1 - \epsilon)h = (\rho - \rho_m)g(1 - \epsilon_0)h_0 \quad (3-47)$$

în care: h și h_0 sînt înălțimile stratului fluidizat și fix, în m ;
 ρ și ρ_m — densitatea particulelor solide și a mediului, în kg/m^3 .

Dacă mediul este un gaz $\rho_m \ll \rho$ și ecuația (3-47) devine:

$$\Delta p_{st} = \rho g(1 - \epsilon)h = \rho g(1 - \epsilon_0)h_0 \quad (3-47, a)$$

Pierderea de presiune (în Pa) în sita de repartitie a gazului se poate determina cu ecuația:

$$\Delta p_s = \frac{0,503 w_0^2 \rho_m (1 - \varphi^2)}{C^2} \quad (3-48)$$

în care: φ este fracțiunea liberă din secțiunea sitei; această mărime se admite de obicei 0,01–0,05;

$w_0 = w/\varphi$ — viteza curentului în găurile sitei;

w — viteza curentului raportată la întreaga secțiune a aparatului, în m/s ;

C — coeficientul de rezistență al sitei, care depinde de raportul d_0/δ și care se determină din grafic (fig. 3-7);

d_0 — diametrul găurilor sitei, în m ;

δ — grosimea sitei, în m .

31. Se numește *viteză critică* sau *viteză de fluidizare*, viteza la care rezistența stratului este egală cu greutatea stratului; la această viteză stratul fix trece în strat fluidizat. Viteza critică pentru un strat de particule sferice de același diametru se determină din ecuația [3-13]:

$$Re_{cr} = \frac{Ar}{1400 + 5,22\sqrt{Ar}} \quad (3-49)$$

Această ecuație a fost obținută pentru o porozitate medie a stratului fix $\epsilon_0 = 0,4$ și dă erori $\pm 20\%$. În ecuația (3-49):

$$Re_{cr} = \frac{w_{cr} d}{\nu_m};$$

$$Ar = \frac{Re^2}{Fr} \cdot \frac{\rho - \rho_m}{\rho_m} = \frac{d^2(\rho - \rho_m)g}{\nu_m^2 \rho_m} = \frac{d^2(\rho - \rho_m) \rho_m g}{\eta^2}$$

în care: w_{cr} este viteza critică a curentului, raportată la întreaga secțiune a aparatului, în m/s ;

d — diametrul particulei, în m ;

ρ, ρ_m — densitatea particulei și a mediului, în kg/m^3 ;

ν_m — viscozitatea cinematică a mediului, în m^2/s ;

η — viscozitatea dinamică a mediului, în $Pa \cdot s$.

Pentru gaze $\rho_m \ll \rho$:

$$Ar = \frac{d^2 \rho g}{\nu_m^2 \rho_m}$$

Pentru particule de formă oarecare, viteza curentului se poate determina ținînd seama de factorul de formă:

$$\Phi = \sqrt[3]{0,207 \frac{S}{V^{2/3}}} \quad (3-50)$$

în care: V este volumul particulei, în m^3 ;

S — suprafața particulei, în m^2 .

În acest caz se admite că diametrul echivalent d_{ech} (în m) este:

$$d_{ech} = \Phi d_{sf}$$

în care d_{sf} este diametrul sferei (în m) a cărei volum este egal cu volumul particulei:

$$d_{sf} = 1,24 \sqrt[3]{V}$$

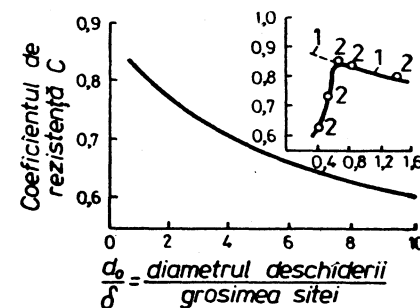


Fig. 3-7. Coeficientul de rezistență al sitei:

1 — după datele lui H. Hewmark și H. O'Connell; 2 — după datele lui D. I. Orocliko ș.a.

Pentru un strat polidispers, care constă din particule de diametre diferite :

$$d_{ech} = \frac{1}{\sum_{i=1}^n \frac{x_i}{d_i}} \quad (3-51)$$

în care : n este numărul de fracții ;

d_i — dimensiunea medie a sitei pentru fracția i (adică media între dimensiunile a două site succesive ;

x_i — masa fracției i , în părți din unitate.

32. La mărirea vitezei w se produce expandarea (adică creșterea înălțimii și a porozității) stratului fluidizat. Înălțimea stratului fluidizat h (în m) este legată de înălțimea stratului fix h_0 prin relația :

$$h = \frac{1 - \varepsilon_0}{1 - \varepsilon} h_0 \quad (3-52)$$

Porozitatea stratului fluidizat poate fi calculată cu formula :

$$\varepsilon = \left(\frac{18 \text{ Re} + 0.36 \text{ Re}^2}{\text{Ar}} \right)^{0.21} \quad (3-53)$$

Raportul dintre viteza de lucru a gazului, raportată la toată secțiunea aparatului și viteza critică se numește indice de fluidizare :

$$K_w = \frac{w}{w_{cr}} \quad (3-54)$$

Viteza reală a curentului în secțiunea liberă dintre particulele stratului se determină cu expresia :

$$w_r = \frac{w}{\varepsilon} \quad (3-55)$$

33. Viteza curentului, la care stratul de particule monodisperse trece în stare de suspensie, se numește viteză de antrenare, w_{antr} . Ea corespunde aproximativ cu începutul distrugerii unui strat fluidizat format din particule monodisperse. Aici $\varepsilon = 1$. Viteza de antrenare poate fi calculată cu formula :

$$\text{Re}_{antr} = \frac{\text{Ar}}{18 + 0.61/\text{Ar}} \quad (3-56)$$

în care

$$\text{Re}_{antr} = \frac{w_{antr} d \rho_m}{\eta_m}$$

34. În figura 3-8 este reprezentat graficul relației $Li = f(\text{Ar}, \varepsilon)$ pentru stratul fluidizat, de la $\varepsilon_0 = 0.4$ până la $\varepsilon = 1.0$. Graficul permite determinarea vitezei curentului w , necesară pentru atingerea unei porozități date la un strat fluidizat constituit din particule de diametru d cunoscut, sau se rezolvă problema invers.

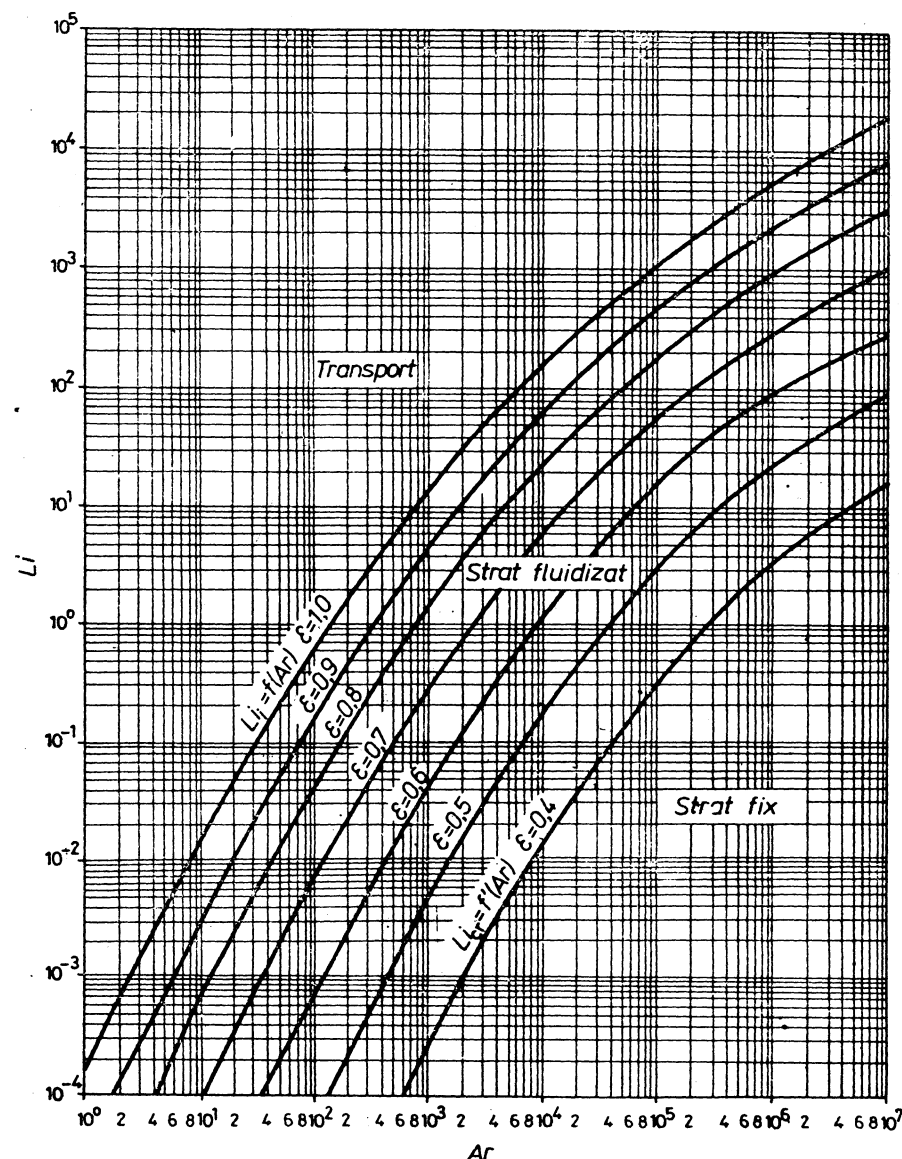


Fig. 3-8. Variația criteriului Li în funcție de criteriul Ar și de porozitatea ε a stratului.

35. Durata medie de staționare τ_0 (în s) a particulelor de solid în stratul fluidizat (monodispers) este dată de relația :

$$\tau_0 = \frac{M}{L} \quad (3-57)$$

în care : M este masa de material care se află în strat, în kg ;

L — debitul de material solid, în kg/s.

Datorită amestecării intense a materialului în stratul fluidizat, durata de staționare a unor particule singulare diferă mult de durata medie τ_0 de staționare a materialului solid în strat. Dacă se cunoaște durata medie de staționare τ_0 și este dat un timp oarecare τ (de exemplu durata unui proces oarecare care se petrece în stratul fluidizat), atunci fracțiunea x de particule care au durata de staționare în strat egală sau mai mare decât τ , se poate determina din ecuația :

$$x = e^{-\tau/\tau_0} \quad (3-58)$$

Pentru obținerea unei repartiții mai uniforme a particulelor în timpul staționării se folosesc câteva straturi fluidizate în serie. Frațiunea x_n de particule de material, care au în aparatul cu mai multe straturi durata de ședere egală sau mai mare decât τ , pentru aparatul cu n straturi fluidizate, este dată de relația :

$$x_n = \left[1 + \frac{\tau}{\tau_0} + \frac{1}{2!} \left(\frac{\tau}{\tau_0} \right)^2 + \dots + \frac{1}{(n-1)!} \left(\frac{\tau}{\tau_0} \right)^{n-1} \right] e^{-\tau/\tau_0} \quad (3-59)$$

3.1.5. Amestecarea în mediu lichid

36. Criteriile similitudinii hidrodinamice pentru procesul de amestecare se determină în felul următor :

— criteriul Reynolds (pentru centrifugare) :

$$Re_c = \frac{\rho n d^2}{\eta} \quad (3-60)$$

Valoarea critică a criteriului Reynolds :

$$Re_{c,cr} \approx 50$$

— criteriul pentru putere* :

$$K_P = \frac{P}{\rho n^3 d^5} \quad (3-61)$$

— criteriul Froude (pentru centrifugare) :

$$Fr_c = \frac{n^2 d}{g} \quad (3-62)$$

* În literatură se numește uneori criteriul Euler centrifugal și se notează Eu_c .

În aceste criterii :

P este puterea necesară pentru acționarea agitatorului, în W ;

ρ — densitatea lichidului, în kg/m³ ;

η — viscozitatea lichidului, în Pa·s ;

n — turația agitatorului, în 1/s ;

d — diametrul agitatorului, în m ;

$g = 9,81 \text{ m/s}^2$ — accelerația căderii libere (gravitațională).

37. Relația criterială pentru calculul puterii necesară amestecării are forma generală :

$$K_P = f(Re_c, Fr_c, \Gamma_D, \Gamma_b, \Gamma_{H_0}, \dots)$$

De obicei influența forței gravitaționale se neglijează. Atunci :

$$K_P = \varphi(Re_c, \Gamma_D, \Gamma_b, \Gamma_{H_0}, \dots)$$

în care : $\Gamma_D = \frac{D}{d}$; $\Gamma_b = \frac{b}{d}$; $\Gamma_{H_0} = \frac{H_0}{d}$; ... sînt simplexurile geometrice care caracterizează tipul constructiv al agitatorului, influența înălțimii stratului de lichid și a altor factori geometrici ;

d — diametrul agitatorului, în m ;

D — diametrul vasului, în m ;

b — lățimea paletelor agitatorului, în m ;

H_0 — înălțimea stratului de lichid în repaus, în m.

Pentru agitatoare similare din punct de vedere geometric ecuația generală criterială capătă forma :

$$K_P = \frac{c}{Re_c^m} \quad (3-63)$$

în care x și m sînt constante (pentru tipul constructiv al agitatorului și pentru regimul de amestecare).

Indicații asupra consumului de energie în amestecare sînt date în literatura de specialitate [3-19]. Valorile constantelor c și m din ecuația generală (3-63) pentru diferite agitatoare sînt indicate în tabelul XXI ; în figura VII este dată relația $K_P = f(Re_c)$ pentru aceleași agitatoare.

3.2. EXEMPLE

3.2.1. Sedimentarea

Exemplul 3-1. Să se găsească limita superioară (adică diametrul maxim al particulelor) de aplicare a formulei lui Stokes pentru particule de cuarț cu densitatea de 2 650 kg/m³, care sedimentează în apă la 20°C.

Rezolvare. Formula lui Stokes se aplică riguros pentru $Ar < 3,6$. De aceea particula de cuarț, a cărei sedimentare se poate calcula cu formula lui Stokes, trebuie să aibă diametrul :

$$d = \sqrt[3]{\frac{3,6 \cdot 1^2 \cdot 10^{-6}}{(2\,650 - 1\,000) \cdot 0,000 \cdot 9,81}} = 60 \cdot 10^{-6} \text{ m} = 60 \text{ } \mu\text{m}$$

Exemplul 3-2. Să se găsească viteza de sedimentare în apă a nisipului de cuarț de formă sferică având diametrul 0,9 mm, dacă densitatea nisipului este 2 650 kg/m³, iar temperatura apei 20°C.

Rezolvare. Se determină criteriul Ar :

$$Ar = \frac{d^2(\rho - \rho_m)g\rho_m}{\eta_m^2} = \frac{0,9^2 \cdot 10^{-6} (2\,650 - 1\,000) 1\,000 \cdot 9,81}{1^2 \cdot 10^{-6}} = 1,18 \cdot 10^4$$

în care pentru apă $\eta_m = 1 \text{ cP} = 1 \cdot 10^{-3} \text{ Pa} \cdot \text{s}$ (tabelul VI).

Cu valoarea găsită $Ar = 1,18 \cdot 10^4$, din figura 3-1, se află valoarea $Re = 140$.

Viteza de sedimentare a nisipului de cuarț de formă sferică cu $d = 0,9 \text{ mm}$ se determină din expresia :

$$w_{sed} = \frac{Re\eta_m}{d\rho_m} = \frac{140 \cdot 1 \cdot 10^{-3}}{0,0009 \cdot 1\,000} = 0,15 \text{ m/s}$$

Exemplul 3-3. Să se determine dimensiunea celor mai mari particule de carbonat de calciu, care pot fi antrenate de un curent de apă care se deplasează cu viteza de 0,5 m/s. Temperatura apei este 10°C, iar densitatea carbonatului de calciu este 2 710 kg/m³.

Rezolvare. Se determină criteriul Li cu formula (3-4) :

$$Li = \frac{w_{sed}^3 \rho_m^2}{\eta_m(\rho - \rho_m)g} = \frac{0,5^3 \cdot 1\,000^2 \cdot 10^3}{1,3(2\,710 - 1\,000)9,81} = 5,72 \cdot 10^3$$

în care viscozitatea apei la 10°C este $\eta_m = 1,3 \text{ cP} = 1,3 \cdot 10^{-3} \text{ Pa} \cdot \text{s}$.

Cu valoarea lui $Li = 5,72 \cdot 10^3$ se află, din figura 3-1, valoarea $Re = 1\,750$; apoi din formula (3-5) se determină diametrul maxim al particulelor de carbonat de calciu care vor fi antrenate de apă :

$$d = \frac{Re\eta_m}{w_{sed}\rho_m} = \frac{1\,750 \cdot 1,3 \cdot 10^{-3}}{0,5 \cdot 1\,000} = 4,55 \cdot 10^{-3} \text{ m} = 4,55 \text{ mm}.$$

Exemplul 3-4. Să se afle viteza de sedimentare în apă la 20°C a particulelor de sulfură de plumb unghiulare, cu $d_{ech} = 1 \text{ mm}$. Densitatea sulfurii de plumb este 7 560 kg/m³.

Rezolvare. Viteza de sedimentare a particulelor de formă neregulată se află din criteriul Li, pentru care în prealabil se determină valoarea criteriului Ar :

$$Ar = \frac{d_{ech}^2(\rho - \rho_m)g\rho_m}{\eta_m^2} = \frac{1^2 \cdot 10^{-6} (7\,560 - 1\,000) 1\,000 \cdot 9,81}{1^2 \cdot 10^{-6}} = 6,44 \cdot 10^4$$

în care $\eta_m = 1 \text{ cP} = 1 \cdot 10^{-3} \text{ Pa} \cdot \text{s}$ (tab. VI).

Din grafic (fig. 3-1) se află, pentru particule de formă unghiulară $Li = 3,1 \cdot 10^2$.

Viteza de sedimentare se obține din formula (3-5 a) :

$$w_{sed} = \sqrt[3]{\frac{Li\eta_m(\rho - \rho_m)g}{\rho_m^2}} = \sqrt[3]{\frac{3,1 \cdot 10^2 \cdot 1 \cdot 10^{-3} (7\,560 - 1\,000) 9,81}{1\,000^2}} = 0,271 \text{ m/s}$$

Exemplul 3-5. Să se determine dimensiunile unor particule alungite de cărbune ($\rho_1 = 1\,400 \text{ kg/m}^3$) și a unor particule turtite de șist ($\rho_2 = 2\,200 \text{ kg/m}^3$) care sedimentează cu aceeași viteză $w_{sed} = 0,1 \text{ m/s}$ în apă a 20°C.

Rezolvare. Dimensiunile particulelor d_{ech} se calculează cu formula (3-7) :

$$d_{ech} = \sqrt[3]{\frac{Ar\eta_m^2}{(\rho - \rho_m)\rho_m g}}$$

În prealabil trebuie determinată valoarea criteriului Li și cu ajutorul graficului (fig. 3-1) se află valoarea criteriului Ar pentru particulele de forma corespunzătoare.

Pentru particule de formă alungită :

$$Li_1 = \frac{w_{sed}^3 \rho_m^2}{\eta_m(\rho_1 - \rho_m)g} = \frac{10^{-3} \cdot 10^6}{1 \cdot 10^{-3} \cdot 0,4 \cdot 10^3 \cdot 9,81} = 255$$

în care : $\eta_m = 1 \text{ cP} = 1 \cdot 10^{-3} \text{ Pa} \cdot \text{s}$ (tabelul VI) ;

$$\rho_m = 1\,000 \text{ kg/m}^3$$

Pentru particule turtite (plate) :

$$Li_2 = \frac{w_{sed}^3 \rho_m^2}{\eta_m(\rho_2 - \rho_m)g} = \frac{10^{-3} \cdot 10^6}{1 \cdot 10^{-3} \cdot 1,2 \cdot 10^3 \cdot 9,81} = 85$$

Diametrul echivalent al particulelor de cărbune :

$$d_{ech,1} = \sqrt[3]{\frac{Ar_1\eta_m^2}{(\rho_1 - \rho_m)\rho_m g}} = \sqrt[3]{\frac{9 \cdot 10^4 \cdot 1^2 \cdot 10^{-6}}{9,81 \cdot 0,4 \cdot 10^3 \cdot 10^3}} = 2,82 \cdot 10^{-3} \text{ m} = 2,82 \text{ mm}$$

Diametrul echivalent al particulelor de șist :

$$d_{ech,2} = \sqrt[3]{\frac{Ar_2\eta_m^2}{(\rho_2 - \rho_m)\rho_m g}} = \sqrt[3]{\frac{7 \cdot 10^4 \cdot 1^2 \cdot 10^{-6}}{1,2 \cdot 10^3 \cdot 10^3 \cdot 9,81}} = 1,81 \cdot 10^{-3} \text{ m} = 1,81 \text{ mm}$$

Exemplul 3-6. Ce înălțime trebuie să aibă stratul de gaz între polițele unei camere de desprăfuire (fig. 3-9) ca să se depună particule de praf de pirită cu diametrul de 8 μm la un debit al gazelor de cuptor de 0,6 m³/s (în condiții normale) ? Lungimea camerei este 4,1 m, lățimea 2,8 m, înălțimea totală 4,2 m. Temperatura medie a gazului în cameră este 427°C. Viscositatea gazului la această temperatură este 0,034 $\cdot 10^{-3} \text{ Pa} \cdot \text{s}$, densitatea prafului 4 000 kg/m³, densitatea gazului 0,5 kg/m³.

Rezolvare. Se determină debitul gazului în condițiile date :

$$V = \frac{0,6(273 + 427)}{273} = 1,54 \text{ m}^3/\text{s}$$

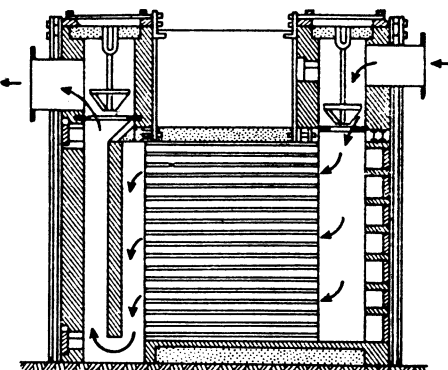


Fig. 3-9. Schița la exemplul 3-6.

Viteza lineară a gazului (neglijând grosimea polițelor) este :

$$w_g = \frac{1,54}{2,8 \cdot 4,2} = 0,131 \text{ m/s}$$

Durata de ședere a gazului în cameră va fi :

$$\tau = \frac{L}{w_g} = \frac{4,1}{0,131} = 31,3 \text{ s}$$

Viteza teoretică de sedimentare a particulelor sferice după formula (3-1), neglijând mărimea ρ_m , este :

$$w_{sed} = \frac{1}{18} \frac{(8 \cdot 10^{-3})^2 \cdot 4 \cdot 000 \cdot 9,81}{0,034 \cdot 10^{-3}} = 0,0041 \text{ m/s}$$

Viteza reală de sedimentare se consideră egală cu $0,5 \cdot 0,0041 = 0,002 \text{ m/s}$. Se calculează apoi distanța între polițe :

$$h = w_{sed} \tau = 0,002 \cdot 31,3 \approx 0,06 \text{ m} = 60 \text{ mm}$$

Se verifică exactitatea aplicării formulei (3-1) :

$$Re = \frac{dw_{sed} \rho_m}{\eta_m} = \frac{8 \cdot 10^{-3} \cdot 0,0041 \cdot 0,5}{0,034 \cdot 10^{-3}} = 0,00048$$

Deoarece $Re = 0,00048 < 0,2$, rezultă că utilizarea formulei lui Stokes este admisibilă în acest caz.

Exemplul 3-7. Să se determine dimensiunile celor mai mici particule care sedimentează într-o conductă de gaz cu secțiune patrată, avînd lungimea 16 m și latura pătratului 2 m, la o viteză lineară a gazului 0,5 m/s. Viscositatea gazului este 0,03 cP, densitatea gazului 0,8 kg/m³, iar densitatea particulelor 4 000 kg/m³.

Rezolvare. Gazul traversează canalul în timpul :

$$\tau = \frac{16}{0,5} = 32 \text{ s}$$

În acest timp se pot depune numai particulele a căror viteză reală de sedimentare nu este mai mică decît :

$$w_{sed} = \frac{2}{32} = 0,062 \text{ m/s}$$

Se determină diametrul particulelor sferice a căror viteză teoretică de sedimentare este de două ori mai mare, adică egală, cu 0,124 m/s.

Se calculează valoarea criteriului Li cu formula (3-4, a) :

$$Li = \frac{w_{sed}^2 \rho_m}{\eta_m \rho g} = \frac{0,124^2 \cdot 0,8}{0,03 \cdot 10^{-3} \cdot 4 \cdot 000 \cdot 9,81} = 1,035 \cdot 10^{-3}$$

Din grafic (fig. 3-1) se găsește valoarea $Re = 0,14$, din care :

$$d = \frac{Re \eta_m}{w_{sed} \rho_m} = \frac{0,14 \cdot 3 \cdot 10^{-3} \cdot 10^{-3}}{0,124 \cdot 0,8} = 4,24 \cdot 10^{-5} \text{ m} = 42,4 \text{ } \mu\text{m}$$

Exemplul 3-8. Să se determine diametrul unui decantor (v. fig. 3-2) pentru sedimentarea continuă a unei suspensii de carbonat de calciu. Capacitatea decantorului este 80 t/h suspensie inițială, conținînd 8% masice CaCO₃. Diametrul celor mai mici particule supuse sedimentării este 35 μm. Temperatura suspensiei 15°C, umiditatea șlamului 70%, iar densitatea carbonatului de calciu 2 710 kg/m³.

Rezolvare. Pentru aflarea diametrului decantorului trebuie să se calculeze suprafața de sedimentare cu formula (3-9), pentru care în prealabil se află viteza de sedimentare :

$$w_{sed} = \frac{d^2(\rho - \rho_m)g}{18 \eta_m} = \frac{3,5^2 \cdot 10^{-10} (2 \cdot 710 - 1 \cdot 000) 9,81}{18 \cdot 1,14 \cdot 10^{-3}} = 0,001 \text{ m/s}$$

în care $\eta_m = 1,14 \cdot 10^{-3} \text{ Pa} \cdot \text{s}$ (tabelul VI).

Se verifică valoarea criteriului Reynolds :

$$Re = \frac{w_{sed} d \rho_m}{\eta_m} = \frac{1 \cdot 10^{-3} \cdot 3,5 \cdot 10^{-3} \cdot 10^3}{1,14 \cdot 10^{-3}} = 0,0307 < 0,2$$

Viteza reală de sedimentare este :

$$w'_{sed} = 0,5 \cdot 0,001 = 0,5 \cdot 10^{-3} \text{ m/s}$$

Suprafața decantorului este :

$$S_{sed} = \frac{G_i \left(1 - \frac{c_i}{c_f}\right)}{3 \cdot 600 \cdot \rho_m w'_{sed}} = \frac{80 \cdot 10^3 \left(1 - \frac{8}{30}\right)}{3 \cdot 600 \cdot 10^3 \cdot 0,5 \cdot 10^{-3}} = 32,5 \text{ m}^2$$

Diametrul decantorului este :

$$D = \sqrt{\frac{32,5}{0,785}} = 6,4 \text{ m}$$

Exemplul 3-9. Să se determine înălțimea decantorului (v. fig. 3-2), știind că pentru sedimentarea unei suspensii în zona de îngroșare sînt necesare 16 ore. Densitatea relativă a fazei solide este 2,6. Gradul mediu de diluare în zona de îngroșare $s:l = 1:1,5$. Diametrul decantorului este 10 m. Productivitatea decantorului este 24,2 t fază solidă în 24 ore. Faza lichidă este apa.

Rezolvare. Se determină densitatea relativă a suspensiei în zona de îngroșare cu ajutorul formulei (3-26), împărțind-o cu ρ :

$$d_{su \cdot p} = \frac{d_s(n+1)}{d_s n + 1} = \frac{2,6(1,5+1)}{2,6 \cdot 1,5 + 1} = 1,32$$

în care $n = 1 : s = 1,5$.

Concentrația masică a suspensiei în zona de îngroșare este :

$$x = \frac{1}{1 + 1,5} = 0,4 \frac{\text{kg fază solidă}}{\text{kg suspensie}}$$

Prin urmare 1 m³ suspensie îngroșată conține următoarea cantitate de fază solidă :

$$s = 1\,320 \cdot 0,4 = 530 \text{ kg}$$

Conform condițiilor problemei, în 24 ore pe 1 m² se depune cantitatea de fază solidă :

$$\frac{24,2}{0,785 \cdot 10^2} = 0,308 \text{ t/m}^2 \cdot 24 \text{ ore.}$$

Deci în zona de îngroșare în 16 ore se adună $0,308 \frac{16}{24} = 0,205 \text{ t}$ fază solidă pe 1 m² suprafață de depunere.

Mai înainte s-a găsit că suspensia din zona de îngroșare conține 0,530 t fază solidă la 1 m³; prin urmare înălțimea acestei zone este :

$$h_2 = \frac{0,205}{0,530} = 0,387 \text{ m}$$

Înălțimea zonei de alimentare se ia între 0,45 și 0,75 m. Pentru o suspensie diluată ($s : 1 = 1 : 10$) se poate considera înălțimea $h_1 = 0,6 \text{ m}$.

Înălțimea zonei decantorului în care acționează agitatorul depinde de înclinarea paletelor agitatorului față de fundul decantorului. De obicei, se ia 0,146 m pentru fiecare metru de rază a decantorului. Deci :

$$h_3 = 0,146 \cdot 5 = 0,73 \text{ m}$$

Prin urmare înălțimea totală a decantorului va fi :

$$H = h_1 + h_2 + h_3 = 0,6 + 0,387 + 0,73 = 1,717 \approx 1,72 \text{ m}$$

Exemplul 3-10. Să se calculeze un ciclon pentru separarea unor particule de material uscat din aerul care iese dintr-un uscător cu pulverizare. Se dau : diametrul minim al particulelor 80 μm; debitul de aer 2 000 kg/h; temperatura 100°C.

Rezolvare. Pentru separarea particulelor de material cu dimensiunea 80 μm se alege ciclonul de tip TN-15.

Se admite $\frac{\Delta p}{\rho_g} = 740$, iar diametrul ciclonului se află din relația :

$$D = \sqrt{\frac{V}{0,785 w_c}}$$

În prealabil se află viteza convențională w_c în partea cilindrică a ciclonului din ecuația :

$$\frac{\Delta p}{\rho_g} = \zeta_0 \frac{w_c^2}{2}$$

în care $\zeta_0 = 160$ (v. tabelul 3-1)

Atunci :

$$w_c = \sqrt{\frac{740 \cdot 2}{160}} = 3,04 \text{ m/s}$$

Densitatea aerului :

$$\rho_g = 1,293 \frac{273}{373} = 0,95 \text{ kg/m}^3$$

Diametrul ciclonului va fi :

$$D = \sqrt{\frac{2\,000}{0,95 \cdot 3\,600 \cdot 0,785 \cdot 3,04}} = 0,496 \text{ m}$$

Se admite diametrul ciclonului egal cu 0,5 m.

Rezistența hidraulică a ciclonului este :

$$\Delta p = \zeta_0 \frac{\rho_g w_c^2}{2} = 160 \frac{0,95 \cdot 3,04^2}{2} = 703 \text{ Pa, adică } 72 \text{ mm H}_2\text{O.}$$

3.2.2. Filtrarea

Exemplul 3-11. Să se deducă formula (3-16) care dă relația între masa precipitatului uscat la 1 m³ filtrat, densitatea fluidului, concentrația suspensiei și umiditatea precipitatului.

Rezolvare. Ecuația bilanțului de materiale a procesului de filtrare este :

$$G_{susp} = G_f + G_{p.um}$$

în care G_{susp} , G_f și $G_{p.um}$ sînt masele de suspensie, de filtrat și de precipitat umed.

Se împarte această ecuație cu G_{usc} care este masa substanței uscate care se găsește în suspensie :

$$\frac{G_{susp}}{G_{usc}} = \frac{G_f}{G_{usc}} + \frac{G_{p.um}}{G_{usc}} \quad (3-64)$$

Masa filtratului se înlocuiește cu produsul dintre volumul filtratului și densitatea lui :

$$G_f = V_f \rho$$

Se introduc următoarele notații :

$$m = \frac{G_{p.um}}{G_{usc}} = \frac{\text{kg precipitat umed}}{\text{kg substanță uscată}}$$

$$x = \frac{G_{usc}}{G_{susp}} = \frac{\text{kg substanță uscată}}{\text{kg suspensie}}$$

$$c = \frac{G_{usc}}{V_f} = \frac{\text{kg substanță uscată}}{\text{m}^3 \text{ filtrat}}$$

Cu aceste notații ecuația (3-64) se poate transcrie astfel :

$$\frac{1}{x} = \frac{\rho}{c} + m$$

de unde :

$$c = \frac{\rho x}{1 - mx}$$

Exemplul 3-12. Să se determine durata de filtrare a 10 l lichid prin 1 m² filtru, dacă la o încercare preliminară a filtrului, de pe 1 m² s-au adunat următoarele cantități de filtrat : 1 dm³ după 2,25 min și 3 dm³ după 14,5 min de la începutul filtrării.

Rezolvare. Din datele experimentale se determină constantele K și C din ecuația filtrării :

$$V^2 + 2CV = K\tau$$

Pentru aceasta se stabilesc două ecuații cu două necunoscute :

$$1^2 + 2 \cdot 1 \cdot C = K \cdot 2,25$$

$$3^2 + 2 \cdot 3 \cdot C = K \cdot 14,5$$

de unde $K = 0,77 \text{ dm}^3/\text{m}^2 \cdot \text{min}$ și $C = 0,37 \text{ dm}^3/\text{m}^2$

Pentru determinarea duratei de filtrare valorile calculate ale constantelor și a volumului de filtrat se înlocuiesc în ecuația filtrării :

$$10^2 + 2 \cdot 10 \cdot 0,37 = 0,77\tau$$

de unde $\tau = 140 \text{ min}$ sau $2 \text{ h } 20 \text{ min}$.

Exemplul 3-13. În condițiile exemplului anterior să se determine durata de spălare a precipitatului în cazul când cantitatea de apă de spălare este 2,4 dm³/m² și spălarea se face prin conducta filtratului principal.

Rezolvare. Neglijând diferența dintre viscozitatea filtratului și a apei de spălare, se poate considera că viteza de spălare este egală cu viteza de filtrare din ultimul moment.

Viteza de filtrare în ultimul moment se determină cu ecuația (3-14), utilizând datele din exemplul precedent :

$$\frac{dV}{d\tau} = \frac{K}{2(V+C)} = \frac{0,77}{2(10+0,37)} = 0,037 \text{ dm}^3/\text{m}^2 \cdot \text{min}$$

Durata spălării este :

$$\tau_{sp} = \frac{V_{sp}}{\left(\frac{dV}{d\tau}\right)_{sp}} = \frac{2,4}{0,037} = 65 \text{ min}$$

Exemplul 3-14. În timpul filtrării experimentale a unei suspensii apoase, conținând 13,9% carbonat de calciu la 20°C, pe un filtru-presă de laborator cu $S = 0,1 \text{ m}^2$ și grosimea precipitatului de 50 mm, s-au obținut datele din tabelul 3-2.

Tabelul 3-2

La presiunea		Filtrat colectat, dm ³	Intervalul de la începutul filtrării, s
Pa	at		
3,43 · 10 ⁴	0,35	2,92	146
		7,80	888
10,3 · 10 ⁴	1,05	2,45	50
		9,80	660

Să se determine constantele de filtrare K , în m²/h și C , în m³/m².

Rezolvare. Valorile numerice ale constantelor de filtrare se găsesc din ecuația (3-13) :

$$V^2 + 2CV = K\tau$$

Exemple

La suprapresiunea de $3,43 \cdot 10^4 \text{ Pa}$ (0,35 ata), datele experimentale dau :

$$V_1 = \frac{2,92}{1000 \cdot 0,1} = 2,92 \cdot 10^{-2} \text{ m}^3/\text{m}^2; \tau_1 = \frac{146}{3600} = 0,0405 \text{ h}$$

$$V_2 = \frac{7,8}{1000 \cdot 0,1} = 7,8 \cdot 10^{-2} \text{ m}^3/\text{m}^2; \tau_2 = \frac{888}{3600} = 0,246 \text{ h}$$

Valorile găsite se înlocuiesc în ecuația (3-13) și se rezolvă sistemul de ecuații :

$$(2,92 \cdot 10^{-2})^2 + 2 \cdot 2,92 \cdot 10^{-2} C = K \cdot 0,0405$$

$$(7,8 \cdot 10^{-2})^2 + 2 \cdot 7,8 \cdot 10^{-2} C = K \cdot 0,246$$

de unde

$$K = 278 \cdot 10^{-4} \text{ m}^2/\text{h}; C = 4,7 \cdot 10^{-3} \text{ m}^3/\text{m}^2.$$

În mod analog se calculează constantele K și C pentru presiunea de filtrare de $10,3 \cdot 10^4 \text{ Pa}$ (1,05 ata). S-au găsit următoarele valori ale constantelor de filtrare :

$$K = 560 \cdot 10^{-4} \text{ m}^2/\text{h}; C = 3,78 \cdot 10^{-3} \text{ m}^3/\text{m}^2.$$

Exemplul 3-15. În condițiile exemplului precedent, să se calculeze rezistența specifică a precipitatului de CaCO₃. Se mai știe că umiditatea precipitatului la $p_1 = 3,43 \cdot 10^4 \text{ Pa}$ (0,35 ata) a fost 37%, iar la $p_2 = 10,3 \cdot 10^4 \text{ Pa}$ (1,05 ata) de 32% din masa precipitatului umed.

Rezolvare. Rezistența specifică a precipitatului se calculează cu formula (3-18).

Presiunea de filtrare : $\Delta p = 3,43 \cdot 10^4 \text{ Pa}$

Densitatea filtratului : $\rho = 1000 \text{ kg/m}^3$

Viscozitatea filtratului la 20°C : $= \frac{1}{3600} \cdot 10^{-2} = 27,8 \cdot 10^{-8} \text{ kg/m} \cdot \text{h}$.

Constanta de filtrare (la presiunea $p_1 = 3,43 \cdot 10^4 \text{ Pa}$) : $K = 278 \cdot 10^{-4} \text{ m}^2/\text{h}$, Faza solidă în suspensie : $x = 0,319$ procente masice.

Raportul masic dintre precipitatul umed și uscat $m = \frac{1}{1-0,37} = 1,59$.

Cantitatea de filtrat la 1 kg suspensie : $1 - mx = 1 - 1,59 \cdot 0,139 = 0,779$.

Valorile găsite se introduc în formula (3-18) :

$$r = \frac{2\Delta p(1-mx)}{K\eta\rho x} = \frac{2 \cdot 3,43 \cdot 10^4 \cdot 0,779}{278 \cdot 10^{-4} \cdot 1000 \cdot 27,8 \cdot 10^{-8} \cdot 0,139} = 5 \cdot 10^{10} \text{ m/kg}$$

precipitat uscat

La presiunea de filtrare $p_2 = 10,3 \cdot 10^4 \text{ Pa}$, adică 1,05 ata :

$$K = 560 \cdot 10^{-4} \text{ m}^2/\text{h}$$

$$m = \frac{1}{1-0,32} = 1,47$$

$$1 - mx = 1 - 1,47 \cdot 0,139 = 0,795$$

Celelalte mărimi au aceleași valori ca și la $p_1 = 3,43 \cdot 10^4$ Pa, adică 0,35 at.

Noua rezistență specifică a precipitatului se poate găsi fie prin înlocuirea mărimilor calculate în formula (3-18), fie din raportul:

$$\frac{r_2}{r_1} = \frac{\Delta p_2 K_1 (1 - mx)}{\Delta p_1 K_2 (1 - mx)_1} = \frac{10,3 \cdot 10^4 \cdot 278 \cdot 10^{-4} \cdot 0,795}{3,43 \cdot 10^4 \cdot 560 \cdot 10^{-4} \cdot 0,779} = 1,52$$

de unde $r_2 = 5 \cdot 10^{10} \cdot 1,52 = 7,6 \cdot 10^{10}$ m/kg precipitat uscat.

Prin urmare, la mărirea presiunii de filtrare de 3 ori, rezistența specifică a precipitatului de carbonat de calciu a crescut numai cu:

$$\frac{(7,6 - 5,0) \cdot 10^{10}}{5,0 \cdot 10^{10}} \cdot 100 = 52\%$$

Exemplul 3-16. Care este rezistența specifică a pînzei la filtrarea suspensiei de carbonat de calciu în condițiile exemplurilor 3-14 și 3-15?

Rezolvare. Rezistența specifică a pînzei (în m/m²) se calculează cu formula (3-21):

$$r_p = \frac{Crpx}{1 - mx}$$

a) la $p_1 = 3,43 \cdot 10^4$ Pa, adică 0,35 ata:

$$r_p = \frac{4,7 \cdot 10^{-3} \cdot 5 \cdot 10^{10} \cdot 1000 \cdot 0,139}{0,779} = 4,2 \cdot 10^{10} \text{ m/m}^2$$

b) la $p_2 = 10,3 \cdot 10^4$ Pa, adică 1,05 ata:

$$r_p = \frac{3,78 \cdot 10^{-3} \cdot 7,6 \cdot 10^{10} \cdot 1000 \cdot 0,139}{0,795} = 5 \cdot 10^{10} \text{ m/m}^2$$

La mărirea presiunii de 3 ori rezistența specifică a pînzei a crescut numai cu 19%.

Exemplul 3-17. Se cere să se filtreze în 3 ore o suspensie pe un filtru-presă cu rame și să se obțină 6 m³ filtrat. La filtrarea experimentală a acestei suspensii pe un filtru-presă de laborator, la aceeași presiune și grosime a stratului de precipitat, s-au obținut următoarele valori ale constantelor de filtrare, raportate la 1 m² suprafață a filtrului: $K = 20,7 \cdot 10^{-4}$ m²/h și $C = 1,45 \cdot 10^{-3}$ m³/m². Să se determine dimensiunile filtrului-presă necesar.

Rezolvare. Din ecuația filtrării (3-13) se determină volumul de filtrat obținut pe 1 m² de filtru-presă:

$$V^2 + 2 \cdot 0,145 \cdot 10^{-2} V = 20,7 \cdot 10^{-4} \cdot 3$$

de unde:

$$V = -0,145 \cdot 10^{-2} + \sqrt{(0,145 \cdot 10^{-2})^2 + 62,1 \cdot 10^{-4}} \\ = -0,145 \cdot 10^{-2} + 7,88 \cdot 10^{-2} = 7,73 \cdot 10^{-2} \text{ m}^3/\text{m}^2$$

pentru un ciclu de filtrare, adică în 3 ore.

Prin urmare, pentru cantitatea de filtrat cerută va fi necesară o suprafață de filtrare:

$$S = \frac{6}{0,0773} = 77,5 \text{ m}^2$$

Se alege din catalog filtrul-presă corespunzător mai mare, care are $S = 83 \text{ m}^2$, avind 42 rame cu dimensiunile $1000 \times 1000 \text{ mm}$.

Observație. Suprafața de filtrare se poate determina și direct din ecuația (3-13), exprimată cu toată suprafața S și capacitatea $V_s \text{ m}^3$ de filtrat pentru un ciclu de filtrare:

$$V_s^2 + 2V_s SC = KS^2 \tau$$

$$6^2 + 2 \cdot 6 \cdot 1,45 \cdot 10^{-3} S = 20,7 \cdot 10^{-4} \cdot 3 S^2$$

de unde:

$$S = 77,4 \text{ m}^2$$

Exemplul 3-18. Se cere să se filtreze 8,5 m³/h suspensie apoasă care conține 17,6% substanță solidă pe un filtru-tobă cu vid cu funcționare continuă (fig. 3-10). Umiditatea finală a precipitatului trebuie să fie 34%. Vidul disponibil în fabrică este 600 mm Hg. Într-o filtrare experimentală pe un filtru model de laborator, la un vid de 510 mm Hg, s-a constatat că umiditatea cerută pentru precipitat se obține după 32 s de lucru a zonei de filtrare. Constantele de filtrare, raportate la 1 m², au fost: $K = 11,2 \text{ dm}^6/\text{m}^4 \cdot \text{s}$ și $C = 6 \text{ dm}^3/\text{m}^2$. Densitatea suspensiei este 120 kg/m³. Să se determine suprafața filtrului și turația sa.

Rezolvare. Se recalculează constanta de filtrare K pentru un vid de 600 mm Hg, considerind K aproximativ proporțional cu Δp^* .

$$\frac{K}{K'} = \frac{600}{510} = 1,17$$

de unde:

$$K = 11,2 \cdot 1,17 = 13,1 \text{ dm}^6/\text{m}^4 \cdot \text{s}$$

Se determină capacitatea specifică a zonei de filtrare din ecuația (3-13), luind durata de filtrare $\tau = 32 \text{ s}$ (conform datelor exemplului):

$$V^2 + 2CV = K\tau$$

$$V^2 + 2 \cdot 6V = 13,1 \cdot 32$$

de unde:

$$V = -6 + \sqrt{36 + 420} = -6 + 21,4 = 15,4 \text{ dm}^3/\text{m}^2 \text{ în } 32 \text{ s.}$$

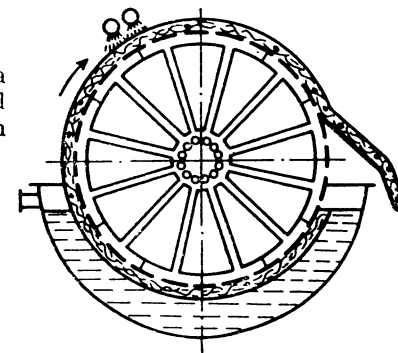


Fig. 3-10. Schița la exemplul 3-18.

* În realitate nu este tocmai așa (v. exemplul 3-14).

Deci capacitatea specifică a zonei de filtrare pe secundă este :

$$\frac{15,4}{32} = 0,482 \text{ dm}^3/\text{m}^2 \cdot \text{s}$$

Se recalculează capacitatea dată față de suspensie pentru a o stabili față de precipitat.

La umiditatea precipitatului de 34%, raportul masic dintre precipitatul umed și cel uscat este :

$$m = \frac{1}{1-0,34} = 1,52$$

Concentrația masică a fazei solide în suspensie : $x = 0,176$; debitul suspensiei : $G_{\text{susp}} = V_{\text{susp}} \rho_{\text{susp}} = 8,5 \cdot 120 \text{ kg/h}$; masa precipitatului umed : $G_p = G_{\text{susp}} m x = 9500 \cdot 0,176 \cdot 1,52 = 2540 \text{ kg/h}$; masa filtratului : $G_f = G_{\text{susp}} - G_p = 9500 - 2540 = 6960 \text{ kg/h}$. La densitatea filtratului $\rho = 1000 \text{ kg/m}^3$ debitul volumic de filtrat va fi $6960 \text{ dm}^3/\text{h}$.

Astfel, capacitatea de filtrare raportată la filtrat este :

$$\frac{6960}{3600} = 1,93 \text{ dm}^3/\text{s}.$$

Rezultă deci că suprafața necesară în zona de filtrare va fi :

$$S_f = \frac{1,93}{0,482} = 4,0 \text{ m}^2$$

Deoarece, de obicei, suprafața zonei de filtrare la filtrele cu tobă la vid este de circa 35% din suprafața totală, rezultă că suprafața totală a filtrului va fi :

$$S = \frac{4,0}{0,35} = 11,43 \text{ m}^2$$

Se alege tipul de filtru cu tobă la vid cel mai apropiat, care are $S = 12 \text{ m}^2$. Diametrul filtrului $D = 2,1 \text{ m}$, lungimea filtrului $L = 1,8 \text{ m}$.

Turația necesară pentru a obține durata de filtrare dată $\tau = 32 \text{ s}$ se determină din proporția :

$$32 - 0,35$$

$$60 - n$$

de unde :

$$n = \frac{60 \cdot 0,35}{32} = 0,655 \text{ rot/min.}$$

Exemplul 3-19. Cît timp trebuie spălat de NaCl un precipitat de pe un filtru-presă pentru a atinge concentrația admisă de 5 g/dm^3 în apa de spălare ? Spălarea se face cu apă curată cu o intensitate de $0,33 \text{ m}^3/\text{m}^2 \cdot \text{h}$. Grosimea stratului de precipitat este de 35 mm . Constanta de spălare $K = 520 \text{ cm}^3/\text{dm}^3$. În momentul inițial al spălării concentrația NaCl în apa de spălare este de 143 g/dm^3 .

Rezolvare. Se folosește ecuația (3-23), înlocuind mărimile date cu dimensiunile corespunzătoare, adică :

$$\tau = \frac{2,3 \cdot 0,035}{520 \cdot 0,001 \cdot 0,33} (\lg 143 - \lg 5) = 0,683 \text{ h} = 41 \text{ min.}$$

Exemplul 3-20. În condițiile exemplului precedent să se calculeze concentrația de NaCl în apa de spălare după 50 min de la începutul spălării.

Rezolvare. Concentrația sării în apa de spălare se calculează cu formula (3-22) :

$$C_2 = 143 e^{-\frac{520 \cdot 0,001 \cdot 0,33 \cdot 50}{0,035 \cdot 60}} = 143 e^{-4,08}$$

Logaritmind această expresie, se obține :

$$\lg C_2 = \lg 143 - \frac{4,08}{2,3} = 2,156 - 1,75 = 0,406$$

deci :

$$C_2 = 2,53 \text{ g/dm}^3.$$

3.2.3. Centrifugarea

Exemplul 3-21. Să se determine tipul tehnologic și să se indice construcția unei centrifuge pentru separarea carbonatului de potasiu de soluția-mamă, pornind de la următoarele date :

concentrația fazei solide în suspensie	75%
umiditatea finală a precipitatului cristalin	3%
reacția precipitatului și a soluției-mamă	bazică
spălarea	cu apă
uscarea	cu abur

Rezolvare. Pentru separarea sistemelor solid-lichid, în cazul unor suspensii grăunțoase sînt indicate centrifugele de tipul tehnologic 1-a.

Conform datelor problemei, procesul trebuie să fie mecanizat. Acestei condiții îi corespund centrifugele cu funcționare semicontinuă (clasa B) și centrifugele cu funcționare continuă (clasa C). Considerînd necesitatea de spălare a precipitatului cu apă și de uscare cu abur, se vor alege centrifugele cu funcționare semicontinuă. Mecanizarea procesului se poate realiza prin automatizarea sistemului de acționare. Din clasa B fac parte două grupuri constructive de centrifuge : orizontale și verticale. Dintre centrifugele cu funcționare semicontinuă, cele mai răspîndite sînt centrifugele orizontale, de aceea se va alege o centrifugă de acest tip.

Exemplul 3-22. O centrifugă cu funcționare periodică are diametrul interior al tobei 1200 mm , înălțimea 550 mm , grosimea pereților 10 mm și masa 120 kg . Numărul de orificii în peretele tobei pe verticală este 12 ; diametrul orificiilor este 5 mm . Pe tobă sînt fixate 3 cercuri de oțel cu secțiunea $15 \times 30 \text{ mm}^2$ fiecare. Toba este confecționată din oțel cu rezistența la rupere 4500 kgf/cm^2 . Masa încărcăturii este 400 kg , grosimea stratului 200 mm . Să se găsească numărul limită de rotații admisibil, dacă coeficientul de siguranță trebuie să fie minimum 5.

Rezolvare. Pentru oțelul considerat rezistența admisibilă la rupere este :

$$\sigma_r = \frac{4 \cdot 500 \cdot 9,81 \cdot 10^4}{5} = 8,83 \cdot 10^7 \text{ Pa sau } 900 \text{ kgf/cm}^2.$$

Secțiunea peretelui tobei centrifugei și cercurilor, scăzând orificiile va fi :

$$S = 55 \cdot 1 - 12 \cdot 1 \cdot 0,5 + 3 \cdot 3 \cdot 1,5 = 62,5 \text{ cm}^2 = 6,25 \cdot 10^{-3} \text{ m}^2$$

Din formula (3-40) rezultă că forța centrifugă maximă admisă va fi :

$$C_1 + C_2 = 8,83 \cdot 10^7 \cdot 2 \cdot 6,25 \cdot 10^{-3} = 1,1 \cdot 10^6 \text{ N}$$

Distanța centrului de greutate a jumătății secțiunii inelare a peretelui tobei față de axa de rotație se calculează cu formula (3-40, a)* :

$$R_{toa} = \frac{4}{3 \cdot 3,14} \left(\frac{0,61^3 - 0,6^3}{0,61^2 - 0,6^2} \right) = 0,387 \text{ m}$$

Forța centrifugă dezvoltată de jumătatea tobei, conform ecuației (3-28), va fi :

$$C_1 = 0,011 \cdot 60 \cdot 0,387 n^2 = 0,253 n^2 \text{ N}$$

Distanța centrului de greutate al jumătății secțiunii inelare a încărcăturii față de axa de rotație este :

$$R_{inc} = \frac{4}{3 \cdot 3,14} \left(\frac{0,6^3 - 0,4^3}{0,6^2 - 0,4^2} \right) = 0,32 \text{ m}$$

Forța centrifugă dezvoltată de jumătatea inelară de încărcătură este :

$$C_2 = 0,011 \cdot 200 \cdot 0,32 n^2 = 0,697 n^2 \text{ N}$$

Deci forța centrifugă totală va fi :

$$C_1 + C_2 = 0,253 n^2 + 0,697 n^2 = 0,950 n^2 \text{ N}$$

S-a stabilit mai sus că forța centrifugă nu trebuie să depășească $1,1 \cdot 10^6 \text{ N}$. Deci numărul maxim de rotații al centrifugei va fi :

$$n = \sqrt{\frac{1,1 \cdot 10^6}{0,950}} = 1070 \text{ rot/min} = 17,8 \text{ rot/s}$$

Exemplul 3-23. Să se determine debitul orar de suspensie (la alimentare) la o centrifugă automată de sedimentare tip AOG-800, care prelucrează o suspensie apoasă de hidroxid de magneziu. Densitatea particulelor $\rho = 2525 \text{ kg/m}^3$. Temperatura suspensiei este 30°C . Diametrul minim al particulelor $3 \mu\text{m}$.

Centrifuga are caracteristicile :

diametrul tobei	800 mm
lungimea tobei	400 mm
diametrul marginii	570 mm
turația	1200 rot/min

* În cazul de față calculele nu trebuie să se efectueze cu rigla deoarece este necesară o precizie mai mare.

Un ciclu de lucru al centrifugei durează 20 min, din care 18 minute alimentarea cu suspensie și 2 min descărcarea precipitatului.

Rezolvare. Debitul centrifugei se determină cu formula (3-42) :

$$V_h = 25,3 \eta L n^2 R_0^2 w_{sed} k$$

Viteza de sedimentare a particulelor se află cu formula lui Stokes :

$$w_{sed} = \frac{d^2(\rho - \rho_m)g}{18 \eta_m} = \frac{3^2(2525 - 1000)9,81}{10^{12} \cdot 18 \cdot 0,8 \cdot 10^{-3}} = 0,935 \cdot 10^{-5} \text{ m/s}$$

Viscozitatea apei la 30°C este $0,8 \cdot 10^{-3} \text{ Pa}\cdot\text{s}$.

Se determină viteza de sedimentare sub acțiunea forței centrifuge :

$$w = w_{sed} \frac{R_0 n^2}{900} = 0,935 \cdot 10^{-5} \frac{0,285 \cdot 1200^2}{900} = 4,26 \cdot 10^{-3} \text{ m/s}$$

Se verifică regimul de sedimentare :

$$\text{Re} = \frac{w d \rho_m}{\eta_m} = \frac{4,26 \cdot 10^{-3} \cdot 3 \cdot 10^{-6} \cdot 10^3}{0,8 \cdot 10^{-3}} = 1,6 \cdot 10^{-2}$$

deci regimul este laminar.

Mai departe se află :

$$k = \frac{18}{20} = 0,9$$

Admițind $\eta = 0,45$, debitul centrifugei este :

$$V_h = 25,3 \cdot 0,45 \cdot 0,4 \cdot 1200^2 \cdot 0,285^2 \cdot 0,935 \cdot 10^{-5} \cdot 0,9 = 4,46 \text{ m}^3/\text{h}.$$

Exemplul 3-24. Să se determine capacitatea de producție pe care poate să o dea o supercentrifugă tubulară SGO-150, cu trei palete, folosită pentru limpezirea unui ulei mineral. Densitatea uleiului 900 kg/m^3 . Viscozitatea uleiului la temperatura de centrifugare este $3 \cdot 10^{-3} \text{ Pa}\cdot\text{s}$. Densitatea particulelor solide 1400 kg/m^3 . Diametrul particulelor $1 \mu\text{m}$. Caracteristicile tehnice ale centrului ei : diametrul interior al tobei 150 mm ; diametrul pragului de preaplin 50 mm ; lungimea tamburului 750 mm ; numărul de rotații 13000 rot/min .

Rezolvare. Capacitatea de producție se determină cu formula (3-43). Pentru că particulele sînt foarte mici, regimul lor de sedimentare va fi desigur laminar.

Se va folosi formula lui Stokes, cu verificarea ulterioară a regimului de sedimentare :

$$w_{sed} = \frac{d^2(\rho - \rho_m)g}{18 \eta_m} = \frac{1^2(1400 - 900)9,81}{10^{12} \cdot 18 \cdot 3 \cdot 10^{-3}} = 9,06 \cdot 10^{-8} \text{ m/s}$$

Viteza de sedimentare sub acțiunea forței centrifuge este :

$$w = w_{sed} f = 9,06 \cdot 10^{-8} \cdot 4700 = 4,26 \cdot 10^{-4} \text{ m/s}$$

aici :

$$f = \frac{n^2 R_0}{900} = \frac{13^2 \cdot 10^5 \cdot 0,025}{900} = 4700$$

cu $R_0 = 0,025$ m — raza cilindrului de preaplin.

Se verifică regimul de sedimentare :

$$Re = \frac{wd_{pm}}{\eta_m} = \frac{4,26 \cdot 1 \cdot 900}{10^4 \cdot 10^3 \cdot 3 \cdot 10^{-3}} = \frac{1,42}{10^1}$$

Se află volumul util al tamburului centrifugei :

$$V_1 = SL = 0,785(D^2 - D_0^2)L = 0,785(0,15^2 - 0,05^2)0,75 = 0,0118 \text{ m}^3$$

Adâncimea curentului în tambur este :

$$h = \frac{D - D_0}{2} = \frac{0,15 - 0,05}{2} = 0,05 \text{ m}$$

Cu aceasta :

$$V \leq \frac{wV_1}{h} \cdot 3600 = \frac{4,26 \cdot 0,0118}{10^4 \cdot 0,05} \cdot 3600 = 0,368 \text{ m}^3/\text{h}$$

Se verifică regimul curentului în tamburul centrifugei :

$$Re = \frac{wd_{ech}\rho}{\eta}$$

$$w = \frac{V}{S} = \frac{1,05}{10^4 \cdot 0,0157} = 0,0067 \text{ m/s}$$

$$V = \frac{0,368}{3600} = \frac{1,05}{10^4} \text{ m}^3/\text{s}$$

$$S = 0,785(D^2 - D_0^2) = 0,785(0,15^2 - 0,05^2) = 0,0157 \text{ m}^2$$

Pentru centrifuga cu trei palete SGO-150 :

$$d_{ech} = 4 \frac{S}{P} = \frac{4\pi(D^2 - D_0^2)}{4(\pi D + 6h)} = \frac{3,14(0,15^2 - 0,05^2)}{3,14 \cdot 0,15 + 6 \cdot 0,05} = 0,0815 \text{ m}$$

$$Re = \frac{0,0067 \cdot 0,0815 \cdot 900}{3 \cdot 10^{-3}} = 164 < 350$$

adică regimul este laminar.

Exemplul 3-25. Să se aleagă tipul de aparat de filtrare pentru gelul de acid silicic și să se determine numărul necesar de aparate pe baza următoarelor date ;

1) concentrația inițială a fazei solide în suspensie 4,7% ; densitatea relativă a suspensiei 1,1 ;

2) debitul în 24 ore 9 t precipitat umed ;

3) precipitatul să conțină minimum de umiditate, deoarece este trecut apoi la uscare (într-un uscător cu vid) ;

4) precipitatul este amorf și se filtrează greu.

Filtrări preliminare în laborator ale gelului pe un filtru separator (tip nuce) și la centrifugă au dat rezultatele arătate în tabelul 3-3.

Tabelul 3-3

Caracteristicile	Filtrul nuce	Centrifugă
Suprafața de filtrare, m ²	1	0,3
Grosimea stratului de precipitat, mm	60	30
Durata :		
a) filtrării	1 h	45 min
b) spălării cu alcalii și apă	2 h	35 min
c) totală	3 h	1,3 h
Suspensie filtrată, dm ³	170	108
Umiditatea finală a precipitatului, %	85	78
Vidul, mm Hg	400	—

Toba centrifugei cu care s-au făcut încercările avea $D = 400$ mm, $H = 250$ mm, $n = 800$ rot/min.

Rezolvare. 1. Se determină presiunea de filtrare :

a. Filtrul nuce

$$\Delta p = \frac{400}{760} = 0,525 \text{ at} = 5,15 \cdot 10^4 \text{ Pa}$$

b. Centrifugă

La un coeficient de umplere a tobei centrifugei în timpul funcționării $\varphi = 0,5$, volumul suspensiei (volumul util al tobei) este :

$$V_{util} = 0,785D^2H\varphi = 0,785 \cdot 0,4^2 \cdot 0,25 \cdot 0,5 = 0,0157 \text{ m}^3$$

Presiunea de filtrare la centrifugare se determină cu formula (3-29) :

$$\Delta p = \frac{\pi^2 MRn^2}{900S} = \frac{0,011MRn^2}{S} = \frac{0,011 \cdot 0,0157 \cdot 1100 \cdot 0,2 \cdot 800^2}{0,3} = 8,1 \cdot 10^4 \text{ Pa} = 0,83 \text{ at}$$

Deci presiunea la centrifugare a fost aproape de două ori mai mare decât la filtrarea cu filtrul nuce.

2. Se determină capacitatea specifică

a. Filtrul nuce

S-au filtrat 170 dm³ suspensie cu concentrația inițială 4,7%, adică s-a separat gel, calculat la substanța uscată :

$$G = 0,170 \cdot 1100 \cdot 0,047 = 8,8 \text{ kg}$$

Durata operației complete (fără a ține seama de durată de descărcare) este de 3 ore ; deci capacitatea specifică de producție este :

$$\frac{G}{S\tau} = \frac{8,8}{3 \cdot 1} = 2,94 \text{ kg gel uscat/m}^2 \cdot \text{h}$$

Calculată la gel umed (cu umiditatea de 85%), capacitatea specifică de producție este :

$$\frac{2,94}{0,15} = 19,5 \text{ kg gel umed}/(\text{m}^2 \cdot \text{h})$$

b. Centrifugă

S-au filtrat 108 dm^3 suspensie, deci s-a obținut precipitat, calculat ca substanță uscată :

$$G = 0,108 \cdot 100 \cdot 0,047 = 5,54 \text{ kg}$$

Prin urmare capacitatea specifică de producție este :

$$\frac{G}{S\tau} = \frac{5,54}{0,3 \cdot 1,3} = 14,3 \text{ kg gel uscat}/(\text{m}^2 \cdot \text{h})$$

Calculată la gel umed (cu umiditatea de 78%), capacitatea specifică de producție este :

$$\frac{14,3}{0,22} = 65 \text{ kg gel umed}/(\text{m}^2 \cdot \text{h})$$

3. Se determină ce cantitate de apă trebuie îndepărtată în plus la uscarea gelului umed obținut la filtrul nuce, în comparație cu gelul obținut prin centrifugare.

Umiditatea precipitatului la filtrul nuce este 85%, iar la centrifugă 78%; deci centrifuga scoate cu 2 120 kg mai multă apă decît filtrul nuce, așa cum rezultă din calculul următor :

$$\frac{1000}{0,15} - \frac{1000}{0,22} = 2120 \text{ kg apă/t gel uscat}$$

Comparînd datele experimentale cu cele calculate la filtrarea gelului, se constată următoarele :

Centrifuga care lucrează cu o presiune de $\frac{0,83}{0,525} = 1,6$ ori mai mare și la o grosime a stratului de precipitat de două ori mai mică decît în cazul filtrului nuce, dă o producție de aproape $\frac{14,3}{2,98} \approx 5$ ori mai mare decît filtrul nuce, calculată față de gelul uscat; recalculînd față de precipitatul umed, capacitatea centrifugei este de $\frac{65}{19,5} = 3,3$ ori mai mare.

În comparație cu filtrul nuce, centrifuga dă un precipitat cu umiditate finală mai mică și ușurează deci uscarea, adică produce o micșorare a cantității de apă evaporată în uscător cu 2,12 t la tona de gel uscat.

La o producție de 9 t/24 ore gel cu umiditatea 78% și un consum specific de abur pentru uscare egal cu 1,5 kg/kg de umiditate evaporată, economia zilnică de abur va fi :

$$D = 9 \cdot 0,22 \cdot 2,12 \cdot 1,5 = 6,3 \text{ t abur/24 ore.}$$

Productivitatea specifică mare a centrifugei, umiditatea finală mică a precipitatului și deci economia apreciabilă de abur realizată la uscarea gelului determină alegerea centrifugei, deși ea este mult mai scumpă.

Exemple

4. Se determină numărul aproximativ de centrifuge industriale necesare producției zilnice de 9 t gel umed în 24 ore.

La o producție atît de mare este indicat să se aleagă o centrifugă cu funcționare semicontinuă, cu descărcare mecanică a precipitatului și cu acționare automată. Se alege din catalog o centrifugă orizontală cu următoarele caracteristici : $D = 1600 \text{ mm}$, $H = 700 \text{ mm}$, $n = 500 \text{ rot/min}$, volumul util 500 dm^3 .

Suprafața de filtrare a acestei centrifuge este :

$$S = 3,14 \cdot 1,6 \cdot 0,7 = 3,5 \text{ m}^2$$

Presiunea de filtrare dezvoltată se calculează cu formula (3-29) :

$$\Delta p = \frac{0,011 \cdot 0,5 \cdot 100 \cdot 0,8 \cdot 500^2}{3,5} = 34,6 \cdot 10^4 \text{ Pa sau } 3,5 \text{ at}$$

Deci centrifuga industrială dezvoltă o presiune de filtrare de $\frac{3,5}{0,83} = 4$ ori

mai mare decît centrifuga experimentală.

Productivitatea filtrelor crește aproximativ proporțional cu $\sqrt{\Delta p}$; deci se poate aștepta să se obțină o creștere a producției specifice a centrifugei de circa două ori, adică $65 \cdot 2 = 130 \text{ kg gel umed}/\text{m}^2 \cdot \text{h}$.

Deoarece filtrarea și spălarea precipitatului constituie aproximativ 75% din durata totală de funcționare a centrifugei semicontinui, rezultă că producția medie orară a centrifugei va fi $130 \cdot 0,75 = 97 \text{ kg precipitat umed}/(\text{m}^2 \cdot \text{h})$.

Deci capacitatea de producție a unei centrifuge în 24 ore, considerînd 20 ore de lucru pe zi, va fi $97 \cdot 3,5 \cdot 20 = 6800 \text{ kg precipitat umed/24 ore}$.

Pentru realizarea producției cerute trebuie să se instaleze $\frac{9000}{6800} = 1,32$, adică două centrifuge, respectiv trei, cu o centrifugă de rezervă.

3.2.4. Fluidizarea

Exemplul 3-26. În stratul fluidizat dintr-un aparat de fluidizare se află gel de silice cu următoarea compoziție granulară :

Fracția, mm	-2 + 1,5	-1,5 + 1,0	-1,0 + 0,5	-0,5 + 0,25
% masă	43	28	17	12

Densitatea, în vrac, a gelului de silice $\rho_{rr} = 650 \text{ kg/m}^3$, densitatea particulelor $\rho = 1100 \text{ kg/m}^3$. Temperatura aerului este 150°C . Indicele de fluidizare $K_w = 1,6$.

Să se determine viteza aerului : critică, de lucru și reală (în secțiunea liberă dintre particule).

Rezolvare. Se calculează valoarea criteriului Ar și din figura 3-8 se află valoarea corespunzătoare Li_{cr} .

În acest scop se determină diametrul echivalent al particulelor de gel de silice.

Diametrele medii ale fracțiilor de la sortare sînt :

$$d_1 = \frac{2,0 + 1,5}{2} = 1,75 \text{ mm}$$

$$d_2 = \frac{1,5 + 1,0}{2} = 1,25 \text{ mm}$$

$$d_3 = \frac{1,0 + 0,5}{2} = 0,75 \text{ mm}$$

$$d_4 = \frac{0,5 + 0,25}{2} = 0,37 \text{ mm}$$

Cu acestea se află diametrul echivalent cu formula (3-51) :

$$d_{ech} = \frac{1}{\sum \frac{x_i}{d_i}} = \frac{1}{\frac{0,43}{1,75} + \frac{0,28}{1,25} + \frac{0,17}{0,75} + \frac{0,12}{0,37}} \approx 1,0 \text{ mm}$$

Viscozitatea aerului la 150°C (v. fig. VI) este :

$$\eta = 0,024 \text{ cP} = 0,024 \cdot 10^{-3} \text{ Pa}\cdot\text{s}$$

Densitatea aerului este :

$$\rho = 1,293 \frac{273}{273 + 150} = 0,835 \text{ kg/m}^3$$

Prin urmare :

$$Ar = \frac{d_{ech}^2 \rho \rho_m g}{\eta_m^2} = \frac{1^2 \cdot 10^{-3} \cdot 1,1 \cdot 10^3 \cdot 0,835 \cdot 9,81}{2,4^2 \cdot 10^{-10}} = 1,565 \cdot 10^4$$

Pentru valoarea lui $Ar = 1,565 \cdot 10^4$ corespunde $Li_{cr} = 3 \cdot 10^{-2}$.

De aici :

$$w_{cr} = \sqrt[3]{\frac{Li_{cr} \eta_m \rho g}{\rho_m^2}} = \sqrt[3]{\frac{3 \cdot 10^{-2} \cdot 0,024 \cdot 10^{-3} \cdot 1,1 \cdot 10^3 \cdot 9,81}{0,835^2}} = 0,224 \text{ m/s}$$

Se determină viteza de lucru a aerului :

$$w = K_w w_{cr} = 1,6 \cdot 0,224 = 0,358 \text{ m/s}$$

Se află porozitatea stratului fluidizat. La $K_w = 1,6$:

$$Li = K_w^3 Li_{cr} = 1,6^3 \cdot 3 \cdot 10^{-2} = 1,23 \cdot 10^{-1}$$

Din figura 3-8 pentru $Li = 1,23 \cdot 10^{-1}$ și $Ar = 1,565 \cdot 10^4$

$$\varepsilon = 0,47$$

Viteza reală a aerului în secțiunea liberă a stratului este :

$$w_r = \frac{w}{\varepsilon} = \frac{0,358}{0,47} = 0,762 \text{ m/s}$$

Exemplul 3-27. Cu datele din exemplul precedent să se determine dimensiunile și rezistența hidraulică a aparatului. Capacitatea de producție este 2,5 t gel de silice/h la durată medie de staționare în aparat $\tau_0 = 10 \text{ min}$. Debitul de aer în condițiile de lucru este 4 300 m³/h. Secțiunea liberă a sitei reprezintă 0,015 din secțiunea totală, diametrul găurilor 0,8 mm, grosimea sitei 2 mm.

Rezolvare. Se determină diametrul aparatului. Debitul de aer este :

$$V = \frac{4\,300}{3\,600} = 1,195 \text{ m}^3/\text{s}$$

Secțiunea aparatului este :

$$S = \frac{V}{w} = \frac{1,195}{0,358} = 3,34 \text{ m}^2$$

Diametrul aparatului va fi :

$$D = \sqrt{\frac{4S}{\pi}} = \sqrt{\frac{4 \cdot 3,34}{\pi}} = 2,06 \text{ m}$$

Se determină înălțimea stratului în aparat. Masa de silicagel în aparat este :

$$M = L \tau_0 = \frac{2\,500 \cdot 10}{60} = 417 \text{ kg}$$

Volumul silicagelului în strat fix va fi :

$$V_s = \frac{M}{\rho_{sr}} = \frac{417}{650} = 0,642 \text{ m}^3$$

Înălțimea stratului fix este :

$$h_0 = \frac{V_s}{S} = \frac{0,642}{3,34} = 0,192 \text{ m}$$

Porozitatea stratului fix este :

$$\varepsilon_0 = 1 - \frac{\rho_{sr}}{\rho} = 1 - \frac{650}{1\,100} = 0,41$$

Înălțimea stratului fluidizat la $K_w = 1,6$ va fi :

$$h = \frac{1 - \varepsilon_0}{1 - \varepsilon} h_0 = \frac{1 - 0,4}{1 - 0,47} \cdot 0,192 = 0,214 \text{ m}$$

Se calculează rezistența hidraulică a aparatului. Rezistența stratului este :

$$\Delta p_{s1} = \rho(1 - \varepsilon_0)gh_0 = 1\,100(1 - 0,41)9,81 \cdot 0,192 = 1\,200 \text{ Pa}$$

Viteza aerului în găurile sitei, la secțiunea liberă $\varphi = 0,015$, este :

$$w_0 = \frac{w}{\varphi} = \frac{0,358}{0,015} = 23,9 \text{ m/s}$$

Diametrul găurilor sitei $d_0 = 0,0008$ m, grosimea sitei $\delta = 0,002$ m. La $d_0/\delta = 0,4$, din figura 3-7 se află $C = 0,63$.

Rezistența sitei va fi :

$$\Delta p_s = \frac{0,503 \cdot 23,9^2 \cdot 0,835(1 - 0,015^2)}{0,63^2} = 605 \text{ Pa}$$

Rezistența aparatului :

$$\Delta p = \Delta p_{s1} + \Delta p_s = 1\,200 + 605 = 1\,805 \text{ Pa sau } 184 \text{ mm H}_2\text{O}.$$

Exemplul 3-28. Să se determine diametrul unor particule sferice de nisip cuarțos cu densitatea $2\,640 \text{ kg/m}^3$, care încep să treacă în stare de fluidizare la viteza de 1 m/s într-un curent de aer cu temperatura 20°C .

Rezolvare. Diametrul particulelor sferice de nisip se determină din criteriul Ar , pentru care, în prealabil, se calculează criteriul Li_{cr} :

$$Li_{cr} = \frac{w_{cr}^2 \rho_m^2}{\eta_m \rho g} = \frac{1^2 \cdot 1,205^2}{0,018 \cdot 9,81 \cdot 2\,640 \cdot 10^{-3}} = 3,14$$

în care :

$$\rho_m = 1,29 \frac{273}{293} = 1,205 \text{ kg/m}^3;$$

$$\eta_m = 0,018 \cdot 10^{-3} \text{ Pa}\cdot\text{s}$$

Din figura 3-8, la valoarea $Li_{cr} = 3,14$ se găsește $Ar = 9 \cdot 10^5$.

Diametrul particulelor de nisip este :

$$d = \sqrt[3]{\frac{Ar \eta_m^2}{\rho \rho_m g}} = \sqrt[3]{\frac{9 \cdot 10^5 \cdot 1,8^2 \cdot 10^{-6} \cdot 10^{-4}}{2\,640 \cdot 1,205 \cdot 9,81}} = 0,0021 \text{ m} = 2,1 \text{ mm}$$

Exemplul 3-29. Într-un strat fluidizat se află $1\,000 \text{ kg}$ material solid ; debitul de material prin strat (viteza de intrare și ieșire a particulelor prin strat) este $4\,000 \text{ kg/h}$.

Să se determine : 1) ce fracție de particule se va afla în strat un timp mai lung decât timpul mediu de staționare a materialului în strat ; 2) câte astfel de straturi fluidizate sînt necesare să se unească în serie pentru ca fracția de particule care se află în aparat un timp mai scurt decât timpul mediu necesar staționării materialului într-un strat să nu depășească 10% .

Rezolvare. Se calculează durata medie de staționare a materialului într-un strat. La $M = 1\,000 \text{ kg}$ și $L = 4\,000 \text{ kg/h}$, rezultă :

$$\tau_0 = \frac{M}{L} = \frac{1\,000}{4\,000} = \frac{1}{4} \text{ h} = 900 \text{ s}$$

Se determină fracțiunea de material care se află într-un strat fluidizat în timpul $\tau \geq \tau_0$:

$$x_1 = e^{-\tau/\tau_0} = e^{-\frac{900}{900}} = e^{-1} = 0,368$$

Astfel, numai 37% din material rămîne în strat un timp mai lung de 15 min și prin urmare fracțiunea de material care se află în strat mai puțin de 15 min reprezintă :

$$1 - x_1 = 0,63 \text{ adică } 63\%.$$

Pentru a afla numărul de straturi fluidizate care trebuie legate în serie, partea de material a cărei ședere în strat este mai mică decât τ_0 , se determină cu formula (3-59) pentru aparate cu două, trei etc. straturi.

a) pentru un aparat cu două straturi :

$$x_2 = \left(1 + \frac{\tau}{\tau_0} e\right)^{-\tau/\tau_0} = \left(1 + \frac{900}{900}\right) e^{-\frac{900}{900}} = 2e^{-1} = \frac{2}{2,718} = 0,736$$

$$1 - x_2 = 0,264$$

Prin urmare, într-un aparat cu două straturi în serie se va afla 26% din material în straturi un timp mai scurt decât 15 min .

b) pentru un aparat cu trei straturi :

$$x_3 = \left[1 + \frac{\tau}{\tau_0} + \frac{1}{2!} \left(\frac{\tau}{\tau_0}\right)^2\right] e^{-\tau/\tau_0} = \left[1 + \frac{900}{900} + \frac{1}{2!} \left(\frac{900}{900}\right)^2\right] e^{-\frac{900}{900}} = \frac{2,5}{2,718} = 0,92$$

$$1 - x_3 = 0,08$$

Deci, într-un aparat cu trei straturi numai 8% din material se află în straturi mai puțin de 15 min ; prin urmare un aparat cu trei straturi îndeplinește condiția necesară. Durata medie de staționare a materialului într-un aparat cu trei straturi este :

$$\tau_m = \frac{3M}{L} = \frac{3\,000}{4\,000} = \frac{3}{4} \text{ h} = 45 \text{ min}$$

Se compară acest aparat cu trei straturi cu unul cu un singur strat, în care cantitatea de material este tot $3\,000 \text{ kg}$, ca în toate straturile aparatului cu trei straturi. Durata medie de staționare a materialului solid în acest aparat cu un singur strat este de asemenea :

$$\tau_m = \frac{3\,000}{4\,000} = \frac{3}{4} \text{ h} = 45 \text{ min}$$

Dar partea de material care se află în strat un timp mai scurt decât 15 min va fi mai mare :

$$1 - e^{-\tau/\tau_0} = 1 - e^{-15/45} = 0,285 \text{ adică } 28,5\%.$$

De aici rezultă avantajul aparatului cu trei straturi.

3.2.5. Amestecarea în mediu lichid

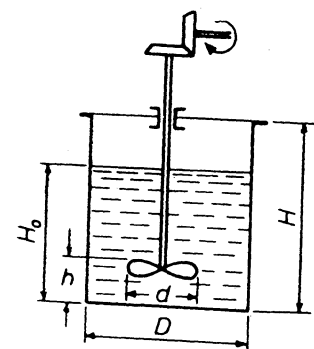


Fig. 3-11. Schița la exemplul 3-30.

Exemplul 3-30. Un amestec de acizi cu densitatea $1\,600\text{ kg/m}^3$ și viscozitatea $20 \cdot 10^{-3}\text{ Pa}\cdot\text{s}$ se prepară prin introducerea acizilor inițiali într-un vas de amestec cu diametrul $1\,200\text{ mm}$ și înălțimea $1\,500\text{ mm}$, umplut la $0,75$ din volumul său și prevăzut cu un agitator cu elice care face $3,5\text{ rot/s}$ (fig. 3-11). Să se determine puterea instalată a electromotorului.

Rezolvare. Se determină diametrul agitatorului normal:

$$d = \frac{D}{3} = \frac{1,2}{3} = 0,4\text{ m.}$$

Se determină regimul de agitare cu formula (3-60):

$$\text{Re}_c = \frac{\rho n d^2}{\eta} = \frac{1\,600 \cdot 3,5 \cdot 0,4^2}{20 \cdot 10^{-3}} = 44\,800$$

Regimul este deci turbulent.

Se determină valoarea criteriului de putere din grafic (fig. VII):

$$K_P = 0,27$$

Puterea necesară agitatorului în regim de funcționare se calculează cu ecuația (3-61):

$$P = K_P \rho n^3 d^5 = 0,27 \cdot 1\,600 \cdot 3,5^3 \cdot 0,4^5 = 200\text{ W} = 0,2\text{ kW}$$

Puterea la pornire este de 2–3 ori puterea de regim:

$$P_p = 2P = 0,4\text{ kW}$$

Se calculează puterea instalată a motorului, considerând randamentul electromotorului cu transmisie $0,95$ și luând un plus de putere de 20% :

$$P_{\text{inst}} = \frac{0,4 \cdot 1,2}{0,95} \approx 0,5\text{ kW}$$

Exemplul 3-31. Un electromotor cu o putere de $16,5\text{ kW}$ și cu un reductor ce micșorează turația la 240 rot/min , pune în funcțiune un agitator turbină deschis cu 6 palete. Agitatorul amestecă intensiv o masă de reacție ($\rho = 1\,200\text{ kg/m}^3$, $\eta = 1,6\text{ Pa}\cdot\text{s}$) într-un rezervor cu diametrul $1\,630\text{ mm}$ prevăzut cu șicane. Ce diametru trebuie să aibă agitatorul?

Rezolvare. Deoarece se prevede o agitare intensă, regimul se poate considera turbulent. Din figura VII se găsește $K_P = 6,9$.

Din formula (3-61):

$$d = \sqrt[5]{\frac{P}{K_P \rho n^3}} = \sqrt[5]{\frac{16,5 \cdot 10^3}{6,9 \cdot 1,2 \cdot 10^{-4} \cdot 4^3}} = \sqrt[5]{3\,120 \cdot 10^{-6}} = 0,5\text{ m}$$

Se verifică raportul D/d :

$$\frac{D}{d} = \frac{1,63}{0,5} = 3,26$$

Exemplul 3-32. Analiza teoretică și rezultatele încercărilor făcute pentru amestecarea unor lichide cu un agitator au arătat că puterea P consumată de agitator depinde de viscozitatea lichidului η , de densitatea lichidului ρ , de accelerația căderii libere g , de numărul de rotații al agitatorului n , de diametrul agitatorului d și de alte caracteristici geometrice (diametrul aparatului, înălțimea lichidului, înălțimea paletei de la fundul vasului). Se cere să se găsească forma generală a ecuației criteriale care să cuprindă variabilele enumerate.

Rezolvare. Pentru sisteme geometric asemenea relația funcțională între variabile poate fi scrisă în forma următoare:

$$P = f(\eta, \rho, g, n, d) \quad (a)$$

În conformitate cu teorema II funcția criterială trebuie să aibă forma (fiind 6 variabile și trei unități de măsură fundamentale: kg, m, s):

$$\varphi(\Pi_1, \Pi_2, \Pi_3) = 0$$

sau

$$\Pi_1 = f(\Pi_2, \Pi_3)$$

în care Π_1, Π_2, Π_3 sînt expresii necunoscute fără dimensiuni (criterii de similitudine).

Presupunind, că dependența existentă între variabile, într-un interval oarecare de variație a variabilelor, poate fi scrisă cu suficientă precizie sub forma unei ecuații de tipul unui singur termen de puteri, funcția (a) se poate transcrie astfel:

$$[P] = C \cdot [\eta]^a \cdot [\rho]^b \cdot [g]^c \cdot [n]^e \cdot [d]^f \quad (b)$$

În continuare, înlocuind mărimile prin unitățile de măsură corespunzătoare, se obține ecuația de legătură a unităților fundamentale:

$$\left[\frac{\text{kg} \cdot \text{m}^2}{\text{s}^3} \right] = C \left[\frac{\text{kg}}{\text{m}^3} \right]^a \left[\frac{\text{kg}}{\text{m}^3} \right]^b \left[\frac{\text{m}}{\text{s}^2} \right]^c \left[\frac{1}{\text{s}} \right]^e [\text{m}]^f \quad (c)$$

Comparînd apoi coeficienții exponențiali la unitățile de măsură de același tip, se ajunge la un sistem de 3 ecuații cu 5 necunoscute:

$$a + b = 1$$

$$a + 2c + e = 3$$

$$a + 3b - c - f = -2$$

Sistemul de ecuații (d) este nedefinit și se poate rezolva în raport cu trei variabile arbitrare, luînd pentru celelalte două mărimi rămase valori date. Numărul total al variantelor soluțiilor se determină din numărul combinațiilor

care pot fi alcătuite folosind toate necunoscutele din sistem după numărul valorilor fixate în prealabil, adică în cazul de față numărul de combinații se ia de cinci câte două :

$$C_5^2 = \frac{5 \cdot 4}{1 \cdot 2} = 10$$

Asemenea combinații pot fi :

$$\begin{array}{cccc} ab, & ac, & ae, & af \\ & bc, & be & bf \\ & & ce, & cf \\ & & & ef \end{array}$$

Analiza elementară a sistemului de ecuații (d) duce la concluzia, că prin alegerea unor valori date lui a și b , sistemul devine imposibil de rezolvat*. În felul acesta numărul variantelor soluțiilor se reduce la nouă.

Se rezolvă sistemul de ecuații (d), considerînd ca mărimi date a și c (exponenții lui η și g) :

$$b = 1 - a$$

$$e = 3 - a - 2c$$

$$f = 5 - 2a - c$$

Retranscriem ecuația (b), folosind valorile găsite pentru b , e , și f :

$$P = C \eta^a \rho^{1-a} g^c n^{3-a-2c} d^{5-2a-c}$$

Grupînd mărimile cu coeficienții literali similari, se obține :

$$\frac{P}{\rho n^3 d^5} = C \left(\frac{\rho n d^3}{\eta} \right)^{-a} \left(\frac{n^2 d}{g} \right)^{-c}$$

sau

$$K_P = C Re_c^{-a} Fr_c^{-c}$$

adică se obține un sistem de variabile adimensionale în care participă mărimile fizice η și g numai o dată și fiecare numai într-un anumit criteriu.

În același fel se admit date :

$$b \text{ și } c \text{ și se obține } K_P Re_c = C Re_c^b Fr_c^{-c}$$

$$a \text{ și } e \text{ și se obține } K_P^2 Fr_c^3 = C^2 Ga^{-a} Fr_c^e$$

$$b \text{ și } e \text{ și se obține } K_P Re_c Fr_c = C Ga^{b/2} Fr_c^{e/2}$$

$$c \text{ și } e \text{ și se obține } K_P Re_c^2 = C Ga^e Re_c^e$$

$$a \text{ și } f \text{ și se obține } K_P Fr_c^5 = C \left(\frac{Fr_c^2}{Re_c} \right)^a Fr_c^f$$

$$b \text{ și } f \text{ și se obține } K_P Re_c Fr_c^3 = C \left(\frac{Re_c}{Fr_c^2} \right)^b Fr_c^f$$

* Trebuie subliniat faptul că imposibilitatea de rezolvare a sistemului (d) prin alegerea mărimilor a și b nu este întâmplătoare ; ea reflectă o particularitate fizică a lichidelor reale, la care viscozitatea η și densitatea λ sînt proprietăți care nu variază independent.

$$c \text{ și } f \text{ și se obține } K_P^2 Re_c^5 = C^2 \left(\frac{Re_c}{Fr_c^2} \right)^c Re_c^f$$

$$e \text{ și } f \text{ și se obține } K_P^3 Re_c^2 Fr_c = C^3 \left(\frac{Fr_c^2}{Re_c} \right)^e Ga^f$$

În felul acesta pentru descrierea procesului de agitare a lichidelor se pot folosi nouă ecuații criteriale principal perfect echivalente, dar diferite ca formă.

Diferențele dintre ecuații sînt determinate de acele mărimi fizice care caracterizează fenomenul studiat (în cazul dat două mărimi), care participă în definirea criteriului numai o singură dată și fiecare numai la un singur criteriu bine definit.

Toate ecuațiile pot fi ușor transformate una în alta, întrucît valorile numerice ale exponenților sînt definite prin ecuațiile de legătură.

Alegerea uneia sau alteia din ecuațiile criteriale este determinată fie de tendința de folosire a formelor tradiționale ale variabilelor generalizate (în cazul dat criteriile Re și Fr), fie de comoditatea de prelucrare a datelor experimentale. Valorile numerice ale coeficientului C și exponenții pot fi determinați numai pe cale experimentală.

Exemplul 3-33. Un reactor (fig. 3-12) cu diametrul $D = 1\,000$ mm este plin cu masă de reacție pe înălțimea de $1\,000$ mm. Masa de reacție are viscozitatea $150 \cdot 10^{-3}$ Pa·s și densitatea $\rho_m = 1\,200$ kg/m³. În masa de reacție este necesar să se obțină o repartizare uniformă a particulelor solide de catalizator cu dimensiunea maximă $d_c = 1,3$ mm și densitatea $\rho_c = 2\,450$ kg/m³ ; raportul $s : l = 1 : 4$.

Care tip de agitator este mai potrivit de folosit : cu elice cu trei palete (fig. 3-13, a) cu pasul 1, sau cu turbină (fig. 3-13, b) de tip închis cu opt palete ?

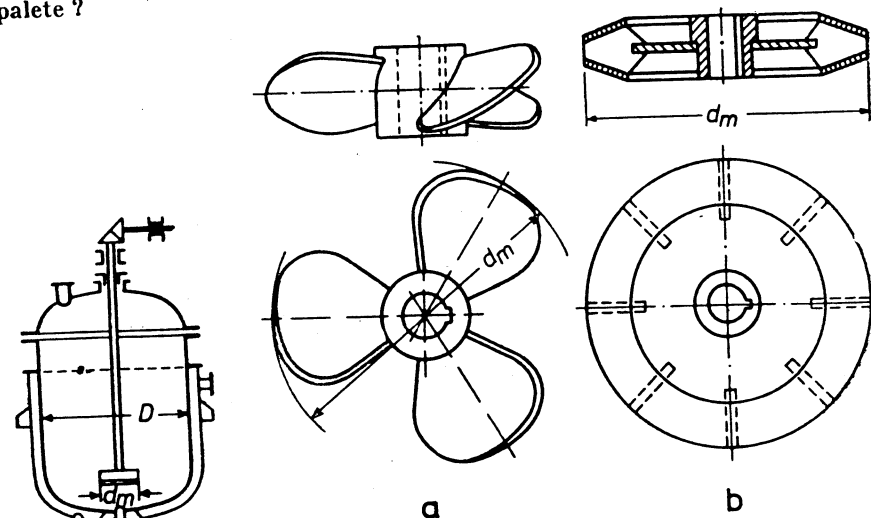


Fig. 3-12. Schița la exemplul 3-33.

Fig. 3-13. Schița la exemplele 3-33 și 3-34.

Rezolvare. 1. Se determină diametrul agitatorului normal :

$$d_a = (0,25 \dots 0,3)D = (0,25 \dots 0,3)1 = 0,3 \text{ m}$$

2. Pentru aflarea criteriului Re_c și a numărului de rotații se folosește ecuația* :

$$Re_c = CGa^k S_l^m \Gamma_{d_c}^n \Gamma_D^n$$

În această ecuație constantele au valorile :

	C	k	l	m	n
— pentru agitatorul cu elice	0,105	0,6	0,8	0,4	1,9
— pentru agitatorul cu turbină	0,25	0,57	0,37	0,33	1,15

Se calculează valorile criteriilor și simplexurilor de similitudine :

$$Ga = \frac{d_a^3 \rho_m g}{\eta^2} = \frac{3^3 \cdot 10^{-3} \cdot 1,2 \cdot 10^3 \cdot 9,81}{1,5^2 \cdot 10^{-2}} = 1,7 \cdot 10^7$$

$$Sp = \frac{\rho_c}{\rho_m} = \frac{2,45 \cdot 10^3}{1,2 \cdot 10^3} = 2,04$$

$$\Gamma_{d_c} = \frac{d_c}{d_a} = \frac{1,3 \cdot 10^{-3}}{3 \cdot 10^{-1}} = 4,33 \cdot 10^{-3}$$

$$\Gamma_D = \frac{D}{d_a} = \frac{1,0}{3 \cdot 10^{-1}} = 3,33$$

Valorile aflate pentru criterii și simplexuri se găsesc în limitele de folosire a ecuației de mai sus.

Se află valoarea criteriului Re_c și a numărului de rotații pentru agitatorul cu elice :

$$Re_c = 0,105 Ga^{0,6} Sp^{0,8} \Gamma_{d_c}^{0,4} \Gamma_D^{1,9} =$$

$$= 0,105 \cdot 1,7^{0,6} \cdot 10^{4,2} \cdot 2,04^{0,8} \cdot 4,33^{0,4} \cdot 10^{-1,2} \cdot 3,33^{1,9} = 4,51 \cdot 10^3$$

$$n_0 = Re_c \frac{\eta}{\rho_m d_a^2} = \frac{4,51 \cdot 10^3 \cdot 1,5 \cdot 10^{-1}}{1,2 \cdot 10^3 \cdot 3^2 \cdot 10^{-2}} = 6,26 \text{ rot/s} = 376 \text{ rot/min}$$

Se află valoarea criteriului Re_c și numărul de rotații n_0 pentru agitatorul cu turbină :

$$Re_c = 0,25 Ga^{0,57} Sp^{0,37} \Gamma_{d_c}^{0,33} \Gamma_D^{1,15} =$$

$$= 2,5 \cdot 10^{-1} \cdot 1,7^{0,57} \cdot 10^{3,99} \cdot 2,04^{0,37} \cdot 4,33^{0,33} \cdot 10^{-0,99} \cdot 3,33^{1,15} = 2,85 \cdot 10^3$$

$$n_0 = Re_c \frac{\eta}{\rho_m d_a^2} = \frac{2,85 \cdot 10^3 \cdot 1,5 \cdot 10^{-1}}{1,2 \cdot 10^3 \cdot 3^2 \cdot 10^{-2}} = 3,96 \text{ rot/s} = 238 \text{ rot/min.}$$

3. Se determină puterea consumată pentru agitare.

Din graficul $K_P = f(Re)$ [0-2] se află :

$K_P = 0,32$ pentru agitatoarele cu elice ;

$K_P = 1,30$ pentru agitatoarele cu turbină.

* Pavlușenko, I. S., Kostin, N. M., Matveev, S. F., J.P.H., 30, 1957, p. 1 160.

Se calculează expresia comună :

$$\rho_m d_a^5 = 1,2 \cdot 10^3 \cdot 3^5 \cdot 10^{-5} = 2,91$$

Puterea necesară pentru agitatorul cu elice este :

$$P = K_P n^3 \rho_m d_a^5 = 3,2 \cdot 10^{-1} \cdot 6,26^3 \cdot 2,91 = 227 \text{ W} \approx 0,23 \text{ kW}$$

Puterea necesară pentru agitatorul cu turbină este :

$$P = K_P n^3 \rho_m d_a^5 = 1,3 \cdot 3,96^3 \cdot 2,91 = 234 \text{ W} \approx 0,23 \text{ kW}$$

Pentru că puterea necesară este aceeași în ambele cazuri, se alege agitatorul cu turbină, care lucrează la o turată mai mică.

Exemplul 3-34. În experiențe de oxidare cu oxigen a sulfurii de amoniu la tiosulfat, făcute într-un aparat model cu patru pereți interiori, cu diametrul 500 mm, s-a obținut absorbția a 1,04 dm³ oxigen la 1 m³ masă de reacție în timp de o secundă (adică $k = 1,04 \cdot 10^{-3} \text{ m}^3 \text{O}_2 / \text{m}^3 \cdot \text{s}$). Agitarea s-a făcut cu un agitator cu turbină de tip închis cu diametrul de 125 mm, cu 6 rot/s, la un consum specific de oxigen $u = 3,5 \cdot 10^{-3} \text{ m}^3 \text{O}_2 / \text{m}^3 \cdot \text{s}$.

Pe baza rezultatelor obținute pe model se proiectează un aparat industrial cu diametrul 2 m, la care diametrul agitatorului este 0,5 m. Aparatul este geometric asemenea cu modelul ($\Gamma_D = D/d = 4$).

Trebuie să se calculeze numărul de rotații ale agitatorului din aparatul industrial, la care se obține aceeași productivitate specifică ca și în model. Consumul de oxigen în aparatul industrial $u_{ind} = 3,5 \cdot 10^{-3} \text{ m}^3 \text{O}_2 / \text{m}^3 \cdot \text{s}$; proprietățile fizice ale masei de reacție la model și la aparatul industrial sînt apropiate de cele ale apei. Temperatura de reacție este 80°C.

Rezolvare. Pentru calculul aparatelor industriale în care $Re_c \geq 1,8 \cdot 10^5$ se poate folosi ecuația* :

$$Di = C Re_c^{0,09} Fr_c^{0,165} K_u^{0,75} \Gamma_D^{-0,167} \quad (a)$$

în care : $Di = \frac{k}{n}$ este criteriul lui Diakonov ;

$$K_u = \frac{u}{n} \quad \text{— criteriul de repartitie.}$$

Dacă la trecerea de la model la aparatul industrial proprietățile fazelor nu se schimbă, ecuația (a) conduce la :

$$k = C_1 \frac{n^{0,67} d_a^{1,015} u^{0,75}}{D^{0,67}}$$

Se calculează valoarea criteriului Re_c pentru aparatul model :

$$Re_c = \frac{\rho_m d_a^2}{\eta} = \frac{972 \cdot 6 \cdot 0,125^2}{3,56 \cdot 10^{-4}} = 2,55 \cdot 10^5 > 1,8 \cdot 10^5$$

Prin urmare, rezultatele experiențelor pot fi folosite pentru modelare.

* Pavlușenko, I. S., Braghinskii, L. N., Brilov, V. N., J. P. H., 34, 1961, p. 805.

Din datele experiențelor pe model se determină coeficientul C_1 pentru procesul considerat:

$$C_1 = \frac{k_{mod} D_{mod}^{0,67}}{r_{mod}^{0,67} d_{mod}^{1,015} u_{mod}^{0,75}} = \frac{1,04 \cdot 10^{-3} \cdot 0,5^{0,67}}{6^{0,67} \cdot 0,125^{1,015} (3,5 \cdot 10^{-3})^{0,75}} = 1,15 \cdot 10^{-1}$$

Înlocuind în ecuație caracteristicile aparatului industrial și valoarea lui C_1 , se calculează numărul de rotații ale agitatorului:

$$n_{ind} = \left(\frac{k_{ind} D_{ind}^{0,67}}{C_1 d_{ind}^{1,015} u_{ind}^{0,75}} \right)^{\frac{1}{0,67}} = \left(\frac{1,04 \cdot 10^{-3} \cdot 2^{0,67}}{1,15 \cdot 10^{-1} \cdot 0,5^{1,015} (3,5 \cdot 10^{-3})^{0,75}} \right)^{\frac{1}{0,67}} = 2,85 \text{ rot/s}$$

Se admite viteza de rotație $n_{ind} = 3 \text{ rot/s}$

Se verifică valoarea lui Re_c pentru aparatul industrial:

$$Re_c = \frac{972 \cdot 3 \cdot 0,5^2}{3,56 \cdot 10^{-4}} = 2,04 \cdot 10^6$$

Pentru că valoarea numărului Re_c pentru aparatul industrial se află de asemenea în limitele de aplicare a ecuației (a), numărul de rotații corespunde productivității date.

3.3. PROBLEME

3-1. Să se afle raportul diametrelor particulelor de galenă (sulfură de plumb) ($\rho = 7800 \text{ kg/m}^3$) și de cuarț ($\rho = 2600 \text{ kg/m}^3$), care sedimentează cu aceeași viteză: a) în aer și b) în apă, considerând că depunerea are loc la $Re < 0,2$.

3-2. Cu ce viteză vor sedimenta particulele sferice de cuarț cu $\rho = 2600 \text{ kg/m}^3$ și diametrul de $10 \mu\text{m}$: a) în apă la 15°C ; b) în aer la 15 și 500°C ?

3-3. Ce viteză trebuie să aibă aerul în țeava verticală a unui uscător pneumatic pentru a realiza transportul unor cristale cu densitatea 2000 kg/m^3 și cu diametrul maxim 3 mm , la o temperatură a aerului de 60°C ? Viteza aerului trebuie să fie cu 25% mai mare decât viteza de plutire a particulelor.

3-4. Să se calculeze viteza curentului ascendent de aer într-un separator de aer, necesară pentru a separa particulele de apă cu diametru mai mic de 1 mm de particulele mai mari. Temperatura aerului este 20°C ; densitatea apei este 3230 kg/m^3 .

3-5. Să se determine distanța dintre polițele unei camere de desprăfuire (v. fig. 3-9), pentru ca în cameră să sedimenteze particule de praf de pirită cu diametru mai mare de $15 \mu\text{m}$. Celelalte condiții sînt identice ca în exemplul 3-6 (p. 115).

3-6. Printr-o cameră de desprăfuire (v. fig. 3-9) cu distanța între polițe 100 mm trec $2000 \text{ m}^3/\text{h}$ de gaz cu densitatea $1,6 \text{ kg/m}^3$ (debitul și densitatea sînt date în condiții normale). Temperatura gazului este 400°C . Viscositatea la această temperatură este $0,03 \cdot 10^{-3} \text{ Pa}\cdot\text{s}$. Densitatea prafului este 3700 kg/m^3 . Dimensiunile camerei sînt: lungimea $4,55 \text{ m}$, lățimea $1,71 \text{ m}$, înălțimea 4 m . Ce diametru au particulele de praf care se vor depune în această cameră dacă viteza reală de sedimentare este jumătate din cea teoretică?

3-7. Să se demonstreze identitatea formulelor (3-9) și (3-10) pentru calculul suprafeței unui decantor cu funcționare continuă.

3-8. Să se determine diametrul decantorului (v. fig. 3-2) pentru îngroșarea continuă a unei suspensii apoase de carbonat de calciu, care are temperatura de 35°C . Celelalte condiții sînt identice cu cele din exemplul 3-8.

3-9. Cum variază capacitatea de producție a decantorului dacă temperatura suspensiei apoase se ridică de la 15 la 50°C ? În ambele cazuri $Re < 0,2$.

3-10. Să se aleagă un ciclon de tipul NIIOGAZ (v. fig. 3-3 și tabelul 3-1) pe baza următoarelor date: debitul aerului cu praf $5100 \text{ m}^3/\text{h}$ (la 0°C și 760 mm Hg); temperatura

aerului 50°C ; densitatea prafului 1200 kg/m^3 . Dimensiunea minimă a particulelor de praf care trebuie să se depună în ciclon este $15 \mu\text{m}$. Să se determine și rezistența hidraulică a ciclonului.

3-11. Să se deducă formula (3-25) pornind de la condiția că volumul suspensiei este egal cu suma volumelor fazei lichide și solide.

3-12. Să se calculeze densitatea unei suspensii apoase care conține 10% masă fază solidă. Densitatea relativă a fazei solide este 3 .

3-13. Să se determine viteza de sedimentare în apă la 25°C a unor particule alungite de cărbune cu $\rho = 1400 \text{ kg/m}^3$ și a unor particule de șist turtite cu $\rho = 2200 \text{ kg/m}^3$, cu diametrul echivalent 2 mm .

3-14. Să se determine viteza de sedimentare în apă a unor particule alungite de sulfură de plumb de formă colțuroasă, care sedimentează în apă la 15°C cu viteza $0,25 \text{ m/s}$. Densitatea sulfurii de plumb este 7500 kg/m^3 .

3-15. Ce cantitate de precipitat umed se adună pe filtru după filtrarea a 10 m^3 suspensie cu densitatea relativă $1,12$, care conține 20% masă fază solidă? Umiditatea precipitatului este 25% .

3-16. La filtrarea unei suspensii apoase cu un conținut de 20% masă solidă s-au obținut 15 m^3 filtrat. Umiditatea precipitatului este 30% . Să se determine cantitatea de precipitat obținut, calculată față de substanța uscată.

3-17. Un filtru-presă are 26 rame, cu dimensiunile $62 \times 62 \text{ cm}$. Grosimea ramelor este 25 mm . Durata de filtrare pînă la umplerea ramelor este două ore. Spălarea precipitatului se face cu apă în cantitate de 10% din volumul filtratului. Presiunea în timpul filtrării și spălării este constantă și identică. Care este timpul necesar pentru spălare? Precipitatul este omogen și necompresibil; volumul său reprezintă 5% din volumul filtratului. Calculul se face folosind ecuația (3-13), considerînd $C = 0$.

3-18. Durata de filtrare a 20 m^3 soluție pe un filtru-presă cu rame este $2,5$ ore. Să se găsească durata aproximativă de spălare a precipitatului cu 2 m^3 apă, presupunînd că viteza de spălare este de circa 4 ori mai mică decât de viteza de filtrare în momentul final. Rezistența pînzei se neglijează. Viscositatea filtratului și a apei de spălare sînt identice.

3-19. Cum variază durata de spălare a precipitatului în condițiile problemei precedente, dacă se consideră că viscositatea filtratului este $1,5 \cdot 10^{-3} \text{ Pa}\cdot\text{s}$, iar viscositatea apei de spălare $1 \cdot 10^{-3} \text{ Pa}\cdot\text{s}$?

3-20. Să se determine durata teoretică de spălare a unui precipitat dintr-un filtru în următoarele condiții: intensitatea de spălare $6 \text{ dm}^3/\text{m}^2\cdot\text{min}$; grosimea precipitatului 30 mm ; concentrația inițială a sării în filtratul apei de spălare 120 g/dm^3 ; concentrația finală 2 g/dm^3 . Constanta vitezei de spălare K este, conform datelor experimentale, egală cu $350 \text{ cm}^2/\text{dm}^3$.

3-21. Să se determine constanta de spălare K în următoarele condiții: intensitatea de spălare $10 \text{ dm}^3/\text{m}^2\cdot\text{min}$; grosimea stratului de precipitat 25 mm ; concentrația inițială a sării în filtratul apei de spălare 40 g/dm^3 , iar cea finală $0,5 \text{ g/dm}^3$; durata de spălare $1 \text{ h } 40 \text{ min}$.

3-22. Cum variază capacitatea de filtrare a unui filtru dacă:

- 1) se dublează suprafața de filtrare;
- 2) se dublează presiunea de filtrare, precipitatul fiind omogen și necompresibil;
- 3) se dublează concentrația substanței solide în suspensia de filtrat;
- 4) se micșorează de două ori viscositatea filtratului prin ridicarea temperaturii;
- 5) se dublează durata ciclului complet de lucru al filtrului, adică se mărește grosimea stratului de precipitat.

3-23. Să se arate, în mod orientativ, cum influențează variația numărului de rotații a unui filtru cu tobă la vid (v. fig. 3-10) asupra capacității sale de filtrare (de exemplu, prin mărirea numărului de ture cu 50%). Se va folosi ecuația (3-13), admițînd $C = 0$.

3-24. Să se determine tipul tehnologic și să se indice construcția centrifugei pentru separarea p-nitroanilinei din soluție, după recristalizare, cunoscînd:

- 1) concentrația substanței solide în suspensie 35% ;
- 2) dizolvant — apă;
- 3) precipitatul — cristalin;
- 4) umiditatea finală cerută — 5% ;
- 5) cristalizarea se face periodic.

3-25. Se cere să se separe uleiul de bumbac din apele de spălare (soapstock) după purificarea cu alcalii. Să se determine tipul tehnologic de centrifugă și să se indice construcția acesteia pe baza următoarelor date:

- 1) felul amestecului — emulsie;
- 2) densitatea relativă a uleiului — 0,9;
- 3) densitatea relativă a soluției apoase de sare (adăugată pentru spargerea emulsiei)

— 1,05

3-26. Să se determine presiunea specifică pe pereții unei centrifuge, dacă grosimea stratului de lichid este 10 cm, diametrul interior al tobei 1 m, turația 500 rot/min. Densitatea lichidului este 1 100 kg/m³.

3-27. Să se determine turația unei centrifuge, dacă se cunoaște înălțimea tobei $H = 0,5$ m. Presiunea pe pereții tobei trebuie să fie 5 at. Se încarcă 400 kg suspensie.

3-28. Să se arate aproximativ, că, dacă rezistența admisibilă la tracțiune a oțelului este $\sigma_a = 88,3 \cdot 10^6$ Pa, adică 900 kgf/cm², viteza periferică a tamburului centrifugei nu trebuie să depășească 60 m/s. Ținând seama de această condiție, să se determine diametrul maxim admisibil al tobei: a) pentru o centrifugă de filtrare care face 1 100 rot/min; b) pentru o supercentrifugă tubulară care face 14 000 rot/min.

3-29. Să se deducă formula cu care se poate calcula viteza de centrifugare a unor particule sferice solide, pornind de la legea lui Stokes. Turația se măsoară în rot/s.

3-30. De câte ori mai repede are loc depunerea aceluiași particule într-o centrifugă față de un decantor, dacă toba centrifugei are $D = 1$ m și $n = 600$ rot/min? Regimul de curgere în ambele cazuri este laminar.

3-31. Să se determine durata aproximativă de pornire a unei centrifuge încărcată cu 300 kg sare umedă, neglijând frecarea axului în lagăre și frecarea peretelui tobei de aer. Diametrul interior al tobei este 1 m, iar masa 200 kg. Turația de regim este 800 rot/min. Puterea electromotorului este 6 kW, iar randamentul total al agregatului 0,8. Înălțimea tobei este 780 mm; coeficientul de umplere al tobei 0,5.

3-32. În condițiile problemei precedente să se determine puterea electromotorului, dar ținând seama de frecare, dacă perioada de pornire se consideră egală cu 2,5 min. Diametrul axului 70 mm; lagărele sînt cu bile; grosimea peretelui tamburului este 10 mm.

3-33. Să se determine numărul de centrifuge cu funcționare periodică, avînd dimensiunile tobei $D = 1$ 200 mm și $H = 500$ mm, pentru a filtra 50 t suspensie în 24 ore. Suspensia conține 40% masă fază solidă. Densitatea relativă a lichidului este 1,1, iar a solidului 1,8. Durata unei operații 25 min. Numărul orelor de funcționare pe zi se va considera egal cu 20. Coeficientul de umplere al tobei 0,5.

3-34. Cum variază capacitatea de filtrare a unei centrifuge dacă numărul de rotații se dublează? Precipitatul este omogen și necompresibil. Se neglijează rezistența plinzei de filtrare.

3-35. O centrifugă automată orizontală de sedimentare tip AOG-1800 trebuie să centrifugeze o suspensie apoasă de carbonat de calciu. Să se determine capacitatea de producție orară a centrifugei (cantitatea orară de suspensie prelucrată), dacă temperatura suspensiei este 40°C. Dimensiunea celor mai mici particule este 2 μ m. Caracteristicile tehnice ale centrifugei: diametrul tobei 1 800 mm, lungimea tobei 700 mm; diametrul deschiderii 1 300 mm; turația 735 rot/min. Randamentul se va lua 0,45.

3-36. De câte ori este mai mare capacitatea de producție a unei centrifuge industriale de filtrare tip AG decît a unui model de laborator, geometric asemenea? Dimensiunile centrifugei industriale sînt de trei ori mai mari decît dimensiunile celei de laborator. Se prelucrază aceeași suspensie, la aceeași turație și cu aceeași durată de umplere a tamburului cu precipitat.

3-37. Să se determine capacitatea de producție a unei centrifuge cu șnec de sedimentare tip NOGŞ-600, care prelucrază o suspensie apoasă de ghips la 50°C. Cele mai mici particule de ghips din suspensie au diametrul 2 μ m. Centrifuga are: diametrul cilindrului la preaplin 480 mm; lungimea zonei de sedimentare 350 mm; turația tobei 1 400 rot/min.

3-38. Ce diametru vor avea particulele de caolin dintr-o suspensie apoasă pentru a sedimenta într-o centrifugă NOGŞ-230 la o prelucrare de 3 m³/h suspensie la 35°C? Caracteristicile tehnice ale centrifugei sînt: diametrul cilindrului la preaplin 180 mm; lungimea 164 mm; turația tamburului 1 600 rot/min.

3-39. Să se determine viteza aerului necesară pentru formarea stratului fluidizat în cazul particulelor de gel de silicoaluminat granulat în următoarele condiții: temperatura aerului 100°C; densitatea (aparentă) a gelului de silicoaluminat $\rho = 968$ kg/m³; diametrul particulelor 1,2 mm. Care va fi rezistența hidraulică, dacă înălțimea stratului fix este 400 mm?

3-40. În condițiile problemei precedente să se determine porozitatea și înălțimea stratului fluidizat dacă viteza aerului depășește de 1,7 ori viteza critică.

3-41. Să se determine diametrul minim al particulelor granulate de cărbune care încep să treacă în stare de fluidizare într-un curent de aer cu viteza 0,2 m/s. Densitatea (aparentă) a cărbunelui este 660 kg/m³.

3-42. Un vas cu diametrul 900 mm și înălțimea 1 100 mm, prevăzut cu agitator, este umplut $3/4$ cu ulei de cilindru cu densitatea 930 kg/m³ și viscozitatea 18 Pa·s. Care va fi puterea instalată a electromotorului, dacă agitatorul cu elice cu trei palete face 180 rot/min?

3-43. Pentru a se obține o soluție diluată dintr-o sare minerală, aceasta se amestecă intens cu apă la 64°C într-un rezervor cu ajutorul unui agitator cu palete. Ce număr de rotații face agitatorul dacă diametrul său este 0,5 m, iar puterea necesară motorului este 0,8 kW? Caracteristicile fizice ale soluției diluate sînt identice cu ale apei.

3-44. Un agitator cu palete avînd $d_1 = D/3$ este înlocuit cu altul cu $d_2 = D/4$. Amestecarea se face în ambele cazuri în condițiile regimului laminar. Cum variază numărul de rotații al agitatorului, dacă puterea motorului rămîne aceeași?

3-45. Ce diametru trebuie să aibă un agitator cu elice pentru amestecarea intensă a glicerinei tehnice, care are densitatea 1 200 kg/m³ și viscozitatea 1,6 Pa·s; amestecarea se face într-un vas cu diametrul 1 750 mm la o turație $n = 500$ rot/min și o putere 17 kW?

3.4. EXEMPLU DE CALCUL AL UNEI BATERII DE CICLOANE [3-2]

Într-o baterie de cicloane (fig. 3-14) se purifică de praf 7 800 m³/h gaz cu temperatura 310°C. Densitatea gazului 1,3 kg/m³ (socotit la 0°C și 760 mm Hg). Presiunea barometrică este 99 300 Pa (745 mm Hg). La intrarea în bateria de cicloane gazul se află la un vid de 294 Pa (30 mm H₂O). Rezistența hidraulică a bateriei de cicloane nu trebuie să fie mai mare de 392 Pa (40 mm H₂O). Densitatea prafului 2 450 kg/m³. Conținutul de praf în gaz este 32 g/m³ (la 0°C și 760 mm Hg). Praful se aglomerează puțin.

Rezolvare. Caracteristicile cicloanelor dintr-o baterie de cicloane de tip BT cu dispozitive spirale, pentru separarea prafului cu tendință mică de aglomerație, cu densitatea 2 300 kg/m³ la $\frac{\Delta p}{\rho} = 736$ m²/s² (sau $\frac{\Delta p}{\gamma} = 75$ m) sînt date în tabelul 3-6.

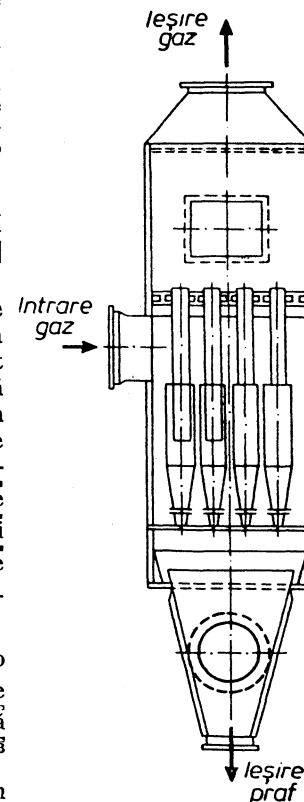


Fig. 3-14. Multiciclón.

Tabelul 3-4

Diametrul elementului, mm	Concentrația maximă a prafului în gaz, g/m ³ (la 0°C și 760 mm Hg)	Gradul de separare a prafului (%) la diametrul particulelor, în μm			Coeficientul de rezistență ζ, la înclinarea paletelor de	
		5	10	15	25°	30°
250	75	72	84	93	90	65
150	35	78	88	95		
100	15	82	91	96		

Pe baza datelor problemei se alege din tabel un ciclon cu diametrul 150 mm, la care concentrația admisă a prafului este pînă la 35 g/m³. Se determină densitatea gazului pentru condițiile de lucru :

$$\rho = 1,3 \frac{273 \left(745 - \frac{30}{13,6} \right)}{(273 + 310)760} = 0,595 \text{ kg/m}^3$$

Din condiția impusă, pierderea de presiune Δp nu trebuie să depășească 392 Pa (40 mm H₂O). Raportul $\frac{\Delta p}{\rho} = \frac{392}{0,595} = 660 \text{ m}^2/\text{s}^2$ (sau $\frac{\Delta p}{\gamma} = \frac{40}{0,595} = 67,2 \text{ m}$) se încadrează în limitele recomandate (540–736 m²/s²) (sau 55–75 m).

Pentru dispozitivul de dirijare de tip cu spirală, cu unghiul de înclinare a paletelor față de orizontală de 25°, coeficientul de rezistență $\zeta = 90$.

Viteza gazului în partea cilindrică a ciclonului w_c se determină din formula (3-12) :

$$w_c = \sqrt{\frac{2\Delta p}{\zeta \rho}} = \sqrt{\frac{392 \cdot 2}{90 \cdot 0,595}} = 3,84 \text{ m/s}$$

Debitul de gaz printr-un element al bateriei de cicloane este :

$$V_1 = 0,785 D^2 \cdot 3600 \cdot w_c = 0,785 \cdot 0,150^2 \cdot 3600 \cdot 3,84 = 244 \text{ m}^3/\text{h}$$

Numărul necesar de elemente va fi :

$$n = \frac{7800}{244} = 32$$

care se așează pe patru rinduri a câte opt elemente fiecare.

3.5. EXEMPLU DE CALCUL AL UNUI SPĂLĂTOR DE GAZE CU SPUMĂ PENTRU PURIFICAREA GAZELOR DE PRAF [3-8]*

Să se determine dimensiunile principale ale unui spălător de gaze cu spumă, care trebuie să purifice 50 000 m³/h gaz la temperatura de 80°C. Concentrația prafului la intrarea gazului în aparat $c_{in} = 0,01 \text{ kg/m}^3$ (în condiții normale); gradul de purificare 0,99.

* În ultimul timp au apărut aparate noi îmbunătățite de spălătoare de gaze: cu grătare (Valdberg, A. Iu., Tarat, E. Ia., Zaitsev, M. M. — Alimentarea cu apă și tehnica sanitară, 1969, nr. 6) și cu stabilizatori celulari ai spumei.

Rezolvare. Deoarece viteza gazului în secțiunea totală a aparatului este un factor principal, de care depinde formarea în bune condiții a spumei și prin urmare eficacitatea purificării, este important ca alegerea vitezei de calcul să se facă corect.

Limita superioară admisă pentru viteza gazului este viteza la care se intensifică brusc antrenarea apei sub formă de picături. După datele experimentale, în spălătoarele de gaze au un strat de spumă cu înălțimea de 30–100 mm, despărțirea gazului în șuvițe, care produc distrugerea spumei și antrenarea masivă de picături, începe la viteze ale gazului raportate la secțiunea totală a aparatului (sub grătar) de la 2,7 pînă la 3,5 m/s.

Cu cît stratul de spumă deasupra grătarului este mai înalt și cu cît secțiunea liberă a grătarului este mai mare, cu atît gazul poate să aibă viteza mai mare fără a antrena picături. Micșorarea diametrului orificiilor (păstrîndu-se constantă secțiunea liberă a grătarului) permite de asemenea micșorarea antrenării picăturilor. De obicei, limita superioară a vitezei gazului sub grătar se admite aproximativ 3 m/s.

Limita inferioară a vitezei gazului în aparatele cu spumă este viteza la care se micșorează mult formarea spumei.

Pentru spălătoarele de gaz cu spumă, cu secțiune liberă mare a grătarului și cu orificii cu diametru mare, limita inferioară este viteza gazului la care cea mai mare parte din lichid trece prin orificii, fapt în urma căruia înălțimea stratului de spumă devine foarte mică. În condiții obișnuite, limita inferioară a vitezei de calcul se poate considera egală cu 1 m/s.

Se admite viteza medie a gazului $w = 2,3 \text{ m/s}$. Se determină suprafața secțiunii transversale a aparatului :

$$S = \frac{50000}{3600 \cdot 2,3} = 6 \text{ m}^2$$

Spălătorul de gaz poate avea o secțiune circulară sau dreptunghiulară. În aparatele cilindrice se realizează o repartiție mai uniformă a curentului de gaz, în timp ce în aparatele cu secțiune dreptunghiulară se obține o repartiție mai bună a lichidului.

Se alege un aparat cu secțiune dreptunghiulară cu dimensiunile $3 \times 2 \text{ m}$, alimentarea apei făcîndu-se central (fig. 3-15). Pentru o repartiție mai bună a gazului în secțiunea aparatului introducerea gazului se face printr-un difuzor.

Calculul cantității necesare de apă se face diferit în funcție de temperatura gazului la intrare. Dacă gazul este rece, factorii hidrodinamici au cea mai mare influență asupra debitului de apă, iar dacă gazele sînt calde, debitul de apă este determinat de bilanțul termic.

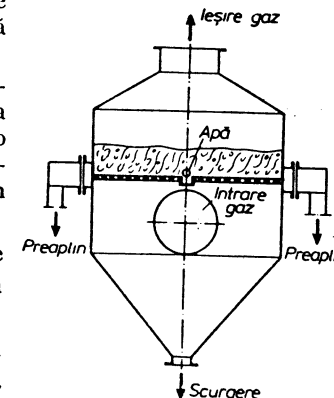


Fig. 3-15. Spălător de gaze cu spumă.

La purificarea de praf a gazelor cu temperaturi sub 100°C, calculul cantității de apă introduse se face pornind de la hidrodinamica procesului și de la bilanțul de materiale al gazului de purificat. În condiții obișnuite, pentru păstrarea unei uniformități suficiente de formare a spumei pe întreaga suprafață a grătarului, este necesar ca prin orificii să se scurgă maximum 50% din apa introdusă, deoarece o scurgere mai intensă creează o neuniformitate a înălțimii stratului de apă pe grătar.

Debitul apei în spălătorul de gaz se compune din debitul de apă care trece prin scurgere și acela care iese prin preaplinul grătarului.

Evaporarea apei este neînsemnată și poate fi neglijată.

Cantitatea de apă care trece prin orificiile grătarului se determină în funcție de greutatea prafului de separat și de compoziția suspensiei date; se alege apoi grătarul, a cărui secțiune liberă, diametru și celelalte caracteristici trebuie să fie astfel încât să se asigure scurgerea cantității de apă stabilite.

La un grad de purificare dat η , concentrarea prafului în gaz la ieșirea din aparat c_{fin} se determină cu formula* :

$$c_{fin} = c_{in}(1 - \eta) = 0,01(1 - 0,99) = 0,0001 \text{ kg/m}^3$$

Cantitatea de praf separat :

$$G_{praf} = V_0(c_{in} - c_{fin}) = 50\,000 \frac{273}{273 + 80} (0,01 - 0,0001) = 383 \text{ kg/h}$$

Dacă se cunoaște concentrația suspensiei $c = s : l$ (în kg/kg), atunci scurgerea W_1 , adică volumul de apă necesar (în m³/h) pentru formarea suspensiei, se poate determina cu ecuația :

$$W_1 = \frac{KG_{praf}}{1\,000c}$$

în care K este coeficientul de repartitie a prafului între apa care se scurge și apa care iese din preaplin, exprimat prin raportul dintre cantitatea de praf antrenată de apa care se scurge și cantitatea totală de praf separată; de obicei $K = 0,6 \dots 0,8$.

De regulă, concentrația suspensiei se găsește în limitele raportului masic $s : l$ egal cu $(1 : 5) \dots (1 : 10)$. Obținerea unei suspensii mai concentrate decât $1 : 5$ poate produce astuparea orificiilor grătarului, mai ales la orificii cu diametre mici. Obținerea unei suspensii cu $s : l < 1 : 10$ nu este rațională datorită volumelor prea mari.

* Concentrația prafului c_{fin} este raportată la volumul gazului înainte de intrarea în aparat V_0 , redus la condiții normale. Ea se deosebește puțin de gradul de prăfuire al gazului (în kg/m³) după aparat, deoarece cantitatea de gaz după aparat crește cu 1–2% datorită evaporării apei în spălătorul de gaz.

Se admite $c = 1 : 8 = 0,125$ și $K = 0,7$. Atunci :

$$W_1 = \frac{0,7 \cdot 383}{1\,000 \cdot 0,125} = 2,14 \text{ m}^3/\text{h}$$

pe tot grătarul sau

$$\frac{2,14}{6} = 0,36 \text{ m}^3/\text{m}^2 \cdot \text{h}$$

pe 1 m² grătar.

Datorită dificultății de a determina parametrii grătarului atunci când se cunoaște cantitatea de apă scursă și ținând seama și de evaporarea parțială a apei după trecerea ei prin grătar, se ia un coeficient de siguranță de $\sim 1,5$, adică se consideră $W_1 = 1,5 \cdot 2,14 \approx 3,3 \text{ m}^3/\text{h}$ sau $0,55 \text{ m}^3/\text{m}^2 \cdot \text{h}$.

Cantitatea de apă care se scurge prin preaplin se determină cu formula :

$$W_2 = ib$$

în care : i este intensitatea curentului în preaplinul grătarului, în m³/m²·h ;
 b — lățimea grătarului înaintea preaplinului, egală cu lungimea pragului de preaplin, în m.

Admițind că $i = 1 \text{ m}^3/\text{m}^2 \cdot \text{h}$, pentru tipul de aparat ales, cu preaplinul de ambele părți, se determină :

$$W_2 = 1 \cdot 2 \cdot 2 = 4 \text{ m}^3/\text{h}$$

Debitul total de apă va fi :

$$W = 3,3 + 4 = 7,3 \text{ m}^3/\text{h}$$

Debitul specific de apă va fi :

$$W_{sp} = \frac{7\,300}{50\,000} = 0,146 \text{ dm}^3/\text{m}^3 \text{ gaz}$$

Cantitatea de apă scursă W_1 față de debitul total de apă W reprezintă :

$$W_1 = \frac{3,3}{7,3} 100 = 45\%$$

ceea ce este admisibil (W trebuie să fie $\geq 2W_1$).

Caracteristicile principale ale grătarului (diametrul și pasul găurilor) se aleg pornind de la cantitatea de lichid care trebuie să se scurgă.

S-a stabilit că scurgerea apei crește o dată cu creșterea diametrului găurilor d_0 și cu înălțimea stratului inițial* de lichid pe grătar h_0 .

Scurgerea apei crește, de asemenea, la scăderea vitezei gazului în orificii sub 4–6 m/s (în funcție de d_0 și h_0) și scade brusc la creșterea vitezei gazului peste 13–15 m/s, ceea ce poate produce înfundarea grătarului cu praf.

* Se numește strat inițial înălțimea stratului de lichid netransformat în spumă, care va servi la formarea unui strat de spumă cu înălțimea dată.

În afară de aceasta, creșterea vitezei gazului în orificii, în cazul unui strat mic de apă (spumă) pe grătar, caracteristic pentru spălătorul de gaz, duce la desfacerea gazului în șuvițe și la formarea intensă de picături.

Pentru asigurarea funcționării normale a spălătorului de gaz, viteza gazului w_0 în grătare cu orificii mari trebuie să fie în limitele 8–13 m/s, iar pentru grătare cu orificii mici între 7 și 10 m/s, în funcție de gradul inițial de prăfuire a gazului, de variațiile posibile ale debitului de gaz și de alte condiții.

Ținând seama de concentrația apreciabilă a prafului în gaz (10 g/m³ în condiții normale) și de ușurința relativ mare de confecționare a grătarelor cu orificii mari (orificii mai puține și găurire mai ușoară), se prevede un grătar cu orificii mari, pentru care se recomandă o viteză de calcul a gazelor de 8–13 m/s. Considerând că variația debitului de gaz în aparat va avea loc mai ales în sensul micșorării debitului (condiții normale), se alege o viteză a gazului $w_0 = 12$ m/s.

În acest caz raportul dintre suprafața secțiunii libere a grătarului S_0 și secțiunea aparatului S va fi:

$$\frac{S_0}{S} = \frac{w}{w_0 z} = \frac{2,3}{12 \cdot 0,95} = 0,2$$

în care $z = 0,95$ reprezintă un coeficient care ține seama de faptul că 5% din suprafața secțiunii libere este ocupată de suporturile grătarului, de pragurile de preaplin etc.

La distribuirea orificiilor pe grătar după un hexagon cu pasul t (fig. 3-16) suprafața marcată cu linie plină va fi:

$$s = t \cdot x = t \cdot 2 \sqrt{t^2 - \frac{t^2}{4}} = 1,73 t^2$$

Pe această suprafață se pot plasa două orificii cu diametrul d_0 , a căror suprafață este:

$$s_0 = 2 \cdot 0,785 d_0^2 = 1,57 d_0^2$$

După cum s-a stabilit mai înainte, raportul s_0/s trebuie să fie egal cu 0,2, adică:

$$\frac{1,57 d_0^2}{1,73 t^2} = 0,2$$

de unde

$$t = \sqrt{\frac{1,57 d_0^2}{1,73 \cdot 0,2}}$$

La un diametru al orificiilor $d_0 = 5$ mm rezultă:

$$t = \sqrt{\frac{0,91 \cdot 25}{0,2}} = 10,7 \approx 11 \text{ mm}$$

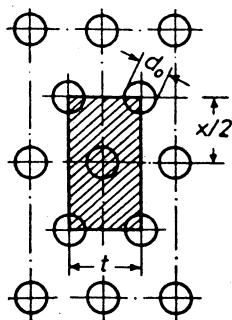


Fig. 3-16. Distribuția orificiilor pe grătar.

Înălțimea pragului preaplinului pe grătar se stabilește din calculul stratului de spumă înaintea preaplinului cu înălțimea de 60 pînă la 100 mm (în funcție de gradul de purificare).

Se calculează înălțimea stratului de spumă pe grătar, care să satisfacă gradul de purificare impus de $\eta = 0,99$.

Coeficientul vitezei de desprăfuire este:

$$K_p = \frac{2 \eta w}{2 - \eta} = \frac{2 \cdot 0,99 \cdot 2,3}{2 - 0,99} = 4,5 \text{ m/s}$$

Relația între coeficientul K_p și înălțimea stratului de spumă H , la separarea unui praf hidrofil cu dimensiuni medii a particulelor 15–20 μm , se exprimă prin formula empirică:

$$H = K_p - 1,95w + 0,09 = 4,5 - 1,95 \cdot 2,3 + 0,09 = 0,1 \text{ m}$$

Pe de altă parte, pentru un spălător de praf

$$H = 0,806 w^{0,5} h^{0,6}$$

cu h_0 înălțimea stratului inițial de apă pe grătar, în m.

De aici

$$h_0 = \left(\frac{H}{0,806 w^{0,5}} \right)^{\frac{1}{0,6}} = \left(\frac{0,1}{0,806 \cdot 2,3^{0,5}} \right)^{\frac{1}{0,6}} = 0,013 \text{ m}$$

Înălțimea stratului inițial de lichid h_0 este legată de intensitatea curentului la preaplin și de a pragului h_p prin relația empirică:

$$h_0 = \varphi \sqrt[3]{i^2} + \psi h_p$$

în care: φ este un coeficient care caracterizează scurgerea apei din preaplin; pentru calculele industriale se poate lua cu suficientă exactitate $\varphi = 3$;

ψ — gradul de acces al lichidului la prag, care poate varia în mare măsură în funcție de condițiile de formare a spumei; pentru condiții apropiate de condițiile de lucru ale spălătorului de gaz $\psi \approx 0,4$.

Astfel, înălțimea pragului (în mm) se poate calcula cu formula:

$$h_p = 2,5 h_0 - 7,5 \sqrt[3]{i^2}$$

În cazul problemei date: $w = 2,3$ m/s; $i = 1$ m³/m²·h.

De aici, înălțimea pragului:

$$h_p = 2,5 \cdot 13 - 7,5 \sqrt[3]{1^2} = 25 \text{ mm}$$

Pentru a asigura funcționarea aparatului la variații de regim, se admite o înălțime a pragului de 30 mm.

Înălțimea totală a spălătorului de gaz se compune din înălțimile diferitelor părți și anume: partea de deasupra grătarului h_1 , partea de sub grătar h_2

și buncărul h_b . Aceste înălțimi se determină constructiv: h_1 în funcție de formarea picăturilor și de dimensiunile separatorului de picături; h_2 în funcție de construcția conductei de alimentare cu gaz; h_b în funcție de proprietățile suspensiei.

3.6. EXEMPLU DE CALCUL AL UNUI FILTRU DE VID CU TAMBUR

Să se calculeze un filtru de vid cu tambur (v. fig. 3-10) cu o capacitate de prelucrare de 2,8 t/24 ore de precipitat uscat de hidroxid de nichel pentru următoarele condiții:

- 1) vidul $53,5 \cdot 10^3$ Pa (400 mm Hg);
- 2) rezistența specifică medie a precipitatului $r = 43,21 \cdot 10^{10}$ m/kg precipitat uscat;
- 3) rezistența specifică a pinzei de filtrare $r_p = 11,43 \cdot 10^{10}$ m/m²;
- 4) masa de substanță solidă care se depune pe filtru la 1 m³ filtrat $c = 207,5$ kg/m³;
- 5) grosimea stratului de precipitat admisă $\delta = 5$ mm (la precipitatele amorfe; la cele cristaline grosimea stratului este 15–20 mm);
- 6) volumul precipitatului umed obținut la trecerea prin filtru a 1 m³ filtrat $0,686$ m³/m³;
- 7) densitatea precipitatului umed 1220 kg/m³ (la umiditatea 75,2%); densitatea filtratului 1110 kg/m³;
- 8) numărul total de celule de filtrare $z = 24$ (prin analogie cu filtrele cu tambur folosite);
- 9) viscozitatea filtratului (la temperatura $t = 50^\circ\text{C}$) $\eta = 1,51 \cdot 10^{-3}$ Pa·s;
- 10) durata de uscare a precipitatului pe filtru $\tau_u = 1,5$ min;
- 11) concentrația suspensiei inițiale – 10,67%.

Rezolvare. Calculul unui filtru de vid cu tambur se reduce la determinarea suprafeței de filtrare și la alegerea filtrului din catalog.

Suprafața de filtrare S (în m²) se poate determina cu expresia:

$$S = \frac{V_{tot}}{V'}$$

în care: V_{tot} este debitul de filtrat al filtrului, în m³/h;

- V' — debitul de filtrat obținut pe 1 m² suprafață de filtrare, egal cu v_n , în m³/m²·h;
- v — debitul de filtrat pe 1 m² și o rotație, în m³/m²·rot;
- n — turația filtrului, în rot/h.

Se determină debitul de filtrat al filtrului.

Capacitatea de prelucrare a filtrului în precipitat uscat trebuie să fie 2,8 t/24 ore, respectiv 117 kg/h, sau în precipitat umed (umiditatea 75,2%)

$$\frac{117 \cdot 100}{24,8} = 472 \text{ kg/h.}$$

Cantitatea de suspensie care intră la filtrare cu concentrația de 10,67% reprezintă $\frac{117 \cdot 100}{10,67} = 1096$ kg/h. Atunci, cantitatea de filtrat care iese este $1096 - 472 = 624$ kg/h sau, la densitatea filtratului de 1110 kg/m³, $\frac{624}{1110} = 0,56$ m³/h, adică 13,4 m³/24 ore.

Prin urmare:

$$V_{tot} = 0,56 \text{ m}^3/\text{h.}$$

Pentru determinarea lui V' trebuie să se afle debitul filtrului pe 1 m² și o rotație, adică în timpul τ de trecere a zonei de filtrare și numărul de rotații pe oră ale filtrului.

Se știe că volumul precipitatului umed, care se depune pe filtru la trecerea a 1 m³ filtrat este egal cu $0,686$ m³/m³. La grosimea admisă a stratului de precipitat de 5 mm, suprafața necesară de filtrare pentru zona de filtrare la 1 m³ filtrat este de $\frac{0,686}{0,005} = 137,5$ m²/m³.

Desigur, prin zona de filtrare de 1 m² trece volumul de filtrat:

$$v = \frac{1}{1,375} = 0,00728 \text{ m}^3/\text{m}^2.$$

Pentru determinarea numărului de rotații ale filtrului trebuie să se cunoască durata de filtrare τ (durata în care se formează stratul de precipitat cu grosimea de 5 mm). Pentru aceasta se folosește ecuația fundamentală a filtrării (3-13):

$$V^2 + 2CV = K\tau$$

în care $V = 7,28 \cdot 10^{-3}$ m³/m².

Constanta K se determină din ecuația (3-15):

$$K = \frac{2\Delta p}{\eta cr} = \frac{2 \cdot 53300}{1,51 \cdot 10^{-3} \cdot 207,5 \cdot 43,21 \cdot 10^{10}} = 0,79 \cdot 10^{-6} \text{ m}^2/\text{s}$$

în care: $\Delta p = 53300$ Pa = 400 mm Hg;

$$\eta = 1,51 \cdot 10^{-3} \text{ Pa} \cdot \text{s};$$

$$c = 207,5 \text{ kg/m}^3; r = 43,21 \cdot 10^{10} \text{ m/kg.}$$

Constanta C se determină din ecuația (3-19):

$$C = \frac{r_p}{rc} = \frac{11,43 \cdot 10^{10}}{43,21 \cdot 10^{10} \cdot 207,5} = 1,28 \cdot 10^{-3} \text{ m}^3/\text{m}^2$$

Atunci:

$$\tau = \frac{7,28^2 \cdot 10^{-6} + 2 \cdot 7,28 \cdot 10^{-3} \cdot 1,28 \cdot 10^{-3}}{0,79 \cdot 10^{-6}} = 91 \text{ s} = 1,52 \text{ min.}$$

Pentru determinarea numărului de rotații ale tamburului este necesar să se afle viteza unghiulară de rotație a filtrului cu formula :

$$\omega = \frac{360 - \varphi'}{\tau - \tau_u}$$

în care : $\tau = 1,52$ min este durata filtrării ;

$\tau_u = 1,5$ min — durata uscării precipitatului ;

$\varphi' =$ — unghiul cuprins între zona de îndepărtare a precipitatului și zona moartă (inactivă) ; se admite egal cu $1,23$ rad sau 70° (pe baza datelor practice).

Atunci :

$$\omega = \frac{2 - 1,23}{3,02} = 1,67 \text{ rad/min}$$

sau

$$\omega = \frac{360 - 70}{3,02} = 96,2 \text{ grd/min}$$

Durata totală a ciclului de lucru sau durata unei rotații a tobei este :

$$\tau_{rot} = \frac{2\pi}{1,67} = \frac{360}{96,2} \approx 3,8 \text{ min}$$

Numărul de rotații pe oră ale filtrului este :

$$n = \frac{60}{3,8} = 15,8 \text{ rot/h}$$

Durata de uscare, de îndepărtare a precipitatului și de trecere în zonele moarte este :

$$\tau_u = 3,8 - 1,52 = 2,28 \text{ min.}$$

Numărul de celule care se află în același timp în zona de uscare, de îndepărtare a precipitatului și în zonele moarte este :

$$z = \frac{2,28 \cdot 24}{3,8} \approx 14$$

În zona de filtrare se află 10 celule (24-14).

Suprafața necesară a filtrului este :

$$S = \frac{V_{tot}}{vn} = \frac{0,56}{0,00728 \cdot 15,8} = 4,86 \text{ m}^2$$

Se alege un filtru de vid cu suprafața de filtrare egală cu 5 m^2 .

4.1. BAZELE TEORETICE ȘI FORMULE DE CALCUL

4.1.1. Transmiterea căldurii prin conducție

1. Ecuația transmiterii căldurii în regim staționar, printr-un perete plan, format dintr-un singur strat, prin conductivitate, este :

$$q = \frac{Q}{A} = \frac{t_c - t_r}{r} = \frac{\lambda}{\delta} (t_c - t_r) \quad (4-1)$$

în care : q este densitatea fluxului termic (încărcarea termică specifică), W/m^2 ;

Q — fluxul termic, W ;

A — aria suprafeței peretelui, m^2 ;

t_c și t_r — temperaturile suprafețelor caldă și rece ale peretelui, K sau $^\circ\text{C}$;

$r = \frac{\delta}{\lambda}$ — rezistența termică a peretelui, $\text{m}^2 \cdot \text{K/W}$;

δ — grosimea peretelui, m ;

λ — conductivitatea termică a materialului peretelui, $\text{W/(m} \cdot \text{K)}$;

Ecuația transmiterii căldurii în regim staționar, prin conducție, printr-un perete plan format din mai multe straturi, este :

$$q = \frac{Q}{A} = \frac{t_c - t_r}{\sum r} = \frac{t_c - t_r}{\frac{\delta_1}{\lambda_1} + \frac{\delta_2}{\lambda_2} + \dots} \quad (4-2)$$

2. Aria medie logaritmică a suprafeței cilindrice formate dintr-un singur strat, este :

$$A_{med} = \pi \cdot d_{med} \cdot l = \frac{\pi \cdot (d_2 - d_1) \cdot l}{\ln \frac{d_2}{d_1}} \quad (4-3)$$

în care : d_1 și d_2 sint diametrele interior și exterior ale peretelui cilindric, m .

Ecuația transmiterii căldurii în regim staționar printr-un perete cilindric format dintr-un singur strat, este :

$$Q = \frac{\lambda}{\delta} (t_c - t_r) \cdot A_{med} = \frac{2 \cdot \pi \cdot \lambda \cdot (t_c - t_r) \cdot l}{\ln \frac{d_2}{d_1}} \quad (4-4)$$

în care : l este lungimea peretelui cilindric, m.

Dacă raportul $d_2/d_1 < 2$, în locul formulei (4-3), pentru aria medie a suprafeței cilindrice, formate dintr-un singur strat, se poate utiliza cu suficientă precizie relația :

$$A_{med} = \frac{\pi \cdot (d_1 + d_2) \cdot l}{2} \quad (4-5)$$

Ecuția transmiterii căldurii în regim staționar printr-un perete cilindric format din mai multe straturi, este :

$$Q = \frac{2 \cdot \pi \cdot l \cdot (t_e - t_r)}{\sum \frac{l}{\lambda \cdot \ln \frac{d_e}{d_i}}} = \frac{2 \cdot \pi \cdot l \cdot (t_e - t_r)}{\frac{l}{\lambda_1} \ln \frac{d_2}{d_1} + \frac{l}{\lambda_2} \ln \frac{d_3}{d_2} + \dots} \quad (4-6)$$

în care : d_i și d_e sînt diametrele interior și exterior ale fiecărui strat cilindric, în m.

3. În lipsa datelor experimentale, conductivitățile termice ale lichidelor λ , [W/(m·K)], la temperatura de circa 30°C pot fi calculate cu formula :

$$\lambda_{30} = A \cdot c \cdot \rho \cdot \sqrt{\frac{\rho}{M}} \quad (4-7)$$

în care : c este căldura specifică a lichidului, J/(kg·K) ;

ρ — densitatea lichidului, kg/m³ ;

M — masa molară a lichidului, kg/kmol ;

A — coeficient care depinde de gradul de asociere a lichidului.

Pentru lichide asociate (de exemplu apa) $A = 3,58 \cdot 10^{-8}$; pentru lichide neasociate (de exemplu benzen) $A = 4,22 \cdot 10^{-8}$.

Coeficientul de conductivitate termică a lichidului la temperatura t , se determină cu formula :

$$\lambda_t = \lambda_{30} \cdot [1 - \varepsilon(t - 30)] \quad (4-8)$$

în care : ε este coeficient de temperatură.

Valorile coeficientului de temperatură $\varepsilon \cdot 10^3$, grd⁻¹ :

acetat de etil	2,1	alcool metilic	1,2	clorbenzen	1,5
acetona	2,2	alcool propilic	1,4	cloroform	1,8
acid acetic	1,2	anilină	1,4	hexan	2,0
alcool etilic	1,4	benzen	1,8	nitrobenzen	1,0

Conductivitatea termică a soluțiilor apoase la temperatura t se determină cu formula :

$$\lambda_{st} = \lambda_{s30} \frac{\lambda_{at}}{\lambda_{a30}} \quad (4-9)$$

în care : λ_s și λ_a sînt conductivitatea termică a soluției și a apei, W/(m·K).

4. Coeficientul de conductivitate termică a gazelor [W/(m·K)] la presiuni mici, poate fi calculat cu formula :

$$\lambda = B \cdot c_p \cdot \eta \quad (4-10)$$

în care : c_p este căldura specifică a gazului la volum constant, J/(kg·K) ;
 η — viscozitatea dinamică a gazului, Pa·s ;

$$B = \frac{9 \cdot k - 5}{4} \text{ — coeficient ;}$$

$$k = \frac{c_p}{c_v} \text{ — indicele adiabatic.}$$

Deoarece pentru gazele cu un anumit număr de atomi raportul c_p/c_v este o mărime aproximativ constantă, rezultă că B are următoarele valori : pentru gazele monoatomice $B = 2,5$; pentru gazele biatomice $B = 1,9$; pentru gazele triatomice $B = 1,72$.

Pentru amestecuri de gaze, valoarea exactă a coeficientului de conductivitate termică se determină numai pe cale experimentală deoarece legea aditivității nu se poate aplica. Un calcul aproximativ al valorii lui λ pentru amestecuri de gaze este dat în exemplul 4-6.

4.1.2. Transmiterea căldurii prin convecție

5. În tabelul 4-1 este dată enumerarea cazurilor de bază ale transmiterii căldurii prin convecție și ecuațiile de calcul corespunzătoare.

Tabelul 4-1

Tipul transmiterii căldurii	Numărul ecuației
A. Transmiterea căldurii prin convecție fără schimbarea stării de agregare	
1. Curgere forțată :	
1. Curgere în țevi și canale :	
a) curgere turbulentă deplin dezvoltată	(4-17) — (4-22)
b) curgere în regim intermediar	(4-23)
c) curgere laminară	(4-24), (4-25)
2. Curgere transversală peste un fascicul de țevi :	
a) netede	(4-26) — (4-29)
b) cu nervuri sau aripioare transversale	(4-30), (4-31)
3. Curgere de-a lungul unui perete plan :	(4-32) — (4-34)
4. Curgere peliculară pe o suprafață verticală	(4-35) — (4-38)
5. Amestecarea lichidelor cu agitatoare	(4-39)
II. Curgere liberă (naturală)	(4-40) — (4-42)
B. Transmiterea căldurii prin convecție cu schimbarea stării de agregare	
1. Condensarea peliculară a vaporilor	(4-43) — (4-50)
2. Fierberea lichidelor	(4-51) — (4-55)
C. Transmiterea căldurii prin radiația termică a corpurilor solide	(4-56) — (4-61)

6. Criteriile de similitudine principale, care intră în formulele transmiterii căldurii prin convecție.

Criteriul Nusselt :

$$Nu = \frac{\alpha \cdot l}{\lambda} \quad (4-11)$$

caracterizează intensitatea transferului termic la limita fluid-perete.

Criteriul Prandtl :

$$Pr = \frac{c_p \cdot \eta}{\lambda} = \frac{\nu}{a} \quad (4-12)$$

caracterizează raportul între inerția de mișcare datorită frecării între particulele de fluid și inerția termică a agentului termic.

Criteriul Reynolds :

$$Re = \frac{w \cdot l \cdot \rho}{\eta} = \frac{w \cdot l}{\nu} \quad (4-13)$$

caracterizează raportul dintre forțele de inerție și de frecare din fluid.

Criteriul Galilei :

$$Ga = \frac{Re^2}{Fr} = \frac{g \cdot l^3 \cdot \rho^2}{\eta^2} = \frac{l^3 \cdot g}{\nu^2} \quad (4-14)$$

caracterizează raportul dintre forțele de gravitație și de inerție din fluid.

Criteriul Grashof :

$$Gr = Ga \cdot \beta \cdot \Delta t = \frac{g \cdot l^3}{\nu^2} \cdot \beta \cdot \Delta t \quad (4-15)$$

caracterizează raportul dintre forța de inerție și forța ascensională, cauzată de diferența de densitate în diferite puncte ale fluidului, în curgerea neizotermă.

Mărimile care intră în exprimările criteriilor de similitudine și unitățile lor de măsură sint enumerate în tabelul 4-2.

Tabelul 4-2

Mărimea	Unități de măsură
α — coeficientul parțial de transfer de căldură prin convecție	$W/(m^2 \cdot K)$
β — coeficientul de dilatare volumică	K^{-1}
ρ — densitatea	kg/m^3
λ — coeficientul de conductivitate termică	$W/(m \cdot K)$
Δt — diferența de temperatură între perete și fluid (sau invers)	K
η — viscozitatea dinamică	$Pa \cdot s$ sau $N \cdot s/m^2$
ν — viscozitatea cinematică	m^2/s
$a = \frac{\lambda}{c_p \cdot \rho}$ — difuzivitate termică	m^2/s
c_p — căldura specifică (la presiune constantă)	$J/(kg \cdot K)$
g — accelerația gravitațională	m/s^2
l — dimensiunea geometrică determinantă (pentru fiecare caz de transfer de căldură se stabilește care este dimensiunea geometrică determinată)	m
w — viteza medie a fluidului	m/s
r — căldura latentă la schimbarea stării de agregare (vaporizare-condensare)	J/kg

$$\beta \Delta t = \frac{v_2 - v_1}{v_1} = \frac{p_1 - p_2}{p_2}$$

Constantele fizico-chimice ale lichidului (gazului), incluse în formulele criteriale ale transferului căldurii prin convecție se iau din tabele la așa-numita temperatură determinantă, care se indică pentru fiecare caz de schimb de căldură.

7. În multe ecuații criteriale ale transmiterii căldurii prin convecție intră factorul $(Pr/Pr_p)^{0.25}$, care ia în considerare direcția fluxului termic și care are valoarea aproximativ egală cu unitatea atunci cînd temperaturile fluidului și peretelui nu diferă mult. Pentru calculul criteriului Pr_p valorile constantelor fizico-chimice ale fluidului trebuie luate la temperatura peretelui.

Valorile aproximative ale criteriului Pr pentru lichide aflate sub formă de peliculă pot fi determinate din nomogramă (fig. XIII). Pentru apă valorile criteriului Pr sînt date în tabelul XXIX.

La lichidele peliculare, cu creșterea temperaturii mărimea criteriului Pr scade (vezi fig. XIII). Ca urmare, pentru lichidele peliculare la încălzire $\frac{Pr}{Pr_p} > 1$, iar la răcire $\frac{Pr}{Pr_p} < 1$. Pe această bază, la proiectarea schimbătoarelor de căldură, în calculul coeficienților parțiali de transfer de căldură prin convecție, pentru lichidele care se încălzesc se poate lua $\left(\frac{Pr}{Pr_p}\right)^{0.25} = 1$, acceptînd în mod deliberat o mică eroare în sensul scăderii valorii coeficientului de transfer de căldură, adică se asigură o rezervă. Pentru lichide care se răcesc cînd $Pr/Pr_p \geq 0,5$, se poate lua cu suficientă precizie valoarea medie $\left(\frac{Pr}{Pr_p}\right)^{0.25} = 0,93$.

Pentru gaze $\frac{Pr}{Pr_p} = 1$ atât la încălzire cît și la răcire, deoarece la gaze, în funcție de numărul de atomi, criteriul Pr este o mărime aproape constantă, independentă de temperatură și presiune (în limitele presiunilor normale). Valorile aproximative ale criteriului Pr pentru gaze, recomandate a se folosi în calcule sînt :

— gaze monoatomice	0,67
— gaze biatomice	0,72
— gaze triatomice	0,8
— gaze tetraatomice și poliatomice	1,0

Transmiterea căldurii prin convecție la curgerea turbulentă deplin dezvoltată în conducte drepte și canale ($Re > 10\,000$).

Formula de calcul este :

$$Nu = 0,021 \epsilon_1 Re^{0.8} Pr^{0.43} \left(\frac{Pr}{Pr_p}\right)^{0.25} \quad (4-17)$$

După ecuația (4-17) s-a construit nomograma din figura XII, recomandată pentru calcule.

Exprimările pentru criteriile Nu , Re , Pr sînt date de ecuațiile (4-11) și următoarele și de asemeni în tabelul 4-2.

Temperatura determinantă este temperatura medie a lichidului sau gazului; mărimea geometrică caracteristică este diametrul echivalent d_e :

$$d_e = 4 \frac{A}{P} \quad (4-18)$$

în care: A este aria secțiunii transversale a curentului;

P — perimetrul întreg al secțiunii curentului independent de partea din perimetrul care ia parte la schimbul de căldură.

Pentru conductele cu secțiune circulară $d_e = d$.

Valorile coeficientului de corecție ϵ , care arată influența raportului dintre lungimea conductei L și diametrul acesteia d asupra coeficientului parțial de transmitere a căldurii, sînt date în tabelul 4-3.

Tabelul 4-3

Valoarea criteriului Re	Raportul L/d				
	10	20	30	40	50 și peste
$1 \cdot 10^4$	1,23	1,13	1,07	1,03	1
$2 \cdot 10^4$	1,18	1,10	1,05	1,02	1
$5 \cdot 10^4$	1,13	1,08	1,04	1,02	1
$1 \cdot 10^5$	1,10	1,06	1,03	1,02	1
$1 \cdot 10^6$	1,05	1,03	1,02	1,01	1

Pentru serpentine, valoarea lui α obținută cu formula (4-17) se multiplică cu coeficientul x care ține seama de curbura serpentinei:

$$\alpha_s = x \cdot \alpha \quad (4-19)$$

$$x = 1 + 3,54 \frac{d}{D} \quad (4-20)$$

în care: d este diametrul interior al conductei;

D — diametrul spirei serpentinei.

Pentru gaze formula de calcul se simplifică, deoarece la gaze $\frac{Pr}{Pr_p} = 1$ sau Pr depinde numai de numărul de atomi din molecula gazului. Pentru gaze ecuația (4-17) are forma:

$$Nu = C \cdot \epsilon_i \cdot Re^{0,8} \quad (4-21)$$

De exemplu pentru aer:

$$Nu = 0,018 \cdot \epsilon_i \cdot Re^{0,8} \quad (4-22)$$

9/ Transmiterea căldurii prin convecție în regim intermediar ($2300 < Re < 10000$).

Datorită lipsei de formule exacte, pentru acest domeniu, în calcule se recomandă utilizarea graficului din figura 4-1, sau ecuații aproximative. Pentru valori ale criteriului Re apropiate de 10000 se recomandă relația:

$$Nu = 0,008 \cdot Re^{0,9} \cdot Pr^{0,43} \quad (4-23)$$

Temperatura determinantă este temperatura medie a lichidului; mărimea geometrică caracteristică este diametrul echivalent [relația 4-18].

10/ Transmiterea căldurii prin convecție în regim laminar prin conducte drepte și canale ($Re < 2300$).

a. În absența unei influențe însemnate a convecției libere, cînd $Gr \ll 4 \cdot Re \cdot Nu$, formula de calcul pentru

$Re > 10$ și $\frac{L}{d} > 10$ are forma [4-1]:

$$Nu = 1,4 \left(Re \cdot \frac{d}{L} \right)^{0,4} \cdot Pr^{0,33} \cdot \left(\frac{Pr}{Pr_p} \right)^{0,25} \quad (4-24)$$

în care: L este lungimea conductei, m.

Temperatura determinantă este temperatura medie a lichidului; mărimea geometrică caracteristică este diametrul conductei sau lățimea canalului. Formula (4-24) se folosește pentru $Re \cdot \frac{d}{L} \cdot Pr^{5/6} < 15$. Dacă

$Re \cdot \frac{d}{L} \cdot Pr^{5/6} > 15$ se recomandă utilizarea ecuației aproximative:

$$Nu = 4 \left(\frac{Pr}{Pr_p} \right)^{0,25} \quad (4-25)$$

b. Dacă $Gr > 4 \cdot Re \cdot Nu$, influența convecției libere este însemnată (criteriul Nu se calculează cu formula (4-24), iar criteriul Gr cu formula (4-15) pentru $l = d$). În acest caz se recomandă determinarea valorii criteriului Nu din graficul prezentat în figura 4-2 construit pe baza datelor experimentale [3-10] pentru regim visco-gravitațional (caracterizat prin $Gr \cdot Pr > 5 \cdot 10^5$), pentru valori ale produsului $Gr \cdot Pr = (8 \div 25) \cdot 10^5$. În toate criteriile graficului din figura 4-2 constantele fizico-chimice sînt considerate la temperatura stratului limită, egală cu $0,5(t_i + t_p)$. Calculul este facilitat de faptul că produsul $Re \cdot Pr \cdot \frac{d}{L} = \frac{w \cdot d^2}{a \cdot L}$ (a fiind difuzitatea termică) este practic constant în intervale mici de variație a temperaturii (vezi exemplul 4-II).

Linia AA din figura 4-2 este construită după ecuația $Nu = 1,4 \left(Re \cdot Pr \cdot \frac{d}{L} \right)^{0,4}$ asemănătoare ecuației (4-24) la $\left(\frac{Pr}{Pr_p} \right) = 1$.

11. Transmiterea căldurii prin convecție la curgerea transversală peste un fascicul de țevi netede.

a. $Re < 1000$. Pentru fasciculul de țevi nedecalcate și decalcate

$$Nu = 0,56 \cdot Re^{0,5} \cdot Pr^{0,36} \cdot \left(\frac{Pr}{Pr_p} \right)^{0,25} \cdot \epsilon_p \quad (4-26)$$

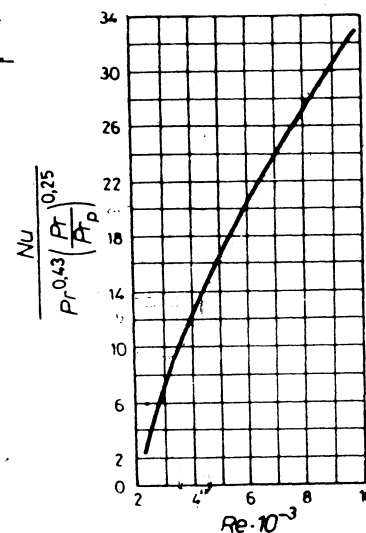


Fig. 4-1. Variația raportului Nu în funcție de criteriul Re în regim intermediar.

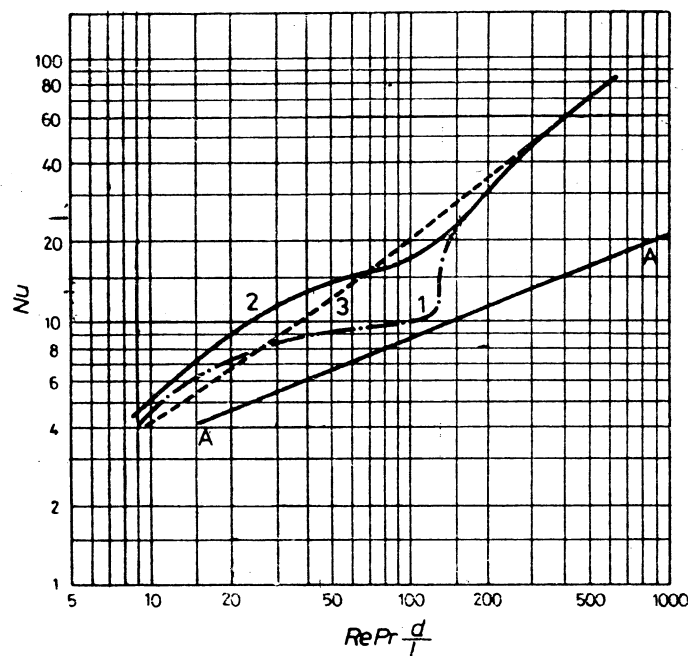


Fig. 4-2. Transmiterea căldurii prin convecție în regim laminar : 1 — conducte verticale (sensul mișcării libere și forțate a lichidului coincide) ; 2 — conducte orizontale ; 3 — conducte verticale (sensul mișcării forțate este invers sensului mișcării libere) ; AA — în absența convecției libere.

b. $Re > 1000$. Pentru fascicul de țevi nedecaltate :

$$Nu = 0,22 \cdot Re^{0,65} \cdot Pr^{0,36} \cdot \left(\frac{Pr}{Pr_p}\right)^{0,25} \cdot \varepsilon_\varphi \quad (4-27)$$

Pentru fascicul de țevi decaltate :

$$Nu = 0,4 \cdot Re^{0,6} \cdot Pr^{0,36} \cdot \left(\frac{Pr}{Pr_p}\right)^{0,25} \cdot \varepsilon_\varphi \quad (4-28)$$

Temperatura determinantă este temperatura medie a lichidului ; mărimea geometrică caracteristică este diametrul exterior al țevii.

Pentru determinarea vitezei vezi pagina 29 și exemplul 4-II.

Coefficientul ε_φ este funcție de unghiul de atac (fig. 4-3). Valorile lui sint date în tabelul 4-4.

Formulele (4-26) — (4-28) dau valoarea coeficienților parțiali de transfer de căldură prin convecție pentru al treilea rînd de țevi din fascicul

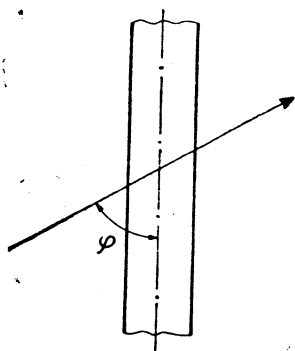


Fig. 4-3. Unghiul de atac.

Tabelul 4-4

φ	90	80	70	60	50	40	30	20	10
ε_φ	1	1	0,98	0,94	0,88	0,78	0,67	0,52	0,42

și următoarele. Pentru un număr suficient de mare de rînduri, aceste valori pot fi socotite aproximativ valori medii pentru întregul fascicul.

Pentru gaze formulele se simplifică deoarece $\left(\frac{Pr}{Pr_p}\right) = 1$ iar Pr depinde numai de numărul de atomi din molecula gazului. Pentru aer la $Re > 1000$ și dispunere decaltă a țevelor :

$$Nu = 0,356 \cdot Re^{0,6} \cdot \varepsilon_\varphi \quad (4-29)$$

Referitor la schimbătorul de căldură multitubular cu șicane transversale (fig. 4-4) în formulele (4-26) — (4-29) se ia coeficientul $\varepsilon_\varphi = 0,6$, considerînd că agentul termic care circulă prin spațiul intertubular se mișcă perpendicular pe țevi numai pe o parte din drumul parcurs, în rest unghiul de

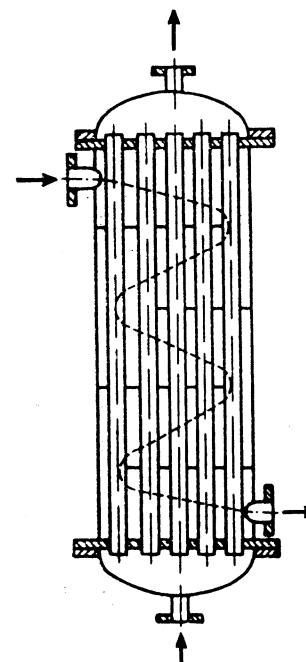


Fig. 4-4. Schimbător de căldură multitubular cu șicane transversale.

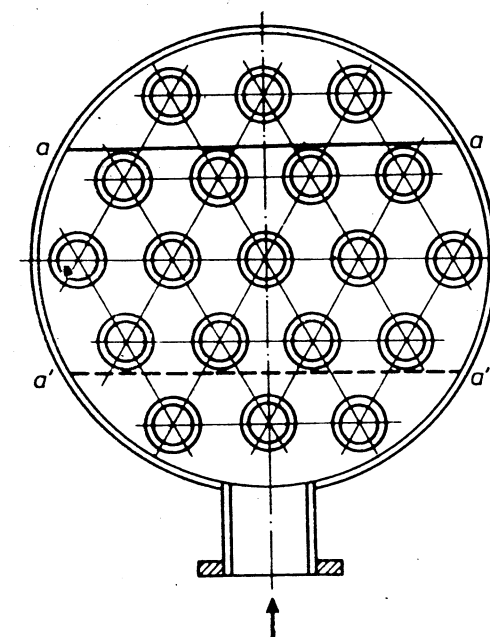


Fig. 4-5. Dispunerea racordului de intrare și a șicanelor.

atac fiind mai mic de 90°; în afară de aceasta el poate trece prin spațiul dintre șicane și manta sau țevi.

La dispunerea țevelor pe hexagoane (vezi fig. 11) pentru ca așezarea lor să fie decalată față de direcția și sensul de circulație a agentului termic, racordul pentru intrarea agentului termic în spațiul intertubular trebuie amplasat față de șicane așa cum se prezintă în figura 4-5.

12. Transmiterea căldurii prin convecție la curgerea fluidului peste un fascicul de țevi cu aripioare transversale.

Formula de calcul are forma* :

$$Nu = C \left(\frac{d}{t} \right)^{-0,54} \left(\frac{h}{t} \right)^{-0,14} \cdot Re^n \cdot Pr^{0,4} \quad (4-30)$$

În această formulă (fig. 4-6) :

d este diametrul exterior al țevii, m ;

t — pasul aripioarelor, m ;

$h = \frac{D-d}{2}$ — înălțimea aripioarei, m.

Pentru fascicule nedecalate : $C = 0,116$; $n = 0,72$; pentru fascicule decalate : $C = 0,25$; $n = 0,65$.

Temperatura determinantă este temperatura medie a lichidului ; mărirea geometrică caracteristică pasul t al aripioarelor.

Formula (4-30) este utilizată pentru valori ale lui $Re = 3\,000 - 25\,000$ și pentru $3 < \frac{d}{t} < 4,8$.

După calcularea din ecuația (4-30) a coeficientului parțial de transfer de căldură prin convecție, din graficul din figura 4-7 se determină valoarea coeficientului redus de transfer de căldură prin convecție α_r , care se folosește și în formula de calcul a coeficientului total de transfer de căldură (raportat la suprafața exterioară totală A_{ext}) :

$$K = \frac{1}{\frac{1}{\alpha_r} + \frac{1}{\alpha_2} \cdot \frac{A_{ext}}{A_{int}} + \Sigma r} \quad (4-31)$$

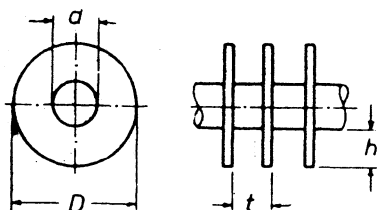


Fig. 4-6. Țeavă cu aripioare transversale.

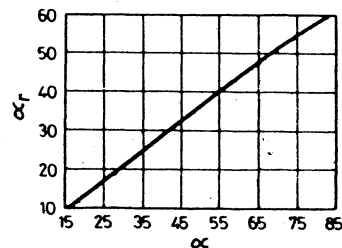


Fig. 4-7. Dependența lui α_r de α .

* Karasina E. S. : Izv. VTI, 1952, nr. 12, p. 12.

în care : A_{ext} este aria suprafeței exterioare totale a țevii cu aripioare raportată la unitatea de lungime (inclusiv ambele suprafețe ale aripioarei), m^2/m ;

A_{int} — aria suprafeței interioare a țevii pe unitatea de lungime, m^2/m ;

α_2 — coeficientul parțial de transfer de căldură a fluidului care circulă prin țeavă, $W/(m^2 \cdot K)$;

Σr — suma rezistențelor termice ale peretelui și depunerilor.

~~Transmiterea căldurii prin convecție la curgerea fluidului de-a lungul unei suprafețe plane.~~

Formule de calcul :

a) $Re < 5 \cdot 10^5$

$$Nu = 0,66 \cdot Re^{0,5} \cdot Pr^{0,33} \cdot \left(\frac{Pr}{Pr_p} \right)^{0,25} \quad (4-32)$$

b) $Re > 5 \cdot 10^5$

$$Nu = 0,037 \cdot Re^{0,8} \cdot Pr^{0,43} \cdot \left(\frac{Pr}{Pr_p} \right)^{0,25} \quad (4-33)$$

Temperatura determinantă este temperatura medie a lichidului ; mărirea geometrică caracteristică este lungimea suprafeței pe direcția mișcării curentului.

Pentru calculele cu formula (4-33) se poate folosi nomograma din figura XII înmulțind valoarea obținută pentru criteriul Nu cu factorul $\frac{0,037}{0,021} = 1,76$.

Pentru gaze formulele se simplifică. Pentru aer ec. (4-33) conduce la forma :

$$Nu = 0,032 \cdot Re^{0,8} \quad (4-34)$$

~~Transmiterea căldurii prin convecție la curgerea peliculară a lichidului pe o suprafață verticală.~~

a) la curgerea turbulentă a peliculei ($Re > 2\,000$) :

$$Nu = 0,01 \cdot (Ga \cdot Pr \cdot Re)^{1/3} \quad (4-35)$$

b) la curgerea laminară a peliculei ($Re < 2\,000$) :

$$Nu = 0,67 \cdot (Ga^2 \cdot Pr^3 \cdot Re)^{1/9} \quad (4-36)$$

Temperatura determinantă este temperatura medie a stratului limită (peliculei) egală cu $t_{pel} = \frac{t_p + t_{m,i}}{2}$.

Temperatura medie a lichidului $t_{m,i}$ se determină ca medie aritmetică a temperaturilor inițială, t_i , și finală t_f , a lichidului.

Mărimile determinante în criteriile de similitudine Nu , Ga și Re sînt :

$$Nu = \frac{\alpha \cdot l}{\lambda} ; Ga = \frac{l^3 \cdot \rho^2 \cdot g}{\eta^3} ; Re = \frac{w \cdot d_{ec} \cdot \rho}{\eta}$$

Formula de calcul este :

$$\alpha = 0,72 \sqrt[4]{\frac{\lambda^3 \cdot \rho^2 \cdot r \cdot g}{\eta \cdot \Delta t \cdot d}} \quad (4-44)$$

Mărimile din formulă sint aceleași ca și în relația (4-43).

Calculul exact al coeficienților parțiali de transfer de căldură prin convecție la condensarea vaporilor pe țevi verticale și orizontale este dat în [4-1]. Pentru calcule tehnice în cazurile cînd al doilea coeficient parțial de transfer de căldură prin convecție este semnificativ mai mic, pentru vaporii care condensează se poate lua valoarea aproximativă $\alpha = 10\,000 \div 12\,000 \text{ W/(m}^2 \cdot \text{K)}$;

Condensarea vaporilor pe suprafața exterioară a unui fascicul de țevi orizontale.

În fasciculul de țevi orizontale, pe țevile inferioare stratul de condensat crește pe măsura acumulării condensatului ce se scurge de pe țevile superioare. Aceasta conduce la scăderea coeficienților parțiali de transmitere a căldurii pentru rîndurile inferioare de țevi.

Coeficientul parțial mediu de transmitere a căldurii poate fi calculat cu relația :

$$\alpha_{med} = \varepsilon \cdot \alpha \quad (4-45)$$

în care : α este coeficientul parțial de transmitere a căldurii prin convecție pentru o singură țeavă orizontală, calculat cu ecuația (4-44) ;
 ε — coeficientul mediu pentru întregul fascicul, dependent de dispoziția țevelor în fascicul și de numărul de țevi n , în fiecare rînd vertical ; valorile pentru ε se iau din graficul din figura (4-8).

Numărul mediu de țevi în rîndul vertical, n_v , se poate determina aproximativ cu ecuația :

$$n_v = \frac{n_t}{2(n_d - 1)} \quad (4-45, a)$$

în care : n_t este numărul total de țevi în schimbătorul de căldură ;
 n_d — numărul de țevi pe diagonala hexagonului (vezi tab. XXXV).

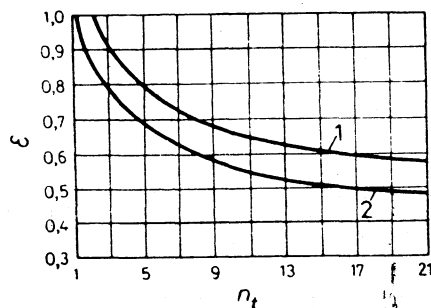


Fig. 4-8. Dependenta coeficientului ε de numărul de țevi n în rînd vertical :
 1 — dispunere decalată ; 2 — dispunere nedecalată

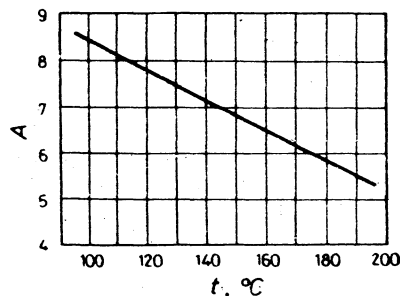


Fig. 4-9. Valorile coeficientului A .

*** (d) relațiile (4-43) și (4-44) pot fi prezentate și sub alte forme, adesea mai utile pentru calculele tehnice. Înlocuind în ecuație valoarea $\Delta t = q/\alpha$ (în care q — densitatea fluxului termic, W/m^2) obținem :

— pentru suprafețele verticale :

$$\alpha = 1,21 \cdot \lambda \cdot \left(\frac{\rho^2 \cdot r \cdot g}{\eta \cdot H} \right)^{1/3} \cdot q^{-1/3} \quad (4-43, a)$$

— pentru o singură țeavă orizontală :

$$\alpha = 0,645 \cdot \lambda \cdot \left(\frac{\rho^2 \cdot r \cdot g}{\eta \cdot d} \right)^{1/3} \cdot q^{-1/3} \quad (4-44, a)$$

Se poate obține și relația dintre coeficientul parțial de transmitere a căldurii prin convecție și debitul de vaporii care condensează.

Din ecuațiile :

$$r \cdot M = \alpha \cdot A \cdot \Delta t \quad (4-46)$$

$$A = \pi \cdot d \cdot n \cdot L \quad (4-47)$$

în care : r este căldura latentă de condensare a vaporilor, J/kg ;

M — debitul masic de vaporii, kg/s ;

A — aria suprafeței condensatorului multitubular compus din n țevi cu diametrul exterior, d , m^2 ;

L — lungimea unei țevi (pentru țevi verticale înălțimea H), m găsim :

$$H \cdot \Delta t = \frac{r \cdot M}{\alpha \cdot \pi \cdot d \cdot n} ; \quad d \cdot \Delta t = \frac{r \cdot M}{\alpha \cdot \pi \cdot n \cdot L}$$

Făcînd legătura cu ecuațiile (4-43) și (4-44) obținem :

— pentru țevi verticale :

$$\alpha = 3,78 \cdot \lambda \cdot \sqrt[3]{\frac{\rho^2 \cdot d \cdot n}{\eta \cdot M}} \quad (4-48)$$

— pentru fascicul de țevi orizontale :

$$\alpha_m = 2,02 \cdot \varepsilon \cdot \lambda \cdot \sqrt[3]{\frac{\rho^2 \cdot n \cdot L}{\eta \cdot M}} \quad (4-49)$$

(pentru ε vezi ecuația (4-45)).

*** (e) condensarea în interiorul țevelor orizontale și serpentinilor.

Ecuația criterială generală [5-2] pentru cazul condensării vaporilor de apă conduce la forma :

$$\alpha = 1,36 \cdot A \cdot q^{0,5} \cdot L^{0,35} \cdot d^{-0,25} \quad (4-50)$$

în care : A este coeficient, care înglobează constantele fizico-chimice ale apei și vaporilor de apă (valoarea sa în funcție de temperatura de condensare este prezentată în figura 4-9);

q — densitatea fluxului termic, W/m^2 ;

L — lungimea țevii, m ;

d — diametrul interior al țevii, m .

La condensarea vaporilor în serpentine, lungimea serpentinei nu trebuie să fie foarte mare, deoarece la capătul inferior al serpentinei lungi se adună condensat care înrăutățește transmiterea căldurii; în afară de aceasta scade presiunea aburului, ceea ce conduce la scăderea diferenței utile de temperatură.

Din date practice, în serpentinele cu abur viteză inițială a vaporilor în serpentină nu trebuie să depășească 30 m/s . La o diferență medie de temperatură $\Delta t_m = 30 \div 40\text{ K}$ raportul maxim limită al lungimii serpentinei la diametrul țevii L/d în funcție de presiunea vaporilor p se prezintă astfel:

P_{abs} :

kPa	490,5	294,3	147,1	78,5
at	5	3	1,5	0,8
$\left(\frac{L}{d}\right)_{max}$	275	225	175	125

Pentru alte valori ale lui Δt_m pentru serpentinele cu abur, valorile date pentru $\frac{L}{d}$ trebuie înmulțite cu coeficientul $6/\sqrt{\Delta t_m}$.

f) condensarea vaporilor care conține gaze necondensabile (aer).

Dacă aburul conține aer sau alte gaze necondensabile, transmiterea căldurii prin convecție la condensare se înrăutățește puternic. În figura 4-10

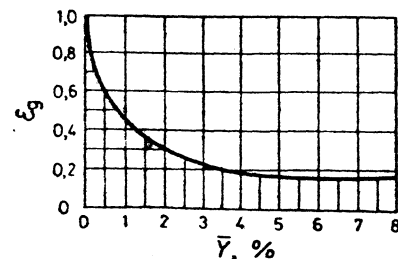


Fig. 4-10. Dependenta dintre coeficientul de corectie \bar{Y} și concentrația în vapori a aerului, ϵ_p , %.

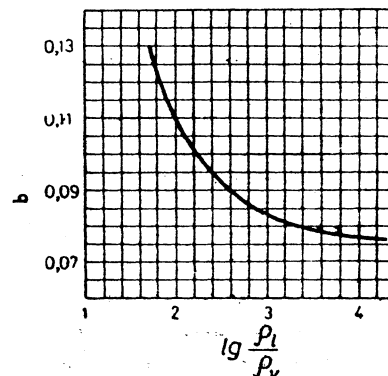


Fig. 4-11. Valorile coeficientului b .

sînt prezentate datele obținute experimental ale valorilor raportului $\epsilon_p = \frac{\alpha_p}{\alpha}$ care este funcție de concentrația de masă a aerului în vapori \bar{Y} . Aici :

α este coeficient parțial de transmitere a căldurii prin convecție la condensarea vaporilor puri de apă, calculat cu ecuațiile (4-43) — (4-50);

α_p — idem pentru vapori de apă care conțin aer;

\bar{Y} — concentrația relativă a aerului în vapori, $kg\text{ aer}/kg\text{ vapori}$.

Transmiterea căldurii prin convecție la fierberea lichidelor.

La fierberea cu bule, cînd încărcarea termică specifică q este mai mică decît cea critică $q_{cr, l}$, coeficientul de transmitere a căldurii prin convecție pentru lichidul în fierbere [4-1] poate fi calculat cu ecuația :

$$\alpha = b \left(\frac{\lambda^2}{v \cdot \sigma \cdot T_{fieb.}} \right)^{1/3} \cdot q^{2/3} \quad (4-51)$$

sau :

$$\alpha = b^3 \left(\frac{\lambda^2}{v \cdot \sigma \cdot T_{fieb.}} \right) \cdot \Delta t^2 \quad (4-51, a)$$

în care : b este coeficient adimensional care depinde numai de raportul densităților lichidului și vaporilor :

$$b = 0,075(1 + 10(\rho_l/\rho_v)^{-2/3}) \quad (4-52)$$

(valorile coeficientului b sînt date în fig. 4-11).

σ — tensiunea superficială, N/m ;

$T_{fieb.}$ — temperatura de fierbere, K ;

q — încărcarea termică specifică, W/m^2 ;

$$\Delta t = t_p - t_{fieb.}$$

Pentru celelalte semnificații vezi tabelul 4-2.

Toate constantele fizico-chimice trebuie considerate la temperatura de fierbere.

Cu formula (4-51) se pot calcula coeficienții parțiali de transfer de căldură la fierberea lichidelor în volum mare și în țevi. Abaterile datelor experimentale față de cele calculate cu formula (4-51) variază în limitele $\pm 35\%$. O influență însemnată asupra transmiterii căldurii prin convecție la fierberea lichidelor o au materialul, starea și gradul de curățenie ale suprafeței de încălzire. Pentru apă în fierbere formula (4-51) capătă forma :

$$\alpha = \frac{3,4 \cdot p^{0,16}}{1 - 0,0045 \cdot p} \cdot q^{2/3} \quad (4-53)$$

în care : p este presiunea de lucru, ata .

Mărima încărcării termice critice $q_{cr, l}$ la fierberea lichidelor pe țevi orizontale în volum mare se determină cu ecuația (cînd $\rho_l \gg \rho_v$) :

$$q_{cr, l} = 0,14 \cdot r \cdot \sqrt{\rho_v} \cdot \sqrt[4]{\sigma \cdot g \cdot \rho_l} \quad (4-54)$$

în care : r este căldura latentă de vaporizare, J/kg .

Abateră datelor experimentale față de cele calculate cu relația (4-54) este de asemenea în limitele $\pm 35\%$.

Pentru un calcul aproximativ al coeficientului parțial de transmitere a căldurii prin convecție la fierberea cu bule a lichidelor în volum mare pe suprafața exterioară a unui fascicul de țevi și în evaporatoare verticale în domeniul încărcărilor termice moderate (până la $0,4 \cdot q_{cr}$) și presiunea $p_{abs} = 0,2 \div 10$ ata se poate folosi formula [4-12]:

$$\alpha = 2,72 \cdot \varphi \cdot p_{abs}^{0,4} \cdot q^{0,7} \quad (4-55)$$

în care: φ — este factor dependent de proprietățile fizice ale lichidului;
 p_{abs} — presiunea de lucru, ata.

Valorile găsite experimental pentru coeficientul φ (la fierberea pe suprafața țevelor din metale neferoase) sînt:

apă	1	petrol lampant	0,31–0,56
soluție apoasă 9% NaCl	0,86	gazolină	0,27
soluție apoasă 24% NaCl	0,62	benzen	0,31
soluție apoasă 26% glicerină	0,83	alcool etilic	0,45
soluție apoasă 25% zahăr	0,57	alcool metilic	0,36
soluție apoasă 10% Na ₂ SO ₄	0,91	heptan	0,46

Transmiterea căldurii prin radiația termică a corpurilor solide.

Cantitatea de căldură, cedată prin radiație de un corp mai cald către un corp mai rece în unitatea de timp se calculează cu relația:

$$Q_r = C_{1-2} \cdot \varphi \cdot A \left[\left(\frac{T_1}{100} \right)^4 - \left(\frac{T_2}{100} \right)^4 \right] \quad (4-56)$$

în care: Q_r — este cantitatea de căldură, cedată, prin radiație, în unitatea de timp, W;

- A — aria suprafeței radiante, m²;
- C_{1-2} — coeficient de radiație, W/(m²·K⁴);
- T_1 — temperatura suprafeței corpului mai cald, K;
- T_2 — temperatura suprafeței corpului mai rece, K;
- φ — coeficient unghiular adimensional.

Coeficientul de radiație C_{1-2} depinde de dispunerea reciprocă și de coeficientul de emisie ε al suprafețelor radiante, avînd temperaturile T_1 și T_2 .

a. Dacă un corp a căruia suprafață radiantă este egală cu A_1 este situat în interiorul corpului cu aria suprafeței radiante A_2 , atunci $A = A_1$, coeficientul unghiular $\varphi = 1$ și

$$C_{1-2} = \frac{1}{\frac{1}{C_1} + \frac{A_1}{A_2} \left(\frac{1}{C_2} - \frac{1}{C_0} \right)} \quad (4-57)$$

în care: $C_1 = \varepsilon_1 \cdot C_0$ — coeficientul de radiație al corpului 1 situat în interior;

$C_2 = \varepsilon_2 \cdot C_0$ — coeficientul de radiație al corpului 2 care îmbracă corpul 1;

$\varepsilon_1, \varepsilon_2$ — coeficientul de emisie al suprafețelor corpului 1 și corpului 2 (valorile pentru ε pentru câteva materiale sînt date în tabelul XXIV);

$C_0 = 5,7 \text{ W/(m}^2 \cdot \text{K}^4)$ — coeficientul de radiație al corpului absolut negru.

b. Dacă aria A_2 este foarte mare în comparație cu A_1 (de exemplu un aparat într-o secție), adică raportul A_1/A_2 este aproximativ egal cu zero, coeficientul $C_{1-2} = C_1$.

c. Dacă $A_1 = A_2$ (două suprafețe paralele, infinit de mari) atunci

$$C_{1-2} = \frac{1}{\frac{1}{C_1} + \frac{1}{C_2} - \frac{1}{C_0}} \quad (4-58)$$

Coeficientul total de transmitere a căldurii prin radiație și convecție:

$$\alpha = \alpha_r + \alpha_c \quad (4-59)$$

în care:

$$\alpha_r = \frac{Q_r}{(T_1 - T_2)A} = \frac{C_{1-2} \left[\left(\frac{T_1}{100} \right)^4 - \left(\frac{T_2}{100} \right)^4 \right]}{T_1 - T_2} \quad (4-60)$$

α_c — coeficientul parțial de transmitere a căldurii prin convecție, determinat cu formulele corespunzătoare curgerii libere sau forțate.

Pentru calculul pierderilor de căldură ale aparaturii care se găsește în spații închise, la temperaturi ale suprafețelor pînă la 150°C se poate utiliza formula aproximativă:

$$\alpha = 9,74 + 0,07 \cdot \Delta t \quad (4-61)$$

în care: α este coeficientul total de transmitere a căldurii prin radiație și convecție, W/(m²·K);

Δt — diferența de temperatură dintre suprafața aparatului și aerul înconjurător, K.

4.1.3. Transmiterea căldurii în schimbătoare de căldură de suprafață

Grupa de bază a aparatelor schimbătoare de căldură utilizate în industrie cuprinde schimbătoarele de căldură de suprafață la care căldura se transmite de la agentul termic cald la agentul termic rece prin perețele care le desparte. O altă grupă cuprinde schimbătoarele de căldură de amestec la care căldura se transmite prin contactul nemijlocit al agenților termici cald și rece.

20. Ecuația transmiterii căldurii

$$Q = K \cdot A \cdot \Delta t_{med} \quad (4-62)$$

în care: Q este fluxul termic (debitul căldurii transmise), W;

K — coeficientul total de transmitere a căldurii, W/(m²·K);

A — aria suprafeței de transfer de căldură, m²;

Δt_{med} — diferența medie de temperatură între agentul cald și cel rece, K.

Încărcarea termică specifică (fluxul termic unitar) este dat de relația :

$$q = \frac{Q}{A} = K \cdot \Delta t_{med} \quad (4-63)$$

Pentru o suprafață plană coeficientul total de transmitere a căldurii K din formulele (4-62) și (4-63) se definește prin relația :

$$K = \frac{1}{\frac{1}{\alpha_1} + \sum r + \frac{1}{\alpha_2}} \quad (4-64)$$

în care : α_1 și α_2 sînt coeficienți parțiali de transfer a căldurii prin convecție pentru fluidul cald și pentru fluidul rece, $W/(m^2 \cdot K)$;
 $\sum r$ — suma rezistențelor termice ale tuturor straturilor din care este constituit peretele, inclusiv straturile de depuneri, $m^2 \cdot K/W$;

Ecuatiile (4-62) — (4-64) pot fi utilizate cu suficientă precizie și pentru cazul transmiterii căldurii printr-un perete cilindric dacă $d_{ext}/d_{int} < 2$. Aria suprafeței de schimb de căldură A în acest caz se determină cu diametrul mediu egal cu 0,5 ($d_{ext} + d_{int}$).

Pentru schimbătoarele de căldură multitubulare constituite din n țevi cu lungimea L , în m , ecuația transmiterii căldurii poate fi adusă la forma :

$$Q = K_L \cdot n \cdot L \cdot \Delta t_{med} \quad (4-65)$$

în care coeficientul total de transmitere a căldurii pe un metru de lungime, K_L [$W/(m \cdot K)$] este egal cu :

$$K_L = \frac{\pi}{\frac{1}{\alpha_1 \cdot d_{int}} + \sum \frac{1}{2\lambda} \cdot \ln \frac{d_{ext}}{d_{int}} + \frac{1}{\alpha_2 \cdot d_{ext}} + \sum \frac{r_{dep}}{d_{dep}}}$$

în care : α_1 este coeficientul parțial de transfer a căldurii de la fluidul care circulă în interiorul țevii la pereți, $W/(m^2 \cdot K)$;

d_{int} — diametrul interior al țevii, m ;

λ — conductivitatea termică a materialului peretelui țevii, $W/(m \cdot K)$;

d_{ext} — diametrul exterior al țevii, m ;

α_2 — coeficientul parțial de transfer a căldurii de la peretele exterior al țevii la fluid, $W/(m^2 \cdot K)$;

r_{dep} — rezistența termică a depunerilor, $m^2 \cdot K/W$;

d_{dep} — diametrul mediu al stratului de depuneri, m .

Conductivitatea termică a depunerilor de pe pereți ($1/r_{dep}$) depinde de natura agentului termic, de temperatura și viteza sa ca și de materialul peretelui, temperaturile mediului care se încălzește și durata de lucru a aparatului fără curățire, adică în ultima instanță de natura depunerilor sau produsilor de coroziune. Valori precise cu privire la r_{dep} pot fi obținute numai din date experimentale.

Influența depunerilor de pe pereți se poate considera aproximativ pornind de la valorile orientative ale conductivităților termice ale depunerilor date în tabelul XXXI.

Dacă suprafețele se curăță rar de depuneri sau la coroziuni puternice, valoarea $1/r_{dep}$ poate ajunge pînă la $500 W/(m^2 \cdot K)$ sau chiar la valori mai mici.

21. Diferența medie de temperatură Δt_{med} care intră în ecuația transferului de căldură se determină astfel :

a. Pentru echicurent și contracurent :

$$\Delta t_{med} = \frac{\Delta t_M - \Delta t_m}{2,3 \lg \frac{\Delta t_M}{\Delta t_m}} \quad (4-66)$$

în care : Δt_M și Δt_m sînt diferența maximă și minimă de temperatură la capetele schimbătorului de căldură, K .

Dacă raportul $\Delta t_M/\Delta t_m < 2$, atunci se poate folosi cu suficientă precizie în locul ecuației (4-66), ecuația :

$$\Delta t_{med} = \frac{\Delta t_M + \Delta t_m}{2} \quad (4-67)$$

Trebuie observat că din ecuația (4-66) rezultă că :

— dacă $\Delta t_M = 0$ sau $\Delta t_m = 0$ atunci și $\Delta t_{med} = 0$;

— dacă $\Delta t_M = \Delta t_m$ atunci $\Delta t_{med} = \Delta t_M = \Delta t_m$.

Dacă temperatura unuia din agenții termici nu se schimbă în timpul procesului de transfer de căldură de-a lungul suprafeței de schimb de căldură, atunci diferența medie de temperatură Δt_{med} se determină de, asemenea, cu ecuațiile (4-66) sau (4-67).

Formulele (4-66) și (4-67) s-au obținut în condițiile în care în schimbătorul de căldură valoarea coeficientului total de transfer de căldură K și produsul debitului masic cu căldura specifică $M \cdot c$, pentru fiecare din agenții termici, pot fi considerați constanți de-a lungul întregii suprafețe a schimbătorului de căldură.

În acele cazuri cînd de-a lungul suprafeței de schimb de căldură a schimbătorului valorile lui K sau ale produsului $M \cdot c$ se schimbă apreciabil, folosirea diferenței mediei logaritmice (ec. 4-66) devine inadmisibilă.

În aceste cazuri ecuația diferențială a transmiterii căldurii se rezolvă prin metoda integrării grafice.

b. Pentru curent mixt în schimbătoarele de căldură cu mai multe treceri și pentru curent încrucișat :

$$\Delta t_{med} = f \cdot \Delta t_c \quad (4-68)$$

în care : f este coeficient de corecție a diferenței medii de temperatură Δt_c , calculată pentru contracurent.

Valoarea coeficientului f se ia din grafice speciale [0-24, 4-1]. Exemple de astfel de grafice sînt date în figura VIII.

În cazul schimbătoarelor de căldură cu mai multe treceri în curent simplu încrucișat (o trecere în spațiul intertubular și cu un număr par de treceri

prin țevi — vezi figura 4-16 și 4-21) diferența medie de temperatură poate fi calculată cu formula [0-4]:

$$\Delta t_{med} = \frac{A}{2.3 \lg \frac{\Delta t_M + \Delta t_m + A}{\Delta t_M + \Delta t_m - A}} \quad (4-69)$$

în care: Δt_M și Δt_m sint diferența maximă și minimă de temperatură la capetele schimbătorului de căldură în cazul contracurentului cu aceleași temperaturi inițiale și finale ale agentului termic,

$$A = \sqrt{\delta t_1^2 + \delta t_2^2}$$

$\delta t_1 = t'_1 - t''_1$ — variația de temperatură a fluidului cald;

$\delta t_2 = t'_2 - t''_2$ — variația de temperatură a fluidului rece.

22. Determinarea temperaturilor medii ale agenților termici.

În majoritatea ecuațiilor criteriale ale transmiterii căldurii prin convecție valorile constantelor fizico-chimice ale agenților termici se raportează la temperatura lor medie care se găsește în felul următor.

Pentru acel agent termic la care temperatura se modifică în schimbătorul de căldură cu cel mai mic număr de grade, temperatura medie se determină ca medie aritmetică a temperaturilor la intrare și ieșire:

$$t_{med1} = \frac{t'_1 + t''_1}{2}$$

Pentru celălalt agent termic temperatura medie se găsește cu formula:

$$t_{med2} = t_{med1} + \Delta t_{med} \quad (4-70)$$

Ultima ecuație se recomandă în cazul în care temperatura primului agent termic este constantă de-a lungul suprafeței de schimb termic.

4.1.4. Transmiterea căldurii la contactul direct între fluide

23. Formula generalizată pentru determinarea coeficientului de transmitere a căldurii prin convenție de la gazul nesaturat care se răcește la lichid în scrubere cu umplutură este:

$$K_i = 0,01 Re_g^{0,7} Re_l^{0,7} Pr_g^{0,33} \quad (4-71)$$

în care:

$$K_i = \frac{K \cdot d_{ech}}{\lambda_g} \quad \text{— criteriul Kirpicev};$$

$$Re_g = \frac{4 w_f \cdot \rho_g}{\sigma \cdot \eta_g} \quad \text{— criteriul Reynolds pentru gaz};$$

$$Re_l = \frac{4 L}{\tau \cdot \eta_l} \quad \text{— criteriul Reynolds pentru lichid};$$

$$Pr_g = \frac{c_p \cdot \eta_g}{\lambda_g} \quad \text{— criteriul Prandtl pentru gaz};$$

K — coeficientul total de transmitere a căldurii prin convecție de la gaz la lichid, $W/(m^2 \cdot K)$;

$$d_{ech} = \frac{4 V_l}{\sigma} \quad \text{— diametrul echivalent al umpluturii, m};$$

V_l — volumul liber al umpluturii, m^3/m^3 ;

σ — suprafața specifică a umpluturii, m^2/m^3 ;

w_f — viteza fictivă a gazului în scrubler (raportată la secțiunea transversală totală a scrublerului), m/s ;

L — intensitatea de stropire a scrublerului $kg/(m^2 \cdot s)$;

λ_g — coeficientul de conductivitate termică a gazului, $W/(m \cdot K)$;

η_g — viscozitatea dinamică a gazului, $Pa \cdot s$;

ρ_g — densitatea gazului, kg/m^3 ;

η_l — viscozitatea dinamică a lichidului, $Pa \cdot s$.

Formula (4-71) s-a obținut din date experimentale pentru răcirea aerului de la 80° la 2°C la o intensitate specifică de stropire cu apă egală cu 3,5—10 $m^3/(m^2 \cdot h)^*$.

24. Formula generalizată a coeficientului de evaporare de la suprafața lichidului, în curent turbulent de gaz, în curgere forțată este:

$$Nu'_g = 0,027 \cdot Re_g^{0,8} \cdot (Pr'_g)^{0,33} \quad (4-72)$$

$$Nu'_g = \frac{\beta \cdot d}{D_g} \quad \text{— criteriul Nusselt la difuziune pentru gaz};$$

$$Pr'_g = \frac{\nu_g}{D_g} \quad \text{— criteriul Prandtl la difuziune pentru gaz};$$

β — coeficientul de evaporare, m/s ;

D_g — coeficientul de difuziune, m^2/s ;

ν_g — viscozitate cinematică, m^2/s .

Pentru cazul răcirii apei cu aer, prin curgere peliculară printre canale, prin care trece aer ($Pr'_g = 0,63$), s-a obținut formula:

$$Nu'_g = 0,019 \cdot Re_g^{0,83} \quad (4-73)$$

4.1.5. Valori orientative ale coeficienților parțiali de transfer a căldurii prin convecție și ale coeficienților totali de transmitere a căldurii

În tabelul 4-5 se dau valorile aproximative ale coeficienților parțiali de transmitere a căldurii prin convecție pentru apă și aer calculate cu formulele date anterior, pentru cazurile de bază ale transferului termic prin convecție, iar în tabelul 4-6 valorile orientative ale coeficienților totali de transmitere a căldurii obținute în mod practic pentru diferite cazuri.

* Cu privire la transmiterea căldurii de la gaz la apă prin contact direct vezi, de asemenea: Egorov, N. N. — Răcirea gazelor în scrubere, Goshimizdat, 1954; Komrov, I. A. — Inj-fiz. Journ, 1965, nr. 5.

Tabelul 4-5

Valori orientative ale coeficienților parțiali de transmitere a căldurii, $w/(m^2 \cdot K)$

Felul de transmitere a căldurii	Apă	Aer ($P_{abs} \approx 1$ at)	Observații
Curgere turbulentă forțată: a) în țevi și canale	1 200—5 800	35—60	$d = 30$ mm. Valorile lui α corespund vitezelor pentru apă de la 0,2 la 1,5 m/s, pentru aer 8—15 m/s
b) perpendicular pe țevi	3 100—10 000	70—100	Fascicul decalat $\varepsilon \varphi = 1$
Curgere liberă	250—900	3—9	
Fierberea apei	2 000—24 000	—	Presiunea atmosferică. Valorile lui α corespund la $\Delta t = 5 \div 15$ K
Condensarea vaporilor de apă saturați pe suprafața exterioră a unei țevi orizontale	9 300—15 000	—	Presiunea vaporilor saturați (absolută) 4 kPa; $d = 30$ mm. Valorile lui α corespund la $\Delta t = 35 \div 5$ K

Tabelul 4-6

Felul de transmitere a căldurii	Curgere forțată	Curgere liberă
Gaz-gaz (la presiuni obișnuite)	10—40	4—12
Gaz-lichid (răcitoare de gaz)	10—60	6—20
Vapori în condensare-gaz (încălzitoare de aer)	10—60	6—12
Lichid-lichid (apă)	800—1 700	140—340
Lichid-lichid (hidrocarburi, uleiuri)	120—270	30—60
Vapori în condensare-apă (condensatoare, încălzitoare)	800—3 500	300—1 200
Vapori în condensare-lichide organice (încălzitoare)	120—340	60—170
Vapori de substanțe organice în condensare — apă (condensatoare)	300—800	230—460
Vapori în condensare — lichide în fierbere (evaporatoare)	—	300—2 500

4.2. EXEMPLE

✱ **Exemplul 4-1.** Un aparat cu diametrul de 2 m și înălțimea de 5 m este acoperit cu un strat termoizolator de azbest cu grosimea de 75 mm. Temperatura peretelui aparatului este de 146°C, temperatura suprafeței exterioare a izolației 40°C. Să se determine fluxul termic care trece prin stratul de izolație.

Rezolvare. Aria medie prin care se transmite căldura este:

$$A_{med} = \pi \cdot \left(D_{med} \cdot L + 2 \frac{D^2}{4} \right) = 3,14(2,075 \cdot 5 + 0,5 \cdot 2^2) = 38,8 \text{ m}^2.$$

Coeficientul de conductivitate termică a azbestului $\lambda = 0,151 \text{ W/(m} \cdot \text{K)}$ (după tabelul XXVIII).

Exemple

Fluxul termic care trece prin izolație este:

$$Q = \frac{\lambda}{\delta} (t_p - t_{iz}) \cdot A_{med} = \frac{0,151}{0,075} (146 - 40) \cdot 38,8 = 8 280 \text{ W}$$

Exemplul 4-2. Să se calculeze coeficientul de conductivitate termică a nitrobenzenului lichid la 120°C.

Rezolvare. Căldura specifică a nitrobenzenului $c = 1 380 \text{ J/(kg} \cdot \text{K)}$, (tabelul XXVI).

Densitatea nitrobenzenului la 30°C $\rho \approx 1 200 \text{ kg/m}^3$ (tabelul III).

Coeficientul de conductivitate termică a nitrobenzenului la 30°C conform formulei (4-7):

$$\lambda_{30} = A \cdot c \cdot \rho \cdot \sqrt[3]{\frac{\rho}{M}} = 4,22 \cdot 10^{-8} \cdot 1 380 \cdot 1 200 \cdot \sqrt[3]{\frac{1 200}{123}} = 0,149 \text{ W/(m} \cdot \text{K)}.$$

în care: $A = 4,22 \cdot 10^{-8}$ — pentru lichide neasociate;

$M = 123 \text{ kg/kmol}$ — masa moleculară a nitrobenzenului.

Coeficientul de conductibilitate termică a nitrobenzenului la 120°C, după formula (4-8), va fi:

$$\lambda_t = \lambda_{30} \cdot [1 - \varepsilon(t - 30)]$$

$$\lambda_{120} = 0,149[1 - 1,0 \cdot 10^{-3} \cdot (120 - 30)] = 0,136 \text{ W/(m} \cdot \text{K)}$$

După date experimentale (figura X):

$$\lambda_{120} = 0,137 \text{ W/(m} \cdot \text{K)}$$

Exemplul 4-3. Să se calculeze coeficientul de conductivitate termică al unei soluții apoase de NaCl de 25% la 80°C.

Rezolvare. După nomogramă (figura XI) căldura specifică a soluției apoase de NaCl de 25% la 30°C:

$$c = 3 390 \text{ J/(kg} \cdot \text{K)}$$

Densitatea soluției de NaCl de 25% (după tabelul III):

$$\rho = 1 189 \text{ kg/m}^3$$

Masa moleculară medie a soluției

$$M = 0,907 \cdot 18 + 0,093 \cdot 58,5 = 21,7 \text{ kg/kmol}$$

în care:

$$0,093 = \frac{\frac{25}{58,5}}{\frac{25}{58,5} + \frac{75}{18}} \text{ — fracția molară a NaCl în soluție.}$$

Coeficientul de conductivitate termică a soluției 25% de NaCl la 30°C după formula (4-7):

$$\lambda_{30} = 3,58 \cdot 10^{-8} \cdot 3 390 \cdot 1 189 \cdot \sqrt[3]{\frac{1 189}{21,7}} = 0,548 \text{ W/(m} \cdot \text{K)}$$

Coefficientul de conductivitate termică a soluției la 80°C, după formula (4-9) este :

$$\lambda_{80} = 0,548 \frac{0,674}{0,615} = 0,60 \text{ W/(m}\cdot\text{K)}$$

în care 0,674 și respectiv 0,615 W/(m·K) sint coeficienții de conductivitate termică ai apei la 80° și 30° (fig. X).

Exemplul 4-4. Să se calculeze coeficientul de conductivitate termică al metanului lichid la $t = -160,6^\circ\text{C}$ și să se compare valoarea obținută cu cea experimentală.

Rezolvare. Metanul lichid face parte din lichidele neasociate :

$$\lambda = A \cdot c_p \cdot \rho \sqrt[3]{\frac{\rho}{M}} = 4,22 \cdot 10^{-8} \cdot 3,47 \cdot 10^3 \cdot 423 \cdot \sqrt[3]{\frac{423}{16}} = 0,184 \text{ W/(m}\cdot\text{K)}$$

în care : $A = 4,22 \cdot 10^{-8}$, — pentru lichide neasociate ;
 $c = 3,47 \cdot 10^3 \text{ J/(kg}\cdot\text{K)}$ — căldura specifică a metanului lichid la $T = 112,5 \text{ K}$;
 $\rho = 423 \text{ kg/m}^3$ — densitatea metanului lichid ;
 $M = 16 \text{ kg/kmol}$ — masa moleculară a metanului.

Din tabele [4-13], coeficientul de conductivitate termică a metanului lichid la $t = -160,6^\circ\text{C}$ este 0,194 W/(m·K). Eroarea la calculul după formula (4-7) va fi :

$$\frac{0,194 - 0,184}{0,184} \cdot 100 = 5,4\%$$

Exemplul 4-5. Să se calculeze coeficientul de conductivitate termică al aerului uscat la 300°C.

Rezolvare. După formula (4-10)

$$\lambda = B \cdot c_v \cdot \eta = 1,9 \cdot 0,748 \cdot 10^3 \cdot 2,97 \cdot 10^{-5} = 0,0422 \text{ W/(m}\cdot\text{K)}$$

în care : $B = 1,9$, pentru gaze biatomice ;
 c_v = căldura specifică la volum constant, se calculează din raportul $\frac{c_p}{c_v} = 1,4$

$$c_v = \frac{c_p}{1,4} = \frac{1,05 \cdot 10^3}{1,4} = 0,748 \cdot 10^3 \text{ J/(kg}\cdot\text{K)}$$

$c_p = 1,05 \cdot 10^3 \text{ J/(kg}\cdot\text{K)}$ — căldura specifică a aerului uscat la 300°C ;
 $\eta = 2,97 \cdot 10^{-5} \text{ Pa}\cdot\text{s}$ — viscozitatea dinamică a aerului la 300°C.

Exemplul 4-6. Să se calculeze coeficientul de conductivitate termică la 0°C a amestecului gazos cu compoziția : H_2 — 50%, CO — 40%, N_2 — 10% (în volume).

Rezolvare. Regula aditivității nu se poate folosi la calculul coeficientului de conductivitate termică al unui amestec de gaze. Orientativ, se poate folosi formula (4-10). Pentru componenții amestecului, se dau mai jos valorile constantelor fizico-chimice :

Component	ρ , kg/m ³	$c_p \cdot 10^{-3} \text{ J/(kg}\cdot\text{K)}$	$k = \frac{c_p}{c_v}$	$\eta \cdot 10^5, \text{ Pa}\cdot\text{s}$
H_2	0,09	10,14	1,41	0,00842
CO	1,25	0,75	1,4	0,0166
N_2	1,25	0,75	1,4	0,017

Compoziția masică a amestecului gazos va fi :

Component	m ³ [% (vol)]	kg	% (masic)
H_2	50	50 · 0,09 = 4,5	6,7
CO	40	40 · 1,25 = 50,0	74,6
N_2	10	10 · 1,25 = 12,5	18,7
Total	100	67,0	100,0

Se calculează c_v pentru amestecul gazos :

$$c_v = 0,067 \cdot 10,14 \cdot 10^3 + 0,746 \cdot 0,75 \cdot 10^3 + 0,187 \cdot 0,75 \cdot 10^3 = 1,379 \cdot 10^3 \text{ J/(kg}\cdot\text{K)}$$

Se calculează viscozitatea dinamică a amestecului gazos cu formula (1-12) și din tabelul XI :

$$\eta_{am} = \frac{(0,5 \cdot 8,13 \cdot 0,00842 + 0,4 \cdot 61,4 \cdot 0,0166 + 0,1 \cdot 59,5 \cdot 0,017) \cdot 10^{-5}}{0,5 \cdot 8,13 + 0,4 \cdot 61,4 + 0,1 \cdot 5,59} = 0,0156 \cdot 10^{-5} \text{ Pa}\cdot\text{s}$$

Coefficientul B se calculează cu formula (4-10) : $B = 0,25(9 \cdot 1,4 \cdot 5) = 1,9$. Se determină coeficientul de conductivitate termică al amestecului gazos :

$$\lambda_{am} = B \cdot c_v \cdot \eta_{am} = 1,9 \cdot 1,379 \cdot 10^3 \cdot 0,0156 \cdot 10^{-5} = 0,041 \text{ W/(m}\cdot\text{K)}$$

Dacă coeficientul de conductivitate termică se calculează prin regula aditivității, folosind datele din tabelul XXX, se obține :

— pentru aditivitate volumică :

$$\lambda_{am} = 0,0926 \text{ W/(m}\cdot\text{K)} ;$$

— masic :

$$\lambda_{am} = 0,0317 \text{ W/(m}\cdot\text{K)}$$

Exemplul 4-7. Peretele unui cuptor constă din două straturi: unul din cărămidă refractară ($\delta_1 = 500$ mm) și celălalt din cărămidă de construcție ($\delta_2 = 250$ mm). Temperatura în interiorul cuptorului este de 1300°C , iar temperatura mediului înconjurător este 25°C . Să se determine:

a) pierderile de căldură pe 1 m^2 de suprafață a peretelui;

b) temperatura t_3 la limita de separație dintre straturile de cărămidă refractară și de construcție.

Coeficientul parțial de transmitere a căldurii de la gaze la pereți este $\alpha_1 = 34,8\text{ W}/(\text{m}^2\cdot\text{K})$; coeficientul parțial de transmitere a căldurii de la perete la aer este $\alpha_2 = 16,2\text{ W}/(\text{m}^2\cdot\text{K})$. Coeficientul de conductivitate termică al cărămidii refractare este $\lambda_1 = 1,16\text{ W}/(\text{m}\cdot\text{K})$, iar al cărămidii de construcție $\lambda_2 = 0,58\text{ W}/(\text{m}\cdot\text{K})$.

Rezolvare. Schema procesului de transmitere a căldurii este reprezentată în figura 4-12.

a) coeficientul total de transmitere a căldurii este:

$$K = \frac{1}{\frac{1}{\alpha_1} + \frac{\delta_1}{\lambda_1} + \frac{\delta_2}{\lambda_2} + \frac{1}{\alpha_2}} = \frac{1}{\frac{1}{34,8} + \frac{0,5}{1,16} + \frac{0,25}{0,58} + \frac{1}{16,2}} = 1,05\text{ W}/(\text{m}^2\cdot\text{K}).$$

Pierderile de căldură pe 1 m^2 suprafață de perete sînt:

$$q = K(t_1 - t_2) = 1,05(1300 - 25) = 1340\text{ W}/\text{m}^2$$

b) temperatura t_3 la limita de separație dintre cele două straturi de cărămidă se găsește din sistemul de ecuații:

$$q = \alpha_1(t_1 - t_2) = \frac{\lambda_1}{\delta_1}(t_2 - t_3)$$

din care se obține:

$$t_2 = t_1 - \frac{q}{\alpha_1} = 1300 - \frac{1340}{34,8} = 1261^\circ\text{C}$$

$$t_3 = t_2 - \frac{q \cdot \delta_1}{\lambda_1} = 1261 - \frac{1340 \cdot 0,5}{1,16} = 684^\circ\text{C}$$

Cărămida de construcție poate fi folosită pînă la 800°C . Prin urmare, temperatura de 684°C este admisibilă.

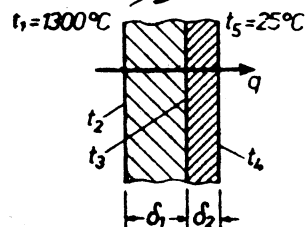


Fig. 4-12. Schița la exemplul 4-7.

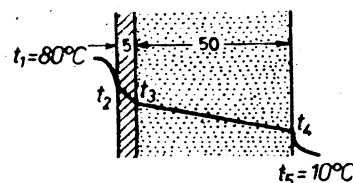


Fig. 4-13. Schița la exemplul 4-8.

Exemplul 4-8. Să se determine temperatura interioară t_2 și exterioară t_3 a peretelui unui schimbător de căldură, ca și temperatura t_4 a suprafeței exterioare a izolației care acoperă aparatul. Temperatura lichidului în schimbătorul de căldură este $t_1 = 80^\circ\text{C}$, iar a aerului exterior $t_5 = 10^\circ\text{C}$. Schimbătorul de căldură este confecționat din oțel: grosimea peretelui $\delta_p = 5$ mm, grosimea izolației $\delta_{iz} = 50$ mm. Coeficientul parțial de transmitere a căldurii de la lichid la peretele aparatului $\alpha_1 = 232\text{ W}/(\text{m}^2\cdot\text{K})$, iar de la suprafața izolației la aer $\alpha_2 = 10,4\text{ W}/(\text{m}^2\cdot\text{K})$, coeficientul de conductivitate termică al izolației $\lambda_{iz} = 0,12\text{ W}/(\text{m}\cdot\text{K})$.

Rezolvare. În figura 4-13 este reprezentată o secțiune prin peretele aparatului acoperit cu izolație.

Coeficientul total de transmitere a căldurii este:

$$K = \frac{1}{\frac{1}{\alpha_1} + \frac{\delta_p}{\lambda_p} + \frac{\delta_{iz}}{\lambda_{iz}} + \frac{1}{\alpha_2}} = \frac{1}{\frac{1}{232} + \frac{0,005}{46,5} + \frac{0,05}{0,12} + \frac{1}{10,4}} = 1,86\text{ W}/(\text{m}^2\cdot\text{K})$$

în care $\lambda_p = 46,5\text{ W}/(\text{m}\cdot\text{K})$ (tab. XXVIII).

Fluxul termic unitar este:

$$q = K(t_1 - t_5) = 1,86(80 - 10) = 130\text{ W}/\text{m}^2$$

Temperaturile t_2 , t_3 și t_4 se determină din sistemul de ecuații:

$$q = \alpha_1(t_1 - t_2) = \frac{\lambda_p}{\delta_p}(t_2 - t_3) = \alpha_2(t_4 - t_5)$$

Temperatura suprafeței interioare a peretelui aparatului este:

$$t_2 = t_1 - \frac{q}{\alpha_1} = 80 - \frac{130}{232} = 79,4^\circ\text{C}$$

Temperatura suprafeței exterioare a peretelui aparatului este:

$$t_3 = t_2 - q \frac{\delta_p}{\lambda_p} = 79,4 - \frac{130 \cdot 0,005}{46,5} \approx 79,4^\circ\text{C}.$$

Temperatura suprafeței exterioare a izolației:

$$t_4 = \frac{q}{\alpha_2} + t_5 = \frac{130}{10,4} + 10 = 22,4^\circ\text{C}.$$

După cum se vede, rezistența termică a peretelui de oțel se poate neglija în prezența izolației ($t_2 \approx t_3$).

Exemplul 4-9. Să se determine temperatura medie a peretelui într-un preîncălzitor cu abur, în care se folosește abur de 4 ata pentru a încălzi:

a) aer la presiune atmosferică;

b) apă.

Temperatura medie a aerului, ca și a apei este de 30°C. Grosimea peretelui de oțel al țevilor este $\delta_p = 4$ mm.

Coefficienții parțiali de transmitere a căldurii pentru abur, aer și apă se iau, cu aproximație, din datele tabelului 4-5 (se ia valoarea medie; la aer și apă se va considera curgere turbulentă în lungul țevelor). Se va ține seamă de depunerile de pe ambele fețe ale suprafeței de schimb de căldură. Conductivitatea termică a fiecărui strat de depunere se va considera $\frac{1}{r_d} = 2\,320$ W/(m²·K).

Pentru semnificațiile temperaturilor vezi figura 4.14.

Rezolvare. Temperaturile suprafețelor peretelui t_2 și t_3 se găsesc din sistemul de ecuații:

$$q = \alpha_1 \cdot (t_1 - t_2) = \alpha_2 \cdot (t_3 - t_4)$$

Temperatura de condensare a vaporilor de apă cu $p = 4$ ata este 143°C (tab. LVII)

a) la preîncălzirea aerului.

Coefficientul total de transmitere a căldurii:

$$K = \frac{1}{\frac{1}{\alpha_1} + r_d + \frac{\delta_p}{\lambda_p} + r_d + \frac{1}{\alpha_2}} = \frac{1}{\frac{1}{13\,300} + \frac{1}{2\,320} + \frac{0,004}{46,5} + \frac{1}{2\,320} + \frac{1}{46,4}} = 44,3 \text{ W/(m}^2\cdot\text{K)}$$

S-a folosit coeficientul parțial de transmitere a căldurii pentru abur $\alpha_1 = 13\,300$ W/(m²·K), respectiv pentru aer $\alpha_2 = 46,4$ W/(m²·K) și coeficientul de conductivitate termică a oțelului $\lambda_{oL} = 46,5$ W/(m·K)

Fluxul termic unitar va fi:

$$q = K(t_1 - t_4) = 44,3(143 - 30) = 5\,010 \text{ W/m}^2.$$

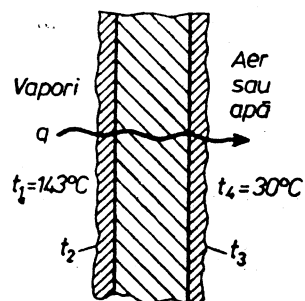


Fig. 4-14. Schița la exemplul 4-9.

Temperatura t_2 :

$$t_2 = t_1 - \frac{q}{\alpha_1} = 143 - \frac{5\,010}{13\,300} = 142,6^\circ\text{C}$$

Temperatura t_3 :

$$t_3 = t_4 + \frac{q}{\alpha_2} = 30 + \frac{5\,010}{46,4} = 138^\circ\text{C}$$

Temperatura medie a peretelui:

$$t_m = \frac{t_2 + t_3}{2} \approx 140^\circ\text{C}$$

b) la preîncălzirea apei.

Coefficientul total de transmitere a căldurii:

$$K = \frac{1}{\frac{1}{\alpha_1} + r_d + \frac{\delta_{oL}}{\lambda_{oL}} + r_d + \frac{1}{\alpha_2}} = \frac{1}{\frac{1}{13\,300} + \frac{1}{2\,320} + \frac{0,04}{46,5} + \frac{1}{2\,320} + \frac{1}{3\,420}} = 761 \text{ W/(m}^2\cdot\text{K)}$$

Aici s-a luat coeficientul parțial de transmitere a căldurii pentru apă $\alpha_2 = 3\,420$ W/(m²·K).

Încărcarea termică va fi:

$$q = K(t_1 - t_4) = 761(143 - 30) = 86\,000 \text{ W/m}^2.$$

Temperatura t_2 :

$$t_2 = t_1 - \frac{q}{\alpha_1} = 143 - \frac{86\,000}{13\,300} = 136,5^\circ\text{C}$$

Temperatura t_3 :

$$t_3 = t_4 + \frac{q}{\alpha_2} = 30 + \frac{86\,000}{3\,420} = 55,2^\circ\text{C}$$

Temperatura medie a peretelui va fi:

$$t_m = \frac{t_2 + t_3}{2} = \frac{136,5 + 55,2}{2} = 96^\circ\text{C}$$

Exemplul 4-10. Într-un condensator tubular în contracurent intră 200 kg/h amoniac cu presiunea 11,9 ata și temperatura de 95°C. Condensatorul se răcește cu apă care intră la temperatura de 15°C.

Amoniacul lichid iese din aparat la temperatura de condensare.

Ce cantitate de apă trebuie introdusă în aparat dacă se admite că diferența minimă de temperatură între amoniac și apă în condensator este de 5 grade? Ce temperatură va avea apa la ieșirea din condensator.

Rezolvare. Din diagrama $T-S$ pentru amoniac (fig. XXVI) sau din tab. XLVIII se găsește că temperatura de condensare a amoniacului cu $p = 11,9$ ata este de 30°C.

Prin urmare, amoniacul ce intră în condensator cu temperatura de 95°C se află în stare de vaporii supraîncălziți. Pentru răcirea lor la presiune constantă de 11,9 ata de la 95°C pînă la începutul condensării, adică pînă la 30°C, trebuie preluată următoarea cantitate de căldură:

$$Q_1 = \frac{200(1\,647 \cdot 10^3 - 1\,467 \cdot 10^3)}{3\,600} = 10\,000 \text{ W}$$

în care $(1\,647 \cdot 10^3 - 1\,467 \cdot 10^3)$ J/kg reprezintă diferența dintre entalpiile vaporilor de amoniac la $p = 11,9$ ata la temperaturile de 95 și 30°C (vezi diagr. $T-S$, fig. XXVI).

Pentru ca apoi vaporii de amoniac să condenseze, mai trebuie preluată și căldura:

$$Q_2 = \frac{200(1\,467 \cdot 10^3 - 323 \cdot 10^3)}{3\,600} = 63\,600 \text{ W}$$

în care $323 \cdot 10^3$ J/kg reprezintă entalpia amoniacului lichid de 30°C și $p = 11,9$ ata.

Astfel, apa trebuie să preia căldura totală:

$$Q = Q_1 + Q_2 = 10\,000 + 63\,600 = 73\,600 \text{ W}$$

Variația temperaturii amoniacului în condensator în funcție de cantitatea de căldură cedată, este prezentată în figura 4-15.

Pornind de la condiția că diferența dintre temperatura amoniacului și a apei în orice secțiune a condensatorului nu trebuie să fie mai mică de 5 grd, se admite temperatura apei în secțiunea condensatorului în care începe condensarea amoniacului și în care diferența este minimă, egală cu $30 - 5 = 25^\circ\text{C}$.

Astfel, debitul de apă necesar se găsește din ecuația:

$$63\,600 = G_a \cdot 4,19 \cdot 10^3 (25 - 16)$$

din care rezultă $G_a = 1,515 \text{ kg/s}$.

Temperatura apei la ieșire din condensator t_2 se determină din ecuația:

$$73\,600 = 1,515 \cdot 4,19 \cdot 10^3 (t_2 - 15),$$

din care:

$$t_2 = \frac{73\,600}{1,515 \cdot 4,19 \cdot 10^3} + 15 = 26,6^\circ\text{C}$$

Exemplul 4-11. Căldura rezidului de cracare ce părăsește o instalație de cracare se folosește pentru preîncălzirea țigiei care intră în instalație pentru prelucrare. Să se determine diferența medie de temperatură în schimbător de căldură, între reziduul de cracare și țigiei, dacă reziduul de cracare are temperatura inițială $t_1 = 300^\circ\text{C}$ și finală $t_f = 200^\circ\text{C}$, iar țigiei $t_i = 25^\circ\text{C}$ și $t_f = 175^\circ\text{C}$.

Rezolvare. Analizăm două cazuri.

Primul caz. Echicurentul — ambele lichide se deplasează în aceeași direcție:

$$\begin{array}{rcl} 300 & \longrightarrow & 200 \\ 25 & \longrightarrow & 175 \\ \hline \Delta t_m = 275 & & \Delta t_m = 25 \\ \hline \frac{\Delta t_M}{\Delta t_m} = \frac{275}{25} & > & 2 \end{array}$$

urmează ca:

$$\Delta t_{med} = \frac{275 - 25}{2,3 \lg \frac{275}{25}} = 104^\circ\text{C} = 104 \text{ K}$$

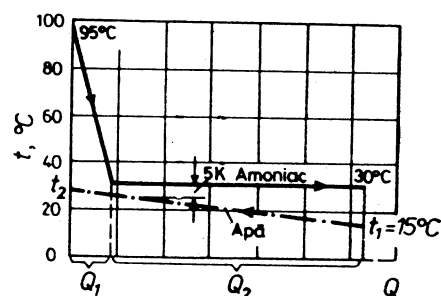


Fig. 4-15. Schița la exemplul 4-10.

Cazul al doilea. Contracurent — lichidele se mișcă în sens opus.

$$\begin{array}{rcl} 300 & \longrightarrow & 200 \\ 175 & \longleftarrow & 25 \\ \hline \Delta t_m = 125 & & \Delta t_M = 175 \end{array}$$

$$\frac{\Delta t_M}{\Delta t_m} = \frac{175}{125} < 2$$

$$\Delta t_{med} = \frac{125 + 175}{2} = 150^\circ\text{C} = 150 \text{ K}$$

Calculând diferența de temperatură pentru contracurent ca medie logaritmică se găsește 149°C .

Din calculul de mai sus rezultă că, în condiții egale, diferența de temperatură este mai mare la contracurent decât la echicurent.

Trebuie observat că în cazul contracurentului lichidul preîncălzit (țigiei) poate fi încălzit până la temperatura mai ridicată decât 175°C (de ex. până la 290°C) iar reziduul de cracare poate fi răcit mult sub 200°C . Acesta este avantajul de bază al contracurentului.

Exemplul 4-12. Să se determine diferența medie de temperatură într-un schimbător de căldură cu mai multe treceri, avînd o trecere în spațiul intertubular și două treceri în spațiul tubular (fig. 4.16).

Temperatura inițială a agentului termic cald $t_1' = 80^\circ\text{C}$
 Temperatura finală a agentului termic cald $t_f' = 40^\circ\text{C}$
 Temperatura inițială a agentului termic rece $t_1'' = 20^\circ\text{C}$
 Temperatura finală a agentului termic rece $t_f'' = 40^\circ\text{C}$.

Rezolvare. Se folosește formula (4-69).

$$A = \sqrt{\delta t_1^2 + \delta t_2^2} = \sqrt{40^2 + 20^2} = 44,7$$

Diagrama termică pentru contracurent:

$$\begin{array}{rcl} 80 & \longrightarrow & 40 \\ 40 & \longleftarrow & 20 \\ \hline \Delta t_M = 40 & & \Delta t_m = 20 \end{array}$$

Diferența medie de temperatură în schimbătorul cu mai multe treceri:

$$\begin{aligned} \Delta t_{med} &= \frac{A}{2,3 \lg \frac{\Delta t_M + \Delta t_m + A}{\Delta t_M + \Delta t_m - A}} = \\ &= \frac{44,7}{2,3 \lg \frac{40 + 20 + 44,7}{40 + 20 - 44,7}} = 23,2^\circ\text{C} = 23,2 \text{ K} \end{aligned}$$

Calculul se face după formula (4-68)

$$\Delta t_{med} = \epsilon_{\Delta t} \cdot \Delta t_c$$

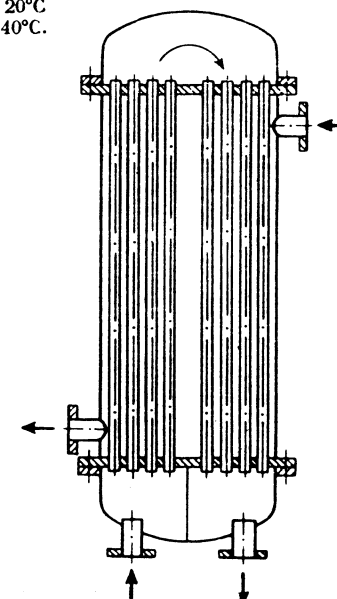


Fig. 4-16. Schița la exemplul 4-12.

Se calculează diferența medie de temperatură pentru contracurent :

$$\Delta t_c = \frac{40 + 20}{2} = 30^\circ\text{C} = 30^\circ\text{K}$$

Se găsesc mărimile P și R (vezi fig. VIII)

$$P = \frac{t'_2 - t'_1}{t'_1 - t'_2} = \frac{40 - 20}{80 - 20} = 0,33$$

$$R = \frac{t'_1 - t'_2}{t'_2 - t'_1} = \frac{80 - 40}{40 - 20} = 2$$

Din graficul din figura VIII, a, se determină valoarea coeficientului de corecție $\varepsilon_{\Delta t}$.

Pentru $P = 0,33$ și $R = 2$ se găsește $\varepsilon_{\Delta t} = 0,78$.

Prin urmare, diferența medie de temperatură în schimbătorul cu mai multe treceri :

$$\Delta t_{med} = \varepsilon_{\Delta t} \cdot \Delta t_c = 0,78 \cdot 30 = 23,4^\circ\text{C} = 23,4^\circ\text{K}.$$

✓ **Exemplul 4-13.** Să se determine coeficientul parțial de transmitere a căldurii pentru apă care se încălzește într-un schimbător de căldură multi-tubular compus din țevi cu diametrul $40 \times 2,5$ mm. Viteza apei în țevi este 1 m/s. Temperatura medie a apei este $47,5^\circ\text{C}$. Temperatura peretelui țevii este 95°C , lungimea țevii este de 2 m.

Rezolvare. Se stabilește regimul de curgere :

$$Re = \frac{w \cdot d \cdot \rho}{\eta} = \frac{1 \cdot 0,035 \cdot 989}{0,57 \cdot 10^{-3}} = 60\,800$$

în care :

$\eta = 0,57 \cdot 10^{-3}$ Pa·s — viscozitatea dinamică a apei la $47,5^\circ\text{C}$ (tab. VI).

$\rho = 989$ kg/m³ — densitatea apei la $47,5^\circ\text{C}$ (tab. XXXIX).

Valoarea $Re \gg 10\,000$. Coeficientul parțial de transmitere a căldurii se determină din nomograma (fig. XII), construită după formula (4-17)

$$Nu = 0,021 \cdot \varepsilon_1 \cdot Re^{0,78} \cdot Pr^{0,43} \cdot \left(\frac{Pr}{Pr_p} \right)^{0,25}$$

$$\text{Aici } \varepsilon_1 = 1 \text{ pentru } \frac{L}{d} = \frac{2000}{35} = 57 \text{ (tab. 4-3)} \quad \frac{Pr}{Pr_p} = \frac{3,74}{1,85} = 2,02$$

în care $Pr = 3,74$ la $47,5^\circ\text{C}$ și $Pr_p = 1,85$ la $t_p = 95^\circ\text{C}$ (tab. XXXIX).

Din nomogramă găsim $Nu = 300$, de unde :

$$\alpha = \frac{Nu \cdot \lambda}{d} = \frac{300 \cdot 0,643}{0,035} = 5\,510 \text{ W/(m}^2 \cdot \text{K)}.$$

Aici $\lambda = 0,643$ W/(m·K) este coeficientul de conductivitate termică a apei la $47,5^\circ\text{C}$ (tab. XXXIX).

✓ **Exemplul 4-14.** Într-o țeavă cu diametrul interior de 53 mm și lungimea de 3 m se încălzește benzen. Temperatura peretelui țevii este 70°C .

Viteza benzenului este 0,1 m/s. Temperatura medie a benzenului este 40°C . Să se găsească coeficientul parțial de transmitere a căldurii pentru benzen.

Rezolvare. Se determină criteriul Reynolds :

$$Re = \frac{w \cdot d \rho}{\eta} = \frac{0,1 \cdot 0,053 \cdot 858}{0,49 \cdot 10^{-3}} = 9\,300$$

Aici $\eta = 0,49 \cdot 10^{-3}$ Pa·s este viscozitatea dinamică a benzenului la 40°C (fig. V); $\rho = 858$ kg/m³ este densitatea benzenului la 40°C [4-13].

Criteriul $Re = 9\,300$, deci regimul este intermediar.

La valoarea $Re = 9,3 \cdot 10^3$, se determină din graficul din figura 4-1 valoarea

$$\frac{Nu}{Pr^{0,43} \left(\frac{Pr}{Pr_p} \right)^{0,25}} = 30,9$$

în care : $Pr = 7,4$ și $Pr_p = 6,6$ — criteriile Prandtl pentru benzen la 40°C și 70°C , conform figurii XIII.

După înlocuire se obține :

$$Nu = 30,9 \cdot 7,4^{0,43} \left(\frac{7,4}{6,6} \right)^{0,25} = 75,2$$

Coeficientul parțial de transmitere a căldurii pentru benzen va fi :

$$\alpha = \frac{Nu \cdot \lambda}{d} = \frac{75,2 \cdot 0,15}{0,053} = 215 \text{ W/(m}^2 \cdot \text{K)}.$$

în care : $\lambda = 0,15$ W/(m·K) este coeficientul de conductivitate termică a benzenului la 40°C (fig. X).

Folosind formula (4-23) :

$$Nu = 0,008 Re^{0,9} Pr^{0,43} = 0,008 \cdot 9\,300^{0,9} \cdot 7,4^{0,43} = 70,3.$$

$$\alpha = \frac{Nu \cdot \lambda}{d} = \frac{70,3 \cdot 0,15}{0,053} = 200 \text{ W/(m}^2 \cdot \text{K)}.$$

✓ **Exemplul 4-15.** Prin spațiul tubular al unui schimbător de căldură orizontal cu țevi curge anilină cu temperatura medie de 120°C cu viteza de 0,03 m/s. Diametrul interior al țevii este 20 mm iar lungimea 3 m. Temperatura medie a suprafeței interioare a țevilor este 110°C . Să se determine coeficientul parțial de transmitere a căldurii.

Rezolvare. Se determină criteriul Reynolds pentru temperatura medie a lichidului :

$$Re = \frac{w \cdot d \rho}{\eta} = \frac{0,03 \cdot 0,02 \cdot 933}{0,52 \cdot 10^{-3}} = 1\,075$$

în care : $\rho = 933$ kg/m³ — densitatea anilinei (tab. IV);
 $\eta = 0,52 \cdot 10^{-3}$ Pa·s — viscozitatea dinamică a anilinei (fig. V).

Regimul de curgere este laminar. Pentru a folosi diagrama din figura 4-2, se calculează criteriile Re și Pr, la temperatura medie a stratului limită, egală cu $\frac{110 + 120}{2} = 115^\circ\text{C}$:

$$\text{Re} = \frac{0,03 \cdot 0,02 \cdot 938}{0,55 \cdot 10^{-3}} = 1\,025$$

$$\text{Pr} = 6 \text{ (fig. XIII)}$$

$$\text{Re} \cdot \text{Pr} \cdot \frac{d}{L} = 1\,025 \cdot 6 \cdot \frac{20}{3\,000} = 41$$

Din figura 4-2 se determină valoarea aproximativă a criteriului Nusselt (Nu) fără a considera convecția liberă. Pentru $\text{Re} \cdot \text{Pr} \cdot \frac{d}{L} = 41$ se găsește pe linia AA Nu' = 6,2.

Pentru a determina influența convecției libere se calculează valoarea criteriului Grashof și produsul $4\text{ReNu}'$.

Se găsește mărimea $\beta \cdot \Delta t$ din ecuația:

$$\beta \cdot \Delta t = \frac{v_2 - v_1}{v_1} = \frac{\rho_1 - \rho_2}{\rho_2} = \frac{943 - 933}{933} = 0,01075$$

în care $\rho_1 = 943$ și $\rho_2 = 933 \text{ kg/m}^3$ — densitatea anilinei la 110 și 120°C (tab. IV).

Criteriul Grashof:

$$\text{Gr} = \frac{d^3 \cdot \rho^2 \cdot \beta \cdot \Delta t \cdot g}{\eta^2} = \frac{0,02^3 \cdot 938^2 \cdot 0,01075 \cdot 9,81}{(0,55 \cdot 10^{-3})^2} = 24,5 \cdot 10^3$$

$$4\text{ReNu}' = 4 \cdot 1\,025 \cdot 6,2 = 25,4 \cdot 10^3$$

Deoarece $\text{Gr} \gg 4\text{ReNu}'$, influența convecției libere este însemnată. Din curba 2 pentru țevi orizontale (fig. 4-2) se găsește valoarea efectivă a criteriului Nusselt Nu = 13.

Coefficientul parțial de transmitere a căldurii*

$$\alpha = \frac{\text{Nu} \cdot \lambda}{d} = \frac{13 \cdot 0,165}{0,02} = 107 \text{ W/(m}^2\text{K)}$$

În relația dată $\lambda = 0,165 \text{ W/(mK)}$ este coeficientul de conductivitate termică a anilinei la 115°C (fig. X).

Exemplul 4-16. Într-un schimbător de căldură multitubular vertical format din 61 țevi cu diametrul $32 \times 2,5 \text{ mm}$ și înălțimea de 1,25 m, prin țevi trec $13 \text{ m}^3/\text{h}$ tetraclorură de carbon, cu temperatura medie de 50°C , temperatura suprafeței interioare a peretelui fiind 24°C .

Să se determine coeficientul parțial de transmitere a căldurii a tetraclorurii de carbon la perete în două cazuri: a) tetraclorura de carbon trece

* Această valoare a coeficientului parțial ca și a criteriului nu se poate considera ceva mai mică, deoarece în exemplul dat produsul $\text{Gr} \cdot \text{Pr} > 25 \cdot 10^3$, ceea ce corespunde curbei 2 din figura 4-2.

prin țevi de jos în sus, umplind întreaga secțiune transversală a Țevilor; b) tetraclorura de carbon se scurge în jos sub formă peliculară pe suprafața interioară a Țevilor.

Rezolvare. a) țevi complet pline

Viteza de curgere a tetraclorurii de carbon va fi:

$$w = \frac{13}{3\,600 \cdot 61 \cdot 0,785 \cdot 0,027^2} = 0,103 \text{ m/s}$$

Criteriul Reynolds

$$\text{Re} = \frac{w \cdot d \cdot \rho}{\eta} = \frac{0,103 \cdot 0,027 \cdot 1\,563}{0,7 \cdot 10^{-3}} = 6\,100$$

în care: $\rho = 1\,563 \text{ kg/m}^3$ — densitatea tetraclorurii de carbon, la 50°C (tab. IV);

$\eta = 0,7 \cdot 10^{-3} \text{ Pa} \cdot \text{s}$ — viscozitatea dinamică a tetraclorurii de carbon la 50°C (fig. V) $2\,300 < \text{Re} < 10\,000$.

Pentru regim intermediar, la $\text{Re} = 6,1 \cdot 10^3$ din graficul 4-1 găsim:

$$\text{Nu} = 21,0 \text{ Pr}^{0,43} \left(\frac{\text{Pr}}{\text{Pr}_p} \right)^{0,25} = 21,0 \cdot 5,4^{0,43} \cdot \left(\frac{5,4}{6,6} \right)^{0,25} = 41,4$$

în care: $\text{Pr} = 5,4$ — pentru tetraclorură de carbon la 50°C (fig. XIII); $\text{Pr}_p = 6,6$ — la 24°C .

Coefficientul parțial de transmitere a căldurii

$$\alpha = \frac{\text{Nu} \cdot \lambda}{d} = \frac{41,4 \cdot 0,104}{0,027} = 159 \text{ W/(m}^2\text{K)}$$

în care: $\lambda = 0,104 \text{ W/(m} \cdot \text{K)}$ — coeficientul de conductivitate termică a tetraclorurii de carbon la 50°C (fig. X).

b) scurgere peliculară:

În funcție de regimul de curgere, coeficientul parțial se determină cu una din formulele (4-35) sau (4-36). În ambele formule valorile constantelor fizico-chimice trebuie luate la temperatura stratului limită, egală cu $\frac{50 + 24}{2} = 37^\circ\text{C}$.

Viscozitatea dinamică a tetraclorurii de carbon la această temperatură este $0,84 \cdot 10^{-3} \text{ Pa} \cdot \text{s}$, iar densitatea $1\,561 \text{ kg/m}^3$ (tab. IV).

Criteriul Re:

$$\text{Re} = \frac{4G}{\pi \cdot d \cdot n \cdot \eta} = \frac{4 \cdot 13 \cdot 1\,561}{3\,600 \cdot 3,14 \cdot 0,027 \cdot 61 \cdot 0,84 \cdot 10^{-3}} = 5\,200$$

Curgerea peliculei este turbulentă. Se folosește formula (4-35):

$$\text{Ga} = \frac{H^3 \cdot \rho^2 \cdot g}{\eta^2} = \frac{1,25^3 \cdot 1\,561^2 \cdot 9,81}{0,84^2 \cdot 10^{-6}} = 66,1 \cdot 10^{12}$$

Din nomograma din figura XIII, la 37°C se găsește $\text{Pr} = 6$. Atunci:

$$\text{Nu} = 0,01(\text{GaPrRe})^{1/3} = 0,01(66,1 \cdot 10^{12} \cdot 6 \cdot 5\,200)^{1/3} = 12\,700$$

De unde :

$$\alpha_{pel} = \frac{Nu \cdot \lambda}{II} = \frac{12\,700 \cdot 0,109}{1,25} = 1\,110 \text{ W/(m}^2\text{K)}$$

în care : $\lambda = 0,109 \text{ W/(mK)}$ — coeficientul de conductivitate termică a tetraclorurii de carbon la 37°C. Raportul :

$$\frac{\alpha_{pel}}{\alpha} = \frac{1\,110}{159} = 7$$

Astfel, în condițiile exemplului dat, coeficientul parțial de transformare a căldurii la scurgerea peliculară a tetraclorurii de carbon este de 7 ori mai mare decât același coeficient pentru cazul țevilor complet pline.

Exemplul 4-17. Un preîncălzitor de aer este dotat cu un fascicul tubular cu țevi decalate cu diametrul exterior 44,5 mm. Agentul de încălzire circulă prin țevi, iar aerul care se încălzește la presiune atmosferică spală țevile în direcția transversală sub un unghi de 90°. Să se găsească coeficientul parțial de transmitere a căldurii pentru aer dacă temperatura sa medie este 200°C. Viteza aerului în secțiunea țevilor este de 12 m/s.

Rezolvare. Se determină criteriul lui Reynolds :

$$Re = \frac{w \cdot d \cdot \rho}{\eta} = \frac{12 \cdot 0,0445 \cdot 0,745}{0,026 \cdot 10^{-3}} = 15\,300$$

în care :

$$\rho = 1,29 \frac{273}{473} = 0,745 \text{ kg/m}^3$$

$$\eta = 0,026 \cdot 10^{-3} \text{ Pa}\cdot\text{s (fig. VI)}$$

După formula (2-29) :

$$Nu = 0,356 \cdot Re^{0,6} \cdot \epsilon_{\varphi} = 0,356 \cdot 15\,300^{0,6} = 115$$

în care $\epsilon_{\varphi} = 1$ (tab. 4-4).

Coeficientul parțial de transmitere a căldurii va fi :

$$\alpha = \frac{Nu \cdot \lambda}{d} = \frac{115 \cdot 0,0395}{0,0445} = 102 \text{ W/(m}^2\text{K)}$$

în care $\lambda = 0,0395 \text{ W/(m}\cdot\text{K)}$ este coeficientul de conductivitate termică a aerului la 200°C (tab. XXX).

Dacă preîncălzitorul ar fi prezentat șicane transversale în spațiul inter-tubular, atunci $\epsilon_{\varphi} = 0,6$ și coeficientul parțial de transmitere a căldurii ar fi fost $\alpha = 0,6 \cdot 102 = 61 \text{ W/(m}^2\text{K)}$ pentru aceeași viteză de curgere a aerului.

Exemplul 4-18. Alcoolul izopropilic se încălzește într-un rezervor în condițiile convecției libere cu apă fierbinte, trecută cu o pompă printr-un șir de țevi orizontale cu diametrul exterior de 30 mm. Să se determine coeficientul parțial de transmitere a căldurii pentru alcoolul izopropilic, dacă temperatura sa medie este 60°C, iar temperatura medie a suprafeței exterioare a țevilor este 70°C.

Rezolvare. Coeficientul parțial de transmitere a căldurii la mișcarea liberă a lichidului în jurul unor țevi orizontale se calculează cu formula (4-40) :

$$Nu = 0,5 (Gr \cdot Pr)^{0,25} \left(\frac{Pr}{Pr_p} \right)^{0,25}$$

Valorile constantelor ce intră în criteriul $Gr = \frac{d^3 \cdot \rho^2 \cdot \Delta t \cdot g \cdot \beta}{\eta^2}$ se găsesc în literatură [0—24, tab. 1] pentru temperatura determinantă 60°C :

$$\rho = 789 \text{ kg/m}^3$$

$$\eta = 0,8 \cdot 10^{-3} \text{ Pa}\cdot\text{s.}$$

Mărimea $\beta \cdot \Delta t$ se găsește cu ecuația :

$$\beta \cdot \Delta t = \frac{v_{t2} - v_{t1}}{v_{t1}}$$

în care : v_{t2} este volumul specific al alcoolului izopropilic la 70°C ;

v_{t1} — volumul specific al alcoolului izopropilic la 60°C ;

Volumul specific pot fi calculate cu ecuația :

$$v_t = v_0(1 + at + bt^2 + ct^3)$$

În literatură [0—24], pentru alcoolul izopropilic, se dau următoarele valori ale coeficienților (rotunjite) :

$$a = 1,043 \cdot 10^{-3} ; \quad b = 0,443 \cdot 10^{-6} ; \quad c = 2,73 \cdot 10^{-8}$$

Astfel :

$$\begin{aligned} \beta \cdot \Delta t &= \frac{a(t_2 - t_1) + b(t_2^2 - t_1^2) + c(t_2^3 - t_1^3)}{1 + at_1 + bt_1^2 + ct_1^3} = \\ &= \frac{1,043 \cdot 10^{-3}(70 - 60) + 0,443 \cdot 10^{-6}(70^2 - 60^2) + 2,73 \cdot 10^{-8}(70^3 - 60^3)}{1 + 1,043 \cdot 10^{-3} \cdot 60 + 0,443 \cdot 10^{-6} \cdot 60^2 + 2,73 \cdot 10^{-8} \cdot 60^3} = 0,0135. \end{aligned}$$

Criteriul Grashof :

$$Gr = \frac{d^3 \cdot \rho^2 \cdot \beta \cdot \Delta t \cdot g}{\eta^2} = \frac{0,03^3 \cdot 789^2 \cdot 0,0135 \cdot 9,81}{(0,8 \cdot 10^{-3})^2} = 3,46 \cdot 10^6$$

Din nomograma din figura XIII se găsește pentru alcoolul izopropilic :

$$\text{la } 60^\circ\text{C} - Pr = 19$$

$$\text{la } 70^\circ\text{C} - Pr_p = 16,5$$

Urmează că :

$$Nu = 0,5(GrPr)^{0,25} \left(\frac{Pr}{Pr_p} \right)^{0,25} = 0,5(3,46 \cdot 10^6 \cdot 19)^{0,25} \left(\frac{19}{16,5} \right)^{0,25} = 46,4$$

Coefficientul de conductivitate termică al alcoolului izopropilic la 60°C se găsește cu formula (4-8):

$$\lambda_t = \lambda_0[1 - \varepsilon(t - 0)] = 0,154[(1 - 1,4 \cdot 10^{-3} \cdot 60)] = 0,141 \text{ W/(m} \cdot \text{K)}$$

în care $\lambda_0 = 0,154 \text{ W/(m} \cdot \text{K)}$ — coeficientul de conductivitate termică al alcoolului izopropilic la 0°C [0–24];

$\varepsilon = 1,4 \cdot 10^{-3}$ (se ia ca pentru alcool propilic).

Coefficientul parțial de transmitere a căldurii:

$$\alpha = \frac{\text{Nu} \cdot \lambda}{d} = \frac{46,4 \cdot 0,141}{0,03} = 218 \text{ W/(m}^2 \cdot \text{K)}$$

Exemplul 4-19. Să se determine coeficientul parțial și coeficientul total de transmitere a căldurii într-un evaporator de alcool etilic care se încălzește cu abur ($P_{abs} = 3 \text{ at}$).

Alcoolul fierbe în volum mare la presiune atmosferică. Aburul saturant condensează în interiorul unor țevi orizontale cu diametrul 51×3 mm și lungimea de 1,6 m. Se va lua în considerație rezistența termică a peretelui cu depuneri.

Rezolvare. Temperatura de fierbere a alcoolului etilic este 78,4°C. Temperatura de condensare a aburului saturant 132,9°C (tab. LVII).

Diferența medie de temperatură:

$$\Delta t_{med} = 132,9 - 78,4 = 54,5^\circ\text{C} = 54,5 \text{ K}$$

Coefficientul parțial de transmitere a căldurii pentru aburul saturant ce condensează în interiorul țevelor orizontale se găsește cu ecuația (4-50):

$$\alpha_a = 1,36 A q^{0,5} L^{0,35} d^{-0,25} = 1,36 \cdot 7,5 \cdot 1,6^{0,35} \cdot 0,045^{-0,25} \cdot q = 26,1 q^{0,5}$$

în care $A = 7,5$, conform figurii 4-9 la $t = 132,9^\circ\text{C}$.

Coefficientul parțial pentru alcoolul etilic în fierbere se determină cu ecuația (4-51):

$$\alpha_{ae} = b \left(\frac{\lambda^2 \cdot \rho_l}{\eta \cdot \sigma \cdot T_s} \right)^{1/3} \cdot q^{2/3}$$

Constantele fizico-chimice ale alcoolului etilic la 78,4°C sînt:

$\lambda = 0,167 \text{ W/(m} \cdot \text{K)}$ — fig. X

$\eta = 0,45 \cdot 10^{-3} \text{ Pa} \cdot \text{s}$ — fig. V

$\rho_l = 735 \text{ kg/m}^3$ — tab. IV

$\rho_a = \frac{46273}{22,4 \cdot 351,5} = 1,6 \text{ kg/m}^3$

$$\sigma = (\sigma_0 - 0,092t) \cdot 10^{-3} = (24,1 - 0,092 \cdot 78,4) \cdot 10^{-3} = 0,0169 \text{ N/m (tab. XXII)}$$

Valoarea coeficientului $b = 0,0885$ se găsește din fig. 4-11 la $\frac{\rho_l}{\rho_a} = \frac{735}{1,6} = 400$.

Coefficientul parțial pentru alcool etilic:

$$\alpha_{ae} = 0,0885 \left(\frac{0,167^2 \cdot 735}{0,45 \cdot 10^{-3} \cdot 0,0169 \cdot 351,5} \right)^{1/3} q^{0,87} = 1,74 q^{0,87}$$

Suma rezistențelor termice ale peretelui de oțel și depunerilor (tab. XXVIII și XXXI):

$$\Sigma r_p = \frac{\delta}{\lambda_p} + r_{d1} + r_{d2} = \frac{0,003}{46,5} + \frac{1}{5800} + \frac{1}{5800} = 0,00041 \text{ m}^2\text{K/W.}$$

Întrucit la țevile cu diametrul 51×3 mm raportul $\frac{d_i}{d_e} > 0,5$ pentru calculul coeficientului total de transmitere a căldurii K se folosește ecuația (4-64) pentru pereți plani.

$$K = \frac{1}{\frac{1}{\alpha_a} + \Sigma r_p + \frac{1}{\alpha_{ae}}} = \frac{1}{\frac{1}{26,1 \cdot q^{0,5}} + 0,00041 + \frac{1}{1,74 \cdot q^{0,87}}}$$

Conform ecuației (4-63) se găsește:

$$q = K \cdot \Delta t_{med} = \frac{1}{0,0384 q^{0,5} + 41 \cdot 10^{-5} + 0,575 q^{0,33}} \cdot 54,5$$

Se obține ecuația:

$$0,0384 \cdot q^{0,5} + 41 \cdot 10^{-5} \cdot q + 0,575 \cdot q^{0,33} - 54,5 = 0$$

Această ecuație se rezolvă grafic, dînd valori lui q^* (tab. 4-7, în care y reprezintă partea stîngă a ecuației).

După datele din tab. 4-7 se construiește graficul (fig. 4-17) din care la $y = 0$ se găsește $q = 57300 \text{ W/m}^2$.

Coefficientul total de transmitere a căldurii:

$$K = \frac{q}{\Delta t_{med}} = \frac{57300}{54,5} = 1050 \text{ W/(m}^2 \cdot \text{K)}$$

Tabelul 4-7

q	$q^{0,5}$	$q^{0,33}$	y
60 000	245	38,6	1,7
50 000	224	36,4	-1,5
55 000	235	37,5	-1,1

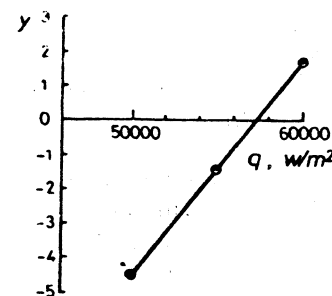


Fig. 4-17. Șchița la exemplul 4-19.

* Pentru a determina ordinul de mărime al mărării căutate q , se consideră orientativ după datele din tabelul 4-7 valoarea lui $K \approx 1200 \text{ W/(m}^2 \cdot \text{K)}$; în acest caz $q = K \cdot \Delta t_{med} \approx 65000 \text{ W/m}^2$.

Revenind găsim coeficienții parțiali :

$$\alpha_a = 26,1 \cdot q^{0,5} = 26,1 \cdot 57 \cdot 300^{0,5} = 6 \, 230 \text{ W/(m}^2 \cdot \text{K)}$$

$$\alpha_{ae} = 1,74 \cdot q^{0,67} = 1,74 \cdot 57 \cdot 300^{0,67} = 2 \, 680 \text{ W/(m}^2 \cdot \text{K)}$$

Verificarea :

$$K = \frac{1}{\frac{1}{6 \, 230} + \frac{1}{41 \cdot 10^8} + \frac{1}{2 \, 680}} = 1 \, 060 \text{ W/(m}^2 \cdot \text{K)}$$

Pentru comparație se dă coeficientul parțial la fierberea alcoolului etilic cu formula aproximativă (4-55) la $p = 1$ ata și $\varphi = 0,45$.

$$\alpha_a = 2,72 \cdot \varphi \cdot p^{0,4} \cdot q^{0,7} = 2,72 \cdot 0,45 \cdot 57 \cdot 300^{0,7} = 2 \, 620 \text{ W/(m}^2 \cdot \text{K)}$$

valoare apropiată celei găsite mai sus.

Verificăm mărimea încărcării termice specifice q_{cr1} cu ecuația (4-54)

$$q_{cr1} = 0,41 \cdot r \sqrt{\rho_a \sqrt{\sigma \cdot g \cdot \rho_l}} = \\ = 0,14 \cdot 849 \cdot 10^3 \cdot 1,6^{0,5} (0,0169 \cdot 9,81 \cdot 735)^{0,25} = 497 \, 000 \text{ W/m}^2$$

în care $r = 849 \cdot 10^3 \text{ J/kg}$ — căldura latentă de vaporizare a alcoolului etilic (tab. XLV).

Încărcarea termică specifică în evaporator în exemplul dat este mult mai mică decât cea critică.

Exemplul 4-20. În țevile unui evaporator cu înălțimea de 4 m fierbe sub vid de 0,64 at la temperatura medie de 80°C o soluție 20% de sulfat de amoniu. Aburul saturant are presiunea de 1,1 ata. Să se determine încărcarea termică specifică. Se va ține seama de rezistența termică a peretelui de oțel ($\delta = 2 \text{ mm}$) și a depunerilor.

Rezolvare.

Constantele fizico-chimice ale soluției 20% de sulfat de amoniu la 80°C sînt [5-2] :

$$\lambda_s = 0,445 \cdot 1,16 = 0,517 \text{ W/(m} \cdot \text{K)};$$

$$\rho_s = 1 \, 051 \text{ kg/m}^3;$$

$$\eta_s = 41 \cdot 10^{-6} \cdot 9,81 = 0,402 \cdot 10^{-3} \text{ Pa} \cdot \text{s};$$

$$\sigma_s = 65,3 \cdot 10^{-3} \text{ N/m (considerînd aceeași variație a lui cu temperatura ca și a apei)};$$

$$\rho_v = \frac{18 \cdot 273 \cdot 0,36}{22,4 \cdot 353} = 0,224 \text{ kg/m}^3.$$

Temperatura de condensare a aburului saturant este $t_c = 101,7^\circ\text{C}$ (tab. LVII).

Diferența medie de temperatură este :

$$\Delta t_{med} = 101,7 - 80 = 21,7^\circ\text{C} = 21,7\text{K}$$

Coeficientul parțial de transmitere a căldurii pentru aburul saturant care condensează se găsește cu relația (4-43, a) :

$$\alpha_v = 1,21 \cdot \lambda_c \cdot \left(\frac{\rho_c^2 \cdot r \cdot g}{\eta_c \cdot H} \right)^{1/3} \cdot q^{-1/3} = 1,21 \cdot 0,683 \cdot \left(\frac{975^2 \cdot 2 \, 257 \cdot 10^3 \cdot 9,81}{0,278 \cdot 10^{-3} \cdot 4} \right)^{1/3} \cdot q^{-1/3} = \\ = 2,17 \cdot 10^5 \cdot q^{-0,33}.$$

Constantele fizico-chimice ale condensatului sînt luate din tab. XXXIX.

Coeficientul parțial de transmitere a căldurii pentru soluția în fierbere se calculează cu relația (4-51) :

$$\alpha_s = b \cdot \left(\frac{\lambda_s^3 \cdot \rho_s}{\eta_s \cdot \sigma_s \cdot T_j} \right)^{1/3} \cdot q^{2/3} = 0,078 \cdot \left(\frac{0,517^3 \cdot 1 \, 051}{0,402 \cdot 10^{-3} \cdot 65,3 \cdot 10^{-3} \cdot 353} \right)^{1/3} \cdot q^{2/3} = 2,43 \cdot q^{0,67}$$

în care valoarea coeficientului $b = 0,078$ s-a determinat pentru $\frac{\rho_s}{\rho_v} = \frac{1 \, 051}{0,224} = 4 \, 700$, conform formulei (4-52) :

$$b = 0,075 \cdot \left[1 + 10 \left(\frac{\rho_s}{\rho_v} - 1 \right)^{-2/3} \right]$$

Suma rezistențelor termice ale peretelui și depunerilor (tab. XXVIII și XXXI) :

$$\Sigma r_p = \frac{\delta_p}{\lambda_p} + \frac{1}{r_{d1}} + \frac{1}{r_{d2}} = \frac{0,002}{46,5} + \frac{1}{5 \, 800} + \frac{1}{5 \, 800} = 3,88 \cdot 10^{-4} \text{ m}^2 \cdot \text{K/W}$$

Coeficientul total de transmitere a căldurii va fi :

$$K = \frac{1}{\frac{1}{\alpha_a} + \sum r_p + \frac{1}{\alpha_s}} = \frac{1}{\frac{1}{2,17 \cdot 10^5 \cdot q^{-0,33}} + 3,88 \cdot 10^{-4} + \frac{1}{2,43 \cdot q^{0,67}}}$$

Încărcarea termică specifică :

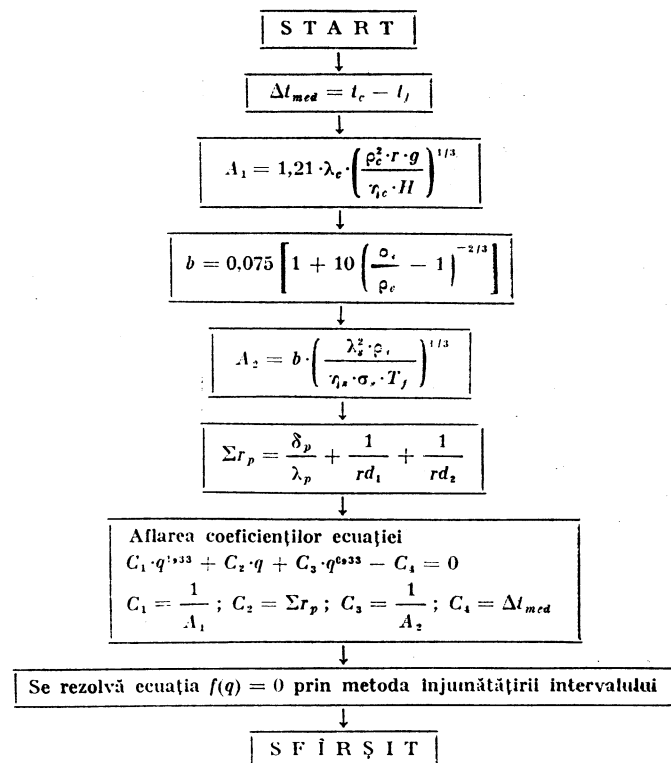
$$q = K \cdot \Delta t_{med} = \frac{21,7}{0,461 \cdot 10^{-5} \cdot q^{0,33} + 3,88 \cdot 10^{-4} + 0,412 \cdot q^{-0,67}}$$

De aici se obține :

$$0,461 \cdot 10^{-5} \cdot q^{1,33} + 3,88 \cdot 10^{-4} \cdot q + 0,412 \cdot q^{0,33} - 21,7 = 0$$

Rezolvînd grafic această ecuație (vezi ex. 4-19) găsim : $q = 20 \, 500 \text{ W/m}^2$.

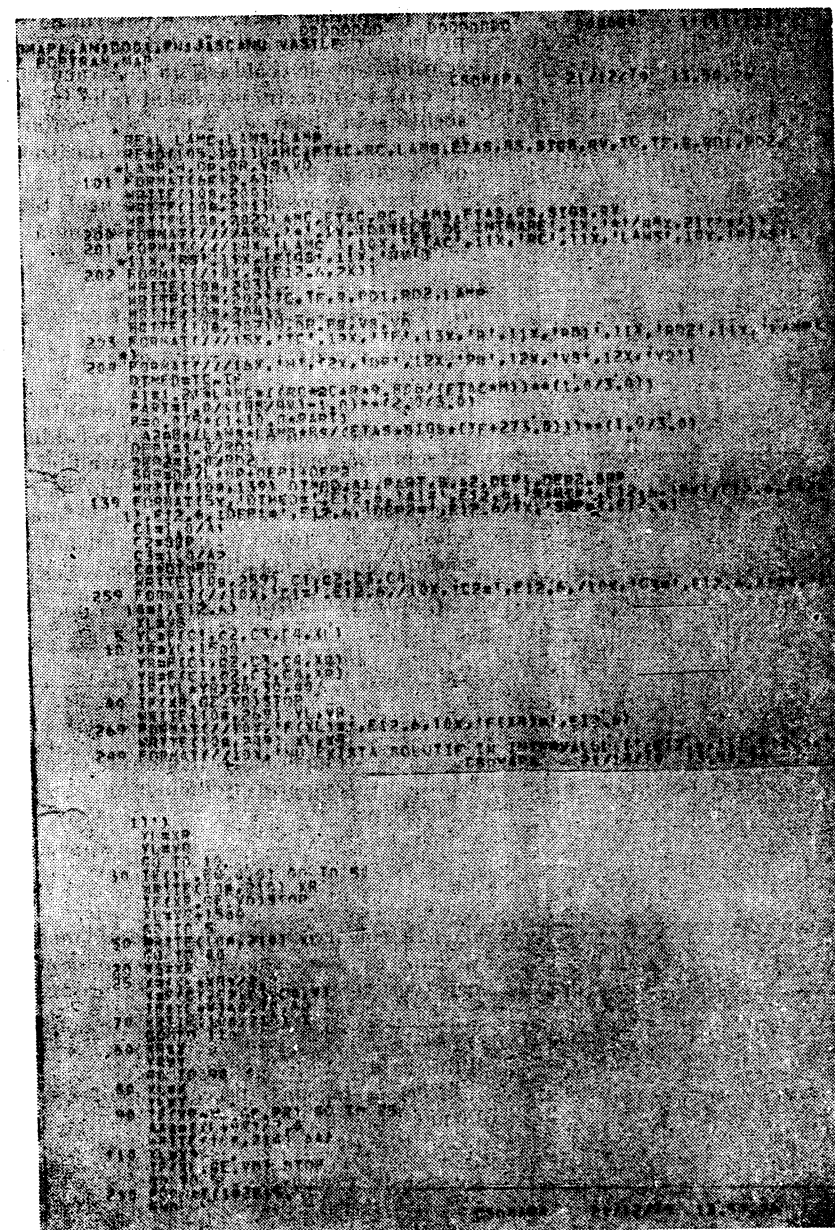
Schema logică de calcul este următoarea :



Tabelul identificatorilor se dă mai jos (tab. 4-8).

Tabelul 4-8

Mărimea	Identifi- catorul	Mărimea	Identifi- catorul
λ _c	LAMC	r	R
η _c	ETAC	rd ₁	RD1
ρ _c	RC	rd ₂	RD2
λ _s	LAMS	λ _p	LAMP
η _s	ETAS	H	H
ρ _s	RS	δ _p	DP
σ _s	SIGS	Precizia	PR
ρ _s	RV	Valoarea maximă	VD
t _c	TC	Valoarea minimă	VS
t _f	TF		



Exemplul 4-21. Să se determine suprafața de schimb de căldură a unui schimbător de căldură în contracurent, în care se răcește un lichid (ulei de absorbție) în debit de 3 t/h, de la 100 la 25°C, cu un lichid rece, care se încălzește de la 20 la 40°C.

Este cunoscut că, coeficientul total de transmitere a căldurii se schimbă cu temperatura uleiului astfel:

$T, ^\circ\text{C}$	100	80	60	40	30	25
$K, \text{W}/(\text{m}^2 \cdot \text{K})$	354	350	342	308	232	166

Căldura specifică a uleiului este $1,67 \cdot 10^3 \text{ J/kg} \cdot \text{K}$.

Rezolvare. Din condiția enunțului, coeficientul total de transmitere a căldurii se schimbă mult în lungul suprafeței de schimb termic; de aceea diferența medie logaritmică de temperatură nu se poate folosi. Se va folosi ecuația transmiterii căldurii sub formă diferențială:

$$G_c c_c dt = -K(T - t) dF, \text{ de unde:}$$

$$F = -G_c c_c \int_{T_i}^{T_f} \frac{dT}{K(T - t)} = G_c c_c \int_{T_i}^{T_f} \frac{dT}{K(T - t)}$$

T — temperatura lichidului cald;
 t — temperatura lichidului rece;

Integrala $\int_{T_i}^{T_f} \frac{dT}{K(T - t)}$ se rezolvă pe cale

grafică.

În cele ce urmează se indică modul în care se găsesc datele, necesare pentru construirea graficului, avînd în ordonată $\frac{1}{K(T - t)}$ și în abscisă temperatura lichidului cald.

De la început, din ecuația bilanțului termic

$$G_c c_c (T_i - T) = G_r c_r (t_f - t)$$

se găsește raportul:

$$\frac{G_c c_c}{G_r c_r} = \frac{t_f - t_i}{T_i - T_f} = \frac{40 - 20}{100 - 25} = 0,267$$

Ca urmare:

$$t = t_f - \frac{G_c c_c}{G_r c_r} (T_i - T) = 40 - 0,267(100 - T)$$

Dindu-se valori pentru T , se găsesc cu această ecuație temperaturile corespunzătoare pentru lichidul rece t . Datele obținute se dau în tab. 4-9, date cu care s-a construit graficul (fig. 4-18).

Tabelul 4-9

Suprafața de sub curba $S = \int_{T_i=25}^{T_f=100} \frac{dT}{K(T-t)}$ se determină aproximativ cu formula				
T	t	$T - t$	K	$\frac{1}{K(T-t)} \cdot 10^4$
100	40,0	60,0	354	0,47
80	34,7	45,3	350	0,63
60	29,3	30,7	342	0,95
40	21,0	16,0	308	2,30
30	21,3	8,7	232	4,96
25	20,0	5,0	166	12,07

Considerind $n = 10$ se întocmește tabelul 4-10, luînd din grafic valoarea ordonatei y .

Cu datele din tab. 4-10 se găsește

$$S = \frac{T_i - T_f}{n} \left(\frac{y_0 + y_n}{2} + \sum_{j=1}^{n-1} y_j \right) = \frac{100 - 25}{10} \left(\frac{12,07 + 0,47}{2} + 12,2 \right) 10^{-4} = 138 \cdot 10^{-4} \text{ m}^2 \text{K/W}$$

Aria suprafeței de schimb termic necesară

$$F = G_c c_c \int_{T_i}^{T_f} \frac{dT}{K(T - t)} = \frac{3000}{3600} 1,67 \cdot 10^3 \cdot 138 \cdot 10^{-4} = 19,2 \text{ m}^2$$

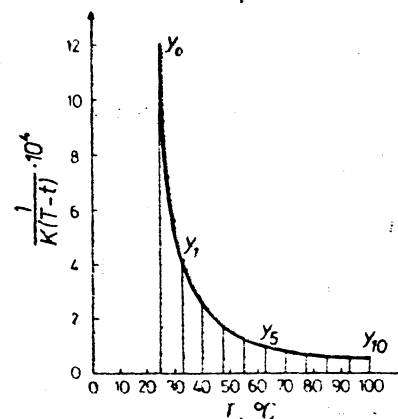


Fig. 4-18. Schița la exemplul 4-21.

Tabelul 4-10

$T, ^\circ\text{C}$	Punctul pe ordonată	$y = \frac{1}{K(T-t)} \cdot 10^4$
25	0	12,07
32,5	1	3,85
40	2	2,30
47,5	3	1,60
55	4	1,13
62,5	5	0,85
70	6	0,74
77,5	7	0,65
85	8	0,58
92,5	9	0,50
100	10	0,47

Determinând aria de sub curbă prin planimetrare se găsește $F = 18,9 \text{ m}^2$. Pentru comparație se calculează aria suprafeței de schimb termic dacă se consideră constantă valoarea coeficientului total de transfer de căldură K (la temperatura medie) și se determină diferența medie logaritmică de temperatură :

$$\frac{100 \rightarrow 25}{40 \leftarrow 20}$$

$$\Delta t_M = 60 \quad \Delta t_m = 5$$

$$\Delta t_{med} = \frac{60 - 5}{2,3 \lg \frac{60}{5}} = 22,2^\circ\text{C} = 22,2 \text{ K}$$

Temperatura medie a lichidului care se răcește :

$$T_m = t_m + \Delta t_{med} = 30 + 22,2 = 52,2^\circ\text{C}$$

La această temperatură $K = 329 \text{ W}/(\text{m}^2\text{K})$.

Fluxul termic transmis :

$$Q = \frac{3000}{3600} 1,67 \cdot 10^3 (100 - 25) = 104500 \text{ W}$$

Suprafața de schimb termic a schimbătorului de căldură va fi :

$$F = \frac{Q}{K \cdot \Delta t_{med}} = \frac{104500}{329 \cdot 22,2} = 14,3 \text{ m}^2$$

Exemplul 4-22. Să se determine pierderile de căldură prin radiație ale suprafeței exterioare a unui aparat din oțel, de formă cilindrică, care se găsește într-o încăpere ai cărei pereți sint vopșiți cu vopsea de ulei. Dimensiunile aparatului : $H = 2 \text{ m}$, $D = 1 \text{ m}$. Dimensiunile încăperii : înălțime 4 m , lungime 10 m , lățime 6 m . Temperatura peretelui aparatului este 70°C , iar a aerului din încăpere 20°C .

Să se determine, de asemenea, pierderile totale de căldură ale aparatului prin radiație și convecție.

Rezolvare :

Pierderile de căldură prin radiație se determină cu relațiile (4-56) și (4-57) :

$$Q_r = C_{1-2} F_1 \left[\left(\frac{T_1}{100} \right)^4 - \left(\frac{T_2}{100} \right)^4 \right]$$

$$C_{1-2} = \frac{1}{\frac{1}{C_1} + \left(\frac{1}{C_2} - \frac{1}{C_0} \right) \frac{F_1}{F_2}}$$

În cazul analizat :

$$T_1 = 273 + 70 = 343 \text{ K}$$

$$T_2 = 273 + 20 = 293 \text{ K}$$

$$F_1 = \pi \cdot D \cdot H + 2 \cdot 0,785 D^2 = 3,14 \cdot 1 \cdot 2 + 2 \cdot 0,785 \cdot 1^2 = 7,85 \text{ m}^2$$

$$F_2 = 2(4 \cdot 6 + 4 \cdot 10 + 6 \cdot 10) = 248 \text{ m}^2$$

Intrucît $F_2 \ll F_1$, coeficientul redus de radiație $C_{1-2} \approx C_1$.

Din datele tab. XXIV se găsește pentru oțel oxidat valoarea medie a coeficientului de emisie $\epsilon = 0,85$. Ca urmare, $C_1 = 5,7 \cdot 0,85 = 4,84 \text{ W}/(\text{m}^2\text{K})$.

Pierderile de căldură prin radiație :

$$Q_r = C_1 F_1 \left[\left(\frac{T_1}{100} \right)^4 - \left(\frac{T_2}{100} \right)^4 \right] = 4,84 \cdot 7,85 (3,43^4 - 2,93^4) = 2490 \text{ W}$$

Pierderile totale de căldură prin convecție și radiație se găsesc cu formula :

$$Q = \alpha \cdot F_1 \cdot (t_p - t_a)$$

unde :

α — coeficientul total de transmitere a căldurii prin convecție și radiație, care se calculează cu relația (4-61) :

$$\alpha = 9,74 + 0,07 \cdot \Delta t = 9,74 + 0,07(70 - 20) = 13,2 \text{ W}/(\text{m}^2\text{K})$$

Pierderile totale de căldură ale aparatului :

$$Q = 13,2 \cdot 7,85 (70 - 20) = 5200 \text{ W}$$

Exemplul 4-23. Să se determine grosimea stratului de izolație a aparatului a cărui temperatură la interior este 154°C . Se folosește ca material izolant sovelitul. Temperatura suprafeței exterioare a izolației nu trebuie să depășească 40°C .

Rezolvare.

Se consideră temperatura aerului înconjurător $t_0 = 20^\circ\text{C}$ și se determină coeficientul total de transfer de căldură prin radiație și convecție cu relația (4-61) :

$$\alpha = 9,74 + 0,07 \cdot \Delta t = 9,74 + 0,07(40 - 20) = 11,1 \text{ W}/(\text{m}^2\text{K})$$

Fluxul termic unitar :

$$q = \alpha \cdot (t_p - t_0) = 11,1(40 - 20) = 222 \text{ W}/\text{m}^2$$

Făcînd aproximarea că toată rezistența termică este datorată stratului izolator se poate scrie :

$$q = K(t_i - t_0) \cong \frac{\lambda}{\delta} (t_i - t_0)$$

de unde grosimea izolației :

$$\delta = \frac{\lambda}{q} (t_i - t_0) = \frac{0,098}{222} (154 - 20) = 0,059 \text{ m}$$

În care $\lambda = 0,098 \text{ W}/(\text{m}\cdot\text{K})$ reprezintă coeficientul de conductibilitate termică a sovelitului (tab. XXVIII).

Exemplul 4-24.

1400 kg toluen la 105°C se găsesc într-un rezervor prevăzut cu o serpentină prin care circulă apă de răcire. Aria suprafeței de schimb termic a serpentinei este $3,2 \text{ m}^2$. Apa intră în serpentină cu temperatura de 13°C .

Cît timp este necesar pentru răcirea toluenului pînă la 25°C, dacă se consideră valoarea coeficientului total de transfer termic constantă și egală cu 255 W/(m²·K)? Să se determine și debitul apei de răcire.

Rezolvare.

Rezolvarea problemei în procesul nestaționar de răcire a lichidului s-a expus în [0-1].

Se cunosc: $t_{1i} = 105^\circ\text{C}$; $t_{1f} = 25^\circ\text{C}$; $t_{2i} = 13^\circ\text{C}$.

Considerind $t_{2f} = 18^\circ\text{C}$ se determină constanta A pentru întregul proces de răcire

$$A = \frac{t_{1f} - t_{2f}}{t_{1i} - t_{2i}} = \frac{25 - 13}{105 - 13} = 1,715$$

Din ecuația

$$\frac{KF}{W_2} = 2,3 \lg A$$

în care $W_2 = G_a \cdot c_a$, se găsește debitul de apă:

$$G_a = \frac{KF}{2,3 \lg A \cdot c_a} = \frac{255 \cdot 3,2}{2,3 \lg 1,715 \cdot 4190} = 0,362 \text{ kg/s sau } 1300 \text{ kg/h}$$

Durata răcirii τ se găsește cu relația:

$$\begin{aligned} \tau &= -\frac{W_1}{W_2} 2,3 \lg \frac{t_{1f} - t_{2i}}{t_{1i} - t_{2i}} \frac{A}{A-1} = \\ &= -\frac{1400 \cdot 1,8 \cdot 10^3}{0,362 \cdot 4190} 2,3 \lg \frac{25 - 13}{105 - 13} \cdot \frac{1,715}{0,715} = 8,09 \cdot 10^5 \text{ s sau } 2,25 \text{ h} \end{aligned}$$

în care

$$W_1 = G_t \cdot c_t = 1400 \cdot 1,8 \cdot 10^3 \text{ J/K}$$

$c_t = 1,8 \cdot 10^3 \text{ J/(kg} \cdot \text{K)}$ — căldura specifică a toluenului la temperatura medie 65°C (fig. XI).

7. **Exemplul 4-25.** Zeolitul NaX se supune desorbției — încălzirii în curent de aer cald într-un aparat cu funcționare continuă cu strat de zeolit în suspensie. Temperatura medie a aerului este 190°C. Zeolitul vine în aparat cu temperatura inițială de 20°C. Diametrul granulelor de zeolit este de 4 mm, densitatea zeolitului 1100 kg/m³, căldura specifică 870 J/(kg·K), coeficientul de conductivitate termică 0,24 W/(m·K). Raportul dintre viteza aerului și viteza critică (de fluidizare) este 4.

Să se determine timpul necesar pentru încălzirea granulelor de zeolit de la 20°C la temperatura de 185°C.

Rezolvare.

Încălzirea granulelor de zeolit reprezintă un proces de conducție în regim nestaționar printr-un corp solid.

Rezolvarea ecuației conducției nestaționare (considerind caracteristicile termofizice ale corpului care se încălzește constante)

$$a \cdot \nabla^2 t = \frac{\partial t}{\partial \tau}$$

împreună cu condițiile inițiale și la limită [4-5] conduce la ecuația

$$\frac{t_f - t_i}{t_{f,m} - t_i} = f(\text{Bi}, \text{Fo})$$

la care membrul II este o funcție compusă de criteriile Biot (Bi) și Fourier (Fo).

Pentru granule cu formă sferică de rază R

$$\text{Bi} = \frac{\alpha \cdot R}{\lambda_s}; \quad \text{Fo} = \frac{a \cdot \tau}{R^2} = \frac{\lambda_s \cdot \tau}{c_s \cdot \rho_s \cdot R^2}$$

În ultimele ecuații:

$t_i, t_f, t_{f,m}$ — temperatura inițială și finală a corpului care se încălzește; temperatura mediului înconjurător;
 α — coeficientul de transfer de căldură pentru convecție de la mediul înconjurător la suprafața corpului care se încălzește;
 λ_s, c_s, ρ_s — coeficientul de conductibilitate termică, căldura specifică și densitatea corpului solid.

În figura 4-19 se dă un grafic al ecuației (a) pentru sfere [4-1, 4-11].

Se determină coeficientul α de transfer de căldură prin convecție de la aer la suprafața granulei de zeolit din stratul în suspensie.

Se calculează valoarea criteriului lui Arhimede cu ecuația (3-3):

$$\text{Ar} = \frac{d^3 \cdot \rho_s \cdot \rho_m \cdot g}{\eta_m^2} = \frac{0,004^3 \cdot 1100 \cdot 0,763 \cdot 9,81}{25,7^2 \cdot 10^{-12}} = 8 \cdot 10^5$$

unde:

$\rho_m = 0,763 \text{ kg/m}^3$ și $\eta_m = 25,7 \cdot 10^{-6} \text{ Pa} \cdot \text{s}$ — densitatea și viscozitatea dinamică a mediului (aerului) la 190°C [4-1].

În graficul din figura 3-8 se găsește pentru $\text{Ar} = 8 \cdot 10^5$ și $\epsilon = 0,4$ valoarea criteriului lui Liașenko $\text{Li}_{cr} = 2,75$.

Din ecuația (3-4, a) se determină viteza critică de fluidizare:

$$w_{cr} = \sqrt[3]{\frac{\text{Li}_{cr} \cdot \eta_m \cdot g \cdot \rho_s}{\rho_m}} = \sqrt[3]{\frac{2,75 \cdot 25,7 \cdot 10^{-6} \cdot 9,81 \cdot 1100}{0,763}} = 1,09 \text{ m/s}$$

Viteza de lucru a aerului (raportată la întreaga secțiune transversală a aparatului):

$$w = A w_{cr} = 4,36 \text{ m/s}$$

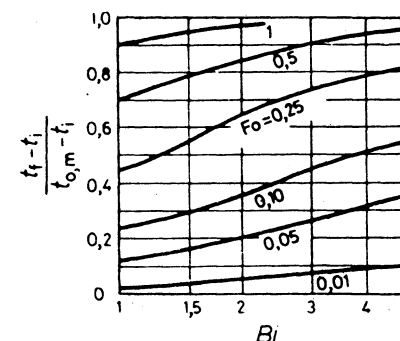


Fig. 4-19. Schița la exemplul 4-25.

La această viteză criteriul lui Liașcenko va fi:

$$Li = \frac{w^3 \cdot \rho_m^2}{\eta_m \cdot \rho_s \cdot g} = \frac{4,36^3 \cdot 0,763^2}{25,7 \cdot 10^{-6} \cdot 1 \cdot 100 \cdot 9,81} = 174$$

Din figura 3-8 pentru $Ar = 8 \cdot 10^5$ se găsește porozitatea stratului în suspensie $\varepsilon = 0,67$.

Criteriul lui Reynolds pentru curentul de aer:

$$Re = \frac{w \cdot d \cdot \rho_m}{\varepsilon \cdot \eta_m} = \frac{4,36 \cdot 0,004 \cdot 0,763}{0,67 \cdot 25,7 \cdot 10^{-6}} = 773$$

Se determină criteriul Nu cu ecuația dată în [0-1]

$$Nu = 0,4Re^{0,67} Pr^{0,33} = 0,4 \cdot 773^{0,67} \cdot 0,681^{0,33} = 30,2$$

Coefficientul parțial de transfer termic prin convecție de la aer la suprafața granulelor:

$$\alpha = \frac{Nu \cdot \lambda_m}{d} = \frac{30,2 \cdot 0,0385}{0,001} = 290 \text{ W/(m}^2 \cdot \text{K)}$$

în care: $\lambda_m = 0,0385 \text{ W/(m} \cdot \text{K)}$ — coeficientul de conductibilitate termică a aerului la 190°C [4-1].

Criteriul lui Biot:

$$Bi = \frac{\alpha \cdot R}{\lambda_s} = \frac{290 \cdot 0,002}{0,24} = 2,42$$

Simplexul diferenței de temperatură:

$$\frac{t_f - t_i}{t_{f,m} - t_i} = \frac{185 - 20}{190 - 20} = 0,97$$

Cu aceste date găsim în graficul din figura 4-19 valoarea criteriului lui Fourier, $Fo = 1$, din care se poate determina timpul de încălzire a granulelor de zeolit:

$$\tau = \frac{Fo_{ex} \cdot \rho_s \cdot R^2}{\lambda_s} = \frac{1 \cdot 870 \cdot 1 \cdot 100 \cdot 0,002^2}{0,24} \approx 16 \text{ s}$$

4.3. PROBLEME

4-1. De câte ori crește rezistența termică a peretelui unei serpentine de oțel cu diametrul $38 \times 2,5 \text{ mm}$, dacă se acoperă cu un strat de email cu grosimea de $0,5 \text{ mm}$?

Se va considera peretele plan. Coeficientul de conductivitate termică a emailului este $1,05 \text{ W/(m} \cdot \text{K)}$.

4-2. O conductă de abur cu lungimea de 40 m , cu diametrul $51 \times 2,5 \text{ mm}$ este acoperită cu un strat izolator cu grosimea de 30 mm ; temperatura suprafeței exterioare a izolației $t_2 = 45^\circ\text{C}$, iar a celei interioare $t_1 = 175^\circ\text{C}$. Să se determine cantitatea de căldură pierdută în timp de o oră. Coeficientul de conductivitate termică a izolației $\lambda = 0,116 \text{ W/(m} \cdot \text{K)}$.

4-3. O conductă de oțel cu diametrul $60 \times 3 \text{ mm}$ izolată cu un strat de plută cu grosimea de 30 mm , iar peste acesta un strat de sovelit (85% oxid de magneziu + 15% azbest) cu grosimea de 40 mm . Temperatura peretelui țevii este -110°C , iar a suprafeței exterioare a izolației 10°C . Să se calculeze pierdere orară de frig pe metru linar de conductă.

Probleme

4-4. Cum se modifică pierderea de frig în condițiile problemei anterioare, dacă stratul interior este de sovelit ($\delta = 40 \text{ mm}$), iar stratul exterior din plută ($\delta = 30 \text{ mm}$)?

4-5. Să se găsească temperatura suprafeței interioare a zidăriei unei autoclave (fig. 4-20), dacă temperatura la suprafața ei exterioară este 35°C . Grosimea zidăriei este de 260 mm . Un termometru introdus la adâncimea de 50 mm de la suprafața exterioară indică temperatura de 70°C .

4-6. Să se calculeze coeficienții de conductivitate termică pentru: a) cloroform lichid la $t = 20^\circ\text{C}$; b) bioxid de sulf la $t = 160^\circ\text{C}$ și $p = 1 \text{ at}$; c) soluție apoasă de clorură de calciu 30%, a cărei căldură specifică este $2,72 \cdot 10^3 \text{ J/(kg} \cdot \text{K)}$.

4-7. Trebuie supuse evaporării 1 600 kg/h lichid cu temperatura de fierbere $t = 137^\circ\text{C}$ și care intră în evaporator la această temperatură. Căldura latentă de evaporare a lichidului este $r = 377 \cdot 10^3 \text{ J/kg}$.

Temperatura aburului de încălzire nu trebuie să fie mai mică de 150°C . Să se determine debitul de abur pentru încălzire: a) saturant cu $p = 4 \text{ at}$; b) supraîncălzit până la 250°C , $p = 3 \text{ at}$. Căldura specifică a aburului supraîncălzit este $2,14 \cdot 10^3 \text{ J/(kg} \cdot \text{K)}$.

Reprezentați procesul modificării stării aburului de încălzire pe diagrama $T-S$. Condensatul aburului de încălzire se elimină la temperatura de condensare.

4-8. Până la ce temperatură se vor încălzi 2 t soluție de clorură de calciu, dacă cantitatea de abur de încălzire ($p_{abs} = 2 \text{ at}$) în $2,5$ ore este 200 kg iar cantitatea de căldură pierdută în mediul înconjurător este în medie 2 030 W ? Temperatura inițială a soluției este 10°C . Căldura specifică a soluției este $2,5 \cdot 10^3 \text{ J/(kg} \cdot \text{K)}$.

4-9. Să se determine cantitatea de căldură transmisă într-un condensator în contracurent, în care condensează 850 kg/h vapori de sulfură de carbon la presiune atmosferică. Vaporii de sulfură de carbon vin în condensator cu temperatura de 90°C . Sulfura de carbon lichid părăsește condensatorul la o temperatură cu 8°C mai mică decât temperatura de condensare. Căldura specifică a vaporilor de sulfură de carbon este $0,67 \cdot 10^3 \text{ J/(kg} \cdot \text{K)}$.

4-10. Într-un condensator în contracurent intră 120 kg/h vapori saturanți de bioxid de carbon la presiunea $p_{abs} = 60 \text{ at}$. Bioxidul de carbon lichid iese din condensator la aceeași presiune și la temperatura de condensare. Diferența minimă de temperatură dintre bioxidul de carbon și apă în condensator fiind de 5 grade, să se determine debitul necesar de apă, considerând că aceasta intră în condensator cu temperatura de 10°C .

4-11. 1 930 kg/h alcool butilic trebuie răcite de la 90 până la 50°C într-un schimbător de căldură în contracurent cu aria suprafeței de schimb termic de 6 m^2 . Răcirea se face cu apă, a cărei temperatură inițială este 18°C . Coeficientul total de transmitere a căldurii este $230 \text{ W/(m}^2 \cdot \text{K)}$; diferența medie de temperatură se va considera cea aritmetică. Cîți m^3 de apă sînt necesari orar pentru realizarea răcirii alcoolului butilic?

4-12. O soluție concentrată fierbinte iese dintr-un evaporator cu temperatura de 106°C și se utilizează pentru preîncălzirea până la 50°C a soluției reci diluate, care intră la evaporare cu temperatura de 15°C . Soluția concentrată se răcește până la 60°C . Să se determine diferența medie de temperatură pentru cazul cînd preîncălzirea se face în contracurent și în echicurent.

4-13. Într-un schimbător de căldură multitubular cu 4 treceri în spațiul tubular și o trecere în spațiul intertubular (fig. 4-21) se răcește toluen de la 106 la 30°C cu ajutorul apei. Apa, care circulă prin țevi, se încălzește de la 11 la 24°C . Să se determine diferența medie de temperatură a schimbătorului de căldură.

4-14. Într-un depozit de utilaj se găsește un schimbător de căldură multitubular format din 19 țevi de alamă cu diametrul $18 \times 2 \text{ mm}$, cu lungimea de $1,2 \text{ m}$. Să se calculeze dacă suprafața schimbătorului de căldură este suficientă pentru condensarea a 350 kg/h vapori de alcool etilic cunoscîndu-se: Fig. 4-21. Schița la problema 4-13.

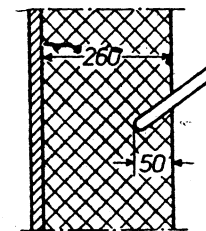
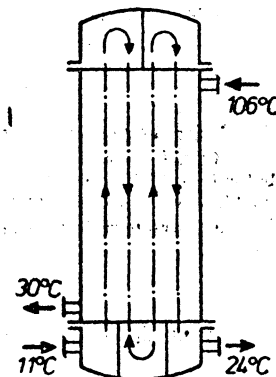


Fig. 4-20. Schița la problema 4-5.



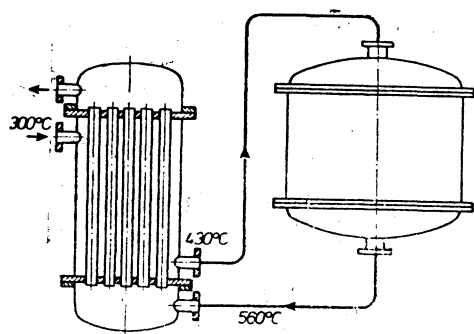


Fig. 4-22. Schița la problema 4-15.

Pierderile de căldură prin mantaua schimbătorului de căldură reprezintă 10% din cantitatea de căldură primită de gazul care se încălzește. Să se determine coeficientul total de transmitere a căldurii în schimbătorul de căldură.

4-16. Să se determine coeficientul total de transmitere a căldurii într-un schimbător de căldură spiral, cunoscând următoarele date: aria suprafeței de schimb 48 m^2 ; în aparat se încălzesc $85,5 \text{ t/h}$ apă de la 77 la 95°C ; încălzirea se face cu abur saturant la presiunea $0,23 \text{ at}$.

4-17. O coloană de rectificare pentru aer lichid este acoperită cu un strat de izolație termică din vată de zgură cu grosimea de 250 mm . Temperatura lichidului în interiorul coloanei este -190°C , temperatura aerului înconjurător 20°C . Să se determine cantitatea de căldură care trece din aerul înconjurător în coloană printr-un m^2 de suprafață dacă se neglijează rezistențele termice de partea lichidului, a aerului și rezistența termică a peretelui metalic al coloanei.

4-18. Cum variază coeficientul total de transmitere a căldurii, dacă țevile de oțel cu diametrul $38 \times 2,5 \text{ mm}$ se înlocuiesc cu țevi de cupru de aceeași dimensiuni:

a) într-un calorifer cu abur pentru încălzirea aerului în care:

$$\alpha_{\text{aer}} = 41 \text{ W}/(\text{m}^2 \cdot \text{K})$$

$$\alpha_{\text{abur}} = 11\,600 \text{ W}/(\text{m}^2 \cdot \text{K})$$

b) într-un evaporator, în care:

$$\alpha_{\text{soluție în fierbere}} = 2\,320 \text{ W}/(\text{m}^2 \cdot \text{K})$$

$$\alpha_{\text{abur de încălzire}} = 11\,600 \text{ W}/(\text{m}^2 \cdot \text{K})$$

Depunerile de pe suprafețe se neglijează.

4-19. Cum variază valoarea coeficientului total de transmitere a căldurii într-un schimbător de căldură cu țevi de oțel cu grosimea de 3 mm , dacă pe suprafața țevelor se depune un strat de crustă de piatră cu grosimea de 2 mm ;

a) într-un răcitor cu apă pentru gaze, în care:

$$\alpha_{\text{gaze}} = 58 \text{ W}/(\text{m}^2 \cdot \text{K})$$

$$\alpha_{\text{apă}} = 580 \text{ W}/(\text{m}^2 \cdot \text{K})$$

b) într-un evaporator, în care:

$$\alpha_{\text{sol. în fierbere}} = 2\,780 \text{ W}/(\text{m}^2 \cdot \text{K})$$

$$\alpha_{\text{abur de încălzire}} = 11\,600 \text{ W}/(\text{m}^2 \cdot \text{K})$$

temperatura inițială a apei 15°C și finală 35°C . Se va presupune că alcoolul condensează la presiunea atmosferică, iar alcoolul lichid este evacuat la temperatura de condensare.

4-15. Un schimbător de căldură multitubular în contracurent (fig. 4-22), așezat înaintea unui aparat de reacție dintr-o fabrică de acid sulfuric, are o suprafață de schimb de căldură de 360 m^2 . Gazul purificat de la cuptoarele de pirită intră în spațiul intertubular al schimbătorului de căldură cu temperatura de 300°C și iese cu temperatura de 430°C . Gazul fierbinte din aparatul de reacție intră în țevile schimbătorului de căldură cu temperatura de 560°C . Gazul are debitul 10 t/h , căldura specifică medie a acestuia fiind $1,05 \cdot 10^3 \text{ J}/(\text{kg} \cdot \text{K})$.

4-20. Ce încercare termică specifică maximă (W/m^2) poate exista într-un evaporator pentru toluen, dacă țevile de oțel ale evaporatorului cu grosime de 4 mm sint ruginite pe ambele părți. Grosimea unui strat de rugină este de $0,6 \text{ mm}$. Evaporatorul se încălzește cu abur saturant ($p = 3 \text{ at}$). Toluenu fierbe la presiunea atmosferică. Demonstrați că rezistența termică a peretelui și a celor două straturi de rugină este considerabil mai mare decât suma celorlalte rezistențe termice.

4-21. Să se determine aria suprafeței de schimb de căldură necesară unui schimbător de căldură în contracurent pentru răcirea de $0,85 \text{ m}^3/\text{h}$ sulfură de carbon de la temperatura de fierbere la presiune atmosferică la 22°C . Apa de răcire se încălzește de la 14 la 25°C ; $\alpha_{\text{H}_2\text{O}} = 270 \text{ W}/(\text{m}^2 \cdot \text{K})$; $\alpha_{\text{H}_2\text{S}} = 720 \text{ W}/(\text{m}^2 \cdot \text{K})$. Grosimea peretelui țevii este de 3 mm . Se vor considera țevile ruginite și cu un strat de piatră $r_{\text{piatră}} = 0,00069 \text{ m}^2 \cdot \text{K}/\text{W}$. Să se determine, de asemenea, debitul apei de răcire.

4-22. Metanul cu presiunea de 5 at trece prin spațiul intertubular a unui schimbător de căldură cu manta, paralel cu țevile, cu viteza de $4,6 \text{ m/s}$. Temperatura medie a metanului este 75°C . Schimbătorul de căldură este format din 37 țevi cu diametrul $18 \times 2,0 \text{ mm}$ montate într-o manta cu diametrul interior de 190 mm .

Să se determine coeficientul parțial de transmitere a căldurii prin convecție.

4-23. Să se determine coeficientul parțial de transmitere a căldurii prin convecție pentru acid sulfuric 98% , care circulă prin spațiul inelar (intertubular) al unui schimbător de căldură (țevă în țevă) cu viteza de $0,7 \text{ m/s}$.

Temperatura medie a acidului este 70°C , temperatura medie a peretelui este 60°C . Țeava exterioră a schimbătorului are diametrul $54 \times 4,5 \text{ mm}$, iar cea interioară — $26 \times 3 \text{ mm}$.

4-24. $3\,700 \text{ kg/h}$ alcool metilic se preîncălzesc de la 10 la 50°C , trecind printr-un schimbător de căldură multitubular format din 19 țevi cu diametrul de $16 \times 2 \text{ mm}$.

Să se determine coeficientul parțial de transmitere a căldurii, dacă temperatura peretelui se consideră 60°C (alcoolul circulă prin țevi).

4-25. Aerul la presiune atmosferică se încălzește într-un preîncălzitor tubular cu abur, confecționat din țevi cu diametrul $26 \times 3 \text{ mm}$, la temperatura medie de 60°C .

Să se compare coeficienții totali de transmitere a căldurii în două cazuri:

1) aerul circulă prin țevi ($L/d > 50$), aburul de încălzire condensează în spațiul intertubular (fig. 4-23, a);

2) aerul circulă prin spațiul intertubular, prevăzut cu șicane transversale, aburul condensează în țevi (fig. 4-23, b). În ambele cazuri se va considera: viteza aerului — 10 m/s , $\alpha_{\text{abur}} = 11\,000 \text{ W}/(\text{m}^2 \cdot \text{K})$. Țevile sint așezate decalat.

4-26. Să se determine coeficientul parțial de transmitere a căldurii pentru etilenă care se răcește la presiunea absolută de 2 at de la 80 la 30°C în spațiul intertubular a unui schimbător de căldură multitubular prevăzut cu șicane. Țevile cu diametrul $32 \times 3 \text{ mm}$ sint dispuse decalat. Viteza etilenei (în secțiunea cea mai îngustă a fascicolului) este $7,5 \text{ m/s}$.

4-27. La schimb de căldură între două fluide în regiune turbulent de curgere ($Re > 10\,000$), primul fluid are $\alpha_1 = 230 \text{ W}/(\text{m}^2 \cdot \text{K})$, iar al doilea $\alpha_2 = 400 \text{ W}/(\text{m}^2 \cdot \text{K})$.

De câte ori crește coeficientul total de transfer termic dacă viteza primului fluid crește de două ori, iar a celui de al doilea de 3 ori (celelalte condiții rămânând neschimbate). Se va neglija rezistența termică a peretelui suprafeței de schimb termic.

4-28. Un schimbător de căldură multitubular este constituit din 91 țevi cu diametrul $57 \times 3 \text{ mm}$ și înălțimea de 4 m . Pe suprafața interioară a țevelor curge o peliculă de apă în cantitate de $52 \text{ m}^3/\text{h}$, care se încălzește de la 18 la 25°C . Temperatura medie a suprafeței interioare a țevelor este 26°C . Să se determine coeficientul parțial de transmitere a căldurii.

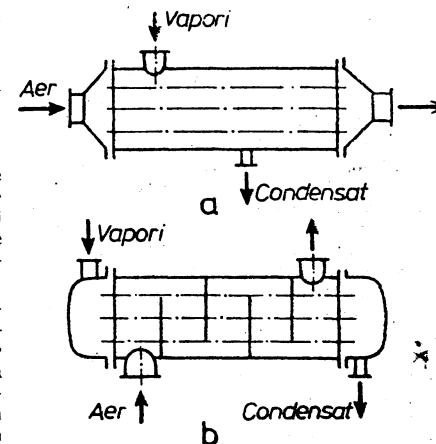


Fig. 4-23. Schița la problema 4-23.

4-29. Pe un metru liniar lățime a peretelui vertical al unui răcitor pelicular se scurge o cantitate de 2,1 l/s acid sulfuric 60%. Răcitorul are 5 m înălțime.

Temperatura medie a suprafeței peretelui este de 24°C, iar a acidului 50°C. Să se calculeze coeficientul parțial de transmitere a căldurii pentru acid, dacă coeficientul conductibilității sale termice este 0,43 W/(m·K).

4-30. Se încălzește apă în condițiile curgerii libere (convecției naturale). Diametrul exterior al țevii orizontale de încălzire este 76 mm. Să se determine coeficientul parțial al transmiterii căldurii, dacă temperatura suprafeței țevii se poate lua 45°C, iar temperatura medie a apei este 25°C.

4-31. Să se calculeze coeficientul parțial de transmitere a căldurii la fierberea unei soluții apoase de clorură de calciu 30% la presiune atmosferică.

Diferența de temperatură între suprafața de încălzire și soluția în fierbere este 12 K. 4-32. În spațiul intertubular al unui schimbător de căldură multitubular format din 266 țevi cu diametrul 25 × 2 mm condensează la presiune atmosferică 4 t/h vapori saturați de alcool metilic. Să se calculeze coeficientul parțial de transfer de căldură.

4-33. Pe suprafața exterioară a unui fascicol decalat de țevi orizontale condensează abur saturant.

Fascicolul are 10 rinduri de țevi cu diametrul exterior 30 mm. Temperatura de condensare este 180°C. Să se determine coeficientul parțial mediu de transfer termic, considerând temperatura suprafeței exterioare a țevilor 172°C. Aburul conține 0,5% aer (masic).

4-34. Într-un schimbător de căldură multitubular, prin țevi cu diametrul 46 × 3 mm circulă apă cu viteza 0,7 m/s, care se încălzește. Să se calculeze coeficientul parțial de transmitere a căldurii, dacă temperatura medie a suprafeței țevilor în contact cu apa este 90°C, iar temperatura medie a apei este 46°C.

4-35. Printr-o serpentină circulă 1,5 t/h toluen, care se răcește de la 90°C. Răcirea, în contracurent, se realizează cu apă, care se încălzește de la 15 la 40°C. Țeava serpentinei este din oțel, având diametrul 57 × 3,5 mm; $\alpha_{spa} = 580 \text{ W/(m}^2\cdot\text{K)}$. Diametrul spirei serpentinei este 0,4 m. Să se calculeze lungimea necesară a serpentinei și debitul de apă. Rezistența termică a peretelui cu depuneri se va lua 0,0007 (m²·K)/W, iar raportul Pr/Pr_p pentru toluen 0,75.

4-36. Într-un calorifer cu abur se încălzește de la 2° la 90°C 5 200 m³/h aer (considerat în condiții normale) la presiune atmosferică. Caloriferul este constituit din 151 țevi de oțel cu diametrul 38 × 3 mm. Aerul circulă prin țevi, iar aburul de încălzire prin spațiul intertubular. Presiunea aburului este 2 at. Să se determine lungimea necesară a țevilor și debitul de abur de încălzire, dacă titlul său este 6%.

4-37. 10 t/h vapori saturați de n-hexan trebuie condensați la 70°C. Răcirea condensatorului se poate realiza: a) cu apă, care se încălzește de la 16° la 36°C; b) cu aer, care se încălzește de la 25° la 48°C. Coeficientul parțial de transmitere a căldurii pentru vaporii de n-hexan în ambele cazuri se va considera 1 700 W/(m²·K). Coeficienții parțiali pentru apă și aer se vor lua după valorile orientative din tabelul 4-5 (valorile medii), pentru apă — pentru curgere turbulentă prin țevi, iar pentru aer — pentru dispunere decalată a țevilor. Hexanul lichid se evacuează la temperatura de condensare. Căldura latentă de condensare a hexanului este 33,3·10⁴ J/kg. Să se determine debitul de apă și aer (în m³/h) și aria suprafeței de schimb termic necesară.

4-38. Alcoolul metilic (100%) se încălzește în spațiul tubular al unui schimbător de căldură multitubular cu o singură trecere, de la 15° la 40°C. În contracurent prin spațiul intertubular curge apă care se răcește de la 90° la 40°C. Schimbătorul de căldură este constituit din 121 țevi cu diametrul 25 × 2 mm. Viteza metanolului în țevi este 0,75 m/s. Coeficientul parțial de transfer termic pentru apă este 840 W/(m²·K), conductivitatea termică a ambelor depuneri ale peretelui — 1 700 W/(m²·K), temperatura medie a suprafeței cu depuneri, în contact cu alcoolul, 38°C. Folosind tabelul XXXIV, să se determine care este numărul minim de schimbătoare de căldură cu lungime identică a țevilor, dacă rezerva de suprafață de schimb termic nu trebuie să depășească 20%?

4-39. Aerul se încălzește în spațiul tubular al unui schimbător de căldură multitubular de la 20 la 90°C la presiunea medie $p_{abs} = 810 \text{ mm Hg}$. Debitul de aer, considerat în condiții normale, este de 7 770 m³/h. Schimbătorul este dotat cu 211 țevi cu diametrul 38 × 2 mm. În spațiul intertubular se aduce abur saturant cu presiunea de 2 at. Coeficientul parțial de transmitere a căldurii pentru abur se va estima (se va alege) fără calcul. Se va lua o rezervă de suprafață de schimb termic de 18%. Ce lungime trebuie să aibă țevile schimbătorului? Să se determine, de asemenea, debitul de abur, dacă titlul lui este 5%.

4-40. Să se determine coeficientul total de transfer termic al unui schimbător de căldură tip „țevă în țevă”, în condițiile impuse de problema 1-37.

Se va lua în considerație rezistența termică a depunerilor peretelui de partea toluenului și de partea apei.

Calculul se va efectua: a) fără a considera influența raportului Pr/Pr_p; b) cu considerarea influenței raportului Pr/Pr_p.

4-41. Într-un uscător, de-a lungul peretelui său plan, cu lungimea de 6 m circulă cu viteza de 2,5 m/s, aer cald la presiunea atmosferică, având temperatura de 85°C. Peretele de oțel al uscătorului cu grosimea de 5 mm, acoperit cu rugină, este izolat cu un strat izolator cu grosimea de 30 mm. Coeficientul de conductivitate termică a izolației este 0,1 W/(m·K). Temperatura aerului în mediu este 18°C.

Să se determine cantitatea de căldură care se pierde într-o oră de către 1 m² perete de uscător prin convecție și radiație și coeficientul total de transfer termic prin perete.

4-42. Peretele vertical al unui evaporator este acoperit cu un strat izolator ($\lambda = 0,12 \text{ W/(m}^2\cdot\text{K)}$) cu grosimea de 45 mm. Temperatura soluției care fierbe este 120°C, iar a aerului din mediu 20°C. Să se determine pierderile de căldură prin radiație și convecție pe m² și oră, considerând temperatura suprafeței peretelui în contact cu soluția în fierbere, egală cu temperatura acesteia.

4-43. Printr-o conductă orizontală de abur, cu diametrul de 51 × 2,5 mm și lungimea de 50 m, circulă abur saturat la presiunea de 4 at. Să se determine cantitatea de condensat ce se formează în 24 ore în conducta neizolată, considerând temperatura aerului din secție 15°C.

4-44. Cu câte procente scad pierderile de căldură, dacă o conductă similară cu cea din problema anterioară este acoperită cu un strat izolator cu grosimea de 40 mm cu coeficientul de conductivitate termică de 0,093 W/(m·K)?

4-45. Un aparat este izolat cu un strat de cărămidă refractară cu grosimea de 125 mm [$\lambda = 0,68 \text{ W/(m}^2\cdot\text{K)}$] și cu un strat izolator [$\lambda = 0,12 \text{ W/(m}^2\cdot\text{K)}$]. Temperatura suprafeței exterioare a peretelui metalic al aparatului este 500°C. Să se stabilească grosimea necesară a stratului izolator, astfel ca temperatura suprafeței sale exterioare să nu depășească 50°C, când temperatura aerului în secție este 25°C.

4.4. EXEMPLE DE CALCUL A SCHIMBĂTOARELOR DE CĂLDURĂ

Exemplul 4-1.

Să se execute calculul termic al unui schimbător de căldură pentru răcire a 5 t/h eter etilic de la 33° la 6°C. Eterul etilic se răcește cu o soluție de sare, care vine din instalația frigorifică cu temperatura de -6°C. Concentrația soluției de sare este 20% (masic) de NaCl. Eterul și saramura sint vehiculate de pompe.

Rezolvare

Considerăm temperatura finală a saramurii -2°C.

Diagrama termică pentru circulația în contracurent este următoarea:

$$\begin{array}{c} 33 \xrightarrow{\text{Eter etilic}} 6 \\ -2 \xleftarrow{\text{Saramură}} -6 \\ \hline \Delta t_M = 35 \quad \Delta t_m = 12 \end{array}$$

Raportul $\frac{\Delta t_M}{\Delta t_m} = \frac{35}{12} = 2,92 > 2$, deci se va calcula diferența medie logaritmică de temperatură

$$\Delta t_{med} = \frac{35 - 12}{2,3 \lg \frac{35}{12}} = 21,5^\circ\text{C} = 21,5 \text{ K}$$

Temperatura medie a saramurii :

$$t_s = \frac{-6 + (-2)}{2} = -4^\circ\text{C}$$

Temperatura medie a eterului :

$$t_e = t_s + \Delta t_{med} = -4 + 21,5 = 17,5^\circ\text{C}$$

Fluxul termic, considerînd pierderile de frig de 5% :

$$Q = 1,05 G_e \cdot c_e (t_i - t_f) = 1,05 \frac{5000}{3600} 2,15 \cdot 10^3 (33 - 6) = 84600 \text{ W}$$

în care

$c_e = 2,15 \cdot 10^3 \text{ J/(kg} \cdot \text{K)}$ — căldura specifică medie a eterului etilic (fig. XI).

Debitul de saramură :

$$G_s = \frac{Q}{c_s(t_f' - t_i')} = \frac{84600}{3,40 \cdot 10^3 [-2 - (-6)]} = 6,22 \text{ kg/s}$$

în care :

$c_s = 3,40 \cdot 10^3 \text{ J/(kg} \cdot \text{K)}$ — căldura specifică medie a saramurii (tab. LII).

Saramura circulă prin țevi, eterul etilic prin spațiul intertubular. Considerăm pentru saramură regimul de curgere turbulent și în calculul preliminar luăm $Re = 20000$.

Din relațiile

$$Re = \frac{w \cdot d \cdot \rho}{\eta} \text{ și } w = \frac{G}{0,785 d^2 n_p}$$

Se obține :

$$nd = \frac{G}{0,785 Re \cdot \eta} = \frac{6,22}{0,785 \cdot 20000 \cdot 3,23 \cdot 10^{-3}} = 0,123 \text{ m}$$

în care :

$\eta = 3,23 \text{ cP}$ — coeficientul viscozității dinamice a saramurii la -4°C .

Schimbătoarele de căldură multitubulare tipizate au țevile cu diametrele 25×2 și $38 \times 2 \text{ mm}$. Ca urmare, numărul necesar de țevi va fi :

$$n_1 = \frac{0,123}{0,021} \simeq 6 \text{ sau } n_2 = \frac{0,123}{0,034} \simeq 4$$

În ambele cazuri a rezultat un număr de țevi mai mic decât normal. De aceea, vom adopta schimbătorul de construcție „țevă în țevă” cu 3 secțiuni paralele. Diametrul țevelor interioare — $38 \times 2 \text{ mm}$, iar a celor exterioare — $76 \times 3 \text{ mm}$.

Considerăm că prin țevile interioare circulă saramură, iar prin spațiul inelar exterior eterul etilic.

Se determină coeficientul parțial de transfer de căldură de la eter la perete. Aria secțiunii va fi :

$$S = 0,785(D^2 - d^2) = 0,785(0,070^2 - 0,038^2) = 0,00271 \text{ m}^2$$

Viteza eterului :

$$w = \frac{G_e}{n \cdot \rho \cdot S} = \frac{5000}{3 \cdot 3600 \cdot 716 \cdot 0,00271} = 0,238 \text{ m/s}$$

în care : $\rho = 716 \text{ kg/m}^3$ — densitatea eterului etilic.

Diametrul echivalent al spațiului inelar :

$$d_e = D - d = 0,07 - 0,038 = 0,032 \text{ m}$$

Criteriul Re pentru eter la $t_e = 17,5^\circ\text{C}$;

$$Re = \frac{w d_e \rho}{\eta} = \frac{0,238 \cdot 0,032 \cdot 716}{0,249 \cdot 10^{-3}} = 22000$$

în care : $\eta = 0,249 \text{ cP}$ — coeficientul viscozității dinamice a eterului etilic la $17,5^\circ\text{C}$.

Criteriul Pr pentru eterul etilic se găsește în nomograma din figura XIII. La $17,5^\circ\text{C}$, $Pr = 4$.

Criteriul Nu se determină din nomograma din figura XII, considerînd valoarea $\left(\frac{Pr}{Pr_p}\right)^{0,25} = 0,93$ pentru lichidul care se răcește :

$$Nu = 0,93 \cdot 110 = 102$$

de unde :

$$\alpha_e = \frac{Nu \cdot \lambda}{d_e} = \frac{102 \cdot 0,133}{0,032} = 425 \text{ W/(m}^2 \cdot \text{K)}$$

în care : $\lambda = 0,133 \text{ W/(m} \cdot \text{K)}$ — coeficientul de conductibilitate termică al eterului etilic (fig. X).

Se determină și coeficientul parțial de transfer termic de la perete la saramură.

Viteza saramurii :

$$w = \frac{G}{n \cdot \rho \cdot 0,785 d^2} = \frac{6,22}{3 \cdot 1150 \cdot 0,785 \cdot 0,034^2} = 1,98 \text{ m/s}$$

în care : $\rho = 1150 \text{ kg/m}^3$ — densitatea saramurii (tab. L).

Criteriul Re pentru saramură la $t_s = -4^\circ\text{C}$:

$$Re = \frac{w d \cdot \rho}{\eta} = \frac{1,98 \cdot 0,034 \cdot 1150}{3,23 \cdot 10^{-3}} = 24000$$

Criteriul Pr pentru saramură la $t_s = -4^\circ\text{C}$:

$$Pr = \frac{c \cdot \eta}{\lambda} = \frac{3,4 \cdot 10^3 \cdot 3,23 \cdot 10^{-3}}{0,529} = 20,7$$

în care : $\lambda = 0,529 \text{ W/(m} \cdot \text{K)}$ — coeficientul de conductivitate termică a saramurii (tab. L).

Criteriul Nu se determină din nomograma din figura XII, considerînd pentru lichidul care se încălzește $\left(\frac{Pr}{Pr_p}\right)^{0,25} = 1$:

$$Nu = 245;$$

de unde:

$$\alpha_s = \frac{Nu \cdot \lambda}{d} = \frac{245 \cdot 0,529}{0,034} = 3\,810 \text{ W}/(\text{m}^2 \cdot \text{K}).$$

Suma rezistențelor termice ale peretelui și depunerilor.
Din tab. XXXI găsim:

$$\frac{1}{r_{dep.1}} = \frac{1}{r_{dep.2}} = 5\,800 \text{ W}/(\text{m}^2 \cdot \text{K})$$

$$r_p = r_{dep.1} + \frac{\delta_{ol}}{\lambda_{ol}} + r_{dep.2} = \frac{1}{5\,800} + \frac{0,002}{46,5} + \frac{1}{5\,800} = 0,0004 \text{ m}^2 \cdot \text{K}/\text{W}$$

Coeficientul total de transfer termic (calculat ca pentru un perete plan, deoarece $\frac{di}{de} = \frac{31}{38} > 0,5$):

$$K = \frac{1}{\frac{1}{\alpha_s} + \sum r_i + \frac{1}{\alpha_r}} = \frac{1}{\frac{1}{3\,810} + 0,0004 + \frac{1}{425}} = 333 \text{ W}/(\text{m}^2 \cdot \text{K})$$

Suprafața de schimb de căldură necesară:

$$F = \frac{Q}{K \cdot \Delta t_{med}} = \frac{84\,600}{333 \cdot 21,5} = 11,8 \text{ m}^2$$

Considerînd și o rezervă de 20%:

$$F = 1,2 \cdot 11,8 = 14,2 \text{ m}^2$$

Lungimea fiecăreia din cele trei secțiuni:

$$L = \frac{F}{n \cdot \pi \cdot d_m} = \frac{14,2}{3 \cdot 3,14 \cdot 0,036} = 41,8 \text{ m}$$

Se vor lua 7 elemente cu lungimea de 6 m fiecare.

Exemplul 4-II. Să se calculeze un schimbător de căldură multitubular pentru răcirea cu apă a 1 240 m³/h (considerat în condiții normale) azot de la 76° la 31°C. Presiunea azotului este 1,5 ata. Apa de răcire, care depune piatră, are temperatura de 16°C.

Rezolvare

Considerăm că apa în schimbător se încălzește pînă la 26°C. Diagrama termică pentru circulația în contracurent:

$$\begin{array}{ccc} 76 & \xrightarrow{\text{azot}} & 31 \\ 26 & \xleftarrow{\text{apa}} & 16 \\ \hline \Delta t_M = 50 & & \Delta t_m = 15 \end{array}$$

Diferența medie de temperatură:

$$\Delta t_{med} = \frac{50 - 15}{2,3 \lg \frac{50}{15}} = 29,5^\circ\text{C} = 29,5^\circ\text{K}$$

Temperatura medie a apei:

$$t_a = \frac{26 + 16}{2} = 21^\circ\text{C}$$

Temperatura medie a azotului:

$$t_{N_2} = t_a + \Delta t_{med} = 21 + 29,5 = 50,5^\circ\text{C}$$

Fluxul termic preluat de apă de la azot:

$$Q = G_{N_2} c_{N_2} (t_i - t_f) = \frac{1\,240}{3\,600} \cdot 1,05 \cdot 10^3 (76 - 31) = 20\,300 \text{ W}$$

în care: 1,25 este densitatea azotului la 0°C și 760 mm Hg kg/m³ (tab. V);
 $c_{N_2} = 1,05 \cdot 10^3 \text{ J}/(\text{kg} \cdot \text{K})$ — căldura specifică medie a azotului (tab. XXVII).

Debitul de apă:

$$G_a = \frac{Q}{c_a (t_f' - t_i')} = \frac{20\,300}{4,19 \cdot 10^3 (26 - 16)} = 0,485 \text{ kg/s.}$$

Se determină orientativ valoarea suprafeței de schimb termic necesară. Deoarece pe pereții țevilor, de partea apei se pot produce depuneri de piatră care înrăutătesc puternic transferul de căldură, trebuie prevăzută posibilitatea curățirii schimbătorului de căldură. De aceea, apa trebuie să circule prin țevi a căror suprafață interioară este ușor accesibilă pentru curățire, în timp ce spațiul intertubular este mai greu de curățit la schimbătoarele de căldură multitubulare cu manta.

Pentru creșterea coeficientului parțial de transfer termic al azotului (care este mult mai mic decît al apei), spațiul intertubular va fi prevăzut cu șicane (fig. 4-4).

Considerăm orientativ coeficientul total de transfer termic $K = 60 = 60 \text{ W}/(\text{m}^2 \cdot \text{K})$. Astfel suprafața de schimb termic necesară va fi:

$$F = \frac{Q}{K \cdot \Delta t_{med}} = \frac{20\,300}{60 \cdot 29,5} = 11,5 \text{ m}^2$$

Conform datelor din tabelul XXXIV se va lua un schimbător de căldură cu manta cu diametrul mantalei de 400 mm, cu 12 țevi cu lungimea de 1,5 m și diametrul 25 × 2 mm, pasul țevilor — 32 mm.

Calculul exact al suprafeței de schimb termic a schimbătorului de căldură. Se consideră pentru azot $Re = 20\,000$ și se calculează coeficientul parțial cu relația (4-29) pentru dispunerea decalată a țevilor:

$$Nu = 0,356 \cdot Re^{0,6} \cdot \varepsilon_\phi = 0,356 \cdot 20\,000^{0,6} \cdot 0,6 = 81,3$$

$$\alpha_{N_2} = \frac{Nu \cdot \lambda}{d} = \frac{81,3 \cdot 0,0267}{0,025} = 87 \text{ W}/(\text{m}^2 \cdot \text{K})$$

în care $\lambda = 0,0267 \text{ W}/(\text{m}^2 \cdot \text{K})$ — coeficientul de conductivitate termică a azotului (tab. XXX).

Se determină regimul de curgere a apei în țevi.

Viteza apei:

$$w = \frac{G_a}{0,785nd^2 \cdot \rho} = \frac{0,485}{0,785 \cdot 121 \cdot 0,021^2 \cdot 1000} = 0,0116 \text{ m/s}$$

Criteriul Reynolds:

$$\text{Re} = \frac{w \cdot d}{\nu} = \frac{0,0116 \cdot 0,021}{0,986 \cdot 10^{-6}} = 247$$

unde $\nu = 0,986 \cdot 10^{-6} \text{ m}^2/\text{s}$ — viscozitatea cinematică a apei la 21°C (tab. XXXIX).

Regim de curgere laminar.

Pentru determinarea coeficientului parțial de transfer de căldură pentru apă este necesar a se cunoaște valoarea expresiei:

$$\text{Re Pr} \frac{d}{L} = \frac{wd}{\nu} \frac{\nu}{a} \frac{d}{L} = \frac{w \cdot d^2}{a \cdot L}$$

unde $a (\text{m}^2/\text{s})$ — coeficientul de difuzivitate termică a apei, care pentru intervale mici de temperatură este practic constant. Valoarea lui a se scoate din tabele funcție de temperatura medie a stratului limită, $t_{s,l}$, care se determină cu o relație de forma:

$$t_{s,l} = \frac{t_a + t_p}{2} = t_a + \frac{\Delta t_a}{2}$$

Deoarece diferența $\Delta t_a = t_p - t_a$, în cazul nostru, capătă valori cuprinse între 5 și 15 K (aceasta ulterior se poate verifica), temperatura medie a stratului limită, $t_{s,l}$, va căpăta valori de la $23,5$ până la $28,5^\circ\text{C}$ iar $a = 1,46 \cdot 10^{-7} \text{ m}^2/\text{s}$ (tab. XXXIX).

În această situație:

$$\text{Re Pr} \frac{d}{L} = \frac{w \cdot d^2}{a \cdot L} = \frac{0,0116 \cdot 0,021^2}{1,46 \cdot 10^{-7} \cdot 1,5} = 23,4$$

Din graficul (fig. 4-2) găsim pentru țevi verticale și convecție liberă (curba 3) $\text{Nu} = 7,5$.

Coeficientul parțial de transfer de căldură pentru apă:

$$\alpha_a = \frac{\text{Nu} \cdot \lambda}{d} = \frac{7,5 \cdot 0,61}{0,021} = 218 \text{ W}/(\text{m}^2 \cdot \text{K})$$

unde $\lambda = 0,61 \text{ W}/(\text{m} \cdot \text{K})$ — conductivitatea termică a apei la temperatura medie de 25°C (tab. XXXIX). Ca și difuzivitatea termică a , în intervale mici de temperatură și conductivitatea termică λ , practic rămâne constantă.

Rezistența termică a peretelui și depunerilor (tab. XXXI):

$$\Sigma r_t = \frac{1}{2800} + \frac{0,002}{46,5} + \frac{1}{2000} = 0,0009 \text{ m}^2 \cdot \text{K}/\text{W}$$

Coeficientul total de transmitere a căldurii ($d_i/d_e = 21/25 > 0,5$):

$$K = \frac{1}{\frac{1}{\alpha_{N_2}} + r_t + \frac{1}{\alpha_a}} = \frac{1}{\frac{1}{87} + 0,0009 + \frac{1}{218}} = 59 \text{ W}/(\text{m}^2 \cdot \text{K})$$

Aria suprafeței de schimb de căldură necesară:

$$A = \frac{Q}{K \cdot \Delta t_{med}} = \frac{20300}{59 \cdot 29,5} = 11,7 \text{ m}^2$$

Se alege un schimbător de căldură cu $A = 14 \text{ m}^2$. Rezerva de suprafață de schimb de căldură este de 20%.

Verificarea valorilor la calculul coeficientului parțial de transfer termic pentru apă.

1) s-a considerat:

$$\Delta t_a = t_p - t_a = 5 \div 15^\circ\text{C} = 5 \div 15 \text{ K}$$

Încărcarea termică specifică va fi:

$$q = K \cdot \Delta t_{med} = 59 \cdot 29,5 = 1740 \text{ W}/\text{m}^2$$

Atunci

$$\Delta t_a = \frac{q}{\alpha_a} = \frac{1740}{218} = 8^\circ\text{C} = 8 \text{ K}$$

2) influența convecției libere se produce pentru $\text{Gr} > 4 \text{ Re Nu}'$ și pentru $\text{Gr} \cdot \text{Pr} > 5 \cdot 10^5$:

$$4 \text{ Re Nu}' = 4 \cdot 247 \cdot 5 = 4940$$

în care valoarea criteriului Nu fără considerarea convecției libere $\text{Nu}' = 5$ s-a luat din graficul din figura 4-2 pe linia AA.

Criteriul lui Grashof:

$$\text{Gr} = \frac{g d^3}{\nu^2} \cdot \beta \cdot \Delta t_a = \frac{9,81 \cdot 0,021^3}{0,986^2 \cdot 10^{-12}} \cdot 25,5 \cdot 10^{-5} \cdot 8 = 1,9 \cdot 10^5 \gg 4 \text{ Re Nu}'$$

în care $\beta = 25,5 \cdot 10^{-5} \text{ K}^{-1}$ — coeficientul de dilatare volumică al apei (tab. XXXII)

$$\text{Gr} \cdot \text{Pr} = 1,9 \cdot 10^5 \cdot 6,22 > 5 \cdot 10^5$$

în care valoarea criteriului $\text{Pr} = 6,22$ s-a luat la $t_{apa} = 25^\circ\text{C}$ (tab. XXXIX).

Determinarea distanței între șicane în spațiul intertubular.

Aria secțiunii pentru curentul de azot se determină astfel (fig. 4-24).

Considerăm lățimea segmentului liber al șicanei $b = 0,5R$.

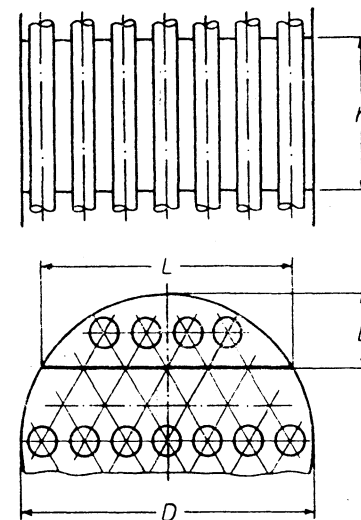


Fig. 4-24. Schița la exemplul 4-II.

Lungimea coardei $L = R\sqrt{3} = 1,732R$. Coarda medie $L_m = \frac{L+D}{2} = 1,866R$. Pe această coardă se dispun n' țevi $n' = L_m/t$, în care t — pasul țevelor estedistanța dintre axele lor. Aria secțiunii pentru curentul transversal de azot:

$$S = h(L_m - n'd) = hL_m \left(1 - \frac{d}{l}\right)$$

Din ultima relație se găsește h , determinind S din ecuația debitului. Densitatea azotului în condițiile de lucru ($t = 50,5^\circ\text{C}$, $p = 1,5$ ata)

$$\rho = 1,25 \frac{273 \cdot 1,5}{1 \cdot 323,5} = 1,58 \text{ kg/m}^3$$

Pentru $Re = 20\,000$ viteza azotului trebuie să fie:

$$w = \frac{Re \cdot \eta}{d \cdot \rho} = \frac{20\,000 \cdot 0,010 \cdot 10^{-3}}{0,025 \cdot 1,58} = 9,6 \text{ m/s}$$

în care $\eta = 0,019 \cdot 10^{-3} \text{ Pa}\cdot\text{s}$ — coeficientul viscozității dinamice a azotului la $50,5^\circ\text{C}$ (fig. VI).

Debitul volumic al azotului în condițiile de lucru:

$$V = \frac{1\,240 \cdot 323,5}{3\,600 \cdot 273 \cdot 1,5} = 0,272 \text{ m}^3/\text{s}$$

Aria necesară a secțiunii:

$$S = \frac{V}{w} = \frac{0,272}{9,6} = 0,0284 \text{ m}^2$$

Din ecuația:

$$S = hL_m \left(1 - \frac{d}{l}\right) \text{ se găsește:}$$

$$h = \frac{S}{L_m \left(1 - \frac{d}{l}\right)} = \frac{0,0284}{0,373 \left(1 - \frac{25}{32}\right)} \approx 0,35 \text{ m}$$

în care:

$$L_m = 1,866R = 1,866 \cdot 0,2 = 0,373 \text{ m}$$

Exemplul 4-III. Să se dimensioneze un schimbător de căldură multi-tubular pentru condensarea a $3\,100 \text{ kg/h}$ vapori saturanți de benzen la presiune atmosferică. Benzenul lichid este evacuat din condensator la temperatura de condensare. Apa de răcire care circulă prin țevi se încălzește de la 16 la 40°C . Din condiții de montaj înălțimea nu poate depăși $3,5 \text{ m}$.

Rezolvare.

Temperatura de condensare a benzenului la presiune atmosferică este $80,1^\circ\text{C}$. Schema temperaturilor pentru condensator este:

$$\begin{array}{ccc} 80,1 & \longrightarrow & 80,1 \\ 16 & \longrightarrow & 40 \\ \hline \Delta t_1 = 64,1 & & \Delta t_2 = 40,1 \end{array}$$

Intrucit $\frac{\Delta t_1}{\Delta t_2} < 2$, diferența medie de temperatură:

$$\Delta t_{med} = \frac{64,1 + 40,1}{2} = 52,1^\circ\text{C} = 52,1 \text{ K}$$

Temperatura medie a apei de răcire:

$$t_{ma} = t_c - \Delta t_{med} = 80,1 - 52,1 = 28^\circ\text{C}$$

Încălcarea termică (fluxul termic cedat):

$$Q = G_b r = \frac{3\,100}{3\,600} 95,5 \cdot 4\,190 = 345\,000 \text{ W}$$

unde $r = 95,5 \cdot 4\,190 \text{ J/kg}$ — căldura latentă de condensare a benzenului la 80°C [4-13].

Debitul apei de răcire:

$$G_a = \frac{Q}{c_a(t_f - t_i)} = \frac{345\,000}{4\,190 (40 - 16)} = 3,44 \text{ kg/s}$$

Se aleg țevi cu diametrul $25 \times 2 \text{ mm}$. Considerind valoarea criteriului Re pentru apă $Re = 15\,000$ (curgere net turbulentă), se determină numărul necesar de țevi:

$$Re = \frac{wd \cdot \rho}{\eta}; \quad w = \frac{Ga}{0,785 \cdot d^2 \cdot n \rho}, \text{ de unde:}$$

$$n = \frac{Ga}{0,785 Re \cdot d \cdot \eta} = \frac{3,44}{0,785 \cdot 15 \cdot 10^3 \cdot 0,021 \cdot 0,836 \cdot 10^{-3}} = 16,7 \approx 17$$

în care $\eta = 0,836 \cdot 10^{-3} \text{ Pa}\cdot\text{s}$ — coeficientul viscozității dinamice a apei la 28°C (tab. VI).

Din tabelul XXXIV se vede că cel mai apropiat număr de țevi pentru un schimbător cu o singură trecere este $n = 13$, iar pentru un schimbător cu patru treceri $n = \frac{90}{4} = 22,5$ (două treceri cu câte 22 țevi, iar celelalte două cu câte 23 țevi).

Pentru alegerea unuia din ele evaluăm orientativ mărimea ariei suprafeței de schimb termic necesare.

Din tabelul 4-6, valoarea medie orientativă a coeficientului total de transfer termic în condensatoarele pentru vaporii substanțelor organice $K = 550 \text{ W/(m}^2 \cdot \text{K)}$. Atunci aria necesară a suprafeței de schimb termic va fi:

$$F = \frac{Q}{K \cdot \Delta t_{med}} = \frac{345\,000}{550 \cdot 52,1} = 12 \text{ m}^2$$

Intrucit nu există schimbătoare de căldură cu o singură trecere cu o suprafață de schimb termic de un asemenea ordin (tab. XXXIV), condensatorul proiectat va avea 4 treceri.

Se determină coeficientul parțial pentru apă :

$$Re = \frac{Ga}{0,785 \cdot n \cdot d \cdot \eta} = \frac{3,44}{0,785 \cdot 22,5 \cdot 0,021 \cdot 0,836 \cdot 10^{-3}} = 11\,100$$

Regimul de curgere este deci turbulent. Se folosește nomograma din figura XII, luând $\left(\frac{Pr}{Pr_p}\right)^{0,35} = 1$, întrucît apa se încălzește. Valoarea criteriului Pr pentru apă la 28°C se găsește în tabelul XXXIX : Pr = 5,74.

Din nomograma din figura XII se găsește Nu = 79.

Atunci :

$$\alpha_a = \frac{Nu \cdot \lambda}{d} = \frac{79 \cdot 0,609}{0,021} = 2\,300 \text{ W/(m}^2 \cdot \text{K)}$$

În care $\lambda = 0,609 \text{ W/(m} \cdot \text{K)}$ este coeficientul conductivității termice a apei la 28°C.

Se calculează coeficientul parțial pentru vaporii de benzen care condensează α_b cu relația (4-48) :

$$\alpha_b = 3,78 \cdot \lambda \sqrt[3]{\frac{\rho^2 \cdot dn}{\eta \cdot G}}$$

Valorile constantelor fizico-chimice ale benzenului lichid se aleg la temperatura de condensare 80°C

$$\lambda = 0,14 \text{ W/(m} \cdot \text{K)} - \text{figura X}$$

$$\rho = 815 \text{ kg/m}^3 [4-13]$$

$$\eta = 0,32 \cdot 10^{-3} \text{ Pa} \cdot \text{s} - \text{figura V.}$$

$$\text{Debitul de benzen } G = \frac{3\,100}{3\,600} = 0,862 \text{ kg/s. Deci :}$$

$$\alpha_b = 3,78 \cdot 0,14 \sqrt[3]{\frac{815^2 \cdot 0,025 \cdot 90}{0,32 \cdot 10^{-3} \cdot 0,862}} = 928 \text{ W/(m}^2 \cdot \text{K)}$$

Rezistența termică a peretelui de oțel al țevilor :

$$\frac{\delta}{\lambda_{oL}} = \frac{0,002}{46,5} = 0,000043 \text{ m}^2 \cdot \text{K/W}$$

unde $\lambda_{oL} = 46,5 \text{ W/(m} \cdot \text{K)}$ — coeficientul conductivității termice a oțelului (tab. XXVIII).

Rezistența termică a depunerii de partea benzenului este $r_b = \frac{1}{116\,300} \text{ m}^2 \cdot \text{K/W}$

iar a celei de partea apei este $r_a = \frac{1}{2\,000} \text{ m}^2 \cdot \text{K/W}$.

Rezistența termică totală a peretelui și depunerilor :

$$r_p = 0,000043 + \frac{1}{11\,630} + \frac{1}{2\,000} = 6,3 \cdot 10^{-4} \text{ m}^2 \cdot \text{K/W}$$

Coeficientul total K se calculează ca pentru

peretele plan, deoarece raportul $\frac{di}{de} = \frac{21}{25} = 0,84 > 0,5$;

$$K = \frac{1}{\frac{1}{\alpha_a} + r_p + \frac{1}{\alpha_b}} = \frac{1}{\frac{1}{928} + 6,3 \cdot 10^{-4} + \frac{1}{2\,300}} = 466 \text{ W/(m}^2 \cdot \text{K)}$$

Aria suprafeței necesare condensatorului va fi :

$$F = \frac{Q}{K \cdot \Delta t_{med}} = \frac{345\,000}{466 \cdot 52,1} = 14,2 \text{ m}^2$$

Cu un surplus de 20% :

$$F = 14,2 \cdot 1,2 = 17 \text{ m}^2$$

O asemenea suprafață de schimb termic posedă schimbătorul de căldură cu 4 treceri cu diametrul mantalei $D = 400 \text{ mm}$ și cu înălțimea țevilor $H = 2,5 \text{ m}$, ceea ce corespunde condițiilor impuse.

Considerăm (cu ultima verificare) mărimea valorii temperaturii peretelui $t_{p1} = 52,8^\circ\text{C}$ (fig. 4-25)

$$t_{pel} = \frac{t_{cond} + t_{p1}}{2} = \frac{80,1 + 52,8}{2} = 66,4^\circ\text{C}$$

Constantele fizico-chimice ale benzenului lichid la 66°C :

$$\lambda = 0,144 \text{ W/(m} \cdot \text{K)}$$

$$\rho = 829 \text{ kg/m}^3$$

$$\eta = 0,36 \cdot 10^{-3} \text{ Pa} \cdot \text{s}$$

Coeficientul parțial de transfer termic pentru vaporii de benzen care condensează, conform ecuației (4-43) :

$$\alpha_b = 1,15 \sqrt[4]{\frac{\lambda^2 \rho^2 r_g}{\eta \cdot \Delta t \cdot H}} = 1,15 \sqrt[4]{\frac{0,144^2 \cdot 829^2 \cdot 95,5 \cdot 4\,190 \cdot 9,81}{0,36 \cdot 10^{-3} (80,1 - 52,8) \cdot 2,5}} = 870 \text{ W/(m}^2 \cdot \text{K)}$$

Încărcarea termică specifică :

$$q = \alpha_b (t_{cmd} - t_{p1}) = 870 (80,1 - 52,8) = 23\,800 \text{ W/m}^2$$

Temperatura suprafeței peretelui de partea apei :

$$t_{p2} = t_{p1} - q \cdot \Sigma r_p = 52,8 - 23\,800 \cdot 6,3 \cdot 10^{-4} = 37,8^\circ\text{C}$$

Coeficientul parțial pentru apă cu considerarea factorului $\left(\frac{Pr}{Pr_p}\right)^{0,25} = \left(\frac{5,74}{4,52}\right)^{0,25} = 1,06$, unde 4,52 — criteriul Pr_p pentru apă la 38°C (tab. XXXIX). Astfel

$$\alpha_b = 2\,300 \cdot 1,06 = 2\,440 \text{ W/(m}^2 \cdot \text{K)}$$

Verificarea încărcării termice specifice :

$$q = \alpha_b (t_{p2} - t_b) = 2\,440 (37,8 - 28) = 23\,900 \text{ W/m}^2$$

Ca urmare, temperatura peretelui t_{p1} s-a ales bine.

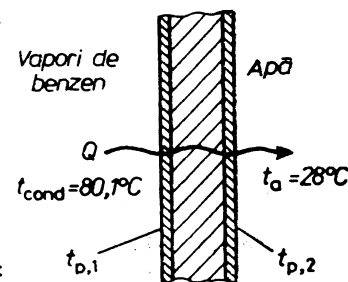


Fig. 4-25. Schița la exemplul 4-III.

Coeficientul total :

$$K = \frac{q}{\Delta t_{med}} = \frac{23\,900}{52,1} = 460 \text{ W/(m}^2 \cdot \text{K)}$$

ceea ce practic corespunde cu cele de mai sus.

Intrucit temperatura medie a peretelui țevii $\frac{52,8 + 37,8}{2} = 45,3^\circ\text{C}$, diferă de temperatura mantalei (80°C) cu mai mult de 30°C , urmează ca schimbătorul să fie dotat cu lentilă corespunzătoare.

Exemplul 4-IV.

Să se determine dimensiunile de bază ale unui schimbător de căldură multitubular orizontal pentru încălzirea a 9,5 t/h toluen de la 20 la 100°C . Aburul de încălzire are presiunea $p = 1,7$ ata și conține 0,5% aer.

Rezolvare.

Temperatura de condensare a aburului de încălzire este $114,5^\circ\text{C}$ (tab. LVII).

Diagrama termică :

$$\begin{array}{ccc} 114,5 & \text{---} & 114,5 \\ 20 & \longrightarrow & 100 \\ \hline \Delta t_M = 94,5 & \Delta t_m = 14,5 \end{array}$$

Diferența medie de temperatură :

$$\Delta t_{med} = \frac{\Delta t_M - \Delta t_m}{2,3 \lg \frac{\Delta t_M}{\Delta t_m}} = \frac{94,5 - 14,5}{2,3 \lg \frac{94,5}{14,5}} = 42,8^\circ\text{C} = 42,8 \text{ K}$$

Temperatura medie a toluenului :

$$t_t = t_a - \Delta t_{med} = 114,5 - 42,8 = 71,7^\circ\text{C}$$

Fluxul termic pentru încălzirea toluenului :

$$Q = G_t c_t (t_{cond} - t_t) = \frac{9\,500}{3\,600} 1\,800(100 - 20) = 380\,000 \text{ W}$$

în care $c_t = 1\,800 \text{ J/(kg} \cdot \text{K)}$ — căldura specifică medie a toluenului (fig. XI).

Debitul de abur de încălzire, considerându-l cu titrul 0,05 iar pierderile de căldură 5% :

$$G_a = \frac{1,05 Q}{r \cdot 0,95} = \frac{1,05 \cdot 380\,000}{2\,222 \cdot 10^3 \cdot 0,95} = 0,19 \text{ kg/s}$$

în care $r = 2\,222 \cdot 10^3 \text{ J/kg}$ — căldura latentă de condensare a aburului (tab. LVII).

Se determină coeficientul parțial pentru toluen care circulă prin țevile schimbătorului. Considerăm $Re = 15\,000$ și se găsește numărul de țevi cu diametrul $25 \times 2 \text{ mm}$ cu relația (vezi ex. 4-I) :

$$n = \frac{G_t}{0,785 Re \cdot d \cdot \eta} = \frac{9,5 \cdot 10^3}{3\,600 \cdot 0,785 \cdot 15 \cdot 10^{-3} \cdot 0,021 \cdot 0,37 \cdot 10^{-3}} = 29$$

în care $\eta = 0,37 \cdot 10^{-3} \text{ Pa} \cdot \text{s}$ — coeficientul viscozității dinamice a toluenului la 72°C (fig. V).

După datele tabelului XXXIV considerăm un schimbător de căldură cu 6 treceri cu $204/6 = 34$ țevi pe trecere, cu diametrul mantalei 600 mm.

Se recalculează criteriul Re :

$$Re = 15\,000 \frac{29}{34} = 12\,800$$

Pentru toluen la 72°C se găsește $Pr = 4,5$ (fig. XIII).

Din nomograma din figura XII se determină valoarea Nu , considerind $\left(\frac{Pr}{Pr_p}\right)^{0,25} = 1$, pentru lichidul care se încălzește, $Nu = 72$.

Coeficientul parțial pentru toluen :

$$\alpha_t = \frac{Nu \cdot \lambda}{d} = \frac{72 \cdot 0,125}{0,021} = 428 \text{ W/(m}^2 \cdot \text{K)}$$

unde :

$\lambda = 0,125 \text{ W/(m} \cdot \text{K)}$ — coeficientul de conductivitate termică al toluenului (fig. X).

Pentru calculul coeficientului parțial pentru aburul de încălzire care condensează cu ecuația (4-49) trebuie cunoscută lungimea țevilor L . După datele tabelului 4-6, se consideră orientativ coeficientul total $K = 230 \text{ W/(m}^2 \cdot \text{K)}$. Atunci aria suprafeței de schimb termic trebuie să fie :

$$F = \frac{Q}{K \cdot \Delta t_{med}} = \frac{380\,000}{230 \cdot 42,8} = 38,6 \text{ m}^2$$

Din tabelul XXXIV, la schimbătorul de căldură cu aria de 39 m^2 , lungimea țevilor trebuie să fie 2,5 m.

Se determină coeficientul parțial pentru aburul care condensează cu ecuația (4-49), considerind influența aerului prezent în abur :

$$\alpha_a = 2,02 \cdot \varepsilon \cdot \varepsilon_g \cdot \lambda \sqrt[3]{\frac{p^2 n L}{\eta \cdot G}} = 2,02 \cdot 0,57 \cdot 0,6 \cdot 0,685 \sqrt[3]{\frac{947^2 \cdot 204 \cdot 2,5}{0,244 \cdot 10^{-3} \cdot 0,19}} = 10\,100 \text{ W/(m}^2 \cdot \text{K)}$$

unde : ε este coeficient dependent de numărul de țevi pe rindul vertical (pentru țevi decalate $\varepsilon = 0,57$ — fig. 4-8) ;

$\varepsilon_g = 0,6$ — coeficient dependent de conținutul de aer în abur (fig. 4-10).

Valorile λ , ρ și η pentru apă la 114°C s-au luat din tabelul XXXIX. Rezistența termică a peretelui de oțel și depunerilor (tab. XXXI) :

$$\Sigma r_p = \frac{1}{5\,800} + \frac{0,002}{46,5} + \frac{1}{5\,800} = 0,0004 \text{ m}^2 \cdot \text{K/W}$$

Coeficientul total

$$K = \frac{1}{\frac{1}{\alpha_a} + \Sigma r_p + \frac{1}{\alpha_t}} = \frac{1}{\frac{1}{10\,100} + 0,0004 + \frac{1}{428}} = 352 \text{ W/(m}^2 \cdot \text{K)}$$

Aria necesară :

$$F = \frac{Q}{K \cdot \Delta t_{med}} = \frac{380\,000}{352 \cdot 42,8} = 25,3 \text{ m}^2$$

Se alege schimbătorul cu $F = 31 \text{ m}^2$ (tab. XXXIV) cu lungimea țevilor de 2 m. Surplusul de arie este 22%.

Coefficientul parțial al aburului calculat pentru lungimea țevilor de 2,5 m poate să nu se mai recalculeze.

Se determină temperatura peretelui țevilor. Din ecuația :

$$q = K \cdot \Delta t_{med} = \alpha_a \cdot \Delta t_a = \alpha_t \cdot \Delta t_t$$

găsim :

$$\Delta t_a = t_a - t_{p1} = \frac{K \cdot \Delta t_{med}}{\alpha_a} = \frac{352 \cdot 42,8}{10100} = 1,5^\circ\text{C} = 1,5 \text{ K}$$

$$\Delta t_t = t_{p2} - t_t = \frac{K \cdot \Delta t_{med}}{\alpha_t} = \frac{352 \cdot 42,8}{428} = 35,2^\circ\text{C} = 35,2 \text{ K}$$

de unde :

$$t_{p1} = t_a - \Delta t_a = 114,5 - 1,5 = 113^\circ\text{C}$$

$$t_{p2} = t_t + \Delta t_t = 71,7 + 35,2 = 107^\circ\text{C}$$

Temperatura medie a peretelui $\frac{113 + 107}{2} = 110^\circ\text{C}$, care diferă de temperatura mantalei cu $4,5^\circ\text{C}$.

Exemplul 4-V.

Să se calculeze o serpentină pentru încălzirea periodică a *m*-xilolului într-un rezervor, în condițiile convecției libere. Xilolul în cantitate de 1600 kg trebuie încălzit de la 16 la 80°C în timp de 1 h. Încălzirea se realizează cu abur cu presiunea 2 ata. Serpentina de oțel este confecționată din țevă cu diametrul $53 \times 2 \text{ mm}$.

Rezolvare.

Temperatura de condensare a aburului de încălzire este $119,6^\circ\text{C}$ (tab. LVII). Deoarece aceasta este constantă, diferența medie de temperatură în timpul încălzirii se poate calcula cu formula :

$$\Delta t_{med} = \frac{\Delta t_i - \Delta t_f}{2,3 \lg \frac{\Delta t_i}{\Delta t_f}} = \frac{103,6 - 39,6}{2,3 \lg \frac{103,6}{39,6}} = 66,6^\circ\text{C} = 66,6 \text{ K}$$

unde :

$$\Delta t_i = 119,6 - 16 = 103,6^\circ\text{C} = 103,6 \text{ K}$$

$$\Delta t_f = 119,6 - 80 = 39,6^\circ\text{C} = 39,6 \text{ K}$$

Temperatura medie a xilolului :

$$t_x = t_{cond} - \Delta t_{med} = 119,6 - 66,6 = 53^\circ\text{C}$$

Fluxul termic mediu transmis :

$$Q = G_X c_X (t_f - t_i) = \frac{1600}{3600} 1840 (80 - 16) = 52300 \text{ W}$$

unde :

$$c_X = 1840 \text{ J/(kg} \cdot \text{K)} - \text{căldura specifică medie a xilolului (fig. XI.)}$$

Rezistența termică a peretelui de oțel și depunerilor (tab. XXXI) :

$$\Sigma r_p = \frac{1}{\alpha_{dep1}} + \frac{\delta}{\lambda_{oL}} + \frac{1}{\alpha_{dep2}} = \frac{2}{5800} + \frac{0,002}{46,5} = 0,00004 \text{ m}^2/\text{W}$$

Coefficientul parțial de transfer termic pentru xilol se determină cu ecuația (4-40) considerind $\left(\frac{Pr}{Pr_p}\right)^{0,25} = 1$ pentru lichidul care se încălzește :

$$\begin{aligned} Nu &= 0,5(Gr \cdot Pr)^{0,25} = 0,5 \left(\frac{gd^3 \cdot \rho^2 \cdot \beta}{\eta^2} Pr \right)^{0,25} \cdot \Delta t_x^{0,25} = \\ &= 0,5 \left(\frac{9,81 \cdot 0,053^3 \cdot 837^2 \cdot 1,15 \cdot 10^{-3} \cdot 4,5}{0,43 \cdot 10^{-4}} \right)^{0,25} \Delta t_x^{0,25} = 36,6 \cdot \Delta t_x^{0,25} \end{aligned}$$

unde : $\rho = 837 \text{ kg/m}^3$ — densitatea xilolului la 53°C (tab. IV) ;

$\eta = 0,43 \cdot 10^{-3} \text{ Pa} \cdot \text{s}$ — coeficientul viscozității dinamice a xilolului [4-13] ;

$Pr = 4,5$ — criteriul Pr pentru xilol la 53°C (fig. XIII) ;

$$\beta = \frac{v_2 - v_1}{v_1 \cdot \Delta t} = \frac{\rho_1 - \rho_2}{\rho_2 \cdot \Delta t} = \frac{837 - 778}{778 (119 - 53)} = 1,15 \cdot 10^{-3} \text{ K}^{-1}$$

β — coeficientul mediu de dilatare volumică a xilolului în intervalul de temperatură $53-119^\circ\text{C}$:

$$\Delta t_x = t_{p2} - t_f \text{ (fig. 4-26).}$$

Coefficientul parțial pentru xilol :

$$\alpha_x = \frac{Nu \cdot \lambda}{d} = \frac{36,6 \cdot 0,128}{0,053} \Delta t_x^{0,25} = 88,4 \Delta t_x^{0,25}$$

în care : $\lambda = 0,128 \text{ W/(m} \cdot \text{K)}$ — coeficient de conductivitate termică a xilolului la 53°C (fig. X).

Deoarece coeficientul parțial al xilolului este mult mai mic decât pentru vaporii de apă în condensare, ultimul se poate considera fără a-l mai calcula egal aproximativ cu $10000 \text{ W/(m}^2 \cdot \text{K)}$. Mai departe se poate scrie următorul sistem de ecuații :

$$q = \alpha_a \cdot \Delta t_a = \frac{\Delta t_p}{\Sigma r_p} = \alpha_x \cdot \Delta t_x$$

$$\Delta t_{med} = \Delta t_a + \Delta t_p + \Delta t_x, \text{ în care :}$$

$$\Delta t_a = t_{cond} - t_{p1}$$

$$\Delta t_p = t_{p1} - t_{p2}$$

Înlocuind valorile calculate vom avea :

$$10000 \cdot \Delta t_a = \frac{\Delta t_p}{0,0004} = 88,4 \cdot \Delta t_x^{0,25}$$

și

$$66,6 = \Delta t_a + \Delta t_p + \Delta t_x$$

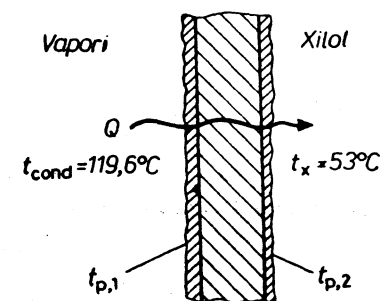


Fig. 4-26. Schița la exemplul 4-V.

Din acest sistem de ecuații obținem :

$$0,0442\Delta t_x^{0,25} + \Delta t_x - 66,6 = 0$$

Rezolvind ultima ecuație (grafic), găsim :

$$\Delta t_x = 59,3^\circ\text{C} = 59,3 \text{ K}$$

Atunci :

$$q = \alpha_x \cdot \Delta t_x = 88,4 \cdot 59,3^{1,25} = 14\,550 \text{ W/m}^2$$

Aria necesară a suprafeței de schimb termic

$$F = \frac{Q}{q} = \frac{52\,300}{14\,550} = 3,62 \text{ m}^2$$

Lungimea serpentinei

$$L = \frac{F}{\pi \cdot d_m} = \frac{3,62}{3,14 \cdot 0,051} = 22,6 \text{ m}$$

Cu o rezervă de 15%

$$L = 1,15 \cdot 22,6 = 26 \text{ m}$$

Debitul de abur de încălzire considerind 5% pierderi :

$$G_a = \frac{1,05 Q}{r \cdot x} = \frac{1,05 \cdot 52\,300}{2\,208 \cdot 10^3 \cdot 0,95} = 0,0262 \text{ kg/s}$$

unde : $r = 2\,208 \cdot 10^3 \text{ J/kg}$ (tab. LVII) ;

$x = 0,95$ — conținutul de vapori din vaporii umezi.

Din date practice pentru funcționarea normală a serpentinelor cu abur trebuie ca viteza inițială a vaporilor să nu fie mai mare de 30 m/s, iar raportul L/d nu trebuie să depășească :

$$\frac{L}{d} = C \frac{6}{\sqrt{\Delta t_{med}}}$$

unde C depinde de presiunea aburului și pentru $p = 2$ at este ~ 190 — (vezi p. 167).

Se verifică viteza inițială a aburului :

$$w_i = \frac{G_a}{\rho_a \cdot 0,785 d^2} = \frac{0,0262}{1,107 \cdot 0,785 \cdot 0,049^2} = 12,6 \text{ m/s.}$$

unde $\rho_a = 1,107 \text{ kg/m}^3$ — densitatea aburului (tab. LVII).

Limita maximă a raportului L/d

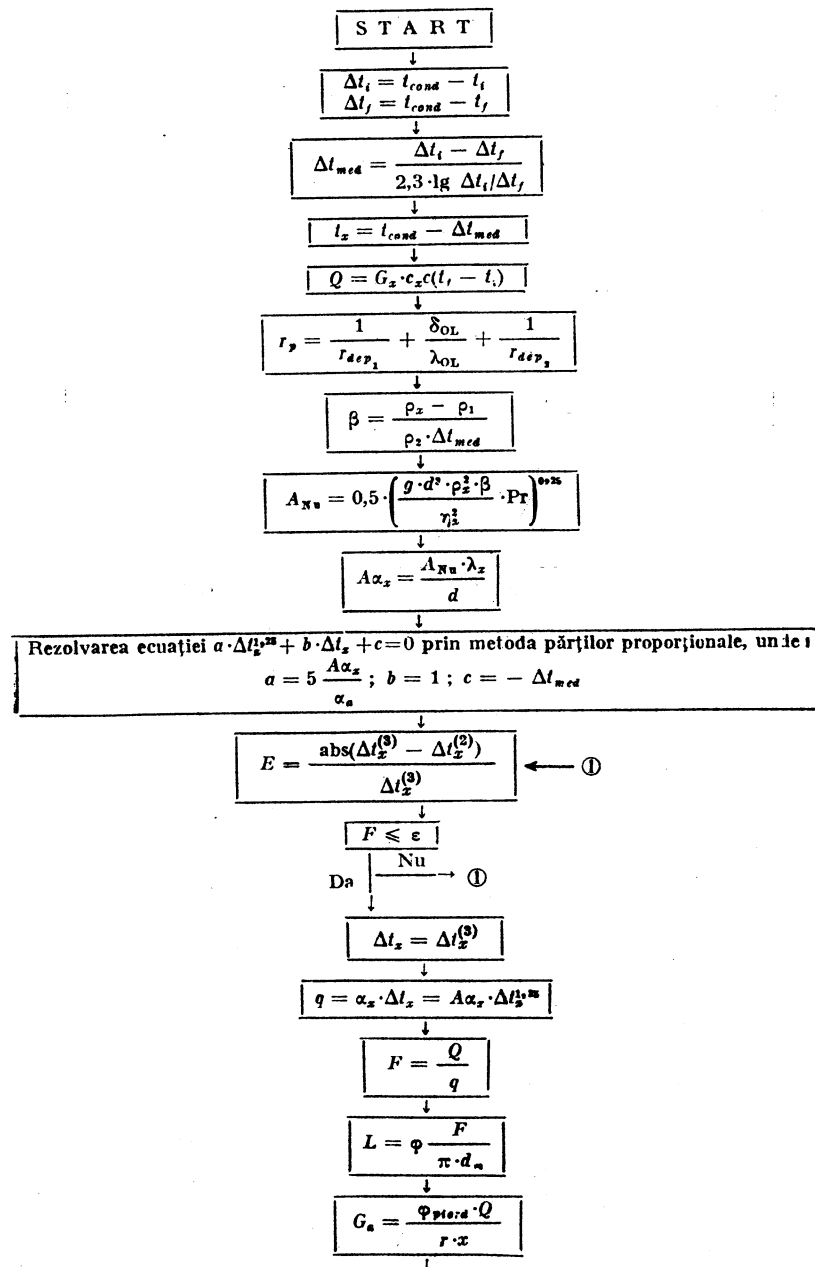
$$\left(\frac{L}{d}\right)_{max} = 190 \frac{6}{66,6} = 140$$

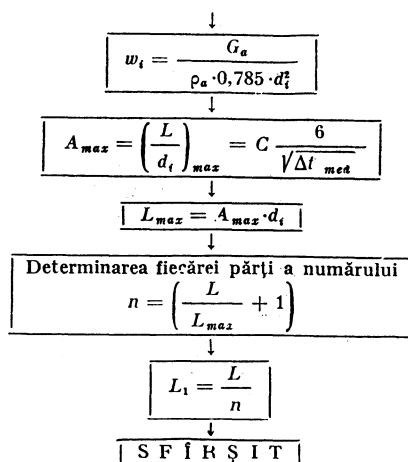
Ca urmare lungimea serpentinei nu trebuie să depășească :

$$L = 140 \cdot d = 140 \cdot 0,049 = 6,9 \text{ m}$$

Considerăm patru serpentine care lucrează în paralel, a căror lungime va fi $26/4 = 6,5 \text{ m}$.

Schema logică de calcul a exemplului 4-V.





Tabelul identificatorilor este dat mai jos (tab. 4-11).

Tabelul 4-11

Mărimea	Identifi- catorul	Mărimea	Identifi- catorul
Δt_i	DTI	$\Delta t^{(1)}$	DTK1
Δt_f	DTF	$\Delta t^{(2)}$	DTK2
l_i	TI	$\Delta t^{(3)}$	DTK3
l_f	TF	a	A
l_c	TC	b	B
Δt_{med}	DTMED	c	C
l_x	TX	Valorile po- linomului	F1
Q	Q	$P(\Delta t_x)$	F2
G_x	GX	Eroarea calculului E	F3
c_x	CX	Eroarea admisă ε	E
Σr_p	SPR		EPS
$1/r_{dep1}$	RD1	q	Q1
$1/r_{dep2}$	RD2	F	F
δ_{OL}	DOL	L	L
λ_{OL}	LAMOL	φ	FI
β	BETA	G_a	GA
ρ_x	RX	Φ_{pterd}	FII
ρ_i	R1	r	R
A_{NU}	ANU	x	X
d	D	w_i	W
η_x	ETAX	ρ_a	ROA
Pr	PR	A_{max}	AMAX
$A\alpha_x$	AALFA	c	CI
λ_x	LAMX	L_{max}	LMAX
α_a	ALFAA	n	N
L_i	L1	Parametru de control	I

```

      DIMENSION L(10), DTK(3), F(10), GA, W, R, L1
      WRITE(10,10) DTK(3), F(10), GA, W, R, L1
      10 FORMAT(10X, 'DTK3= ', DTK(3), ' F= ', F(10), ' GA= ', GA, ' W= ', W, ' R= ', R, ' L1= ', L1)
      STOP
      END

```

TESTARE 24/12/79 02.00.36

DATELE PROBLEMEI					
TI= .160000E+02	TP= .800000E+02	TD= .119600E+03			
GI= .160000E+02	GL= .184000E+04	ED1= .172000E+04			
POL= .200000E+02	LAMOL= .450000E+02	ED2= .172000E+04			
RI= .837000E+03	RI= .778000E+03	D= .550000E+01			
ETAL= .450000E+03	PR= .450000E+01	LAMEL= .120000E+00			
ALFA= .100000E+05	RFD= .500000E+01	FI= .1150000E+01			
FI1= .105000E+01	R= .220800E+07	L= .950000E+00			
ROA= .110700E+01	GL= .190000E+03				
REZULTATE					
QINC= .5930E+02	Q1= .1450E+05	P= .7609E+01			
R= .9592E+02	Q1= .2620E+01	E= .1255E+02			
W= .4000E+01	Q1= .5479E+01				

5. EVAPORAREA. CRISTALIZAREA

5.1. VARIABILELE DE BAZĂ ȘI RELAȚIILE DE CALCUL

1. Ecuația bilanțului de materiale al procesului de evaporare :

$$m_{in} = m_{conc} + W \quad (5-1)$$

$$m_{in} \cdot x_{in} = m_{conc} \cdot x_{conc} \quad (5-2)$$

unde : m_{in} , m_{conc} sînt debitele de masă ale soluției inițiale, respectiv finale (concentrate), kg/s ;

x_{in} , x_{conc} — concentrația substanței, dizolvate în soluția inițială și finală, % masă ;

W — debitul masic de solvent evaporat, kg/s.

$$W = m_{in} - m_{conc} = m_{in} \left(1 - \frac{x_{in}}{x_{conc}} \right) \quad (5-3)$$

2. Din bilanțul termic al evaporatorului rezultă că necesarul de căldură Q (în W) este determinat de : căldura consumată pentru încălzirea soluției inițiale Q_{inc} , căldura consumată pentru evaporarea solventului Q_{ev} și căldura pierdută în mediul înconjurător Q_p .

$$Q = Q_{inc} + Q_{ev} + Q_p \quad (5-4)$$

Căldura consumată pentru încălzirea soluției inițiale :

$$Q_{inc} = m_{in} \cdot c_{in} (t_{fierb} - t_{in}) \quad (5-5)$$

unde : c_{in} este căldura specifică a soluției inițiale, J/(kg·K) ;

t_{fierb} — temperatura de fierbere a soluției în evaporator, °C. (vezi ecuația (5-21) ;

t_{in} — temperatura soluției inițiale la intrarea în evaporator, °C.

Dacă soluția intră în evaporator în stare supraîncălzită ($t_{in} > t_{fierb}$), atunci Q_{inc} are semnul minus și consumul de căldură în evaporator se micșorează datorită evaporării unei părți din solvent prin răcirea soluției inițiale de la t_{in} la t_{fierb} . Mărirea :

$$Q_{autoev} = m_{in} \cdot c_{in} (t_{in} - t_{fierb})$$

poartă denumirea de căldură de autoevaporare.

Căldura consumată pentru evaporarea solventului :

$$Q_{ev} = W(i'' - c_{solv} \cdot t_{fiterb}) \quad (5-6)$$

unde: i'' este entalpia vaporilor secundari, J/kg;

c_{solv} — căldura specifică a solventului, J/(kg·K).

Cu aproximație, se poate considera că vaporii secundari sînt saturați și căldura de evaporare se poate lua ca și pentru solventul pur (apa), $i'' - c_{solv} \cdot t_{fiterb} \approx r$, unde r este căldura latentă a vaporilor formați (în J/kg). La calculul evaporatoarelor căldura latentă se consideră la presiunea medie din aparat.

Căldura necesară pentru compensarea pierderilor în mediul înconjurător Q_p , la calculul evaporatoarelor poate fi admisă ca o fracțiune 3—5% din suma ($Q_{in} + Q_{ev}$). Mărimea Q_p poate fi calculată și cu relația :

$$Q_p = \alpha \cdot A_e \cdot (t_p - t_{aer}) \quad (5-7)$$

unde: $\alpha = \alpha_r + \alpha_c$, este coeficientul parțial de transmitere a căldurii prin radiație și convecție, W/m²·grd;

A_e — suprafața exterioară a aparatului, m²;

t_p — temperatura suprafeței exterioare a izolației, în °C sau K;

t_{aer} — temperatura aerului din mediul înconjurător, în °C sau K.

În cazul general, la bilanțul termic al evaporatoarelor trebuie să se țină seama și de efectul termic de concentrare, însă, de obicei, această mărime este mică în comparație cu celelalte mărimi din bilanțul termic, încît poate fi neglijată (vezi exemplul 5-5).

Consumul aburului de încălzire, $m_{ab.inc.}$ (kg/s) la un evaporator se determină cu relația :

$$m_{ab.inc.} = \frac{Q}{(i'' - i') \cdot x} = \frac{Q}{r \cdot x} \quad (5-8)$$

unde: i'' este entalpia aburului saturant uscat, J/kg;

i' — entalpia condensatului la temperatura de condensare, J/kg;

x — titrul aburului (gradul de uscare al aburului de încălzire); kg/kg;

r — căldura latentă de condensare, a aburului de încălzire, J/kg.

Consumul specific de abur pentru evaporare, d este raportul între consumul total de abur de încălzire și debitul apei evaporate :

$$d = \frac{m_{ab.inc.}}{W} \quad (5-9)$$

3. Căldura specifică a soluțiilor se poate calcula cu ajutorul relației generale :

$$c = c_1 \cdot x_1 + c_2 \cdot x_2 + c_3 \cdot x_3 + \dots \quad (5-10)$$

unde: c_1, c_2, c_3, \dots sînt căldurile specifice ale componentelor, J/(kg·K);

x_1, x_2, x_3, \dots — fracțiile masice ale componentelor.

Pentru calculul conținutului termic al unor sisteme bicomponente diluate (apă + substanță dizolvată), ($x < 0,2$) se poate utiliza relația aproximativă :

$$c = 4190(1 - x) \quad (5-11)$$

unde 4190 J/(kg·K) este căldura specifică a apei, iar x este concentrația substanței dizolvate, fracție de masă.

Pentru soluții apoase bicomponente, concentrate, ($x > 0,2$) calculul se face cu relația :

$$c = 4190(1 - x) + c_1 \cdot x \quad (5-12)$$

unde c_1 este căldura specifică a substanțelor anhidre, J/(kg·K).

Căldura specifică a compuşilor chimici, în absența datelor experimentale se poate calcula cu relația :

$$M \cdot c = n_1 C_1 + n_2 C_2 + n_3 C_3 + \dots \quad (5-13)$$

unde: M este masa molară a compusului chimic, kg/kmol;

c — căldura specifică a compusului, J/(kg·K);

n_1, n_2, n_3, \dots — numărul atomilor fiecărui element din formula compusului;

C_1, C_2, C_3, \dots — căldurile atomice, J/(atom·kg·K).

În relația (5-13) se utilizează următoarele valori ale căldurilor atomice (v. tab. 5-1).

Tabelul 5-1

Element	Căldura atomică a elementului, kJ/(atom.kg.K)		Element	Căldura atomică a elementului kJ/(atom.kg.K)	
	în stare solidă	în stare lichidă		în stare solidă	în stare lichidă
C	7,5	11,7	F	20,95	29,3
H	9,6	18,0	P	22,6	31,0
B	11,3	19,7	S	22,6	31,0
Si	15,9	24,3	celelalte	26,0	33,5
O	16,8	25,1			

4. Pentru determinarea temperaturii de fierbere a soluțiilor și lichidelor organice se poate utiliza relația :

$$\frac{\lg p_{A_1} - \lg p_{A_2}}{\lg p_{B_1} - \lg p_{B_2}} = C \quad (5-14)$$

și nomograma (fig. XIV).

Aici: p_{A_1} și p_{B_1} sînt presiunile vaporilor saturați ale celor două lichide la aceeași temperatură t_1 ;

p_{A_2} și p_{B_2} — presiunile vaporilor saturați ale aceluiași lichide la temperatura t_2 ;

C — constantă.

Temperatura de fierbere a lichidelor se poate determina, de asemenea, cu regula liniarității funcțiilor chimico-tehnice :

$$\frac{t_1 - t_2}{t_{1,et} - t_{2,et}} = \text{const.} \quad (5-15)$$

unde : t_1 și t_2 — sînt temperaturile de fierbere ale soluției sau lichidului organic la două presiuni diferite p_1 și p_2 ;

$t_{1,et}$ și $t_{2,et}$ — temperaturile de fierbere ale apei sau altui lichid etalon la aceleași presiuni (v. fig. XV și XVI).

Pentru a putea determina temperatura de fierbere a unui lichid oarecare la o anumită presiune cu ajutorul ecuației (5-14) sau (5-15) trebuie să se cunoască temperaturile de fierbere ale acestui lichid la două presiuni diferite. Dacă pentru o soluție oarecare se cunoaște numai o temperatură de fierbere la o presiune oarecare, atunci se poate determina temperatura de fierbere a acestei soluții la o altă presiune, utilizînd relația lui Babo :

$$\left(\frac{p}{p_0}\right)_t = \text{const}$$

cu corecția lui V. N. Stabnikov pentru soluții apoase concentrate, care fierb sub vid (tabela 5-2).

Aici : p este presiunea de vapori a soluției ;

p_0 — presiunea vaporilor saturați ai solventului pur la aceeași temperatură.

Tabela 5-2

Raportul p/p_0							Corecția $\pm t, K$
0,9	0,8	0,7	0,6	0,5	0,4	0,3	
Presiunea p , mm Hg							
100	200	400	450	500	550	650	0,9
—	50	200	350	450	500	550	1,8
—	—	100	275	300	350	400	2,6
—	—	—	150	200	250	300	3,6

Dacă dizolvarea substanței anhidre este exotermă corecția se adună, dacă dizolvarea este endotermă corecția se scade din valoarea temperaturii rezultate la aplicarea legii lui Babo. Utilizarea relației lui Babo este redată în exemplul 5-8.

5. Căldura latentă de evaporare a unui lichid r (în J/kg) la presiunea p se poate determina cu relația :

$$r = r_{et} \frac{M_{et}}{M} \left(\frac{T}{T_{et}}\right)^2 \frac{dT_{et}}{dT} \quad (5-17)$$

care permite, prin utilizarea regulii liniarității, să se găsească mărimea dT_{et}/dT .

În relația (5-17) :

r și r_{et} — este căldura latentă de evaporare a lichidului dat și a lichidului etalon la aceeași presiune p , J/kg ;

M și M_{et} — masele molare ale acestor lichide, kg/kmol ;

T și T_{et} — temperaturile de fierbere ale lichidului dat și ale lichidului etalon la presiunea p , °K ;

dT și dT_{et} — temperaturile diferențiale de fierbere ale acestor lichide. Aplicînd regula liniarității, raportul diferențialelor este înlocuit cu raportul diferențelor finite dintre temperaturile de fierbere la două presiuni diferite.

Căldura latentă de evaporare pentru lichide nepolare (în J/kg) la presiunea atmosferică poate fi calculată cu relația lui Kisteakovski :

$$r = 19,2 \cdot 10^3 \frac{T}{M} (1,91 + \lg T) \quad (5-18)$$

unde : T este temperatura absolută de fierbere, K ;

M — masa molară a lichidului, kg/kmol.

6. După cum rezultă din figura 5-1, presiunea în stratul mediu de soluție ce se evaporă este :

$$p_{med} = p_1 + \frac{h_m}{2} \cdot \rho_{sol} \cdot g = p_0 + \Delta p_{r,h} + \Delta p_{e,h} \quad (5-19)$$

unde : p_0 — este presiunea absolută a vaporilor secundari saturați la ieșirea din evaporator (de exemplu, în condensatorul barometric) ;

$\Delta p_{r,h}$ — căderea de presiune a vaporilor secundari pentru învingerea rezistențelor hidraulice ale separatorului și conductelor de legătură. Aceasta poate fi calculată cu relația (vezi. cap. 1) :

$$\Delta p_{r,h} = \frac{w^2 \cdot \rho_r}{2} \left(1 + \frac{\lambda L}{d} + \Sigma \zeta\right) \quad (5-20)$$

$\Delta p_{e,h} = \frac{h_m}{2} \cdot \rho_{sol} \cdot g$ este creșterea presiunii în soluție datorită coloanei de lichid de înălțime $h_m/2$ de la suprafață (se mai numește și efect hidrostatic) ;

ρ_{sol} — densitatea soluției, kg/m³.

Corespunzător presiunii în stratul mediu de soluție, temperatura medie de fierbere t_{fierb} a soluției se calculează în felul următor :

$$t_{fierb} = t_{med} + \Delta t_{dep} = t_0 + \Delta t_{r,h} + \Delta t_{e,h} + \Delta t_{dep} \quad (5-21)$$

unde : t_{med} este temperatura de fierbere a apei la presiunea p_{med} ;

t_0 — temperatura de fierbere a apei la presiunea p_0 ;

Δt_{dep} — creșterea temperaturii de fierbere a soluției în raport cu temperatura de fierbere a solventului pur la presiunea medie (depresiunea de temperatură) ;

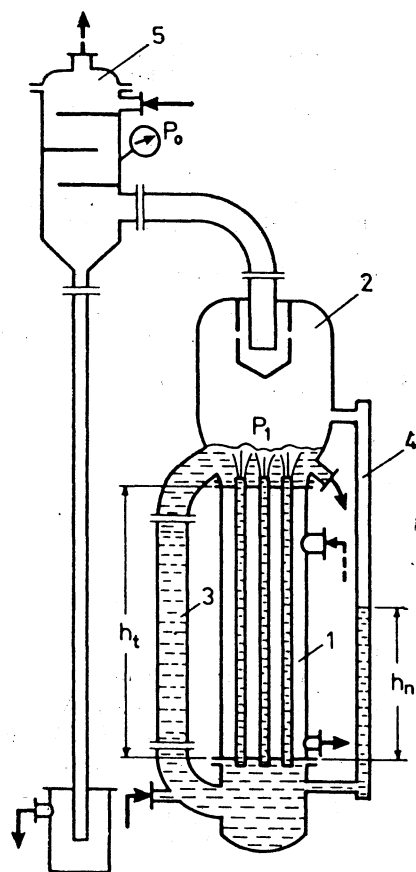


Fig. 5-1. Determinarea lui p_{med} .
1 — camera de schimb termic; 2 — separator de vapori; 3 — țevă de circulație; 4 — sticlă de nivel; 5 — condensator barometric.

- $\Delta t_{r,h}$ — creșterea temperaturii de fierbere, ca urmare a creșterii presiunii $\Delta p_{r,h}$, (depresiunea hidraulică). Obișnuit, la calculul evaporatoarelor se consideră $\Delta t_{r,h} = 1 - 1,5$ grad;
 $\Delta t_{e,h}$ — creșterea temperaturii de fierbere în stratul mediu al soluției datorită efectului hidrostatic (depresiunea hidrostatică).

Depresiunea hidrostatică $\Delta t_{e,h}$, legată de mărimea $\Delta p_{e,h}$, depinde de înălțimea soluției (la indicatorul de nivel) și de densitatea acesteia.

Nivelul optim la evaporarea soluțiilor apoase în evaporatoare cu circulație naturală se poate calcula cu relația:

$$h_n = [0,26 + 0,0014(\rho_{sol} - \rho_{apd})]h_t \quad (5-22)$$

unde: h_n — este nivelul optim, m;
 h_t — înălțimea țevelor de încălzire, m;
 ρ_{sol}, ρ_{apd} — densitatea soluției (la concentrația finală) și a apei la temperatura de fierbere t_{fierb} , kg/m³.

Mărimea $\Delta t_{e,h}$ se determină cu relația:

$$\Delta t_{e,h} = t_{med} - t_1 \quad (5-23)$$

unde:

t_{med} — temperatura de fierbere a apei la presiunea p_{med} ;

$$t_1 = t_0 + \Delta t_{r,h} \quad (5-23, a)$$

Modul de calcul al temperaturii de fierbere t_{fierb} este redat și în exemplul 5-11.

7. Diferența între temperatura de condensare a aburului de încălzire $t_{ab,inc}$ și temperatura medie de fierbere a soluției t_{fierb} , se numește diferență utilă de temperatură:

$$\Delta t_{ut} = t_{ab,inc} - t_{fierb}. \quad (5-24)$$

Mărimea Δt_{ut} , reprezintă forța motoare medie (Δt_{med}) în ecuația transferului de căldură (4-62) pentru determinarea suprafeței de încălzire a evaporatorului.

Din ecuațiile (5-21) și (5-24) se obține:

$$\Delta t_{ut} = t_{ab,inc} - t_0 - (\Delta t_{dep} + \Delta t_{e,h} + \Delta t_{r,h}) \quad (5-25)$$

$$\Delta t_{ut} = \Delta t_{tot} - \Sigma \Delta t_{pterd}$$

unde $\Sigma \Delta t_{pterd} = \Delta t_{dep} + \Delta t_{e,h} + \Delta t_{r,h}$ se numește suma pierderilor de temperatură.

La instalații de evaporare în mai multe trepte, Δt_{tot} este diferența între temperatura de condensare a aburului de încălzire în prima treaptă și temperatura de condensare a vaporilor secundari în ultima treaptă:

$\Sigma \Delta t_{pterd} = (\Sigma \Delta t_{dep} + \Delta t_{e,h} + \Delta t_{r,h})$ este suma pierderilor de temperatură pentru toate treptele.

8. Repartizarea diferenței utile de temperatură între treptele unei instalații de evaporare se face:

a) în cazul calculului suprafeței totale minime a tuturor treptelor — proporțional cu $\sqrt{Q/K}$:

$$\Delta t_i = \frac{\Delta t_{ut} \cdot \sqrt{Q_i/K_i}}{\sum_{i=1}^n \sqrt{Q_i/K_i}} \quad (5-26)$$

b) în cazul calculului pentru suprafețe egale la toate treptele — proporțional cu raportul Q/K :

$$\Delta t_i = \frac{\Delta t_{s1} \cdot Q_i / K_i}{\sum_{i=1}^n Q_i / K_i} \quad (5-27)$$

unde: Q_i este căldura schimbată în treapta considerată;

K_i — coeficientul total de transmitere a căldurii la treapta considerată.

9. Debitul apei de răcire în condensatoare de suprafață, m_{apd} (în kg/s) se determină din ecuația bilanțului termic al condensatorului:

$$m_{apd} = \frac{W(i'' - i')}{c(t_2 - t_1)} \quad (5-28)$$

unde: W este debitul vaporilor secundari, intrați în condensator, kg/s;

i'' — entalpia acestor vapori, J/kg;

i' — entalpia condensatului la ieșirea din condensator, J/kg;

t_1, t_2 — temperatura inițială și finală a apei de răcire, grd;

c — căldura specifică a apei, J/kg·grd.

În condensatoarele de amestec temperatura condensatului este egală cu temperatura finală a apei de răcire t_2 . De aceea:

$$m_{apd} = W \frac{i'' - ct_2}{c(t_2 - t_1)} \quad (5-29)$$

Cantitatea de aer aspirată de pompa de vid din condensatorul barometric, m_{aer} (în kg/s) se determină cu relația empirică:

$$m_{aer} = 0,000025(W + m_{apd}) + 0,01W \quad (5-30)$$

unde: W este debitul vaporilor secundari, intrați în condensator, kg/s.

m_{apd} — debitul apei de răcire în condensator, kg/s.

Volumul aerului saturat cu vapori de apă V (în m³/s) aspirat din condensatorul barometric cu funcționare în contracurent este:

$$V = \frac{R \cdot m_{aer} \cdot T_{aer}}{M_{aer}(P - P_{ab})} = \frac{287 \cdot T_{aer} \cdot m_{aer}}{P - P_{ab}} \quad (5-31)$$

Aici: T_{aer} este temperatura absolută a aerului evacuat din condensatorul barometric, care se determină cu relația aproximativă:

$$T_{aer} = 273 + [t_{apd,i} + 0,1(t_{apd,f} - t_{apd,i}) + 4] \quad (5-32)$$

$t_{apd,i}$ și $t_{apd,f}$ — temperaturile inițiale și finale ale apei, grd. (temperatura finală a apei, $t_{apd,f}$ se ia cu cca. 3°C mai mică decât temperatura de condensare a vaporilor secundari);

P — presiunea absolută în condensatorul barometric, Pa (N/m²);

P_{ab} — presiunea vaporilor de apă saturați la temperatura T_{aer} , Pa(N/m²);

R — constanta gazelor, J/kmol·grd.

Înălțimea coloanei barometrice H (în m) depinde de vidul din condensator și este egală cu:

$$H = H_0 + H_{r,h} + 0,5 \quad (5-33)$$

unde: $H_0 = 10,33 \frac{\Delta p}{760}$

Δp — depresiunea (vidul) în condensator, mm Hg.

$$H_{r,h} = \frac{w^2}{2g} \left(1 + \lambda \frac{H}{d} + 0,5 \right)$$

w — viteza lichidului în coloana barometrică, m/s;

λ — coeficient de frecare;

d — diametrul coloanei barometrice, m.

10. Cantitatea de cristale m_{cr} (în kg) ce se formează se determină din ecuația bilanțului de materiale al cristalizorului:

$$m_{cr} = \frac{m_1(x_2 - x_1) - W \cdot x_2}{x_2 - x_{cr}} \quad (5-34)$$

unde: m_1 este cantitatea de soluție inițială, kg;

x_1 — concentrația soluției inițiale în raport cu sarea anhidră, fracții masice sau %;

x_2 — concentrația în raport cu sarea anhidră a soluției saturate (soluție-mamă) după cristalizare, fracții masice sau %;

W — cantitatea de solvent evaporată, kg;

$x_{cr} = \frac{M}{M_{cr}}$ — raportul între masele molare ale substanței anhidre și cristalohidratului.

Dacă substanța cristalizează în formă anhidră, $x_{cr} = 1$.

La efectuarea cristalizării fără evaporarea unei părți din solvent ($W = 0$) rezultă:

$$m_{cr} = \frac{m_1(x_1 - x_2)}{x_{cr} - x_2} \quad (5-35)$$

11. Căldura specifică de dizolvare q_d (în J/kg) a substanțelor solide cu solubilitate mică, poate fi determinată cu relația:

$$q_d = \frac{19,2 \cdot 10^3 \cdot \lg \frac{c_1}{c_2}}{M \left(\frac{1}{T_2} - \frac{1}{T_1} \right)} \quad (5-36)$$

unde: c_1 și c_2 sînt solubilitățile substanței la temperaturile absolute T_1 și T_2 ;

M — masa molară a substanței dizolvate, kg/kmol.

Căldura latentă de topire, q_i (în J/kg), în lipsa datelor experimentale, poate fi calculată cu următoarele relații aproximative :

a) pentru compuși anorganici :

$$q_i = 25,1 \cdot 10^3 \frac{T_i}{M} \quad (5-37)$$

b) pentru compuși organici :

$$q_i = 41,9 \cdot 10^3 \frac{T_i}{M} \quad (5-38)$$

unde : T_i este temperatura absolută de topire, °K ;

M — masa molară a compusului, kg/kmol.

Căldura Q (în J) ce se degajă la cristalizarea, fără evaporarea unei părți din solvent, se determină din ecuația bilanțului termic al cristalizatorului :

$$Q = m_1 \cdot c(t_1 - t_2) + m_{cr} \cdot q \quad (5-39)$$

unde : m_1 este masa soluției inițiale, kg ;

c — căldura specifică a soluției inițiale, J/(kg,°K) ;

t_1 și t_2 — temperatura inițială și finală a soluției, °C sau K ;

m_{cr} — cantitatea cristalelor formate, kg ;

q — căldura latentă de cristalizare, J/kg.

5.2. EXEMPLE

Exemplul 5-1. Soluția inițială de hidroxid de sodiu conține 79 g/l apă. Densitatea la 30°C a soluției concentrate prin evaporare este 1,555 g/cm³. Acestea îi corespunde concentrația 840 g/l soluție. Să se determine cantitatea de apă evaporată pentru o tonă de soluție inițială.

Rezolvare. Frația masică a substanței dizolvate în soluția inițială

$$x_{in} = \frac{79}{1\,000 + 79} = 0,0733$$

Pentru soluția finală (concentrată) :

$$x_{conc} = \frac{840}{1\,555} = 0,54$$

Cantitatea de apă evaporată pentru o tonă de soluție inițială :

$$W = m_{in} \left(1 - \frac{x_{in}}{x_{conc}} \right) = 1\,000 \left(1 - \frac{0,0733}{0,54} \right) = 865 \text{ kg}$$

Exemplul 5-2. Să se calculeze căldura specifică a soluției apoase cu concentrația 25% salicilat de sodiu.

Rezolvare. Deoarece concentrația soluției este mai mare decît 20%, căldura specifică a soluției se determină cu relația (5-12).

Se determină întii căldura specifică c_1 a salicilatului de sodiu uscat cu relația (5-13), utilizînd datele din tabela 5-1. Formula chimică a acestei sări este : $C_6H_4(OH)COONa$; $M = 160$:

$$c_1 = \frac{7,5 \cdot 7 + 9,6 \cdot 5 + 16,8 \cdot 3 + 26,0}{160} = 1\,110 \text{ J/kg} \cdot \text{grd}$$

Căldura specifică a soluției 25% este :

$$c = 4\,190(1 - x) + c_1 \cdot x = 4\,190 \cdot 0,75 + 1\,110 \cdot 0,25 = 3\,420 \text{ J/kg} \cdot \text{grd}$$

Exemplul 5-3. Să se determine, folosind regula liniarității, temperatura de fierbere a anilinei sub un vid de 0,8 at, adică la o presiune reziduală de 0,2 at. Se cunoaște că la temperatura de 160°C presiunea vaporilor saturați de anilină este 390 mm Hg iar la presiunea atmosferică, temperatura de fierbere a anilinei este 184°C.

Rezolvare. Se folosește ca lichid etalon hexanul. Din diagramă (fig. XVII) se găsește pentru hexan :

$$\text{la } p_1 = 390 \text{ mm Hg} \quad t_{1,et} = 49,2^\circ\text{C}$$

$$\text{la } p_2 = 760 \text{ mm Hg} \quad t_{2,et} = 69^\circ\text{C}$$

Atunci :

$$\frac{t_1 - t_2}{t_{1,et} - t_{2,et}} = \frac{160 - 184}{49,2 - 69} = 1,21$$

La presiunea absolută 0,2 ata sau 0,2·735 = 147 mm Hg temperatura de fierbere a hexanului este 24,5 (fig. XVII).

Prin urmare :

$$\frac{160 - t}{49,2 - 24,5} = 1,21 \text{ de unde } t = 130,1^\circ\text{C}$$

Dacă se rezolvă această problemă cu ajutorul diagramei liniarității construită prin utilizarea apei ca lichid etalon (fig. XV) se obține temperatura de fierbere a apei egală cu 60° la presiunea $p = 0,2$ ata. Pe diagrama liniarității se găsește punctul de intersecție a ordonatei de 60°C (pentru apă) cu linia 12 (pentru anilină). Acestui punct de intersecție îi corespunde pe abscisă temperatura de fierbere a anilinei, egală cu 130°C.

Exemplul 5-4. Să se calculeze cu ajutorul regulii liniarității căldura latentă de vaporizare a anilinei la presiunea $p = 0,2$ ata.

Rezolvare. Se utilizează relația (5-17) luînd ca lichid etalon hexanul. Temperatura de fierbere a anilinei la $p = 0,2$ ata este 130°C (v. exemplul anterior). Temperatura de fierbere a hexanului la $p = 0,2$ ata este 24,5°C. Căldura latentă de vaporizare a hexanului la temperatura de 24,5°C se găsește din figura XVIII : $r_{et} = 366 \cdot 10^3 \text{ J/kg}$.

Raportul $\frac{dT_{et}}{dT}$ se găsește din datele exemplului precedent,

$$\frac{dT_{et}}{dT} = \frac{1}{const.} = \frac{1}{1,21} = 0,826$$

Înlocuind toate aceste valori în relația (5-17), se obține :

$$r = r_{ei} \cdot \frac{M_{ei}}{M} \left(\frac{T}{T_{ei}} \right)^2 \cdot \frac{dT_{ei}}{dT} =$$

$$= 366 \cdot 10^3 \cdot \frac{86}{93} \cdot \left(\frac{273 + 130}{273 + 24,5} \right)^2 \cdot 0,826 = 515\,000 \text{ J/kg}$$

Dacă se consideră apa ca lichid etalon și nu hexanul, se obțin următoarele date :

Pentru apă la $p = 0,2$ ata temperatura de fierbere este $59,7^\circ\text{C}$, iar căldura latentă de vaporizare (v. tabelul LVII) $r = 2\,358 \cdot 10^3 \text{ J/kg}$.

Raportul dT_{ei}/dT îl găsim din figura XV, considerat a fi panta liniei 12 :

$$\frac{dT_{ei}}{dT} = \frac{110 - 20}{200 - 80} = 0,75$$

Înlocuind în relația 5-17 se obține :

$$r = 2\,358 \cdot 10^3 \cdot \frac{18}{93} \left(\frac{273 + 130}{273 + 59,7} \right)^2 \cdot 0,75 = 505\,000 \text{ J/kg}$$

Exemplul 5-5. Să se determine debitul aburului de încălzire într-un evaporator cu treaptă de concentrare cu funcționare continuă în care se concentrează soluție de NaOH. Debitul soluției inițiale este 2 t/h, concentrația inițială 14,1% (masă), iar concentrația finală 24,1% (masă).

Temperatura aburului de încălzire este 150°C . Temperatura de fierbere a soluției în aparat 113°C . Căldura pierdută în mediul înconjurător se consideră 58 000 W.

Calculul se va face în trei variante :

- soluția intră în evaporator la temperatura de 20°C ;
- soluția intră în evaporator la temperatura de fierbere din aparat ;
- soluția intră în evaporator supraîncălzită la 130°C .

Rezolvare. Pentru determinarea consumului de abur de încălzire se calculează consumul de căldură în aparat.

Debitul de apă evaporată :

$$W = m_{in} \left(1 - \frac{x_{in}}{x_{conc.}} \right) = 2\,000 \left(1 - \frac{14,1}{24,1} \right) = 829 \text{ kg/h}$$

Se determină consumul de căldură pentru evaporarea apei. La 113°C căldura latentă de vaporizare a apei $r = 2\,225 \cdot 10^3 \text{ J/kg}$ (tabela LVI), deci consumul de căldură pentru evaporare este :

$$Q_{ev} = W \cdot r = \frac{829 \cdot 2\,225 \cdot 10^3}{3\,600} = 510\,000 \text{ W}$$

Se determină consumul de căldură pentru încălzirea soluției. Trebuie calculată căldura specifică a soluției inițiale.

Căldura specifică a NaOH solid se calculează cu relația (5-13) :

$$c_1 = \frac{16,8 + 9,6 + 26,0}{40} = 1\,310 \text{ J/(kg} \cdot \text{K)}$$

Căldura specifică a soluției 14,1% NaOH în apă este :

$$c = 1\,310 \cdot 0,141 + 4\,190 \cdot 0,859 = 3\,780 \text{ J/(kg} \cdot \text{K)}$$

Se calculează căldura necesară pentru încălzirea soluției pentru fiecare variantă :

a) temperatura inițială a soluției este 20°C .

$$Q_{inc} = \frac{2\,000 \cdot 3\,780}{3\,600} (113 - 20) = 195\,000 \text{ W}$$

b) temperatura inițială este egală cu temperatura de fierbere.

$$Q_{inc} = 0$$

c) soluția intră în aparat supraîncălzită la 130°C .

$$Q_{inc} = \frac{2\,000 \cdot 3\,780}{3\,600} (113 - 130) = -35\,700 \text{ W}$$

Se calculează și efectul termic de concentrare a NaOH pentru a stabili mărimea acestei componente a bilanțului termic al evaporatorului.

Căldurile de formare ale hidroxidului de sodiu în soluție, cu n moli de apă sînt :

n	3	5	7	9	13,5
$\frac{\text{kJ}}{\text{mol}}$	456,6	465,5	469,1	469,5	470,23

Se calculează numărul de moli de apă ce revin la un mol de NaOH. Pentru soluția inițială :

— numărul de moli de NaOH la 1 kg soluție :

$$\frac{141}{40} = 3,52$$

— numărul de moli de apă la 1 kg soluție

$$\frac{1\,000 - 141}{18} = \frac{859}{18} = 47,7$$

— numărul de moli de apă la 1 mol NaOH

$$\frac{47,7}{3,52} = 13,5$$

Pentru soluția finală :

— numărul de moli NaOH la 1 kg soluție

$$\frac{241}{40} = 6,02$$

— numărul de moli de apă la 1 kg soluție

$$\frac{1\,000 - 241}{18} = \frac{759}{18} = 42,1$$

— numărul de moli de apă la 1 mol NaOH

$$\frac{42,1}{6,02} = 7,0$$

Deci efectul termic de concentrare va fi:

$$(470,23 - 469,1) = 1,130 \text{ kJ/mol NaOH}$$

Efectul termic total de concentrare (deshidratare) va fi:

$$Q_a = \frac{3,52 \cdot 2000}{3600} \cdot 1130 = 2220 \text{ W}$$

Se întocmește tabelul recapitulativ cu consumurile termice (în W) ale evaporatorului în toate cele trei variante (tabela 5-3).

Tabela 5-3

Scopul consumului de căldură	Varianta		
	a	b	c
Pentru evaporarea apei	510 000	510 000	510 000
Pentru efectul termic de concentrare (deshidratare)	2 220	2 220	2 220
Pierderi de căldură	58 000	58 000	58 000
Pentru încălzirea soluției	195 000	0	-35 700
TOTAL	765 220	570 220	534 520

Din tabela prezentată se observă că efectul termic de concentrare este foarte mic și se poate neglija.

Se determină debitul aburului de încălzire.

Din tabela LVI pentru abur de 150°C rezultă:

$$i'' = 2753 \cdot 10^3 \text{ J/kg}; \quad i' = 633 \cdot 190^3 \text{ J/kg}$$

$$r = i'' - i' = 2120 \cdot 10^3 \text{ J/kg}$$

Cu relația (5-8), la $x = 1$ se obține:

$$a) m_{a.b.inc} = \frac{765220}{2120 \cdot 10^3} = 0,361 \text{ kg/s} = 1300 \text{ kg/h}$$

$$b) m_{a.b.inc} = \frac{570220}{2120 \cdot 10^3} = 0,272 \text{ kg/s} = 980 \text{ kg/h}$$

$$c) m_{a.b.inc} = \frac{534520}{2120 \cdot 10^3} = 0,255 \text{ kg/s} = 920 \text{ kg/h}$$

Exemplul 5-6. Într-un evaporator cu funcționare discontinuă, având suprafața de încălzire de 40m², se introduc 20 t soluție diluată cu concentrația $x_{in} = 5\%$ masă. Temperatura inițială a soluției diluate este 20°C. Soluția

se evaporă sub vid pînă la concentrația $x_{conc} = 50\%$ masă. Dependența temperaturii de fierbere a soluției și a coeficientului total de transmitere a căldurii în evaporator, în funcție de concentrația soluției este dată în tabela 5-4.

Tabela 5-4

Concentrația x , % masă	5	10	20	30	40	50
Temperatura de fierbere, °C	55	56	60	67	76	95
Coeficientul total de transmitere a căldurii, W/(m ² ·K)	2150	1740	1130	745	485	280

Coeficientul total de transmitere a căldurii pentru perioada încălzirii soluției diluate pînă la începutul fierberii este $K_1 = 350 \text{ W/(m}^2 \cdot \text{K)}$. Temperatura aburului de încălzire este 120°C. Să se determine consumul de abur de încălzire considerînd umiditatea lui 5% și durata procesului de evaporare.

Rezolvare. Cantitatea de apă evaporată este:

$$W = m_{in} \left(1 - \frac{x_{in}}{x_{conc}} \right) = 20000 \left(1 - \frac{5}{50} \right) = 18000 \text{ kg}$$

Consumul de căldură (fără considerarea pierderilor în mediul înconjurător este):

$$\begin{aligned} Q &= Q_{inc} + Q_{ev} = m_{in} \cdot c_{in} (t_{fierbere} - t_{in}) + W \cdot r = \\ &= 20000 \cdot 0,95 \cdot 4190 (55 - 20) + 18000 \cdot 2321 \cdot 10^3 = \\ &= 2,8 \cdot 10^9 + 4,19 \cdot 10^{10} = 4,47 \cdot 10^{10} \text{ J} \end{aligned}$$

Aici: 0,95·4190 este căldura specifică a soluției apoase cu concentrația 5%, în J/(kg·K);

2321·10³ este căldura latentă de vaporizare a apei la temperatura medie $\frac{55 + 95}{2} = 75^\circ\text{C}$ (tabela LVI), J/kg.

Debitul de abur:

a) — pentru încălzirea soluției diluate pînă la începerea fierberii:

$$m'_{a.b.inc} = \frac{Q_{inc}}{r \cdot x} = \frac{2,8 \cdot 10^9}{2207 \cdot 10^3 \cdot 0,95} = 1330 \text{ kg}$$

b) — pentru perioada evaporării:

$$m''_{a.b.inc} = \frac{4,19 \cdot 10^{10}}{2207 \cdot 10^3 \cdot 0,95} = 20000 \text{ kg}$$

În ambele cazuri căldura latentă de condensare a aburului de încălzire, $r = 2207 \cdot 10^3 \text{ J/kg}$ s-a considerat la temperatura de 120°C, (tabela LVI).

Durata încălzirii soluției diluate pînă la începutul fierberii se determină cu relația :

$$\tau_1 = \frac{Q_{ms}}{K_1 \cdot A \cdot \Delta t_1} = \frac{2,8 \cdot 10^6}{350 \cdot 40 \cdot 82,5} = 2430 \text{ s} = 0,67 \text{ ore}$$

unde : Δt_1 este diferența medie de temperatură (considerată în funcție de timp) între temperatura aburului de încălzire și temperatura soluției în perioada încălzirii.

$$\begin{array}{ccc} 120 & \text{---} & 120 \\ 20 & \text{---} & 55 \\ \hline \Delta t_{mare} = 100 & \Delta t_{mic} = 65 \end{array}$$

Deoarece $\frac{\Delta t_{mare}}{\Delta t_{mic}} < 2$, atunci $\Delta t_1 = \frac{100 + 65}{2} = 82,5 \text{ grad.}$

Determinarea duratei evaporării în această perioadă, concentrația x a soluției aflată la temperatura de fierbere t și mărimea coeficientului total de transmitere a căldurii K variază continuu, așa cum s-a arătat în tabela 5-4.

Ecuția căldurii transmise într-un interval infinit de mic de timp $d\tau$.

$$dQ_{ev} = KA(t_{ab} - t)d\tau$$

conține numai două mărimi constante : temperatura de condensare a aburului $t_{ab} = 120^\circ\text{C}$ și suprafața de încălzire $A = 40 \text{ m}^2$.

Din această ecuație se obține :

$$Ad\tau = \frac{dQ_{ev}}{K(t_{ab} - t)}$$

Integrarea părții din dreapta a ecuației se poate face grafic.

$$A \cdot \tau_2 = \int_0^{Q_{ev}} \frac{dQ_{ev}}{K(t_{ab} - t)}$$

În tabela 5-5 sînt date mărimile necesare pentru integrarea grafică, pornind de la datele din tabela 5-4.

Tabela 5-5

$x, \%$	5	10	20	30	40	50
$W, \text{ kg}$	0	10 000	15 000	16 660	17 500	18 000
$r \cdot 10^{-3}, \text{ J/kg}$	2 368	2 368	2 364	2 356	2 345	2 321
$Q_{ev} \cdot 10^{-10}, \text{ J}$	0	2,37	3,55	3,92	4,10	4,19
$(t_{ab} - t), \text{ K}$	65	64	60	53	44	25
$\frac{1}{K(t_{ab} - t)} \cdot 10, \text{ m}^2/\text{W}$	7,15	8,95	14,8	25,2	46,8	143

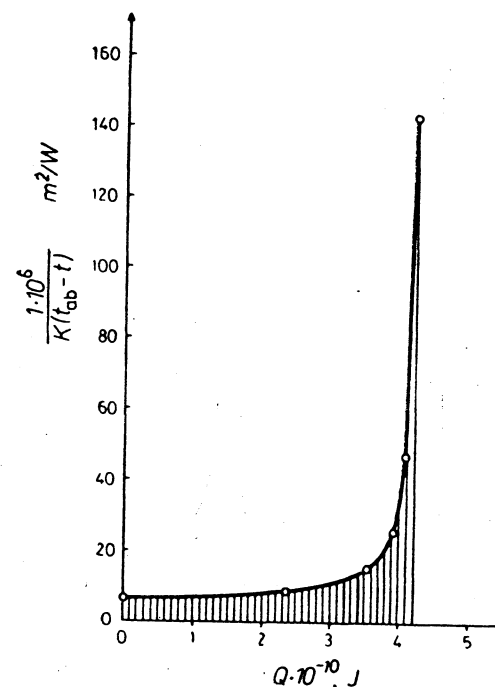


Fig. 5-2. Schița la exemplul 5-6.

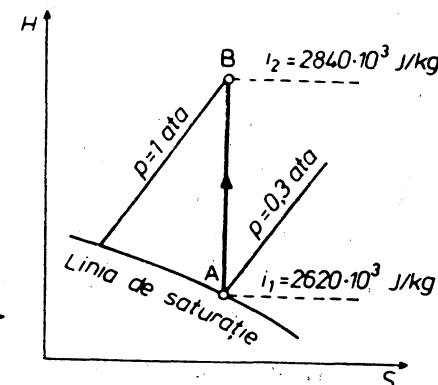


Fig. 5-3. Schița la exemplul 5-7.

Cu datele din tabela 5-5 se construiește graficul (fig. 5-2). Determinînd pe acest grafic mărimea suprafeței hașurate (de exemplu, după legea trapezului) se obține :

$$Q_{ev} = 4,19 \cdot 10^{10} \text{ J}$$

$$\int_0^{Q_{ev}} \frac{dQ_{ev}}{K(t_{ab} - t)} = A \tau_2 = 547 000 \text{ m}^2 \cdot \text{s.}$$

de unde :

$$\tau_2 = \frac{547 000}{40} = 13 650 \text{ s} = 3,8 \text{ ore}$$

Durata totală a procesului este

$$\tau = \tau_1 + \tau_2 = 0,67 + 3,8 \approx 4,5 \text{ ore}$$

Exemplul 5-7. Să se compare consumul teoretic de energie în următoarele două cazuri : a) la pomparea vaporilor secundari cu o pompă de vid din evaporatorul care funcționează sub vid de 0,7 at ; b) la condensarea vaporilor secundari în condensator și evacuarea condensatorului cu o pompă. Capacitatea evaporatorului este 1 000 kg/h apă evaporată.

Rezolvare. a) Se admite că procesul de comprimare a aburului în pompa de vid este adiabatic. În acest caz lucrul mecanic consumat se determină cu ecuația (2-13). Entalpia se determină din diagrama $i-S$ pentru vapori de apă (fig. 5-3 și XXV).

$$L = i_2 - i_1 = 2\,840 \cdot 10^3 - 2\,620 \cdot 10^3 = 220 \cdot 10^3 \text{ J/kg}$$

Puterea teoretică necesară (fără a ține seama de randamentul pompei de vid)

$$N_t = \frac{220 \cdot 10^3 \cdot 1\,000}{3\,600} = 62,7 \cdot 10^3 \text{ W} = 62,7 \text{ kW}$$

b) la evacuarea cu o pompă a lichidului (condensatului), puterea teoretică necesară a pompei (fără a lua în considerare randamentul ei) se determină cu relația:

$$N_t = \frac{1\,000 \cdot 0,7 \cdot 9,81 \cdot 10^4}{3\,600 \cdot 1\,000} = 0,019 \text{ kW}$$

în care $\frac{1\,000}{3\,600 \cdot 1\,000} = \frac{1}{3\,600} \text{ m}^3/\text{s}$ este debitul apei;

$$0,7 \cdot 9,81 \cdot 10^4 = 68,7 \cdot 10^5 \text{ Pa este diferența de presiune.}$$

Din exemplul dat se observă că nu este recomandată evacuarea vaporilor secundari cu o pompă de vid deoarece consumul de energie este cu mult mai mare (cu $62,7/0,019 = 3\,300$ ori) decât la evacuarea condensatului. De aceea vaporii secundari niciodată nu se evacuează ca atare, ei întotdeauna se condensează.

Exemplul 5-8. Să se determine, utilizând relația lui Babo, creșterea temperaturii de fierbere datorită concentrației (depresiunea de temperatură) pentru o soluție apoasă de clorură de calciu cu concentrația 25%, ce fierbe la presiunea de 0,5 ata.

Rezolvare. Din tabela XXXVI se găsește că soluția apoasă de clorură de calciu 25% la presiunea atmosferică (1,033 ata) fierbe la temperatura de 107,5°C. La această temperatură, presiunea vaporilor saturați de apă (tabela LVI) este 1,345 ata.

Raportul presiunii vaporilor deasupra soluției și deasupra apei (la aceeași temperatură 107,5°C) este:

$$\left(\frac{p}{p_0}\right)_{107,5} = \frac{1,033}{1,345} = 0,77$$

În conformitate cu legea lui Babo (relația 5-16), acest raport se păstrează pentru toate temperaturile de fierbere ale acestei soluții.

Prin urmare, la temperatura t :

$$\left(\frac{p'}{p'_0}\right)_t = \frac{0,5}{p'_0} = 0,77$$

de unde se determină $p'_0 = \frac{0,5}{0,77} = 0,65 \text{ ata}$

Se găsește temperatura t — temperatura de fierbere a apei la presiunea $p'_0 = 0,65 \text{ ata}$, egală cu temperatura de fierbere a soluției de clorură de calciu la presiunea $p' = 0,5 \text{ ata}$.

Din tabela XXXVIII, la $p'_0 = 0,65 \text{ ata} = 478 \text{ mm Hg}$ se găsește temperatura de fierbere a apei $t = 87,5^\circ\text{C}$. Temperatura de fierbere a apei la presiunea $p = 0,5 \text{ ata}$ este $80,9^\circ\text{C}$ (tabela LVII).

Creșterea temperaturii de fierbere a soluției față de a solventului, în condițiile date va fi:

$$\Delta t_{dep} = 87,5 - 80,9 = 6,6^\circ\text{C}$$

Din tabela 5-2 la $p/p_0 = 0,77$ și $p = 0,5 \text{ ata} = 358 \text{ mm Hg}$ rezultă că nu este cazul să se facă corecție pentru această diferență de temperatură.

Exemplul 5-9. Să se determine creșterea temperaturii de fierbere datorită efectului hidrostatic la evaporarea unei soluții apoase de clorură de calciu 25% la presiune scăzută și nivel optim al soluției în țevile de încălzire. Înălțimea țevilor este $h_t = 4 \text{ m}$, iar presiunea la suprafața soluției $p = 0,36 \text{ ata}$ (vezi fig. 5-1).

Rezolvare. La presiunea $p_1 = 0,36 \text{ ata}$ temperatura de fierbere a apei este $t_1 = 72,7^\circ\text{C}$ (tabela LVII).

Nivelul optim al soluției în evaporator se determină cu relația (5-22):

$$h_n = [0,26 + 0,0014(\rho_{sol} - \rho_{apa})]h_t$$

Astfel, densitatea soluției și apei trebuie luate la temperatura de fierbere a soluției, deocamdată necunoscută. Se consideră, de exemplu $t_{fierb} = 85^\circ\text{C}$:

$$h_n = [0,26 + 0,0014(1\,195 - 969)]4 = 2,3 \text{ m}$$

Aici:

$$\rho_{sol} = 1\,195 \text{ kg/m}^3 \quad \text{tabela III}$$

$$\rho_{apa} = 969 \text{ kg/m}^3 \quad \text{tabela XXXIX}$$

Presiunea în stratul mediu al soluției se calculează cu ecuația (5-19):

$$p_{med} = p_1 + \frac{h_n}{2} \cdot \rho_{sol} \cdot g = 0,36 + \frac{2,3}{2} \cdot \frac{1\,195 \cdot 9,81}{9,81 \cdot 10^4} = 0,5 \text{ ata}$$

Temperatura de fierbere a apei la $p_{med} = 0,5 \text{ ata}$ este $t_{med} = 80,9^\circ\text{C}$ (tabela LVII).

Creșterea temperaturii de fierbere datorită efectului hidrostatic se calculează cu relația (5-23):

$$\Delta t_{ch} = t_{med} - t_1 = 80,9 - 72,7 = 8,2^\circ\text{C}$$

Se verifică temperatura de fierbere admisă pentru soluție. Ținând cont de Δt_{dep} calculat în exemplul anterior $t_{fierb} = t_{med} + \Delta t_{dep} = 80,9 + 6,6 = 87,5^\circ\text{C}$, față de 85°C valoarea admisă. Întrucât densitatea lichidelor se modifică foarte puțin cu temperatura se consideră calculul corect.

Exemplul 5-10. Vaporii secundari dintr-un evaporator intră în condensator barometric printr-o conductă cu diametrul 150 mm. Viteza vaporilor în conductă este 50 m/s. Presiunea în condensator este $p_0 = 0,3 \text{ ata}$. Lungimea conductei se consideră 19 m, iar coeficientul de frecare $\lambda = 0,03$. Pe conductă se găsesc trei coturi de 90° ($\zeta = 0,2$). Să se determine creșterea temperaturii datorită rezistențelor hidraulice (depresiunea hidrostatică) $\Delta t_{r,h}$.

Rezolvare. Conform ecuației (5-23):

$$\Delta t_{r,h} = t_1 - t_0$$

La $p_0 = 0,3$ ata, $t_0 = 68,7^\circ\text{C}$ (tabela LVII). Pentru determinarea temperaturii t_1 este necesar să se găsească presiunea la suprafața soluției din evaporator p_1 conform relației,

$$p_1 = p_0 + \Delta p_{r,h} \quad (\text{fig. 5-1})$$

unde:

$$\Delta p_{r,h} = \frac{w^2 \cdot \rho_v}{2} \left(1 + \frac{\lambda L}{d} + \sum \zeta \right)$$

Suma coeficienților rezistențelor locale este:

- intrarea în conductă 0,5 (tabela XIII)
- coturi . . . 3·0,2 0,6

$$\sum \zeta = 1,1$$

$$\Delta p_{r,h} = \frac{50^2 \cdot 0,188}{2} \left(1 + \frac{0,03 \cdot 19}{0,15} + 1,1 \right) = 1\,390 \text{ Pa}$$

unde: $\rho_v = 0,188 \text{ kg/m}^3$ — densitatea vaporilor saturanți (tabela LVII)

$$p_1 = p_0 + \Delta p_{r,h} = 0,3 + \frac{1\,390}{9,81 \cdot 10^4} = 0,314 \text{ ata}$$

Din tabela LVII, la $p_1 = 0,314$ ata rezultă $t_1 = 69,6^\circ\text{C}$.

Creșterea temperaturii de fierbere datorită rezistențelor hidraulice este:

$$\Delta t_{r,h} = t_1 - t_0 = 69,6 - 68,7 = 0,9^\circ\text{C} \text{ sau } K_s$$

Exemplul 5-11. Să se determine suprafața de încălzire necesară pentru un evaporator cu funcționare sub vid (fig. 5-1) și debitul aburului de încălzire pentru concentrarea soluției de clorură de calciu de la 15% la 25%. Productivitatea considerată față de soluția inițială este 20 000 kg/h. Presiunea aburului de încălzire este 1,4 ata iar umiditatea acestuia 5%. Presiunea în condensator barometric $p_0 = 0,345$ ata. Soluția diluată intră în evaporator la $t_{in} = 75^\circ\text{C}$.

Coeficientul total de transmitere a căldurii se consideră $1\,000 \text{ W/m}^2 \cdot \text{K}$ iar pierderile de căldură 5% din căldura utilă.

Rezolvare. Se determină temperatura medie de fierbere pentru soluția de clorură de calciu 25%, în evaporator cu ajutorul relației 5-21.

$$t_{f,erb} = t_0 + \Delta t_{r,h} + \Delta t_{e,h} + \Delta t_{dep}$$

La $p_0 = 0,345$ ata, $t_0 = 71,7^\circ\text{C}$ (tabela LVII). Considerăm $\Delta t_{r,h} = 1 \text{ K}$. Atunci $t_1 = t_0 + \Delta t_{r,h} = 72,7^\circ\text{C}$, ceea ce corespunde unei presiuni $p_1 = 0,36$ ata (tabela LVI).

Considerăm înălțimea țevilor 4 m. În acest caz $p_{med} = 0,5$ ata și $\Delta t_{e,h} = 8,2 \text{ K}$ (v. exemplul 5-9).

Creșterea temperaturii de fierbere datorită concentrației soluției, la presiunea $p_{med} = 0,5$ ata este $\Delta t_{dep} = 0,5$ ata este $\Delta t_{dep} = 6,6 \text{ K}$ (v. exemplul 5-8).

Temperatura medie de fierbere a soluției va fi:

$$t_{f,erb} = 71,7 + 1 + 8,2 + 6,6 = 87,5^\circ\text{C}.$$

Se determină consumul de căldură în evaporator.

Căldura specifică a soluției diluate se calculează cu relația (5-11):

$$c_{in} = 4\,190 (1 - x_{in}) = 4\,190 (1 - 0,15) = 3\,560 \text{ (J/(kg} \cdot \text{K))}$$

Consumul de căldură pentru încălzirea soluției diluate se calculează cu relația (5-5):

$$Q_{inc} = m_{in} \cdot c_{in} (t_{f,erb} - t_{in}) = \frac{20\,000}{3\,600} \cdot 3\,560 (87,5 - 75) = 247\,000 \text{ W}$$

Debitul apei evaporate se calculează cu relația (5-3):

$$W = m_{in} \left(1 - \frac{x_{in}}{x_{cons}} \right) = \frac{20\,000}{3\,600} \left(1 - \frac{15}{25} \right) = 2,22 \text{ kg/s}$$

Căldura latentă de vaporizare a apei la $p_{med} = 0,5$ ata este $r = 2\,307 \cdot 10^3 \text{ J/kg}$ (tabela LVII).

Consumul de căldură pentru evaporarea apei:

$$Q_{ev} = W \cdot r = 2,22 \cdot 2\,307 \cdot 10^3 = 5\,120\,000 \text{ W}$$

Consumul total de căldură, considerind și pierderile este:

$$Q = 1,05 (Q_{inc} + Q_{ev}) = 1,05 (247\,000 + 5\,120\,000) = 5\,650\,000 \text{ W}$$

Se calculează suprafața de încălzire a evaporatorului cu ecuația:

$$A = \frac{Q}{K \cdot \Delta t_s} = \frac{5\,650\,000}{1\,000 \cdot 21,2} = 266 \text{ m}^2$$

Aici

$$\Delta t_s = t_{a,b,inc} - t_{f,erb} = 108,7 - 87,5 = 21,2 \text{ K}.$$

unde: $t_{a,b,inc} = 108,7^\circ\text{C}$ este temperatura aburului de încălzire la presiunea $p = 1,4$ ata (tabela LVII).

Din catalog se alege un evaporator cu suprafața de încălzire mai mare cu 15–20% decit suprafața calculată.

Debitul aburului de încălzire se calculează cu relația (5-8):

$$m_{a,b,inc} = \frac{Q}{r_{a,b,inc} \cdot x} = \frac{5\,650\,000}{2\,237 \cdot 10^3 \cdot 0,95} = 2,66 \text{ kg/s}$$

Aici:

$r_{a,b,inc} = 2\,237 \cdot 10^3 \text{ J/kg}$ este căldura latentă de condensare a aburului a $p = 1,4$ ata (tabela LVII), iar $x = 0,95$ este conținutul de abur saturant.

Consumul specific al aburului de încălzire este : (relația 5-9) :

$$d = \frac{m_{a.b.tinc}}{W} = \frac{2,66}{2,22} = 1,2 \text{ kg abur încălzire/kg apă evaporată.}$$

Exemplul 5-12. Ce cantitate de cristale se separă într-un cristalizator la răcirea a 10 t soluție apoasă saturată de carbonat de potasiu de la 80°C la 35°C fără evaporare de apă ? Carbonatul de potasiu cristalizează cu două molecule de apă.

Rezolvare. Se utilizează relația (5-35). Din curba de solubilitate a carbonatului de potasiu (fig. XX) se găsesc concentrațiile soluțiilor saturate la cele două temperaturi :

$$\text{la } 80^\circ\text{C} \dots\dots\dots 10 \frac{\text{moli } K_2CO_3}{1\,000 \text{ g apă}}$$

$$\text{la } 35^\circ\text{C} \dots\dots\dots 8,15 \frac{\text{moli } K_2CO_3}{1\,000 \text{ g apă}}$$

Masa molară a K_2CO_3 este 138 kg/kmol. Prin urmare :

$$x_{80} = \frac{10 \cdot 138}{1\,000 + 10 \cdot 138} = 0,58 \text{ kg/kg}$$

$$x_{35} = \frac{8,15 \cdot 138}{1\,000 + 8,15 \cdot 138} = 0,53 \text{ kg/kg}$$

$$x_{cr} = \frac{M}{M_{cr}} = \frac{138}{174} = 0,793$$

unde 174 este masa molară a $K_2CO_3 \cdot 2 H_2O$ kg/kmol.

Înlocuind aceste valori în relația (5-35) se obține :

$$m_{cr} = \frac{m_1(x_1 - x_2)}{x_{cr} - x_2} = \frac{10\,000(0,58 - 0,53)}{0,793 - 0,53} = 1\,900 \text{ kg}$$

Exemplul 5-13. Să se determine căldura care trebuie îndepărtată dintr-un cristalizator cu funcționare continuă pentru a răci de la 90°C la 40°C, 5 000 kg/h soluție apoasă de $NaNO_3$, care conține la 90°C, 16 mol $NaNO_3$ la 1 000 g apă. Se va ține seama că din cristalizator în același timp cu răcirea soluției se evaporă apă în proporție de 3% din cantitatea de soluție inițială.

Rezolvare. Din curba solubilității $NaNO_3$ (fig. XX) se găsește concentrația de saturație a soluției apoase de $NaOH$ la 40°C ca fiind egală cu 12,3 mol/1 000 g apă.

Prin răcirea soluției la 40°C, se va separa cantitatea de cristale m_{cr} (în kg/s) rezultând din relația (5-34) :

$$m_{cr} = \frac{m_1(x_2 - x_1) - W \cdot x_2}{x_2 - x_{cr}}$$

Se calculează concentrațiile, în fracții masice :

$$x_1 = \frac{16 \cdot 85}{1\,000 + 16 \cdot 85} = 0,576 \text{ kg/kg}$$

$$x_2 = \frac{12,3 \cdot 85}{1\,000 + 12,3 \cdot 85} = 0,511 \text{ kg/kg}$$

Aici, 85 este masa molară a $NaNO_3$, în kg/kmol. Mărimea $x_{cr} = 1$, deoarece sarea cristalizează în formă anhidră.

Deci,

$$m_{cr} = \frac{5\,000(0,511 - 0,576) - 0,03 \cdot 5\,000 \cdot 0,511}{3\,600(0,511 - 1)} = 0,229 \text{ kg/s}$$

Căldura ce trebuie îndepărtată se calculează cu relația :

$$Q = m_1 \cdot c(t_1 - t_2) + m_{cr} \cdot q - W \cdot r$$

unde : W este debitul apei evaporate, kg/s ;

$r = 2\,345 \cdot 10^3 \text{ J/kg}$ este căldura latentă de evaporizare a apei, considerată la temperatura medie de cristalizare $\frac{90 + 40}{2} = 65^\circ\text{C}$.

Căldura specifică de cristalizare a $NaNO_3$, se consideră $q = 21100 \cdot 10^3 \text{ J/kmol}$ (tabela XXXVII).

Căldura specifică c a soluției se determină cu relația (5-12), după ce în prealabil se calculează căldura specifică a substanței solide c_1 cu relația (5-13) :

$$c_1 = \frac{26,0 + 26,0 + 3 \cdot 16,8}{85} = 1\,200 \text{ J/kg} \cdot \text{grd}$$

Pentru soluție, fracția masică este $x = 0,576 \frac{\text{kg sare}}{\text{kg soluție}}$

deci :

$$c = 4\,190(1 - 0,576) + 1\,200 \cdot 0,576 = 2\,470 \text{ J/kg} \cdot \text{grd}$$

Căldura ce trebuie îndepărtată este :

$$Q = \frac{5\,000}{3\,600} \cdot 2\,470(90 - 40) + 0,229 \frac{21\,100 \cdot 10^3}{85} - \frac{0,03 \cdot 5\,000 \cdot 2\,345 \cdot 10^3}{3\,600}$$

$$Q = 130\,000 \text{ W}$$

Exemplul 5-14. În condițiile exemplului precedent să se determine suprafața de răcire și debitul de apă în cristalizator. Coeficientul total de transmitere a căldurii, se va considera egal cu $100 \text{ W/m}^2 \cdot \text{grd}$. Apa intră în mantaua de răcire la 15°C și iese la 20°C. Răcirea se realizează în contracurent.

Rezolvare. Suprafața de răcire se determină cu ajutorul relației :

$$A = \frac{Q}{K \cdot \Delta t_m}$$

În condițiile exemplului, schema temperaturilor va fi:

$$\begin{array}{rcc} 90 & \text{—} & 40 \\ 20 & \text{—} & 15 \\ \hline \Delta t_1 = 70 \text{ K} & \Delta t_2 = 25 \text{ K} \\ \Delta t_m = \frac{\Delta t_1 - \Delta t_2}{2,3 \lg \frac{\Delta t_1}{\Delta t_2}} = \frac{70 - 25}{2,3 \lg \frac{70}{25}} = 43,7 \text{ K} \end{array}$$

Prin urmare:

$$A = \frac{130\,000}{100 \cdot 43,7} = 30 \text{ m}^2$$

Debitul apei de răcire:

$$m_a = \frac{130\,000}{4 \cdot 190(20 - 15)} = 6,33 \text{ kg/s} = 22\,400 \text{ kg/h}$$

$$V_a = \frac{22\,400}{1\,000} = 22,4 \text{ m}^3/\text{h}$$

5.3. PROBLEME

5-1. Să se calculeze consumul specific de abur saturant uscat la evaporarea apei la presiunea atmosferică și sub un vid de 0,8 at. Presiunea aburului de încălzire este în ambele cazuri $p = 2$ ata. Apa intră în evaporator: a) la temperatura de 15°C; b) preîncălzită la temperatura de fierbere.

5-2. Productivitatea unui evaporator față de soluția inițială este 2 650 kg/h. Concentrația soluției inițiale este 50 g/l apă. Concentrația soluției după evaporare este 295 g/l soluție. Densitatea soluției concentrate este 1 189 kg/m³. Să se găsească productivitatea aparatului în raport cu soluția concentrată.

5-3. Cum variază productivitatea unui evaporator, dacă pe pereții țevilor de încălzire se depune un strat de piatră cu grosimea 0,5 mm? Coeficientul total de transmitere a căldurii pentru țevile curate este 1 390 W/m²·grd. Conductivitatea termică a depunerii este $\lambda = 1,16$ W/m·grd.

5-4. Productivitatea unui evaporator, încălzit cu abur de presiune $p = 2,5$ ata, trebuie mărită de la 1 200 la 1 900 kg/h în raport cu soluția diluată. Evaporarea se realizează la presiunea atmosferică; temperatura de fierbere în aparat este 105°C, iar soluția se introduce în evaporator preîncălzită la temperatura de fierbere.

Să se determine presiunea pe care trebuie să-o aibă aburul de încălzire. Pierderile de căldură se neglijează, coeficientul total de transmitere a căldurii este constant iar concentrația finală a soluției trebuie să fie aceeași.

5-5. Câtă apă trebuie evaporată din 1 500 kg soluție de clorură de calciu, pentru a-l schimba concentrația de la 8% la 30% masă?

5-6. Ce cantitate de apă trebuie evaporată dintr-un metru cub acid sulfuric cu densitatea 1 560 kg/m³ (65,2% masă), pentru a obține acid cu densitatea 1 840 kg/m³ (98,7% masă)? Ce volum va ocupa acidul concentrat obținut?

5-7. Într-un evaporator intră 1,4 t/h soluție cu concentrația 9%, care se evaporă la presiunea atmosferică pînă la concentrația 32% masă. Soluția diluată intră în evaporator la temperatura de 18°C. Temperatura de fierbere în aparat este 105°C. Debitul aburului de încălzire ($p = 2$ at) este 1 450 kg/h, iar umiditatea lui este 4,5%. Să se determine pierderile de căldură ale aparatului în mediul înconjurător.

5-8. Să se calculeze căldura specifică a unui amestec frigorific format din 2 l apă, 8 kg gheață și 5 kg clorură de sodiu.

5-9. O soluție este formată din 0,7 m³ acid sulfuric (100%), 400 kg sulfat de cupru (CuSO₄·5 H₂O) și 1,4 m³ apă. Să se determine: a) căldura specifică a soluției; b) cantitatea de abur saturat uscat ($p = 2$ ata) utilizat pentru încălzirea soluției de la 12°C la 58°C. Pierderile de căldură ale aparatului în timpul încălzirii soluției reprezintă 25 100 kJ.

5-10. Într-un evaporator se supun evaporării la presiunea atmosferică 2,69 t/h soluție apoasă cu concentrația 7%. Temperatura de fierbere în aparat este 103°C. Temperatura inițială a soluției diluate este 95°C. Presiunea aburului de încălzire este 2 at. Evaporatorul are suprafața de încălzire egală cu 52 m², iar coeficientul total de transmitere a căldurii este 1 000 W/m²·grd. Căldura pierdută în mediul înconjurător se consideră 110 000 W.

Să se determine: a) concentrația finală a soluției evaporate; b) debitul aburului de încălzire cu umiditatea 5%.

5-11. Într-un evaporator cu suprafața de încălzire de 30 m² ce funcționează continuu la presiunea atmosferică, se concentrează soluție de clorură de potasiu de la 9,5% la 26,6% de (masă). Temperatura inițială a soluției este 18°C. Presiunea aburului de încălzire este 3 at. Productivitatea inițială a aparatului a fost 900 kg/h (soluție diluată), dar după un timp oarecare a scăzut la 500 kg/h din cauza stratului de piatră depus. Neglijând căldura pierdută în mediul înconjurător, să se determine grosimea stratului de piatră depus, considerînd că acesta are $\lambda = 1,4$ W/m·grd. Efectul hidrostatic se neglijează.

5-12. În condițiile exemplului 5-7 să se determine consumul de energie la evacuarea vaporilor secundari cu o pompă de vid și evacuarea condensatului cu o pompă, dacă vidul în aparat este 0,95 at.

5-13. Într-o instalație de evaporare cu un singur corp cu funcționare continuă la presiunea atmosferică se introduce o soluție de 12,5% sulfat de amoniu pentru a fi concentrată pînă la 30,6% masă. Debitul de soluție concentrată care iese din aparat este 800 kg/h. Soluția inițială, înainte de intrarea în evaporator se preîncălzește într-un schimbător de căldură de la 24°C la 80°C cu ajutorul aburului secundar. Restul aburului secundar se folosește la încălzirea altor aparate (fig. 5-4). Căldura pierdută reprezintă 6% din căldura utilă, adică din suma $Q_{inc} + Q_{ev}$. Suma $\Delta t_{ch} + \Delta t_{ev} = 3$ grd.

Să se determine: a) debitul aburului de încălzire ($p = 2$ at) considerînd umiditatea 5%; b) cantitatea de abur secundar preluat pentru încălzirea celorlalte aparate de fabricație; c) suprafața de încălzire a schimbătorului de căldură (preîncălzitor), considerînd coeficientul total de transmitere a căldurii $K = 700$ W/(m²·K).

5-14. Difenilul fierbe, la presiunea atmosferică, la temperatura de 255°C. Să se calculeze căldura latentă de vaporizare și căldura specifică a difenilului lichid.

5-15. Soluția apoasă conținînd 48% hidroxid de sodiu fierbe sub presiunea de 760 mm Hg, la 140°C, iar sub presiunea de 0,2 ata, la 99°C. Să se determine căldura latentă de vaporizare a apei din această soluție la presiunea de 0,8 ata și de asemenea căldura specifică a soluției.

5-16. Să se determine temperatura de fierbere a brombenzenului la presiunea $p = 0,1$ ata utilizînd diagrama liniarității și nomograma XIV. Să se determine, de asemenea, căldura latentă de vaporizare a brombenzenului la această presiune.

5-17. Să se determine presiunea vaporilor saturați de benzaldehidă la 120°C utilizînd diagrama liniarității.

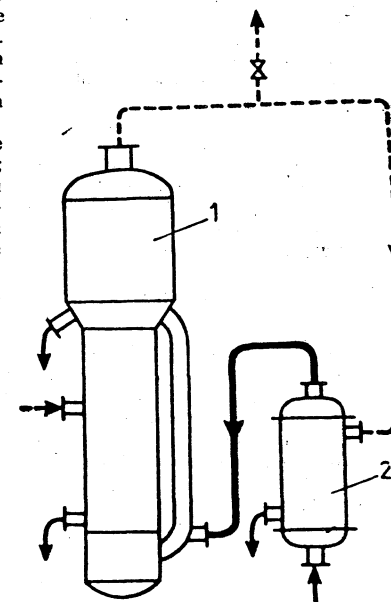


Fig. 5-4. Schița la problema de re-solvat 5-13.

1 — aparat de evaporare; 2 — schimbător de căldură.

5-18. Să se calculeze cu ajutorul legii lui Babo și a tabelului XXXVI, temperatura de fierbere a soluției apoase de azotat de amoniu cu concentrația 42,5%, la presiunea $p = 0,4$ ata.

5-19. Într-un evaporator sub vid (fig. 5-1) intră 10 t/h soluție apoasă de azotat de amoniu cu concentrația 8%, la temperatura de 74°C. Concentrația soluției după evaporare este 42,5%. Presiunea absolută în stratul mediu al soluției la fierbere este 0,4 ata. Presiunea aburului de încălzire este 2 ata. Coeficientul total de transmitere a căldurii se consideră 950 W/(m²·K). Căldura pierdută reprezintă 3% din $Q_{inc} + Q_{ev}$. Să se determine suprafața de încălzire necesară.

5-20. Cu datele din problema precedentă să se determine presiunea absolută în condensatorul barometric, dacă creșterea temperaturii de fierbere datorită rezistențelor hidraulice, $\Delta t_{r,h} = 1$ K, iar creșterea temperaturii de fierbere datorită efectului hidrostatic $\Delta t_{r,h} = 6,7$ K.

5-21. 2 200 kg/h soluție apoasă diluată se concentrează de la 7% la 24% masă la presiunea atmosferică. Soluția diluată se introduce în evaporator la 19°C. Creșterea temperaturii de fierbere se datorește: depresiunii, 3,5 K; efectului hidrostatic, 3 K, rezistențelor hidraulice, 1 K.

Presiunea aburului de încălzire este 3 ata. Coeficientul total de transmitere a căldurii este 1 100 W/(m²·K). Să se determine suprafața de încălzire necesară evaporatorului și debitul aburului de încălzire, dacă căldura pierdută în mediul înconjurător se consideră 5% din suma $Q_{inc} + Q_{ev}$, iar umiditatea aburului este 5%.

5-22. Cum se modifică productivitatea unui evaporator care funcționează la presiunea atmosferică iar încălzirea este asigurată cu abur având presiunea $p = 1,2$ at, dacă în aparat se realizează un vid de 0,7 at, iar presiunea aburului de încălzire devine $p = 0,6$ at?

Efectul hidrostatic în stratul mediu, $\Delta p_{r,h} = 9,81 \cdot 10^3$ Pa; în ambele cazuri, creșterea temperaturii de fierbere datorită depresiunii este 4 K, soluția intră în evaporator preîncălzită la temperatura de fierbere. Coeficientul total de transmitere a căldurii este constant, iar căldura pierdută se neglijează.

5-23. Într-un evaporator se concentrează o soluție apoasă de la 14% la 30% masă. Aburul de încălzire are presiunea 0,9 ata. Diferența de temperatură utilă este 11,2 K. Să se calculeze debitul orar de soluție diluată, care intră în evaporator, dacă suprafața de încălzire este 40 m², coeficientul total de transmitere a căldurii se consideră 700 W/(m²·K). Soluția intră în evaporator preîncălzită la temperatura de fierbere. Presiunea medie în evaporator este 0,4 ata. Căldura pierdută se neglijează.

5-24. Să se determine debitul aburului de încălzire ($p = 2$ ata) și suprafața de încălzire a unui evaporator în care se concentrează 1,6 t/h soluție de la 10% la 40% masă. Presiunea medie în aparat este 1 ata. Soluția diluată intră în evaporator la 30°C. Diferența de temperatură utilă este 12°C. Coeficientul total de transmitere a căldurii se consideră 900 W/(m²·K). Pierderile de căldură reprezintă 5% din căldura utilă ($Q_{inc} + Q_{ev}$).

5-25. Se concentrează o soluție de carbonat de potasiu de la 8% la 36% masă sub un vid de 0,2 at. Debitul de soluție inițială este 1 500 kg/h. Să se determine cantitatea de apă introdusă: a) într-un condensator barometric, b) într-un condensator de suprafață, considerînd că temperatura condensatului este cu 5 grd mai mică decît temperatura de condensare.

În ambele cazuri apa se încălzește de la 15° la 35°C.

5-26. Într-un evaporator se realizează concentrarea unei soluții de la 13% la 38% masă sub un vid (în condensator) de 600 mm Hg (v. fig. 5-1). Debitul apei de răcire în condensatorul barometric este 40 m³/h, apa încălzindu-se de la 14°C la 30°C. Să se determine productivitatea orară a evaporatorului raportată la soluția diluată și la cea concentrată. Creșterea temperaturii datorită depresiunii se neglijează. Presiunea atmosferică este 747 mm Hg.

5-27. Într-un evaporator, la suprafața soluției există un vid de 0,7 at. Debitul soluției diluate care intră în evaporator este 2,4 t/h, iar concentrația 12% masă. Concentrația finală este 32%. În condensatorul barometric se introduc 38,6 m³/h apă de răcire cu temperatura 12°C. Să se determine temperatura apei la ieșirea din condensatorul barometric. Rezistența hidrostatică a conductei de abur și creșterea temperaturii de fierbere datorită depresiunii se neglijează.

5-28. Într-o instalație de evaporare cu trei trepte, ce funcționează în echicurent (fig. 5-7) se concentrează 1 300 kg/h soluție apoasă cu concentrația inițială 9% masă pînă la concentrația 43%. Să se calculeze concentrația soluției în fiecare corp știind că în fiecare corp următor se evaporă cu 10% mai multă apă decît în corpul precedent.

5-29. Care este numărul limită de corpuri pe care le poate avea o instalație de evaporare, dacă presiunea aburului de încălzire în primul corp este $p_{abur} = 2,3$ at iar presiunea în condensator este 147 mm Hg. Suma pierderilor de temperatură în toate corpurile se consideră $\Sigma \Delta t_p = 11$ K. Diferența utilă de temperatură în fiecare corp nu trebuie să fie mai mică de 8 K.

5-30. Într-o instalație de evaporare cu două trepte se concentrează 1 000 kg/h soluție apoasă cu concentrația inițială 10% masă. Concentrația finală a soluției în treapta I este 15% iar în treapta a II-a 30%. Temperatura de fierbere în prima treaptă este 108°C, iar în treapta a II-a, 95°C. Să se determine cantitatea de apă evaporată în treapta a II-a prin procesul de autoevaporare și ce procent reprezintă aceasta din cantitatea totală de apă evaporată în treapta a II-a.

5-31. Într-o instalație de evaporare cu două trepte, ce funcționează în echicurent, intră 1 000 kg/h soluție apoasă diluată cu concentrația 8% masă. Concentrația soluției la ieșirea din treapta I este 12% masă. În treapta I evaporarea are loc la temperatura de 105°C și presiunea 1 ata, iar în treapta a II-a la temperatura 78°C și presiunea 0,3 ata. Să se determine care este concentrația finală a soluției la ieșirea din treapta a II-a, dacă aburul secundar din treapta I se utilizează complet pentru încălzirea treptei a II-a (nu există preluare de abur suplimentar). Pierderile de căldură se neglijează.

5-32. În treapta a II-a a unei instalații de evaporare cu două trepte, ce funcționează în echicurent, fără preluare de abur suplimentar, intră din prima treaptă 500 kg/h soluție apoasă cu concentrația 16%. Temperatura de fierbere în treapta I este 108°C (la presiunea atmosferică), iar în treapta a II-a temperatura este 90°C. Soluția ieșită din treapta a II-a, avînd concentrația 28% masă se utilizează într-un schimbător de căldură în contracurent pentru preîncălzirea soluției diluate care intră în prima treaptă. Neglijînd pierderile de căldură să se calculeze: a) concentrația soluției diluate ce intră în prima treaptă; b) cu cîte grade se va preîncălzi soluția diluată în schimbător, dacă soluția concentrată iese în schimbător cu temperatura de 32°C. Căldura specifică a soluției concentrate este 3 350 J/(kg·K).

5-33. Într-o instalație de evaporare cu două corpuri ce funcționează în echicurent intră 1 000 kg/h soluție apoasă diluată. Concentrația inițială este 8% masă, iar concentrația finală 30% masă. În treapta I evaporarea se realizează la presiunea 1 ata și temperatura 110°C, iar în treapta a II-a la presiunea 0,3 ata și temperatura 80°C. Debitul aburului secundar din treapta I este 400 kg/h. O parte din acest abur (fig. 5-5) se folosește pentru alte scopuri (abur suplimentar). Neglijînd pierderile de căldură să se determine cantitatea de abur suplimentar ce se poate utiliza pentru alte scopuri.

5-34. Într-un evaporator cu o treaptă (fig. 5-6) ce funcționează cu pompă de căldură (aburul secundar este comprimat într-un turbocompresor), intră soluție diluată cu con-

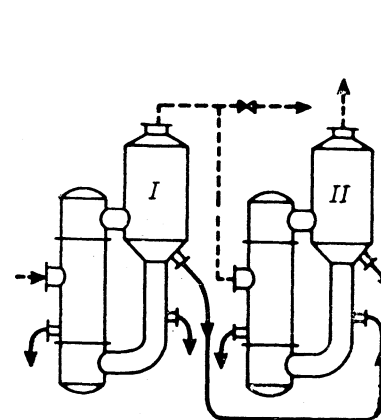


Fig. 5-5. Schiața problemei de rezolvat 5-33.

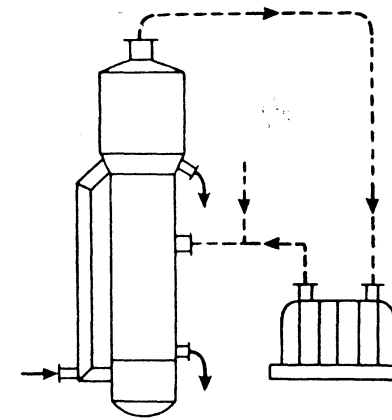


Fig. 5-6. Schiața problemei de rezolvat 5-34.

trația 5% masă. Din aparat ies 550 kg/h soluție cu concentrația 15% masă. Creșterea temperaturii de fierbere datorită concentrației este 2,5 grd. Efectul hidrostatic și al rezistențelor locale, se neglijează. Turbocompresorul comprimă aburul de la presiunea 1 ata la presiunea 2 ata. Căldura pierdută reprezintă 5% din ($Q_{inc} + Q_{ev}$). Temperatura inițială a soluției este 70°C. Să se determine: a) cantitatea de abur saturant de încălzire ce trebuie adăugată; b) puterea turbocompresorului, dacă randamentul total se consideră 0,72.

5-35. La ce temperatură trebuie răcită soluția apoasă 40% KNO_3 , fierbinte, pentru ca, după răcire și separarea cristalelor concentrația soluției saturate (soluției mamă) să fie de două ori mai mică decât concentrația inițială.

* 5-36. Câte kilograme de cristale se separă din 4,2 t soluție de Na_2CO_3 ce conține 2,5 moli sare/1 000 g apă, prin răcirea de la 30°C la 15°C? Sarea cristalizează cu 10 molecule de apă.

✓ 5-37. Să se determine suprafața de răcire a unui cristalizator în contracurent, în care se răcesc 10 000 kg/h soluție conținând 7,0 mol $(NH_4)_2SO_4$ /1 000 g apă, de la 85°C la 35°C. În timpul răcirii se evaporă apă (5% din masa soluției inițiale). Coeficientul total de transmitere a căldurii este 127 $W/m^2 \cdot \text{grd}$. Apa de răcire se încălzește de la 13°C la 24°C. Să se determine, de asemenea, consumul de apă.

5.4. EXEMPLU DE CALCUL AL UNEI INSTALAȚII DE EVAPORARE CU TREI TREPTE

Să se calculeze o instalație de evaporare cu trei corpuri (fig. 5-7) pentru concentrarea a 5 t/h soluție apoasă de NaOH 12%. Concentrația finală a soluției trebuie să fie 40% masă. Soluția intră în evaporator preîncălzită pînă la temperatura de fierbere din aparat. Presiunea aburului de încălzire este 4 at, $t = 143^\circ\text{C}$. Vidul din condensatorul barmetric este 0,8 at.

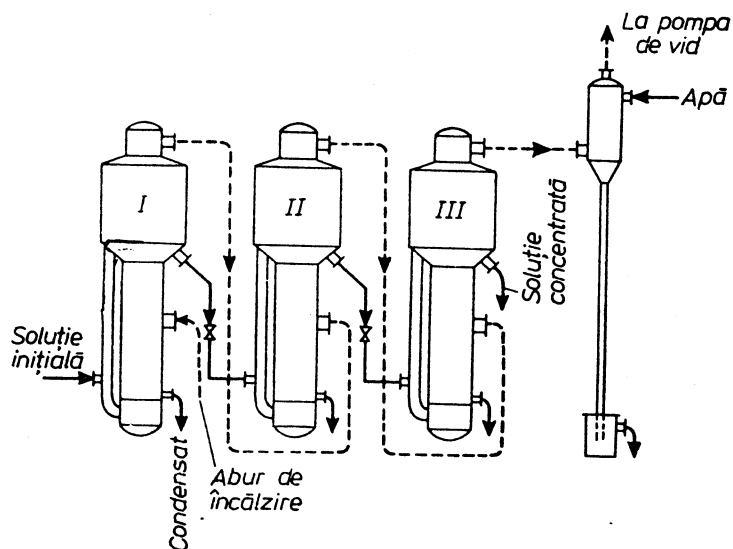


Fig. 5-7. Schema instalației de evaporare cu trei corpuri.

Rezolvare*. 1. Cantitatea de apă evaporată în cele trei corpuri ale instalației este :

$$W = \frac{5\,000}{3\,600} \left(1 - \frac{12}{40}\right) = 0,97 \text{ kg/s}$$

2. Repartizarea încărcării pe corpuri.

Se face această repartizare pe baza datelor practice, considerînd următoarele raporturi între cantitatea de apă evaporată în cele trei trepte :

$$I : II : III = 1,0 : 1,1 : 1,2$$

Prin urmare, cantitățile de apă evaporată sînt :

$$\text{În treapta I} \quad W_I = \frac{0,97 \cdot 1}{(1 + 1,1 + 1,2)} = 0,295 \text{ kg/s}$$

$$\text{În treapta a II-a} \quad W_{II} = \frac{0,97 \cdot 1,1}{1 + 1,1 + 1,2} = 0,324 \text{ kg/s}$$

$$\text{În treapta a III-a} \quad W_{III} = \frac{0,97 \cdot 1,2}{1 + 1,1 + 1,2} = 0,351 \text{ kg/s}$$

Total : 0,97 kg/s

3. Calculul concentrației soluției în fiecare treaptă :

Concentrația inițială a soluției $x_{in} = 12\%$. Din treapta I trece în treapta II cantitatea de soluție :

$$m_1 = m_{in} - W_I = \frac{5\,000}{3\,600} - 0,295 = 1,39 - 0,295 = 1,095 \text{ kg/s}$$

Concentrația soluției la ieșirea din treapta I este egală cu concentrația soluției la intrarea în treapta II (x_1).

$$x_1 = \frac{m_{in} \cdot x_{in}}{m_1} = \frac{1,39 \cdot 12}{1,095} = 15,2\%$$

Din treapta II trece în treapta III debitul m_2 de soluție :

$$m_2 = m_{in} - W_I - W_{II} = 1,39 - 0,295 - 0,324 = 0,77 \text{ kg/s}$$

avînd concentrația x_2 :

$$x_2 = \frac{m_{in} \cdot x_{in}}{m_2} = \frac{1,39 \cdot 12}{0,77} = 21,6\%$$

Din treapta III, rezultă debitul de soluție finală m_f :

$$m_f = m_{in} - W = 1,39 - 0,97 = 0,42 \text{ kg/s}$$

* În literatură se descriu cîteva metode de calcul a instalațiilor de evaporare cu mai multe corpuri. Fiecare din ele se bazează pe anumite presupuneri, care micșorează exactitatea rezultatului final. Una dintre metodele simple de calcul este dată în exemplul prezentat.

Concentrația finală este :

$$x_f = \frac{m_{in} \cdot x_{in}}{m_f} = \frac{1,39 \cdot 12}{0,42} = 40\%$$

ceea ce corespunde datelor din exemplu.

4. Repartizarea căderilor de presiune în fiecare treaptă. Diferența între presiunea aburului de încălzire (în corpul I) și presiunea aburului în condensatorul barometric.

$$\Delta p_{tot} = 4,0 - 0,2 = 3,8 \text{ at}$$

Repartizarea acestei căderi de presiune se va face în mod uniform pentru fiecare treaptă, adică :

$$\Delta p_1 = \frac{3,8}{3} = 1,27 \text{ at}$$

În acest caz, presiunea absolută în fiecare treaptă va fi :

$$\begin{aligned} \text{în treapta a III-a} & p_3 = 0,2 \text{ ata (dată)} \\ \text{în treapta a II-a} & p_2 = 0,2 + 1,27 = 1,47 \text{ at;} \\ \text{în treapta I} & p_1 = 1,47 + 1,27 = 2,74 \text{ ata} \end{aligned}$$

Presiunea aburului de încălzire $p_{ab} = 2,74 + 1,27 = 4 \text{ at}$

Din tabelele pentru abur se găsesc temperaturile de saturație și căldurile latente de vaporizare, corespunzător presiunilor admise în trepte :

	Temperatura aburului saturat, °C	Căldura latentă de vaporizare; kJ/kg
în treapta I	130	2 179
în treapta a II-a	110	2 234
în treapta a III-a	60	2 357
aburul de încălzire (primar)	143	2 141

Aburul secundar, va avea aceeași temperatură ca și aburul saturant.

5. Calculul căderilor de temperatură în trepte.

5.1. Datorită depresiunii :

În tabele (de ex. tabela XXXVI) se găsesc temperaturile de fierbere ale soluțiilor de NaNO_3 , la presiunea atmosferică :

	Concentrația, % NaNO_3	Temperatura de fierbere, °C	Creșterea temperaturii, K
în treapta I	15,2	102	2,0
în treapta a II-a	21,6	103	3,0
în treapta a III-a	40,0	107	7,0

Pentru simplificarea calculelor nu se mai consideră corecția creșterii temperaturii de fierbere (în legătură cu variația presiunii în trepte față de presiunea atmosferică).

Prin urmare, în cele trei trepte creșterea este :

$$\Delta t_{dep} = 2 + 3 + 7 = 12 \text{ K.}$$

5.2. Datorită efectului hidrostatic. Distanța de la nivelul superior al lichidului din evaporator până la mijlocul țevilor de încălzire (h_{med}) este egală cu 0,4 m.

Din tabele se găsesc densitățile soluțiilor la 100°C :

	Concentrația, % NaOH	Densitatea, kg/m ³
în treapta I	15,2	1 056
în treapta a II-a	21,6	1 102
în treapta a III-a	40,0	1 255

Prin urmare, creșterea presiunii hidrostatice în prima treaptă este :

$$\Delta p = 0,4 \cdot 1 056 \cdot 9,81 = 4 144 \text{ N/m}^2 = 0,04 \text{ at}$$

adică presiunea în stratul mediu :

$$p_{med} = p_1 + \Delta p = 2,74 + 0,04 = 2,78 \text{ at}$$

Temperatura de fierbere a apei la presiunea p_1 , este 130,93°C, iar la presiunea p_{med} , este 131,52°C.

În acest caz :

$$\Delta t_{e,h} = t_{med} - t_1 = 131,52 - 130,93 = 0,59 \text{ K}$$

Prin calcule analoage, se găsesc creșterile temperaturii de fierbere datorită efectului hidrostatic și pentru celelalte trepte :

$$\begin{aligned} & \text{— pentru treapta a II-a} \dots\dots\dots 0,96 \text{ K} \\ & \text{— pentru treapta a III-a} \dots\dots\dots 5,32 \text{ K} \end{aligned}$$

În cele trei trepte, suma efectelor hidrostatice va fi :

$$\Sigma \Delta t_{e,h} = 0,59 + 0,96 + 5,32 = 6,87 \text{ grad.}$$

5.3. Datorită rezistențelor hidraulice.

Diferența de temperatură datorită rezistențelor hidraulice, pentru fiecare treaptă se consideră 1 K. Pentru cele 3 intervale (I—II; II—III și III — condensator), rezultă :

$$\Sigma \Delta t_{r,h} = 1 \cdot 3 = 3 \text{ K.}$$

Suma tuturor creșterilor de temperatură pentru întreaga instalație va fi :

$$\Sigma \Delta t_p = \Sigma \Delta t_{dep} + \Sigma \Delta t_{e,h} + \Sigma \Delta t_{r,h} = 12 + 6,87 + 3 = 21,87 \text{ K.}$$

6. Diferența totală de temperatură este :

$$\Delta t_{tot} = 143 - 60 = 83 \text{ K}$$

iar diferența utilă de temperatură pentru întreaga instalație este

$$\Delta t_{ut} = 83 - 21,87 = 61,13 \text{ K}$$

7. Determinarea temperaturii de fierbere a soluției în trepte.

Se utilizează relația :

$$t_{\text{ferb}} = t_{\text{ab.see.}} + \Delta t_{\text{dep}} + \Delta t_{\text{e.h}} + \Delta t_{\text{r.h}}$$

Pentru fiecare corp :

- în treapta a III-a $t_3 = 60 + 7 + 5,32 + 1 = 73^\circ\text{C}$
- în treapta a II-a $t_2 = 110 + 3 + 0,96 + 1 \approx 115^\circ\text{C}$
- în treapta I $t_1 = 130 + 2 + 0,59 + 1 \approx 134^\circ\text{C}$

8. Calculul coeficientului total de transmitere a căldurii în trepte.

Pentru temperaturile de fierbere găsite și pentru concentrațiile medii ale soluțiilor în trepte, se găsesc în tabele constantele de calcul necesare — caracteristicile fizice ale soluțiilor (densitatea, conductivitatea termică, căldura specifică, viscozitatea). Apoi se alege diametrul țevelor și lungimea lor (în concordanță cu tipul evaporatorului).

Cu aceste date se calculează coeficienții parțiali de transmitere a căldurii pentru aburul care condensează și pentru soluția care fierbe (exemple de calcul date în cap. IV). Se consideră un strat de piatră de 0,5 mm).

Pe baza calculelor efectuate, se obțin valorile :

- pentru treapta I a $K_1 = 1\,700 \text{ W}/(\text{m}^2 \cdot \text{K})$
- pentru treapta a II-a $K_2 = 990 \text{ W}/(\text{m}^2 \cdot \text{K})$
- pentru treapta a III-a $K_3 = 580 \text{ W}/(\text{m}^2 \cdot \text{K})$

În mod orientativ, raportul coeficienților totali de transmitere a căldurii la evaporarea soluțiilor apoase în corpurile instalației de evaporare este :

$$K_1 : K_2 : K_3 = 1 : 0,58 : 0,34.$$

9. Stabilirea bilanțurilor termice pe trepte (neglijând pierderile de căldură).

Conform datelor din exemplu, soluția intră în evaporator preîncălzită la temperatura de fierbere din treapta I.

În acest caz, căldura necesară în treapta I este :

$$Q_I = W_I \cdot r_1 = 0,295 \cdot 2\,179 \cdot 10^3 = 643\,000 \text{ W}$$

În treapta II soluția intră supraîncălzită, prin urmare Q_{inc} are semnul minus (căldură de autoevaporare) și consumul de căldură va fi :

$$|Q_{II} = W_{II} \cdot r_2 - m_1 \cdot c_1 (t_1 - t_2) = 0,324 \cdot 2\,234 \cdot 10^3 - 1,09 \cdot 3,69 \cdot 10^3 (134 - 115) = 647\,000 \text{ W}$$

Căldura pe care o cedează aburului secundar din treapta I la condensare este $W_I \cdot r_1 = 643\,000 \text{ W}$.

Diferența între căldura cedată și necesară în această treaptă, conform bilanțului termic este mai mică decât 1%.

Consumul de căldură în corpul III.

$$Q_{III} = W_{III} \cdot r_3 - m_2 \cdot c_2 (t_2 - t_3) = 0,351 \cdot 2\,357 \cdot 10^3 - 0,77 \cdot 3,43 \cdot 10^3 (115 - 73) = 722\,000 \text{ W}$$

Aburul secundar din treapta II cedează la condensare căldura (aport termic la treapta III) :

$$W_{II} \cdot r_2 = 0,324 \cdot 2\,234 \cdot 10^3 = 724\,000 \text{ W}$$

10. Consumul de abur de încălzire în treapta I este :

$$m_{\text{c.b. inc.}} = \frac{Q_I}{r_{\text{a.a.a}}} = \frac{643\,000}{2\,141 \cdot 10^3} = 0,3 \text{ kg/s}$$

Consumul specific de abur de încălzire :

$$d = \frac{m_{\text{c.b. inc.}}}{W} = \frac{0,3}{0,97} = 0,31 \text{ kg/kg}$$

11. Repartizarea diferenței utile de temperatură pe corpuri.

Repartizarea finală a diferenței utile de temperatură pe corpuri se face pentru cele două variante : pentru cazul suprafeței minime și pentru cazul suprafețelor egale, adică, proporțional cu $\sqrt{Q/K}$ sau proporțional cu Q/K .

Se calculează factorii de proporționalitate :

	Raportul Q/K	$\sqrt{Q \cdot 10^3/K}$
treapta I	$\frac{643\,000}{1\,700} = 376$	612
treapta a II-a	$\frac{647\,000}{990} = 656$	809
treapta a III-a	$\frac{722\,000}{580} = 1\,242$	1\,114
	$\Sigma Q/K = 2\,274$	$\Sigma \sqrt{Q \cdot 10^3/K} = 2\,535$

Diferențele utile de temperatură în corpuri sînt :

Varianta suprafeței totale minime :

$$\Delta t_1 = \frac{61,13 \cdot 612}{2\,535} = 14,8 \text{ K}$$

$$\Delta t_2 = \frac{61,13 \cdot 809}{2\,535} = 19,5 \text{ K}$$

$$\Delta t_3 = \frac{61,13 \cdot 1\,114}{2\,535} = 26,8 \text{ K}$$

$$\text{verificare : } \Sigma \Delta t_{\text{u.}} = 61,1 \text{ K}$$

Varianta suprafețelor egale :

$$\Delta t_1 = \frac{61,13 \cdot 376}{2\,274} = 10,1 \text{ K}$$

$$\Delta t_2 = \frac{61,13 \cdot 656}{2\,274} = 17,6 \text{ K}$$

$$\Delta t_3 = \frac{61,13 \cdot 1\,242}{2\,274} = 33,4 \text{ K}$$

$$\text{verificare : } \Sigma \Delta t_{\text{u.}} = 61,1 \text{ K}$$

12. Determinarea suprafeței de încălzire :

Varianta suprafeței totale minime :

$$A_1 = \frac{643\,000}{1\,700 \cdot 14,8} = 25,3 \text{ m}^2$$

$$A_2 = \frac{647\,000}{990 \cdot 19,5} = 33,6 \text{ m}^2$$

$$A_3 = \frac{722\,000}{580 \cdot 26,8} = 46,5 \text{ m}^2$$

$$\Sigma A = 105,4 \text{ m}^2$$

Varianta suprafețelor egale :

$$A_1 = \frac{643\,000}{1\,700 \cdot 10,1} = 37,2 \text{ m}^2$$

$$A_2 = \frac{647\,000}{990 \cdot 17,6} = 37,2 \text{ m}^2$$

$$A_3 = \frac{722\,000}{580 \cdot 33,4} = 37,2 \text{ m}^2$$

$$\Sigma A = 111,6 \text{ m}^2$$

Prin urmare, la calculul variantei cu suprafețe egale suprafața totală de încălzire este doar cu 6% mai mare. Din această cauză se consideră avantajoasă varianta suprafețelor egale deoarece instalația are aparate de un singur tip.

Se verifică temperatura aburului secundar și presiunile în trepte :

Treapta	Temperatura de fierbere, °C $t_{fiero} = t_{ab} - \Sigma \Delta t_{at}$	Temperatura de condensare a aburului secundar : $t_c = t_{fiero} - \Sigma \Delta t_p$	Presiunea, p, ata
I	143,0 - 10,1 = 132,9	132,9 - 3,59 = 129,3	2,7
II	129,3 - 17,6 = 111,7	111,7 - 4,96 = 106,7	1,31
III	106,7 - 33,4 = 73,3	73,3 - 13,32 = 60	0,2

După efectuarea acestui calcul este necesar ca pornind de la suprafețele treptelor găsite să se facă un calcul mai exact al instalației ținând seama de căldura pierdută în mediul înconjurător și de repartiția oarecum schimbată a temperaturilor și presiunilor din trepte.

6. BAZELE TRANSFERULUI DE MASĂ. ABSORBȚIA

6.1. VARIABILELE DE BAZĂ ȘI RELAȚII DE CALCUL

1. Modul de exprimare a compoziției fazelor la sistemele binare lichid-gaz (vapori) este redat în tabela 6-1.

Tabela 6-1

Concentrația	Simbolul concentrației componentului A	
	În faza lichidă	În faza gazoasă sau de vapori
Fracția molară $\frac{\text{kmoli A}}{\text{kmoli (A + B)}}$	x	y
Fracția de masă $\frac{\text{kg A}}{\text{kg (A + B)}}$	x	y
Concentrație (fracție) molară relativă $\frac{\text{kmoli A}}{\text{kmoli B}}$	X	Y
Concentrație (fracție) de masă relativă $\frac{\text{kg A}}{\text{kg B}}$	X	Y
Concentrație molară volumică $\frac{\text{kmoli A}}{\text{m}^3(\text{A + B})}$	C _x	C _y
Concentrația de masă volumică $\frac{\text{kg A}}{\text{m}^3(\text{A + B})}$	C _x	C _y

Formulele pentru transformarea concentrației în faza lichidă sînt date în tabela 6-2. Pentru faza gazoasă (de vapori) sînt valabile aceleași relații, dar substituind notațiile x cu y, X cu Y, C_x cu C_y.

2. Concentrația componentului în faza gazoasă poate fi exprimată și prin presiunea sa parțială. Pe baza (ecuației) legii lui Clapeyrom și Dalton fracția molară (volumică) y a oricărui component al unui amestec de gaze ideale este egală cu :

$$y_A = \frac{p_A}{P} \quad (6-1)$$

unde : p_A este presiunea parțială a componentului în amestecul gazos ;
 $P = p_A + p_B + p_C \dots$ — presiunea totală a amestecului de gaze sau de vapori, egală cu suma presiunilor parțiale a tuturor componentelor.

Tabelul 6-2

Exprimarea concentrației componentului A	x	\bar{x}	X	\bar{X}	C_x	\bar{C}_x
		$\frac{\bar{x} M_{am}}{M_A}$ sau $\frac{\bar{x}}{M_B}$	$\frac{X}{1+X}$	$\frac{M_B \bar{X}}{M_B \bar{X} + M_A}$	$\frac{C_x \cdot M_{am}}{\rho}$ sau $\frac{C_x \cdot M_B}{\rho + C_x(M_B - M_A)}$	$\frac{\bar{C}_x \cdot M_{am}}{\rho M_{am}}$ sau $\frac{\bar{C}_x \cdot M_B}{\rho M_A + C_x(M_B - M_A)}$
x	—	$\frac{\bar{x} + 1 - \bar{x}}{M_A + M_B}$				
\bar{x}	$\frac{M_A \cdot x}{M_{am}}$	—	$\frac{M_A \cdot X}{M_A \cdot X + M_B}$	$\frac{\bar{X}}{1 + \bar{X}}$	$\frac{M_A \cdot C_x}{\rho}$	$\frac{\bar{C}_x}{\rho}$
X	$\frac{x}{1-x}$	$\frac{\bar{x} \cdot M_B}{M_A(1-\bar{x})}$	—	$\frac{M_B \cdot \bar{X}}{M_A}$	$\frac{M_B \cdot C_x}{\rho - M_A \cdot C_x}$	$\frac{M_A \cdot \bar{C}_x}{M_A(\rho - \bar{C}_x)}$
X	$\frac{M_A \cdot x}{M_B(1-x)}$	$\frac{\bar{x}}{1-\bar{x}}$	$\frac{M_A \cdot X}{M_B}$	—	$\frac{M_A \cdot C_x}{\rho - M_A \cdot C_x}$	$\frac{\bar{C}_x}{\rho - \bar{C}_x}$
C_x	$\frac{\rho x}{M_{am}}$	$\frac{\rho \bar{x}}{M_A}$	$\frac{\rho X}{M_A \cdot X + M_B}$	$\frac{\rho \bar{X}}{M_A(\bar{X} + 1)}$	—	$\frac{\bar{C}_x}{M_A}$
C_x	$\frac{\rho M_A \cdot x}{M_{am}}$	$\rho \bar{x}$	$\frac{M_A \cdot \rho \cdot X}{M_A X + M_B}$	$\frac{\rho \bar{X}}{\bar{X} + 1}$	$M_A C_x$	—

3. Legile echilibrului între faze pentru soluții ideale.

a. Legea lui Henry :

$$p_A = E \cdot x_A \quad (6-2)$$

unde : p este presiunea parțială a componentului în faza gazoasă în echilibru cu gazul din lichid ;

x_A — fracția molară a componentului în lichid ;

E — coeficientul lui Henry, care depinde de temperatură și de natura gazului și a lichidului, dimensiunile lui sînt aceleași cu ale lui p^* .

Valorile coeficientului E pentru soluțiile apoase ale unor gaze sînt date în tabela XLI.

Înlocuind în ecuația (6-2) valoarea $p_A^* = y_A^* \cdot P$ pe baza ecuației (6-1), obținem :

$$y_A^* = b \cdot x_A \quad (6-3)$$

unde : y_A^* este fracția molară a componentului în faza gazoasă în echilibru cu lichidul ;

$b = \frac{E}{P}$ — coeficient adimensional (coeficient de repartitie), constant

pentru un sistem gaz-lichid dat la $T = \text{const}$ și $P = \text{const}$.

Dacă, în cazul sistemelor cu trei componente ce se găsesc în două faze (faza gazoasă : $A + B$, faza lichidă : $A + C$) se înlocuiesc în ecuația echilibrului fazelor (6-3) valorile x_A și y_A^* pentru componentul A, prin concentrațiile corespunzătoare X și Y^* , \bar{X} și \bar{Y}^* (tabela 6-2) se obține :

$$\frac{Y^*}{1 + Y^*} = m \cdot \frac{X}{1 + X} \quad (6-4)$$

$$\frac{\bar{Y}^*}{\bar{Y}^* + \frac{M_A}{M_B}} = m \cdot \frac{\bar{X}}{\bar{X} + \frac{M_A}{M_C}} \quad (6-5)$$

unde : M_A este masa molară a componentului A, repartizat între cele două faze ;

M_B — masa molară a celui de al doilea component al amestecului gazos binar ;

M_C — masa molară a celui de al doilea component al amestecului lichid binar.

La concentrații mici ale componentului repartizat în gaz și în lichid, cînd $Y^* \ll 1$ și $X \ll 1$, neglijînd mărimile Y^* și X de la numitorul ecuației (6-4), aceasta devine :

$$Y^* = m \cdot X \quad (6-6)$$

În mod analog, dacă $\bar{Y}^* \ll \frac{M_A}{M_B}$ și $\bar{X} \ll \frac{M_A}{M_C}$ din ecuația (6-5) se obține :

$$\bar{Y}^* = m \cdot \frac{M_C}{M_B} \cdot \bar{X} \quad (6-6, a)$$

b. Legea lui Raoult.

$$p_A^* = P_A \cdot x_A \quad (6-7)$$

unde : p_A^* este presiunea parțială a componentului A în amestecul de vapori și gaz deasupra lichidului, în condiții de echilibru ;

P_A — presiunea vaporilor saturați ai componentului A în stare pură, la temperatura dată. Presiunea vaporilor saturați ai componentului pur este o funcție univocă de temperatură : $P_A = f(t)$;

x_A — fracția molară a componentului A în faza lichidă.

Înlocuind în ecuația (6-7) valoarea $p_A^* = y_A^* \cdot P$ din ecuația (6-1) se obține :

$$y_A^* = \frac{P_A}{P} \cdot x_A \quad (6-8)$$

unde y'_A este fracția molară a componentului în faza de vapori-gaze, în echilibru cu lichidul de compoziție x_A .

Pentru amestecuri binare, cînd ambele componente urmează legea lui Raoult, ecuația (6-8) se scrie în forma :

$$y_A^* = \frac{\alpha \cdot x_A}{1 + (\alpha - 1) \cdot x_A} \quad (6-9)$$

unde : $\alpha = \frac{P_A}{P_B}$ coeficientul volatilității relative ;

- P_A — presiunea vaporilor saturanți ai componentului ușor volatil (cu temperatură de fierbere mai scăzută) ;
 P_B — presiunea vaporilor saturanți ai componentului greu volatil (cu temperatura de fierbere mai ridicată).

4. Numeroase date experimentale despre compozițiile de echilibru ale lichidului și vaporilor sînt prezentate în literatură [6-5]. Pentru unele sisteme binare, datele asupra compozițiilor de echilibru ale lichidului și vaporilor la $P = \text{const.}$ sînt prezentate în tabela XLVII și în figura XXI și XXII*.

5. Forța motoare a procesului de transfer de masă — trecerea unui component dintr-o fază în cealaltă (de exemplu, din faza lichidă Φ_x , cu concentrația molară a componentului x , în faza gazoasă Φ_y , cu concentrația molară y , este dezechilibrul ce există între cele două faze în contact, deplasarea lor de la starea de echilibru dinamic. În termodinamica chimică se stabilește că mărimea acestei deplasări, la egalitatea temperaturilor și presiunilor fazelor, se determină prin diferența potențialelor chimice ale componentului ce se transferă ($\mu_x - \mu_y$), care constituie și forța motoare a procesului de transfer de masă. La echilibrul fazelor, potențialele μ_x și μ_y sînt egale.

Înlocuind potențialul μ_x cu potențialul egal al fazei gazoase la echilibru, μ_y^* , se obține pentru forța motoare a procesului de transfer de masă, expresia :

$$\mu_x - \mu_y = \mu_y^* - \mu_y$$

În mod analog înlocuind potențialul μ_y cu potențialul egal al fazei lichide în echilibru, se obține :

$$\mu_x - \mu_y = \mu_x - \mu_x^*$$

Din ultimele egalități reiese că forța motoare a procesului ($\mu_x - \mu_y$) poate fi exprimată în două moduri : fie ca diferența potențialelor luate față de faza gazoasă, fie ca diferența potențialelor luate față de faza lichidă. Pe lângă acestea este necesar să se amintească că atât faza gazoasă cu potențialul μ_y^* și cu concentrația y^* , cît și faza lichidă cu potențialul μ_x^* și cu concentrația x^* , sînt faze ipotetice, care nu se găsesc în procesul real de transfer de masă (vezi fig. 6-1).

În calculele tehnice nu se întrebuintează potențialele chimice ci mărimi mai simple, ușor de stabilit : concentrațiile, cu ajutorul cărora se poate caracteriza de asemenea abaterea fazelor Φ_x și Φ_y de la starea de echilibru. Totuși, spre deosebire de diferența potențialelor chimice ($\mu_x - \mu_y$), care este

* Date informative utile se pot găsi, de asemenea, și în cărțile : R. D. Steel, Tabele de presiuni de vapori ale substanțelor individuale, IL, 1949 ; L. Horsley, Tabele de amestecuri azeotrope, IL, 1951.

de asemenea egală cu zero la echilibru între faze, diferența concentrațiilor ($x - y$), în general diferită de zero la echilibru* nu poate servi ca măsură a abaterii fazelor de la starea de echilibru, adică ca măsură a forței motoare a procesului de transfer de masă. În calculele tehnice forța motoare a procesului de transfer de masă — abaterea sistemului de la starea de echilibru — se exprimă prin diferența concentrațiilor ($y^* - y$) sau ($x - x^*$). După cum concentrațiile pot fi exprimate în diferite unități, forța motoare a procesului de transfer de masă poate avea diferite semnificații — vezi exemplul 6—3.

6. În concordanță cu cele două posibilități de exprimare a forței motoare a procesului de transfer de masă — în faza gazoasă ($\Delta y = y^* - y$) sau în faza lichidă ($\Delta x = x^* - x$), ecuația transferului de masă, analoagă cu cea a transferului de căldură, poate fi scrisă în două feluri :

$$m_{tr} = K_y \cdot \Delta y_{med} \cdot A \quad (6-10)$$

sau

$$m_{tr} = K_x \cdot \Delta x_{med} \cdot A \quad (6-11)$$

în care : m_{tr} este debitul componentului care trece dintr-o fază în cealaltă, kmol/s ;

- A — aria suprafeței de masă, m^2 ;
 K_y — coeficientul de transfer de masă, raportat la forța motoare Δy , exprimată prin fracția molară a componentului în faza gazoasă, $\text{kmol}/(m^2 \cdot s)^{**}$;
 K_x — coeficientul de transfer de masă, raportat la forța motoare Δx , exprimată prin fracția molară a componentului în faza lichidă, $\text{kmol}/(m^2 \cdot s)$;
 Δy_{med} și Δx_{med} — forța motoare medie corespunzătoare, pentru întreg procesul.

În ultimele ecuații, în locul debitelor molare și concentrațiilor molare, se pot folosi cele de masă, iar Δy_{med} se poate înlocui prin ΔY_{med} , $\Delta C_{y_{med}}$ și Δp_{med} ; în mod corespunzător, Δx_{med} se poate înlocui prin ΔX_{med} sau $\Delta C_{x_{med}}$.

* Vezi, de exemplu, datele despre concentrațiile la echilibru din tabela XLVII.

** Uneori se scrie $\frac{\text{kmol}}{m^2 \cdot s (\Delta y = 1)}$ sau $\frac{\text{kmol}}{m^2 \cdot s}$

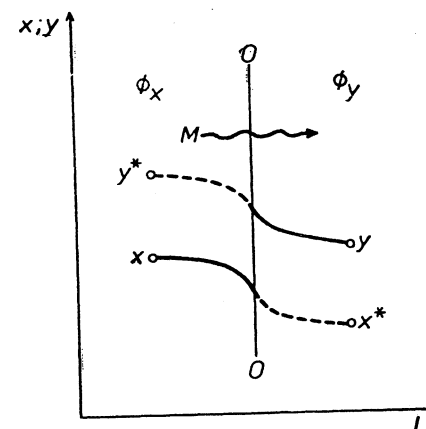


Fig. 6-1. Schema procesului de transfer de masă.

7. În anumite ipoteze (absența rezistenței de difuziune la trecerea componentului prin suprafața de separare a fazelor, existența echilibrului la această suprafață, liniaritatea ecuației echilibrului $y^* = m \cdot x$ sau $y^* = m \cdot x + b$), se obțin următoarele dependențe între coeficienții de transfer de masă K_y și K_x și coeficienții parțiali de transfer de masă k_k și k_x :

$$K_y = \frac{1}{\frac{1}{k_y} + \frac{b}{k_x}} \quad (6-12)$$

$$K_x = \frac{1}{\frac{1}{b \cdot k_y} + \frac{1}{k_x}} \quad (6-13)$$

unde b este tangenta unghiului de înclinare a liniei de echilibru. Coeficienții parțiali și totali de transfer de masă sint exprimați în $\text{kmol}/\text{m}^2 \cdot \text{s}$.

Numitorii ultimelor ecuații reprezintă rezistența totală la difuziune, egală cu suma rezistențelor la difuziune a fazelor gazoasă și lichidă.

Cînd rezistența principală la difuziune se concentrează în faza gazoasă, adică $\frac{b}{k_x} \ll \frac{1}{k_y}$,

$$K_y \approx k_y \quad (6-14)$$

Cînd rezistența principală la difuziune se concentrează în faza gazoasă, adică $\frac{1}{b \cdot k_y} \ll \frac{1}{k_x}$, avem,

$$K_x \approx k_x \quad (6-15)$$

Din ecuațiile (6-12) și (6-13) rezultă că:

$$K_y = \frac{K_x}{b} \quad (6-16)$$

8. Principalele criterii de similitudine la difuziune stabilite pentru procesele de transfer de masă.

Criteriul Nusselt pentru difuziune:

$$\text{Nu}' = \frac{k \cdot l}{D} = \text{Sh} \quad (6-16)$$

Criteriul Péclet pentru difuziune:

$$\text{Pe}' = \frac{w \cdot l}{D} \quad (6-17)$$

Criteriul Prandtl pentru difuziune:

$$\text{Pr} = \frac{\text{Pe}'}{\text{Re}} = \frac{\nu}{D} = \text{Sc} \quad (6-18)$$

În aceste relații:

k este coeficientul parțial de transfer de masă, m/s

$$\left(\frac{\frac{\text{kmol}}{\text{m}^2 \cdot \text{s}} \cdot \frac{\text{kmol}}{\text{m}^3}}{\frac{\text{kg}}{\text{m}^3} \cdot \frac{\text{kg}}{\text{m}^3}} \text{ sau } \frac{\frac{\text{kg}}{\text{m}^3} \cdot \frac{\text{kg}}{\text{m}^3}}{\frac{\text{m}^2 \cdot \text{s}}{\text{m}^3}} \right);$$

l — dimensiunea liniară determinantă, m ;

D — coeficient de difuziune moleculară, m^2/s ;

w — viteza gazului sau a lichidului, m/s ;

ν — coeficientul viscozității cinematice, m^2/s .

9. În lipsa datelor experimentale, coeficientul de difuziune (moleculară) a gazului A în gazul B (sau al gazului B în gazul A) se poate calcula cu formula:

$$D_g = \frac{4,3 \cdot 10^{-7} \cdot T^{3/2}}{p(v_A^{1/3} + v_B^{1/3})^2} \cdot \sqrt{\frac{1}{M_A} + \frac{1}{M_B}} \quad (6-19)$$

unde: D_g — este coeficientul de difuziune, m^2/s ;

T — temperatura, K ;

p — presiunea (absolută), ata ;

M_A și M_B — masele molare ale gazelor A și B ;

v_A și v_B — volumele molare ale gazelor A și B determinate ca sumă a volumelor atomice ale elementelor care intră în compoziția gazului — vezi exemplul 6-6.

Volumele atomice ale unor elemente și volumele moleculare ale unor gaze sint date în tabela 6-3.

După cum rezultă din formula (6-19), dacă se cunoaște valoarea coeficientului de difuziune D_1 la temperatura T_1 și presiunea p_1 valoarea coeficientului de difuziune D_2 la temperatura T_2 și presiunea p , se poate calcula din ecuația:

$$D_2 = D_1 \frac{p_1}{p_2} \left(\frac{T_2}{T_1} \right)^{3/2} \quad (6-20)$$

Valorile coeficienților de difuziune în aer pentru unele gaze și vapori sint date în tabela XLII.

10. Coeficientul de difuziune în lichid D_1 , la temperatura de 20°C se poate calcula cu formula aproximativă:

$$D_1 = \frac{1 \cdot 10^{-8}}{AB \sqrt{\eta (v_A^{1/3} + v_B^{1/3})^2}} \sqrt{\frac{1}{M_A} + \frac{1}{M_B}} \quad (6-21)$$

unde: D_1 este coeficientul de difuziune, m^2/s ;

η — viscozitatea lichidului, $\text{mPa} \cdot \text{s}$, (cP);

v_A și v_B — volumele molare ale substanței dizolvate și ale solventului;

M_A și M_B — masele molare ale substanței dizolvate și ale solventului;

A și B — coeficienți care depind de proprietățile substanței dizolvate și ale solventului.

Valorile coeficientului A pentru unele substanțe dizolvate în apă sînt :

pentru gaze	1
pentru alcool etilic	1,24
pentru alcool metilic	1,19
pentru acid acetic	1,27

Coeficientul B este egal cu :

pentru apă	4,7
pentru alcool etilic	2,0
pentru alcool metilic	2,0
pentru acetonă	1,15
pentru lichide neasociate	1,0

Tabelul 6-3

Volum atomic, cm ³ /atom		Volum molar, cm ³ /mol	
B	27	H ₂	14,3
C	14,8	O ₂	25,6
Cl	24,6	N ₂	31,2
H	3,7	acr	29,9
N în amine primare	10,5	CO	30,7
N în amine secundare	12,0	CO ₂	34,0
N în combinații cu două legături saturate	15,6	SO ₂	44,8
O în combinații cu două legături saturate	7,4	NO	23,6
O în aldehide și cetone	7,4	N ₂ O	36,4
O în eteri micști	9,1	NH ₃	25,8
O în eteri simpli	9,9	H ₂ O	18,9
O în eteri superiori	11,0	H ₂ S	32,9
O în acizi	12,0	COS	51,5
O în combinații cu S P N	8,3	Cl ₂	48,4
S	25,6	Br ₂	53,2
I	37,0	I ₂	71,5

Constante de structură*

inel benzenic	-15
inel naftalinic	-30
inel antracenic	-47,5

* Pentru calculul volumului molecular al unei combinații chimice, valoarea corespunzătoare a constantei de structură trebuie adăugată la suma volumelor atomice.

Coeficientul de difuziune a unui gaz într-un lichid D_t (la temperatura t) este legat de coeficientul de difuziune D_{20} (la temperatura de 20°C) prin următoarea relație aproximativă

$$D_t = D_{20}[1 + b(t - 20)] \quad (6-22)$$

în care, coeficientul de temperatură b poate fi determinat cu formula empirică :

$$b = \frac{0,2\sqrt{\eta}}{\sqrt[3]{\rho}} \quad (6-23)$$

unde : η este viscozitatea lichidului la 20°C, în mPa·s, (cP) ;

ρ — densitatea lichidului, kg/m³.

Valorile coeficienților de difuziune ai unor gaze în apă sînt date în tabela XLIII.

Coeficientul de difuziune în soluții diluate poate fi calculat și cu formula :

$$D_1 = 7,4 \cdot 10^{-12} \frac{(\beta \cdot M)^{1/2} T}{\eta \cdot v^{0,8}} \quad (6-24)$$

unde : D_1 este coeficientul de difuziune, m²/s ;

M — masa molară a solventului ;

v — volumul molar al substanței care difuzează ;

T — temperatura, K ;

η — viscozitatea solventului, mPa·s, (cP) ;

β — parametru care ține seama de gradul de asociere al moleculelor, egal cu :

pentru apă	2,6
pentru alcool metilic	1,9
pentru alcool etilic	1,5
pentru benzen, eter, heptan	1,0

11. Bilanțul de materiale al absorberului (fig. 6-2).

La calculul absorberului cu absorbant lichid nevolatil, debitele de masă (sau molare) al absorbantului și al gazului inert insolubil în lichid sînt constante pe toată înălțimea absorberului. Exprimînd concentrațiile componentului absorbit în gaz și în lichid în unități relative de masă (sau molare) obținem ecuația bilanțului de materiale (în unități de masă) :

$$m_{abs} = G(\bar{Y}_b - \bar{Y}_v) = (\bar{X}_b - \bar{X}_v) \cdot L \quad (6-25)$$

unde : m_{abs} este debitul componentului absorbit, kg/s ;

G și L — debitele gazului inert și al absorbantului lichid, kg/s ;

\bar{Y}_b și \bar{Y}_v — concentrațiile componentului absorbit în gaz, la baza, respectiv la virful absorberului, kg/kg gaz inert ;

\bar{X}_b și \bar{X}_v — concentrațiile componentului absorbit în lichid, la baza, respectiv la virful absorberului, kg/kg absorbant lichid.

În coordonate $\bar{Y}-\bar{X}$, ecuația (6-25) la debite G și L constante, reprezintă un segment de dreaptă, care trece prin punctele $B[\bar{X}_b, \bar{Y}_b]$ și $A[\bar{X}_v, \bar{Y}_v]$ — vezi figura 6-3.

Ecuația acestei drepte este ecuația liniei de lucru :

$$\bar{Y} = \bar{Y}_b + \frac{L}{G} (\bar{X} - \bar{X}_b) \quad (6-26)$$

sau

$$\bar{Y} = \bar{Y}_v + \frac{L}{G} (\bar{X} - \bar{X}_v) \quad (6-27)$$

unde : \bar{Y} și \bar{X} sînt concentrațiile componentului absorbit în cele două faze, gazoasă și lichidă, care se află în contact și nu sînt în echilibru, într-o anumită secțiune a absorberului, concentrații ce variază pe înălțimea coloanei (fig. 6-2).

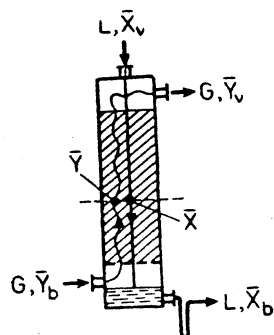


Fig. 6-2. Schema absorberului.

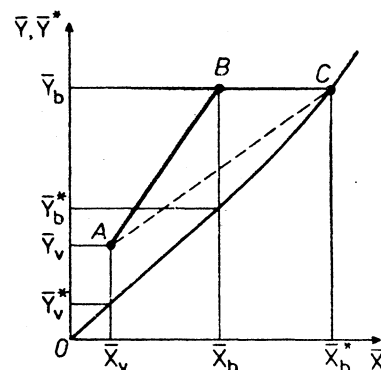


Fig. 6-3. Linia de lucru și de echilibru a absorberului:

AB — linia de lucru la debitul absorberului L ; AC — linia de lucru la debitul absorberului L_{min} ; OC — linia de echilibru $Y^* = f(X)$.

Debitul absorbantului lichid:

$$L = \varphi \cdot L_{min} \quad (6-28)$$

unde: $\varphi > 1$ este coeficient de exces al absorbantului;

L_{min} — debitul teoretic minim al absorbantului, care se poate determina din grafic (fig. 6-3) sau pe cale analitică:

$$L_{min} = \frac{M}{\bar{X}_b^* - \bar{X}_v} \quad (6-29)$$

Randamentul procesului de absorbție se calculează cu relația:

$$\eta_{abs} = \frac{\bar{Y}_b - \bar{Y}_v}{\bar{Y}_b} = \frac{Y_b - Y_v}{Y_b} \quad (6-29, a)$$

12. Forța motoare medie într-un absorber cu faze în contact permanent (neîntrerupt).

În ecuația generală a transferului de masă:

$$S = \frac{m_{abs}}{K_Y \cdot \Delta \bar{Y}_m} \quad (6-30)$$

în care: S este suprafața de transfer de masă în absorber, m^2 ;

m_{abs} — debitul componentului absorbit, kg/s ;

K_Y — coeficient total de transfer de masă $\frac{kg}{m^2 \cdot s \cdot \frac{kg}{kg \text{ gaz inert}}}$.

Forța motoare medie $\Delta \bar{Y}_m$ se determină în modul următor:

— dacă în intervalul de la \bar{X}_v la \bar{X}_b (fig. 6-3) linia de echilibru este dreaptă, atunci:

$$\Delta \bar{Y}_{med} = \frac{\Delta \bar{Y}_b - \Delta \bar{Y}_v}{2,3 \lg \frac{\Delta \bar{Y}_b}{\Delta \bar{Y}_v}} \quad (6-31)$$

unde: $\Delta \bar{Y}_b$ și $\Delta \bar{Y}_v$ sînt forțele motoare terminale;

$\Delta \bar{Y}_b = \bar{Y}_b - Y_b^*$ — la baza absorberului, la $\bar{X} = \bar{X}_b$;

$\Delta \bar{Y}_v = \bar{Y}_v - Y_v^*$ — la vârful absorberului, la $\bar{X} = \bar{X}_v$.

Cînd raportul forțelor motoare terminale variază între limitele:

$$0,5 \leq \frac{\Delta \bar{Y}_b}{\Delta \bar{Y}_v} \leq 2$$

forța motoare medie în absorber se poate calcula cu o relație mai simplă:

$$\Delta \bar{Y}_{med} = \frac{\Delta \bar{Y}_b + \Delta \bar{Y}_v}{2} \quad (6-32)$$

Dacă linia de echilibru nu este dreaptă atunci:

$$\Delta \bar{Y}_{med} = \frac{\bar{Y}_b - \bar{Y}_v}{\int_{\bar{Y}_v}^{\bar{Y}_b} \frac{d\bar{Y}}{\bar{Y} - \bar{Y}^*}} \quad (6-33)$$

Valoarea integralei de la numitorul ultimei ecuații se obține printr-o construcție grafică sau prin metodele integrării grafice.

O altă metodă de calcul în cazul liniei de echilibru curbe este următoarea: se împarte linia de echilibru în porțiuni, care se pot considera aproximativ segmente de dreaptă și pentru fiecare porțiune în parte se determină forța motoare medie cu ecuația (6-31) sau (6-32).

Pentru calculele absorberelor forța motoare se exprimă adesea în unități de presiune — vezi exemplul 6-9.

13. Determinarea diametrului absorberului cu umplutură.

Diametrul coloanei de absorbție D (în m) se calculează din ecuația debitului pentru curentul de gaz:

$$D = \sqrt{\frac{V}{0,785w}} \quad (6-34)$$

unde: V este debitul de gaz, care trece prin absorber, m^3/s ;

w — viteza gazului, calculată la întreaga secțiune transversală a coloanei (viteza fictivă), m/s .

Viteza gazului w se determină pe următoarea cale:

Inițial se calculează viteza fictivă a gazului, w_n la punctul de înecare (inversie) cu ecuația:

$$\lg \left(\frac{w_n^2 \cdot \sigma \cdot \rho_l \cdot \eta_l^{0,18}}{g \cdot V_l^2 \rho_l} \right) = A - 1,75 \left(\frac{L}{G} \right)^{0,25} \cdot \left(\frac{\rho_g}{\rho_l} \right)^{0,125} \quad (6-35)$$

valabilă pentru $\rho_l \gg \rho_g$,

în care σ este suprafața specifică a umpluturii, m^2/m^3 ;
 g — accelerația gravitațională, m/s^2 ;
 V_l — volumul liber al umpluturii, m^3/m^3 ;
 ρ_g și ρ_l — densitățile gazului și lichidului, kg/m^3 ;
 η_l — viscozitatea dinamică a lichidului, $m \cdot Pa \cdot s$ (cP);
 L și G — debitele de masă ale lichidului și gazului, kg/s ;

$A = 0,022$ pentru umpluturi din inele sau spirale [6-2].

Apoi se determină viteza de lucru (fictivă) w a gazului, luând pentru absorbere care lucrează în regim pelicular:

$$w = (0,75 - 0,9) \cdot w_n \quad (6-36)$$

Viteza fictivă a gazului în coloane cu umplutură care lucrează în regim hidrodinamic optim (regimul începutului de înecare) se poate calcula din ecuația:

$$Re_g = 0,045 \cdot Ar^{0,57} \left(\frac{G}{L} \right)^{0,43} \quad (6-37)$$

unde

$$Re_g = \frac{w \cdot d_{ech} \cdot \rho_g}{V_l \cdot \eta_g} = \frac{1 \cdot w \rho_g}{\sigma \cdot \eta_g} \quad (6-37 a)$$

$\frac{w}{V_l}$ — viteza gazului în secțiunea liberă a umpluturii, m/s ;

$$Ar = \frac{d_{ech}^3 \cdot \rho_g \cdot \rho_l \cdot g}{\eta_g^2} \quad (6-37 b)$$

$$d_{ech} = \frac{4V_l}{\sigma} \quad [\text{vezi ecuația (1-56)}]$$

η_g — viscozitatea gazului, $N \cdot s/m^2$.

14. Determinarea înălțimii umpluturii absorberului.

a) prin înălțimea unității de transfer (IUT).

Suprafața de contact a fazelor în absorber la regimul de lucru pelicular este:

$$S = H_u \cdot A \cdot \sigma \cdot \psi \quad (6-38)$$

unde: H_u este înălțimea stratului de umplutură, m ;

$$A = \frac{\pi D^2}{4} \quad \text{— aria secțiunii transversale a coloanei, } m^2;$$

$$D \quad \text{— diametrul coloanei, } m;$$

σ — suprafața specifică a umpluturii, m^2/m^3 ;
 ψ — coeficientul de umezire a umpluturii, nedimensional;
 pentru calculul valorii acestui coeficient vezi [6-2].

Înălțimea stratului de umplutură:

$$H_u = \frac{G}{K_y \cdot A \cdot \sigma \cdot \psi} \int_{\bar{Y}_e}^{\bar{Y}_b} \frac{d\bar{Y}}{\bar{Y} - \bar{Y}^*} = h_{oy} \cdot n_{oy} \quad (6-39)$$

unde: G este debitul de gaz inert, constant pe înălțimea coloanei, kg/s sau $kmol/s$;

K_y — coeficientul mediu de transfer de masă,

$$\frac{kg}{m^2 \cdot s \cdot \frac{kg}{kg \text{ gaz inert}}} \quad \text{sau} \quad \frac{kmol}{m^2 \cdot s \cdot \frac{kmol}{kmol \text{ gaz inert}}}$$

$$h_{oy} = \frac{G}{K_y \cdot A \cdot \sigma \cdot \psi} \quad \text{— înălțimea unității de transfer, } m;$$

$$n_{oy} = \int_{\bar{Y}_e}^{\bar{Y}_b} \frac{d\bar{Y}}{\bar{Y} - \bar{Y}^*} \quad \text{— numărul total al unităților de transfer.}$$

Din ecuația (6-33) rezultă

$$n_{oy} = \frac{\bar{Y}_b - \bar{Y}_e}{\Delta \bar{Y}_{med}} \quad (6-40)$$

La o dependență lineară a echilibrului, forța motoare medie $\Delta \bar{Y}_{med}$ se calculează cu ecuațiile (6-31) sau (6-32), iar în cazul când echilibrul este redat printr-o linie curbă, numărul unităților de transfer n_{oy} se găsește printr-o construcție grafică sau prin metoda integrării grafice — vezi exemplul 6-10.

Valoarea coeficientului volumetric de transfer de masă se obține cu ajutorul relației:

$$K_{y_v} = K_y \cdot \sigma \cdot \psi = K_y \cdot a \quad (6-41)$$

unde:

$a = \sigma \cdot \psi$ este suprafața udată (activă) specifică a umpluturii, m^2/m^3 ,
 la $\psi = 1$, $a = \sigma$.

Întrebuințind coeficientul volumetric de transfer de masă, obținem pentru înălțimea unității de transfer relațiile:

$$h_{oy} = \frac{G}{K_y \cdot A \cdot \sigma \cdot \psi} = \frac{G}{K_{y_v} \cdot A} \quad (6-42)$$

b) prin înălțimea echivalentă unui taler teoretic (IETT).

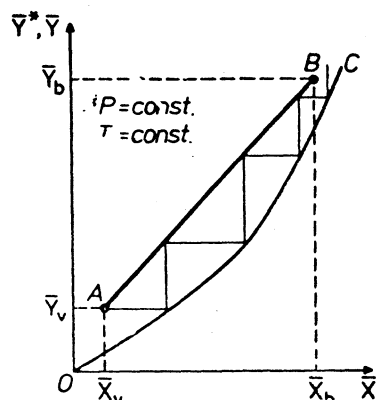


Fig. 6-4. Determinarea grafică a numărului treptelor de variație a concentrației (talerele teoretice) în absorber.

Înălțimea stratului de umplură H_u poate fi calculată și cu ajutorul ecuației:

$$H_u = h_{ech} \cdot n_t \quad (6-43)$$

unde: h_{ech} este înălțimea echivalentă unui taler teoretic (IETT) sau a unei trepte teoretice de variație a concentrației, m (se determină pe baza datelor experimentale);

n_t — numărul talerelor teoretice (a treptelor de variație a concentrației).

Numărul talerelor teoretice — a treptelor de variație a concentrației — în absorber, se determină de obicei pe cale grafică (fig. 6-4). În această figură AB — linia de lucru, construită pe baza ecuației (6-26) sau (6-27), OC — linia de echilibru.

15. Formule criteriale pentru calculul coeficienților de transfer de masă la absorbere cu umplură așezată neuniform (în vrac), în regim pelicular.

a) pentru faza gazoasă:

$$Nu'_g = 0,407 Re_g^{0,655} (Pr'_g)^{0,38} \quad (6-44)$$

unde:

$$Nu'_g = \frac{\beta_g \cdot d_{ech}}{D_g}$$

$$Re_g = \frac{4w \cdot \rho_g}{\sigma \cdot \eta_g} \text{ ecuația (6-37, a)}$$

$$Pr'_g = \frac{\eta_g}{\rho_g \cdot D_g}$$

β_g — coeficient parțial de transfer de masă pentru gaz,

$$\frac{\text{kmol}}{\text{m}^2 \cdot \text{s}} \cdot \frac{\text{kmol}}{\text{m}^3} = \frac{\text{m}}{\text{s}};$$

D_g — coeficientul de difuziune a componentului absorbit, m^2/s .

Pentru semnificația celorlalte simboluri vezi formulele (6-35) și (6-37).

Ecuația (6-44) este valabilă pentru valori ale cifrei Re_g cuprinse între 10 și 10 000.

b) pentru faza lichidă:

$$Nu'_l = 0,0021 Re_l^{0,75} \cdot (Pr'_l)^{0,5} \quad (6-45)$$

unde:

$$Nu'_l = \frac{\beta_l \cdot \delta_{red}}{D_l}$$

$$Re_l = \frac{4L}{A \cdot \sigma \cdot \psi \cdot \eta_l}$$

$$Pr'_l = \frac{\eta_l}{\rho_l \cdot D_l}$$

β_l — coeficientul parțial de transfer de masă pentru lichid, m/s ;

$\delta_{red} = \left(\frac{\eta_l^2}{\rho_l \cdot g} \right)^{1/3}$ — așa numita grosime redusă a peliculei de lichid, m ;

D_l — coeficientul de difuziune în lichid a componentului absorbit, m^2/s ;

L — debitul masic al lichidului, kg/s .

Expresia pentru criteriul Re_l s-a obținut în modul următor:

Semnificațiile simbolurilor — vezi ecuațiile (6-35) și (6-38).

Perimetrul udat de lichid al secțiunii absorberului se obține din ecuația (6-38):

$$P = \frac{S}{H_u} = A \cdot \sigma \cdot \psi \quad (6-46)$$

Viteza de curgere a peliculei de lichid prin umplură:

$$w_{l, pel.} = \frac{L}{\rho_l \cdot P \cdot \delta} = \frac{L}{\rho_l \cdot A \cdot \sigma \cdot \psi \cdot \delta} \quad (6-47)$$

în care δ este grosimea medie a peliculei, m .

Diametrul echivalent al peliculei de lichid

$$d_{pel} = \frac{4 \cdot P \cdot \delta}{P} = 4\delta \quad (6-48)$$

Înlocuind aceste mărimi în expresia criteriului Re_l , obținem:

$$Re_l = \frac{w_{l, pel.} \cdot d_{pel} \cdot \rho_l}{\eta_l} = \frac{4L}{A \cdot \sigma \cdot \psi \cdot \eta_l} \quad (6-49)$$

16. Determinarea diametrului și a înălțimii coloanelor de absorbție cu talere se face în același mod ca și pentru coloanele de rectificare cu talere — vezi capitolul 7. Diametrul absorberului cu talere se calculează cu ecuațiile (7-16) și (7-17). Înălțimea părții cu talere a absorberului, H_t , se determină cu ecuația (7-18). Numărul necesar de talere se găsește grafic și prin folosirea relațiilor criteriale pentru calculul coeficienților de transfer de masă sau a înălțimii unității de transfer (I.U.T.).

La calcule aproximative pentru determinarea numărului de talere se determină grafic numărul de trepte de variație a concentrației (fig. 6-4) și apoi numărul de talere n , cu ecuația (7-19).

6.2. EXEMPLE

Exemplul 6-1. Un amestec lichid conține 58,8% mol toluen și 41,2% mol tetraclorură de carbon. Să se determine concentrația toluenului exprimată în fracție de masă relativă, \bar{X} (în $\frac{\text{kg toluen}}{\text{kg tetraclorură de carbon}}$) și concentrația de masă volumică, \bar{C}_x (kg/m^3).

Rezolvare. Concentrația de masă relativă a toluenului este :

$$\bar{X} = \frac{M_{\text{tol}} \cdot x}{M_{\text{CCl}_4} (1 - x)}$$

în care : M_{tol} este masa molară a toluenului ($92 \frac{\text{kg}}{\text{kmol}}$);

M_{CCl_4} — masa molară a tetraclorurii de carbon (154 kg/kmol);
 x — fracția molară a toluenului.

Avem deci,

$$\bar{X} = \frac{92 \cdot 0,588}{154 \cdot 0,412} = 0,853 \frac{\text{kg toluen}}{\text{kg CCl}_4}$$

Pentru a calcula concentrația de masă volumică a toluenului \bar{C}_x , este necesar să se cunoască densitatea amestecului, ρ . Pentru calculul densității, în prealabil se calculează fracția de masă a toluenului \bar{x} .

Din tabela 6-2 :

$$\bar{x} = \frac{\bar{X}}{1 + \bar{X}} = \frac{0,853}{1,853} = 0,461$$

Din tabela III se găsește : densitatea toluenului $\rho_{\text{toluen}} = 870 \text{ kg/m}^3$ și densitatea tetraclorurii de carbon $\rho_{\text{CCl}_4} = 1630 \text{ kg/m}^3$.

Considerînd că prin amestecare nu are loc o modificare a volumului, adică volumul amestecului este egal cu suma volumelor componentelor, se găsește volumul ocupat de 1 kg de amestec :

$$\frac{0,461}{870} + \frac{0,539}{1630} = 0,862 \cdot 10^{-3} \text{ m}^3$$

Densitatea amestecului va fi :

$$\rho = \frac{1}{0,862 \cdot 10^{-3}} = 1160 \text{ kg/m}^3$$

Concentrația de masă volumică a toluenului este :

$$\bar{C}_x = \rho \cdot \bar{x} = 1160 \cdot 0,461 = 535,4 \text{ kg/m}^3$$

Exemplul 6-2. La presiunea atmosferică și temperatura de 34°C aerul este saturat cu vapori de apă. Să se determine presiunea parțială a aerului, concentrația vaporilor în amestecul aer-vapori, exprimată în % volume, % masă, și fracție de masă relativă, considerînd ambele componente ale amestecului drept gaze ideale. Presiunea atmosferică este 745 mm Hg . Să se determine de asemenea densitatea amestecului aer-vapori și să se compare aceasta cu densitatea aerului uscat.

Rezolvare. Din tabela XXXVIII se găsește că la $t = 34^\circ\text{C}$ presiunea vaporilor saturanți ai apei este $39,9 \text{ mm Hg}$. Aceasta este presiunea parțială a vaporilor de apă, p_{vap} , în amestecul aer-vapori, iar presiunea parțială a aerului este :

$$p_{\text{aer}} = P - p_{\text{vap}} = 745 - 39,9 \approx 705 \text{ mm Hg}$$

Fracția molară (volumică) a vaporilor de apă în amestec este :

$$y = \frac{p_{\text{vap}}}{P} = \frac{39,9}{745} = 0,0535$$

Fracția de masă a vaporilor este :

$$\bar{y} = \frac{M_{\text{vap}} \cdot y}{M_{\text{vap}} \cdot y + M_{\text{aer}} (1 - y)} = \frac{18 \cdot 0,0535}{18 \cdot 0,0535 + 29 \cdot 0,9465} = 0,0339$$

Concentrația de masă relativă este

$$\bar{Y} = \frac{\bar{y}}{1 - \bar{y}} = \frac{0,0339}{0,9661} = 0,0351 \frac{\text{kg vapori apă}}{\text{kg aer}}$$

Densitatea amestecului aer-vapori se calculează ca suma densităților componentelor, luați fiecare la presiunea sa parțială :

$$\begin{aligned} \rho_{\text{am}} &= \rho_{\text{aer}} + \rho_{\text{vap}} = \frac{M_{\text{aer}} \cdot p_{\text{aer}} \cdot T_0}{22,4 \cdot T \cdot P_0} + \frac{M_{\text{vap}} \cdot p_{\text{vap}} \cdot T_0}{22,4 \cdot T \cdot P_0} \\ &= \frac{T_0}{22,4 \cdot T \cdot P_0} (M_{\text{aer}} \cdot p_{\text{aer}} + M_{\text{vap}} \cdot p_{\text{vap}}) = \\ &= \frac{273}{22,4 \cdot 307 \cdot 760} (29 \cdot 705 + 18 \cdot 39,9) = 1,105 \text{ kg/m}^3 \end{aligned}$$

Densitatea amestecului se poate calcula și altfel :

Masa molară a amestecului este :

$$M_{\text{am}} = M_{\text{vap}} \cdot y + M_{\text{aer}} (1 - y) = 18 \cdot 0,0535 + 29 \cdot 0,9465 = 28,4 \text{ kg/kmol}$$

Densitatea amestecului la $P = 745 \text{ mm Hg}$ și $t = 34^\circ\text{C}$:

$$\rho_{\text{am}} = \frac{M_{\text{am}} \cdot P \cdot T_0}{22,4 \cdot P_0 \cdot T} = \frac{28,4 \cdot 745 \cdot 273}{22,4 \cdot 760 \cdot 307} = 1,105 \text{ kg/m}^3$$

Densitatea aerului uscat la aceeași presiune și temperatură este :

$$\rho_{\text{aer usc.}} = \frac{M_{\text{aer}} \cdot P \cdot T_0}{22,4 \cdot P_0 \cdot T} = \frac{29 \cdot 745 \cdot 273}{22,4 \cdot 760 \cdot 307} = 1,13 \text{ kg/m}^3$$

Exemplul 6-3. La temperatura de 25°C sînt aduse în contact : aer la presiunea atmosferică, care conține 14% (volum) acetilenă și apă, care conține acetilenă dizolvată în cantitate de : a) $0,29 \cdot 10^{-3}$ kg C_2H_2 la 1 kg apă ; b) $0,153 \cdot 10^{-3}$ kg C_2H_2 la 1 kg apă. Să se determine :

- 1) din care fază în care va trece acetilena ;
- 2) forța motoare a acestui proces în momentul inițial (în concentrații molare relative). Presiunea atmosferică este 765 mm Hg. Concentrațiile de echilibru ale acetilenei în fazele gazoasă și lichidă se determină cu ajutorul legii lui Henry.

Rezolvare.

Legea lui Henry — ecuația (6-2) :

$$p^* = E \cdot x$$

Din tabela XLI se găsește că la $t = 25^\circ C$, constanta lui Henry, $E = 1,01 \cdot 10^6$ mm Hg.

Presiunea parțială a acetilenei în aer se determină din ecuația (6-1)

$$p = y \cdot P = 0,14 \cdot 765 = 107 \text{ mm Hg}$$

a) fracția molară a acetilenei în apă la $\bar{X} = 0,29 \cdot 10^{-3} \frac{\text{kg acetilenă}}{\text{kg apă}}$

(tabela 6-2) este :

$$x = \bar{X} + \frac{M_{ac}}{M_{apa}} = \frac{0,29 \cdot 10^{-3}}{0,29 \cdot 10^{-3} + \frac{26}{18}} \approx \frac{18 \cdot 0,29 \cdot 10^{-3}}{26} = 0,2 \cdot 10^{-3}$$

Răspunsurile la întrebările din exemplu se pot obține pe două căi :

I. În condiții de echilibru, presiunea parțială a acetilenei în faza gazoasă deasupra lichidului cu $x = 0,2 \cdot 10^{-3}$ se poate stabili cu legea lui Henry :

$$p^* = E \cdot x = 1,01 \cdot 10^6 \cdot 0,2 \cdot 10^{-3} = 202 \text{ mm Hg}$$

În realitate deasupra acestui lichid presiunea parțială a acetilenei este mai mică și anume $p = 107$ mm Hg. Pentru ca în procesul de transfer de masă sistemul gaz-lichid să se apropie de starea de echilibru, presiunea parțială a acetilenei în faza gazoasă trebuie să se mărească, adică acetilena va trece din apă în aer.

Forța motoare a acestui proces de trecere (abaterea de la starea de echilibru) în momentul inițial va fi egală cu :

— în unități de presiune parțială a acetilenei :

$$\Delta p = p^* - p = 202 - 107 = 95 \text{ mm Hg}$$

— în fracții molare :

$$\Delta y = y^* - y = \frac{202}{765} - 0,14 = 0,264 - 0,14 = 0,124$$

— în concentrații molare relative :

$$\begin{aligned} \Delta Y = Y^* - Y &= \frac{y^*}{1 - y^*} - \frac{y}{1 - y} = \frac{0,264}{1 - 0,264} - \frac{0,14}{1 - 0,14} = \\ &= 0,359 - 0,163 = 0,196 \frac{\text{kmol acetilenă}}{\text{kg aer}} \end{aligned}$$

II. În condiții de echilibru cu faza gazoasă în care presiunea parțială a acetilenei este 107 mm Hg, după legea lui Henry apa trebuie să aibă următorul conținut în acetilenă (exprimat în fracții molare) :

$$x^* = \frac{p}{E} = \frac{107}{1,01 \cdot 10^6} = 0,106 \cdot 10^{-3}$$

În realitate, fracția molară a acetilenei în apa este mai mare : $x = 0,2 \cdot 10^{-3}$. Pentru ca în procesul de transfer de masă sistemul să se apropie de starea de echilibru, fracția molară a acetilenei în apă trebuie să se micșoreze, adică acetilena va trece din apă în aer.

Forța motoare a acestui proces de transfer de masă în momentul inițial (calculată prin concentrațiile în faza lichidă) va fi :

— în fracții molare :

$$\Delta x = x - x^* = 0,2 \cdot 10^{-3} - 0,106 \cdot 10^{-3} = 0,094 \cdot 10^{-3}$$

— în concentrații molare relative :

$$\Delta X = X - X^* = \frac{x}{1 - x} - \frac{x^*}{1 - x^*}$$

Deoarece în acest exemplu atât x cât și x^* sînt mult mai mici decît unitatea, atunci la numitorii din ultima ecuație se pot neglija valorile x și x^* astfel încît :

$$\Delta X = x - x^* = 0,094 \cdot 10^{-3} \frac{\text{kmol acetilenă}}{\text{kmol apă}}$$

b) fracția molară a acetilenei în apă :

$$x \approx \frac{18 \cdot 0,153 \cdot 10^{-3}}{26} = 0,106 \cdot 10^{-3}$$

Transferul acetilenei dintr-o fază în alta nu va avea loc, deoarece fazele aflate în contact sînt în echilibru :

$$x = x^* = 0,106 \cdot 10^{-3}$$

$$y = y^* = 0,14$$

Exemplul 6-4. Într-un aparat în care are loc un proces de transfer de masă, în care presiunea este $P = 3,1$ ata, coeficienții parțiali de transfer de masă au următoarele valori :

$$k_y = 1,07 \frac{\text{kmol}}{\text{m}^2 \cdot \text{h}(\Delta y = 1)}, \quad k_x = 22 \frac{\text{kmol}}{\text{m}^2 \cdot \text{h}(\Delta x = 1)}$$

Stările de echilibru ale fazelor gazoasă și lichidă se caracterizează prin legea lui Henry $p^* = 0,08 \cdot 10^6 x$ mm Hg. Să se determine :

- a) coeficienții de transfer de masă K_y și K_x .
b) de câte ori rezistența de difuziune a fazei lichide diferă față de rezistența la difuziune a fazei gazoase.

Rezolvare.

Se aduce ecuația de echilibru în forma $y^* = m \cdot x$:

$$y^* = \frac{p^*}{P} = \frac{0,08 \cdot 10^6}{3,1 \cdot 735} \cdot x = 35,1x$$

Se calculează coeficienții totali de transfer de masă :

$$K_y = \frac{1}{\frac{1}{k_y} + \frac{b}{k_x}} = \frac{1}{\frac{1}{10,7} + \frac{35,1}{22}} = \frac{1}{0,935 + 1,595} = 0,396 \frac{\text{kmol}}{\text{m}^2 \cdot \text{h} (\Delta y = 1)}$$

$$K_x = \frac{1}{\frac{1}{b \cdot k_y} + \frac{1}{k_x}} = \frac{1}{\frac{1}{35,1 \cdot 10,7} + \frac{1}{22}} = \frac{1}{0,0266 + 0,0455} = 13,9 \frac{\text{kmol}}{\text{m}^2 \cdot \text{h} (\Delta y = 1)}$$

Verificare :

$$\frac{K_x}{K_y} = \frac{13,9}{0,396} = 35,1 = b$$

Raportul rezistențelor la difuziune a fazelor lichidă și gazoasă, în cazul forței motoare Δy va fi :

$$\frac{b}{k_x} : \frac{1}{k_y} = \frac{1,595}{0,935} = 1,71$$

Același raport se obține și în cazul forței motoare Δx .

Rezistența la difuziune a fazei lichide este de 1,71 de ori mai mare decât rezistența fazei gazoase.

Exemplul 6-5. Într-un absorber (aparat de transfer de masă) coeficientul total de transfer de masă este :

$$K_y = 10,4 \frac{\text{kmol}}{\text{m}^2 \cdot \text{h} \cdot \frac{\text{kmol}}{\text{m}^3}}$$

Gazul inert (care nu trece în lichid) este azotul. Presiunea în aparat este 760 mm Hg, iar temperatura 20°C. Să se determine valorile coeficientului total de transfer de masă K_y în următoarele unități :

$$1) \frac{\text{kmol}}{\text{m}^2 \cdot \text{h} (\Delta y = 1)} ; \quad 2) \frac{\text{kmol}}{\text{m}^2 \cdot \text{h} \cdot \text{mm Hg}} ; \quad 3) \frac{\text{kg}}{\text{m}^2 \cdot \text{h} \cdot \frac{\text{kg}}{\text{kg gaz inert}}}$$

Rezolvare. Se scriu egalitățile :

$$M = K_y \cdot \Delta C_y \cdot S = K'_y \cdot \Delta y \cdot S = K''_y \cdot \Delta p \cdot S$$

în care M este debitul molar al componentului care trece în lichid, în kmol/h.

De aici rezultă :

$$1) K_y \cdot \Delta C_y = K'_y \cdot \Delta y$$

$$K'_y = K_y \cdot \frac{\Delta C_y}{\Delta y}$$

Din tabela 6-2 :

$$C_y = \frac{p}{M_{am}} \cdot y = \frac{P \cdot T_0}{22,4 \cdot P_0 \cdot T} \cdot y$$

În acest exemplu $P = P_0$ și atunci :

$$\frac{\Delta C_y}{\Delta y} = \frac{T_0}{22,4 \cdot T} = \frac{273}{22,4 \cdot 293} = 0,0416$$

$$K'_y = K_y \cdot \frac{\Delta C_y}{\Delta y} = 10,4 \cdot 0,0416 = 0,433 \frac{\text{kmol}}{\text{m}^2 \cdot \text{h} (\Delta y = 1)}$$

$$2) K'_y \cdot \Delta y = K''_y \cdot \Delta p$$

Din ecuația (6-1) :

$$y = \frac{p}{P} ; \quad \Delta y = \frac{\Delta p}{P}$$

$$K''_y = K'_y \cdot \frac{\Delta y}{\Delta p} = \frac{K'_y}{P} = \frac{0,433}{760} = 5,69 \cdot 10^{-4} \frac{\text{kmol}}{\text{m}^2 \cdot \text{h} \cdot \text{mm Hg}}$$

sau

$$\frac{5,69 \cdot 10^{-4}}{3 \cdot 600 \cdot 133,3} = 1,19 \cdot 10^{-9} \frac{\text{kmol}}{\text{m}^2 \cdot \text{s} \cdot \text{Pa}}$$

3) din egalitățile :

$$m_{tr} = M_{comp} \cdot M = M_{comp} \cdot K'_y \cdot \Delta y \cdot S = K'''_y \cdot \Delta \bar{Y} \cdot S$$

în care m_{tr} este debitul masic al componentului care se transferă în kg/h, se obține :

$$K'''_y = K'_y \cdot M_{comp} \cdot \frac{\Delta y}{\Delta \bar{Y}}$$

Din tabela 6-2 :

$$\bar{Y} = \frac{M_{comp} \cdot y}{M_{inert}(1 - y)}$$

La valori mici ale lui y :

$$\bar{Y} \approx \frac{M_{comp}}{M_{inert}} \cdot y$$

De aici rezultă :

$$\frac{\Delta y}{\Delta \bar{Y}} \approx \frac{M_{inert}}{M_{comp}}$$

$$K_y''' = K_y' \cdot \frac{M_{comp} \cdot \Delta y}{\Delta \bar{Y}} = K_y' \cdot M_{inert} = 0,433 \cdot 28 = 12,1 \frac{\text{kg}}{\text{m}^2 \cdot \text{h} \cdot \frac{\text{kg}}{\text{kg gaz inert}}}$$

În aceste relații :

M este debitul molar al componentului care se transferă, kmol/h;

M_{comp} = masa molară a componentului care se transferă ;

M_{inert} = masa molară a gazului inert.

Exemplul 6-6. Să se calculeze coeficientul de difuziune al hidrogenului sulfurat în apă la 40°C.

Rezolvare. Se calculează la început coeficientul de difuziune la 20°C cu formula (6-21) :

$$D_{20} = \frac{1 \cdot 10^{-6}}{AB \sqrt{\eta} (v_A^{1/3} + v_B^{1/3})^2} \cdot \sqrt{\frac{1}{M_A} + \frac{1}{M_B}}$$

Pentru hidrogen sulfurat

Pentru apă

$$A = 1$$

$$B = 4,7$$

$$v_A = 2 \cdot 3,7 + 25,6 = 33,0 (\text{tab. 6-3})$$

$$\eta = 1 \text{ cP} = 1 \text{ mPa} \cdot \text{s}$$

$$M_A = 34$$

$$v_B = 2 \cdot 3,7 + 7,4 = 14,8$$

$$M_B = 18$$

Se înlocuiesc aceste valori în relația (6-21) :

$$D_{20} = \frac{1 \cdot 10^{-6}}{4,7 \cdot 1 \cdot (14,8^{1/3} + 33,0^{1/3})^2} \cdot \sqrt{\frac{1}{18} + \frac{1}{34}} = 1,93 \cdot 10^{-9} \text{ m}^2/\text{s}$$

Se calculează coeficientul de temperatură b cu formula (6-23) :

$$b = \frac{0,2 \sqrt{\eta}}{\sqrt[3]{\rho}} = \frac{0,2 \sqrt{1}}{\sqrt[3]{1000}} = 0,02$$

Coeficientul de difuziune căutat, calculat cu relația (6-22) va fi egal cu :

$$D_{40} = 1,93 \cdot 10^{-9} [1 + 0,02(40 - 20)] = 2,7 \cdot 10^{-9} \text{ m}^2/\text{s}$$

Pentru comparație se calculează coeficientul de difuziune a hidrogenului sulfurat în apă la 40°C și cu relația (6-24) :

$$D_{40} = \frac{7,4 \cdot 10^{-12} (2,6 \cdot 18)^{0,5} \cdot 313}{0,656 \cdot 33^{0,6}} = \frac{7,4 \cdot 10^{-12} \cdot 6,83 \cdot 313}{0,656 \cdot 8,15}$$

$$D_{40} = 2,96 \cdot 10^{-9} \text{ m}^2/\text{s}$$

În această relație 0,656 cP este viscozitatea dinamică a apei la temperatura de 40°C (tab. VI).

Exemplul 6-7. Să se determine debitul de acid sulfuric necesar pentru a usca aerul în următoarele condiții : capacitatea scruberului 500 m³/h (calculată pentru aer uscat în condiții normale) ; conținutul inițial de umiditate în aer 0,016 kg/kg aer uscat ; conținutul final 0,006 kg/kg aer uscat ; conținutul inițial de apă în acid 0,6 kg/kg monohidrat ; conținutul final 1,4 kg/kg monohidrat. Uscarea aerului se face la presiunea atmosferică.

Rezolvare.

Debitul masic al aerului este :

$$G = V_{aer} \cdot \rho_{aer} = 500 \cdot 1,293 = 646 \text{ kg/h}$$

unde 1,293 kg/m³ este densitatea aerului în condiții normale.

Din ecuația (6-25) debitul acidului sulfuric (monohidrat) :

$$L = G \frac{\bar{Y}_b - \bar{Y}_a}{\bar{X}_b - \bar{X}_a} = 646 \cdot \frac{0,016 - 0,006}{1,4 - 0,6} = 8,1 \text{ kg/h}$$

Exemplul 6-8. Un scruber pentru absorbția vaporilor de acetonă din aer se stropește cu o cantitate de apă de 3 000 kg/h. Temperatura medie în scruber este 20°C iar presiunea este cea atmosferică. Prin scruber trece un amestec de aer și vapori de acetonă, conținând 6% vol acetonă. Aerul pur din acest amestec este în cantitate de 1 400 m³/h (calculat în condiții normale). În scruber se reține 98% din cantitatea de acetonă. Ecuația liniei de echilibru este :

$$Y^* = 1,68X$$

unde X și X^* sînt exprimate în kmol acetonă la 1 kmol din cel de-al doilea component, adică apă sau aer.

Să se găsească diametrul și înălțimea scruberului, umplut cu inele ceramice cu dimensiunile 25×25×3 mm. Viteza gazului se ia cu 25% mai mică decît viteza de incarcare.

$$\text{Coeficientul de transfer de masă } K_y = 0,4 \frac{\text{kmol acetonă}}{\text{m}^2 \cdot \text{h} \cdot \frac{\text{kmol acet.}}{\text{kmol aer}}}$$

Coeficientul de udare a umpluturii se consideră egal cu unitatea.

Rezolvare.

Cantitatea de acetonă absorbită este :

$$M = \frac{V_{inert} \cdot y_b \cdot \eta}{(1 - y_b) \cdot 22,4} = \frac{1400 \cdot 0,06 \cdot 0,98}{0,94 \cdot 22,4} = 3,9 \text{ kmol/h}$$

unde $\eta = 0,98$ este randamentul de reținere a acetonei.

Concentrația inițială a acetonei în apa care se introduce la virful scruberului, $X_a = 0$.

Concentrația finală a acetonei în apa care iese la baza scruberului :

$$X_b = \frac{M}{\frac{L}{M_{apa}}} = \frac{3,9}{\frac{3000}{18}} = 0,0234 \frac{\text{kmol acetonă}}{\text{kmol apă}}$$

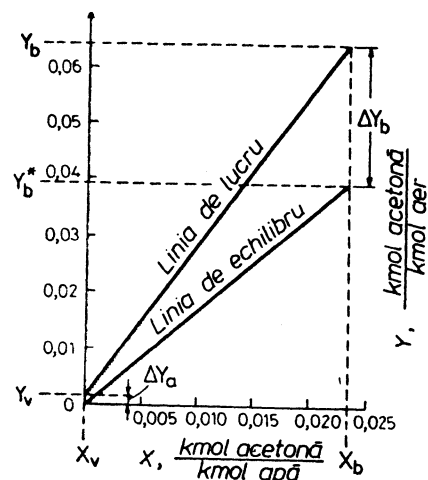


Fig. 6-5. Schița la exemplul 6-8.

Se calculează valoarea forței motoare de absorbție la baza scrubului:

$$\Delta Y_b = Y_b - Y_b^* = 0,0639 - 0,0393 = 0,0246 \frac{\text{kmol acetona}}{\text{kmol aer}}$$

Valoarea Y_b^* se calculează din ecuația liniei de echilibru pentru concentrația X_b , corespunzătoare de la baza scrubului:

$$Y_b^* = 1,68 X_b = 1,68 \cdot 0,0234 = 0,0393 \frac{\text{kmol acetona}}{\text{kmol aer}}$$

Forța motoare de absorbție la vârful scrubului este:

$$\Delta Y_v = Y_v - Y_v^* = 0,00128 - 0 = 0,00128 \frac{\text{kmol acetona}}{\text{kmol aer}}$$

Forța motoare medie va fi:

$$\Delta Y_{med} = \frac{\Delta Y_b - \Delta Y_v}{2,3 \lg \frac{\Delta Y_b}{\Delta Y_v}} = \frac{0,0246 - 0,00128}{2,3 \lg \frac{0,0246}{0,00128}} = 0,0079 \frac{\text{kmol acetona}}{\text{kmol aer}}$$

Suprafața necesară de transfer de masă se calculează cu relația:

$$S = \frac{M}{K_y \cdot \Delta Y_{med}} = \frac{3,9}{0,4 \cdot 0,0079} = 1230 \text{ m}^2$$

Volumul stratului de inele ceramice, necesar pentru a obține suprafața căutată, la $\psi = 1$ [vezi relația (6-38)], este:

$$V = H_u \cdot A = \frac{S}{\sigma} = \frac{1230}{204} = 6 \text{ m}^3$$

unde 204 este suprafața specifică a umpluturii, în m^2/m^3 (v. tabelul XVII). Se determină secțiunea scrubului.

Cu ecuația (6-35) se calculează viteza fictivă a gazului w_f , la punctul de inversare a fazelor neglijând conținutul mic de acetona în lichid și în gaz.

Valorile mărimilor din această relație sînt:

$$L = 3000 \text{ kg/h} \quad \rho_b = \rho_0 \frac{T_0}{T} = 1,29 \cdot \frac{273}{293} = 1,2 \text{ kg/m}^3$$

$$G = 1400 \cdot 1,29 = 1810 \text{ kg/h} \quad \rho_l = 1000 \text{ kg/m}^3$$

$$\frac{L}{G} = \frac{3000}{1810} = 1,66 \quad \frac{\rho_b}{\rho_l} = \frac{1,2}{1000} = 0,0012$$

$$\eta_l = 1 \text{ mPa} \cdot \text{s}; V_{lb} = 0,74 \text{ m}^3/\text{m}^3 \text{ (tabela XVII).}$$

Se introduc aceste valori în formula (6-35):

$$\lg \left(\frac{w_f^2 \cdot 204 \cdot 0,0012}{9,81 \cdot 0,74^3} \cdot 10^{16} \right) = 0,022 - 1,75 \cdot 1,66^{0,25} \cdot 0,0012^{0,12}$$

sau

$$\lg 0,0616 w_f^2 = -0,825$$

de unde $w_f = 1,56 \text{ m/s}$

Conform condițiilor problemei, viteza fictivă de lucru a gazului se ia cu 25% mai mică, adică:

$$w = 0,75 w_f = 0,75 \cdot 1,56 = 1,17 \text{ m/s}$$

Aria secțiunii scrubului va fi:

$$A = \frac{G}{3600 \cdot w \cdot \rho_g} = \frac{1810}{3600 \cdot 1,17 \cdot 1,2} = 0,358 \text{ m}^2$$

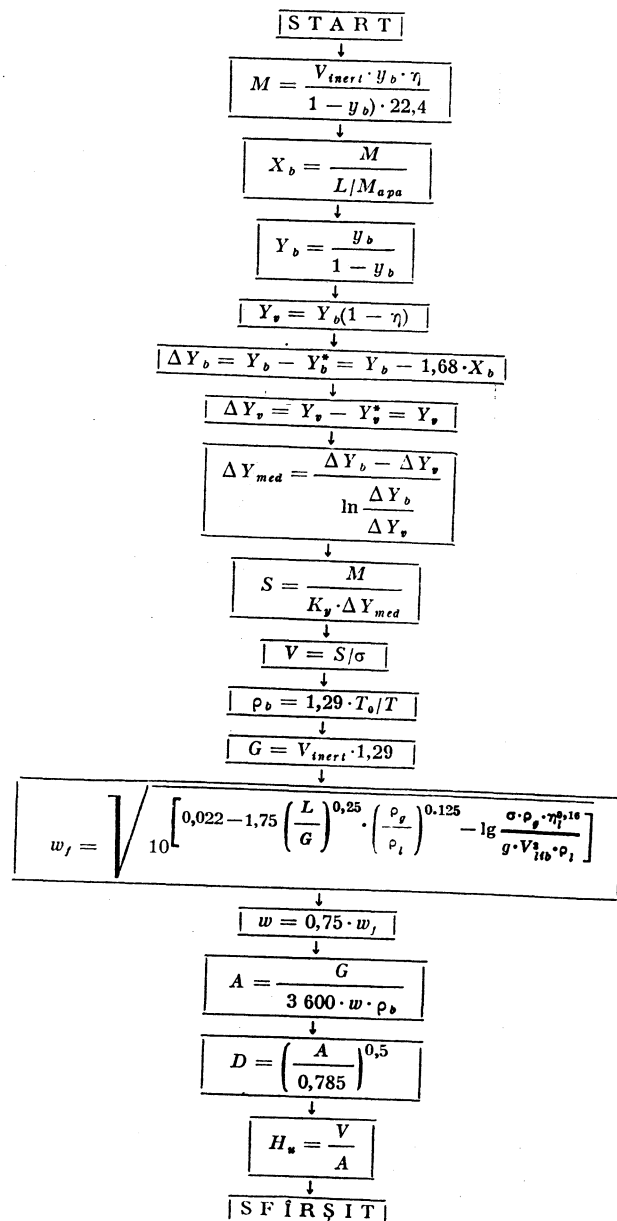
de unde diametrul scrubului:

$$D = \sqrt{\frac{0,358}{0,785}} = 0,675 \text{ m}$$

Înălțimea necesară a stratului de umplură este:

$$H_u = \frac{V}{A} = \frac{6}{0,358} = 16,8 \text{ m}$$

Schema bloc a algoritmului rezolvării exemplului 6-8.



Exemplul 6-9. Să se determine coeficientul de transfer de masă într-un scrubler cu apă pentru absorbția bioxidului de carbon dintr-un gaz în următoarele condiții. În scrubler se introduce 5 000 m³/h amestec de gaze (la presiunea atmosferică și temperatura de lucru) și 650 m³/h apă curată. Conținutul inițial de bioxid de carbon în gaze este 28,4% vol., iar conținutul final (la vârful scrublerului) este 0,2% vol. Presiunea în scrubler este 16,5 ata. Temperatura este 15°C. În partea inferioară a scrublerului sînt încărcate 3 tone inele ceramice cu dimensiunile 50×50×5 mm. Mai sus sînt încărcate 17 tone inele cu dimensiunile 35×35×4 mm. Coeficientul de umectare a umpluturii se consideră egal cu unitatea.

Rezolvare

Se calculează suprafața totală a tuturor inelelor. Suprafața oferită de inelele de 50×50×5 este :

$$S_1 = \frac{G_1}{\rho_1} \cdot \sigma_1 = \frac{3\,000}{530} \cdot 87,5 = 495 \text{ m}^2$$

în care :

$\rho_1 = 530 \text{ kg/m}^3$ — densitatea în vrac a umpluturii ;

$\sigma_1 = 87,5 \text{ m}^2/\text{m}^3$ — suprafața specifică a umpluturii (din tabela XVII).

Analog, se calculează suprafața inelelor de 35×35×4 mm :

$$S_2 = \frac{G_2}{\rho_2} \cdot \sigma_2 = \frac{17\,000}{505} \cdot 140 = 4\,717 \text{ m}^2$$

Suprafața totală a inelelor :

$$S = S_1 + S_2 = 495 + 4\,717 = 5\,212 \text{ m}^2$$

Se determină cantitatea de bioxid de carbon absorbită în apă.

Cantitatea inițială de bioxid de carbon în gaz (la baza scrublerului) este :

$$V_{\text{CO}_2, \text{ bază}} = V_{\text{amestec bază}} \cdot y_{\text{bază}} = 5\,000 \cdot 0,284 = 1\,420 \text{ m}^3/\text{h}$$

Cantitatea de bioxid de carbon în gazul care iese (la vârful scrublerului) este :

$$V_{\text{CO}_2, \text{ vîrf}} = V_{\text{amestec vîrf}} \cdot y_{\text{vîrf}} = \frac{V_{\text{am, bază}} - V_{\text{CO}_2, \text{ bază}}}{1 - y_v} \cdot y_v$$

$$V_{\text{CO}_2, \text{ vîrf}} = \frac{5\,000 - 1\,420}{1 - 0,002} \cdot 0,002 = 7,2 \text{ m}^3/\text{h}$$

Se absoarbe în apă cantitatea de bioxid de carbon egală cu :

$$V_{\text{abs}} = V_{\text{CO}_2, \text{ bază}} - V_{\text{CO}_2, \text{ vîrf}} = 1\,420 - 7,2 = 1\,412,8 \text{ m}^3/\text{h}$$

(în condiții de $p = 1 \text{ ata}$, $t = 15^\circ\text{C}$).

sau

$$G_{\text{abs}} = \frac{V_{\text{abs}} \cdot T_0}{T} \cdot \rho_0 = \frac{1\,412,8 \cdot 273}{273 + 15} \cdot 1,976 = 2\,630 \text{ kg/h}$$

adică $\frac{2\,630}{44} = 60 \text{ kmol/h}$.

Aici : 1,976 kg/m³ — densitatea CO₂ în condiții normale ;
44 kg/kmol — masa molară a CO₂.

Se calculează forța motoare a procesului de absorbție la baza scrubului.
Presiunea parțială a bioxidului de carbon la intrarea în scrub este :

$$p_{CO_2, \text{ baza}} = P \cdot y_{\text{baza}} = 1\,620 \cdot 0,284 = 460 \text{ kPa}$$

unde : 1 620 = 16,5 · 98,1 kPa este presiunea totală în scrub.

Fracția molară a CO₂ în apa care iese din scrub :

$$x_{\text{baza}} = \frac{m_{CO_2}/M_{CO_2}}{m_{CO_2}/M_{CO_2} + m_{H_2O}/M_{H_2O}} = \frac{55}{60 + \frac{650\,000}{18}} = 0,00166$$

Constanta lui Henry, E , pentru bioxid de carbon la 15°C este egală cu 0,93 · 10⁶ mm Hg sau 0,124 · 10⁶ kPa (tabela XLI) ; de aici rezultă presiunea parțială a bioxidului de carbon în gaz la echilibru cu soluția care iese din scrub [ecuația (6-2)] :

$$p_{\text{baza}}^* = E \cdot x_{\text{baza}} = 0,124 \cdot 10^6 \cdot 0,00166 = 206 \text{ kPa}$$

Forța motoare a procesului de absorbție la baza scrubului este :

$$\Delta p_{\text{baza}} = p_{\text{baza}} - p_{\text{baza}}^* = 460 - 206 = 254 \text{ kPa}$$

Se determină forța motoare a procesului de absorbție la vârful scrubului.

Presiunea parțială a bioxidului de carbon în gazul, care iese la vârful scrubului este :

$$p_v = P \cdot y_v = 1\,620 \cdot 0,002 = 3,24 \text{ kPa}$$

Deoarece apa de stropire care se introduce în scrub este curată, presiunea parțială a bioxidului de carbon din gaz în echilibru cu lichidul este egală cu zero : de aici forța motoare a procesului de absorbție la vârful coloanei este :

$$\Delta p_v = p_v - p_v^* = 3,24 - 0 = 3,24 \text{ kPa}$$

Forța motoare medie pentru întregul proces este :

$$\Delta p_{\text{med}} = \frac{254 - 3,24}{2,3 \lg \frac{254}{3,24}} = 57,4 \text{ kPa}$$

Coefficientul de transfer de masă este :

$$K_{\Delta p} = \frac{M}{S \cdot \Delta p_{\text{med}}} = \frac{2\,630}{5\,212 \cdot 57,4} = 0,0088 \frac{\text{kg}}{\text{m}^2 \cdot \text{h} \cdot \text{kPa}} = 0,86 \frac{\text{kg}}{\text{m}^2 \cdot \text{h} \cdot \text{at}}$$

Dacă coeficientul de transfer de masă se referă la diferența de presiune ΔP , exprimată în mmHg se obține următoarea valoare :

$$K_{\Delta p} = \frac{2\,630}{5\,212 \cdot \frac{57,4}{0,133}} = 0,0012 \frac{\text{kg}}{\text{m}^2 \cdot \text{h} \cdot \text{mm col Hg}}$$

Tabela 6-4

$X, \frac{\text{kmol amoniac}}{\text{kmol apă}}$	$Y, \frac{\text{kmol amoniac}}{\text{kmol gaz inert}}$
0	0
0,005	0,0045
0,010	0,0102
0,0125	0,0138
0,015	0,0183
0,020	0,0273
0,023	0,0237

Exemplul 6-10. Într-un scrub se absoarbe în apă, la presiune atmosferică, amoniacul din gaze. Conținutul inițial de amoniac în gaze este 0,03 kmol/kmol gaz inert. Gradul de separare este 90%. Apa care iese din scrub, conține amoniac în proporție de 0,02 kmol/kmol apă. În scrub se menține temperatura constantă.

Date asupra concentrațiilor de echilibru ale amoniacului în lichid și gaz la temperatura de absorbție sint indicate în tabela 6-4.

Să se determine numărul necesar de unități de transfer n_{oy} : 1) grafic ; 2) prin metoda integrării grafice.

Rezolvare.

1. După datele din tabela 6-4, în figura 6-6 se construiește linia de echilibru $A-B$. Pe acest grafic se trasează și linia de lucru CD . Aceasta va trece prin punctul C de coordonate $X_c = 0$, $Y_c = 0,03$ ($1 - 0,9$) = 0,003 (corespunzător concentrațiilor la vârful scrubului) și prin punctul D , cu coordonatele $X_D = 0,02$, $Y_D = 0,03$ (corespunzător concentrațiilor la baza scrubului).

Numărul de unități de transfer n_{oy} se determină în felul următor : Se duc ordonate între liniile de lucru și de echilibru și se împart în două ; prin mijlocul ordonatelor se duce linia punctată ajutătoare. Apoi, începînd din punctul C , construcția se face astfel încît pentru fiecare treaptă $ab = bc$. Fiecare din treptele obținute constituie o unitate de transfer, adică o astfel de parte a aparatului, la care schimbarea concentrației de lucru ($Y_1 - Y_2$) este egală cu forța motoare medie în această parte ($Y - Y^*$)_{med}.

În total, se obțin 5,82 trepte (ultima treaptă incompletă este egală cu raportul segmentelor $\frac{Dd}{cf} = 0,82$) :

$$n_{oy} = 5,82$$

După cum rezultă din grafic, la partea inferioară a curbei de echilibru, unde înclinarea ei este mai mică decît înclinarea liniei de lucru, unitatea de transfer este mai mică decît treapta de variație a concentrației, iar la partea

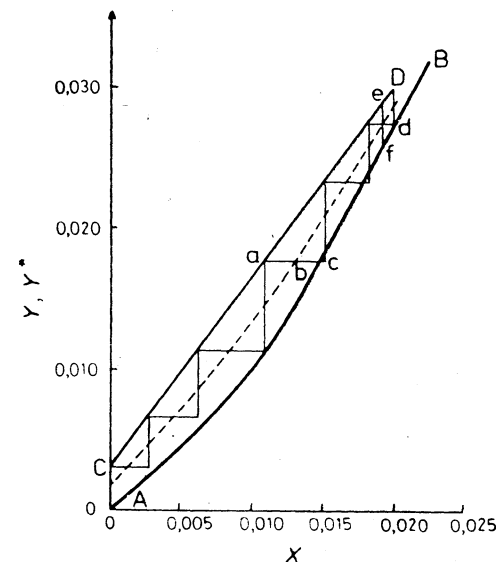


Fig. 6-6. Schița la exemplul 6-10.

superioară a liniei de echilibru, unde înclinarea ei este mai mare decât înclinarea liniei de lucru, se observă un aspect invers.

2. Pentru determinarea numărului unităților de transfer prin metoda integrării grafice, cu datele din tabela 6-4 și figura 6-6 se întocmește tabela 6-5.

Tabelul 6-5

X	Y	Y*	Y - Y*	$\frac{1}{Y - Y^*}$
0	0,003	0	0,003	333
0,005	0,0097	0,0045	0,0052	193
0,010	0,0165	0,0102	0,0063	159
0,0125	0,0200	0,0138	0,0062	161
0,015	0,0234	0,0183	0,0051	196
0,020	0,0300	0,0273	0,0027	371

Cu datele din tabela 6-5 se construiește graficul $\frac{1}{Y - Y^*} = f(Y)$ — figura 6-7. Se calculează pe acest grafic suprafața hașurată (de exemplu, prin metoda trapezului — vezi exemplul 4-21). Mărimea acestei suprafețe (5,83) dă valoarea integralei,

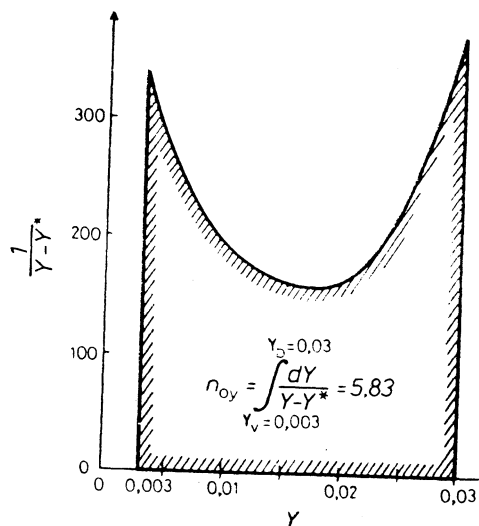


Fig. 6-7. Determinarea numărului unităților de transfer prin metoda integrării grafice (la exemplul 6-10).

$$Y_b = 0,03$$

$$\int_{Y_v=0,003} \frac{dY}{Y - Y^*}$$

adică numărul unităților de transfer, n_{oy} .

Exemplul 6-11. Să se determine debitul minim al absorbantului lichid cu masă molară 224 kg/kmol necesar pentru îndepărtarea completă a propanului și butanului din 1000 Nm³/h amestec de gaze. Gazele conțin 15% (vol.) propan și 10% (vol.) butan. Temperatura în absorber este 30°C, iar presiunea absolută — 3 ata (294 kPa). Solubilitățile butanului și propanului în absorbant se caracterizează prin legea lui Raoult.

Exemple

Rezolvare. Concentrația maximă (fracția molară) a propanului în absorbant, care se scurge din coloană (în echilibru cu gazul care iese) se determină din ecuația (6-8):

$$x^* = \frac{P}{P_p} \cdot y_p = \frac{294}{981} \cdot 0,15 = 0,045$$

unde $P_p = 981$ kPa (10 ata) — este presiunea vaporilor saturați de propan la 30°C.

Cantitatea de propan conținută în amestecul gazos, care trebuie absorbită este:

$$m_p = \frac{V \cdot y_p}{22,4} = \frac{1\,000 \cdot 0,15}{22,4} = 6,7 \text{ kmol/h}$$

Debitul minim de absorbant pentru absorbția propanului se determină din ecuația:

$$\frac{L_{min} \cdot x_p^*}{1 - x_p^*} = m_p$$

de unde:

$$L_{min} = \frac{m_p(1 - x_p^*)}{x_p^*} = \frac{6,7 \cdot 0,955}{0,045} = 142 \text{ kmol/h}$$

sau

$$L_{min} = 142 \cdot 224 = 31\,800 \text{ kg/h}$$

Concentrația maximă posibilă a butanului în absorbant care se scurge din scrubber este:

$$x_b^* = \frac{P}{P_b} \cdot y_b = \frac{294}{265} \cdot 0,1 = 0,11$$

unde: $P_b = 265$ kPa (2,7 at) este presiunea vaporilor saturați de butan la 30°C.

Cantitatea de butan care se absoarbe este:

$$m_b = \frac{V \cdot y_b}{22,4} = \frac{1\,000 \cdot 0,1}{22,4} = 4,47 \text{ kmol/h}$$

Debitul minim de absorbant pentru absorbția butanului este:

$$L'_{min} = \frac{m_b(1 - x_b^*)}{x_b^*} = \frac{4,47 \cdot 0,89}{0,11} = 36,1 \text{ kmol/h}$$

Debitul minim al absorbantului pentru absorbția completă a butanului este considerabil mai mic decât cel pentru absorbția propanului; prin urmare, cu cantitatea de absorbant găsită anterior (142 kmol/h) butanul va fi complet separat.

Exemplul 6-12. Să se determine coeficientul parțial de transfer de masă pentru faza gazoasă într-un absorbant cu umplutură, în care are loc absorbția bioxidului de sulf dintr-un gaz inert (azot) la presiune atmosferică. Temperatura

tura în absorber este 20°C. Absorberul lucrează în regim de înecare. Viteza fictivă a gazului în absorber este 0,35 m/s. Absorbantul este umplut cu bucăți de cocs ($\sigma = 42 \text{ m}^2/\text{m}^3$, $V_{lib} = 0,58 \text{ m}^3/\text{m}^3$).

Rezolvare.

Din ecuația (6-44) :

$$Nu'_g = 0,407 Re_g^{0,655} (Pr'_g)^{0,33}$$

unde :

$$Re_g = \frac{4w \cdot \rho_g}{\sigma \cdot \eta_g} = \frac{4 \cdot 0,35 \cdot 1,16}{42 \cdot 0,0175 \cdot 10^{-3}} = 2210$$

$$\rho_g = \frac{28 \cdot 273}{22,4 \cdot 293} = 1,16 \text{ kg/m}^3$$

$$\eta_g = 0,0175 \cdot 10^{-3} \text{ Pa} \cdot \text{s (fig. VI)}$$

Coeficientul de difuziune D_g se ia același, ca și pentru difuziunea în aer.

$$D_g = 10,3 \cdot 10^{-6} \left(\frac{293}{273} \right)^{1,5} = 11,45 \cdot 10^{-6} \text{ m}^2/\text{s} \text{ (tabela XLII)}$$

$$Pr'_g = \frac{\eta_g}{\rho_g \cdot D_g} = \frac{0,0175 \cdot 10^{-3}}{1,16 \cdot 11,45 \cdot 10^{-6}} = 1,32$$

Criteriul de difuziune Nusselt este :

$$Nu'_g = 0,407 \cdot 2210^{0,655} \cdot 1,32^{0,33} = 69$$

Dar

$$Nu'_g = \frac{k_b \cdot d_{ech}}{D_g}$$

Diametrul echivalent este :

$$d_{ech} = \frac{4 \cdot V_{lib}}{\sigma} = \frac{4 \cdot 0,58}{42} = 0,055 \text{ m}$$

Coeficientul parțial de transfer de masă va fi egal cu :

$$k_g = \frac{Nu'_g \cdot D_g}{d_{ech}} = \frac{69 \cdot 11,45 \cdot 10^{-6}}{0,055} = 144 \cdot 10^{-6} \text{ m/s}$$

Exemplul 6-13. Din ecuația criterială (6-44) să se deducă formula de calcul pentru determinarea înălțimii unității de transfer pentru faza gazoasă.

Rezolvare. Din ecuația (6-12) :

$$\frac{1}{K_y} = \frac{1}{k_y} + \frac{b}{k_x}$$

în care K_y , k_y și k_x sînt exprimate în $\text{kmol}/\text{m}^2 \cdot \text{s}$, se obține

$$\frac{G}{K_y \cdot A \cdot \sigma} = \frac{G}{k_y \cdot A \cdot \sigma} + \frac{b \cdot G}{L} \cdot \frac{L}{k_x \cdot A \cdot \sigma}$$

sau în conformitate cu ecuația (6-42), la $\psi = 1$:

$$h_{oy} = h_y + \frac{b \cdot G}{L} h_x$$

în care : G și L sînt debitele molare ale gazului și lichidului, kmol/s ;
 A — suprafața secțiunii transversale a absorberului, m^2 ;
 σ — suprafața specifică a umpluturii, m^2/m^3 ;

$$h_y = \frac{G}{k_y \cdot A \cdot \sigma} \text{ — înălțimea unității de transfer pentru faza gazoasă, m ;}$$

$$h_x = \frac{L}{k_x \cdot A \cdot \sigma} \text{ — înălțimea unității de transfer pentru faza lichidă, m.}$$

În ecuația criterială (6-44) :

$$Nu'_g = 0,407 Re_g^{0,655} (Pr'_g)^{0,33}$$

în care : $Nu'_g = \frac{k_g \cdot d_{ech}}{D_g}$, coeficientul parțial [de transfer] de masă k_g este exprimat în $\frac{\text{kmol}}{\text{m}^2 \cdot \text{s} \cdot \frac{\text{kmol}}{\text{m}^3}} = \text{m/s}$.

Corecția între k_y și k_b se găsește din ecuația :

$$k_y \cdot \Delta y = k_b \cdot \Delta C_y$$

de unde :

$$k_y = k_g \cdot \frac{\Delta C_y}{\Delta y} = k_g \cdot \frac{\rho_g}{M_{am}} \text{ (vezi tabela 6-2)}$$

Atunci :

$$h_y = \frac{G}{k_y \cdot A \cdot \sigma} = \frac{G \cdot M_{am}}{k_g \cdot \rho_g \cdot A \cdot \sigma} = \frac{w}{k_g \cdot \sigma}$$

și

$$k_g = \frac{w}{h_y \cdot \sigma}$$

unde : $w = \frac{G \cdot M_{am}}{\rho_g \cdot A}$ este viteza fictivă a gazului, m/s .

Înlocuind expresia găsită pentru k_g în relația pentru criteriul de difuziune Nusselt, se obține :

$$Nu'_g = \frac{w \cdot d_{ech} \cdot \eta_g \cdot \rho_g}{h_g \cdot \sigma \cdot D_g \cdot \eta_g \cdot \rho_g} = \frac{w \cdot \rho_g}{\sigma \cdot \eta_g} \cdot \frac{\eta_g}{D_g \cdot \rho_g} \cdot \frac{d_{ech}}{h_y}$$

$$Nu'_g = \frac{Re_g \cdot Pr'_g \cdot d_{ech}}{4 \cdot h_y}$$

și din ecuația (6-44) :

$$h_y = 0,615 \cdot d_{ech} \cdot Re_g^{0,345} \cdot (Pr'_g)^{0,67}$$

Exemplul 6-14. Într-un scrubler cu umplutură din inele ceramice cu dimensiunile $50 \times 50 \times 5$ mm are loc absorbția în apă a bioxidului de carbon dintr-un gaz la presiunea de 16 ata (1,57 MPa) și la temperatura de 22°C. Masa molară medie a gazului este 20,3 kg/kmol, viscozitatea dinamică a gazului în condițiile de lucru este $1,31 \cdot 10^{-5}$ Pa·s, coeficientul de difuziune al bioxidului de carbon în partea inertă a gazului este $1,7 \cdot 10^{-6}$ m²/s. Viteza fictivă medie a gazului în scrubler este 0,041 m/s, intensitatea de stropire (viteza fictivă a lichidului) este 0,064 m³/m²·s. Să se determine înălțimea totală a unității de transfer h_{oy} , considerind coeficientul de umectare a umpluturii, ψ , egal cu unitatea.

Rezolvare: Înălțimea totală a unității de transfer (vezi exemplul precedent) este:

$$h_{oy} = h_y + \frac{h \cdot G}{L} \cdot h_x$$

Se găsește h_y — înălțimea unității de transfer pentru faza gazoasă cu relația:

$$h_y = 0,615 \cdot d_{ech} \cdot Re_g^{0,345} \cdot (Pr'_g)^{0,67}$$

Caracteristicile umpluturii $V_{lib} = 0,785$ m³/m³ și $\sigma = 87,5$ m²/m³ se iau din tabela XVII. Atunci,

$$d_{ech} = \frac{4 \cdot V_{lib}}{\sigma} = \frac{4 \cdot 0,785}{87,5} = 0,0359 \text{ m}$$

$$Re_g = \frac{4 \cdot w \cdot \rho_g}{\sigma \cdot \eta_g} = \frac{4 \cdot 0,041 \cdot 13,4}{87,5 \cdot 1,31 \cdot 10^{-5}} = 1\,920$$

Aici

$$\rho_g = \frac{M_g \cdot P \cdot T_0}{22,4 \cdot P_0 \cdot T} = \frac{20,3 \cdot 16 \cdot 273}{22,4 \cdot 295} = 13,4 \text{ kg/m}^3$$

$$Pr'_g = \frac{\eta_g}{\rho_g \cdot D_g} = \frac{1,31 \cdot 10^{-5}}{13,4 \cdot 1,7 \cdot 10^{-6}} = 0,575$$

Înălțimea unității de transfer pentru faza gazoasă:

$$h_y = 0,615 \cdot 0,0359 \cdot 1\,920^{0,345} \cdot 0,575^{0,67} = 0,205 \text{ m}$$

Se găsește h_x — înălțimea unității de transfer pentru faza lichidă cu formula:

$$h_x = 119 \delta_{red} \cdot Re_l^{0,25} \cdot (Pr'_l)^{0,5}$$

obținută din ecuația (6-45), în același mod în care în exemplul precedent s-a obținut expresia pentru h_y din ecuația (6-44).

Valorile constantelor fizico-chimice pentru apă la 22°C sînt:

$$\rho_l = 1\,000 \text{ kg/m}^3$$

$$\eta_l = 0,958 \cdot 10^{-3} \text{ Pa} \cdot \text{s} \text{ (tab. VI)}$$

$$D_l = 1,87 \cdot 10^{-9} \text{ m}^2/\text{s} \text{ (tab. XLIII)}$$

Grosimea redusă a peliculei lichide:

$$\delta_{red} = \left(\frac{\eta_l^2}{\rho_l^2 \cdot g} \right)^{1/3} = \left(\frac{0,958^2 \cdot 10^{-6}}{10^3 \cdot 9,81} \right)^{1/3} = 4,5 \cdot 10^{-5} \text{ m}$$

În condițiile date, intensitatea de stropire este

$$\frac{L_m}{A \cdot \rho_l} = 0,064 \text{ m}^3/\text{m}^2 \cdot \text{s}$$

Aici L_m — debitul masic al lichidului, kg/s.

Intensitatea masică de stropire este:

$$\frac{L_m}{A} = 0,064 \cdot \rho_l = 64 \text{ kg/m}^2 \cdot \text{s}$$

Din ecuația (6-49):

$$Re_l = \frac{4 L_m}{A \cdot \sigma \cdot \psi \cdot \eta_l} = \frac{4 \cdot 64}{87,5 \cdot 0,958 \cdot 10^{-3}} = 3\,060$$

$$Pr'_l = \frac{\eta_l}{\rho_l \cdot D_l} = \frac{0,958 \cdot 10^{-3}}{1\,000 \cdot 1,87 \cdot 10^{-9}} = 512$$

Înălțimea unității de transfer pentru faza lichidă:

$$h_x = 119 \cdot 4,55 \cdot 10^{-5} \cdot 3\,060^{0,25} \cdot 512^{0,5} = 0,91 \text{ m}$$

Se găsește raportul debitelor molare ale gazului și lichidului G/L .

Din ecuația debitului pentru gaz $w = \frac{G \cdot M_g}{\rho_g \cdot A}$, obținem:

$$\frac{G}{A} = \frac{w \cdot \rho_g}{M_g} = \frac{0,041 \cdot 13,4}{20,3} = 0,0271 \frac{\text{kmol}}{\text{m}^2 \cdot \text{s}}$$

Pentru lichid:

$$\frac{L}{A} = \frac{L_m}{A \cdot M_l} = \frac{64}{18} = 3,56 \frac{\text{kmol}}{\text{m}^2 \cdot \text{s}}$$

De unde:

$$\frac{G}{L} = \frac{0,0271}{3,56} = 0,00761$$

Coeficientul de repartiție b în ecuația (6-12) este:

$$b = \frac{E}{P} = \frac{1,144 \cdot 10^6}{16 \cdot 735} = 97,3 \text{ — vezi ecuația (6-3)}$$

unde coeficientul lui Henry $E = 1,144 \cdot 10^6$ mm Hg (la 22°C) s-a obținut prin interpolarea datelor din tabela XLI.

Înălțimea totală a unității de transfer este :

$$h_{oy} = h_y + \frac{b \cdot G}{L} \cdot h_x = 0,205 + 97,3 \cdot 0,00761 \cdot 0,91 = \\ = 0,205 + 0,675 = 0,88 \text{ m}$$

Exemplul 6-15. Cu datele exemplului 6-8 să se determine numărul unităților de transfer în absorber ținând seama de amestecarea inversă a lichidului.

Rezolvare. Numărul unităților de transfer pentru condițiile funcționării ideale, adică fără a se lua în considerare amestecarea inversă se determină

$$n_{oy} = \frac{Y_b - Y_v}{\Delta Y_{med}} = \frac{0,0639 - 0,00128}{0,0079} = 7,93$$

Numărul căutat al unităților de transfer luând în considerare amestecarea inversă, n'_{oy} se găsește din ecuația :

$$\frac{1}{n'_{oy}} = \frac{1}{n_{oy}} - \frac{1}{n_{inv}}$$

în care corecția pentru amestecarea inversă n_{inv} este egală cu :

$$n_{inv} = \frac{B \ln B}{B - 1} \varnothing + Pe'_{red}$$

în care :

$$B = \frac{L}{m \cdot G}$$

$$\varnothing \cong 1 - \frac{0,05}{(Pe'_{red})^{0,25}} \cdot \left(\frac{B}{n'_{oy}} \right)^{0,5}$$

Valoarea criteriului Pe' redus se calculează cu ecuația :

$$\frac{1}{Pe'_{red}} = \frac{1}{B \cdot f_g \cdot Pe'_{mg}} + \frac{1}{f_l \cdot Pe'_{ml}}$$

unde

$$f_b = \frac{n'_{oy} \oplus 6,8 \cdot B^{0,5}}{n'_{oy} + 6,8 \cdot B^{0,5}}; \quad f_l = \frac{n'_{oy} + 6,8 \cdot B^{0,5}}{n'_{oy} + 6,8 \cdot B^{0,5}};$$

$$Pe'_{mb} = \frac{w_g \cdot H}{E_g} \text{ și } Pe'_{ml} = \frac{w_l \cdot H}{E_l} \text{ sînt criteriile Péclet}$$

modificate pentru gaz și lichid ;

w_b și w_l — vitezele curenților de gaz și lichid, m/s ;

E_g și E_l — coeficienții corespunzători pentru amestecare inversă, m²/s ;

H — lungimea de lucru a aparatului — înălțimea stratului de umplutură, m.

* Migauchi T., Vermeulen T., Ind. Eng. Chem. Fund. 1963, v. 2, No. 2, p. 113.

Cu datele exemplului 6-8 se obține :

$$\frac{L'}{G'} = \frac{Y_b - Y_v}{X_b - X_v} = \frac{0,0639 - 0,00128}{0,0234 - 0} = 2,67$$

$$b = \frac{dY^*}{dX} = 1,68$$

$$B = \frac{L'}{mG'} = \frac{2,67}{1,68} = 1,59$$

Se consideră în prealabil $n'_{oy} = 9$. Atunci,

$$f_g = \frac{9 + 6,8 \cdot 1,59^{0,5}}{9 + 6,8 \cdot 1,59^{0,5}} = 0,78$$

$$f_l = \frac{9 + 6,8 \cdot 1,59^{0,5}}{9 + 6,8 \cdot 1,59^{0,5}} = 1,22$$

Pentru determinarea vitezelor gazului și lichidului, w_g și w_l , este necesar să se găsească părțile secțiunii transversale a absorberului, ocupate de fiecare curent în parte. Partea din volumul umpluturii, δ , ocupată de lichid se calculează cu ecuația [6-2] :

$$\delta = 4,83 \cdot 10^{-4} \frac{\sigma \Gamma^{0,435}}{d_{ech}^{0,24}}$$

în care :

$$\Gamma = \frac{L_c}{A \cdot \sigma} = \frac{3000}{3600 \cdot 0,358 \cdot 204} = 0,0114 \frac{\text{kg}}{\text{s} \cdot \text{m}}$$

$$d_{ech} = \frac{4 \cdot V_{Hb}}{\sigma} = \frac{4 \cdot 0,74}{204} = 0,0145 \text{ m}$$

Înlocuind aceste valori, se obține :

$$\delta = \frac{4,83 \cdot 10^{-4} \cdot 204 \cdot 0,0114^{0,435}}{0,0145^{0,24}} = 0,039$$

Viteza de curgere a lichidului în stratul de umplutură este :

$$w_l = \frac{L_c}{\rho_l \cdot A \cdot \delta} = \frac{3000}{3600 \cdot 1000 \cdot 0,358 \cdot 0,039} = 0,06 \text{ m/s}$$

Viteza gazului este :

$$w_g = \frac{G_c}{\rho_g \cdot A \cdot (V_{Hb} - \delta)} = \frac{1810}{3600 \cdot 1,2 \cdot 0,358 (0,74 - 0,039)} = 1,67 \text{ m/s}$$

Valorile coeficienților de amestecare inversă a lichidului E_l și E_g se obțin pe cale experimentală — vezi exemplul 1-37. Pentru determinarea orientativă a acestor valori pentru cazul absorberului cu umplutură se folosesc ecuațiile criteriale*.

* Sater V. E., Levenspiel O., Ind. Eng. Chem. Fund. 1966, v. 5, No. 1, p. 86.

Pentru faza lichidă :

$$\frac{w_l \cdot d_n}{E_l} = 7,58 \cdot 10^{-3} \cdot \text{Re}_l^{0,703}$$

Pentru faza gazoasă :

$$\frac{w_g \cdot d_n}{E_g} = 2,4 \cdot \text{Re}_g^{-0,2} \cdot 10^{-0,002} \cdot \text{Re}_l$$

În aceste relații :

$$\text{Re}_l = \frac{d_n \cdot L_c}{A \cdot \eta_l}$$

$$\text{Re}_g = \frac{d_n \cdot G_c}{A \cdot \eta_g}$$

unde d_n este diametrul nominal al elementelor umpluturii, m.

În cazul nostru :

$$\text{Re}_l = \frac{0,025 \cdot 3\,000}{3\,600 \cdot 0,358 \cdot 1 \cdot 10^{-3}} = 58$$

$$\text{Re}_g = \frac{0,025 \cdot 1\,810}{3\,600 \cdot 0,358 \cdot 0,0182 \cdot 10^{-3}} = 1\,930$$

Pentru faza lichidă :

$$\frac{w_l \cdot d_n}{E_l} = 7,58 \cdot 10^{-3} \cdot 58^{0,703} = 130 \cdot 10^{-3}$$

Coeficientul amestecării inverse în faza lichidă este :

$$E_l = \frac{w_l \cdot d_n}{0,13} = \frac{0,06 \cdot 0,025}{0,13} = 0,0116 \text{ m}^2/\text{s}$$

$$\text{Pé}_{m,l} = \frac{w_l \cdot H}{E_l} = \frac{0,06 \cdot 16,8}{0,0116} = 87$$

Pentru faza gazoasă :

$$\frac{w_g \cdot d_n}{E_g} = \frac{2,4}{\text{Re}_g^{0,2} \cdot 10^{-0,002} \cdot \text{Re}_l} = \frac{2,4}{1\,930^{0,2} \cdot 10^{-0,002} \cdot 58} = 0,403$$

Coeficientul amestecării inverse în faza gazoasă este :

$$E_g = \frac{w_g \cdot d_n}{0,403} = \frac{1,67 \cdot 0,025}{0,403} = 0,104 \text{ m}^2/\text{s}$$

$$\text{Pé}_{m,g} = \frac{w_g \cdot H}{E_g} = \frac{1,67 \cdot 16,8}{0,104} = 270$$

Criteriul Péclét redus va avea valoarea :

$$\text{Pé}_{red} = \left(\frac{1}{B \cdot f_g \cdot \text{Pé}_g} + \frac{1}{f_l \cdot \text{Pé}_{m,l}} \right)^{-1} = \left(\frac{1}{1,59 \cdot 0,78 \cdot 270} + \frac{1}{1,22 \cdot 87} \right)^{-1}$$

$$\text{Pé}_{red} = 80,5$$

$$\varnothing = 1 - \frac{0,05}{(\text{Pé}_{red})^{0,25}} \cdot \left(\frac{B}{n'_{oy}} \right)^{0,5} = 1 - \frac{0,05}{80,5^{0,25}} \cdot \left(\frac{1,59}{9} \right)^{0,5} = 1 - 0,007 = 0,993$$

Corecția pentru amestecarea inversă este :

$$n_{inv} = \frac{B \cdot 2,3 \lg B}{B - 1} \cdot \varnothing + \text{Pé}_{red} = \frac{1,59 \cdot 2,3 \lg 1,59}{0,59} \cdot 0,993 + 80,5$$

$$n_{inv} = 81,7$$

Numărul unităților de transfer, ținând cont de amestecarea inversă este :

$$n'_{oy} = \left(\frac{1}{n_{oy}} - \frac{1}{n_{inv}} \right)^{-1} = \left(\frac{1}{7,93} - \frac{1}{81,7} \right)^{-1} = 8,8$$

valoarea apropiată de valoarea $n'_{oy} = 9$, luată la începutul calculului.

6.3. PROBLEME

6-1. Se amestecă două volume egale de benzen și nitrobenzen. Considerind că volumul amestecului lichid este egal cu suma volumelor componentelor să se determine densitatea amestecului, concentrația de masă relativă \bar{X} a nitrobenzenului, precum și concentrația sa molară volumică C_x .

6-2. Un amestec lichid este compus din : 20% cloroform, 40% acetonă și 40% sulfură de carbon (concentrațiile sint exprimate în procente molare). Să se determine densitatea amestecului, considerind că la amestecare nu are loc modificarea volumului.

6-3. Aerul este saturat cu vapori de alcool etilic. Presiunea totală a amestecului aer-vapori este 600 mm Hg, iar temperatura 60°C. Considerind ambele componente ale amestecului drept gaze ideale, să se determine concentrația de masă relativă \bar{Y} a alcoolului etilic în amestec și densitatea amestecului.

6-4. Un gaz are compoziția : 26% hidrogen, 60% metan, 14% etilenă (procente molare). Presiunea gazului este 30 ata, iar temperatura 20°C. Considerind componentele amestecului gaze ideale, să se determine concentrațiile masice volumice \bar{C}_y (în kg/m³).

6-5. Să se arate că în formula

$$y = \frac{C_y M}{\rho + C_y (M_B - M_A)} \quad (\text{vezi tab. 6-2})$$

la orice valori ale lui M_A și M_B , y nu poate fi negativ.

6-6. În condițiile exemplului 6-3 (a) să se determine forța motoare a procesului de transfer de masă în momentul inițial, pentru faza gazoasă și faza lichidă. Forța motoare să exprime în concentrații volumice, molare și de masă.

6-7. Vaporii unui amestec binar cloroform-benzen, care conține 50% cloroform și 50% benzen, vin în contact cu un lichid conținând 44% cloroform și 56% benzen (procente molare). Presiunea este cea atmosferică. Să se determine : a) sensul transferului de masă pentru cloroform și benzen ; b) forța motoare a procesului de transfer de masă pentru fazele de vapori și lichidă la intrarea valorilor în lichid (în fracții molare). Date despre compozițiile de echilibru se găsesc în tabela XLVII.

6-8. Un amestec de aer cu vapori de tetraclorură de carbon, comprimat la 10 ata, se răcește într-un răcitor tubular cu apă. La 40°C începe condensarea tetraclorurii de carbon. Să se determine : a) concentrația tetraclorurii de carbon în amestecul inițial (în procente masă) și b) gradul de separare din amestecul gazos după răcirea acestuia pînă la 27°C. Presiunea vaporilor saturați de tetraclorură de carbon este dată în fig. XIV sau XXIV.

6-9. Un amestec gazos, conținând 0,8% (volum) octan se comprimă la 5 at și apoi se răcește la 25°C. Să se determine gradul îndepărtării octanului. Cum se modifică gradul de îndepărtare a octanului dacă gazul comprimat se răcește cu solă pînă la 0°C ? (Presiunea vaporilor saturați de octan se ia din monograma din fig XIV — punctul 31).

6-10. Să se calculeze coeficientul de difuziune moleculară la presiunea atmosferică: a) a vaporilor de benzen în vaporii de toluen, la temperatura de 100°C; b) a vaporilor de alcool etilic în vaporii de apă la temperatura de 92°C.

6-11. Să se determine coeficientul de transfer de masă într-un absorber stropit cu apă, în care $k_g = 2,76 \cdot 10^{-3}$ kmol/(m²·h·kPa), iar $k_L = 1,17 \cdot 10^{-4}$ m/s. Presiunea în aparat 1,07 ata. Ecuația liniei de echilibru, în fracții molare: $y^* = 1,02 x$.

6-12. Să se determine forța motoare medie și numărul unităților de transfer n_{ov} pentru absorbția în ulei a vaporilor de benzen dintr-un gaz. Concentrația inițială a benzenului în gaze este 4% (vol); se separă 80% din benzen. Concentrația benzenului în uleiul care se scurge din scrubler este 0,02 kmol benzen 1 kmol ulei pur. Uleiul care intră în scrubler nu conține benzen. Ecuația liniei de echilibru, în concentrații molare relative, este: $Y^* = 0,126 X$. Forța motoare se va exprima în unități corespunzătoare concentrației Y (kmol benzen/kmol gaz inert).

6-13. Într-un scrubler se absoarbe cu apă bioxidul de sulf dintr-un gaz inert (azot) la presiune atmosferică (760 mm Hg). Conținutul inițial de bioxid de sulf în gaz este 5% vol. Temperatura apei este 20°C, iar debitul de apă este cu 20% mai mare decât debitul minim teoretic. Din gaz se îndepărtează 90% SO₂. Să se determine: 1) debitul de apă pentru absorbția a 1 000 kg/h bioxid de sulf; 2) forța motoare medie a procesului; 3) numărul total de unități de transfer n_{ov} . Linia de echilibru se poate considera dreaptă, avînd următoarele coordonate pentru două din punctele ei: 1) presiunea parțială a SO₂ în faza gazoasă $p = 39$ mm Hg, $\bar{X} = 0,007$ kg SO₂/kg apă; 2) $p = 26$ mm Hg, $\bar{X} = 0,005$ kg SO₂/kg apă.

6-14. Într-un scrubler cu umplutură se absorb în apă vaporii de alcool metilic dintr-un gaz, la presiune atmosferică și temperatura medie de 27°C. Conținutul de alcool metilic în gazul care intră în scrubler este 100 g la 1 m³ gaz inert (considerînd volumul gazului în condițiile de lucru). La ieșirea din scrubler apare concentrația de 67% din cea maximă posibilă, adică din concentrația în echilibru cu gazul care iese. Ecuația curbei de solubilitate a alcoolului metilic în apă, în concentrații molare relative, este $Y^* = 1,15 X$. Se absoarbe în apă 98% din cantitatea inițială de alcool. Coeficientul de transfer de masă:

$$K_x = 0,5 \frac{\text{kmol alcool}}{\text{m}^2 \cdot \text{h} \cdot \frac{\text{kmol alcool}}{\text{kmol apă}}}$$

Debitul gazului inert este 1 200 m³/h (în condiții de lucru). Absorberul este umplut cu umplutură din inele ceramice avînd suprafața specifică 190 m²/m³. Coeficientul de umezire a umpluturii $\psi = 0,87$. Viteza fictivă a gazului în absorber $w = 0,4$ m/s. Să se determine debitul apei și înălțimea necesară a stratului de umplutură.

6-15. Într-un scrubler cu diametrul 0,5 m, trec 550 m³/h (la 760 mm Hg și 20°C) aer, care conține 2,8% vol. amoniac, care se absoarbe în apă la presiunea atmosferică. Gradul de separare a amoniacului este 0,95. Debitul apei este cu 40% mai mare decât debitul teoretic minim. Să se determine: 1) debitul apei; 2) numărul total al unităților de transfer n_{ov} ; 3) înălțimea stratului de umplutură din inele ceramice cu dimensiunile 50 × 50 × 5 mm. Coeficientul total de transfer de masă este

$$K_y = 0,001 \frac{\text{kmol amoniac}}{\text{m}^2 \cdot \text{h} \cdot \frac{\text{kmol amoniac}}{\text{kmol aer}}}$$

Datele despre concentrațiile de echilibru ale lichidului și gazului se iau din exemplul 6-10. Coeficientul de umezire a umpluturii este $\psi = 0,9$.

6-16. Să se deducă formula pentru determinarea înălțimii unității de transfer în absorberul cu umplutură pentru faza lichidă h_x din ecuația criterială (6.45).

6-17. Aerul amestecat cu amoniac este trecut printr-un scrubler stropit cu apă, umplut cu umplutură din inele cu suprafața specifică 89,5 m²/m³, și volumul liber 0,79 m³/m³. Tem-

peratura de absorbție este 28°C, iar presiunea este 1 ata. Conținutul mediu de amoniac în amestecul gazos este 5,8% vol. Viteza de masă a gazului, raportată la secțiunea totală a scrublerului este 1,1 kg/m²·s. Să se determine coeficientul parțial de transfer de masă pentru pelicula de gaz, considerînd că scrublerul lucrează în regim pelicular.

6-18. Să se calculeze coeficientul de transfer de masă pentru faza lichidă într-un absorber cu umplutură, în care are loc absorbția bioxidului de carbon la temperatura de 20°C. Intensitatea de stropire este 60 m³/m²·h. Umplutura constă din inele ceramice cu dimensiunile 35 × 35 × 4 mm. Coeficientul de umezire a umpluturii $\psi = 0,86$.

6-19. Să se calculeze coeficientul parțial de transfer de masă pentru gaz la absorbția vaporilor de benzen din gazele de cocserie în condițiile următoare: umplutura este formată din grătare confecționate din șipci de lemn de 12,5 × 100 mm cu distanța dintre șipci $b = 25$ mm (pentru această umplutură $d_{ech} = 2b = 0,05$ m), viteza gazului, raportată la secțiunea totală a scrublerului, este 0,95 m/s; densitatea gazului 0,5 kg/m³; viscozitatea gazului este 0,013 mPa·s; coeficientul de difuziune a benzenului în gaz este $16 \cdot 10^{-6}$ m²/s. Se consideră regim pelicular.

6-20. Să se determine diametrul și înălțimea unui absorber cu talere pentru absorbție în apă a amoniacului dintr-un amestec apă-amoniac la presiunea atmosferică și temperatura 20°C. Conținutul inițial de amoniac în amestecul gazos este 7% vol. Gradul de separare 90%. Debitul de gaz inert (aer) este 10 000 m³/h (în condițiile de lucru). Linia de echilibru se consideră dreaptă, ecuația ei, în concentrații de masă relative este: $\bar{Y} = 0,61 \bar{X}$. Viteza fictivă a gazului în absorber este 0,8 m/s. Distanța dintre talere este 0,6 m. Eficacitatea medie a talerelor este 0,62. Coeficientul de exces al absorberului $\phi = 1,3$.

6-21. În condițiile problemei precedente să se determine: 1) înălțimea absorberului cu umplutură din inele ceramice de 50 × 50 × 5 mm, luînd h_{ec} — înălțimea stratului de umplutură echivalent talerului teoretic (IETT) — egal cu 0,85 m; 2) coeficientul de transfer de masă în acest absorber cu umplutură K_y , kg amoniac/m²·s $\frac{\text{kg amoniac}}{\text{kg aer}}$, considerînd coeficientul de umezire a umpluturii $\psi = 0,9$.

6-22. Cu datele problemelor 6-20 și 6-21 să se determine înălțimea stratului de umplutură prin numărul total al unităților de transfer n_{ov} și înălțimea unității de transfer (IUT) h_{ov} .

6-23. Un absorber pentru îndepărtarea vaporilor de benzen dintr-un amestec gazos se stropște cu un ulei avînd masa molară 260 kg/kmol. Presiunea medie în absorber este 800 mm Hg, temperatura 40°C. Debitul amestecului gazos este 3 600 m³/h (în condițiile de lucru). Concentrația benzenului în amestecul gazos la intrarea în absorber este 2% vol; se absoarbe 95% benzen. Conținutul de benzen în uleiul absorbant, care intră în absorber, după regenerare este 0,2% (mol). Debitul de ulei absorbant este de 1,5 ori mai mare decât cel minim teoretic. Pentru calculul compozițiilor de echilibru se consideră că solubilitatea benzenului în ulei se determină cu legea lui Raoult. La concentrații ale benzenului în lichid pînă la valoarea $X = 0,1$ kmol benzen/kmol ulei, dependența de echilibru $Y^* = f(x)$ poate fi considerată liniară.

Să se determine: 1) debitul uleiului absorbant, în kg/h; 2) concentrația benzenului în uleiul absorbant care iese din absorber; 3) diametrul și înălțimea absorberului cu umplutură la viteza fictivă a gazului de 0,5 m/s și înălțimea unității de transfer (IUT) h_{ov} , egală cu 0,9 m; 4) înălțimea absorberului cu talere la o eficacitate medie a talerelor 0,67 și distanța dintre talere 0,4 m.

6-24. Într-un absorber cu umplutură cu diametrul 1 m, bioxidul de sulf din aer se absoarbe în apă. Conținutul inițial de SO₂ în amestecul de gaze este 7% vol. Gradul de separare 0,9. La ieșirea din absorber apa conține 0,0072 kg SO₂/kg apă. Coeficientul de transfer de masă în absorber este

$$K_y = 0,005 \frac{\text{kg SO}_2}{\text{m}^2 \cdot \text{s} \cdot \frac{\text{kg SO}_2}{\text{kg aer}}}$$

Umplutura constă din inele ceramice cu dimensiunile $50 \times 50 \times 5$ mm. Coeficientul de umezire a umpluturii este $\psi = 1$. Înălțimea unității de transfer $h_{ov} = 1,17$ m. Să se determine debitul apei în absorber.

6-25. Într-un absorber la presiunea atmosferică și temperatura 20°C se absoarbe dintr-un amestec gazos 300 kg/h vapori de benzen. Conținutul inițial de vapori de benzen în amestecul gazos este 4% vol. Gradul de îndepărtare a benzenului este 0,85. Absorbantul lichid, care intră în absorber după regenerare, conține 0,0015 kmol benzen/kmol absorbant. Viteza fictivă a gazului în absorber 0,9 m/s. Ecuația liniei de echilibru este $Y^* = 0,2 X$, unde Y^* și X sint exprimate corespunzător în kmol benzen/kmol gaz inert și kmol benzen/kmol absorbant. Coeficientul de exces al absorbantului $\varphi = 1,4$. Să se determine diametrul absorberului și concentrația benzenului în absorbantul care iese din absorber.

7. DISTILAREA ȘI RECTIFICAREA

7.1. VARIABLE FUNDAMENTALE ȘI RELAȚII DE CALCUL

În cadrul acestui capitol se prezintă principalele variabile și relații de calcul, aplicate în procesele de separare prin distilare și rectificare a amestecurilor binare. Conform legii fazelor, sistemele alcătuite din două faze și două componente au două grade de libertate.

1. Ecuația distilării simple este :

$$\ln \frac{m_F}{m_W} = \int_{x_W}^{x_F} \frac{dx}{y^* - x} \quad (7-1)$$

în care : m_F este cantitatea inițială de amestec lichid supus distilării ;
 m_W — cantitatea de reziduu lichid din blază, după distilare ;
 y^* și x — concentrații de echilibru ale componentului mai volatil în cele două faze, vapori și lichid ;
 x_F — conținutul în componentul mai volatil al amestecului inițial ;
 x_W — conținutul în componentul mai volatil al rezidului lichid după distilare.

Compoziția medie a distilatului obținut se calculează cu relația :

$$x_D = \frac{m_F x_F - m_W x_W}{m_F - m_W} \quad (7-2)$$

Calculul cu ecuațiile (7-1) și (7-2) se efectuează în cantități și concentrații molare sau în cantități și concentrații de masă.

2. Consumul de abur (sau de gaz inert) în cazul procesului de antrenare se calculează cu relația :

$$m_{vap} = m_i \frac{M_{vap} \cdot P_{vap}}{M_i \cdot P_i \cdot \varphi} = m_i \frac{M_{vap} (P - P_i)}{M_i \cdot P_i \cdot \varphi} \quad (7-3)$$

în care : m_{vap} este cantitatea de vapori de apă (gaz inert) care se evacuează cu lichidul distilat, kg ;
 m_i — cantitatea de lichid distilat, kg ;
 M_{vap} și M_i — masele molare ale apei și lichidului distilat, kg/kmol ;
 P_{vap} — presiunea vaporilor de apă (vapori saturanți) la temperatura de distilare, N/m^2 ;
 P_i — presiunea vaporilor saturanți ai lichidului supus distilării, N/m^2 ;

- P — presiunea totală a amestecului de vapori, N/m^2 ;
 $P = P_{vap} + P_l$
- φ — coeficient, care ține seama de gradul de saturare al vaporilor de apă cu vaporii substanței antrenate (în calculele orientative se consideră $\varphi = 0,7 - 0,8$).

3. În cazul rectificării continue, bilanțul de materiale este redat prin ecuațiile* (fig. 7-1):

$$m_F = m_D + m_W \quad (7-4)$$

$$m_F x_F = m_D x_D + m_W x_W \quad (7-5)$$

în care: m_F , m_D , m_W sînt debite de masă sau molare ale materiei prime, distilatului și rezidului din blază kg/s sau $kmol/s$;
 x_F , x_D , x_W — conținutul de component ușor volatil, în materia primă, în distilat și în reziduul din blază, exprimat în fracții molare sau de masă.

4. Ecuațiile liniilor de operare (de lucru):

a) pentru partea superioară (de concentrare) a coloanei de rectificare:

$$y = \frac{R}{R+1} x + \frac{x_D}{R+1} \quad (7-6)$$

b) pentru partea inferioară (de epuizare) a coloanei de rectificare:

$$y = \frac{R+F}{R+1} x - \frac{F-1}{R+1} x_W \quad (7-7)$$

În coloanele de rectificare, spre deosebire de cele de absorbție, pe baza unor considerații teoretice se presupune că fluxul molar de vapori și de lichid este constant pe lungimea coloanei și de aceea în ecuațiile (7-6) și (7-7) cantitățile și concentrațiile se exprimă în unități molare.

În partea superioară (de concentrare) a coloanei, deasupra talerului de alimentare cu amestec inițial, fluxul de lichid este m_R , iar în partea inferioară (de epuizare) acesta este egal cu $(m_R + m_F)$ — vezi figura 7-1. Fluxul molar

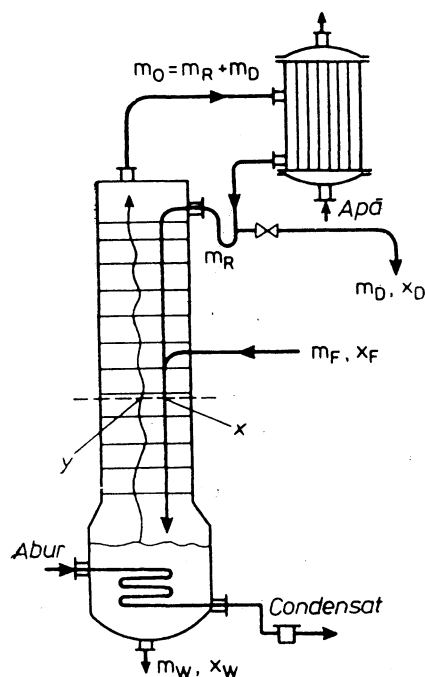


Fig. 7-1. Schema coloanei de rectificare.

* Aceste ecuații (7-4 și 7-5) se aplică în cazul coloanelor de rectificare încălzite cu abur indirect (prin serpentină). La rectificarea amestecurilor apoase în coloane de rectificare încălzite cu abur direct, ecuațiile bilanțului de materiale și a liniei de lucru pentru partea inferioară a coloanei de rectificare se modifică (vezi ex. 7-16).

de vapori, m_V , constant pe lungimea coloanei este același atât în partea superioară cât și în partea inferioară a coloanei de rectificare cu funcționare continuă.

În ecuațiile (7-6) și (7-7): y și x — compoziții variabile pe lungimea coloanei ale vaporilor și lichidului, într-o secțiune dată a coloanei (fluxuri în contracurent între două talere teoretice, nu compoziții în echilibru) sînt exprimate în fracții molare ale componentului mai volatil.

În cazul coloanelor cu talere: y — fracția molară a componentului ușor volatil în vaporii care urcă de jos pe talerul considerat; x — fracția molară a componentului mai volatil în lichidul care se scurge de pe talerul considerat; $R = \frac{m_R}{m_D}$ — raportul de reflux (cantitatea de lichid returnat în coloană

pentru un $kmol$ de distilat scos ca produs); $F = \frac{m_F}{m_D} = \frac{x_D - x_W}{x_F - x_W}$ — consumul molar specific de materie primă (pentru un $kmol$ de distilat scos ca produs).

Utilizînd aceste consumuri molare specifice, ecuațiile bilanțului de materiale ale coloanei de rectificare (7-4) și (7-5) devin:

$$F = 1 + W \quad (7-8)$$

$$Fx = x_D + W \cdot x_W \quad (7-9)$$

în care:

$W = \frac{m_W}{m_D} = \frac{x_D - x_F}{x_F - x_W}$ — cantitatea de reziduu rezultată pentru un $kmol$ de distilat scos ca produs;

x_F , x_D , x_W — fracții molare ale componentului mai volatil în lichidul de alimentare, în distilat și în reziduu.

5. Refluxul minim, R_{min} , într-o coloană de rectificare cu funcționare continuă, cînd curba de echilibru nu prezintă puncte de inflexiune (azeotropi) se calculează cu ecuația:

$$R_{min} = \frac{x_D - y_F^*}{y_F^* - x_F} \quad (7-10)$$

în care: x_D este fracția molară a componentului mai volatil în distilat;

x_F — aceeași semnificație, pentru lichidul de alimentare al coloanei;

y_F^* — aceeași semnificație pentru vaporii în echilibru cu lichidul de alimentare.

Raportul real de reflux este:

$$R = \beta \cdot R_{min} \quad (7-11)$$

unde $\beta > 1$ — coeficient de exces al refluxului.

La calculul coloanelor de rectificare, raportul real de reflux se determină cu formula:

$$R = 1,3 R_{min} + 0,3 \quad (7-12)$$

În literatura de specialitate [6-1, 7-5] se arată calculul raportului de reflux optim din punct de vedere economic.

Dacă pe curbele de echilibru apar puncte de inflexiune (azeotropi) valoarea refluxului minim se determină pe cale grafică — vezi exemplul 7-16.

6. Consumul de căldură în blaza coloanei de rectificare cu acțiune continuă se determină din bilanțul termic al coloanei cu deflegmator și condensator (fig. 7-1):

$$Q_{blaza} + m_F i_F = Q_{defl.} + m_D i_D + m_W i_W + Q_p \quad (7-13)$$

în care: Q_{blaza} — este cantitatea de căldură primită în blaza coloanei de către lichidul care fierbe, de la aburul de încălzire care condensează, în W;

$Q_{defl.}$ — cantitatea de căldură preluată de apa de răcire de la vaporii care condensează în deflegmator, în W;

Q_p — pierderile de căldură în mediul înconjurător, în W;

m_F, m_D, m_W — debite de masă ale lichidului de alimentare, distilatului și reziduului din blază, kg/s;

i_F, i_D, i_W — entalpiile respective, J/kg.

Din ecuația 7-13 se obține consumul de căldură în blaza coloanei:

$$Q_{blaza} = Q_{defl.} + m_D c_D t_D + m_W c_W t_W - m_F c_F t_F + Q_p \quad (7-14)$$

în care: c_D, c_W, c_F sint călduri specifice, J/kg·grd;

t_D, t_W, t_F — temperaturile corespunzătoare, °C;

Cantitatea de căldură cedată apei de răcire în deflegmator:

$$Q_{cond} = m_D (1 + R) \cdot r_D \quad (7-15)$$

în care: R este raportul de reflux;

r_D — căldura de condensare a vaporilor în deflegmator, J/kg.

7. Diametrul coloanei de rectificare se calculează cu ecuația,

$$D = \sqrt{\frac{V}{0,785 w}} \quad (7-16)$$

în care: V este debitul volumic al vaporilor în coloană, m³/s;

w — viteza vaporilor raportată la întreaga secțiune a coloanei, m/s.

Viteza maximă a vaporilor în coloană se poate calcula cu relația:

$$w = C \sqrt{\frac{p_i - p_v}{p_v}} \quad (7-17)$$

în care: C — este coeficient, care depinde de construcția talerului, distanța între talere, presiunea de lucru în coloană, încărcarea coloanei cu lichid;

p_i, p_v — densitatea lichidului și vaporilor, kg/m³.

Cînd $p_i \gg p_v$

$$w = C \sqrt{\frac{p_i}{p_v}} \quad (7-17, a)$$

În figura 7-2 după datele din lucrarea [7-2] se prezintă valorile coeficientului C în funcție de distanța între talere h , pentru coloane de rectificare ce lucrează la presiunea atmosferică și valori medii ale încărcării cu lichid.

După ce s-a calculat diametrul coloanei cu relația (7-16) se alege diametrul normalizat corespunzător.

8. Înălțimea coloanei de rectificare cu talere (distanța H_t între talerul superior și inferior) se calculează cu relația:

$$H_t = (n - 1)h \quad (7-18)$$

unde: n este numărul de talere în coloană;

h — distanța între talere.

Determinarea numărului de talere necesare n se face pe cale grafică pe baza dependențelor cinetice — ecuațiile transferului de masă și calculul coeficienților de transfer de masă în faza lichidă și de vaporii, pe talere [7-2, 7-5] (sau numărul unităților de transfer).

Pentru calcule aproximative se utilizează metoda — mai puțin fundamentată din punct de vedere teoretic — de determinare a numărului de talere cu ajutorul așa numitei „eficacități medii” a talerelor (respectiv a coloanei), ϵ ,

$$n = \frac{n_t}{\epsilon} \quad (7-19)$$

în care: n_t este numărul de talere teoretice, respectiv trepte de variație a concentrației, trasate grafic între curba de echilibru și liniile de operare, în diagrama $x-y$ — vezi figura 7-3.

Valoarea eficacității medii a talerelor ϵ , care se introduc pentru a defini condițiile reale de transfer pe talere, depinde de mulți factori (construcția și dimensiunile talerelor, condițiile hidrodinamice de lucru, proprietățile fizico-chimice al lichidului și vaporilor).

Valoarea ϵ se determină din date experimentale și în majoritatea cazurilor variază în limitele 0,3–0,8.

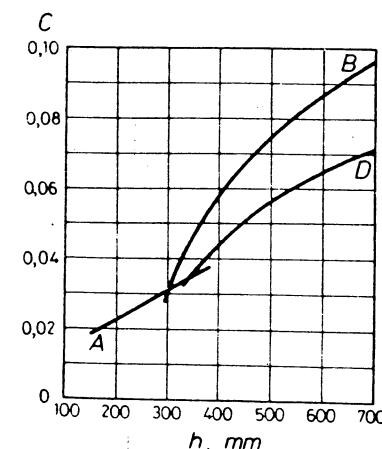


Fig. 7-2. Valorile coeficientului C : A, B — talere cu clopote circulare; D — talere cu sită.

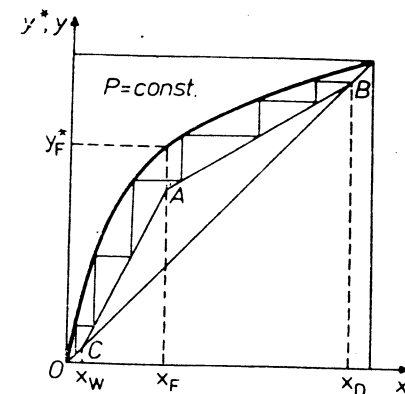


Fig. 7-3. Determinarea grafică a numărului de trepte de variație a concentrației (talere teoretice) în coloana de rectificare:

AB — linia de lucru a părții superioare a coloanei; AC — linia de lucru a părții inferioare a coloanei.

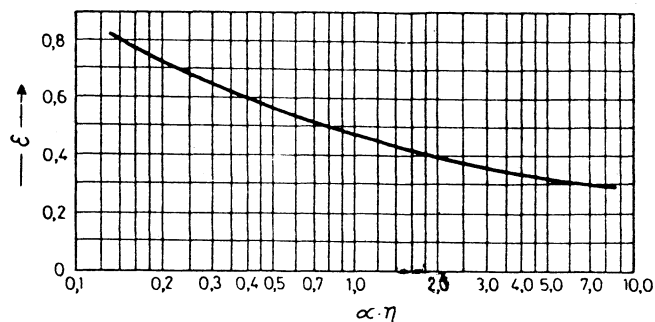


Fig. 7-4. Diagrama pentru determinarea aproximativă a eficacității medii a talerelor.

În cazul talerelor în curent încrucișat al lichidului și vaporilor, valoarea medie a eficacității ϵ crește, datorită creșterii lungimii drumului parcurs de lichid pe talere, respectiv a timpului de staționare a lichidului pe talere ceea ce îmbunătățește transferul de masă.

În figura 7-4 sînt prezentate valori ale mărimii medii, ϵ obținute din date experimentale pentru coloane de rectificare industriale dar de diametru redus. În acest grafic pe abscisă se înscrie valoarea produsului dintre coeficientul volatilității relative α a componentelor care se separă (vezi ecuația (6-9))

și coeficientul viscozității dinamice a lichidului de alimentare η , (în $N \cdot s/m^2$) la temperatura medie din coloană.

Pentru determinarea eficacității medii în cazul coloanelor cu diametru mai mare (cu lungimea drumului parcurs de lichid $l > 0,9$ m) se recomandă introducerea unei corecții Δ , la valoarea determinată după grafic din figura 7-4:

$$\epsilon_1 = \epsilon(l + \Delta) \quad (7-20)$$

Valoarea corecției Δ pentru amestecuri cu $\alpha \cdot \eta = 0,1 - 1,0$ sînt date în figura 7-5.

9. Coeficientul de îmbogățire ϵ_0 , sau eficiența individuală a talerului se exprimă prin raportul:

$$\epsilon_0 = \frac{y_2 - y_1}{y_1^* - y_1} \quad (7-21)$$

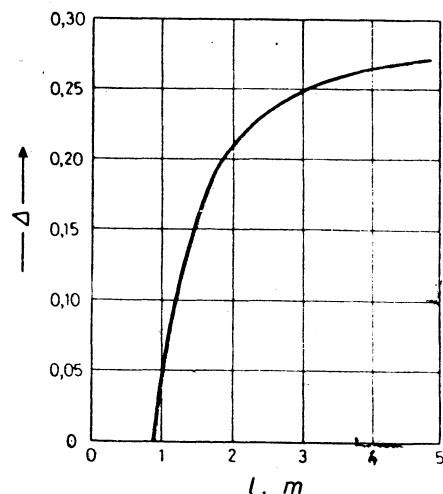


Fig. 7-5. Dependența corecției Δ , de lungimea drumului parcurs de lichid pe taler, l .

în care: y_1 este fracția molară a componentului mai volatil în vaporii care intră pe taler;

y_2 — aceeași mărime pentru vaporii ce părăsesc talerul;

y_1^* — aceeași mărime pentru vaporii în echilibru cu lichidul care se scurge de pe acest taler.

Dacă lichidul pe taler este bine amestecat, atunci y_1^* este fracția molară a componentului ușor volatil în vaporii, în echilibru cu lichidul aflat pe talerul respectiv.

10. Determinarea diametrului și înălțimii coloanelor de rectificare cu umplutură se face în același mod ca și în cazul coloanelor de absorbție cu umplutură — vezi cap. 6.

Diametrul coloanelor cu umplutură se calculează cu relația (6-34). Viteza fictivă a vaporilor la punctul de înecare, w_{in} , cînd $\rho_l \gg \rho_v$ se determină cu ecuația (6-35) dar cu alte valori ale coeficientului A . Pentru coloanele de rectificare, $A = -0,125$.

Viteza fictivă a vaporilor în coloanele de rectificare cu umplutură și care lucrează în regim de început de înecare se calculează cu relația (6-37).

Înălțimea stratului de umplutură H_u în regim de lucru pelicular al coloanelor se calculează separat pentru partea superioară și inferioară a coloanei, cu ecuația,

$$H_u = \frac{m_v}{K_v \cdot A \cdot \sigma \cdot \psi} \int_{y_1}^{y_2} \frac{dy}{y^* - y} = h_{ov} \cdot n_{ov} \quad (7-22)$$

analogă cu ecuația (6-39).

În ecuația (7-22):

m_v — debitul molar de vaporii, constant pe lungimea coloanei, kmol/s;

K_v — coeficient total de transfer de masă, kmol/(m²·s), $\Delta y = 1$;

$A = \frac{\pi D^2}{4}$ — secțiunea coloanei, m²;

σ — suprafața specifică a umpluturii, m²/m³;

ψ — coeficient de umezire a umpluturii, nedimensional;

y^* și y — concentrații de echilibru și de lucru (fracții molare) ale componentului ușor volatil în vaporii;

n_{ov} — numărul unităților de transfer;

h_{ov} — înălțimea unității de transfer, m.

În cazul coloanelor cu umplutură, lucrînd în regim de înecare, înălțimea echivalentă a umpluturii, h_e (în punctul de inversiune) se poate determina cu relația, [6-1]:

$$\frac{h_e}{d_s} = 5,2 \operatorname{Re}_v^{0,2} \left(\frac{m_v}{m_l} \right)^{0,35} \left(\frac{\rho_l}{\rho_v} \right)^{0,2} \frac{\lg \frac{m_l}{a \cdot m_v}}{1 - a \frac{m_v}{m_l}} \quad (7-23)$$

în care :

$$d_e = \frac{4 \cdot V_l}{\sigma} - \text{diametrul echivalent al umpluturii, m};$$

$$\text{Re}_r = \frac{4 \cdot w \cdot \rho_v}{\sigma \cdot \eta_v} - \text{vezi ecuația (6-37, a)};$$

$$\frac{m_r}{m_l} - \text{raportul dintre debitul de vaporii și lichid (în zona de concentrare)}$$

$$\frac{m_r}{m_l} = \frac{R+1}{R}; \text{ în zona de epuizare } \frac{m_r}{m_l} = \frac{R+1}{R+F} - \text{vezi ecuația (7-6) și (7-7)};$$

a — panta curbei de echilibru.

Înălțimea stratului de umplură H_u , se calculează cu relația (6-43).

7.2. EXEMPLE

Exemplul 7-1. Să se calculeze compoziția fazei de vaporii în echilibru la temperatura de 50°C cu lichidul la amestecul de hexan și apă, presupunând că cele două componente sînt total nemiscibile.

Rezolvare. Presiunea vaporilor saturanți ai hexanului la 50°C este de 400 mm Hg (fig. XVII). Presiunea vaporilor saturanți ai apei la 50°C este de 92,5 mm Hg (tab. XXXVIII). În cazul amestecurilor total nemiscibile, presiunile parțiale p ale fiecărui component sînt egale cu presiunea vaporilor saturanți P .

Presiunea totală a amestecului de vaporii :

$$P = p_{apa} + p_{hexan} = P_{apa} + P_{hexan} = 400 + 92,5 = 492,5 \text{ mmHg}$$

Fracția molară a hexanului în faza de vaporii se calculează cu ecuația (6-1) :

$$y_{hexan} = \frac{p_{hexan}}{P} = \frac{400}{492,5} = 0,812$$

Fracția molară a apei :

$$y_{apa} = \frac{p_{apa}}{P} = 1 - y_{hexan} = 0,188$$

Exemplul 7-2. Să se determine temperatura de fierbere la presiunea atmosferică a unui amestec lichid de toluen și apă considerînd că sînt total nemiscibile.

Rezolvare. Amestecul dat va fierbe la temperatura la care suma presiunii vaporilor saturanți ai toluenului și apei va fi egală cu 760 mm Hg.

Din diagramă (fig. XXIV) se observă că intersecția curbei presiunii vaporilor saturanți ai toluenului cu curba presiunii vaporilor saturanți ai apei (trasată de la 760 mmHg, în jos) corespunde temperaturii de 84°C. Deoarece la această temperatură suma presiunilor vaporilor saturanți ai componentelor amestecului este 760 mmHg, ea reprezintă temperatura de fierbere a amestecului.

Exemplul 7-3. Să se calculeze compoziția fazei de vaporii în echilibru la 60°C în cazul unui amestec lichid format din 40% mol benzen și 60% mol toluen, considerînd că amestecul dat urmează legea lui Raoult. Să se calculeze de asemenea compoziția amestecului lichid de benzen și toluen care fierbe la 90°C la presiunea de 760 mmHg.

Rezolvare. Presiunile vaporilor saturanți ai benzenului și toluenului la 60°C se determină din figura XXIV : pentru benzen, $P_B = 385$ mm Hg ; pentru toluen, $P_T = 140$ mm Hg. Presiunile parțiale ale benzenului și toluenului se calculează cu formula (6-7) :

$$p_B = P_B \cdot x_B = 385 \cdot 0,4 = 154 \text{ mm Hg}$$

$$p_T = P_T \cdot x_T = P_T(1 - x_B) = 140(1 - 0,4) = 84 \text{ mmHg}$$

Presiunea totală :

$$P = p_B + p_T = 154 + 84 = 238 \text{ mm Hg.}$$

Compoziția fazei de vaporii se determină cu formula (6-1) :

$$y_B = \frac{p_B}{P} = \frac{154}{238} = 0,648$$

Deci vaporii în echilibru conțin 64,8% mol benzen și 35,2% mol toluen. Pentru determinarea compoziției lichidului care fierbe la presiunea de 760 mm Hg la 90°C se scrie ecuația :

$$P = P_B \cdot x_B + P_T \cdot x_T \text{ sau } 760 = 1013 \cdot x_B + 408(1 - x_B)$$

de unde, $x_B = 58,3\%$ mol ; $x_T = 41,7\%$ mol.

Valorile 1013 și 408 reprezintă presiunile vaporilor saturanți ai benzenului și toluenului în stare pură la 90°C, în mm Hg.

Exemplul 7-4. Să se calculeze compoziția fazelor în echilibru și să se construiască diagrama de echilibru în coordonatele $t - x$, y și $y^* - x$ pentru amestecul benzen-toluen la presiunea atmosferică, considerînd că amestecul urmează legea lui Raoult.

Rezolvare. Pentru a calcula compozițiile fazelor în echilibru se utilizează ecuația (6-7) :

$$p_B = P_B \cdot x_B$$

$$p_T = P_T(1 - x_B)$$

Conform legii lui Dalton :

$$P = p_B + p_T = P_B \cdot x_B + P_T(1 - x_B)$$

de unde,

$$x_B = \frac{P - P_T}{P_B - P_T}$$

După formula (6-8) :

$$y_B^* = \frac{P_B}{P} x_B$$

În această relație x și y^* sînt fracțiile molare ale benzenului în lichide și vaporii în echilibru cu acest lichid.

Calculul complet este prezentat în tabela 7-1.

Datele obținute sînt reprezentate sub formă de curbe în coordonate $t - x, y$ (fig. 7-6) și $y^* - x$ (fig. 7-7).

Tabela 7-1

$t, ^\circ\text{C}$	P_B mm Hg	P_T mm Hg	P mm Hg	$x_B = \frac{P - P_T}{P_B - P_T}$	$y_B^* = \frac{P_B \cdot x}{P}$
80	760	300,0	760	1	1
84	852	333,0	760	$\frac{760 - 333}{852 - 333} = 0,823$	$\frac{852}{760} \cdot 0,823 = 0,922$
88	957	379,5	760	$\frac{760 - 379,5}{957 - 379,5} = 0,659$	$\frac{957}{760} \cdot 0,659 = 0,830$
92	1 078	432,0	760	$\frac{760 - 432}{1 078 - 432} = 0,508$	$\frac{1 078}{760} \cdot 0,508 = 0,720$
96	1 204	492,5	760	$\frac{760 - 492,5}{1 204 - 492,5} = 0,376$	$\frac{1 204}{760} \cdot 0,376 = 0,596$
100	1 344	559,0	760	$\frac{760 - 559}{1 344 - 559} = 0,256$	$\frac{1 344}{760} \cdot 0,256 = 0,453$
104	1 495	625,5	760	$\frac{760 - 625,5}{1 495 - 625,5} = 0,155$	$\frac{1 495}{760} \cdot 0,155 = 0,304$
108	1 659	704,5	760	$\frac{760 - 704,5}{1 659 - 704,5} = 0,058$	$\frac{1 659}{760} \cdot 0,058 = 0,128$
110	1 748	760,0	760	0	0

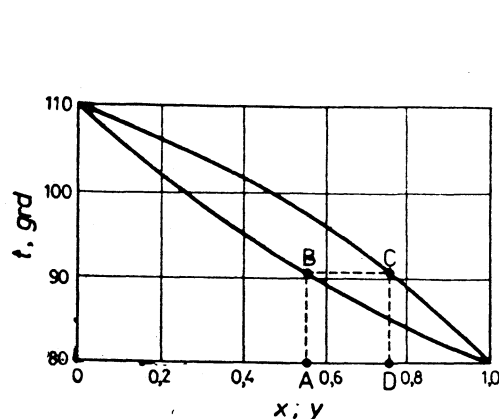


Fig. 7-6. Schița la exemplele 7-4 și 7-5.

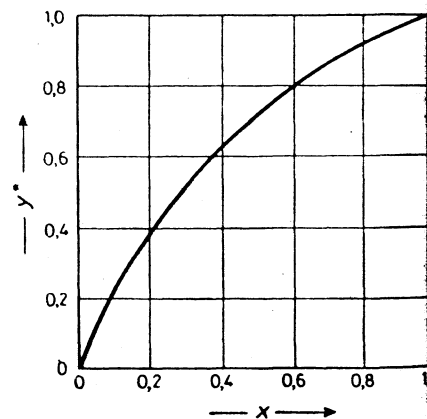


Fig. 7-7. Schița la exemplul 7-4.

Exemplul 7-5. Cu ajutorul diagramei $t - x, y$ (fig. 7-6) să se determine compoziția vaporilor în echilibru și temperatura de fierbere pentru lichidul ce conține 55% mol benzen și 45% mol tolue.

Rezolvare. Trasînd în figura 7-6 linia $ABCD$ se găsește :

a) Temperatura de fierbere egală cu $\sim 91^\circ\text{C}$

b) compoziția vaporilor în echilibru :

Benzen 75% mol
Toluen 25% mol.

Exemplul 7-6. O cantitate de 2 500 kg terebentină impură se purifică prin antrenare cu vaporii de apă la presiunea atmosferică (760 mmHg). Amestecul inițial conține 88% masă terebentină și 12% masă apă și se introduce în aparat la temperatura de 30°C . Nu există încălzire exterioară.

Pentru antrenare se utilizează abur saturant cu presiunea $p = 1,5$ ata (în conducta de abur). Gradul de saturare al aburului cu terebentină se consideră $\varphi = 0,7$.

Să se determine : a) necesarul de abur pentru distilare ; b) compoziția molară și de masă a vaporilor rezultați la distilare ; c) presiunea parțială a terebentinei și a apei în amestecul de vaporii.

Pierderile de căldură în mediul înconjurător se consideră 10% din căldura utilă consumată. Parametrii de calcul pentru terebentină : masa moleculară 136 kg/kmol ; căldura specifică a terebentinei în stare lichidă, $1,76 \cdot 10^3 \text{ J/kg} \cdot \text{K}$; căldura latentă de vaporizare, $310 \cdot 10^3 \text{ J/kg}$.

Rezolvare. Din figura XXIV se determină temperatura de distilare și presiunea vaporilor saturanți de terebentină. Temperatura de distilare este 96°C ; $P_{ter} = 115 \text{ mm Hg}$.

Cantitatea de vaporii de apă care părăsesc aparatul împreună cu vaporii de terebentină se calculează cu relația (7-3)

$$m_{vap} = m_{ter} \frac{M_{vap}(P - P_{ter})}{M_{ter} \cdot P_{ter} \cdot \varphi} = 2 500 \cdot 0,88 \frac{18(760 - 115)}{136 \cdot 115 \cdot 0,7} = 2 330 \text{ kg}$$

Fracțiunea de masă în vaporii :

— terebentină :

$$\bar{y}_{ter} = \frac{m_{ter}}{m_{ter} + m_{vap}} = \frac{2 500 \cdot 0,88}{2 500 \cdot 0,88 + 2 330} = 0,485$$

— apă :

$$\bar{y}_{vap} = 1 - \bar{y}_{ter} = 1 - 0,485 = 0,515$$

Fracția molară :

$$y_{ter} = \frac{\bar{y}_{ter}/M_{ter}}{\bar{y}_{ter}/M_{ter} + \bar{y}_{vap}/M_{vap}} = \frac{0,485/136}{0,485/136 + 0,515/18} = \frac{0,00356}{0,00356 + 0,0286} = 0,110$$

$$y_{vap} = 1 - y_{ter} = 1 - 0,11 = 0,89$$

Presiunile parțiale în amestecul de vaporii la presiunea totală $P = 760 \text{ mm Hg}$.

$$p_{ter} = P \cdot y_{ter} = 760 \cdot 0,11 = 84 \text{ mmHg}$$

$$p_{vap} = P - p_{ter} = 760 - 84 = 676 \text{ mmHg}$$

Consumul de căldură :

a) pentru preîncălzirea amestecului inițial de la temperatura de 30°C până la temperatura de distilare de 96°C :

— Terebentina :

$$m_{ter} \cdot c_{te} (t_{dist} - t_{in}) = 2\,500 \cdot 0,88 \cdot 1,76 \cdot 10^3 (96 - 30) = 256\,000 \cdot 10^3 \text{ J}$$

— Apa :

$$m_{apa} \cdot c_{apa} (t_{dist} - t_{in}) = 2\,500 \cdot 0,12 \cdot 4,19 \cdot 10^3 (96 - 30) = 83\,000 \cdot 10^3 \text{ J}$$

$$Q_{inc} = (256 + 83) \cdot 10^3 = 339 \cdot 10^6 \text{ J}$$

b) pentru vaporizarea terebentinei distilate :

$$Q_{vaporizare} = m_{ter} \cdot r_{ter} = 2\,500 \cdot 0,88 \cdot 310 \cdot 10^3 = 682\,000 \cdot 10^3 \text{ J}$$

c) pentru compensarea pierderilor de căldură în mediul înconjurător :

$$Q_p = 0,1(Q_{inc} + Q_{vaporizare}) = 0,1(339\,000 + 682\,000) \cdot 10^3 = 102\,000 \cdot 10^3 \text{ J}$$

Consumul total de căldură Q :

$$Q = Q_{inc} + Q_{vaporizare} + Q_p$$

$$Q = (339\,000 + 682\,000 + 102\,000) \cdot 10^3 = 1\,123\,000 \cdot 10^3 \text{ J} = 1\,123 \cdot 10^3 \text{ kJ}$$

Se determină consumul de abur. La presiunea absolută a aburului saturant în conductă de 1,5 ata, temperatura de saturație este de 110,7°C (tabela LVII); împreună cu terebentina distilată se evacuează 2 330 kg vapori la temperatura de distilare de 96°C. Prin urmare aburul care iese se răcește de la 110,7 la 96°C, cu degajarea unei cantități de căldură, Q_{deg} :

$$Q_{deg} = m_{vap} \cdot c_{vap} (t_{vap} - t_{dist}) = 2\,330 \cdot 1,97 \cdot 10^3 (110,7 - 96) = 67\,900 \cdot 10^3 \text{ J} = 67\,900 \text{ kJ}$$

unde

$$1,97 \cdot 10^3 = \frac{35,5 \cdot 10^3}{18} \text{ — căldura specifică a aburului, J/kg·grd (tabela XXVII).}$$

Restul cantității de căldură Q_r :

$$Q_r = Q - Q_{deg} = (1\,123\,000 - 67\,900) \cdot 10^3 = 1\,055 \cdot 10^3 \text{ kJ}$$

trebuie adusă pe seama condensării unei părți din aburul de alimentare și răcirea condensatului obținut, până la temperatura de distilare.

Debitul de abur care condensează este :

$$m_{cond} = \frac{Q_r}{i'' - i'} = \frac{1\,055\,000 \cdot 10^3}{(2\,700 - 402) \cdot 10^3} = 460 \text{ kg}$$

în care :

$2\,700 \cdot 10^3 \text{ J/kg}$ — entalpia aburului saturant la presiunea de 1,5 ata ;

$402 \cdot 10^3 \text{ J/kg}$ — entalpia apei la temperatura de 96°C.

Consumul total de abur :

$$m_{vap} = 2\,330 + 460 = 2\,790 \text{ kg}$$

Exemplul 7-7. Într-o blază de distilare simplă se distilă 1 000 kg amestec, care conține 60% masă alcool etilic și 40% masă apă. După distilare, reziduul din blază conține 5% masă alcool. Să se determine compoziția distilatului, masa sa și masa reziduului din blază. Date asupra compozițiilor de echilibru sînt prezentate în tabela 7-2, în care \bar{x} reprezintă fracția de masă a alcoolului în lichid iar y , fracția de masă a alcoolului etilic în vaporii în echilibru.

Tabela 7-2

\bar{x}	\bar{y}^*	$\bar{y}^* - \bar{x}$	$\frac{1}{\bar{y}^* - \bar{x}}$	\bar{x}	\bar{y}^*	$\bar{y}^* - \bar{x}$	$\frac{1}{\bar{y}^* - \bar{x}}$
0,025	0,225	0,200	5,00	0,45	0,754	0,304	3,29
0,05	0,360	0,310	3,22	0,50	0,767	0,267	3,74
0,10	0,516	0,416	2,40	0,55	0,778	0,228	4,38
0,15	0,600	0,450	2,22	0,60	0,789	0,189	5,29
0,20	0,655	0,455	2,20	0,65	0,800	0,150	6,66
0,25	0,690	0,440	2,27	0,70	0,810	0,110	9,09
0,30	0,710	0,410	2,44	0,75	0,835	0,085	11,75
0,35	0,728	0,378	2,64	0,80	0,855	0,055	18,20
0,40	0,740	0,340	2,94				

Rezolvare. Pentru rezolvare se utilizează ecuația (7-1) :

$$\ln \frac{m_F}{m_W} = \int_{\bar{x}_1}^{\bar{x}_2} \frac{d\bar{x}}{\bar{y}^* - \bar{x}}$$

Rezolvarea analitică a integralei nu este posibilă, deoarece forma analitică a dependenței lui \bar{y}^* de \bar{x} nu este cunoscută ; de aceea integrala se rezolvă grafic. În acest scop se construiește graficul $\frac{1}{\bar{y}^* - \bar{x}} = f(\bar{x})$ pentru amestecul alcool etilic-apă.

În figura 7-8 este construită curba, după datele din tabela 7-2.

Scara considerată :

$$\begin{aligned} \text{pe axa abscisei} & \dots\dots\dots 1 \text{ mm} = 0,02 \\ \text{pe axa ordonatei} & \dots\dots\dots 1 \text{ mm} = 0,2 \\ & 1 \text{ mm}^2 = 0,02 \times 0,2 = 0,004 \end{aligned}$$

Valoarea integralei în limitele de la $\bar{x}_1 = 0,6$ la $\bar{x}_2 = 0,05$ este redată prin suprafața hașurată. Această suprafață are valoarea de 403 mm².

De aici,

$$\int_{0,05}^{0,6} \frac{d\bar{x}}{\bar{y}^* - \bar{x}} = 403 \cdot 0,004 = 1,612^*$$

* Valoarea aproximativă a integralei se poate afla după formula trapezului — vezi Exemplul 4-21.

Prin urmare,

$$\ln \frac{m_F}{m_W} = 2,3 \lg \frac{m_F}{m_W} = 1,612$$

$$\frac{m_F}{m_W} = 5,01$$

Conform condițiilor, $m_F = 1\,000$ kg, deci,

$$m_W = \frac{1\,000}{5,01} = 200 \text{ kg}$$

Rezultă, masa distilatului,

$$m_D = m_F - m_W = 1\,000 - 200 = 800 \text{ kg}$$

Cantitatea de alcool rămasă în reziduu după distilare :

$$m_{al(w)} = m_W \cdot \bar{x}_W = 200 \cdot 0,05 = 10 \text{ kg}$$

Cantitatea de alcool trecută în distilat :

$$m_{al(D)} = m_D \cdot \bar{x}_D = 800 \cdot 0,6 - 10 = 590 \text{ kg}$$

Concentrația alcoolului în distilat, în % masă :

$$\bar{x}_D = \frac{m_{al(D)}}{m_D} 100 = \frac{590}{800} 100 = 73,7\%$$

Exemplul 7-8. În condițiile exemplului precedent să se calculeze consumul de abur de încălzire cu presiunea de 2 ata necesar pentru realizarea distilării. Amestecul care se distilă se introduce în blază preîncălzit pînă la temperatura de fierbere. Pierderile de căldură în mediul înconjurător se consideră 10% din cantitatea de căldură utilă consumată. Din diagrama $t-x$, y s-a găsit că temperatura la care începe distilarea, cînd amestecul conține 60% masă alcool este de 81°C , iar temperatura la sfîrșitul distilării, cînd amestecul conține 5% masă alcool este $94,9^\circ\text{C}$. Umiditatea aburului este 5%.

Rezolvare. Temperatura medie de distilare

$$t = \frac{81 + 94,9}{2} = 88^\circ\text{C}$$

Consumul de căldură pentru încălzirea amestecului inițial de la 81 la 88°C :

$$\begin{aligned} Q_1 &= (1\,000 \cdot 0,6 \cdot 3,35 \cdot 10^3 + \\ &+ 1\,000 \cdot 0,4 \cdot 4,19 \cdot 10^3)(88 - 81) = \\ &= 25\,800 \cdot 10^3 \text{ J} \end{aligned}$$

unde, $3,35 \cdot 10^3$ și $4,19 \cdot 10^3$ (J/kg·grd) sînt căldurile specifice ale alcoolului și apei (fig. XI).

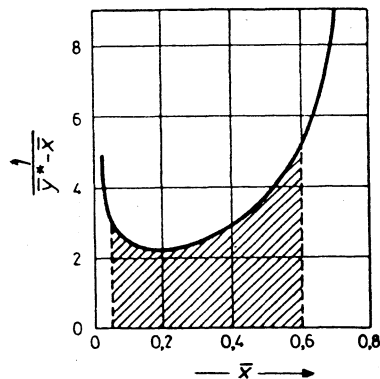


Fig. 7-8. Schița la exemplul 7-7.

Consumul de căldură pentru evaporare la 88°C :

$$Q_2 = 590 \cdot 855 \cdot 10^3 + (800 - 590) \cdot 2\,290 \cdot 10^3 = 985\,000 \cdot 10^3 \text{ J}$$

unde, $855 \cdot 10^3$ și $2\,290 \cdot 10^3$ (J/kg) sînt căldurile latente de vaporizare ale alcoolului și apei.

Consumul de căldură pentru încălzirea reziduului de la 88 la $94,9^\circ\text{C}$:

$$\begin{aligned} Q_3 &= (200 \cdot 0,05 \cdot 3,35 \cdot 10^3 + 200 \cdot 0,95 \cdot 4,19 \cdot 10^3)(94,9 - 88) = \\ &= 5\,700 \cdot 10^3 \text{ J} \end{aligned}$$

Consumul total de căldură cu considerarea pierderilor :

$$Q = (25\,800 + 985\,000 + 5\,700) \cdot 10^3 \cdot 1,1 = 1\,120\,000 \cdot 10^3 \text{ J}$$

Consumul de abur de încălzire :

$$m_{abur} = \frac{1\,120\,000 \cdot 10^3}{2\,208 \cdot 10^3 \cdot 0,95} = 535 \text{ kg}$$

unde, $2\,208 \cdot 10^3$ (J/kg) este căldura latentă de condensare a aburului de încălzire la presiunea de 2 ata.

Exemplul 7-9. La calculul unei coloane de rectificare cu talere și clopote se consideră distanța între talere egală cu 300 mm. Prin coloană trec $3\,200 \text{ m}^3/\text{oră}$ vapor. Densitatea vaporilor este $1,25 \text{ kg/m}^3$ (consumul de vapor și densitatea sînt date în condiții normale). Densitatea lichidului este 430 kg/m^3 . Să se calculeze diametrul necesar al coloanei dacă presiunea absolută în coloană este de 1,2 ata și temperatura medie, -40°C .

Rezolvare. Pentru a determina diametrul coloanei este necesar să se calculeze viteza de lucru a vaporilor în coloană.

Densitatea vaporilor în condiții de lucru :

$$\rho_v = \rho_0 \frac{T_0}{T} \cdot \frac{P}{P_0} = 1,25 \frac{273}{233} \cdot \frac{1,2}{1} = 1,75 \text{ kg/m}^3$$

conform ecuației (7-17, a),

$$w = C \sqrt{\frac{\rho_l}{\rho_v}} = 0,0315 \sqrt{\frac{430}{1,75}} = 0,495 \text{ m/s}$$

Valoarea $C = 0,0315$ s-a determinat din figura 7-2.

Debitul volumic al vaporilor în coloană, în condițiile de lucru :

$$V = V_0 \frac{T}{T_0} \cdot \frac{P_0}{P} \cdot \frac{1}{3\,600} = \frac{3\,200 \cdot 233}{273 \cdot 1,2 \cdot 3\,600} = 0,632 \text{ m}^3/\text{s}$$

Secțiunea coloanei :

$$A = \frac{V}{w} = \frac{0,632}{0,495} = 1,28 \text{ m}^2$$

De unde rezultă diametrul coloanei,

$$D = \sqrt{\frac{4A}{\pi}} = \sqrt{\frac{4 \cdot 1,28}{\pi}} = 1,275 \text{ m}$$

Din cataloage, se admite diametrul coloanei tipizate $D = 1\,200 \text{ mm}$.

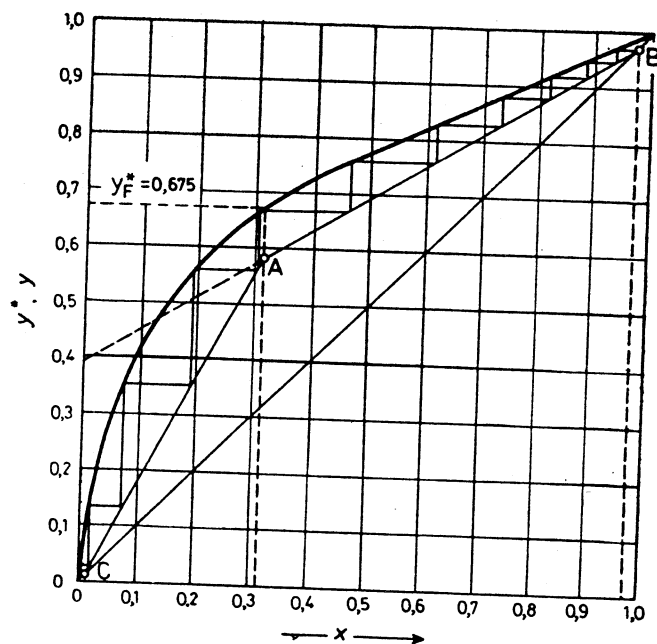


Fig. 7-9. Schița la exemplul 7-10.

Exemplul 7-10. Să se determine numărul de talere într-o coloană de rectificare cu funcționare continuă, pentru separarea amestecului metanol-apă la presiunea atmosferică. Conținutul de metanol în amestecul de alimentare este de 31,5% mol. Distilatul trebuie să se obțină cu un conținut de 97,5% mol metanol, iar în blază, reziduul să conțină 1,1% mol metanol. Coeficientul de variație a concentrației este 1,7. Coloana este echivalentă unei trepte de

Rezolvare. Se construiește curba de echilibru în coordonate $y^* - x$ după datele din tabela XLVII pentru amestecul de alcool metilic-apă, la presiunea totală, $P = 760$ mmHg (fig. 7-9).

Se calculează refluxul minim cu relația 7-10 :

$$R_{min} = \frac{x_D - y_F^*}{y_F^* - x_F} = \frac{0,975 - 0,675}{0,675 - 0,315} = 0,835$$

unde, valoarea $y_F^* = 0,675$ reprezintă compoziția vaporilor în echilibru cu lichidul de alimentare, determinată din curba de echilibru.

Refluxul real (de lucru) :

$$R = \beta \cdot R_{min} = 1,77 \cdot 0,835 = 1,48$$

Ecuția liniei de lucru pentru partea superioară a coloanei de rectificare :

$$y = \frac{1,48}{1,48 + 1} x + \frac{0,975}{1,48 + 1}$$

$$\text{sau, } y = 0,598 x + 0,393.$$

Exemple

323

Cu ordonata la origine 0,393, pe diagrama $y^* - x$ se trasează linia de lucru pentru partea superioară a coloanei AB. Prin punctele A și C se trasează linia de lucru pentru partea inferioară a coloanei.

Construind în același grafic linia în trepte (începând din punctul C) se determină numărul de trepte de variație a concentrației : în partea superioară, aproximativ 7, în partea inferioară aproximativ 4 ; în total, 11 trepte.

Numărul real de talere : în partea superioară, $1,7 \cdot 7 \sim 12$; în partea inferioară, $1,7 \cdot 4 \sim 7$; în total, 19 talere.

Exemplul 7-11. Să se construiască curba de echilibru pentru amestecul, tetraclorură de carbon CCl_4 — diclorura de sulf SCl_2 , la presiunea de 760 mmHg.

Rezolvare. În absența datelor experimentale, curba de echilibru se construiește pornind de la presupunerea că amestecul dat urmează legea lui Raoult.

Dependența între presiunea vaporilor saturați ai tetraclorurii de carbon și temperatură este prezentată în tabela 7-3.

Tabelul 7-3

$t, ^\circ\text{C}$	P, mmHg	$t, ^\circ\text{C}$	P, mmHg
40	214	70	621
50	315	75	715
65	580	80	843

Pentru SCl_2 există două puncte : temperatura de fierbere la presiunea de 760 mm Hg egală cu 59°C și temperatura de fierbere la presiunea de 400 mm Hg, egală cu 41°C .

Pentru a determina presiunea vaporilor saturați ai SCl_2 la alte temperaturi se utilizează legea liniarității.

Se calculează constanta pentru SCl_2 și apă considerată ca lichid etalon :

$$\frac{59 - 41}{100 - 83} = \text{const.} = 1,06$$

unde, 83°C — temperatura de fierbere a apei la presiunea de 400 mm Hg (tabela XXXVIII).

Temperaturile de fierbere ale SCl_2 la alte presiuni se pot determina cu relația :

$$59 - t = 1,06 (100 - \theta)$$

de unde : $t = 1,06 \cdot \theta - 47$

în care : t este temperatura de fierbere a SCl_2 , $^\circ\text{C}$.

θ — temperatura de fierbere a apei la aceeași presiune, $^\circ\text{C}$.

În tabela 7-4 se prezintă valorile temperaturii de fierbere a SCl_2 , calculate cu relația de mai sus, pentru diferite presiuni.

Tabelul 7-4

P, mmHg	$\theta, ^\circ\text{C}$	$t, ^\circ\text{C}$	P, mmHg	$\theta, ^\circ\text{C}$	$t, ^\circ\text{C}$
760	100	59	1 175	112,7	72,5
880	104,2	63,5	1 320	116,3	76,3
1 030	108,7	68,2	1 470	113,6	79,8

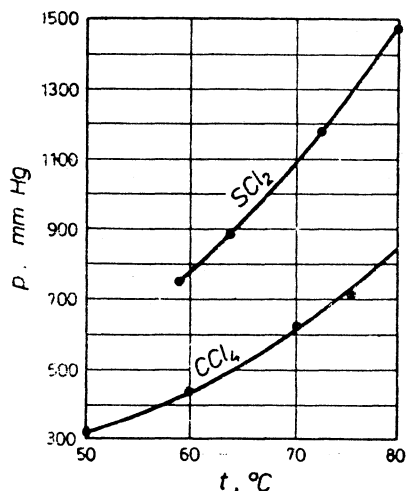


Fig. 7-10. Schița la exemplul 7-11.

să conțină 90% mol SCl_2 iar reziduul din blază 15% mol SCl_2 . Să se determine numărul necesar de talere, dacă unei trepte de variație a concentrației îi corespunde 1,7 talere. Să se determine, de asemenea, raportul cifrelor minime de reflux la începutul și la sfârșitul rectificării.

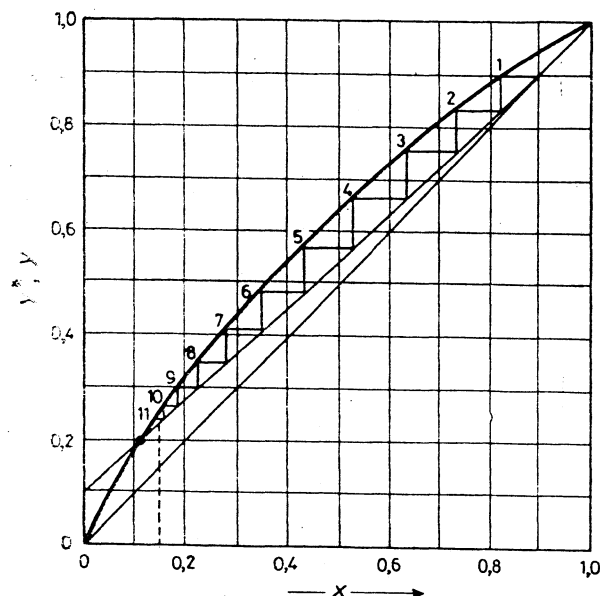


Fig. 7-11. Schița la exemplele 7-11 și 7-12.

În figura 7-10 se prezintă valorile presiunilor de vapori ale SCl_2 și CCl_4 în funcție de temperatură; valorile sînt determinate după datele din tabela 7-3 și 7-4.

Avînd datele asupra presiunii vaporilor saturați ai componentelor pure la diferite temperaturi, se poate construi diagrama de echilibru, aplicînd legea lui Raoult. Metodica de calcul este arătată la exemplul 7-4. În figura 7-11 este prezentată diagrama de echilibru, în coordonate $y^* - x$.

Exemplul 7-12. Într-o coloană de rectificare cu funcționare periodică se distilă la presiunea atmosferică un amestec lichid de tetraclorură de carbon CCl_4 și diclorură de sulf SCl_2 , conținînd 50% mol SCl_2 . Distilatul trebuie

Rezolvare. Se utilizează datele asupra echilibrului lichid-vapori pentru amestecul $\text{CCl}_4 - \text{SCl}_2$ obținute în exemplul precedent.

Cu relația (7-10) se calculează refluxul minim R_{min} pentru momentul final al rectificării, cînd lichidul din blază conține 15% SCl_2 ,

$$R_{min} = \frac{x_D - y_F^*}{y_F^* - x_F} = \frac{0,9 - 0,25}{0,25 - 0,15} = 6,5.$$

În această relație, 0,25 reprezintă fracția molară a SCl_2 în vaporii în echilibru cu reziduul din blază ce conține 15% SCl_2 — determinată din diagrama de echilibru.

Raportul real de reflux se consideră cu 20% mai mare decît refluxul minim :

$$R = 1,2 R_{min} = 1,2 \cdot 6,5 = 7,8.$$

Ecuția liniei de lucru pentru momentul final al rectificării :

$$y = \frac{7,8}{7,8 + 1} x + \frac{0,9}{7,8 + 1}$$

sau

$$y = 0,887 x + 0,102$$

Se trasează linia de lucru și se determină grafic numărul de trepte de variație a concentrației. După cum rezultă din figura 7-11, la un raport de reflux $R = 7,8$ corespund 11 trepte.

Numărul real de talere necesar rectificării :

$$n = 1,7 \cdot 11 \approx 19$$

Pentru momentul inițial al rectificării cînd $x_F = 0,5$, refluxul minim este :

$$R'_{min} = \frac{0,9 - 0,64}{0,64 - 0,5} = 1,86$$

unde $y_F^* = 0,64$, rezultă din diagrama de echilibru (fig. 7-11).

Raportul cifrelor minime de reflux în momentul final și inițial al rectificării :

$$\frac{R_{min}}{R'_{min}} = \frac{6,5}{1,86} = 3,5.$$

Exemplul 7-13. Să se construiască diagrama $I - x$ în domeniul vaporilor saturați, pentru amestecul $\text{CH}_4 - \text{N}_2$ la presiunea totală de 10 ata.

Rezolvare. Metodica de construcție și utilizarea diagramei $I - x$, vezi [6-1, 11-7].

Pentru determinarea compozițiilor de echilibru la sistemul $\text{CH}_4 - \text{N}_2$ se utilizează date experimentale.

Din diagrama $I - \lg P$ pentru N_2 și CH_4 se determină entalpiile componentelor pure pentru 1 kmol vapori în limitele de temperatură corespunzătoare sistemului $\text{CH}_4 - \text{N}_2$ la 10 ata (tabela 7-5).

Tabelul 7-5

T, K	Vapori		Lichid	
	CH ₄	N ₂	CH ₄	N ₂
	kJ/kmol	kJ/kmol	kJ/kmol	kJ/kmol
170	11 100	9 420	4 690	—
160	10 700	9 100	3 930	—
150	10 270	8 800	3 310	—
145	—	8 640	3 040	—
140	—	8 480	2 820	—
135	—	8 330	2 550	—
130	—	8 160	2 310	—
125	—	7 990	2 050	—
120	—	7 810	1 830	—
115	—	7 630	1 580	3 460
110	—	7 420	1 360	3 160
105	—	7 210	—	2 890
100	—	—	—	2 610

considerînd că raportul $\Delta I/\Delta T$ în domeniul extrapolat are aceeași valoare ca și peste 150 K. Se obțin astfel izoterme ale vaporilor pînă la 100 K, adică pînă la temperatura de condensare a azotului pur la 10 at. În figura 7-12 sînt reprezentate cîteva izoterme ale vaporilor, construite în acest mod începînd cu izoterma de 145 K.

În continuare, utilizînd valorile de echilibru în sistemul CH₄—N₂, se determină temperaturile de început de condensare ale diferitelor amestecuri în stare de vapori și se trec punctele corespunzătoare în diagrama I—x. Unind punctele găsite se obține curba de condensare. Analog se construiesc și izotermele pentru lichid. Problema se complică deoarece o parte din temperaturile de echilibru sînt superioare temperaturii critice a azotului (126 K) și prin urmare nu este posibilă determinarea entalpiei azotului lichid la aceste temperaturi. În acest caz se poate proceda în felul următor: se calculează căldura specifică medie a azotului lichid, de exemplu, în intervalul 110–120 K și se admite că și mai departe, la temperaturi superioare celei critice, căldura specifică a azotului în amestec rămîne constantă. O parte din izotermele astfel construite pentru lichid sînt reprezentate cu linie punctată în figura 7-12 (în domeniul de saturație).

Ipoteza admisă nu poate duce la erori mari, deoarece izotermele corespunzătoare temperaturilor ridicate (peste 125 K) eroarea este minimă, întrucît aceste izoterme intersectează curba de fierbere la construcții mari ale metanului, a cărui entalpie este determinată cu exactitate. De aceea, această abatere rezultată din determinarea imprecisă a entalpiei azotului are o influență neînsemnată în continuare, din cauza concentrației sale reduse. Pentru izotermele corespunzătoare temperaturilor scăzute (sub 125 K) entalpiile azotului lichid sînt determinate cu exactitate.

Pe baza datelor asupra echilibrului de fază în sistemul CH₄—N₂ se trec pe diagramă punctele de început de fierbere pentru amestecuri lichide de diferite compoziții obținîndu-se prin unirea acestor puncte curba de fierbere

Se construiește rețeaua diagramei: pe abscisă se trece conținutul în N₂, pe ordonată, entalpia în kJ/kmol (fig. 7-12).

Apoi se trasează pe ordonată entalpiile componentelor pure (N₂ și CH₄) în stare gazoasă la temperaturile de 170, 160 și 150 K. Unind aceste puncte prin drepte se obțin izotermele corespunzătoare. Căldura de amestec se consideră nulă.

Sub temperatura de 150 K metanul nu mai poate fi în stare gazoasă la presiunea de 10 ata.

Se extrapolează entalpiile CH₄ și sub aceste temperaturi

în diagrama I—x. În domeniul de saturație (între cele două curbe) se duc izoterme de legătură (se unesc puncte reprezentînd compoziții ale lichidului de pe curba de fierbere, cu puncte corespunzătoare compoziției vaporilor în echilibru, de pe curba de condensare). În acest fel este finalizată construcția diagramei I—x.

Exemplul 7-14. Într-o coloană de rectificare cu funcționare continuă se introduce un amestec ce conține 30% mol CH₄ și 70% mol N₂. Amestecul se introduce cu un debit de 1 000 m³/oră în stare de vapori la presiunea de 10 ata și la temperatura de saturație. În cadrul acestui exemplu debitele volumetrice (m³/oră) sînt date în condiții normale (0°C și 760 mm Hg).

În urma rectificării în coloană se produce în stare gazoasă o fracțiune de metan, cu un conținut de 3% N₂ și o fracțiune de azot cu un conținut de 5% CH₄.

Utilizînd diagrama I—x se cere să se determine:

a) cantitatea de fracțiuni obținute; b) raportul minim de reflux, R_{min} ; c) numărul treptelor de variație a concentrației la un coeficient de exces al refluxului de 1,25; d) cantitatea de căldură cedată în deflegmatorul coloanei; e) cantitatea de căldură consumată în blaza coloanei (în cazul în care fracțiunea metanică se evacuează din blază în stare lichidă).

Rezolvare. Se utilizează diagrama de echilibru pentru sistemul CH₄—N₂ la presiunea de 10 ata în coordonate I—x, construită în cadrul exemplului anterior.

a) pentru a determina cantitățile din fracțiunile obținute, în partea superioară a diagramei (fig. 7-13) se construiește linia dreaptă III—I—II; punctul I caracterizează amestecul inițial (70% N₂), punctul II — fracțiunea de azot (95% N₂) și punctul III — fracțiunea de metan (3% N₂).

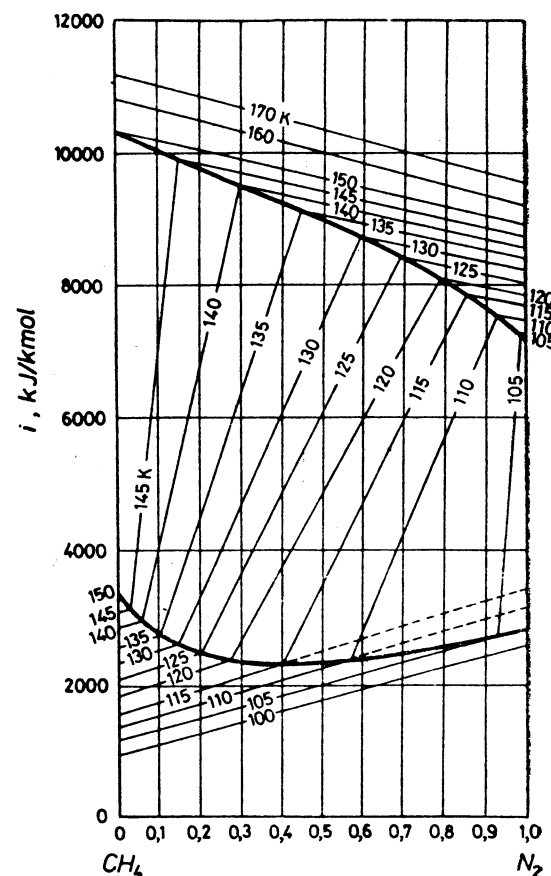


Fig. 7-12, Schița la exemplul 7-13.

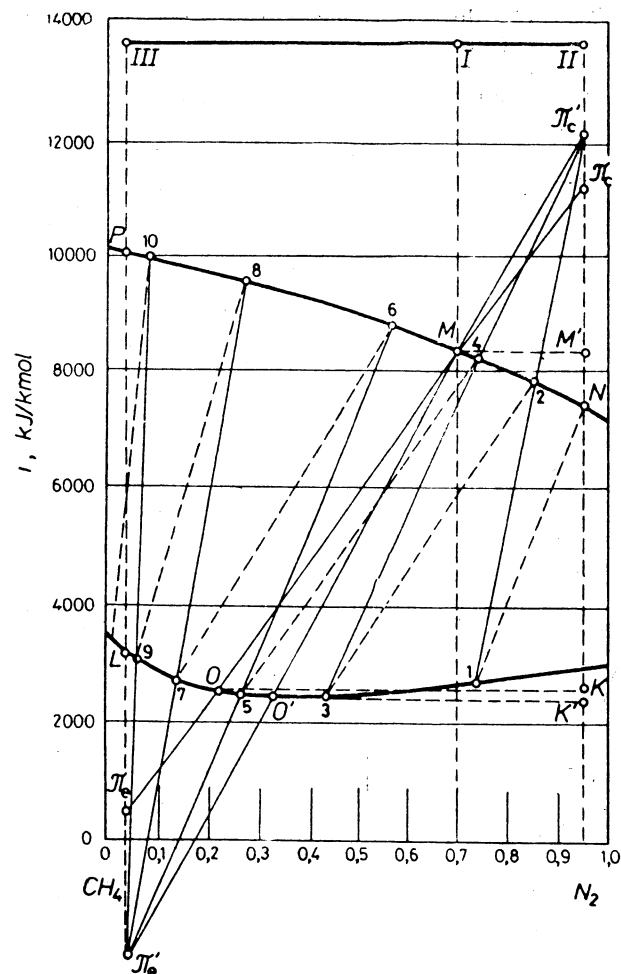


Fig. 7-13. Schița la exemplul 7-14.

Raportul segmentelor $\frac{I - II^2}{III - II} = \frac{0,95 - 0,7}{0,95 - 0,03}$ dă fracțiunea metanică obținută dintr-un kmol amestec inițial.

Cantitatea din fracțiunea metanică:

$$V_{CH_4} = \frac{0,25}{0,92} 1000 = 272 \text{ m}^3/\text{oră}.$$

Cantitatea din fracțiunea azotică:

$$V_{N_2} = 1000 - 272 = 728 \text{ m}^3/\text{oră};$$

b) se calculează R_{min} . Punctul M reprezintă starea amestecului inițial introdus pentru separare. Acest punct trebuie să se găsească pe dreapta principală care unește polii părților de concentrare și de epuizare ai coloanei. Pentru a determina poziția polului π_c al părții de concentrare în condițiile refluxului minim se duce izoterma care trece prin punctul M (MO) și se prelungește această linie pînă cînd intersectează verticala dusă la valoarea concentrației impuse a fracțiunii de azot, în punctul π_c . Analog, pentru zona de epuizare rezultă polul π_e , de asemenea în condiție, R_{min} .

Raportul segmentelor:

$$\frac{MM'}{OK} = \frac{c^{M'}}{c^K} = \frac{R_{min}}{R_{min} + 1}$$

În cazul de față,

$$\frac{MM'}{OK} = \frac{0,95 - 0,7}{0,95 - 0,217} = 0,341 = \frac{R_{min}}{R_{min} + 1}$$

Rezultă

$$R_{min} = 0,518.$$

Raportul real de reflux este

$$R = 1,25 R_{min} = 1,25 \cdot 0,518 = 0,647.$$

Se determină poziția polului real π'_c , corespunzător raportului de reflux $R = 0,647$.

Pentru aceasta, din raportul:

$$\frac{MM'}{O'K'} = \frac{R}{R + 1}$$

se determină valoarea segmentului $O'K'$

$$O'K' = MM' \frac{R + 1}{R} = \frac{(0,95 - 0,7) \cdot 1,647}{0,647} = 0,637$$

și apoi, abscisa punctului O'

$$0,95 - 0,637 = 0,313.$$

Ducînd o dreaptă prin punctele M și O' pînă la intersecția cu verticalele ale căror abscise sînt x_D și x_W , se obține dreapta principală pentru $R = 0,647$. Punctele de intersecție ale acestei drepte cu verticalele marchează pozițiile polilor π'_c și π'_e .

c) se determină pe cale grafică numărul treptelor de variație a concentrației. Compoziția lichidului în echilibru cu vaporii conținînd 95% N_2 (punctul N) este dată de punctul 1 , legat de N , prin izoterma $1 - N$. Se trasează apoi raza $1 - \pi'_c$, care intersectează curba vaporilor în 2 . Din punctul 2 se repetă aceeași construcție pînă cînd se obține punctul 5 pe curba lichidului, în stînga dreptei principale. În continuare construcția se

continuă folosind polul inferior π'_e . Numărul izotermelor rezultate prin această construcție reprezintă numărul treptelor de variație a concentrației. Astfel s-au obținut:

— în zona de concentrare (deasupra talerului de alimentare) două trepte (ceva mai mult);

— în zona de epuizare (sub talerul de alimentare) patru trepte (ceva mai puțin);

d) cantitatea de căldură cedată în deflegmator se determină din diferența entalpiilor în punctele π'_e și N , respectiv,

$$q_d = 12\,230 - 7\,330 = 4\,900 \text{ kJ/kmol.}$$

Deoarece în urma rectificării se obțin 728 m³/h fracțiune azotică, cantitatea totală de căldură cedată în deflegmator este:

$$Q_d = 4\,900 \frac{728}{22,4} = 159\,000 \text{ kJ/oră} = \frac{159\,000 \cdot 10^3}{3\,600} = 44\,200 \text{ W;}$$

e) cantitatea de căldură primită în blaza coloanei $q_{blază}$ dacă fracțiunea metanică se evacuează în stare gazoasă se determină din diferența entalpiilor în punctele P și π'_e . La evacuarea fracțiunii metanice însă în stare lichidă nu se mai ia în considerare consumul de căldură pentru vaporizarea lichidului; în acest caz consumul de căldură $q_{blază}$ se determină din diferența entalpiilor în punctele L și π'_e , ceea ce reprezintă 5 151 kJ pentru 1 kmol fracțiune metanică.

Cantitatea totală de căldură consumată în blaza coloanei:

$$Q_{blază} = \frac{5\,150 \cdot 10^3}{3\,600} \cdot \frac{272}{22,4} = 17\,300 \text{ W.}$$

Exemplul 7-15. Să se determine înălțimea și diametrul părții superioare (de concentrare) a unei coloane de rectificare cu umplutură, pentru separarea amestecului de alcool metilic-apă la presiunea atmosferică.

În coloană se introduce 1 500 kg/oră amestec inițial, alcătuit din 40% alcool și 60% apă. Concentrația distilatului 97,5% alcool. În blază reziduul conține 2% alcool (concentrațiile se exprimă în procente molare). Raportul real de reflux $R = 1,48$. Ca material de umplutură se utilizează inele de 25 × 25 × 3 mm. Coloana lucrează în regim de emulsionare. Încălzirea se face cu abur indirect.

Rezolvare. Cînd coloana de rectificare cu umplutură lucrează în regim de înecare viteza vaporilor se calculează cu relația (6-35), $A = -0,125$.

$$\lg \left(\frac{w^3 \cdot \sigma \cdot \rho_v \cdot \eta_v^{0,16}}{g \cdot V_1^3 \cdot \rho_l} \right) = -0,125 - 1,75 \left(\frac{m_l}{m_v} \right)^{0,25} \cdot \left(\frac{\rho_v}{\rho_l} \right)^{0,125}$$

În cazul de față:

$\sigma = 204 \text{ m}^2/\text{m}^3$ (tab. XVII) — suprafața specifică a umpluturii;

$V_1 = 0,74 \text{ m}^3/\text{m}^3$ (tab. XVII) — volumul liber al umpluturii.

$$\frac{m_l}{m_v} = \frac{R}{R+1} = \frac{1,48}{2,48} = 0,6.$$

Compoziția medie a lichidului:

$$x_m = \frac{x_F + x_D}{2} = \frac{40 + 97,5}{2} = 70\% \text{ (mol) alcool}$$

$\rho_l \approx 840 \text{ kg/m}^3$ — densitatea lichidului;

$\eta_l \approx 0,5 \cdot 10^{-3} \text{ N} \cdot \text{s/m}^2$ (Pa·s) — viscozitatea lichidului.

Compoziția medie a vaporilor:

$$y_m = \frac{y_F + y_D}{2} = \frac{63 + 97,5}{2} = 80\% \text{ (mol) alcool.}$$

Aici $y_F = 63\%$ mol reprezintă conținutul în alcool al vaporilor la intrarea în zona de concentrare a coloanei (fig. 7-9; în cazul exemplului 7-10, linia de lucru a părții de concentrare a coloanei are aceeași poziție ca în cazul de față). Temperatura medie la partea superioară a coloanei este aproximativ 72°C. În aceste condiții densitatea vaporilor este:

$$\rho_v = \frac{[M_{alc} \cdot y_m + M_{ape}(1 - y_m)]T_0}{22,4 \cdot T} = \frac{(0,8 \cdot 32 + 0,2 \cdot 18) \cdot 273}{22,4 \cdot 345} = 1,03 \text{ kg/m}^3;$$

$\rho_v = 1,11 \cdot 10^{-5} \text{ N} \cdot \text{s/m}^2$ (Pa·s) — viscozitatea vaporilor.

Înlocuind aceste valori în relația (6-35) se obține:

$$\lg \left(\frac{w^3 \cdot 204 \cdot 1,03 \cdot 0,5^{0,16}}{9,81 \cdot 0,74^3 \cdot 840} \right) = -0,125 - 1,75 \cdot 0,6^{0,25} \left(\frac{1,03}{840} \right)^{0,125} \cdot \lg (0,0565 w^2) =$$

$$= 0,788$$

de unde $w = 1,7 \text{ m/s}$.

Înălțimea echivalentă talerului teoretic h_e în cazul coloanelor cu umplutură se calculează cu relația (7-23):

$$h_e = 5,2 d_e \cdot \text{Re}_v^{0,2} \left(\frac{m_v}{m_l} \right)^{0,35} \left(\frac{\rho_l}{\rho_v} \right)^{0,2} \frac{\lg \frac{m_l}{n \cdot m_v}}{1 - \frac{n \cdot m_v}{m_l}} =$$

$$= 5,2 \frac{4V_1}{\sigma} \left(\frac{4 \cdot w \cdot \rho_v}{\sigma \cdot \eta_v} \right)^{0,2} \cdot \left(\frac{R+1}{R} \right)^{0,35} \cdot \left(\frac{\rho_l}{\rho_v} \right)^{0,2} \cdot \frac{\lg \frac{R}{n(R+1)}}{1 - \frac{n(R+1)}{R}} =$$

$$= \frac{5,2 \cdot 4 \cdot 0,74}{204} \left(\frac{4 \cdot 1,7 \cdot 1,03}{204 \cdot 1,11 \cdot 10^{-5}} \right)^{0,2} \cdot \left(\frac{2,48}{1,48} \right)^{0,35} \cdot \left(\frac{840}{1,03} \right)^{0,2} \cdot \frac{\lg \frac{1,48}{0,45 \cdot 2,48}}{1 - \frac{0,45 \cdot 2,48}{1,48}} = 0,86 \text{ m.}$$

După cum rezultă din figura 7-9, numărul treptelor de variație a concentrației în limitele de la $x_D = 0,975$ la $x_F = 0,4$ este în jur de 6,4*.

* La o construcție mai exactă la o scară mai mare, numărul treptelor de variație a concentrației se obține cu puțin mai mare de 7.

Prin urmare înălțimea necesară a stratului de umplutură este conform relației 6-43):

$$H_u = h_e \cdot n_t = 0,86 \cdot 6,4 = 5,5 \text{ m.}$$

Pentru a determina diametrul coloanei se calculează în prealabil debitul distilatului. Debitul molar al alimentării:

$$m_F = \frac{m'_F}{x_F \cdot M_{a1c} + (1 - x_F) M_{a2a}} = \frac{1500}{0,4 \cdot 32 + 0,6 \cdot 18} = 63,6 \frac{\text{kmol}}{\text{oră}}$$

Din relațiile bilanțului de materiale al coloanei,

$$m_D + m_W = 63,6$$

$$0,975 m_D + 0,02 m_W = 0,4 \cdot 63,6$$

rezultă debitul de distilat, $m_D = 25,3 \text{ kmol/oră}$.

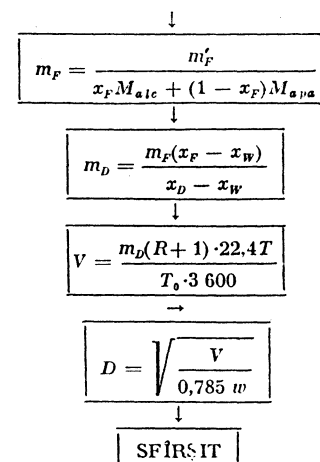
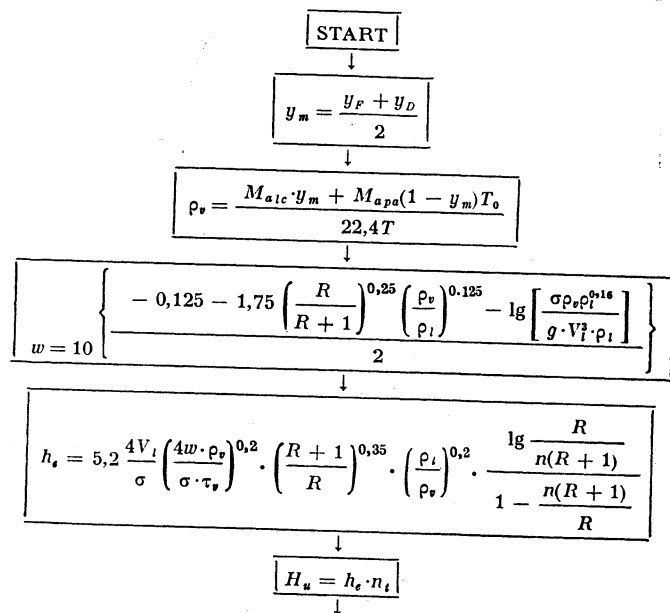
Debitul volumetric al vaporilor în zona de concentrare a coloanei:

$$V = \frac{m_D(R+1) \cdot 22,4T}{T_0 \cdot 3600} = \frac{25,3(1,48+1)22,4 \cdot 345}{273 \cdot 3600} = 0,493 \text{ m}^3/\text{s.}$$

Diametrul necesar al coloanei,

$$D = \sqrt{\frac{V}{w \cdot 0,785}} = \sqrt{\frac{0,493}{1,7 \cdot 0,785}} = 0,61 \text{ m.}$$

Schema bloc a algoritmului de calcul pentru rezolvarea exemplului 7-15



Tabelul 7-6

Valoarea	y_c	y_F	y_D	p	T_0	M_{a1c}	M_{a2a}	T	u	R	l	l	
Identificator	YM	YF	YD	RV	TN	MALC	MAPA	T	W	R	RL	SIGMA	EL
V_1	h_e	V	n	Hu	n_t	m_F	m_F'	x_F	m_D	x_w	x_D	V	D
VL	HE	EV	N	HU	NT	MF	MFI	XF	MD	XW	XD	V	D

1 FORMAT (E 10.2)

3 FORMAT (30X, 'DATE ÎNȚIALE',/10X, ((5E10.23X))

READ1, YF, YD, TN, MALC, MAPA, T, RL, SIGMA, EL,

*VL, EV, N, NT, MF1, XF, XW, XD, R

WRITE3, YF, YD, TN, MALC, MAPA, T, RL, SIGMA, EL,

*VL, EV, N, NT, MF1, XF, XW, XD, R

YM = (YF + YD) * 5

RV = (MALC * YM + MAPA * (1 - YM)) * TN / (22.4 * T)

W = 10 * ((-0.125 - 1.75 * (R / (R + 1))) * 25 * (RV / RL) * 125 -

*ALOG (SIGMA * RV * EL * 16 / 9.81 / VL * 3 / RL) / 2.)

HE = 5.2 * 4 * VL * (4 * W * RV / SIGMA / EV) * 2 * ((R + 1) / R) * 35 * *

*(RL / RV) * 2 * ALOG(R / M / (R + 1)) / (1 - M * (R + 1) / R) / SIGMA

HN = HE * NT

MF = MF1 / (XF * MALC + (1 - XF) * MAPA)

MD = MF * (XF - XW) / (XD - XW)

V = MD * (R + 1) * 22.4 * T / TN / 3600.

D = SQRT(V / 0.785 / W)

WRITE 4 HU D

4 FORMAT (10X 'REZULTATELE CALCULULUI',/10X, 'HU=', E12.4,
*D=' E12.4)
STOP

END

VALORILE OBTINUTE PE CALCULATOR SÎNT URMĂTOARELE:

0,63, 0,975, 273., 32., 18., 345., 840., 204., 0,5,
0,74, 0,0000111, 0,45, 6,4, 1500., 0,4, 0,02, 0,975, 1,48

REZULTĂ, CĂ VALORILE NUMERICE OBTINUTE SE POT SCRIE
ÎN FORMA :

DATE ÎNȚIALE

YF = 0,63 YD = 0,975 TN = 273, MALC = 32, MAPA = 18,

T = 345. RL = 840, SIGMA = 204, EL = 0.5 VL = 0.74

EV = 0.0000111 N = 0.45 NT = 6.4 MF1 = 1500. XF = 0.4

XW = 0.02 XD = 0,975 R = 1,48

REZULTATELE CALCULULUI

HU = 5.5 D = 0.61

Exemplul 7-16. Într-o coloană de rectificare cu funcționare continuă se separă la presiunea atmosferică un amestec de alcool etilic-apă, conținând 25% mol alcool etilic. Concentrația cerută a distilatului este 80% mol iar conținutul de alcool în reziduul din blază nu depășește 0,1% mol. În blaza coloanei se introduce abur direct. Să se determine raportul real de reflux și debitul molar al materiei prime, a aburului de încălzire și a reziduului din blază raportate la 1 kmol distilat. Să se traseze liniile de operare pe diagrama $y - x$.

Rezolvare. În figura 7-14 se prezintă schema fluxurilor de materiale (debite molare relative) în coloana de rectificare în blaza căreia se introduce abur direct. Din ecuațiile bilanțului de materiale al coloanei :

$$F + V = 1 + W$$

$$Fx_F = x_D + Wx_W$$

la $W = F + R$ se obține :

$$F = \frac{x_D + Rx_W}{x_F - x_W}$$

$$W = \frac{x_D + Rx_F}{x_F - x_W}$$

$$V = R + 1.$$

Ecuația liniilor de lucru :

— pentru partea superioară (de concentrare),

$$y = \frac{R}{R+1} x + \frac{x_D}{R+1}$$

— pentru partea inferioară (de epuizare),

$$y = \frac{R+F}{R+1} x - \frac{F-1}{R+1} x_W$$

În aceste relații :

$$F = \frac{m_F}{m_D}; \quad W = \frac{m_W}{m_D}; \quad V = \frac{m_V}{m_D}$$

m_F, m_D, m_W, m_V — debite molare ale alimentării, distilatului, reziduului și vaporilor, kmol/s.

Linia de lucru a părții superioare este aceeași ca și în cazul încălzirii coloanei cu abur indirect — vezi, exemplul (7-6) ; ea intersectează diagonală diagrama $y - x$, la $x = x_D$ și ordonata la $y = \frac{x_D}{R+1}$.

Linia de lucru a părții inferioare intersectează abscisa la $x = x_W$. Ambele linii de lucru se intersectează la $x = x_F$.

Se calculează raportul de reflux cu relația (7-12) :

$$R = 1,3 R_{min} + 0,3.$$

Curba de echilibru construită după datele din literatură [7-4] au un punct mai coborît, D (fig. 7-15). Pentru a determina pe R_{min} , din punctul A se duce tangenta AB, în punctul D la curba de echilibru. Tangenta AB determină la intersecția cu ordonata, segmentul $OB = 37,5$. Rezultă,

$$\frac{x_D}{R_{min} + 1} = 0,375 \text{ și } R_{min} = \frac{0,8 - 0,375}{0,375} = 1,13$$

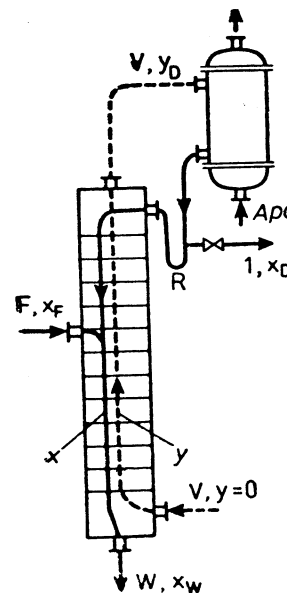


Fig. 7-14. Schița la exemplul 7-16.

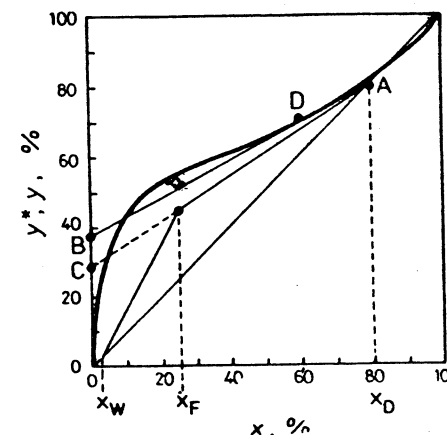


Fig. 7-15. Schița la exemplul 7-16.

Raportul real de reflux este :

$$R = 1,3 \cdot 1,13 + 0,3 = 1,77.$$

Segmentul determinat de intersecția cu ordonata a liniei de lucru la $R = 1,77$ este :

$$\overline{OC} = \frac{x_D}{R+1} = \frac{0,8}{1,77+1} = 0,289.$$

Din punctul C se duce linia de lucru AC (fig. 7-15) (în figură punctul x_W , aflat pe axa abscisei nu este fixat la scară). Se calculează debitele raportate la 1 kmol de distilat :

$$F = \frac{x_D + Rx_W}{x_F - x_W} = \frac{80 + 1,77 \cdot 0,1}{25 - 0,1} = 3,21$$

$$W = \frac{x_D + R \cdot x_F}{x_F - x_W} = \frac{80 + 1,77 \cdot 25}{24,9} = 4,98$$

$$V = R + 1 = 1,77 + 1 = 2,77.$$

Se verifică bilanțul de materiale :

$$F + V = 1 + W$$

$$3,21 + 2,77 = 1 + 4,98.$$

Debitul aburului introdus direct în blază se deduce din ecuația bilanțului termic al coloanei, avind următoarea formă :

$$[m'_{ab} \cdot i'_{ab} + m'_F \cdot c_F \cdot t_F = Q_{cond} + m'_D \cdot c_D \cdot t_D + m'_W \cdot c_W \cdot t_W + Q_p]$$

în care, m'_{ab} , m'_F , m'_D , m'_W — debite de masă ale aburului, amestecului inițial, distilatului și reziduului, kg/s ;

$$m'_W = m'_{ab} + m'_F - m'_D$$

c_F , c_D , c_W — căldurile specifice corespunzătoare, J/kg·grd ;

t_F , t_D , t_W — temperaturile, °C ;

i'_{ab} — entalpia aburului, J/kg ;

Q_{cond} — căldura cedată apei de răcire în condensator, W ; (ecuația 7-15) ;

Q_p — pierderile de căldură în mediul înconjurător, W.

Exemplul 7-17. Într-o coloană de rectificare cu talere, în care se introduce pentru separare un amestec lichid, conținând 51,5% mol component ușor volatil, se cere să se obțină un distilat cu concentrația de 97,5% mol. Din date experimentale coeficientul de îmbogățire al talerului, ϵ_0 [ecuația (7-21)] pentru amestecul dat, în intervalul de concentrații 50—100% mol practic nu depinde de compoziția lichidului și pentru o viteză dată a vaporilor are valoarea 0,5 (aceeași pe toate talerele). Să se determine numărul necesar de talere în partea superioară a coloanei, în două moduri : a) prin numărul de trepte de variație a concentrației considerind că eficacitatea

medie [ecuația (7-19)] este aceeași ca și eficacitatea individuală a talerelor ; b) prin construcția directă a numărului de talere reale, considerind $\epsilon_0 = 0,5$ (metoda curbei cinetice).

Rezolvare. În figura 7-16 este reprezentată zona de vîrf a diagramei $y - x$. AB — linia de lucru a părții superioare a coloanei ;

a) se determină numărul de trepte de variație a concentrației ; n_t , construite începînd din punctul A (punctat). Se obțin $n_t = 2$ talere, iar cu ecuația (7-19) se obține : $n = \frac{n_t}{\epsilon} =$

$$= \frac{2}{0,5} = 4 \text{ talere ;}$$

b) se construiește începînd din același punct A linia în trepte corespunzînd talerelor reale, pentru care $\epsilon_0 = 0,5$ adică împărțim în două segmentul vertical între curba de echilibru și liniile de lucru. În acest mod se obține $n = 6$.

Rezultatele obținute pe cele două căi nu sînt identice. Cea de a doua metodă dă rezultate mai exacte.

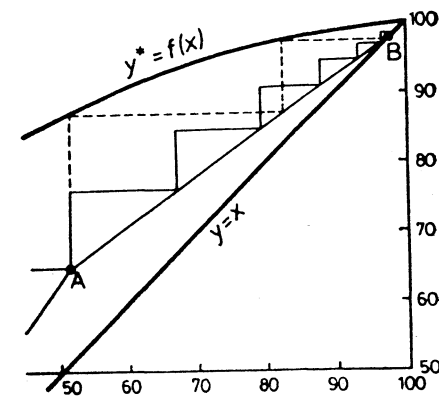


Fig. 7-16. Schița la exemplul 7-17.

7.3. PROBLEME

7-1. Crezolul ($\text{CH}_3\text{C}_6\text{H}_4\text{OH}$) se supune distilării cu vapori de apă, a) la presiune atmosferică, b) la presiune de 300 mm Hg. Să se determine : temperatura de distilare ; compoziția în fracție de masă a amestecului obținut ; procentul volumetric al crezolului în vapori și presiunea sa parțială. Se consideră $\phi = 0,8$. Presiunea vaporilor saturați ai crezolului — vezi figura XIV (m-crezol).

7-2. Glicerina se purifică prin distilare cu abur supraincălzit la temperatura de 230°C sub un vid de 590 mm Hg. Gradul de saturare al vaporilor de apă cu glicerină este 0,75. Să se determine debitul de abur care iese împreună cu o tonă de glicerină. Amestecul inițial se introduce la temperatura de fierbere. Aparatul este prevăzut cu încălzire exterioară. Care este compoziția amestecului de vapori, dacă se modifică vidul la 620 mm Hg. Temperatura de fierbere a glicerinei pure la 760 mm Hg este de 290°C iar la presiunea de 50 mm Hg este de 205°C. Se utilizează regula liniarității. Ca lichid standard se ia apa (tab. XXXVIII).

7-3. Amestecul de benzen și toluen fierbe la temperatura de 95°C sub presiunea de 760 mm Hg. La 95°C presiunea vaporilor saturați ai benzenului $P_B = 1167$ mm Hg ; presiunea vaporilor saturați ai toluenului $P_T = 480$ mm Hg. Să se calculeze compoziția care fierbe, considerind că amestecul urmează legea lui Raoult.

Dacă lichidul ar conține de două ori mai puțin toluen, la ce presiune va fierbe la aceeași temperatură ?

7-4. Să se calculeze compozițiile la echilibru ale lichidului și vaporilor, pentru amestecul alcool metilic-apă la temperatura de 50°C : a) la presiunea de 300 mm Hg, b) la presiunea de 500 mm Hg considerind că amestecul urmează legea lui Raoult.

Să se explice rezultatul obținut pentru cazul b).

7-5. Să se construiască curba de echilibru $y^* - x$, la presiunea totală de 2 ata pentru amestecul de hexan—heptan, considerind că se aplică legea lui Raoult. Presiunea vaporilor saturați ai componentilor puri se va lua din nomogramă (fig. XIV).

7-6. Să se determine compoziția vaporilor în echilibru cu amestecul lichid ce conține 10% mol apă, 50% mol acid acetic și 40% mol acetona, la $t = 80^\circ\text{C}$, considerând că amestecul urmează legea lui Raoult.

7-7. 1 000 kg amestec binar de benzen—toluen conținând 30% masă benzen se supune distilării simple la presiunea atmosferică. Să se determine cantitatea și compoziția distilatului, dacă conținutul de benzen în reziduul din blază este de 18% masă. Se utilizează datele din tabelul 7-1.

7-8. 2 600 kg amestec de acid acetic și apă se supune distilării simple la presiunea atmosferică. Amestecul inițial conține 10% mol acid acetic iar reziduul 50% mol acid acetic. Să se determine masa reziduului și distilatului și compoziția distilatului. Datele asupra compozițiilor la echilibru se iau din tabela XLVII.

7-9. Într-o coloană de rectificare cu funcționare continuă se introduce un lichid cu un conținut de 24% mol component ușor volatil. Concentrația distilatului este de 95% mol, iar a reziduului din blază, 3% mol component ușor volatil. În deflegmator se introduc 850 kmol/oră vapori iar în coloană se reintroduc din deflegmator 670 kmol/oră reflux. Care este cantitatea de reziduu obținut în blază?

7-10. Să se determine pe cale analitică abscisa punctului de intersecție a liniilor de lucru a coloanei de rectificare între ele și cu diagonală diagramei $x - y$.

7-11. Într-o coloană de rectificare cu funcționare continuă, distilă un amestec de alcool etilic—apă. Ecuația liniei de lucru pentru partea inferioară a coloanei este, $y = 1,28x - 0,0143$. Să se determine conținutul de alcool în reziduul extras din blază, exprimat în procente masă. Coloana este încălzită cu abur indirect.

7-12. O coloană de rectificare cu funcționare continuă prelucrează un amestec de benzen și clorofom. La rectificare se obține un distilat care conține 95% masă component ușor volatil. Lichidul de alimentare conține 40% masă din același component. Să se determine tangenta unghiului de înclinare a liniei de operare pentru partea superioară a coloanei, dacă se lucrează cu un raport de reflux de două ori mai mare decât cel minim necesar. Datele asupra compozițiilor la echilibru sînt prezentate în tabela XLVII.

7-13. Într-o coloană de rectificare cu funcționare continuă distilă la presiunea atmosferică, 340 kmol/oră amestec apă—acid acetic. Ordonata punctului de intersecție a liniilor de operare este 0,48. Ecuația liniei de operare pentru partea superioară a coloanei este $y = 0,84x + 0,15$. Cantitatea de vapori care intră în deflegmator este de 550 kmol/oră. Să se determine cantitatea de reziduu din blază (în kg/oră) și concentrația acidului acetic în reziduu, exprimată în procente masă.

7-14. Într-o coloană de rectificare cu funcționare continuă se introduc 1 000 kmol/oră amestec, conținând 30% mol pentan și 70% mol hexan. Produsul de vîrf conține 95% mol pentan, iar cel de la bază 90% hexan. Să se determine cantitatea de produs de vîrf și de bază, în kg/oră și de asemenea, cantitatea de vapori care condensează în deflegmator, dacă panta liniei de lucru pentru zona de concentrare a coloanei este egală cu 0,75.

7-15. Într-o coloană de rectificare rezultă 1 100 kg/oră distilat, care conține 98,5% masă component ușor volatil și 3 650 kg/oră reziduu cu un conținut de 96,6% masă component greu volatil. Raportul de reflux este 2,94. Să se determine: a) conținutul în component ușor volatil al lichidului de alimentare (% masă); b) cantitatea de vapori, (în kg/oră) care trec din coloană în deflegmator.

7-16. Pe unul din talerele din zona de concentrare a unei coloane de rectificare, fierbe un amestec de azot și oxigen. Concentrația azotului în lichidul care curge de pe acest taler este 50% mol. Să se calculeze compoziția lichidului care curge de sus pe talerul respectiv, dacă o treaptă de variație a concentrației corespunde la un taler. Raportul de reflux este 2,3. Produsul de vîrf se consideră azot pur. Datele asupra compozițiilor de echilibru sînt prezentate în tabela XLVII.

7-17. Pe unul din talerele părții superioare a unei coloane de rectificare a unui amestec bicomponent se află un lichid, conținând 65% mol component ușor volatil. Coloana lucrează cu un raport de reflux $R = 2,5$. Distilatul conține 98% mol component ușor volatil.

Să se determine compoziția vaporilor care vin și pleacă de pe talerul respectiv, dacă coeficientul de îmbogățire $\alpha = 0,75$ amestecul urmează legea lui Raoult, iar coeficientul volatilității relative, $\alpha = 2,5$. Lichidul se amestecă total, pe taler.

7-18. Într-o coloană de rectificare cu funcționare continuă $x_D = 90\%$ mol, $x_F = 30\%$ mol, $x_W = 3\%$ mol, $R = 8$. Să se determine compoziția vaporilor care vin pe talerul, pe care lichidul conține: a) 75% și b) 15% mol component ușor volatil.

7-19. Într-o coloană de rectificare cu funcționare continuă se obțin 200 kg/oră acid acetic cu concentrație de 70% mol.

Se prelucrează un amestec de acid acetic și apă, care se introduce în coloană la temperatura de fierbere. Conținutul de acid acetic în amestecul inițial este de 31% mol. La vîrfur coloanei distilă apă cu un conținut de 8% mol acid acetic. Presiunea în coloană este cea atmosferică. Să se determine numărul treptelor de variație a concentrației la un raport de reflux egal cu 4. Să se determine de asemenea, consumul de abur de încălzire ($p = 4$ ata) introdus în blaza coloanei, dacă acesta conține 5% umiditate. Datele asupra compoziției de echilibru sînt prezentate în tabela XLVII.

7-20. Într-o coloană de rectificare cu funcționare continuă se introduce 5 000 kg/oră amestec ce conține 29% masă alcool metilic și 71% masă apă. Ecuația liniei de lucru a părții superioare (de concentrare) a coloanei este: $y = 0,73x + 0,264$. Reziduul extras din blază se obține în cantitate de 3 800 kg/oră.

Să se determine: a) % masă de alcool metilic în reziduul din blază; b) cantitatea de vapori (kg/oră), care trec din coloană în deflegmator; c) consumul de apă în deflegmator dacă acesta se încălzește cu 12°C .

7-21. Ecuațiile liniilor de operare ale unei coloane de rectificare pentru separarea unui amestec de benzen și toluen, la presiunea atmosferică sînt:

$$y = 0,723x + 0,263$$

$$y = 1,25x - 0,018$$

În coloană se introduc 75 kmol/oră amestec, la temperatura de fierbere. Aburul de încălzire din blaza coloanei are o suprapresiune de 3 at. Să se determine suprafața de încălzire necesară în blaza coloanei și consumul de abur cu un conținut de 5% umiditate. Coeficientul total de transmitere a căldurii $K = 580 \text{ W/m}^2 \cdot \text{K}$. Se neglijează pierderile de căldură. Temperatura de fierbere a lichidului din blază se consideră ca și pentru toluenul pur.

7-22. Într-o coloană cu funcționare continuă se introduce un amestec de alcool etilic și apă, conținând 10% masă alcool. Să se determine consumul de căldură în blaza coloanei și cantitatea de căldură cedată în deflegmator pentru 1 kg de distilat care conține 94% masă alcool, dacă reziduul din blază practic nu mai conține alcool. Amestecul inițial se introduce în coloană la temperatura de 70°C . Zona de concentrare a coloanei lucrează la un raport de reflux, $R = 4$. Pierderile de căldură se neglijează. Încălzirea blazei se realizează cu abur indirect.

7-23. Productivitatea unei coloane de rectificare pentru separarea unui amestec de alcool metilic—apă este de 1 500 kg/oră distilat. Coloana lucrează la presiunea atmosferică. Suprafața de transfer de căldură a deflegmatorului este de 60 m^2 ; coeficientul total de transmitere a căldurii, $K = 810 \text{ W/m}^2 \cdot \text{K}$. Să se calculeze raportul de reflux și debitul apei de răcire în deflegmator, dacă aceasta se încălzește de la 15 la 35°C .

7-24. Să se determine suprafața necesară și consumul de apă în deflegmatorului unei coloane de rectificare pentru separarea unui amestec de benzen—toluen, în următoarele condiții: cantitatea de produs de vîrf 600 kg/oră; raportul de reflux $R = 3,75$; temperatura inițială și finală a apei de răcire 20°C respectiv 45°C ; coeficientul total de transmitere a căldurii, $K = 700 \text{ W/m}^2 \cdot \text{K}$. Se consideră că produsul de vîrf este benzen pur. Coloana lucrează la presiunea atmosferică.

7-25. Să se determine numărul de talere necesar într-o coloană de rectificare cu funcționare periodică pentru distilarea unui amestec cloroform—benzen, la presiunea atmosferică. Amestecul inițial conține 38% mol cloroform, distilatul trebuie să conțină 97% mol cloroform, iar reziduul din blază, după distilare, 10% mol cloroform. Coeficientul de exces al refluxului este 2. Datele asupra echilibrului lichid—vapori sînt prezentate în tabela XLVII. Unei trepte de variație a concentrației îi corespund 1,4 talere.

7-26. Într-o coloană de rectificare cu funcționare continuă se separă 5 000 kg/oră amestec alcool metilic—apă. Materia primă conține 20% masă alcool metilic, iar produsul de vîrf 90% masă alcool metilic. Coeficientul de exces al refluxului este 1,8. Consumul de apă în deflegmator este de $40 \text{ m}^3/\text{oră}$, apa încălzindu-se de la 20°C la 40°C . Să se calculeze cantitatea de alcool metilic care se evacuează cu reziduul din blază.

7-27. Pentru încălzirea blazei unei coloane de rectificare, în care se introduc pentru separare 6 t/oră amestec benzen—toluen există disponibil abur cu presiunea de 1 ata. Concentrația amestecului inițial este de 32% benzen. Concentrația impusă a distilatului este de 97% benzen, iar reziduului din blază, 95% toluen. Concentrațiile sînt exprimate în procente

masă. Să se determine: a) debitele de masă ale distilatului și reziduului; b) presiunea în coloană; c) numărul necesar de talere, la un raport de reflux egal cu 3,1 și eficacitate medie a talerelor $\epsilon = 0,71$; d) consumul de abur de încălzire și consumul de apă de răcire în deflegmator, dacă apa se încălzește cu 15 grade. Umiditatea aburului de încălzire este de 5%.

Amestecul urmează legea lui Raoult. Pierderile de căldură se consideră 3% din consumul total de căldură. Materia primă se alimentează la punctul de fierbere. Diferența de temperatură în blaza coloanei se consideră 10 grade.

7.4. EXEMPLU DE CALCUL AL UNEI COLOANE DE RECTIFICARE CU TALERE

Să se calculeze o coloană de rectificare cu funcționare continuă cu talere cu sită pentru separarea la presiunea atmosferică a 10 t/oră amestec, conținând 50% masă benzen și 50% masă toluen. Conținutul de benzen în distilat trebuie să fie de 96% masă, iar conținutul de toluen în reziduul extras din blază, 98% masă. Amestecul inițial se introduce în coloană preîncălzit la temperatura de fierbere. Aburul de încălzire are o suprapresiune de 3 at.

Schema instalației de rectificare este prezentată în figura 7-17.

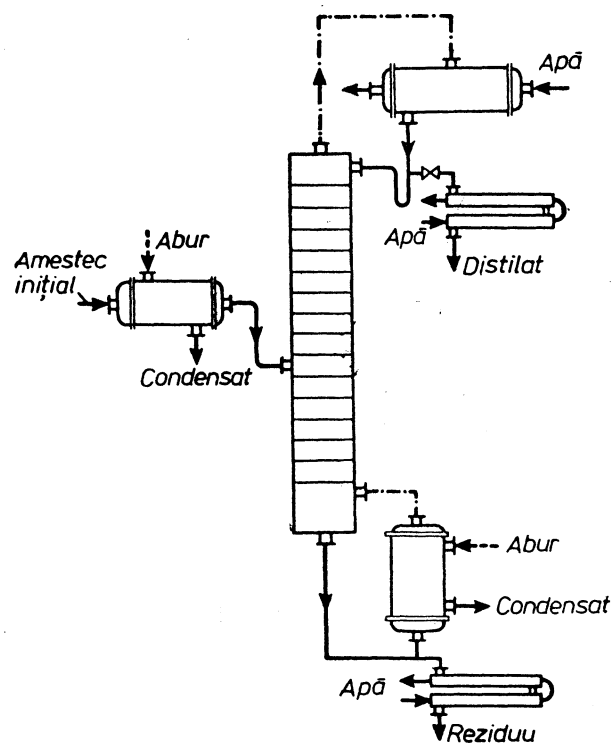


Fig. 7-17. Schema instalației de rectificare.

I. Bilanțul de materiale

Se notează cu m_D , kg/oră, debitul de distilat și cu m_W , kg/oră, debitul de reziduu.

Din ecuațiile bilanțului de materiale (7-4) și (7-5):

$$m_D + m_W = 10\,000$$

$$m_D \cdot 0,96 + m_W \cdot 0,02 = 10\,000 \cdot 0,5$$

rezultă, $m_D = 5\,110$ kg/oră și $m_W = 4\,890$ kg/oră.

Pentru calculele ulterioare se exprimă concentrațiile materiei prime, distilatului și reziduului în fracții molare.

Alimentare:

$$x_F = \frac{\frac{\bar{x}_F}{M_B}}{\frac{\bar{x}_F}{M_B} + \frac{100 - \bar{x}_F}{M_T}} = \frac{\frac{50}{78}}{\frac{50}{78} + \frac{50}{92}} = 0,542$$

Distilat:

$$x_D = \frac{\frac{\bar{x}_D}{M_B}}{\frac{\bar{x}_D}{M_B} + \frac{100 - \bar{x}_D}{M_T}} = \frac{\frac{96}{78}}{\frac{96}{78} + \frac{4}{92}} = 0,965$$

Reziduu:

$$x_W = \frac{\frac{\bar{x}_W}{M_B}}{\frac{\bar{x}_W}{M_B} + \frac{100 - \bar{x}_W}{M_T}} = \frac{\frac{2}{78}}{\frac{2}{78} + \frac{98}{92}} = 0,023$$

Raportul molar de alimentare:

$$F = \frac{x_D - x_W}{x_F - x_W} = \frac{0,965 - 0,023}{0,542 - 0,023} = 1,82.$$

Curba de echilibru pentru amestecul considerat este prezentată în figura 7-7*.

Se calculează R_{min} cu ecuația (7-10):

$$R_{min} = \frac{x_D - y_F^*}{y_F^* - x_F} = \frac{0,965 - 0,74}{0,74 - 0,542} = 1,135$$

unde, $y_F^* = 0,74$ — fracția molară a benzenului în vaporii în echilibru cu lichidul de alimentare, determinată din graficul $y^* - x$.

* În calculele tehnice se utilizează obișnuit datele experimentale asupra echilibrului de fază [6-5]. În acest exemplu se utilizează datele asupra echilibrului de fază, calculate pe baza aplicării legii lui Raoult, care pentru sistemul benzen-toluen sînt apropiate de datele experimentale.

Raportul real de reflux se calculează cu relația (7-12) :

$$R = 1,3R_{min} + 0,3 = 1,3 \cdot 1,135 + 0,3 = 1,78.$$

Ecuatiile liniilor de lucru :

a) partea superioară (de concentrare), a coloanei :

$$y = \frac{R}{R+1} x + \frac{x_D}{R+1} = \frac{1,78}{2,78} x + \frac{0,965}{2,78}$$

$$y = 0,64x + 0,347;$$

b) partea inferioară (de epuizare) a coloanei :

$$y = \frac{R+F}{R+1} x - \frac{F-1}{R+1} x = \frac{1,78+1,82}{2,78} x - \frac{1,82-1}{2,78} = 0,023$$

$$y = 1,3x - 0,0068.$$

II. Calculul vitezei vaporilor și a diametrului coloanei
Concentrația medie a lichidului :

a) în zona de concentrare :

$$x'_{med} = \frac{x_F + x_D}{2} = \frac{0,542 + 0,965}{2} = 0,754;$$

b) în zona de epuizare :

$$x''_{med} = \frac{x_F + x_W}{2} = \frac{0,542 + 0,023}{2} = 0,283.$$

Concentrația medie a vaporilor se calculează din ecuațiile liniilor de lucru :

a) în zona de concentrare :

$$y'_{med} = 0,64 \cdot x'_{med} + 0,347 = 0,64 \cdot 0,754 + 0,347 = 0,829;$$

b) în zona de epuizare :

$$y''_{med} = 1,3 \cdot x''_{med} - 0,0068 = 1,3 \cdot 0,283 - 0,0068 = 0,361.$$

Temperatura medie a vaporilor se determină din diagrama $t-x, y$ (fig. 7-6).

a) pentru $y'_{med} = 0,829$ $t'_{med} = 88^\circ\text{C}$;

b) pentru $y''_{med} = 0,361$ $t''_{med} = 103^\circ\text{C}$.

Masa molară medie și densitatea vaporilor :

a) $M'_{med} = 0,829 \cdot 78 + 0,171 \cdot 92 = 80,3$ kg/kmol

$$\rho'_{med} = \frac{M'_{med} \cdot T_0}{22,4 \cdot T'_{med}} = \frac{80,3 \cdot 273}{22,4 \cdot 361} = 2,71 \text{ kg/m}^3;$$

b) $M''_{med} = 0,261 \cdot 78 + 0,639 \cdot 92 = 87$ kg/kmol

$$\rho''_{med} = \frac{M''_{med} \cdot T_0}{22,4 \cdot T''_{med}} = \frac{87 \cdot 273}{22,4 \cdot 376} = 2,82 \text{ kg/m}^3.$$

Densitatea medie a vaporilor în coloană :

$$\rho_{vap} = \frac{\rho'_{med} + \rho''_{med}}{2} = \frac{2,71 + 2,82}{2} = 2,77 \text{ kg/m}^3.$$

Densitățile benzenului și toluenului în stare lichidă sînt apropiate. Temperatura la virful coloanei la $y_D = 0,965$ este de 82°C , iar în blază, la $x_W = 0,023$ este 109°C (fig. 7-6).

Densitatea benzenului lichid la 82°C $\rho_B = 813$ kg/m³, iar a toluenului la 109°C , $\rho_T = 783$ kg/m³ [4-13].

Se consideră densitatea medie a lichidului în coloană :

$$\rho_{lic} = \frac{813 + 783}{2} \approx 800 \text{ kg/m}^3.$$

Viteza vaporilor în coloană se calculează cu ecuația (7-17). Pe baza datelor, din catalogul „Aparate de tip coloană“ se consideră distanța între talere $h = 300$ mm. În cazul talerelor cu sită după graficul din figura 7-2, se ia valoarea $C = 0,032$.

Viteza vaporilor în coloană, după ecuația (7-17, a) este :

$$w = C \sqrt{\frac{\rho_{lic}}{\rho_{vap}}} = 0,032 \sqrt{\frac{800}{2,77}} = 0,54 \text{ m/s}.$$

Debitul volumic al vaporilor care trec prin coloană la temperatura medie în coloană $t_{med} = \frac{88 + 103}{2} \approx 96^\circ\text{C}$, este :

$$V = \frac{m_D(R+1) \cdot 22,4 \cdot T_{med}}{M_D \cdot T_0 \cdot 3600} = \frac{5110(1,78+1)22,4 \cdot 369}{78,5 \cdot 273 \cdot 3600} = 1,52 \text{ m}^3/\text{s}$$

unde M_D este masa molară a distilatului egală cu,

$$M_D = 0,965 \cdot 78 + 0,035 \cdot 92 = 78,5 \text{ kg/kmol}.$$

Diametrul coloanei :

$$D = \sqrt{\frac{V}{0,785 \cdot w}} = \sqrt{\frac{1,52}{0,785 \cdot 0,54}} = 1,89 \text{ m}.$$

După catalogul „Aparate de tip coloană“ se consideră $D = 1800$ mm. În acest caz, viteza vaporilor în coloană va fi :

$$w = \frac{V}{0,785 \cdot D^2} = \frac{1,52}{0,785 \cdot 1,8^2} = 0,6 \text{ m/s}.$$

III. Calculul hidraulic al talerelor

Se consideră următoarele dimensiuni ale talerelor cu sită : diametrul orificiilor sitei $d_0 = 4$ mm, înălțimea pragului deversorului $h_p = 40$ mm. Secțiunea liberă a talerului (suma secțiunilor orificiilor) se consideră 8% din suprafața totală a talerului. Suprafața ocupată de cele două segmente care formează deversorul reprezintă 20% din suprafața totală a talerului.

Se calculează rezistența hidraulică a talerelor în partea superioară și inferioară a coloanei, cu ecuația (1-60):

$$\Delta p = \Delta p_u + \Delta p_\sigma + \Delta p_{v,l}$$

a) partea superioară a coloanei.

Rezistența hidraulică a talerului uscat:

$$\Delta p_u = \zeta \frac{w_0^2 \cdot \rho_{vap}}{2} = \frac{1,82 \cdot 7,5^2 \cdot 2,71}{2} = 138 \text{ Pa (N/m}^2\text{)}$$

unde, $\zeta = 1,82$ — coeficient de rezistență a talerelor cu site uscate, cu secțiunea liberă a orificiilor 7–10%;

$$w_0 = \frac{0,6}{0,08} = 7,5 \text{ m/s — viteza vaporilor în orificiile talerului.}$$

Rezistența hidraulică datorită tensiunii superficiale:

$$\Delta p_\sigma = \frac{4\sigma}{d_0} = \frac{4 \cdot 120,5 \cdot 10^{-3}}{0,004} = 20,5 \text{ Pa (N/m}^2\text{)}$$

unde, $\sigma = 20,5 \cdot 10^{-3} \text{ N/m}$ — tensiunea superficială a lichidului la temperatura medie în partea superioară a coloanei, 88°C [4-13]. (Benzolul și toluenul au practic aceeași tensiune superficială.)

$d_0 = 0,004 \text{ m}$ — diametrul orificiilor talerului.

Rezistența stratului de emulsie lichid-vapori pe taler:

$$\Delta p_{v,l} = 1,3 \cdot h_{v,l} \cdot \rho_{v,l} \cdot g \cdot k.$$

Înălțimea stratului de emulsie lichid-vapori (fig. 7-18):

$$h_{v,l} = h_v + \Delta h.$$

Valoarea Δh — înălțimea stratului de lichid deasupra pragului de deversare se calculează cu formula:

$$\Delta h = \left(\frac{V_{lic}}{1,85 \cdot P \cdot k} \right)^{2/3}$$

unde, V_{lic} este debitul volumic de lichid, m³/s;

P — perimetrul deversorului, m;

$k = \frac{\rho_{v,l}}{\rho_l}$ — raportul dintre densitatea stratului de emulsie lichid-vapori și densitatea lichidului, considerată aproximativ egală cu 0,5.

Debitul volumic de lichid în partea superioară a coloanei este:

$$V_{lic} = \frac{m_D \cdot R \cdot M_{med}}{M_D \cdot \rho_{lic}} = \frac{5 \cdot 110 \cdot 1,78 \cdot 81,4}{78,5 \cdot 800 \cdot 3 \cdot 600} = 0,00328 \text{ m}^3/\text{s}$$

unde, $M_{med} = 0,754 \cdot 78 + 0,246 \cdot 92 = 81,4$ — masa molară medie a lichidului, kg/kmol.

Perimetrul deversorului P (fig. 7-18) se deduce rezolvind următorul sistem de ecuații:

$$\left(\frac{P}{2} \right)^2 + (R - b)^2 = R^2$$

$$0,1 \cdot \pi \cdot R^2 = \frac{2}{3} P \cdot b$$

unde, $R = 0,9 \text{ m}$ — raza talerului;

$\frac{2}{3} P \cdot b$ — valoarea aproximativă a secțiunii segmentului*.

Prin rezolvare rezultă:

$$P = 1,32 \text{ m}; b = 0,289 \text{ m.}$$

Se află Δh :

$$\Delta h = \left(\frac{0,00328}{1,85 \cdot 1,32 \cdot 0,5} \right)^{2/3} = 0,0193 \text{ m.}$$

Înălțimea stratului de emulsie lichid-vapori pe taler este:

$$h_{v,l} = h_v + \Delta h = 0,04 + 0,0193 = 0,0593 \text{ m.}$$

Rezistența hidraulică a stratului:

$$\Delta p_{v,l} = 1,3 h_{v,l} \cdot k \cdot \rho_{l,v} = 1,3 \cdot 0,0593 \cdot 0,5 \cdot 800 \cdot 9,81 = 302 \text{ N/m}^2 \text{ (Pa).}$$

Rezistența hidraulică totală a talerelor pentru partea superioară a coloanei este:

$$\Delta p' = \Delta p_u + \Delta p_\sigma + \Delta p_{v,l} = 138 + 20,5 + 302 = 461 \text{ N/m}^2 \text{ (Pa)}$$

b) partea inferioară a coloanei:

$$\Delta p_u = \frac{1,82 \cdot 7,5^2 \cdot 2,82}{2} = 144 \text{ N/m}^2 \text{ (Pa)}$$

$$\Delta p_\sigma = \frac{4 \cdot 18,8 \cdot 10^{-3}}{0,004} = 18,8 \text{ N/m}^2 \text{ (Pa)}$$

unde, $18,8 \cdot 10^{-3} \text{ N/m}$ este tensiunea superficială a lichidului la $t_{med} = 103^\circ\text{C}$

$$V_l = \left(\frac{m_D \cdot R}{M_D} + \frac{m_F}{M_F} \right) \frac{M_{med}}{\rho_l} = \left(\frac{5 \cdot 110 \cdot 1,78}{78,5} + \frac{10 \cdot 000}{84,4} \right) \cdot \frac{88}{3 \cdot 600 \cdot 800} = 0,00717 \text{ m}^3/\text{s}$$

unde, $M_F = 0,542 \cdot 78 + 0,458 \cdot 92 = 84,4 \text{ kg/kmol}$

$$M_{med} = 0,283 \cdot 78 + 0,717 \cdot 92 = 88 \text{ kg/kmol}$$

$$\Delta h = \left(\frac{0,00717}{1,85 \cdot 1,32 \cdot 0,5} \right)^{2/3} = 0,0325 \text{ m}$$

$$h_{v,l} = 0,04 + 0,0325 = 0,0725 \text{ m}$$

$$\Delta p_{v,l} = 1,3 \cdot 0,0725 \cdot 0,5 \cdot 800 \cdot 9,81 = 369 \text{ N/m}^2 \text{ (Pa).}$$

* Vigodskii M. Ia. Îndrumător de matematici elementare. M., „Nauka”, 1973.

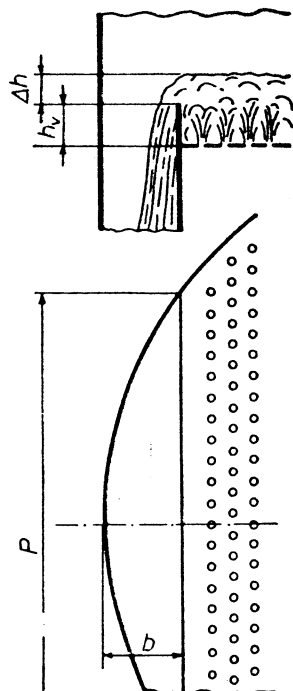


Fig. 7-18. Schema talerului cu sită.

Rezistența hidraulică totală a talerelor pentru partea inferioară a coloanei este :

$$\Delta p'' = 144 + 18,8 + 369 = 532 \text{ N/m}^2 \text{ (Pa)}.$$

Se verifică, dacă la distanța între talere, $h = 0,3$ m există următoarea condiție, necesară pentru funcționare normală a talerelor :

$$h > 1,8 \frac{\Delta p}{\rho_l \cdot g}$$

Pentru talerele părții inferioare a coloanei unde rezistența hidraulică Δp este mai mare decât în cazul talerelor părții superioare,

$$\frac{1,8 \cdot \Delta p''}{\rho_l \cdot g} = \frac{1,8 \cdot 532}{800 \cdot 9,81} = 0,122 \text{ m}.$$

Prin urmare, condiția impusă mai sus se verifică.

Se verifică dacă talerul lucrează echilibrat, respectiv se calculează viteza minimă a vaporilor în orificii $w_{o \cdot \min}$, suficientă ca talerele cu sită să funcționeze cu toate orificiile [0-4] :

$$w_{o \cdot \min} = 0,67 \sqrt{\frac{g \cdot \rho_l \cdot h_{v \cdot 1}}{\zeta \cdot \rho_v}} = 0,67 \sqrt{\frac{9,81 \cdot 800 \cdot 0,0725}{1,82 \cdot 2,82}} = 7,05 \text{ m/s}.$$

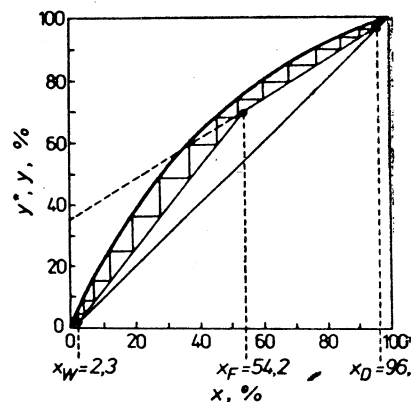


Fig. 7-19. Determinarea numărului de trepte de variație a concentrației.

Viteza calculată a vaporilor $w_{o \cdot \min}$ este mai mică decât $w_o = 7,5$ m/s, prin urmare talerele funcționează cu toate orificiile.

IV. Determinarea numărului de talere și a înălțimii coloanei

Se trasează în diagrama $y-x$ liniile de lucru pentru partea superioară și inferioară a coloanei (fig. 7-19) și se determină numărul de trepte de variație a concentrației n_i . Pentru partea superioară a coloanei $n'_i \approx 7$, pentru partea inferioară $n''_i \approx 8$, în totală 15 trepte.

Numărul de talere se calculează cu relația (7-19) :

$$n = \frac{n_i}{\epsilon_i}$$

Pentru determinarea eficacității medii a talerelor ϵ_i se calculează coeficientul volatilității relative a componentelor de separat, $\alpha = P_B/P_T$ și coeficientul viscozității dinamice a amestecului η în condițiile temperaturii medii în coloană egală cu 96°C.

La această temperatură presiunile vaporilor saturați ai benzenului $P_B = 1204$ mm Hg, ai toluenului $P_T = 492,5$ mm Hg (tab. 7-1), rezultând, $\alpha = 1204/492,5 = 2,45$.

Coeficientul viscozității dinamice a benzenului la 96°C este 0,27 cP, ai toluenului 0,29 cP. Se consideră coeficientul viscozității dinamice a amestecului inițial $\eta = 0,28$ cP $= 0,28 \cdot 10^{-3} \frac{\text{N} \cdot \text{s}}{\text{m}^2}$ (Pa·s).

Rezultă :

$$\alpha \cdot \eta = 2,45 \cdot 0,28 = 0,685.$$

Din grafic (fig. 7-4) se obține $\epsilon = 0,53$. Lungimea drumului parcurs de lichid pe taler (fig. 7-18) :

$$l = D - 2b = 1,8 - 2 \cdot 0,289 = 1,22 \text{ m}.$$

Din grafic (fig. 7-5) se determină valoarea corecției $\Delta = 0,105$. Eficacitatea medie a talerelor după ecuația (7-20) este :

$$\epsilon_i = \epsilon(1 + \Delta) = 0,53(1 + 0,105) = 0,59.$$

Pentru comparare se calculează eficacitatea medie a talerelor ϵ_0 cu formula criterială rezultată prin prelucrarea statistică a unui număr mare de rezultate experimentale obținute în cazul coloanelor cu talere cu clopote și cu sită* :

$$\epsilon_0 = 0,068 \cdot K_1^{0,1} \cdot K_2^{0,115}$$

În această relație, rapoartele nedimensionale :

$$K_1 = \frac{Re_v}{A_{Hb}} Pr'_l \cdot \frac{\eta_v}{\eta_l} = \frac{w \cdot h_v \cdot \rho_v}{A_{Hb} \cdot \eta_v} \cdot \frac{\eta_l}{\rho_l \cdot D_l} \cdot \frac{\eta_v}{\eta_l} = \frac{w \cdot h_v \cdot \rho_v}{A_{Hb} \cdot \rho_l \cdot D_l}$$

$$K_2 = \frac{Re_v}{We} Pr'_l \cdot \frac{v_v}{v_l} = \frac{w \cdot h_v \cdot \sigma}{v_v \cdot \rho_l \cdot w^2} \cdot \frac{v_l \cdot v_v}{h_v \cdot D_l \cdot v_l} = \frac{\sigma}{w \rho_l \cdot D_l}$$

* Mac Farland S. A., Sigmund P. M., Van Winkle M. Hydrocarb. process. a. petrol. refiner, 1972, v. 51, Nr. 7, p. 111.

unde : w este viteza vaporilor în coloană, m/s ;
 A_{lib} — aria relativă a secțiunii libere a talerelor ;
 h_v — înălțimea pragului de deversare, m ;
 ρ_v și ρ_l — densitatea vaporilor și a lichidului, kg/m³ ;
 D_l — coeficientul de difuziune al componentului ușor volatil în amestecul inițial determinat cu relația (6-24), m²/s ;
 σ — tensiunea superficială a lichidului de alimentare, N/m.

Constantele fizico-chimice se iau la temperatura medie în coloană. În prealabil se calculează coeficientul de difuziune D_l

$$D_l = 7,4 \cdot 10^{-12} \frac{(\beta M)^{0,75} r}{\gamma_l \cdot v^{0,6}}$$

În cazul de față :

$$\beta = 1 ; \gamma_l = 0,28 \text{ cP} = 0,28 \cdot 10^{-3} \frac{\text{N} \cdot \text{s}}{\text{m}^2} (\text{Pa} \cdot \text{s})$$

$$M = M_F = 84,4 \text{ kg/kmol} ;$$

$$v = 6 \cdot 14,8 + 6 \cdot 3,7 - 15 = 96 ;$$

$$T = 96 + 273 = 369 \text{ K}.$$

Coeficientul de difuziune :

$$D_l = \frac{7,4 \cdot 10^{-12} \cdot 84,4^{0,75} \cdot 369}{0,28 \cdot 96^{0,6}} = 5,8 \cdot 10^{-9} \text{ m}^2/\text{s}.$$

Rapoartele nedimensionale :

$$K_1 = \frac{w \cdot h_v \cdot \rho_v}{A_{lib} \cdot \rho_l \cdot D_l} = \frac{0,6 \cdot 0,04 \cdot 2,77}{0,08 \cdot 800 \cdot 5,8 \cdot 10^{-9}} = 1,79 \cdot 10^3$$

$$K_2 = \frac{\sigma}{w \cdot \rho_l \cdot D_l} = \frac{19,7 \cdot 10^{-3}}{0,6 \cdot 800 \cdot 5,8 \cdot 10^{-9}} = 0,71 \cdot 10^4$$

Eficacitatea medie a talerelor :

$$\varepsilon_0 = 0,068 \cdot K_{11}^{0,1} \cdot K_2^{0,115} = 0,068(1,79 \cdot 10^3)^{0,1}(0,71 \cdot 10^4)^{0,115} = 0,63$$

ceea ce este apropiat de valoarea calculată anterior ε_l .

Numărul de talere :

$$\text{în partea superioară a coloanei: } n' = \frac{n'_l}{\varepsilon_l} = \frac{7}{0,59} = 12$$

$$\text{în partea inferioară a coloanei: } n'' = \frac{n''_l}{\varepsilon_l} = \frac{8}{0,59} = 14$$

Numărul total de talere $n = 26$, cu aproximație, $n = 30$ din care 14 sînt în partea superioară a coloanei și 16 în partea inferioară.

Înălțimea părții cu talere a coloanei :

$$H_t = (n - 1)h = (30 - 1)0,3 = 8,7 \text{ m}$$

Rezistența hidraulică totală a talerelor :

$$\Delta p = \Delta \cdot p' \cdot n_{up} + \Delta p'' n_{inf} = \\ = 461 \cdot 14 + 532 \cdot 16 = 14\,950 \text{ N/m}^2 (\text{Pa}) \approx 0,15 \text{ at}$$

V. Calculul termic al instalației

Cantitatea de căldură preluată de apa de răcire în deflegmator-condensator se calculează cu relația (7-15) :

$$Q_{cond} = m_D(1 + R) \cdot r_D = \frac{5\,110}{3\,600} (1 + 1,78) \cdot 392 \cdot 10^3 = 1\,550\,000 \text{ W}$$

în această relație,

$$r_D = \bar{x}_D \cdot r_B + (1 - \bar{x}_D) \cdot r_T = 0,96 \cdot 392,4 \cdot 10^3 + 0,04 \cdot 377,8 \cdot 10^3 = \\ = 392 \cdot 10^3 \text{ J/kg}$$

unde : r_B și r_T sînt căldurile de condensare ale benzenului și toluenului la 82°C.

Consumul de căldură, preluată în blaza coloanei de la aburul de încălzire, se calculează cu relația (7-14) :

$$Q_{blaza} = Q_{cond} + m_D \cdot c_D \cdot t_D + m_W \cdot c_W \cdot t_W - m_F \cdot c_F \cdot t_F + Q_p = \\ = 1,03 \left(1\,550\,000 + \frac{5\,110}{3\,600} 0,46 \cdot 4\,190 \cdot 82 + \frac{4\,890}{3\,600} 0,45 \cdot 4\,190 \cdot 109 - \right. \\ \left. - \frac{10\,000}{3\,600} 0,455 \cdot 4\,190 \cdot 91,5 \right) = 1\,615\,000 \text{ W}$$

Pierderile de căldură în mediul înconjurător, Q_p se apreciază în jur de 3% din consumul total de căldură : căldurile specifice se iau corespunzător, la $t_D = 82^\circ\text{C}$, $t_W = 109^\circ\text{C}$ și $t_F = 91,5^\circ\text{C}$; temperatura de fierbere a amestecului inițial $t_F = 91,5^\circ\text{C}$ s-a determinat din figura 7-6.

Căldura necesară preîncălzirii amestecului inițial :

$$Q = 1,05 m_F \cdot c_F (t_F - t_{in}) = \\ = 1,05 \frac{10\,000}{3\,600} 0,425 \cdot 4\,190 (91,5 - 18) = 382\,000 \text{ W}$$

În acest caz, pierderile de căldură se iau în jur de 5% ; căldura specifică a amestecului inițial, $c_F = (0,5 \cdot 0,43 + 0,5 \cdot 0,42) \cdot 4\,190 \text{ J/kg} \cdot \text{grd}$ se ia la temperatura medie de $\frac{91,5 + 18}{2} = 55^\circ\text{C}$.

Căldura preluată de apa de răcire în răcitorul de distilat :

$$Q = m_D \cdot c_D (t_D - t_{cond}) = \\ = \frac{5\,110}{3\,600} 0,43 \cdot 4\,190 (82 - 25) = 145\,500 \text{ W}$$

unde, căldura specifică a distilatului $c_D = 0,43 \cdot 4\,190 \text{ J/kg} \cdot \text{grd}$ se ia la temperatura medie de $\frac{82 + 25}{2} = 54^\circ\text{C}$.

Căldura preluată de apa de răcire în răcitorul de reziduu :

$$Q = m_W \cdot c_W (t_W - t_{\text{con}}) = \\ = \frac{4\,890}{3\,600} 0,425 \cdot 4\,190 (109 - 25) = 203\,000 \text{ W}$$

unde, căldura specifică a reziduului din blază, $c_W = 0,425 \cdot 4\,190 \text{ J/kg} \cdot \text{grd}$ se ia temperatura medie de $\frac{109 + 25}{2} = 67^\circ\text{C}$.

Consumul de abur de încălzire avînd presiunea $p = 4 \text{ ata}$ și umiditatea $x = 5\%$:

a) în blază — vaporizator

$$m_{\text{abur}} = \frac{Q_{\text{blaza}}}{r_{\text{aburi}}} = \frac{1\,615\,000}{2\,141 \cdot 10^3 \cdot 0,95} = 0,8 \text{ kg/s}$$

unde, $r_{\text{abur}} = 2\,141 \cdot 10^3 \text{ J/kg} \cdot \text{grd}$ căldura de condensare a aburului de încălzire ;

b) în preîncălzitorul de materie primă :

$$m_{\text{abur}} = \frac{382\,000}{2\,141 \cdot 10^3 \cdot 0,95} = 0,19 \text{ kg/s}$$

În total : $0,8 + 0,19 = 0,99 \text{ kg/s} = 3,6 \text{ t/oră}$

Consumul de apă de răcire la încălzirea acestuia cu 20°C :

a) în deflegmator :

$$V_{\text{apa}} = \frac{Q_{\text{cond}}}{c_{\text{apa}}(t_{\text{con}} - t_{\text{in}})\rho_{\text{apa}}} = \frac{1\,550\,000}{4\,190 \cdot 20 \cdot 1\,000} = 0,0185 \text{ m}^3/\text{s}$$

b) în răcitorul de distilat :

$$V_{\text{apa}} = \frac{145\,000}{4\,190 \cdot 20 \cdot 1\,000} = 0,00174 \text{ m}^3/\text{s}$$

c) în răcitorul de reziduu :

$$V_{\text{apa}} = \frac{203\,000}{4\,190 \cdot 20 \cdot 1\,000} = 0,00242 \text{ m}^3/\text{s}$$

În total $0,0227 \text{ m}^3/\text{s}$, sau $82 \text{ m}^3/\text{oră}$.

8. EXTRACȚIA

8.1. VARIABLE DE BAZĂ ȘI FORMULE DE CALCUL

Extracție se numește procesul de separare a unui sau a mai multor componenți dintr-un material solid sau un amestec de lichide cu un solvent (agent de extracție) selectiv pentru componenții extrași. Pentru separarea solventului de componentul extras se utilizează evaporarea sau rectificarea.

Utilizarea extracției cu lichid este determinată de : 1) dificultatea de a separa amestecul prin rectificare datorită formării amestecurilor azeotrope, volatilității mici sau a insuficienței stabilității termice a componenților ; 2) economice de energie (căldură), dacă consumul pentru rectificarea amestecului inițial ca urmare a apropierei temperaturilor de fierbere a componenților ce-l formează, a micilor concentrații sau a altor cauze, este mai mare decît consumul necesar pentru extracție și distilarea solventului din produsele de separare.

Problemele de extracție statică se rezolvă în majoritatea cazurilor pe cale grafică, cu ajutorul diagramelor triunghiulare sau rectangulare.

1. Particularitățile diagramei triunghiulare

a) vîrfurile triunghiului (fig. 8-1) corespund componenților puri A, B și C, laturile triunghiului AB, BC și AC — amestecurilor binare A și B, B și C, A și C, punctele din interiorul triunghiului — sistemelor ternare (de exemplu, punctul g este figurativ, adică caracterizează următoarea compoziție a amestecului : 70% masă A, 20% masă B și 10% masă C) ;

b) segmentele [Aa, Bb, Cc, duse din vîrfurile triunghiului, sînt locurile geometrice ale punctelor figurative ale amestecurilor,

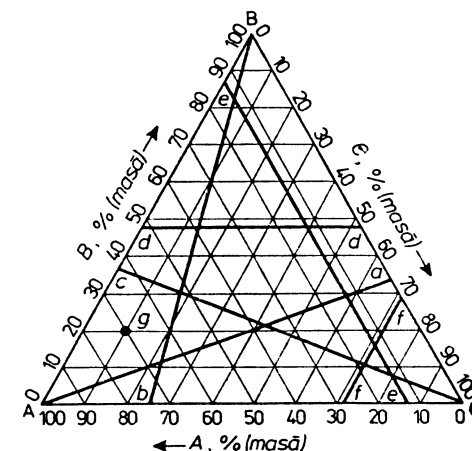


Fig. 8-1. Diagrama triunghiulară.

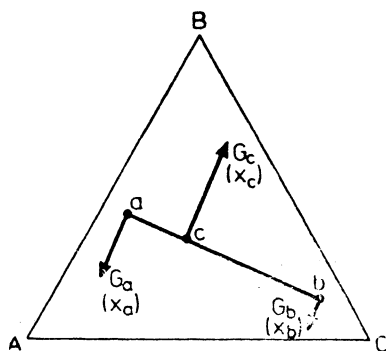


Fig. 8-2. Regula pirghiei (sau a segmentelor inverse).

cele două puncte: segmentele ac și bc sînt invers proporționale cu cantitățile soluțiilor luate (fig. 8-2):

$$\text{însă} \quad G_a + G_b = G_c$$

$$x_a + x_b \neq x_c$$

Atunci:

$$\left. \begin{aligned} G_a \overline{ac} &= G_b \overline{bc}; \quad \frac{G_a}{\overline{bc}} = \frac{G_b}{\overline{ac}} \\ G_a \overline{ac} &= G_b \overline{ab} \\ G_c \overline{bc} &= G_a \overline{ab}; \quad \frac{G_c}{\overline{ab}} = \frac{G_b}{\overline{ac}} = \frac{G_a}{\overline{bc}} \end{aligned} \right\} \quad (8-1)$$

Aici:

G_a, G_b, G_c reprezintă masa componentelor amestecului a, b și c , în kg;
 x_a, x_b, x_c — conținutul oricărui component (A, B sau C) în amestecul a, b și c în % masă.

Aceleași corelații sînt valabile și la separarea fazelor a și b .

3. *Amestecurile ternare tipice*, avînd importanța practică cea mai mare, sînt prezentate în figurile 8-3 și 8-4. Aici, vîrfurile triunghiului A corespunde dizolvanțului primar (solid sau lichid), vîrfurile B — componentului extras (solid sau lichid), iar vîrfurile C — solventului secundar sau agentului de extracție (lichid).

În figura 8-3: linia $abcdKd'c'b'a'$ se numește marginală (binodală); cîmpul dinăuntru acestei curbe formează domeniul amestecurilor ce se stratifică în două faze corespunzătoare, a căror compoziție se exprimă prin punctele de pe curbă; cîmpul din exteriorul curbei este domeniul de miscibilitate al soluțiilor (omogene); punctul K este punctul critic; partea stîngă a curbei binodale — ramura rafinaților (restul de solvent primar după îndepărtarea

* Cunoscută și sub numele de regula segmentelor inverse (Nota trad.).

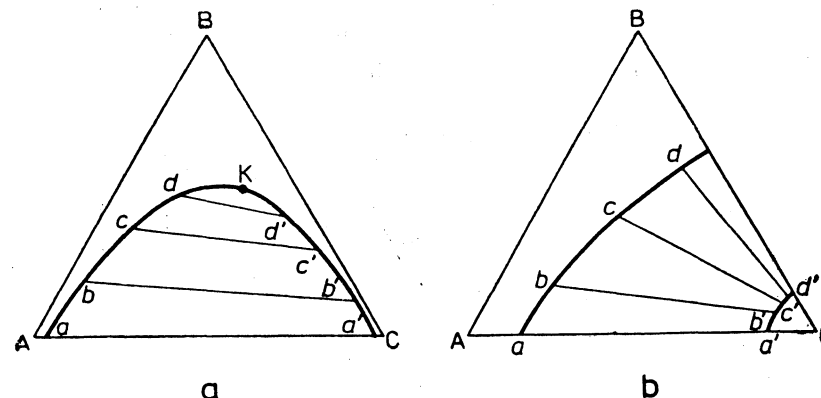


Fig. 8-3. Sistemul lichid-lichid cu una (a) și două (b) perechi de componente parțial solubili unul în altul (la $t=\text{const.}$).

din el a substanței de extras); partea dreaptă a curbei binodale — ramura extractelor; segmentele bb', cc', dd' care unesc punctele figurative ale fazelor corespunzătoare — coardele de echilibru (conode)*.

În figura 8-4: linia $abcde$ este curba binodală; cîmpul din stînga — domeniul amestecurilor ternare eterogene; cîmpul din dreapta — domeniul de stratificare; latura BC a triunghiului caracterizează compozițiile curenților superiori (soluția substanței de extras în solventul primar); curba binodală caracterizează compozițiile curenților inferiori (amestec eterogen de substanță solidă nedizolvată, component de extras și solvent, reținut în porii substanței solide); prelungind conodele bb', cc', dd' , acestea vor trece prin vîrfurile A al triunghiului.

4. *Constanta de repartiție* a componentului extras B între fazele extractului și rafinatului se exprimă prin relația:

$$k = \frac{y_B}{x_B}; \quad k \geq 1 \quad (8-2)$$

în care: y_B este conținutul componentului extras B în faza extractului, în % masă;
 x_B — conținutul în echilibru de component extras B în faza rafinatului, în % masă.

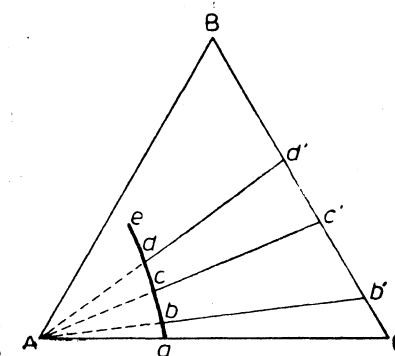


Fig. 8-4. Sistemul corp solid-lichid (la $t=\text{const.}$).

* Descrierea interpolării grafice a conodelor pe diagrama triunghiulară se va vedea în exemplul 8-1.

De obicei, constanta de repartiție depinde de concentrație; de aceea, calculele analitice (8-3) dau numai un rezultat aproximativ.

5. *Diagramele rectangulare.* Dacă solubilitatea reciprocă a solvenților primar (A) și secundar (B) se poate neglija, pentru calculul grafic se folosește mult mai comod diagrama în coordonatele $x'_B - y'_B$ (fracții masice relative), în care:

$$\left. \begin{aligned} x'_B &= \frac{x_B}{100 - x_B}; & \frac{\text{kg component extras}}{\text{kg solvent primar}} & \text{în faza de rafinat} \\ y'_B &= \frac{y_B}{100 - y_B}; & \frac{\text{kg component extras}}{\text{kg solvent secundar}} & \text{în faza de extract} \end{aligned} \right\} \quad (8-3)$$

6. *Diagramele rectangulare* se folosesc de asemenea în acele cazuri în care diagrama triunghiulară nu dă exactitate suficientă din cauza densității mari de linii.

Pe axa ordonatelor se pune raportul conținutului unuia din componentii sistemului ternar la suma conținuturilor celorlalți doi componente, iar pe axa absciselor — raportul conținutului altui component, la aceeași sumă. Deseori se folosesc următoarele coordonate:

a) coordonatele $X, Y - z, Z$ și $X - Y^*$ pentru sistemul lichid-lichid (fig. 8-5 cu aceleași notații ca pe fig. 8-3):

$$\left. \begin{aligned} X &= \frac{x_B}{x_A + x_B} = \frac{x_B}{100 - x_C}; & \frac{\text{kg } B}{\text{kg}(A + B)} & \text{în faza de rafinat} \\ Y &= \frac{y_B}{y_A + y_B} = \frac{y_B}{100 - y_C}; & \frac{\text{kg } B}{\text{kg}(A + B)} & \text{în faza de extract} \\ z &= \frac{x_C}{x_A + x_B} = \frac{x_C}{100 - x_C}; & \frac{\text{kg } C}{\text{kg}(A + B)} & \text{în faza de rafinat} \\ Z &= \frac{y_C}{y_A + y_B} = \frac{y_C}{100 - y_C}; & \frac{\text{kg } C}{\text{kg}(A + B)} & \text{în faza de extract} \end{aligned} \right\} \quad (8-4)$$

Formulele pentru calculul invers sînt:

$$\left. \begin{aligned} x_A &= \frac{1 - X}{1 + z}; & y_A &= \frac{1 - Y}{1 + Z} \\ x_B &= \frac{X}{1 + z}; & y_B &= \frac{Y}{1 + Z} \\ x_C &= \frac{z}{1 + z}; & y_C &= \frac{Z}{1 + Z} \end{aligned} \right\} \quad (8-4 a)$$

* Diagramă ajutătoare pentru aflarea conodelor.

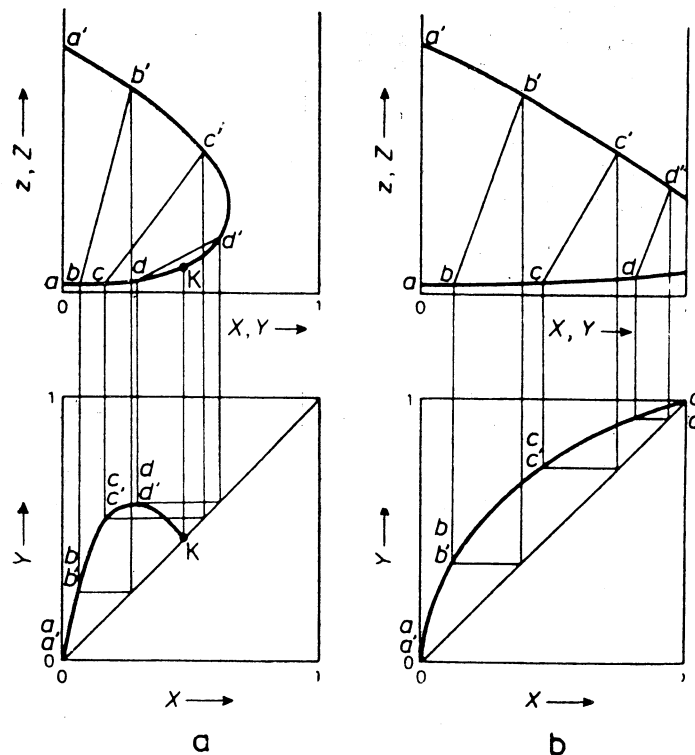


Fig. 8-5. Sistemul lichid-lichid cu una (a) și cu două (b) perechi de componente parțial solubili unul într-altul (la $t = \text{const.}$).

b) coordonatele $X', Y' - z', Z'$ pentru sistemele corp solid-lichid (fig. 8-6; cu aceleași notații ca pe fig. 8-4) sînt:

$$\left. \begin{aligned} X' &= \frac{x_B}{x_B + x_C} = \frac{x_B}{100 - x_A}; & \frac{\text{kg } B}{\text{kg}(B + C)} & \text{în curentul inferior} \\ Y' &= \frac{y_B}{y_B + y_C} = \frac{y_B}{100 - y_A}; & \frac{\text{kg } B}{\text{kg}(B + C)} & \text{în curentul superior} \\ z' &= \frac{x_A}{x_B + x_C} = \frac{x_A}{100 - x_A}; & \frac{\text{kg } A}{\text{kg}(B + C)} & \text{în curentul inferior} \\ Z' &= \frac{y_A}{y_B + y_C} = \frac{y_A}{100 - y_A}; & \frac{\text{kg } A}{\text{kg}(B + C)} & \text{în curentul superior} \end{aligned} \right\} \quad (8-5)$$

În aceste formule :

x_A, x_B, x_C reprezintă conținutul componentilor A, B, C în faza de rafinat (curentul inferior), în % masă;
 y_A, y_B, y_C — conținutul în echilibru de componente A, B, C în faza de extract (în curentul superior), în % masă.

* 7. *Extracția lichid-lichid în curent încrucișat.* Ecuația bilanțului general de materiale pentru treapta n de extracție* (fig. 8-7, a) este :

$$G_{R, n-1} + G_{S, n} = G_{R, n} + G_{E, n} \quad (8-6)$$

Ecuația bilanțului de materiale pentru componentul extras, pentru treapta n , este :

$$G_{R, n-1} \cdot x_{n-1} + G_{S, n} \cdot y_S = G_{R, n} \cdot x_n + G_{E, n} \cdot y_n \quad (8-7)$$

În cazul când solubilitatea reciprocă a solventului primar și a celui secundar (agent de extracție) se poate neglija, pentru calcul se utilizează diagrama rectangulară în coordonatele $x' - y'$ (p. ...).

Cantitatea solventului primar A (în kg sau kg/s) în amestecul inițial este :

$$G_A = G_E \frac{100 - x}{100} \quad (8-8)$$

Cantitatea de solvent secundar C_n (în kg sau kg/s) în extract este :

$$G_{C_n} = G_S \frac{100 - y_S}{100} \quad (8-9)$$

Ecuația liniei de lucru pentru treapta n este :

$$y'_n = - \frac{G_A}{G_{C_n}} (x'_n - x'_{n-1}) + y'_S \quad (8-10)$$

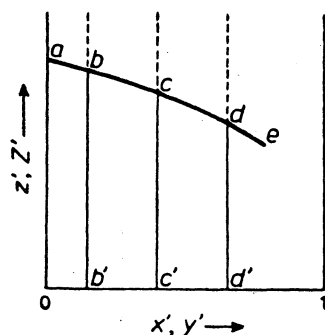


Fig. 8-6. Sistemul corp solid-lichid (la $t = \text{const.}$).

Unghiul de înclinare al liniei de lucru α este caracterizat de relația :

$$\text{tg } \alpha = \frac{G_A}{G_{C_n}} \quad (8-11)$$

Numărul treptelor de variație a concentrației (numărul treptelor de extracție) se determină prin numărul liniilor de lucru pe diagramă (fig. 8-7, b).

În cazul solubilității parțiale a solventului primar și a agentului de extracție, pentru calcule se folosește diagrama triunghiulară (fig. 8-7, c).

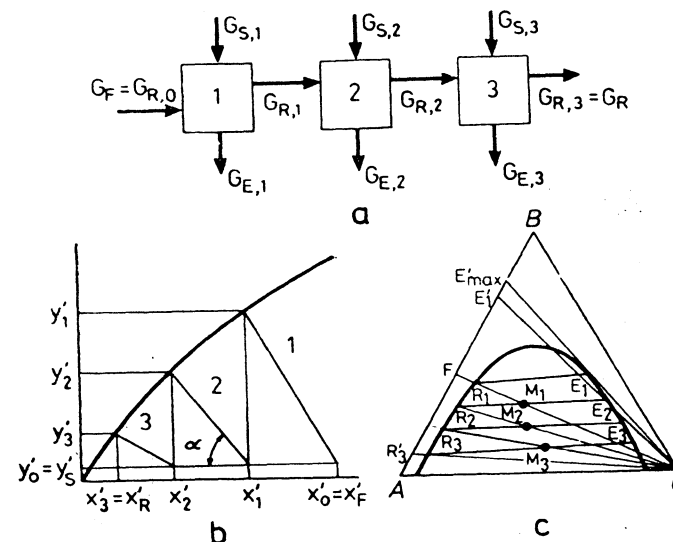


Fig. 8-7. Extracția lichid-lichid în curent încrucișat.

Poziția punctului M_n , ce caracterizează compoziția generală a amestecului pe treapta n , se determină după regula segmentelor inverse din relația curentilor :

$$\frac{G_{R, n-1}}{G_{S, n-1}}$$

Compoziția rafinatului x_n și a extractului y_n , rezultați din treapta n , se determină prin capetele conodelor (R_n și E_n), duse prin punctul M_n . Cantitatea de rafinat și de extract se determină de asemenea după regula segmentelor inverse.

Numărul necesar de trepte teoretice de extracție se determină prin numărul de conode $E_n R_n$ care încap pe diagramă pînă la atingerea compoziției date a rafinatului x_R .

Compoziția și cantitatea extractelor sau ale rafinatului după distilarea solventului se determină prin punctul intersecției dreptei duse prin virful G al triunghiului și punctul figurativ al extractului brut sau rafinatului cu latura AB.

Ordinea calculelor și a construcțiilor grafice se va vedea în exemplele 8-2 și 8-3.

8. *Extracția lichid-lichid în contracurent.* Ecuația bilanțului general de materiale pentru treapta n a instalației de extracție (fig. 8-8, a) este :

$$G_F + G_S = G_R + G_E \quad (8-12)$$

* Semnificația notațiilor: F — amestec inițial; S — solvent secundar sau agent de extracție; R — rafinat; E — extract.

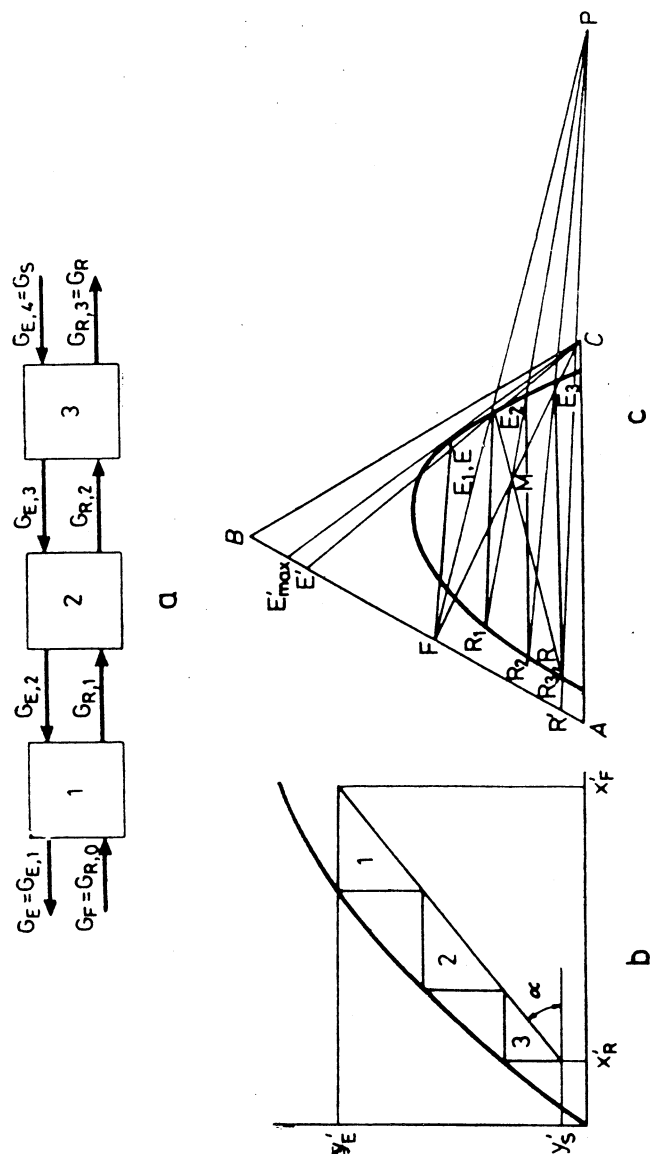


Fig. 8-8. Extracția lichid-lichid în contracurent.

Ecuatia bilanțului de materiale pentru componentul extras este :

$$G_F x_F + G_S y_S = G_R x_R + G_E y_E \quad (8-13)$$

În cazul cînd solubilitatea reciprocă a solventului primar și a agentului de extracție se poate neglija, cantitățile de solvenți puri, primar \$G_A\$ și secundar \$G_C\$, la fiecare treaptă, vor fi identice. Atunci, ecuația bilanțului de materiale pentru componentul extras este :

$$G_A(x'_F - x'_R) = G_C(y'_E - y'_S) \quad (8-14)$$

Ecuatia liniei de lucru este :

$$y'_{n+1} = \frac{G_A}{G_C}(x'_n - x'_F) + y'_E \quad (8-15)$$

Unghiul înclinării liniei de lucru \$\alpha\$ (fig. 8-8, b) se determină din relația :

$$\operatorname{tg} \alpha = \frac{G_A}{G_C} = \frac{y'_E - y'_S}{x'_S - x'_R} \quad (8-16)$$

Numărul necesar de trepte teoretice de extracție se determină grafic în același mod ca la absorbție sau la rectificare.

În cazul calculului procesului cu ajutorul diagramei triunghiulare (fig. 8-8, c), cantitatea de curenți se exprimă prin poziția punctului \$M\$, ce caracterizează compoziția fictivă (convențională) a amestecului în instalația de extracție, și se determină după regula segmentelor inverse din relațiile :

$$G_F + G_S = G_R + G_E = G_M$$

$$\frac{G_F}{G_S} = \frac{\overline{MC}}{\overline{FM}}; \quad \frac{G_R}{G_E} = \frac{\overline{MR}}{\overline{ME}} \quad (8-17)$$

Numărul necesar de trepte teoretice de extracție se determină prin numărul conodelor \$E_n R_n\$ care încap în construcția de pe diagramă pînă la atingerea compoziției date a rafinatului \$x_R\$.

Punctul \$P\$, numit polul de extracție, este punctul de intersecție a drepților concurente duse prin punctele \$F\$ și \$E\$, \$R\$ și \$C\$, \$R_n\$ și \$E_{n+1}\$ și servește pentru aflarea punctelor figurative ale extractelor pe ramura extractelor curbei binodale*. Ordinea calculelor și a construcțiilor grafice se va vedea în exemplul 8-4.

9. Extracția lichid-lichid în contracurent cu reflux**

Bilanțul general de materiale pentru instalația de extracție (fig. 8-9, a) este :

$$G_F = G'_E + G'_R \quad (8-18)$$

(aici, ca și în continuare se admite că, curenții \$G_{S,0}\$, \$G_{S,1}\$ și \$G_{S,n+1}\$ reprezintă solventul pur \$C\$, iar curenții \$G'_E\$ și \$G'_R\$ nu conțin solvent).

Bilanțul de materiale pentru componentul extras \$B\$ este :

$$G_F x_F = G'_E y_E + G'_R x_R \quad (8-19)$$

* Polul de extracție se poate afla atât la dreapta, cît și la stînga triunghiului.

** În funcție de condiții se poate utiliza ca reflux unul din componenți sau ambii.

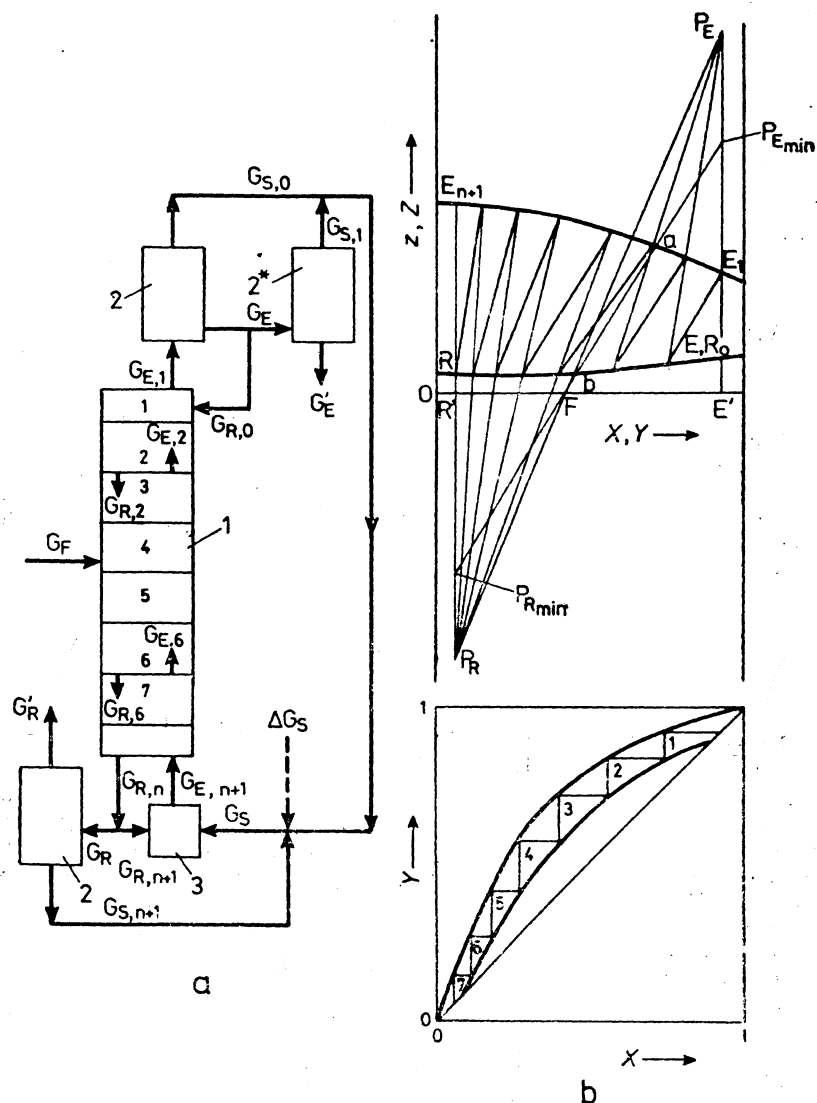


Fig. 8-9. Extracția lichid-lichid în contracurent cu reflux:
1 — extractor; 2 și 2* — aparate pentru distilarea solventului; 3 — vas de amestecare.

Coefficienții minimali de reflux ai extractului R_{Emin} și rafinatului R_{Rmin} se determină (fig. 8-9, b) prin punctele de intersecție P_{Emin} și P_{Rmin} (polurile părții de extracție sau de concentrare, și de rafinare sau de epuizare, a coloanei) ale conodelor ab , trecând la prelungirea lor prin punctul F cu ordonatele, trecute prin punctele figurative E' și R' .

$$\left. \begin{aligned} R_{Emin} &= \frac{G_{R,0}}{G_E} = \frac{\overline{P_{Emin}E_1}}{\overline{E_1E}} \\ R_{Rmin} &= \frac{G_{R,n+1}}{G_R} = \frac{\overline{P_{Rmin}R}}{\overline{RE_{n+1}}} \end{aligned} \right\} \quad (8-20)$$

Refluxurilor minime le corespunde un număr infinit de trepte de extracție necesare. Coeficienții de lucru ai refluxului sînt:

$$\left. \begin{aligned} R_E &= \beta R_{Emin} = \frac{\overline{PE_1}}{\overline{E_1E}} \\ R_R &= \beta R_{Rmin} = \frac{\overline{PR}}{\overline{RE_{n+1}}} \end{aligned} \right\} \quad (8-21)$$

unde β este coeficientul de exces al refluxului, totdeauna mai mare ca 1. Cantitatea curenților și consumul de solvent se determină pe calea următoarelor calcule:

$$\begin{aligned} G_{S-1} &= G'_E z_E \\ G_E &= G'_E + G_{S-1} = G'_E(1 + z_E) \end{aligned} \quad (8-22)$$

$$\begin{aligned} G_{R,0} &= R_E G_E \\ G_{R,0} + G_E &= G_E(1 + R_E) = G'_E(1 + z_E)(1 + R_E) \\ G_{S,0} &= \frac{G_{R,0} + G_E}{1 + z_E} (z_{E,1} - z_E) = G'_E(1 + R_E)(z_{E,1} - z_E) \end{aligned} \quad (8-23)$$

$$G_{E,1} = G_{S,0} + (G_{R,0} + G_E) \text{ etc.}$$

$$G_{S,n+1} = G'_R z_R$$

$$G_R = G'_R + G_{S,n+1} = G'_R(1 + z_R) \quad (8-24)$$

$$G_{R,n+1} = R_R G_R = R_R G'_R(1 + z_R)$$

$$G_{C,n+1} = R_R G'_R z_R \text{ etc.} \quad (8-25)$$

Aici, $G_{C,n+1}$ este cantitatea de solvent C în rafinatul $G_{R,n+1}$, îndreptat în vasul amestecător.

Cantitatea totală de solvent care circulă este:

$$G_{Stot} = G'_E[(1 + R_E)(z_{E,1} - z_E) + z_E] + G'_R(1 + R_R)z_R \quad (8-26)$$

Numărul necesar de trepte teoretice de extracție se determină grafic cu ajutorul diagramelor $X, Y-z, Z$ și $X-Y$ (fig. 8-9, b). Metoda de construcție este descrisă în exemplele 8-10 și 8-11.

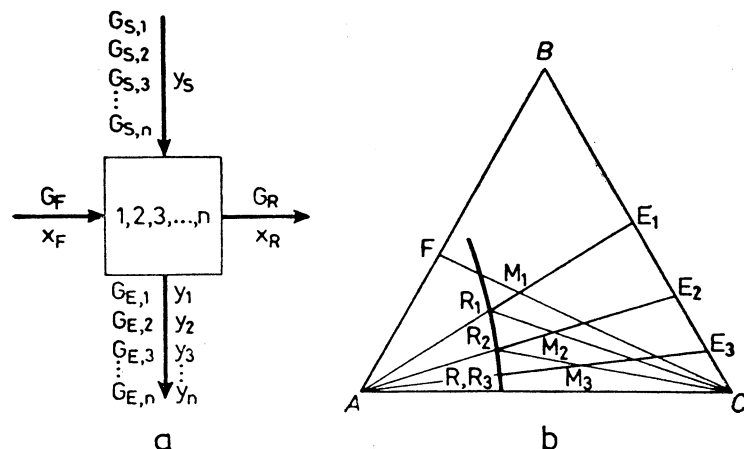


Fig. 8-10. Extracția solid-lichid cu schimbarea periodică a solventului.

10. Extracția din corp solid (elutriere) cu schimbarea periodică a solventului.*

Ecuatia bilanțului de materiale pentru treapta n este aceeași ca și pentru extracția lichid-lichid în curent încrucișat (fig. 8-10, a) și ecuațiile (8-6) și (8-7).

În cazul cînd prelucrarea are loc cu solvent pur C, gradul de extracție al componentului extras (raportul dintre cantitatea de component de extras din reziduu și cantitatea acestui component în materialul inițial) se poate calcula după formula :

$$\varphi = \frac{G_{R,n} x_n}{G_F x_F} = \frac{1}{(1 + a_1)(1 + a_2)(1 + a_3) \dots (1 + a_i) \dots (1 + a_n)} \quad (8-27)$$

unde :

$$a_i = \frac{G_{E,i}}{G_{R,i}}$$

este așa numitul raport al curenților : raportul

masei soluției separate la masa soluției, reținute de substanța solidă (se poate folosi și raportul volumelor soluțiilor) ;

$G_{R,i} = G_{R,i}(1 - x_A)$ — masa componentilor B și C.

Dacă raportul curenților este constant, adică $a_1 = a_2 = a_3 = a_n = \text{const.}$, atunci formula se simplifică :

$$\varphi = \frac{1}{(1 + a)^n} \quad (8-28)$$

unde n este numărul de trepte de extragere.

Calculul cu ajutorul diagramei triunghiulare este analog calculului pentru extracția lichid-lichid în curent încrucișat (fig. 8-10, b).

* Schema procesului este analogă extracției lichid-lichid în curent încrucișat.

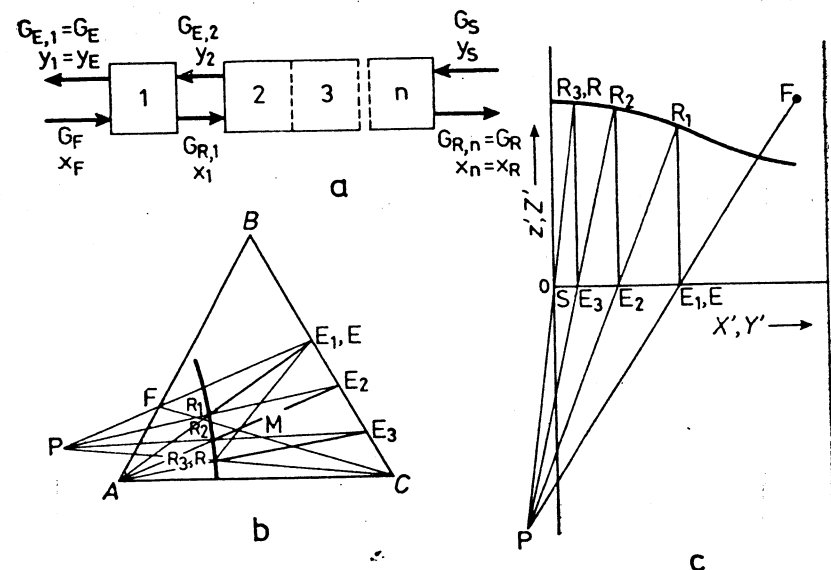


Fig. 8.11. Extracția solid-lichid în contracurent.

11. Extracția solid-lichid în contracurent

Ecuatiile bilanțurilor de materiale sînt aceleași ca și pentru extracția lichid-lichid în contracurent (fig. 8-11, a) și relațiile (8-12) și (8-13).

În cazul cînd raportul curenților pentru toate treptele în afară de prima, este constant, adică $a_2 = a_3 = \dots = a = \text{const.}$, gradul de extracție al componentului de extras, se poate determina după formula :

$$\varphi = \frac{1}{1 + a_1(1 + a + a^2 + \dots + a^{n-1}) - \frac{G_S y_S}{G_{R,n} x_n} [1 + a_1(1 + a + a^2 + \dots + a^{n-2})]} \quad (8-29)$$

La întrebuintarea solventului pur ($y_S = 0$), această expresie se simplifică :

$$\varphi = \frac{1}{1 + a_1(1 + a + a^2 + \dots + a^{n-1})} \quad (8-30)$$

Dacă în afară de aceasta, materialul solid care se introduce conține deja aceeași cantitate de soluție, ca și între trepte, adică $a_1 = a$, se obține :

$$\varphi = \frac{1}{1 + a + a^2 + \dots + a^n} \quad (8-31)$$

Numărul necesar de trepte teoretice de extracție*, la raport constant al curenților $a_2 = a_3 = \dots = a = \text{const.}$, se poate determina după formula :

$$n_c - 1 = \frac{\lg \frac{x_R - y_S}{x_1 - y_1}}{\lg \frac{y_1 - y_S}{x_1 - x_R}} = \frac{\lg \frac{x_1 - y_1}{x_R - y_S}}{\lg \frac{x_1 - x_R}{y_1 - y_S}} \quad (8-32)$$

În cazul general, calculul se poate efectua cu ajutorul diagramei triunghiulare (fig. 8-11, l) sau al diagramei rectangulare în coordonatele X' , $Y' = x'$, Z' (fig. 8-11, m). Metoda de calcul este analogă calculului pentru extracția lichidului în contracurent.

8.1. EXEMPLE

Exemplul 1. Să se construiască diagrama triunghiulară a echilibrului de fază pentru sistemul apă-acetonă-clorbenzen. Datele necesare se vor lua din tabela 8-1. Să se determine pe diagramă : a) conținutul în apă și clorbenzen în stratul apos, cu concentrația în acetonă de 45% (masă); b) compoziția stratului de clorbenzen în echilibru cu stratul apos; c) cantitatea de acetonă la adăugarea căreia va înceta stratificarea amestecului de 0,11 kg clorbenzen și 0,09 kg apă.

Tabela 8-1

Compozițiile de echilibru ale fazelor existente [în % (masă)]

Stratul apos			Stratul de clorbenzen		
apă	acetonă	clorbenzen	apă	acetonă	clorbenzen
99,89	0	0,11	0,18	0	99,82
89,79	10	0,21	0,49	10,79	88,72
79,69	20	0,31	0,79	22,23	76,98
69,42	30	0,58	1,72	37,48	60,80
58,64	40	1,36	3,05	49,44	47,51
46,28	50	3,72	7,24	59,19	33,57
27,41	60	12,59	22,85	61,07	15,08
25,66	60,58	13,76	25,66	60,58	13,76

Rezolvare. Se desenează un triunghi echilateral (fig. 8-12). Se găsesc pe latura AC punctele 1 și 1' corespunzătoare primului rând din tabela 8-1. În interiorul triunghiului se găsesc punctele 2 și 2', corespunzătoare celui de-al doilea rând al tabelului, și se unesc prin segmentul de dreaptă 2-2'. La căutarea punctelor în interiorul triunghiului, la început se fixează pe latura AB con-

* Acest număr se poate determina grafic, identic ca și pentru sistemul binar, pe diagrama rectangulă în coordonatele $y - x'$, unde $x' = \frac{x_B}{1 - x_A}$, adică masa substanței solide nedizolvate nu participă în calcul. În acest caz, ecuația liniei de echilibru este $y^* = x'$, ecuațiile liniilor de lucru se deduc ușor din ecuațiile bilanțurilor de materiale.

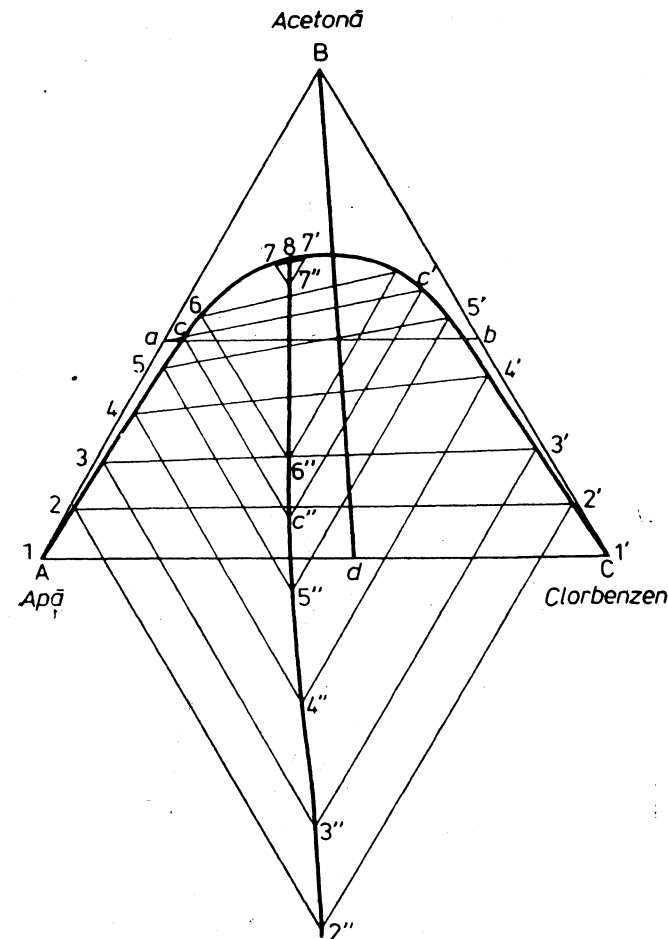


Fig. 8-12. Schița la exemplul 8-1.

ținutul acetonei în soluție, iar apoi paralel cu latura AC conținutul în clorbenzen. După aflarea tuturor punctelor, ele se unesc printr-o curbă continuă.

a) prin punctul a , pe latura AB se duce dreapta ab , paralelă laturii AC. Segmentul ab este locul geometric al punctelor, caracterizând amestecuri cu un conținut de 45% (masă) acetonă. La intersecția segmentului ab cu partea stângă a curbei binodale se găsește punctul c , ce caracterizează compoziția stratului apos : 52,8% (masă) apă, 2,2% (masă) clorbenzen ;

b) pentru determinarea compoziției fazei coexistente, prin punctele 2, 2', 3, 3', ..., 7, 7' se duc drepte, paralele cu laturile laterale ale triunghiului, iar punctele intersecției lor 2'', 3'', ..., 7'' se unesc printr-o dreaptă con-

tinuă. Apoi, prin punctul c se duce o dreaptă paralelă laturii BC , pînă la intersecția cu curba de legătură în punctul c'' , iar din punctul c'' — o dreaptă paralelă laturii AB , pînă la intersecția cu curba binodală. Punctul c' este cel căutat.

Conținutul stratului: 54% (masă) acetonă; 4,3% (masă) apă, 40,8% (masă) clorbenzen;

c) se găsește pe latura AC punctul d , ce caracterizează compoziția generală a amestecului dat $\left(\frac{0,09}{0,09 + 0,11} \cdot 100 = 45\% \text{ (masă) apă și } 55\% \text{ (masă)}$

clorbenzen). La adaosul în acest amestec al acetonei, compoziția lui generală se va modifica după linia dB , la intersecția căreia cu curba binodală se găsește punctul căutat e . Cantitatea necesară de acetonă se determină din corelația segmentelor Be și ed :

$$\frac{G_a}{G_B} = \frac{Be}{ed}; \quad G_B = \frac{(0,09 + 0,11) \cdot 53,5}{33} = 0,325 \text{ kg}$$

Exemplul 8-2. Acetona se extrage cu clorbenzen dintr-o soluție apoasă 50%. Rafinatul trebuie să conțină nu mai mult de 2% (masă) acetonă. Folosind diagrama construită în exemplul precedent, să se determine cantitatea de solvent necesară pentru prelucrarea a 100 kg amestec inițial, dacă extracția are loc într-o singură treaptă. Să se determine de asemenea cantitatea de rafinat, cantitatea și compoziția extractului, după îndepărtarea solventului.

Rezolvare. Prin punctul R (fig. 8-13), ce caracterizează compoziția rafinatului, se duce conoda RE . Punctul F ce caracterizează compoziția ames-

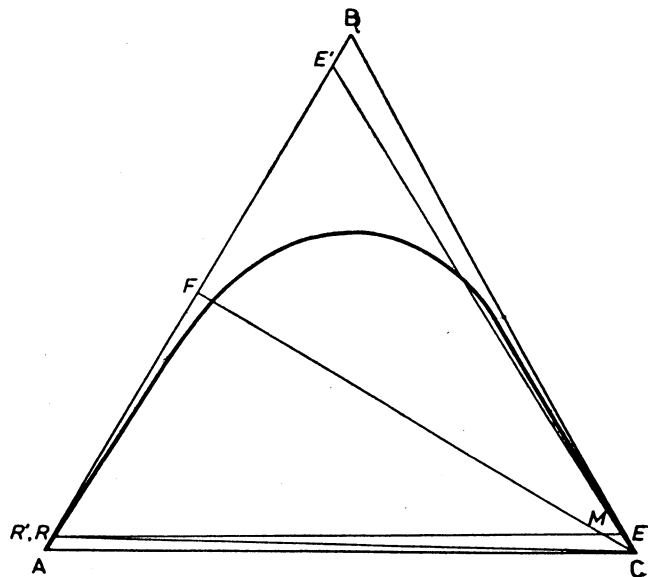


Fig. 8-13. Schița la exemplul 8-2.

tecului inițial, se unește cu vârful C al triunghiului. Punctul M de intersecție al liniilor FC și RE determină compoziția amestecului de soluție inițială cu solventul, necesar pentru obținerea rafinatului de compoziție dată. Cantitatea necesară de solvent se află din raportul:

$$\frac{G_s}{G_F} = \frac{FM}{MC}; \quad G_s = \frac{100 \cdot 81,5}{5} = 1\,630 \text{ kg}$$

Masa amestecului obținut este:

$$G_M = 1\,630 + 100 = 1\,730 \text{ kg}$$

Cantitatea de extract se află din raportul:

$$\frac{G_E}{G_M} = \frac{RM}{RE}; \quad G_E = \frac{1\,730 \cdot 94,4}{97} = 1\,682 \text{ kg}$$

Masa rafinatului este:

$$G_R = G_M - G_E = 1\,730 - 1\,682 = 48 \text{ kg}$$

Cantitatea de extract după îndepărtarea solventului din el va fi:

$$G'_E \approx G_E - G_s = 1\,682 - 1\,630 = 52 \text{ kg}$$

Întrucît, în acest caz, solubilitatea clorbenzenului în rafinat se poate neglija.

Compoziția extractului după îndepărtarea din el a solventului, se determină prin punctul de intersecție E' al laturii AB cu linia dusă din vârful C prin punctul E ; conținutul: în acetonă 95,5% (masă), în apă 4,5% (masă).

Exemplul 8-3. În condițiile exemplului precedent să se determine cantitatea necesară de solvent, compoziția și cantitatea de produse și numărul treptelor de extracție, dacă pe fiecare treaptă extracția se efectuează cu solvent proaspăt în cantitate egală cu masa amestecului de prelucrat.

Rezolvare. La amestecarea cantităților egale de soluție inițială și clorbenzen, poziția punctului M_1 (fig. 8-14) ce caracterizează compoziția comună a amestecului se determină din raportul:

$$\frac{FM_1}{M_1C} = \frac{100}{100} = 1; \quad FM_1 = M_1C$$

Prin punctul M_1 se duce conoda R_1E_1 . Punctele R_1 și E_1 caracterizează compozițiile și cantitățile rafinatului și ale extractului primei trepte. Rafinatul primei trepte se separă și din nou se amestecă cu o cantitate de solvent egală masei lui. Poziția punctului M_2 , ce determină compoziția amestecului în treapta a doua, se află din raportul:

$$\frac{G_{R,1}}{G_s} = \frac{M_2C}{R_1M_2} = 1; \quad R_1M_2 = M_2C$$

Prin punctul M_2 din nou se duce conoda etc. Construcția se continuă pînă cînd va fi atinsă compoziția cerută de rafinat. În exemplul de față, pentru aceasta sînt necesare patru trepte de extracție.

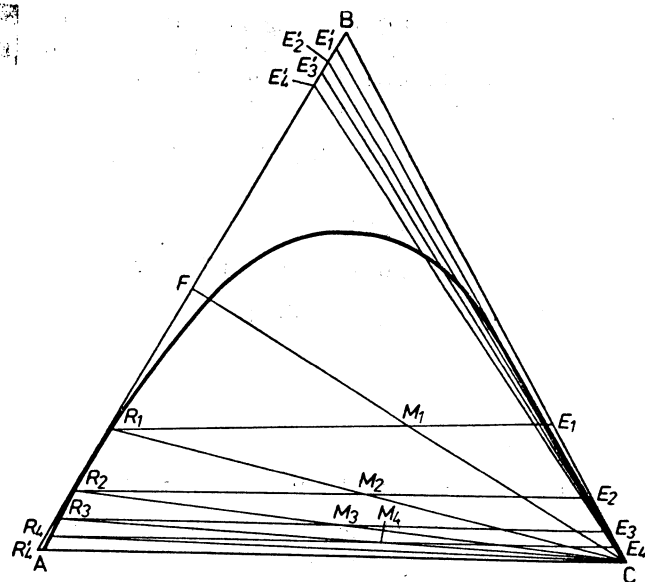


Fig. 8-14. Schița la exemplul 8-3.

Se determină cantitățile de rafinat și solvent pe trepte :

$$G_{S, t} = G_{R, t-1}; \quad G_{R, 2} = \frac{2 \cdot 63,5 \cdot 37,5}{86,5} = 55,1 \text{ kg};$$

$$G_{R, t} = \frac{2G_{R, t-1}M_tE_t}{R_tE_t}; \quad G_{S, 3} = 55,1 \text{ kg};$$

$$G_{S, 1} = G_{R, 0} = G_F = 100 \text{ kg}; \quad G_{R, 3} = \frac{2 \cdot 55,1 \cdot 55}{93} = 52,1 \text{ kg};$$

$$G_{R, 1} = \frac{2 \cdot 100 \cdot 23,5}{74} = 63,5 \text{ kg}; \quad G_{S, 4} = 52,1 \text{ kg};$$

$$G_{S, 2} = 63,5 \text{ kg}; \quad G_{R, 4} = \frac{2 \cdot 52,1 \cdot 45}{96} = 49,0 \text{ kg}$$

Cantitatea totală de solvent este :

$$G_S = \sum G_{S, t} = 100 - 63,5 + 55,1 + 52,1 = 270,8 \text{ kg}$$

Cantitatea totală de extract este :

$$G_E = G_F + G_S - G_{R, 4} = 100 + 270,8 - 49,0 = 321,8 \text{ kg}$$

După îndepărtarea solventului rămâne :

$$G_{R'} \cong G_E - G_S = 321,8 - 270,8 = 51 \text{ kg}$$

Compoziția medie a extractului este de $\sim 96\%$ (masă) acetonă.

Exemplul 8-4. În condițiile exemplului 8-2 să se determine compoziția și cantitatea produselor, și, de asemenea, numărul treptelor teoretice de extracție, dacă extracția are loc în contracurent la un raport al curentilor de 1 : 1.

Rezolvare. Prin punctul R (fig. 8-15), ce caracterizează compoziția rafinatului, și punctul M , ce determină compoziția comună fictivă a amestecului soluției inițiale cu întregul solvent (întrucât $G_F : G_S = 1$; $FM = MC$), se duce o dreaptă pînă la intersecția cu ramura dreaptă a curbei binodale în punctul E corespunzător compoziției extrasului. La prelungirea segmentelor FE și RC , ele se intersectează în punctul P (pol). Polul este punctul de întretăiere al tuturor dreptelor concurente care trec prin punctele ce caracterizează compoziția rafinatului pe oricare treaptă și compoziția extractului pe treapta următoare. Liniile 1-1', 2-2', ..., 4-4' sînt conode; numărul lor determină numărul teoretic al treptelor de extracție. În acest mod, numărul treptelor se determină pe cale grafică, în succesiunea trasării liniilor: FC , RME ($1'$), FEP , RCP , $1-1'$, $1-P$, $2-2'$, $2-P$, $3'-3$, $3-P$, $4'-4$ (R). În cazul dat, $N_C = 4$.

Cantitatea de extract se determină din relația :

$$\frac{G_E}{G_M} = \frac{G_E}{G_F + G_S} = \frac{RM}{RE};$$

$$G_E = \frac{(100 + 100) \cdot 64}{85} =$$

$$= 150,5 \text{ kg}$$

După îndepărtarea solventului din extract, masa ultimului va fi :

$$G_{R'} = 150,5 - 100 =$$

$$= 50,5 \text{ kg}$$

Compoziția extractului final este caracterizată de punctul E' : acetonă 97,5% (masă); apă, 25% (masă).

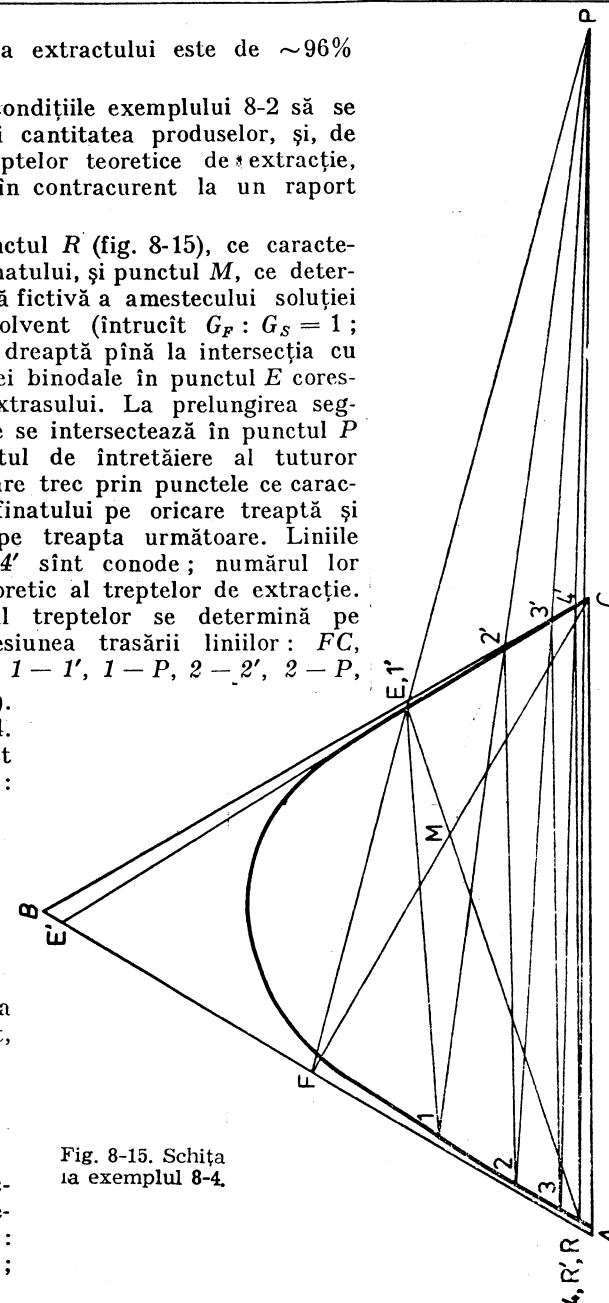


Fig. 8-15. Schița la exemplul 8-4.

Cantitatea de rafinat este :

$$G'_R \approx G_R = G_M - G_E = 200 - 150,5 = 49,5 \text{ kg}$$

Rezultatele exemplurilor 8-2, 8-3, și 8-4 sint date spre comparare în tabela 8-2.

Tabelul 8-2

Caracteristica procesului	Curent încrucișat		Contracurent
Numărul de trepte	1	4	4
Consumul de solvent, în kg	1 630	270,8	100
Rafinat rezultat, în kg	48	49	49,5
Extract rezultat, în kg	1 682	321,8	150,5
Extract rezultat după îndepărtarea solventului, în kg	52	51	50,5
Conținutul de acetonă în extract după îndepărtarea solventului, în % (masă)	95,5	96	97,5

Datele inițiale : amestecul constă din apă (A), acetonă (B) și clorbenzen (C); $x_F = 50\%$ (masă); $x_R = 2\%$ (masă); $y_S = 0$; $G_F = 100$ kg.

Din tabelă se vede că extracția în contracurent are în cazul dat mari avantaje (consum mai mic de solvent, înaltă puritate a extractului, ș.a.).

Exemplul 8-5. Să se evalueze aproximativ dacă este justificată folosirea extracției în exemplul 8-4, dacă îndepărtarea solventului din extract are loc prin rectificare continuă. Conținutul maxim admis de clorbenzen în distilat este de 10% (masă), iar de acetonă în reziduu de 1% (masă). Coeficientul de exces al refluxului se ia în ambele cazuri egal cu 2.

Rezolvare. Extractul trimis la distilare se consideră, pentru simplificare, ca fiind amestec binar. Cifra minimă de reflux și numărul de talere teoretice, se determină, după datele de echilibru, prin metodele obișnuite (calculul nu se redă aici). Datele obținute se redau în tabela 8-3.

Tabelul 8-3

Caracteristica procesului	Rectificarea amestecului acetonă-apă	Extracția acetonei urmată de rectificarea amestecului acetonă-clorbenzen.
Conținutul acetonei în amestecul inițial, % :		
masă	50	32,5
moli	23,7	47,8
Conținutul acetonei în distilat, % :		
masă	97,5	90
moli	92,4	94,5
Conținutul acetonei în reziduu, % :		
masă	2	1
moli	0,63	1,9
Cifra de reflux :		
R_{min}	0,38	0,16
R	0,76	0,32
Numărul de talere teoretice :	10	7
Raportul consumului de căldură pentru rectificare :		
$\frac{q_1}{q_2} = \frac{r(R_1 + 1)}{r(R_2 + 1)}$	$\frac{0,76 + 1}{0,32 + 1} = 1,33$	

Din compararea rezultatelor rezultă concluzia că, în cazul dat, este justificabilă folosirea extracției, dar economia, dacă se ia în considerare costul utilajului și cheltuielile de exploatare, va fi neînsemnată. Pentru o hotărâre definitivă a problemei este necesară o analiză mai amănunțită.

Exemplul 8-6. Amestecul binar de 1,4-dioxan cu apă nu poate fi separat prin rectificare la presiune atmosferică, ca urmare a formării unui amestec azeotrop. Pentru îndepărtarea dioxanului se folosește extracția lui din soluția apoasă cu benzen, urmată de rectificarea amestecului dioxan-benzen. Să se determine concentrația finală a dioxanului în apă, dacă 150 kg de 20% dioxan se prelucurează consecutiv cu cinci părți de benzen a 100 kg fiecare. Solventul proaspăt conține 2% (masă) dioxan. Pe fiecare treaptă de extracție se atinge echilibrul. Se neglijează solubilitatea reciprocă a apei și a benzenului.

Datele asupra solubilității dioxanului în apă și benzen la 25°C :

Conținutul dioxanului în apă, în

% (masă) 5,1 18,9 25,2

Conținutul dioxanului în benzen

la echilibru, în % (masă) 5,2 22,5 32,0

Rezolvare. Se transformă procente molare în fracții molare relative :

Conținutul dioxanului în apă :

$$x' = \frac{x}{100 - x} \frac{\text{kg dioxan}}{\text{kg apă}}$$

Conținutul dioxanului în benzen la echilibru :

$$y' = \frac{y}{100 - y} \frac{\text{kg dioxan}}{\text{kg benzen}}$$

La aceasta se obține :

x' , kg dioxan/kg apă 0,0537 0,233 0,337

y' , kg dioxan/kg benzen 0,0548 0,291 0,471

Conținutul dioxanului în amestecul inițial este :

$$x'_S = \frac{20}{100 - 20} = 0,25 \frac{\text{kg dioxan}}{\text{kg apă}}$$

Conținutul dioxanului în solventul proaspăt este :

$$y'_S = \frac{2}{100 - 20} = 0,022 \frac{\text{kg dioxan}}{\text{kg benzen}}$$

Cantitatea de apă G_A în amestecul inițial G_F se poate determina după formula :

$$G_A = G_F \frac{100 - x_F}{100} = \frac{150(100 - 20)}{100} = 120 \text{ kg}$$

Cantitatea de benzen G_C , ce revine la $G_S = 100$ kg solvent proaspăt, se poate afla astfel :

$$G_C = G_S \frac{100 - y_S}{100} = \frac{100(100 - 2)}{100} = 98 \text{ kg}$$

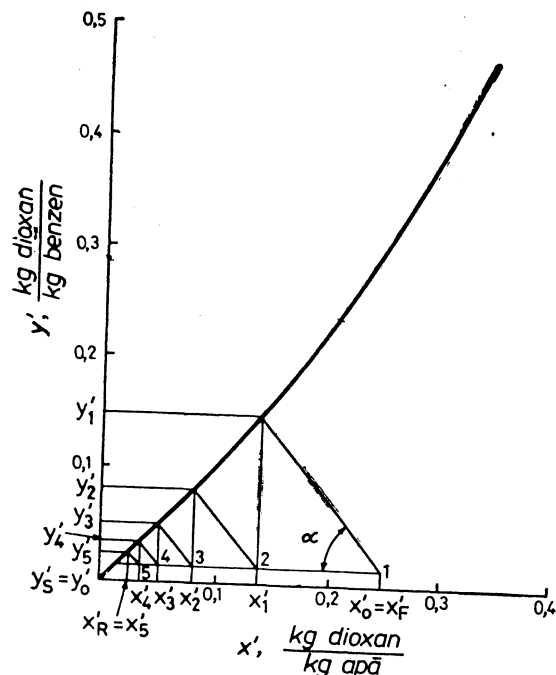


Fig. 8-16. Schița la exemplul 8-6.

sau

$$x_R = x_5 = \frac{0,022 \cdot 100}{1 + 0,022} = 2,15\% \text{ (masă) dioxan.}$$

Exemplul 8-7. Într-un extractor în contracurent cu funcționare continuă se prelucrează cu benzen pur, ape fenolice reziduale cu scopul curățirii apei și îndepărtării fenolului. Să se determine cantitatea necesară de solvent și numărul treptelor teoretice de extracție, dacă pe oră se prelucrează 10 m^3 apă. Conținutul fenolului în apă: inițial 8 kg/m^3 , final $0,5 \text{ kg/m}^3$; concentrația finală a fenolului în benzen 25 kg/m^3 ; temperatura lichidului — 25°C .

Rezolvare. Datele de echilibru se iau după [0-24]: Conținutul fenolului în apă c_1 în val/1 . . . 0,0272 0,1013 0,3660

Conținutul fenolului în benzen la

echilibru c_2 , în val/1 . . . 0,062 0,0279 2,978

Se recalculează concentrațiile în kg/m^3 :

$$x' \approx 15,686c_1$$

$$y' \approx 15,686c_2$$

la care se obține:

Conținutul fenolului în apă x' , în kg/m^3 0,426 1,59 5,74

Conținutul fenolului în benzen la

echilibru y' , în kg/m^3 0,974 4,37 46,7

Panta liniilor de lucru se calculează cu formula (8-16):

$$\text{tg } \alpha = \frac{G_A}{G_C} = \frac{120}{98} = 1,225$$

Pe figura 8-16, prin punctul 1 cu coordonatele x'_F și y'_S se duce o dreaptă cu panta 1,225 : 1, pînă la intersecția cu linia de echilibru. Coordonatele punctului de intersecție caracterizează conținuturile extracției y'_1 și rafinamentului x'_1 pentru prima treaptă. Prin punctul 2 cu coordonatele x'_1 și y'_S din nou se duce o dreaptă cu înclinarea 1,225 : 1, pînă la intersecția cu dreapta de echilibru etc. Conținutul rafinamentului pe ultima treaptă este:

$$x'_R = x'_S = 0,022 \frac{\text{kg dioxan}}{\text{kg apă}}$$

Cantitatea necesară de benzen se află din ecuația bilanțului de materiale:

$$V_F(x'_N - x'_K) =$$

$$= V_S(y'_K - y'_N)$$

$$V_S = \frac{10}{3600} \cdot \frac{8 - 0,5}{25 - 0} =$$

$$= 0,00083 \text{ m}^3/\text{s}$$

$$G_S = 0,00083 \cdot 879 =$$

$$= 0,73 \text{ kg/s}$$

Numărul de trepte teoretice se determină grafic: se duce pe diagrama de echilibru, linia de lucru construită după datele indi-

cate (fig. 8-17), care trece prin punctele cu coordonatele x'_N, y'_K și x'_K, y'_N și se înscriu, între linia de lucru și curba de echilibru, treptele de schimbare a concentrației. În cazul dat sînt necesare șapte trepte.

Exemplul 8-8. După datele de echilibru al fazelor indicate în tabela 8-4 [în % (masă)], să se construiască diagramele pentru sistemul apă (A) — acid acetic (B) — eter etilic (C) la 25°C în coordonatele: a) X, Y—z, Z; b) X—Y.

Tabela 8-4

Stratul apos			Stratul eteric		
apă	acid acetic	eter etilic	apă	acid acetic	eter etilic
93,3	0	6,7	2,3	0	97,7
88,0	5,1	6,9	3,6	3,8	92,6
84,0	8,8	7,2	5,0	7,3	87,7
78,2	13,8	8,0	7,2	12,5	80,3
72,1	18,4	9,5	10,4	18,1	71,5
65,0	23,1	11,9	15,1	23,6	61,3
55,7	27,9	16,4	23,6	28,7	47,7

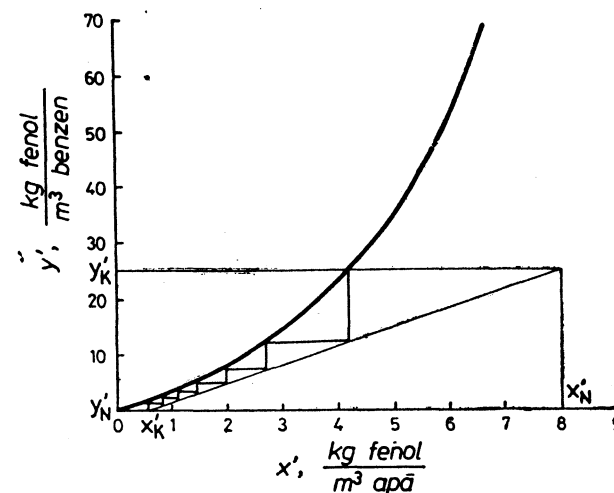


Fig. 8-17. Schița la exemplul 8-7.

Rezolvare. Se calculează concentrațiile cu formulele (8-4):

$$X = \frac{x_B}{x_A + x_B} \frac{\text{kg acid acetic}}{\text{kg (apă + acid acetic)}}$$

$$Y = \frac{y_B}{y_A + y_B} \frac{\text{kg acid acetic}}{\text{kg (apă + acid acetic)}}$$

$$z = \frac{x_C}{x_A + x_B} \frac{\text{kg eter etilic}}{\text{kg (apă + acid acetic)}}$$

$$Z = \frac{y_C}{y_A + y_B} \frac{\text{kg eter etilic}}{\text{kg (apă + acid acetic)}}$$

Datele obținute se trec în tabela 8-5.

Tabelul 8-5

Stratul apos		Stratul eteric	
X	z	Y	z
0	0,072	0	42,55
0,055	0,074	0,514	12,53
0,095	0,078	0,593	7,14
0,150	0,087	0,635	4,07
0,204	0,105	0,635	2,51
0,263	0,135	0,610	1,58
0,333	0,196	0,549	0,913

dacă extracția are loc în contracurent: a) pentru 15% acid în amestecul inițial; b) pentru 5% acid în amestecul inițial*.

Rezolvare. Pe diagrama X-Y (fig. 8-18) se observă că în echilibru cu amestecul inițial $X = 0,15$ se află extractul care conține acid acetic cu $Y = 0,635$; cu amestecul inițial $X = 0,05$ se află în echilibru extractul cu $Y = 0,46$. În acest mod, în primul caz concentrația maximală a acidului acetic în extract (după distilarea solventului) este de 63,5% (masă), în al doilea caz 46% (masă); în condițiile reale, cele mai mari concentrații atinse vor fi cu ceva mai mici.

Exemplul 8-10. Să se calculeze numărul necesar de trepte și cantitatea de solvent pentru extracția acidului acetic din soluția apoasă cu eter etilic ($t = 25^\circ\text{C}$), dacă concentrația amestecului inițial este de 5% (masă), iar concentrația extractului după distilarea solventului este de 60% (masă)-

* Extracția acidului acetic din apă este justificată la nu prea mari concentrații, întrucât temperatura lui de fierbere este de $118,1^\circ\text{C}$ și, pentru separarea prin rectificare a unei cantități mici de acid, va trebui evaporată și o cantitate de apă, egală cu $(G_p - G_w)(R + 1)$, unde G_w este masa acidului concentrat, iar R - cifra de reflux.

Construcția diagramelor se face în modul obișnuit (fig. 8-18). Pe diagrama X, Y-z, Z nu se duc conodele (pentru găsirea lor în calcule servește diagrama ajutătoare X-Y).

Exemplul 8-9. Să se determine cea mai mare concentrație a extractului, care poate fi atinsă, pentru sistemul apă-acid acetic-eter etilic, la 25°C ,

Exemple

Pe oră se prelucrează 1000 kg amestec inițial; eterul din rafinat și din extract se îndepărtează în întregime; conținutul de acid în reziduu nu este mai mare de 1% (masă).

Rezolvare. Întrucât concentrația dată a extractului nu poate fi atinsă printr-o extracție obișnuită în contracurent (v. exemplul 8-9), se utilizează procedeul cu refluxarea unei părți de extract (fig. 8-19).

Se determină cifra minimă de reflux a extractului. Se duce conoda prin punctul F (fig. 8-18), ce caracterizează amestecul inițial ($X_F = 5/100 = 0,05$; $z_F = 0$), până la intersecția cu verticala, dusă prin punctul E ($x_E = 60/100 = 0,6$; $Z_E = 0$), corespunzător extractului final.

Întrucât în cazul dat solventul se îndepărtează în întregime, rezultă formula (8-20):

$$R_{E \min} = \frac{G_{R,0}}{G_E} = \frac{P_{E \min} E_1}{E_1 E} =$$

$$= \frac{Z_{P, E \min} - z_{E,1}}{z_{E,1} - z_{R,0}} = \frac{19 - 6,7}{6,7 - 0} = 1,835$$

Se ia un coeficient de exces al refluxului $\beta = 3$:

$$R_{E \min} = 1,835 \cdot 3 = 5,51$$

Se determină coordonata polului părții de concentrare a instalației $Z_{P,E}$:

$$5,51 = \frac{Z_{P,E} - 6,7}{6,7 - 0}; Z_{P,E} = 43,6$$

Prin punctele P_E și F se duce o dreaptă până la intersecția cu verticala, dusă prin punctul R ($X_R = 1/93,3 \approx 0,01$; $z_R = 6,7/93,3 = 0,072$), ce caracterizează compoziția rafinatului final (până la îndepărtarea solventului). Punctul obținut este polul părții de epuizare a instalației.

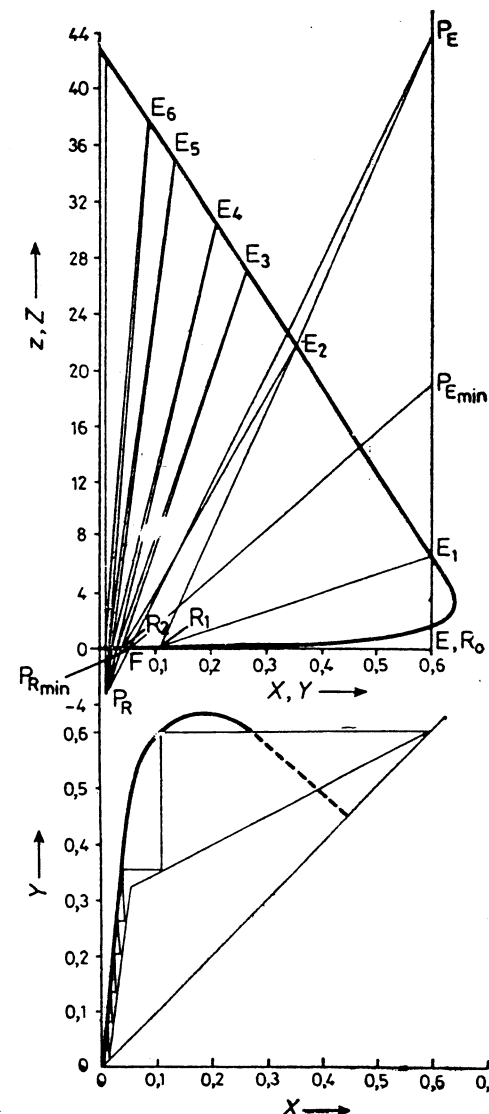


fig. 8-18. Schița la exemplele 8-8, 8-9 și 8-10.

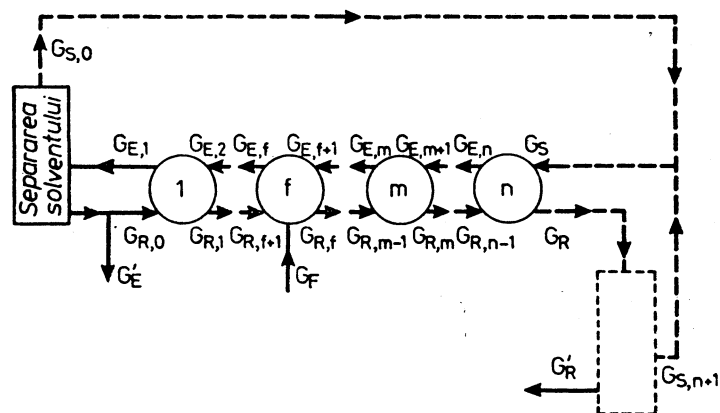


Fig. 8-19. Schița la exemplele 8-10.

În continuare se determină numărul treptelor de extracție, trasind succesiv conodele și dreptele concurente și calculind numărul de conode. Ordinea construcției: E_1R_1 , R_1P_E , E_2R_2 , $P_RR_2E_3$, ș.a.m.d., până la obținerea concentrației date a rafinatului.

Pentru construcția conodelor se folosește diagrama ajutătoare $X-Y$, care permite determinarea concentrației de echilibru Y , după mărimea dată X (sau invers). În cazul dat sînt necesare șase trepte de extracție. Alimentația se face pe treapta a doua. În figura 8-18 se indică cum se determină numărul treptelor pe diagrama $X-Y$ (se ia în considerare că în acest caz liniile de lucru nu sînt drepte).

Mărimile curenților se calculează din ecuațiile bilanțurilor de materiale. Bilanțul componentilor A și B este :

$$G_F = G'_R + G'_E$$

Bilanțul componentului B este :

$$X_F G_F = X_R G'_R + X_E G'_E$$

Rezolvind sistemul de ecuații se obține :

$$1000 = G'_R + G'_E$$

$$0,05 \cdot 1000 = 0,01 \cdot G'_R + 0,6 \cdot G'_E$$

Masa extractului este :

$$G'_E = G_E = 68 \text{ kg}$$

Masa rafinatului este :

$$G'_R = 932 \text{ kg}$$

Rezultă :

$$G_R = G'_R(1 + z_R) = 932(1 + 0,072) = 1000 \text{ kg}$$

Masa eterului în rafinat este :

$$1000 - 932 = 68 \text{ kg}$$

Masa extractului refluxat este :

$$G_{R,0} = G_E R_E = 68 \cdot 5,51 = 375 \text{ kg}$$

Masa solventului îndepărtat în separator este :

$$\begin{aligned} G_{S,0} &= (G_E + G_{R,0}) Z_{E,1} = \\ &= (68 + 375) \cdot 6,7 = 2970 \text{ kg} \end{aligned}$$

Bilanțul general al instalației este :

$$G_F = G_S = G_E + G_{S,0} + G_R$$

$$1000 + G_S = 68 + 2970 + 1000$$

de unde se obține cantitatea necesară de solvent :

$$G_S = 3038 \text{ kg}$$

Exemplul 8-11. Într-un extractor în contracurent cu funcționare continuă se extrage, cu dietilenglicol, stiren din soluție 38% în etilbenzen. Productivitatea extractorului după amestecul inițial este de 100 kg/h. Întrucit extracția obișnuită în contracurent nu poate asigura puritatea cerută a separării, se utilizează extracția cu refluxarea unei părți din extract și rafinat. Extractul și rafinatul conțin, corespunzător 95% și 3% (masă) stiren după distilarea de solvent. Să se determine cantitatea necesară de solvent, compoziția și cantitatea extractului, ale rafinatului și ale refluxurilor, precum și numărul necesar de trepte teoretice de extracție, considerind că refluxul extractului este de 1,5 ori mai mare decît cel minimal.

Rezolvare. După compunerea schemei procesului* și a construcției diagramelor de fază $X, Y-z, Z$ și $X-Y$ (datele echilibrului nu se dau aici), se determină compoziția produselor și se trasează pe diagramă (fig. 8-20) punctele corespunzătoare lor.

* v. figura 8-9, a. Aparatul pentru distilarea solventului, indicat pe schemă printr-o stelută, nu face parte din instalația dată.

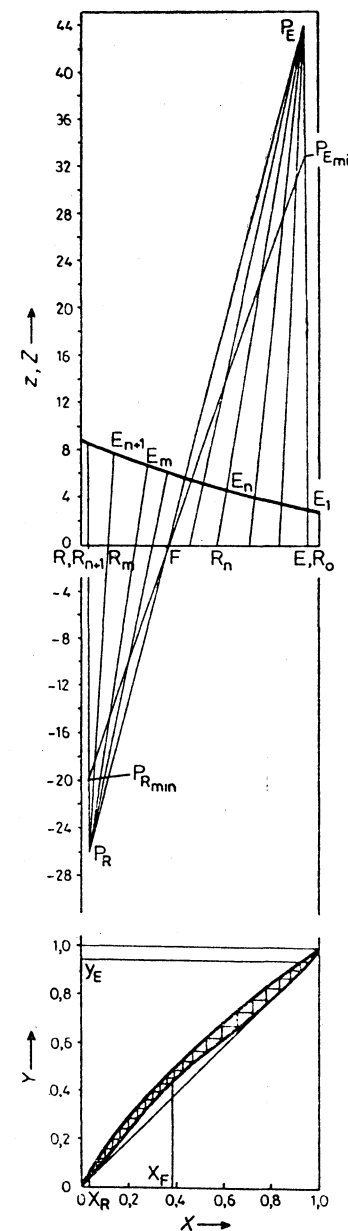


Fig. 8-20. Schița la exemplul 8-11.

Pe măsura aflării lor, datele se trec în tabela 8-6. Așa cum rafinatul pe orice porțiune a curbei rafinatlui conține cantități foarte mici de solvent, instalarea unei coloane de distilare a rafinatlui și a alteia pentru distilarea extractului nu este justificată, în acest caz.

Tabela 8-6

Denumirea produsului	Simbolul punctului figurativ	Simbolul curentului	Compoziția (coordonate)		Consum, kg/h
			x(Y) kg B kg(A + B)	z(Z) kg C kg(A + B)	
Amestecul inițial	F	G _F	0,38	0	100
Solventul îndreptat în amestecător	S*	G _S	—	—	1 805,5
Extract brut	E ₁	G _{E, 1}	0,95	2,95	2 418
Extractul produs	E	G _E	0,95	0**	38
Extractul reflux	R ₀	G _{R, 0}	0,95	0**	575
Rafinatul produs	R	G _R	0,03	0,007***	62,5
Rafinatul reflux	R _{n+1}	G _{R, n+1}	0,03	0,007***	190
Soluția din amestecător	E _{n+1}	G _{E, n+1}	0,03	8,65	1 995,5
Solvent adăugat	—	ΔG _S	—	—	0,5****
Solvent după distilarea extractului	S ₀ *	G _{S, 0}	—	—	1 805
Polul părții de concentrare:					
— minimal	P _{E min}	—	0,95	3,3	—
— de lucru	P _E	—	0,95	43,5	—
Polul părții de epuizare:					
— minimal	P _{R min}	—	0,03	-20	—
— de lucru	P _R	—	0,03	-26,2	—

* Punctul figurativ lipsește pe diagramă.

** Purificarea are loc în întregime într-o singură coloană.

*** Purificarea nu este justificabilă.

**** Are loc pierderea unei cantități de solvent cu rafinatul produs (pur).

Coordonatele polurilor părții de concentrare și părții de epuizare a coloanei de extracție, corespunzătoare refluxurilor minimale, se determină ducând prin punctul F o dreaptă, care se suprapune conodei, pînă la intersecția cu verticalele ce trec prin punctele E și R. Numărul de trepte de extracție va fi în acest caz infinit.

Refluxul minim este :

$$\frac{G_{R, 0}}{G_E} = \frac{Z_{P, E \min} - Z_{E, 1}}{Z_{E, 1} - z_{E, 1}} = \frac{33 - 2,95}{2,95 - 0} = 10,35$$

$$\frac{G_{R, n+1}}{G_R} = \frac{z_R - Z_{P, R \min}}{Z_{E, n+1} - z_R} = \frac{0,007 + 20}{8,65 - 0,007} = 2,31$$

La refluxarea totală a extractului și a rafinatlui în extractor :

$$\frac{G_{R, 0}}{G_E} = \infty ; \quad \frac{G_{R, n+1}}{G_R} = \infty$$

$$Z_{P, E \max} = \infty \quad Z_{P, R \max} = \infty$$

adică dreptele concurente se transformă în drepte paralele verticale. La aceasta corespunde numărul minim de trepte de extracție.

Se găsesc coordonatele polurilor la $\beta = 1,5$.

$$\frac{Z_{P, E} - 2,95}{2,95 - 0} = 10,35 \cdot 1,5; \quad Z_{P, E} = 43,53$$

Cantitatea de extract după regula segmentelor inverse este :

$$G_E = \frac{G_F(X_F - X_R)}{X_E - X_R} = \frac{100(0,38 - 0,03)}{0,95 - 0,03} = 38,0 \text{ kg/h}$$

Refluxul extractului este :

$$G_{R, 0} = 10,35 \cdot 2 \cdot 38,0 = 575 \text{ kg/h}$$

Cantitatea de rafinat (cu solventul antrenat) este :

$$G_S + G_R = (G_F - G_E)(1 + z_R) = (100 - 38,0)(1 + 0,007) = 62,5 \text{ kg/h}$$

Refluxul rafinatlui este :

$$G_{R, n+1} = G_R \frac{Z_{P, E \min} - Z_{P, E}}{Z_{E, n+1} - z_R} = 62,5 \frac{33 + 26,2}{8,65 - 0,007} \approx 190 \text{ kg/h}$$

Cantitatea solventului recirculat în decurs de o oră este :

$$G_{S, 0} = (G_E + G_{R, 0})z_{E, 1} = (38,0 + 575) \cdot 2,95 = 1 805 \text{ kg/h}$$

Cantitatea solventului (egală cu pierderile cu rafinatul produs) este :

$$\Delta G_S = G_R z_R = 62 \cdot 0,007 \approx 0,5 \text{ kg/h}$$

Productivitatea după extractul brut (care se prelucrează în coloana de distilare) :

$$G_{E, 1} = G_{R, 0} + G_E + G_{S, 0} = 575 + 38 + 1 805 = 2 418 \text{ kg/h}$$

Consumul de soluție care pleacă din amestecător este :

$$G_{E, n+1} = G_S + G_{R, n+1} = 1 805,5 + 190 = 1 995,5 \text{ kg/h}$$

Consumul de solvent care intră în amestecător este :

$$G_S = G_{S, 0} + \Delta G_S \approx 1 805,5 \text{ kg/h}$$

Numărul necesar de trepte de extracție se determină mai ușor pe diagrama $X - Y$, din cauza contopirii dreptelor concurente și a conodelor. Se duc din polurile de lucru un șir de drepte concurente până la intersecția cu curbele marginale (punctele $E_n, R_n, \dots, E_m, R_m$), iar pe diagrama $X - Y$ se găsesc punctele cu coordonatele $X_R^n, Y_E^n, \dots, X_E^m, Y_R^m$. După trasarea prin aceste puncte a unei curbe continue (care este linia de lucru) se înscriu între linia de lucru și cea de echilibru treptele și se calculează numărul lor. În cazul dat sînt necesare 23 de trepte de extracție; amestecul inițial se introduce pe treapta a 12-a de sus.

Exemplul 8-12. Într-un decantor vertical cu fund conic se află un reziduu și 7 m³ soluție, care conține 2 t NaOH. După sedimentare se decantează partea transparentă în cantitate de 6 m³, se adaugă din nou în decantor 6 m³ apă curată și suspensia se amestecă. După a doua sedimentare se decantează din nou 6 m³ soluție curată. Trei soluții decantate de pe reziduu se amestecă și se îndreaptă spre evaporare. Să se determine: a) cantitatea de NaOH rămasă în reziduu (șlam); b) procentul de îndepărtare a NaOH; c) procentul de NaOH conținut în soluție, care va merge la evaporare.

Rezolvare. a) în decantor are loc o triplă spălare a reziduuului cu un raport al volumelor de soluție îndepărtată și soluție reținută $\alpha = 6 : 1 = 6$. Corespunzător formulei (8-28), după tripla spălare, în șlam rămâne:

$$\frac{1}{(1 + \alpha)^3} = \frac{1}{7^3} = \frac{1}{343}$$

din cantitatea inițială de NaOH, sau:

$$G_{\text{NaOH}} = 2\,000 \cdot \frac{1}{343} = 5,8 \text{ kg}$$

b) se îndepărtează NaOH:

$$\frac{2\,000 - 5,8}{2\,000} \cdot 100 = 99,7\%$$

După datele din tabela LIV, substanța extrasă, la triplă spălare cu o cantitate de șase ori mai mare de solvent, reprezintă 99,71%.

c) cantitatea de soluție este:

$$V_{\text{sol}} = 6 \cdot 3 = 18 \text{ m}^3.$$

NaOH conținut în soluție este:

$$G_{\text{NaOH}} = 2\,000 - 5,8 = 1\,994,2 \text{ kg}$$

sau

$$\frac{1\,994,2}{18\,000 + 1\,994,2} \cdot 100 \approx 10\%$$

Exemplul 8-13. În scopul îndepărtării cuprului, cenușile de pirită se supun arderii clorurante cu NaCl. În masa arsă, cuprul este conținut sub formă de CuCl₂. Conținutul în clorură cuprică reprezintă 11%. Produsul ars se supune

extracției într-o baterie în contracurent, cu ape acide, rezultate de la spălarea gazelor degajate. Masa solidă inertă reține 2 kg apă la 1 kg substanță solidă. Pe fiecare treaptă se atinge echilibrul. Cîte trepte sînt necesare în baterie pentru obținerea unei soluții care conține CuCl₂ 12% (masă), și pentru îndepărtarea a 98% Cu din produsul ars?

Rezolvare. Deoarece faza solidă, la deplasarea dintr-o treaptă într-alta, reține o cantitate constantă de apă (în afară de prima treaptă întrucît în aceasta se introduce produsul ars, care pleacă din ea, reținînd 2 kg apă la 1 kg fază solidă), pentru determinarea numărului de trepte din instalație se poate folosi formula (8-32).

Se ia ca bază de calcul 100 kg de reziduu uscat solid, liber de cupru, și se calculează cantitatea produselor și a concentrațiilor.

Cu masa arsă se introduce și CuCl₂:

$$100 \cdot \frac{11}{89} = 12,36 \text{ kg}$$

Cu reziduuul pleacă:

$$\frac{12,36(100 - 98)}{100} = 0,25 \text{ kg}$$

Cu extractul pleacă:

$$\frac{12,36 \cdot 98}{100} = 12,11 \text{ kg}$$

Se determină cantitatea de apă acidulată G_s care intră în instalație, luînd în considerație că 200 kg apă sînt duse de reziduuul solid, iar restul se duce cu extractul:

$$\frac{(G_s - 200) \cdot 12}{12} = 12,11 \text{ kg}$$

de unde:

$$G_s = 288,8 \text{ kg}$$

Concentrația extractului (în kg la 100 kg apă) este:

$$y_E = \frac{12}{88} \cdot 100 = 13,64$$

Aceeași concentrație o va avea și soluția reținută de corpul solid, la trecerea din treapta întâi în a doua:

$$x'_1 = y_E = 13,64$$

Concentrația CuCl₂ în soluția care pleacă cu reziduuul solid, este:

$$x'_R = \frac{0,25}{200} \cdot 100 = 0,125$$

Apa acidă care intră în baterie nu conține săruri de cupru și concentrația ei este: $y_s = 0$.

Concentrația clorurii cuprice y_2 în curentul superior, care trece din treapta a doua în prima, se determină după bilanțul CuCl_2 pentru prima treaptă. Cantitatea de solvent în curentul superior reprezintă 288,8 kg. În prima treaptă se introduce la 100 kg masă inertă uscată 12,36 kg CuCl_2 și A kg cu 288,8 kg solvent din treapta a doua; în total, $(12,36 + A)$ kg. Pleacă din prima treaptă: cu extractul 12,11 kg, cu soluția curentului inferior $\frac{13,64}{100} 200 = 27,28$ kg; total $12,11 + 27,28 = 39,39$ kg.

Bilanțul CuCl_2 pentru prima treaptă este:

$$12,36 + A = 39,39 \text{ kg}$$

de unde:

$$A = 39,39 - 12,36 = 27,03 \text{ kg}$$

Concentrația CuCl_2 în curentul superior (în kg la 100 kg apă):

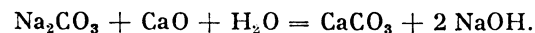
$$y_2 = \frac{27,03}{288,8} 100 = 9,36$$

Numărul treptelor (fără prima) este:

$$n_c - 1 = \frac{\lg \frac{x_1 - y_2}{x_R - y_S}}{\lg \frac{x_1 - x_R}{y_2 - y_S}} = \frac{\lg \frac{13,64 - 9,36}{0,125 - 0}}{\lg \frac{13,64 - 0,125}{9,36 - 0}} = 10 \text{ trepte}$$

iar în total, $n_c = 10 + 1 = 11$ trepte.

Exemplul 8-14. Soda caustică se obține după relația:



Produsele reacției intră în prima treaptă a unei baterii continue de extracție în contracurent cu trei trepte, cu un conținut de apă de 50% față de masa șlamului (CaCO_3). În continuare, la trecerea dintr-o treaptă în alta și la ieșirea din baterie, șlamul reține de 1,5 ori mai multă apă ca propria lui masă. Se caută obținerea unei îndepărtări de 98% a NaOH. Să se determine consumul de apă (la 100 kg șlam uscat) și concentrația soluțiilor pe fiecare treaptă.

Rezolvare. Pentru alcătuirea bilanțurilor de materiale pe fiecare treaptă nu se cunosc suficiente date.

După tabela LV, pentru realizarea unei îndepărtări de 97,5% a produsului la o extracție continuă în trei trepte, în contracurent, raportul cantităților de solvent și soluție reținută este de 3. Pentru aceste cifre se alcătuiesc consecutiv bilanțurile, începînd cu treapta a treia. Calculul se va face pentru 100 kg CaCO_3 uscat.

Pentru 100 kg CaCO_3 , în prima treaptă se introduce 80 kg NaOH. Din această cantitate trec în extract 97,5% sau

$$\frac{80 \cdot 97,5}{100} \approx 78 \text{ kg}$$

Se pierde cu soluția-reziduu:

$$80 - 78 = 2 \text{ kg}$$

100 kg șlam reține o cantitate de apă egală cu:

$$100 \cdot 1,5 = 150 \text{ kg}$$

Concentrația soluției-reziduu (în kg NaOH la 1 kg soluție curată):

$$x'_R = \frac{8}{150} = 0,0133$$

În sistem se introduc, prin treapta a treia, apă în calitate de solvent:

$$150 \cdot 3 = 450 \text{ kg}$$

În acest mod, în curentul superior trec prin instalație 450 kg apă, iar în cel inferior, împreună cu faza solidă, 150 kg.

Concentrația solventului $y_S = 0$.

Concentrația NaOH în curentul superior, care trece treapta a treia în a doua, este:

$$y_3 = x'_R = 0,0133 \text{ kg/kg}$$

Este cunoscută concentrația NaOH în curentul inferior x'_2 . Ea se determină după bilanțul NaOH în treapta a treia:

$$450y_3 + 150x'_2 = 150x'_R + 450y_3$$

$$450 \cdot 0 + 150x'_2 = 150 \cdot 0,0133 + 450 \cdot 0,0133$$

$$150x'_2 = 8$$

$$x'_2 = \frac{8}{150} = 0,0533 \text{ kg/kg}$$

Concentrația NaOH în curentul superior, care intră din treapta a doua în prima, este:

$$y_2 = x'_2 = 0,0533 \text{ kg/kg}$$

Este necunoscută doar concentrația NaOH în curentul inferior care iese din treapta întâi. Această concentrație se determină din bilanțul celei de-a doua trepte:

$$450y_3 + 150x'_1 = 450y_2 + 150x'_2$$

$$450 \cdot 0,0133 + 150x'_1 = 450 \cdot 0,0533 + 150 \cdot 0,0533$$

$$150x'_1 + 6 = 24 + 8$$

$$x'_1 = \frac{32 - 6}{150} = \frac{26}{150} = 0,1733 \text{ kg/kg}$$

Pentru determinarea concentrației extractului în prima treaptă este necesar să se alcătuiască bilanțul apei pentru această treaptă, însemnând prin A cantitatea de apă care pleacă o dată cu extractul :

$$A + 150 = 450 + 50$$

$$A = 350 \text{ kg}$$

Extractul conține 78 kg NaOH. În consecință, concentrația extractului în NaOH este :

$$y_E = \frac{78}{350 + 78} 100 = 18,2\% \text{ (masă)}$$

Exemplul 8-15. Instalația de extracție a untdelemnului prelucrează în t/h „turtă” (semințe de floarea-soarelui presate și parțial degresate), cu un conținut de 28% untdelemn, cu 2,5% benzină. Benzina care se introduce în instalație în calitate de solvent recuperat conține 1,5% untdelemn. Cantitatea de solvent introdus în instalație reprezintă 50% din greutatea „turtelor”. După datele experimentale, cantitatea de soluție, reținută de faza solidă, este în funcție de concentrația uleiului (tabela 8-7).

Tabela 8-7

Concentrația kg untdelemn /kg soluție	Cantitatea soluției reținute kg/kg sub- stanță solidă	Concentrația kg untdelemn/kg soluție	Cantitatea soluției reținute kg/kg substanță solidă
0,0	0,500	0,4	0,550
0,1	0,505	0,5	0,571
0,2	0,515	0,6	0,595
0,3	0,530	0,7	0,620

Reziduu solid conține, după extracție, 5% untdelemn.

Să se determine : 1) cantitatea și concentrația extractului ; 2) cantitatea și concentrația soluției-reziduu, reținută de faza solidă ; 3) numărul de trepte de extracție.

Rezolvare. Problema se rezolvă, prin metoda grafică, cu diagrama rectangulară în sistemul de coordonate $X' - z'$ (fig. 8-21).

Datele primei coloane din tabela 8-7 reprezintă raportul $X' = \frac{x_B}{x_B + x_C}$. Datele celei de-a doua coloane — cantitățile de masă ale soluției la unitatea de masă a substanței solide — trebuie : recalculate în valori inverse ; atunci, ele vor exprima relația $z' = \frac{x_A}{x_B + x_C}$, adică cantitățile fazei solide la unitatea de masă de soluție (tabela 8-8).

Datele din tabela 8-8 reprezintă în sine coordonatele punctelor curbei curentului inferior (fig. 8-21). În curentul superior nu există fază solidă ($y = 0$), de aceea linia curentului superior se contopește cu axa absciselor. După trasarea curbei se trasează pe diagramă liniile bilanțului de materiale.

Tabela 8-8

$X' = \frac{x_B}{x_B + x_C}$	$z' = \frac{x_A}{x_B + x_C}$	$X' = \frac{x_B}{x_B + x_C}$	$z' = \frac{x_A}{x_B + x_C}$
0,0	2,0	0,4	1,818
0,1	1,980	0,5	1,715
0,2	1,942	0,6	1,681
0,3	1,887	0,7	1,613

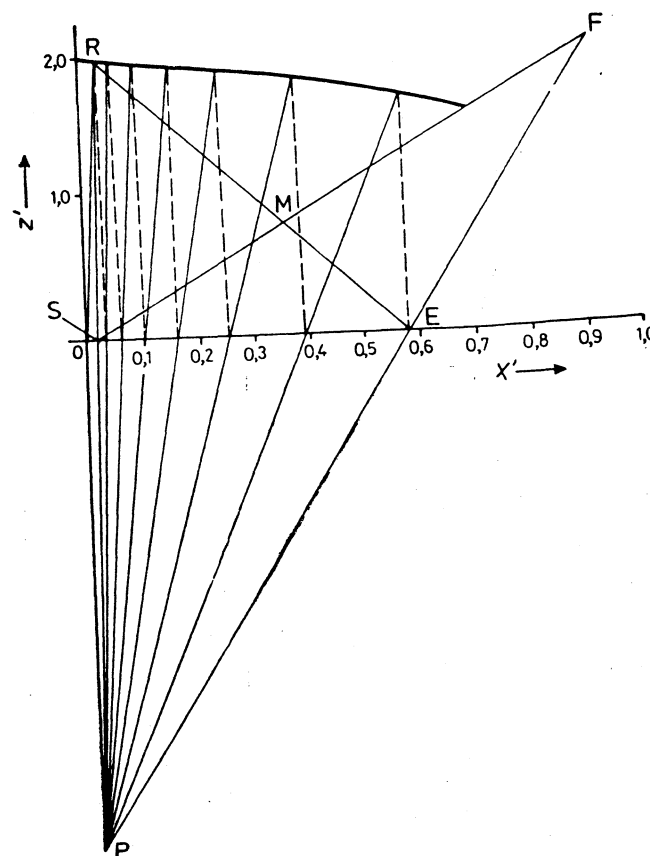


Fig. 8-21. Schița la exemplul 8-15.

Se determină coordonatele punctului F care corespunde la compoziția „turtei” ce intră la extracție. După condițiile problemei rezultă:

$$X'_F = \frac{28}{28 + 2,5} = 0,92$$

$$z'_F = \frac{100 - 28 - 2,5}{28 + 2,5} = 2,12$$

Coordonatele punctului S corespund compoziției solventului:

$$x_S = \frac{1,5}{100} = 0,015; \quad z_S = 0$$

Punctele F și S se introduc pe diagramă, se unesc printr-o dreaptă care se împarte, după regula segmentelor inverse, prin punctul M , în părți proporționale cu cantitățile de produse ce intră, excluzând substanța solidă insolubilă (astfel, pe aceste diagrame nu se poate utiliza regula segmentelor inverse). Solventul intră în instalație în cantitate de 50% față de masa „turtelor”. Dacă se consideră această masă ca unitate, atunci partea lichidă din ea constituie $0,28 + 0,025 = 0,305$ unități de masă, iar solventul 0,5 unități de masă. Punctul M se află la distanța $0,305(0,5 + 0,305) = 0,38$ a segmentului SF , calculând de la S .

Valori numerice pentru construcția liniei consumului RE nu sînt date. Este cunoscut doar, că linia RE intersectează SF în punctul M și că punctul R se află pe curbă, iar punctul E — pe axa absciselor, întrucît ordonata lui $x'_E = 0$. Nedispunînd de coordonatele punctului R , se poate determina totuși raportul lor, întrucît din condițiile problemei se știe că reziduu conține, după extracție, 5% untdelemn:

$$\frac{z'_R}{x'_R} = \frac{\frac{x_{AR}}{x_{BR} + x_{CR}}}{\frac{x_{BR}}{x_{BR} + x_{CR}}} = \frac{x_{AR}}{x_{BR}} = \frac{95}{5} = 19$$

Dreapta care trece prin originea coordonatelor și care are panta egală cu 19 intersectează curba în punctul R . Ducînd asemenea dreaptă, se înseamnă punctul R pe curbă. Unind punctul R cu punctul M și ducînd dreapta pe axa absciselor, se găsește punctul E .

Se determină pe diagramă abscisele punctelor R , M și E :

$$X'_R = 0,03; \quad X'_M = 0,36; \quad X'_E = 0,58$$

În instalație intră faza lichidă cu „turtele” și cu solventul:

$$1\,000 \cdot 0,305 + 1\,000 \cdot 0,5 = 805 \text{ kg/h}$$

Această cantitate se împarte între reziduu și extract, proporțional cu segmentele EM și MR . Pentru calcul se pot folosi abscisele capetelor segmentelor:

$$G_R = \frac{X'_E - X'_M}{X'_E - X'_R} 805 = \frac{0,58 - 0,36}{0,58 - 0,03} \cdot 805 = 322 \text{ kg/h}$$

Cantitatea soluției-reziduu reprezintă 322 kg/h, iar compoziția ei se determină din presupunerea că untdelemnul, pierdut în reziduu, este conținut în această soluție:

$$\frac{1\,000 \cdot 0,695 \cdot 5}{95 \cdot 322} 100 = 11,7\%$$

Cantitatea de extract este:

$$G_E = 805 - 322 = 483 \text{ kg/h}$$

Conținutul uleiului în extract este:

$$\frac{100 \cdot 0,28 - \frac{1\,000 \cdot 0,695 \cdot 5}{95}}{483} 100 = 50,4\%$$

Pentru determinarea numărului de trepte, prin punctele F , E și R , S se duc două drepte pînă la întretaîierea lor în polul P . Întrucît la extracția corpurilor solide în fiecare treaptă a instalației este o singură soluție cu o singură concentrație, toate conodele vor fi linii verticale. Se ridică perpendiculara din punctul E — conoda primei trepte — pînă la intersecția cu curba marginală. Punctul intersecției conodei cu curba marginală se unește printr-o dreaptă cu punctul P . Din punctul de intersecție al acestei drepte cu axa absciselor, se ridică din nou perpendiculara pînă la intersecția cu curba, ș.a.m.d., pînă cînd se ajunge în punctul R sau în imediata lui apropiere.

Numărul conodelor indică numărul treptelor. În cazul dat sînt necesare șapte trepte de extracție.

8.3. PROBLEME

8-1. Să se construiască diagrama triunghiulară de echilibru pentru sistemul apă—acid acetic — eter etilic la 25°C, folosindu-se datele din tabela 9-4. Să se compare diagrama obținută cu diagrama X , $Y - z$, Z (v. exemplul 8-8).

8-2. Să se determine compoziția și cantitatea fazelor existente, în care se stratifică amestecul de 10 kg apă, 5 kg eter etilic și 5 kg acid acetic. La îndepărtarea cărei cantități de eter etilic acest amestec încetează să se stratifice?*

8-3. Acidul acetic se extrage dintr-o soluție apoasă de 15% (masă) la 25°C. Masa amestecului inițial este de 1 200 kg. Să se determine compoziția și cantitatea produselor finale după distilarea solventului, dacă extracția se face cu eter în curent încrucișat. Procesul se realizează în două trepte la un raport al masei solventului față de masa amestecului inițial de 1,5*.

8-4. Acidul acetic se extrage în contracurent cu eter etilic din soluție apoasă, care conține 20% (masă) de acid. Să se determine cantitatea necesară de solvent la 1 000 kg/h amestec inițial și numărul treptelor teoretice de extracție, dacă extractul trebuie să conțină 60% (masă), iar rafinatul nu mai mult de 2% (masă) acid (după distilarea solventului).

8-5. Acidul benzoic se extrage dintr-o soluție apoasă care conține 1,5 kg la 1 m³ apă, spălîndu-se apoi cu benzen, care conține 0,2 kg acid benzoic la 1 m³ benzen, la un raport al volumelor de apă și benzen $V_F : V_S = 4$. Să se determine cîte spălări vor fi necesare, dacă concentrația finală a benzenului în apă este de 0,2 kg/m³. Să se determine, de asemenea, compozițiile extractelor obținute. Datele de echilibru la temperatura de lucru sînt:

concentrația acidului benzoic în apă, în kg/m ³ . .	0,104	0,456	0,707	1,32	1,56
concentrația acidului benzoic în benzen, în kg/m ³ . .	0,182	2,45	6,12	18,2	24,5

* Pentru rezolvare se va folosi diagrama triunghiulară construită la problema de control 8-1.

8-6. Într-un extractor în contracurent se extrage 1,4-dioxan dintr-o soluție apoasă de 25% cu benzen care conține 0,5% (masă) dioxan. Concentrația finală a dioxanului în apă este de 2% (masă). Să se determine: a) cantitatea minimală de solvent pentru 100 kg amestec inițial; b) numărul necesar de trepte teoretice de extracție; c) compoziția extractului, luând cantitatea de solvent de 1,5 ori mai mare decât cea minimală. Datele de echilibru se găsesc în exemplul 8-6.

Tabelul 8-9

Stratul apos			Stratul eteric		
apă	acid acetic	eter izo-propilic	apă	acid acetic	eter izo-propilic
98,1	0,69	1,2	0,5	0,18	99,3
97,1	1,41	1,5	0,7	0,37	98,9
95,5	2,89	1,6	0,8	0,79	98,4
91,7	6,42	1,9	1,0	1,93	97,1
84,4	13,30	2,3	1,9	4,82	93,3
71,1	25,50	3,4	3,9	11,40	84,7
58,9	36,70	4,4	6,9	21,60	71,5
45,1	44,30	10,6	10,8	31,10	58,1
37,1	46,40	16,5	15,1	36,20	48,7

8-7. Să se construiască diagramele de fază ale echilibrului în coordonatele X, Y — z, Z și X — Y pentru sistemul apă—acid acetic — eter izopropilic la 20°C, folosindu-se datele tabelii 8-9. Nu trebuie duse liniile de legătură pe diagrama X, Y — z, Z. Să se determine concentrațiile maxime ale extractului la operarea în contracurent pentru concentrații ale amestecurilor inițiale de 5 și 10% (masă).

8-8. Să se determine cantitatea minimală de reflux, de extract și, corespunzător lui, cantitatea minimală de solvent pentru 100 kg amestec inițial apă—acid acetic cu un conținut în ultimul de 10% (masă), dacă extracția se realizează cu eter izopropilic la 20°C. Extractul, după distilarea solventului, trebuie să conțină 75% (masă) acid acetic, iar rafinatul 1% (masă); solventul se distilă în întregime*.

8-9. Să se rezolve problema 8-8, considerând cantitatea de reflux dublă față de cea minimală. De asemenea să se determine numărul de trepte teoretice de extracție*.

Tabelul 8-10

Stratul de rafinat		Stratul de extract	
X	Z	Y	Z
0	0,064	0	15,7
0,085	0,064	0,150	13,8
0,216	0,070	0,365	11,2
0,445	0,078	0,623	8,2
0,525	0,079	0,700	7,33
0,610	0,087	0,770	6,58
0,730	0,099	0,870	5,67
0,810	0,105	0,920	5,10
0,885	0,117	0,960	4,80
1,0	0,124	1,0	4,70

* Pentru rezolvarea problemei să se folosească diagrama de echilibru construită după datele din exemplul 8-7 (fig. 8-18).

8-11. Metilciclohexanul se extrage cu anilină din soluția lui de 40% în heptan la 25°C, într-o instalație de extracție cu refluxarea parțială a extractului și a rafinatului. Extractul conține 98% (masă), iar rafinatul 1% (masă) metilciclohexan (excluzind solventul). Raportul cantităților extract—reflux și extract—produs se consideră de 1,615 ori mai mare ca cel minimal. Să se determine numărul de trepte de extracție, compoziția și cantitatea rafinatului, ale extractului, refluxurilor și solventului pentru 100 kg/h amestec inițial.

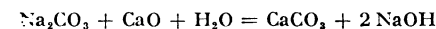
8-12. Într-o baterie de trei decantoare în contracurent, fiecare având o capacitate de 7 m³, se introduc 2 t soluție NaOH în 1 m³ apă, împreună cu reziduul de CaCO₃, și se separă 6 m³ soluție concentrată, pentru evaporare. Se introduc apoi în baterie, ca solvent, 6 m³ apă curată la 2 000 kg NaOH. Reziduul de CaCO₃, la trecerea dintr-o treaptă în alta și la îndepărtarea din baterie, reține 1 m³ soluție. Să se determine: a) cantitatea de NaOH în șlam (noroi); b) gradul de extracție la NaOH; c) conținutul procentual de NaOH în soluția care trece la evaporare.

8-13. Să se determine numărul treptelor de extracție în condițiile exemplului 8-12, dacă gradul de îndepărtare a NaOH este egal cu 0,98.

8-14. Să se determine numărul treptelor de extracție în condițiile exemplului 8-13, dacă concentrația extractului în CuCl₂ va fi egală cu 9% (masă), iar gradul de îndepărtare al cuprului 92%.

8-15. O fabrică prelucurează în 24 de ore 10 t sulfură de bariu cu cantitatea corespunzătoare de sodă și 35 t apă în scopul obținerii carbonatului de bariu și a soluției de sulfură de sodiu. Prelucrarea are loc într-o baterie în contracurent cu cinci trepte. Reziduul de carbonat de bariu, în timpul procesului, reține o cantitate dublă (după masă) de apă. Ca rezultat al prelucrării se obține o soluție de 10% sulfură de sodiu. Se dărește obținerea unei extracții de 98% a sulfurii de sodiu. Să se determine: a) pierderile de sulfură de sodiu în reziduu; b) cantitatea de apă necesară de adăugat în calitate de solvent; c) concentrațiile în fiecare extractor.

8-16. Într-o baterie de extracție în contracurent se extrage sodă caustică din produsele reacției:



Amestecul intră în baterie conținând 50% apă din masa rezidului (CaCO₃). Din acest amestec, în baterie se extrage 95% NaOH, la care se obține 15% soluție. Câtă apă și cit solvent trebuie să se introducă în baterie și câte trepte trebuie să aibă bateria, dacă din datele experimentale este cunoscut că reziduul reține soluție în cantități dependente de concentrația lui în NaOH în el.

Concentrația NaOH, % (masă)	Soluție reținută la 1 kg de reziduu, kg	Concentrația NaOH % (masă)	Soluție reținută la 1 kg de reziduu, kg
0	1,39	15	2,70
5	1,72	20	3,85
10	2,04		

9. ADSORBȚIA

9.1. BAZELE TEORETICE ȘI FORMULE DE CALCUL

1. În procesul adsorbției, limita de adsorbție o constituie, la o temperatură dată, pentru fiecare adsorbant și substanță adsorbită echilibrul dintre concentrația în adsorbant (așa numita activitate statică) a_0^* și presiunea parțială p (sau concentrația \bar{C}_v) a substanței adsorbite în amestecul vaporilor-gaz sau în amestecul lichid.

Curba de echilibru la temperatură constantă $a_0^* = f(p)$ se numește izotermă de adsorbție și servește drept caracteristică de bază a staticii procesului. La presiuni parțiale relativ ridicate p , concentrația substanței adsorbite a_0^* se apropie de valoarea constantă a_∞ , caracterizând starea de maximă saturație posibilă a adsorbantului la temperatura dată.

Între concentrația \bar{C}_v (în kg/m^3) a substanței adsorbite în amestecul gazos și presiunea sa parțială p , după ecuația lui Clapeyron există proporționalitatea directă.

$$\bar{C}_v = \frac{p}{RT} \quad (9.1)$$

unde R — constanta gazelor, $\text{J/kg}\cdot\text{K}$.

2. Cele mai complete ecuații ale izotermelor de adsorbție, neavând în coordonatele $a_0^* - p$ puncte de inflexiune și care țin seamă și de particularitățile structurale ale solvenților sint ecuațiile lui Dubinin, obținute pe baza teoriei umplerii volumice a microporilor*.

Pentru solvenți cu micropori având o structură omogenă a microporilor (zeoliți sintetici) această ecuație are forma:

$$a_0^* = \frac{W_0}{V} \cdot e^{-B \frac{T^2}{\beta^2} \left(\lg \frac{ps}{p} \right)^2} \quad (9.2)$$

Pentru adsorbant cu structuri microporoase complexe (silicageluri cu pori mici, cărbuni activi):

$$a_0^* = \frac{W_{01}}{V} \cdot e^{-B_1 \frac{T^2}{\beta^2} \left(\lg \frac{ps}{p} \right)^2} + \frac{W_{02}}{V} \cdot e^{-B_2 \frac{T^2}{\beta^2} \left(\lg \frac{ps}{p} \right)^2} \quad (9.3)$$

* Vezi Dubinin M. M. ș.a., culegerea „Zeoliți sintetici”, Editura AN U.R.S.S., 1962, p. 7; Dubinin M. M., culegerea „Zeoliții — sinteza lor, proprietăți și aplicații”, Editura Nauka, 1965, p. 5.

în care: a_0^* este cantitatea adsorbită, mmol/g ;
 W_0 și B , W_{01} și B_1 , W_{02} și B_2 — constante, care caracterizează adsorbantul;
 V — volumul molar, al substanței adsorbite în stare lichidă;
 T — temperatura absolută, K ;
 β — coeficient de afinitate al vaporilor adsorbitului în raport cu substanța standard (de obicei benzen);
 ps/p — raportul dintre presiunea vaporilor saturanți ai componentului adsorbit și presiunea sa parțială.

3. În conformitate cu teoria lui Eucken-Polany, având izoterma de adsorbție a vaporilor standard la temperatura T_1 , se poate calcula izoterma de adsorbție a altor vapori la temperatura T_2 .

Pentru calculul mărimii de adsorbție servește formula:

$$a_2^* = \frac{a_1 V_1}{V_2} \quad (9.4)$$

în care: a_0^* este ordonata izotermei substanței standard (de obicei benzen), kg/kg sau mmol/g ;

a_2^* — ordonata izotermei căutate, kg/kg sau mmol/g ;
 V_1 și V_2 — volumele molare ale substanței standard și ale substanței cercetate (în stare lichidă), m^3/kmol .

Volumele molare se calculează după formula:

$$V = \frac{M}{\rho} \quad (9.5)$$

în care: M este masa moleculară, kg/kmol ;

ρ — densitatea lichidului, kg/m^3 .

Presiunile se calculează după formula:

$$\lg p_2 = \lg p_{s,2} - \beta \frac{T_1}{T_2} \lg \frac{p_{s,1}}{p_1} \quad (9.6)$$

în care: p_1 și p_2 sint presiunile parțiale ale substanței standard și ale substanței concentrate, mm Hg ;

$p_{s,1}$ — presiunea vaporilor saturanți ai substanței standard, la temperatura absolută T_1 , exprimată în K , mm Hg ;

$p_{s,2}$ — presiunea vaporilor saturanți ai substanței cercetate la temperatura absolută T_2 , exprimată în K , mm Hg ;

β — coeficientul de afinitate, egal cu raportul volumelor molare:

$$\beta = \frac{V_2}{V_1} \quad (9.7)$$

În tabelul 9.1 sint dați coeficienții de afinitate β pentru o serie de substanțe. Ca substanță standard se consideră benzenul.

Tabelul 9-1

Substanța	β	Substanța	β
Alcool metilic	0,40	Acid acetic	0,97
Bromură de metil	0,57	Benzen	1,00
Alcool etilic	0,61	Ciclohexan	1,03
Acid formic	0,61	Tetraclorură de carbon	1,05
Sulfură de carbon	0,70	Eter etilic	1,09
Clorură de etil	0,76	Pentan	1,12
Propan	0,78	Toluen	1,25
Cloroform	0,86	Cloropicrină	1,28
Acetonă	0,88	Hexan	1,35
Butan	0,90	Heptan	1,59

Pentru calculul punctelor izotermei vaporilor concentrați se fixează pe curba substanței standard coordonatele a_1^* și p_1 , valorile $p_{s,1}$, $p_{s,2}$ se obțin din tabelele de presiune ale vaporilor saturați iar p_2 se calculează din formula (9.6).

4. Căldura de adsorbție este constituită din căldura de condensare și căldura de umectare. Practic se poate considera că valoarea căldurii de adsorbție a substanțelor organice nu depinde de temperatură. Dependența dintre căldura specifică de adsorbție q (în J/kg cărbune) și cantitatea de vapori adsorbiți (pentru substanțele marcate cu asterisc în tabelul LIII este dată de formula [9.3] :

$$q = m \cdot a^n \quad (9-8)$$

unde : a este cantitatea de vapori adsorbiți, dm³/kg cărbune ;
 m și n — constante, ale căror valori sînt indicate în tabelul 9.2.

Tabelul 9-2

Substanța	Formula	n	$m \cdot 10^3$
Alcool etilic	C ₂ H ₅ -OH	0,928	3,65
Alcool metilic	CH ₃ -OH	0,938	3,11
Benzen	C ₆ H ₆	0,959	3,24
Brometan	C ₂ H ₅ Br	0,900	3,77
Cloretan	C ₂ H ₅ Cl	0,915	3,06
Cloroform	CHCl ₃	0,935	3,47
Eter etilic	(C ₂ H ₅) ₂ O	0,9215	3,84
Etilformiat	HCOOC ₂ H ₅	0,9075	3,96
Iodetan	C ₂ H ₅ I	0,956	3,10
Sulfură de carbon	CS ₂	0,9205	3,15
Tetraclorură de carbon	CCl ₄	0,930	3,74

La adsorbția vaporilor de apă de către cărbune, căldura de adsorbție variază cu temperatura în modul următor :

Temperatura, °C	-15	10	40	80	128	187
Căldura de adsorbție $q \cdot 10^3$, J/kmol	46 500	41 900	39 000	34 800	30 900	21 800

Dacă lipsesc date experimentale, căldura de adsorbție (raportată la 1 kmol de gaz) se calculează dintr-o formulă aproximativă, analogă cu legea lui Trouton :

$$\frac{q}{\sqrt{T_f}} = \text{const} \quad (9-9)$$

în care : q este căldura de adsorbție, J/kmol gaz ;
 T_f — temperatura de fierbere a substanței adsorbite la presiunea atmosferică, K.

Mărimea constantei depinde de natura adsorbantului ; de exemplu, pentru cărbune activ ea este egală cu 2 180.

Căldura de adsorbție (mJ/kmol) se poate calcula și după formula :

$$q = \frac{44 \cdot 10^3 \lg \frac{p_2}{p_1}}{\frac{1}{T_1} - \frac{1}{T_2}} \quad (9-10)$$

în care : p_1 , p_2 este presiunea substanței adsorbite în prezența adsorbantului, la temperaturile T_1 și T_2 , exprimate în K.

5. În practică adsorbția gazelor și vaporilor, de regulă, are loc în condiții dinamice dintr-un curent de gaz purtător. În acest caz stratul de sorbant se caracterizează prin mărimea capacității dinamice de adsorbție (activității) a_d , dată de cantitatea substanței adsorbite (sorbite) de stratul de sorbant în momentul apariției din strat a concentrației de penetrație :

$$a_d = \bar{C}_0 \cdot W \cdot \tau \quad (9.11)$$

în care : a_d este capacitatea dinamică de adsorbție a stratului de sorbant, kg/m³ ;

\bar{C}_0 — concentrația inițială a substanței adsorbite în curentul de gaz, kg/m³ ;

W — viteza amestecului vapori-gaz raportată la întreaga secțiune a aparatului, m/s ;

τ — timpul acțiunii protectoare, s.

Gradul de folosire a capacității de adsorbție la echilibru $\eta = \frac{a_d}{a_s^*}$ (a_s^* — ca-

pacitatea de adsorbție statică, la echilibru, a stratului de adsorbant, kg/m³) a sorbanților microporoși în procesul dinamic, la o grosime a stratului de 30—50 mm, la viteze ale curentului de amestec vapori-aer de la 0,3 la 0,5 m/s și la concentrații inițiale ale sorbiților de 10—20 g/m³, reprezintă de obicei 0,8—0,9.

6. Procesul de adsorbție în condiții dinamice se poate caracteriza printr-o ecuație cinetică, după care viteza de adsorbție (sau cantitatea de substanță

care se adsoarbe în unitatea de timp și în unitatea de volum de adsorbant) este direct proporțională cu coeficientul de transfer de masă și forța motoare a procesului :

$$\frac{da}{d\tau} = \beta_v(\bar{C} - \bar{C}^*) \quad (9.12)$$

în care : \bar{C} este concentrația substanței adsorbite în amestecul vapor-gaz, kg/m³ gaz inert ;

\bar{C}^* — concentrația substanței adsorbite în amestecul vapor-gaz, la echilibrul de adsorbție, în unitatea de volum a adsorbantului, kg/m³ gaz inert ;

β_v — coeficientul cinetic (coeficientul de transfer de masă), s⁻¹.

Pentru calculele orientative ale coeficientului de transfer de masă β_v în cazul adsorbției pe cărbune activ ($d = 1,7 - 2,2$ mm, viteza fluxului $W = 0,3 - 2$ m/s) se utilizează ecuația (cu condiția ca izoterma de adsorbție să fie descrisă de ecuația lui Langmuir) :

$$Nu' = 1,6 Re^{0,54} \quad (9.13)$$

în care :

$$Nu' = \frac{\beta_v \cdot a^*}{D}; \quad Re = \frac{wd}{v}$$

d este diametrul mediu al particulelor adsorbantului, m ;

D — coeficientul de difuziune al substanței adsorbite în gaz la temperatura procesului, m²/s ;

w — viteza curentului amestecului gaz-vapori, calculată la secțiunea liberă a aparatului, m²/s ;

v — coeficientul viscozității cinematice a amestecului vapor-gaz, m²/s.

7. Procesul de adsorbție în condiții dinamice se poate de asemenea caracteriza prin timpul scurs de la începutul trecerii amestecului gaz-vapori peste stratul de adsorbant pînă în momentul străpunerii, cînd apare substanța adsorbită în spatele stratului de adsorbant. Acest interval de timp se numește timp de acțiune protectoare a stratului de adsorbant și se determină din ecuația lui Șilov :

$$\tau = K(H - h) \quad (9.14)$$

în care $Kh = \tau_0$

Prin urmare

$$\tau = K \cdot H - \tau_0 \quad (9.15)$$

în care :

K este coeficientul acțiunii protectoare a stratului de sorbant, s/m ;

H — înălțimea stratului de sorbant, m ;

h — înălțimea stratului nefolosit de sorbant în condițiile experienței dinamice, m ;

τ — timpul acțiunii protectoare, s ;

τ_0 — coeficientul cinetic sau pierderea de timp a acțiunii protectoare a stratului de adsorbant, s.

Coeficientul acțiunii protectoare a stratului se poate calcula cu formula :

$$K = \frac{a_0^*}{w \cdot \bar{C}_0} \quad (9.16)$$

în care : a_0^* este activitatea de echilibru a adsorbantului, kg/m³ ;

W — viteza amestecului gaz-vapori, raportată la întreaga secțiune a aparatului, m/s ;

\bar{C}_0 — concentrația inițială a substanței adsorbite în amestecul vapor-gaz, kg/m³.

8. Pentru unul și același adsorbant și substanță adsorbită, la concentrație și temperatură a amestecului vapor-gaz constante, se pot folosi următoarele relații, care dau așa numitele caracteristici dinamice B_1 și B_2 :

$$B_1 = K_1 \cdot W = K_2 \cdot W_2 = \frac{a_0^*}{\bar{C}_0} = \text{const.} \quad (9.17)$$

$$B_2 = \frac{\tau_{0,1} \sqrt{w_1}}{d_{p,1}} = \frac{\tau_{0,2} \sqrt{w_2}}{d_{p,2}} = \text{const.} \quad (9.18)$$

în care : K este coeficientul acțiunii protectoare a stratului, s/m ;

w — viteza curentului vapor-gaz, m/s ;

τ_0 — pierderea de timp a acțiunii protectoare a stratului, s ;

d_p — diametrul mediu al particulelor de adsorbant, m.

9. Durata adsorbției în procesele periodice se obține prin rezolvarea sistemului compus din ecuația bilanțului de materiale scris pentru substanța adsorbită, ecuația cinetică a adsorbției și ecuația izotermei de adsorbție.

Izoterma de adsorbție se împarte în trei părți : prima, caracterizată prin raportul $p/p_s < 0,17$ (față de benzen), pentru a doua $p/p_s \approx 0,17 \div 0,5$ și pentru a treia $p/p_s > 0,5$.

La determinarea duratei procesului din izoterma de adsorbție și concentrația inițială a amestecului vapor-gaz cercetat \bar{C}_0 , se găsește a_0^* și se stabilește în care domeniu al izotermei se include valoarea \bar{C}_0 . Apoi se calculează coeficientul de transfer de masă β_v din formula (9-13).

În funcție de poziția mărimii \bar{C}_0 pe izotermă se aplică una din următoarele trei metode de determinare a duratei de adsorbție [9-3] :

a) pentru primul domeniu, în care izoterma de adsorbție se consideră lineară și aproximativ urmează legea lui Henry, se utilizează formula :

$$\sqrt{\tau} = \sqrt{\frac{a_0^*}{w \cdot \bar{C}_0}} \cdot \sqrt{H} - b \sqrt{\frac{a_0^*}{\beta_v \cdot \bar{C}_0}} \quad (9-19)$$

în care : τ este durata adsorbției, s ;

w — viteza curentului gaz-vapori, raportată la întreaga secțiune a aparatului, m/s ;

H — înălțimea stratului de cărbune activ, m ;

\bar{C}_0 — concentrația inițială a substratului adsorbite în curentul gaz-vapori, kg/m³ ;

a_0^* — cantitatea de substanță adsorbită, în echilibru cu concentrația curentului, \bar{C}_0 , kg/m³ (stabilită după izoterma de adsorbție, în kg/kg și înmulțită cu densitatea în vrac a cărbunelui, în kg/m³);

β_v — coeficientul de transfer de masă, s⁻¹.

Valoarea coeficientului b se determină pentru o serie de valori \bar{C}/\bar{C}_0 din tabelul 9.3 (\bar{C} este conținutul de substanță adsorbită în curentul gazos, care iese din adsorbant, kg/m³).

Tabelul 9-3

$\frac{\bar{C}}{\bar{C}_0}$	b	$\frac{C}{\bar{C}_0}$	b	$\frac{C}{\bar{C}_0}$	b
0,005	1,84	0,2	0,63	0,7	-0,27
0,01	1,67	0,3	0,42	0,8	-0,46
0,03	1,35	0,4	0,23	0,9	-0,68
0,05	1,19	0,5	0,07		
0,1	0,94	0,6	-0,10		

b) pentru al doilea domeniu al izotermei de adsorbție se utilizează ecuația:

$$\tau = \frac{a_0^*}{w \cdot \bar{C}_0} \left\{ H - \frac{w}{\beta_v} \left[\frac{1}{P} \ln \left(\frac{\bar{C}_0}{\bar{C}} - 1 \right) + \ln \frac{\bar{C}_0}{\bar{C}} - 1 \right] \right\} \quad (9-20)$$

Aici $P = \frac{\bar{C}_0}{\bar{C}^*}$

\bar{C}^* — conținutul de substanță în curentul gazos, în echilibru cu jumătate din cantitatea maxim adsorbită de adsorbantul dat, adică în echilibru cu $a_0/2$, kg/m³.

c) pentru al treilea domeniu al izotermei de adsorbție:

$$\tau = \frac{a_0^*}{w \cdot \bar{C}_0} \left[H - \frac{w}{\beta_v} \ln \left(\frac{\bar{C}_0}{\bar{C}} - 1 \right) \right] \quad (9-21)$$

10. O caracteristică cinetică destul de importantă a procesului de adsorbție este înălțimea zonei de transfer de masă (înălțimea stratului de lucru), h_0 , care se calculează pe baza curbelor rezultate din ecuația*:

$$h_0 = H \frac{\tau_{sat} - \tau_{str}}{\tau_{sat} - (1-f)(\tau_{sat} - \tau_{str})} \quad (9-22)$$

în care: H este înălțimea stratului de adsorbant;

τ_{sat} — timpul până la saturarea de echilibru;

τ_{str} — timpul acțiunii de protecție la o concentrație de străpungere minimă indicată;

f — capacitatea de adsorbție a adsorbantului, la echilibru, nefolosită în condițiile experienței dinamice în zona transferului de masă (pentru adsorbantii microporoși în zona transferului de masă $f \approx 0,5$).

* Michaels, A. Ind. Eng. Chem., 1952, V. 44, p. 1922.

11. Procesul continuu de adsorbție se efectuează în aparate de adsorbție cu deplasarea stratului de adsorbant* de sus în jos, la care amestecul vaporiz-gaz merge în întîmpinare (în contracurent). Prin calcule se obține viteza minimă de mișcare μ a adsorbantului (viteză, la care gradul de folosire a capacității de adsorbție la echilibrul adsorbantilor, în condițiile experienței dinamice, reprezintă 0,95–0,98 și se realizează adîncimea dată de purificare sau uscare a curenților vaporiz-aer) și înălțimea de lucru a stratului H_0 în aparatul de hipersorbție.

Viteza de deplasare μ a stratului se calculează după formula:

$$\mu = \frac{1}{K} = \frac{(\bar{C}_0 - \bar{C}_{tr}) \cdot w}{a_0^*} \quad (9-23)$$

în care: w este viteza curentului gazos, raportată la întreaga secțiune a aparatului;

K — coeficientul acțiunii protectoare a stratului;

\bar{C}_0 — concentrația inițială a substanței adsorbite în amestecul vaporiz-gaz;

\bar{C}_{tr} — concentrația indicată, constantă, a substanței adsorbite în curentul vaporiz-gaz, după trecerea prin stratul de adsorbant.

În procesele de uscare fină sau purificare a curenților de gaze \bar{C}_{tr} variază de la 0,025 la 0,008% în funcție de mărimea \bar{C}_0 (în cazul dat \bar{C}_0 variază de la 20,0 la 10,0 g/m³). De aceea în ecuația (9.23) concentrația de trecere indicată, constantă, se poate neglija.

Înălțimea de lucru a stratului în aparatul cu hipersorbție poate fi calculată după formula:

$$H_0 = \gamma \cdot h_0 \quad (9-24)$$

în care: γ este coeficient care caracterizează raportul densității în vrac la o compactizare a stratului prin vibrare față de densitatea fără compactizare (în medie $\gamma = 1,4$);

h_0 — înălțimea zonei de transfer de masă a stratului fix.

12. Înălțimea stratului de adsorbant se poate calcula după o metodă generată prin numărul de unități de transfer:

$$H = \frac{V_g}{S \cdot \beta_v} \int_{\bar{C}_1}^{\bar{C}_0} \frac{d\bar{C}}{\bar{C} - \bar{C}^*} = h_e \cdot m \quad (9-25)$$

în care: V_g este debitul amestecului gaz-vapori;

S — suprafața secțiunii transversale a stratului;

β_v — coeficientul de transfer de masă;

\bar{C}_0 și \bar{C}_1 — concentrația amestecului gaz-vapori la intrarea, respectiv la ieșirea, din adsorbant;

\bar{C}^* — concentrația de echilibru a substanței adsorbite în amestecul gaz-vapori conform izotermei.

* Hipersorbție sau strat mobil.

Diferența concentrațiilor $\bar{C} - \bar{C}^*$ determină forța motoare a procesului. Ca exemplu pentru astfel de diferențe poate servi segmentul DE din figura 9-1, în care abscisa punctului D este egală cu \bar{C} , iar a punctului E cu \bar{C}^* . Raportul $V_g/(S \cdot \beta_g)$ reprezintă înălțimea stratului de adsorbant, corespunzătoare unei unități de transfer și se notează cu h_e , iar integrala $\int_{\bar{C}_1}^{\bar{C}_0} \frac{d\bar{C}}{\bar{C} - \bar{C}^*}$ reprezintă numărul de unități de transfer notat cu m . Pentru determinarea lui H trebuie stabilită valoarea integralei $\int_{\bar{C}_1}^{\bar{C}_0} \frac{d\bar{C}}{\bar{C} - \bar{C}^*}$. Aceasta se face prin metoda grafică.

Dispunind de valorile C_0, a_{a0} și C_1, a_{a1} , se fixează pe diagrama izotermei de adsorbție ambele aceste puncte și unindu-le printr-o dreaptă se obține linia de lucru AK . Se construiește apoi curba în coordonatele $\bar{C}, \frac{1}{\bar{C} - \bar{C}^*}$ (un calcul asemănător este dat în cap. 6 și 7).

În locul unei astfel de determinări a integralei $\int_{\bar{C}_1}^{\bar{C}_0} \frac{d\bar{C}}{\bar{C} - \bar{C}^*}$ se poate utiliza o metodă grafică mai simplă.

Începând din punctul A (fig. 9.1) de pe linia de lucru (punctul corespunzător intrării amestecului vaporiz-gaz în adsorber) se construiește între curbă și această linie trepte de variație a concentrației pînă în punctul K (punctul corespunzător ieșirii amestecului vaporiz-gaz din adsorber).

Numărul de unități de transfer, corespunzător unei trepte se notează cu m_0 . Dacă numărul de trepte este egal cu n și toate sînt egale, atunci $m = m_0 \cdot n$ și înălțimea stratului este :

$$H = h_e \cdot m = h_e \cdot m_0 \cdot n \quad (9-26)$$

Acest caz este posibil numai pe porțiunea liniară a izotermei. În cazul general, formula pentru calculul înălțimii stratului are forma următoare :

$$H = h_e(m_0^I + m_0^{II} + \dots + m_0^n) = h_e \sum_1^n m_0 \quad (9-27)$$

Pentru fiecare treaptă de variație a concentrației, numărul unităților de transfer m_0 se calculează separat, după formula :

$$m_0 = \frac{\bar{C}_i - \bar{C}_f}{(\bar{C}_i - \bar{C}_i^*) + (\bar{C}_f - \bar{C}_f^*)} = \frac{2(\bar{C}_i - \bar{C}_f)}{\bar{C}_i - \bar{C}_f^*} \quad (9-28)$$

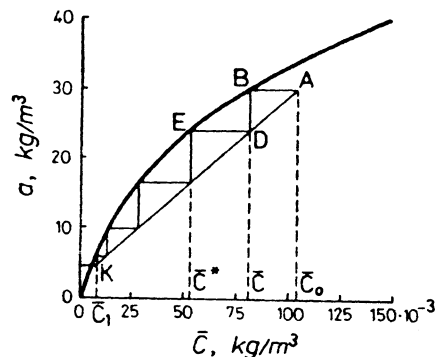


Fig. 9-1. Determinarea numărului de trepte de variație a concentrației.

în care : \bar{C}_i este concentrația amestecului gaz-vapori la intrarea pe treaptă, de exemplu abscisa punctului A ;
 \bar{C}_f — concentrația la ieșirea de pe treaptă a amestecului gaz-vapori, de exemplu abscisa punctului D ;
 \bar{C}_i^* — concentrația la echilibru de exemplu abscisa punctului B , deci $\bar{C}_f = \bar{C}_i^*$;
 \bar{C}_f^* — concentrația de echilibru, de exemplu abscisa punctului E .
 Pe porțiunea liniară a izotermei, pentru determinarea înălțimii stratului se poate folosi și formula :

$$H = \frac{G}{S \cdot \beta_g \cdot \Delta \bar{C}_m}$$

Aici G este cantitatea de substanță adsorbită în unitatea de timp ;
 $\Delta \bar{C}_m$ — forța motoare medie de adsorbție, care se calculează ca medie logaritmică ;

$$\Delta \bar{C}_m = \frac{\Delta \bar{C}_0 - \Delta \bar{C}_1}{\ln \frac{\Delta \bar{C}_0}{\Delta \bar{C}_1}} \quad (9.30)$$

în care : $\Delta \bar{C}_0$ este forța motoare maximă la un capăt al stratului ($\bar{C}_0 - \bar{C}_0^*$) ;
 $\Delta \bar{C}_1$ — forța motoare minimă la celălalt capăt al stratului ($\bar{C}_1 - \bar{C}_1^*$)

9.2. EXEMPLE

Exemplul 9-1. Să se determine cantitatea de cărbune activ necesară, înălțimea stratului de adsorbant și diametrul unui adsorber cu funcționare periodică, pentru adsorbția vaporilor de benzină în amestec cu aer. Debitul amestecului vaporiz-aer este 3 450 m³/h. Concentrația inițială a benzinei $\bar{C} = 0,02$ kg/m³. Viteza amestecului vaporiz-aer $w = 0,23$ m/s, raportată la întreaga secțiune a aparatului activitatea dinamică a cărbunului față de benzină este 7% masă, activitatea reziduală după desorbție 0,8% masă, densitatea în vrac a cărbunului $\rho_{vra} = 500$ kg/m³. Durata desorbției, uscării și răcirii adsorbantului este 1,45 ore.

Rezolvare. La adsorbția benzinei pentru timpul de 1,45 ore este necesară cantitatea de adsorbant :

$$G = \frac{3\,450 \cdot 1,45 \cdot 0,02}{0,07 - 0,008} = 1\,614 \text{ kg}$$

La viteza dată a amestecului vaporiz-aer de 0,23 m/s și debitul de 3 450 m³/h, diametrul adsorbantului trebuie să fie :

$$D = \sqrt{\frac{3\,450}{3\,600 \cdot 0,785 \cdot 0,23}} = 2,3 \text{ m}$$

Înălțimea stratului de adsorbant este :

$$H = \frac{1\,614}{500 \cdot 0,785 \cdot 2,3^2} = 0,77 \text{ m}$$

Exemplul 9-2. Din date experimentale, durata adsorbției vaporilor de cloropirină ($\bar{C}_0 = 6,6 \text{ g/m}^3$) pe un strat de cărbune activ cu înălțimea $H = 0,05 \text{ m}$ și secțiunea $S = 0,01 \text{ m}^2$, la viteza de volum $V = 0,03 \text{ m}^3/\text{min}$ este $\tau = 336 \text{ min}$. După izoterma cloropirinei, activitatea cărbunelui este $a_0^* = 222 \text{ kg/m}^3$. Diametrul particulelor de cărbune este $d_p = 1,5 \text{ mm}$. Să se determine: a) coeficientul acțiunii proiectoare, τ_0 ; b) pierderea de timp a acțiunii proiectoare, τ_0 ; c) mărimea caracteristicilor dinamice B_1 și B_2 .

Rezolvare: Se folosește formula (9.16):

$$K = \frac{a_0^*}{w \cdot \bar{C}_0}$$

Mărimile a_0^* și \bar{C}_0 sînt date, iar viteza liniară a vaporilor se calculează cu ajutorul vitezei de volum și a secțiunii transversale a absorbantului:

$$w = \frac{V}{S} = \frac{0,03}{0,01} = 3 \text{ m/min}$$

După înlocuire se obține:

$$K = \frac{222}{3 \cdot 0,0066} = 11\,212 \text{ min/m} \approx 187 \text{ h/m}$$

Pierderea de timp a acțiunii proiectoare se obține conform ecuației (9.15):

$$\tau_0 = KH - \tau = 11\,212 \cdot 0,05 - 336 = 224,6 \text{ min}$$

Coeficienții dinamici B_1 și B_2 se determină cu ajutorul formulelor (9.17) și (9.18):

$$B_1 = K \cdot w = 11\,212 \cdot 3 = 33\,636$$

$$B_2 = \frac{\tau_0 \sqrt{w}}{d_p} = \frac{224,6 \cdot \sqrt{3}}{0,0015} = 259\,345$$

Exemplul 9-3. Dacă în condițiile exemplului anterior viteza curentului vaporilor aer va fi $w' = 6 \text{ m/min}$, cum se va modifica: a) coeficientul acțiunii proiectoare a stratului; b) pierderea de timp a acțiunii proiectoare; c) durata de adsorbție pentru un strat cu înălțimea $H' = 0,1 \text{ m}$.

Rezolvare. Deoarece coeficientul B_1 este o mărime constantă rezultă:

$$K' = \frac{K \cdot w}{w'} = \frac{B_1}{w'} = \frac{33\,636}{6} = 5\,606 \text{ min/m}$$

Din formula pentru coeficientul B_2 se determină

$$\tau_0' = \frac{B_2 d_p}{\sqrt{w'}} = \frac{259\,345 \cdot 0,0015}{\sqrt{6}} \approx 159 \text{ min}$$

Durata adsorbției se determină din ecuația lui Șilov:

$$\tau' = K'H' - \tau_0' = 5\,606 \cdot 0,1 - 159 = 401,6 \text{ min.}$$

Exemplul 9-4. Printr-un adsorber cu funcționare periodică, într-o perioadă trec $2\,000 \text{ m}^3$ amestec vaporilor aer cu concentrația în eter etilic $\bar{C}_0 = 0,006 \text{ kg/m}^3$.

Temperatura procesului este 20°C , presiunea este cea atmosferică, viteza curentului amestecului vaporilor aer $w = 13 \text{ m/min}$, concentrația amestecului după ieșirea din adsorber $\bar{C} = 3 \cdot 10^{-5} \text{ kg/m}^3$. În calitate de adsorbant se folosește cărbunele activ tip AG-5 cu diametrul particulelor $d_p = 0,004 \text{ m}$ și densitatea în vrac 500 kg/m^3 . Înălțimea stratului de cărbune $H = 0,7 \text{ m}$.

După izoterma benzenului la 20°C , folosind același cărbune să se construiască izoterma de adsorbție a eterului etilic în aer la 20°C . Utilizînd aceasta izotermă, să se determine cantitatea de cărbune activ necesară pentru o încărcătură, diametrul adsorberului și durata adsorbției pînă la străpungere.

Rezolvare. Abscisele și ordonatele punctelor izotermei eterului etilic se calculează după formulele (9.4) și (9.6):

$$a_2^* = a_1^* \frac{V_1}{V_2}$$

$$\lg p_2 = \lg p_{s,2} - \beta \frac{T_1}{T_2} \lg \frac{p_{s,1}}{p_1}$$

în care: a_1^* și a_2^* — concentrațiile benzenului și ale eterului etilic, adsorbite, kg/kg ;

V_1 și V_2 — volumele molare de benzen și eter etilic în stare lichidă, m^3/kmol ;

p_1 și p_2 — presiunile parțiale ale vaporilor de benzen și eter etilic, mm Hg ;

$p_{s,1}$ și $p_{s,2}$ — presiunile vaporilor saturanți de benzen și eter etilic la 20°C , mm Hg ;

T_1 și T_2 — temperatura absolută a benzenului și eterului etilic la adsorbție (în cazul dat $T_1 = T_2 = 293 \text{ K}$);

β — coeficientul de afinitate.

Volumele molare ale benzenului și ale eterului etilic sînt:

$$V_1 = \frac{M_1}{\rho_1} = \frac{78}{789} = 0,0887 \text{ m}^3/\text{kmol}$$

$$V_2 = \frac{M_2}{\rho_2} = \frac{74}{714} = 0,1036 \text{ m}^3/\text{kmol}$$

Coeficientul de afinitate este:

$$\beta = \frac{V_2}{V_1} = \frac{0,1036}{0,0887} = 1,17$$

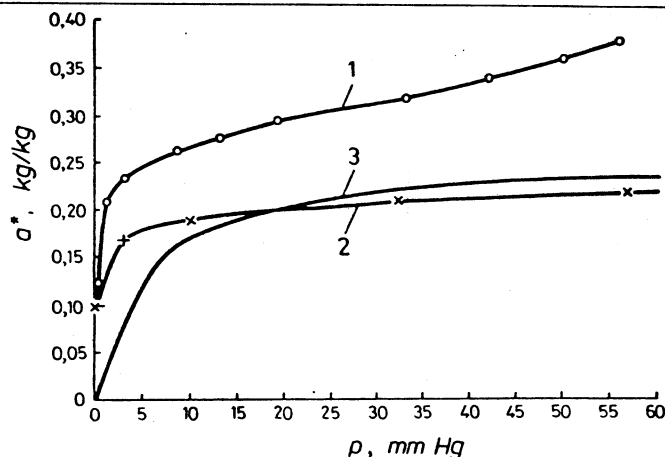


Fig. 9-2. Izotermele de adsorbție la 20°C :

Pe izoterma benzenului (fig. 9-2) se aleg o serie de puncte :

Primul punct : $a_1^* = 0,262$ kg/kg, $p_1 = 8$ mm Hg. Se calculează coordonatele punctului respectiv pe izoterma eterului etilic :

$$a_1^* = \frac{0,262}{78} \text{ kmol/kg}$$

$$a_2^* = a_1^* \frac{V_1}{V_2} = \frac{0,262}{78} \cdot \frac{0,0887}{0,1036} = 0,00287 \text{ kmol/kg} = 0,00287 \cdot 74 \text{ kg/kg} = 0,212 \text{ kg/kg}$$

$$\lg p_2 = \lg 442 - 1,17 \frac{293}{293} \lg \frac{75}{8} = 1,50822$$

$$p_2 = 32,3 \text{ mm Hg.}$$

Prin această metodă se calculează ordonatele și abscisele celorlalte puncte, iar datele obținute se trec în tabelul 9-4.

Tabelul 9-4

Izoterma benzenului		Izoterma eterului etilic	
a_1^* , kg/kg	p_1 , mm Hg	a_2^* , kg/kg	p_2 , mm Hg
0,103	0,105	0,0837	0,0202
0,122	0,223	0,0992	0,0501
0,208	1	0,169	2,82
0,233	3	0,190	10,1
0,262	8	0,212	32,2
0,276	13	0,224	56,9
0,294	19	0,240	88,2
0,318	33	0,258	169,2
0,338	42	0,273	224,5
0,359	50	0,292	275,0

Exemple

403

Cu punctele astfel obținute se construiește izoterma eterului etilic la 20°C (curba 2 de pe fig. 9.2).

Se determină cu ajutorul izotermei, activitatea statică a cărbunelui față de eterul etilic la concentrația amestecului vapori-aer $\bar{C}_0 = 0,006$ kg/m³.

Se calculează la început presiunea parțială corespunzătoare lui \bar{C}_0 după formula (9.1).

$$p_0 = \bar{C}_0 RT = 0,006 \frac{848}{74} \cdot 293 \frac{760}{10\,330} = 1,48$$

Din diagramă, la abscisa $p_0 = 1,48$ mm Hg corespunde ordonata $a_0^* = 0,132$ kg/kg.

Cantitatea de cărbune activ pentru o singură încărcare a adsorbentului este :

$$G_1 = \frac{2000 \cdot 0,006}{0,132} = 91 \text{ kg sau } \frac{91}{500} = 0,182 \text{ m}^3$$

Diametrul adsorberului se calculează din relația :

$$\frac{\pi \cdot D_a^2}{4} H = 0,182 \text{ m}^3$$

de unde :

$$D_a = \sqrt{\frac{0,182 \cdot 4}{\pi \cdot H}} = \sqrt{\frac{0,182 \cdot 4}{3,14 \cdot 0,7}} = 0,69 \text{ m}$$

Deoarece pe izotermă, punctul corespunzător concentrației inițiale a amestecului vapori-aer $\bar{C}_0 = 0,006$ kg/m³ se găsește pe prima porțiune (liniară), durata procesului se calculează după formula (9.19) :

$$\sqrt{\tau} = \sqrt{\frac{\Gamma}{w}} \cdot \sqrt{H} - b \sqrt{\frac{\Gamma}{\beta_v}}$$

în care :

$$\Gamma = \frac{a_0^*}{\bar{C}_0} = \frac{0,132 \cdot 500}{0,006} = 11\,000 ;$$

$w = 13$ m/min — viteza curentului de gaz ;

$H = 0,7$ — înălțimea stratului de cărbune ;

b — coeficientul care se determină din tabelul 9-3.

(pentru $\frac{\bar{C}}{\bar{C}_0} = \frac{0,00003}{0,006} = 0,005$ rezultă $b = 1,84$) ;

β_v — coeficientul de transfer de masă, care se calculează după formula :

$$\beta_v = 1,6 \frac{D \cdot w^{0,64}}{v^{0,64} d_p^{1,56}}$$

Se determină coeficientul viscozității cinematice a aerului. Deoarece din fig. VI $\mu = 0,018 \cdot 10^{-3}$ Pa·s, atunci:

$$\nu = \frac{\mu}{\rho} = \frac{0,018 \cdot 10^{-3}}{1,2} = 0,15 \cdot 10^{-4} \text{ m}^2/\text{s}.$$

Rezultă:

$$\nu^{0,54} = (0,15 \cdot 10^{-4})^{0,54} = 0,248 \cdot 10^{-2}$$

Diametrul particulelor de cărbune $d_p = 0,004$ m, deci:

$$d_p^{1,46} = 0,004^{1,46} = (0,40 \cdot 10^{-2})^{1,46} = 0,3154 \cdot 10^{-3}$$

Viteza $w = 13$ m/min = $\frac{13}{60}$ m/s și prin urmare:

$$\left(\frac{w}{60}\right)^{0,54} = \left(\frac{13}{60}\right)^{0,54} = 0,438$$

Coeficientul de difuziune la 0°C pentru sistemul eter etilic-aer este:

$$D_0 = 0,028 \text{ m}^2/\text{h} = 0,0778 \cdot 10^{-4} \text{ m}^2/\text{s}.$$

Pentru temperatura de 20°C coeficientul de difuziune se calculează cu formula:

$$D = D_0 \frac{p_0}{p} \left(\frac{T}{T_0}\right)^{3/2} = 0,07781 \cdot 0^{-4} \frac{1}{1} \left(\frac{293}{273}\right)^{3/2} = 0,0778 \cdot 10^{-4} \cdot 1,11 = 0,0864 \cdot 10^{-4} \text{ m}^2/\text{s}.$$

După înlocuire se obține coeficientul volumetric de transfer de masă:

$$\beta_v = \frac{1,6 \cdot 0,0864 \cdot 10^{-4} \cdot 0,438}{0,248 \cdot 10^{-2} \cdot 0,3154 \cdot 10^{-3}} = 7,74 \text{ s}^{-1}$$

Se determină durata procesului:

$$\sqrt{\tau} = \sqrt{\frac{11\,000}{13/60} \cdot \sqrt{0,7} - 1,84 \sqrt{\frac{11\,000}{7,74}}} = 188,5 - 69,4 = 119,1$$

$$\tau = 119,1^2 = 14\,185 \text{ s} = 236,4 \text{ min} = 3,94 \text{ h}$$

Se determină cantitatea de amestec vapori-aer trecut prin adsorber în acest timp:

$$V = \frac{\pi \cdot D_a^2}{4} \cdot w \cdot \tau = \frac{3,14 \cdot 0,57^2}{4} \cdot 13 \cdot 236,4 = 783,8 \text{ m}^3$$

Din condițiile exemplului, într-o perioadă, prin adsorber, trebuie să treacă 2 000 m³. Așa dar, diametrul adsorbenului trebuie mărit:

$$D_a = \sqrt{\frac{2\,000 \cdot 4}{\pi \cdot w \cdot \tau}} = \sqrt{\frac{2\,000 \cdot 4}{3,14 \cdot 13 \cdot 236,4}} = 0,91 \text{ m!}$$

Este necesar de asemenea să se mărească cantitatea de cărbune activ pentru o încărcătură:

$$\frac{\pi \cdot D_a^2}{4} H \cdot 500 = 0,785 \cdot 0,91^2 \cdot 0,7 \cdot 500 = 227,5 \text{ kg}$$

Exemplul 9-5. Folosind izoterma de adsorbție a amestecului vaporilor de alcool etilic și eter etilic (curba 3 pe fig. 9-2), să se determine durata de adsorbție a acestui amestec pe un strat de cărbune activ cu înălțimea $H = 1,0$ m. Concentrația inițială a amestecului $\bar{C}_0 = 0,072$ kg/m³; concentrația medie la ieșirea din adsorber $\bar{C} = 0,0001$ kg/m³; viteza amestecului vapori-gaz, raportată la întreaga secțiune a adsorberului, $w = 12$ m/mm; diametrul particulelor de cărbune activ $d_p = 0,004$ m, densitatea în vrac $\rho_{vac} = 500$ kg/m³; temperatura de adsorbție 20°C, iar presiunea este cea atmosferică.

Rezolvare. Din izoterma de adsorbție (fig. 9-2) se determină α_0^* , corespunzător concentrației $\bar{C}_0 = 0,072$ kg/m³. Masa moleculară a amestecului $M_{am} = 0,3 \cdot 46 + 0,7 \cdot 74 = 65,6$ kg/kmol.

Presiunea corespunzătoare lui \bar{C}_0 este:

$$p_0 = \bar{C}_0 RT = 0,072 \frac{848}{65,6} \cdot 293 \cdot \frac{760}{10\,330} = 20 \text{ mm Hg}.$$

Din izoterma $\alpha_0^* = 0,20$ kg/kg = $0,2 \cdot 500 = 100$ kg/m³. Acest punct este situat în porțiunea a treia a izotermei; de aceea durata adsorbției se determină după formula (9-21):

$$\tau = \frac{\alpha_0^*}{w \cdot \bar{C}_0} \left[H - \frac{w}{\beta_v} \left(\frac{\bar{C}_0}{\bar{C}} - 1 \right) \right]$$

Pentru calculul după această formulă trebuie determinat numai coeficientul de transfer de masă β_v pentru amestec.

Coeficientul de difuziune al eterului în aer la 0°C este:

$$D'_0 = 0,028 \text{ m}^2/\text{h} = 0,0778 \cdot 10^{-4} \text{ m}^2/\text{s}$$

Coeficientul de difuziune al alcoolului etilic în aer la 0°C este:

$$D''_0 = 0,0367 \text{ m}^2/\text{h} = 0,1019 \cdot 10^{-4} \text{ m}^2/\text{s}$$

Pentru clacul se ia cel mai mic coeficient de difuziune (al eterului) și se recalculază pentru temperatura de 20°C:

$$D = D'_0 \frac{p_0}{p} \left(\frac{T}{T_0}\right)^{3/2} = 0,028 \cdot \frac{1}{1} \left(\frac{293}{273}\right)^{3/2} = 0,0312 \text{ m}^2/\text{h} = 0,0866 \cdot 10^{-4} \text{ m}^2/\text{s}$$

Viscozitatea cinematică se ia pentru aer (vezi exemplul anterior)

$$\nu = 0,15 \cdot 10^{-4} \cdot \text{m}^2/\text{s}$$

Se calculează valorile $v^{0,54}$ și $w^{0,54}$ și $d_p^{1,46}$:

$$v^{0,54} = (0,15 \cdot 10^{-4})^{0,54} = 0,248 \cdot 10^{-2}$$

$$\left(\frac{w}{60}\right)^{0,54} = \left(\frac{12}{60}\right)^{0,54} = 0,42$$

$$d_p^{1,46} = 0,004^{1,46} = 0,3154 \cdot 10^{-3}$$

După înlocuirea valorilor, coeficientul de transfer de masă este:

$$\beta_v = \frac{1,6 \cdot 0,0866 \cdot 10^{-4} \cdot 0,42}{0,248 \cdot 10^{-2} \cdot 0,3154 \cdot 10^{-3}} = 7,4 \text{ s}^{-1}$$

Durata adsorbției va fi:

$$\tau = \frac{100,60}{12 \cdot 0,072} \left[1,0 - \frac{12}{60 \cdot 7,4} \left(2,3 \lg \frac{0,072}{0,001} - 1 \right) \right] = 5900 \text{ s} = 1 \text{ h } 38 \text{ min.}$$

Exemplul 9-6. Printr-un adsorber cu funcționare continuă cu diametrul $D = 0,32 \text{ m}$ trec într-o oră 120 m^3 amestec vaporiz-gaz. La intrarea în zona de adsorbție cărbunele activ conține $a_1 = 4 \text{ kg/m}^3$ component adsorbit, iar la ieșire conținutul în componentul adsorbit se ridică la $a_2 = 30 \text{ kg/m}^3$. Concentrația amestecului vaporiz-gaz, la intrarea în adsorber, este $\bar{C}_0 = 0,105 \text{ kg/m}^3$, iar la ieșirea din adsorber $\bar{C}_1 = 0,0065 \text{ kg/m}^3$. Coeficientul de transfer de masă al componentului adsorbit în condițiile de lucru ale adsorberului este $\beta_v = 5 \text{ s}^{-1}$. Izoterma de gadsorbție se cunoaște (fig. 9-1) Să se determine viteza de mișcare și înălțimea stratului de cărbune activ.

Rezolvare. Viteza de mișcare a cărbunelui se determină după formula (9-23):

$$u = \frac{1}{K} = \frac{\bar{C}_0 \cdot w}{a}$$

Se determină viteza lineară a amestecului gaz-vapori:

$$w = \frac{4 \cdot V}{3600 \cdot \pi \cdot D^2} = \frac{4 \cdot 120}{3600 \cdot 3,14 \cdot 0,32^2} = 0,415 \text{ m/s}$$

Se înlocuiește valoarea stabilită a lui w în formula (9.23) și se determină viteza de mișcare a cărbunelui:

$$u = \frac{0,105 \cdot 0,115}{34} = 0,00128 \text{ m/s}$$

Pentru calculul înălțimii stratului, pe diagrama izotermei se trasează linia de lucru (fig. 9-1) după coordonatele punctului ei inițial A ($\bar{C}_0 = 0,105 \text{ kg/m}^3$ și $a_2 = 30 \text{ kg/m}^3$) și final K ($\bar{C}_1 = 0,0065 \text{ kg/m}^3$ și $a_1 = 4 \text{ kg/m}^3$).

Din punctul inițial al liniei de lucru către cel final se construiesc treptele de variație ale concentrației. Se obțin cinci trepte. Pentru fiecare treaptă se determină numărul unităților de transfer m_0 după formula (9-28).

$$m_0^I = \frac{2(\bar{C}_0 - \bar{C}_1)}{\bar{C}_0 - \bar{C}_1^*} = \frac{2(0,105 - 0,0815)}{0,105 - 0,053} = 0,905$$

$$m_0^{II} = \frac{2(0,0815 - 0,053)}{0,0815 - 0,028} = 1,065$$

$$m_0^{III} = \frac{2(0,053 - 0,028)}{0,053 - 0,0115} = 1,205$$

$$m_0^{IV} = \frac{2(0,028 - 0,0115)}{0,028 - 0,0065} = 1,535$$

$$m_0^V = \frac{2(0,0115 - 0,0065)}{0,0115 - 0,004} = 1,335$$

Înălțimea stratului de cărbune activ se determină din formula (9-25) și (9-27):

$$H = \frac{v}{S \cdot \beta_v} \sum_{i=1}^V m_0 = \frac{w}{\beta_v} \sum_{i=1}^V m_0 = \frac{0,415}{5} (0,905 + 1,065 + 1,205 + 1,535 + 1,335) = 0,083 \cdot 6,045 \approx 0,5 \text{ m}$$

Exemplul 9-7. Să se determine cantitatea de căldură care se degajă într-o perioadă la adsorbția vaporilor de alcool etilic pe cărbune activ ($\tau = 133 \text{ min}$). Diametrul adsorberului este 2 m , înălțimea stratului $H = 1,0 \text{ m}$.

Viteza amestecului vaporiz-aer, de concentrație $\bar{C}_0 = 0,029 \text{ kg/m}^3$ este $w = 25 \text{ m/mm}$; concentrația amestecului la ieșirea din adsorber $\bar{C}_1 = 0,0002 \text{ kg/m}^3$; densitatea în vrac a stratului $\rho_{vrac} = 500 \text{ kg/m}^3$.

Rezolvare. Secțiunea transversală a aparatului este

$$S = \frac{\pi D^2}{4} = \frac{3,14 \cdot 2^2}{4} = 3,14 \text{ m}^2$$

Într-o perioadă, prin adsorber trece o cantitate de amestec vaporiz-gaz egală cu:

$$V = w \cdot S \cdot \tau = 25 \cdot 3,14 \cdot 133 = 10440 \text{ m}^3$$

Cantitatea de vapori de alcool etilic adsorbită este:

$$G = \frac{10440(29 - 0,2)}{1000} = 300,7 \text{ kg}$$

sau

$$G = \frac{300,7}{46} = 6,54 \text{ kmol}$$

Cantitate de cărbune activ încărcată în adsorber este :

$$SH \rho_{vac} = 3,14 \cdot 1,0 \cdot 500 = 1\,570 \text{ kg}$$

care reprezintă :

$$\frac{1\,570}{6,54} = 240 \text{ kg cărbune/kmol}$$

Datele din tabelul LIII nu se pot folosi aici, deoarece s-a luat pentru calculul adsorbției 1 kmol la 500 kg cărbune.

Căldura de adsorbție se calculează după formula (9-8) :

$$q = m \cdot a^n$$

Cantitatea de vapori adsorbiți a pe 1 kg cărbune este :

$$a = \frac{6,54 \cdot 22,4 \cdot 1\,000}{1\,570} \approx 93 \text{ l/kg}$$

Valorile m și n se iau din tabelul 9-2 : $m = 6,35 \cdot 10^3$, $n = 0,928$.

După formula (9-8), la 1 kg cărbune se degajă o cantitate de căldură :

$$q = 3,65 \cdot 93^{0,928} = 245 \text{ kJ/kg}$$

În total, la o trecere se degajă cantitatea de căldură :

$$q_1 = 245 \cdot 1\,570 = 385\,000 \text{ kJ.}$$

Această căldură se consumă la încălzirea cărbunelui și a aparatului, cu pierderile de căldură și în special pentru încălzirea amestecului vapori-gaz. Dacă se consideră că toată căldura degajată se consumă numai pentru încălzirea amestecului vapori-gaz și considerând căldura specifică și densitatea acestuia egală cu ale aerului ($c = 1,01 \cdot 10^3 \text{ J/kg} \cdot \text{K}$, $\rho = 1,2 \text{ kg/m}^3$), atunci temperatura amestecului se ridică cu :

$$\Delta t = \frac{385\,000 \cdot 10^3}{1\,044 \cdot 1,2 \cdot 1,01 \cdot 1\,000} = 30,42 \text{ K}$$

Exemplul 9-8. Să se determine lungimea zonei de transfer de masă a unui strat fix de zeolit tip NaA ($d_p = 0,002 \text{ m}$) și înălțimea de lucru a aparatului tip coloană pentru procesul uscării avansate a gazului ($\bar{C}_{str} = 2,94 \cdot 10^{-6} \text{ kg/m}^3$) pentru următoarele condiții : înălțimea stratului fix

0,26 m, $\bar{C}_0 = 0,01 \text{ kg/m}^3$, viteza curentului vapori-aer raportată la secțiunea totală a aparatului 0,5 m/s, timpul de saturare $\tau_{sat} = 190 \text{ min}$, $\tau_{str} = 110 \text{ min}$)*.

Rezolvare. Înălțimea zonei de transfer de masă se calculează după formula (9-22) :

$$h_0 = H \frac{\tau_{sat} - \tau_{str}}{\tau_{sat} - (1-f)(\tau_{sat} - \tau_{str})} = 26 \cdot \frac{190 - 110}{190 - (1-0,5)(190 - 110)} = \frac{26 \cdot 80}{150} = 13,8 \text{ cm}$$

în care : h_0 este înălțimea zonei de transfer de masă, cm ; H — înălțimea stratului de adsorbant, cm ; τ_{sat} — timpul până la saturarea de echilibru a stratului, min ; τ_{str} — timpul acțiunii de protecție la o concentrație de străpungere constantă indicată, min ; f — partea nefolosită a adsorbantului în zona de transfer de masă.

Înălțimea de lucru a stratului în aparat se calculează cu formula :

$$H_0 = \gamma \cdot h_0 = 1,4 \cdot 13,8 = 19,3 \text{ cm}$$

în care : γ este coeficientul care caracterizează raportul densității gravimetrice cu compactizarea prin vibrație a stratului față de densitatea gravimetrică fără compactizare ($\gamma = 1,4$).

9.3. PROBLEME

9-1. Să se determine cantitatea de cărbune activ încărcat, diametrul adsorberului și durata perioadei de adsorbție a 100 kg vapori de octan dintr-un amestec cu aer, în următoarele condiții : concentrația inițială a vaporilor de octan $\bar{C}_0 = 0,012 \text{ kg/m}^3$, viteza $w = 20 \text{ m/min}$, activitatea cărbunelui față de benzen 7%, densitatea în vrac a cărbunelui $\rho_{vac} = 350 \text{ kg/m}^3$, înălțimea stratului de cărbune în adsorber $H = 0,8 \text{ m}$.

9-2. Să se determine durata adsorbției până la străpungere și pierderea de timp a acțiunii protectoare a stratului pentru adsorbția vaporilor de tetraclorură de carbon pe un strat de cărbune activ cu înălțimea $H = 0,1 \text{ m}$. Viteza amestecului vapori-gaz $w = 5 \text{ m/min}$, diametrul particulelor de cărbune $d_p = 2,75 \text{ mm}$, coeficienții dinamici $B_1 = 14\,500$ și $B_2 = 52\,945$.

9-3. Să se construiască izoterma de adsorbție a vaporilor de alcool etilic la 25°C , după izoterma de adsorbție a benzenului la 20°C (fig. 9.2).

9-4. Folosind izoterma de adsorbție a benzenului (fig. 9.2), să se determine viteza și înălțimea stratului de cărbune activ, la adsorbția continuă a unui amestec vapori-gaz cu concentrația inițială $C_0 = 0,11 \text{ kg/m}^3$, viteza de trecere a amestecului $w = 20 \text{ m/min}$ și coeficientul de transfer de masă $\beta_p = 4 \text{ s}^{-1}$. Cărbunele în procesul de adsorbție se saturează până la 80% din activitatea sa statică.

* Siriaev, A. N., Kinetika adsorbției i desorbției na țeolitah. Avtoref. Kand diss., LTI m. Lensovet, 1967.

Activitatea reziduală a cărbunelui după desorbție constituie 14,5% din activitatea statică inițială. Amestecul vaporilor-gaz trebuie purificat până la o concentrație nu mai mare de $\bar{C}_1 = 0,01 \text{ kg/m}^3$.

9-5. Într-un adsorber vertical cu diametrul de 3 m, cu o țevă de oțel cu diametrul de 0,35 m, intră 170 m³/min amestec vaporilor-gaz conținând $\bar{C}_0 = 0,02 \text{ kg/m}^3$ vaporii alcool etilic. Concentrația alcoolului etilic în gazul ce iese $\bar{C}_1 = 0,0002 \text{ kg/m}^3$. Înălțimea stratului de cărbune activ în adsorber $H = 1,5 \text{ m}$, densitatea în vrac a cărbunelui $\rho_{\text{vrac}} = 500 \text{ kg/m}^3$, iar durata unei perioade de adsorbție este de 4 h 37 min.

Să se determine cantitatea de căldură degajată în adsorber în timpul primei perioade.

9-6. Să se determine viteza nominală a mișcării zeolitului de tipul NaA, într-un aparat tip coloană, la uscarea avansată a aerului și în următoarele condiții: $\bar{C}_0 = 0,01 \text{ kg/m}^3$, $\bar{C}_{\text{sat}} = 294 \cdot 10^{-4} \text{ kg/m}^3$, $d_p = 0,002 \text{ m}$, $\sigma_0 = 170 \text{ kg/m}^3$, iar viteza curentului de gaz raportată la întreaga secțiune a aparatului fiind 0,5 m/s.

10. USCAREA

10.1. BAZELE TEORETICE ȘI FORMULE DE CALCUL

1. Umiditatea materialului se poate exprima în procente fie din masa totală a materialului umed (u), sau din masa materialului uscat (u'). Mărimile u și u' sînt legate prin rapoartele:

$$u' = \frac{100 u}{100 - u}; \quad u = \frac{100 u'}{100 + u'} \quad (10-1)$$

2. Cantitatea de umiditate, W , care trebuie îndepărtată din material în procesul de uscare, la micșorarea umidității materialului de la u_i până la u_f , se egalează cu:

$$W = G_i \frac{u_i - u_f}{100 - u_f} \text{ sau } W = G_f \frac{u_i - u_f}{100 - u_i} \quad (10-2)$$

în care: G_i și u_i sînt masa și umiditatea inițială a materialului care intră în uscător;

G_f și u_f — masa și umiditatea finală a materialului uscat.

Dacă conținutul în umiditate al materialului este dat în procente din masa materialului uscat u' , atunci:

$$W = G_{usc} \frac{u'_i - u'_f}{100} \quad (10-3)$$

în care: G_{usc} este productivitatea uscătorului, raportată la materialul absolut uscat.

3. Conținutul de umezeală al unui amestec de vaporii și gaz x (în kg vaporii/kg gaz uscat) este:

$$x = \frac{M_v}{M_g} \cdot \frac{p_v}{P - p_v} \quad (10-4)$$

în care: M_v și M_g sînt masele moleculare ale vaporilor și gazului;

P — presiunea totală a amestecului de vaporii și gaz;

p_v — presiunea parțială a vaporilor.

Conținutul de umezeală al unui amestec de vaporii și aer x (în kg vaporii de apă/kg aer uscat) este:

$$x = 0,622 \frac{\varphi p_{\text{sat}}}{P - \varphi p_{\text{sat}}} \quad (10-5)$$

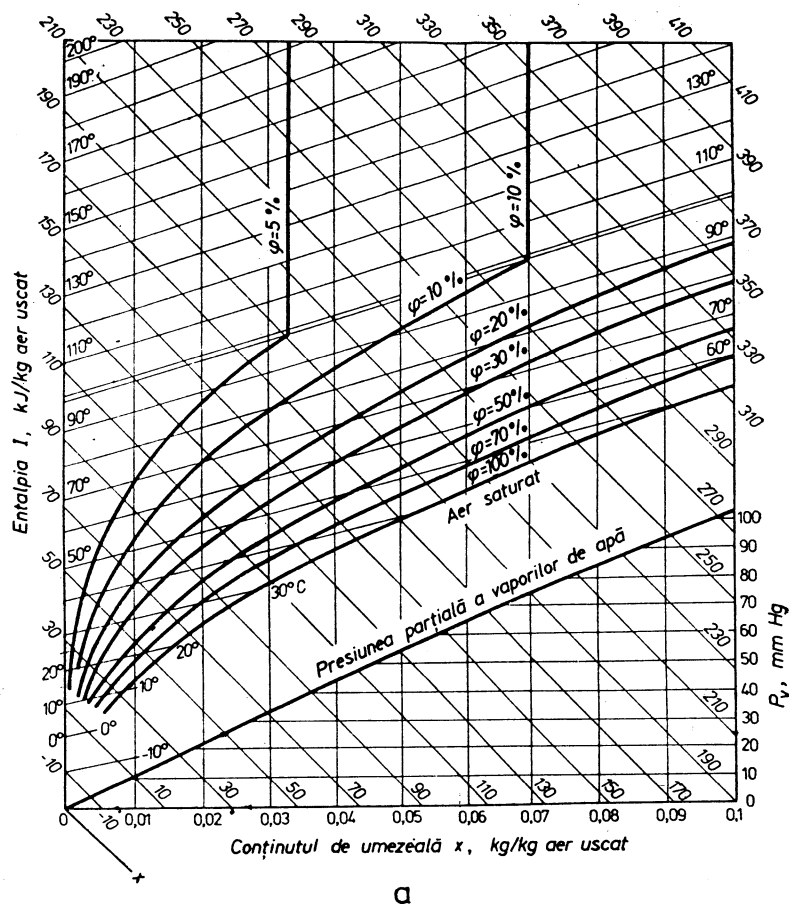


Fig. 10-1. Diagrama Ramzin

în care : 0,622 este raportul maselor moleculare ale vaporilor de apă și aerului ;

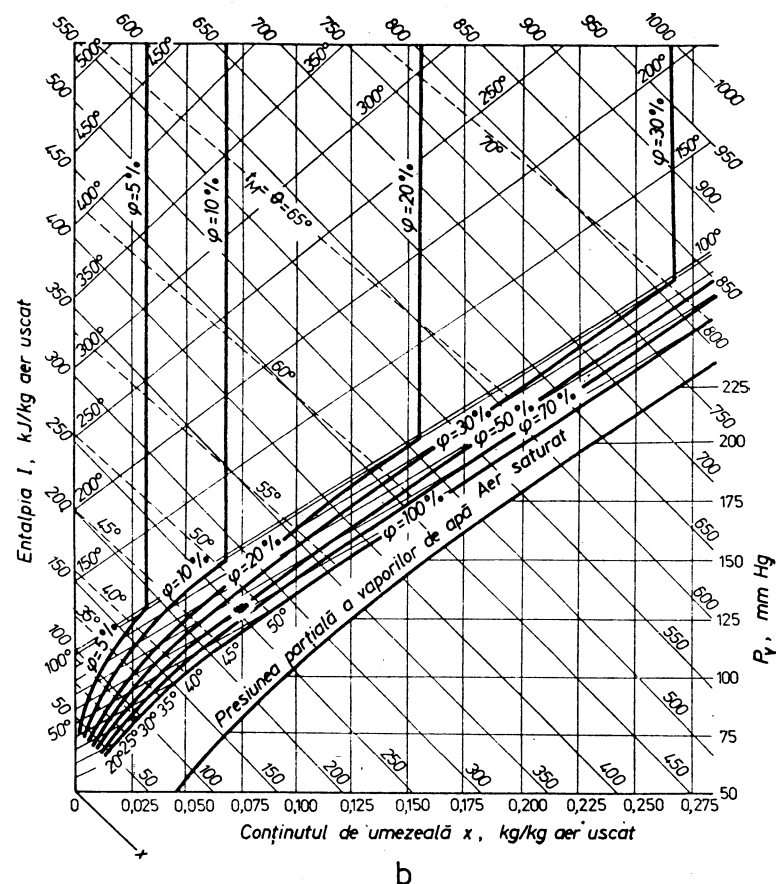
φ — umezeala relativă a aerului

$$\varphi = \frac{p_v}{p_{sat}} \quad (10-6)$$

p_v — presiunea parțială a vaporilor de apă din aer (la temperatura termometrului uscat) ;

p_{sat} — presiunea vaporilor de apă saturați la temperatura dată (tab. XXXVIII și LVI)*

* Dacă temperatura aerului umed este mai mare decât temperatura de saturație a vaporilor de apă la presiunea P , atunci $p_{sat} = P$ și $x = 0,622 \varphi / (1 - \varphi)$.



pentru aer umed.

4. Entalpia aerului umed I (în kJ/kg aer uscat) este :

$$I = (c_{au} + c_v \cdot x) \cdot t + r_0 \cdot x = (1,01 + 1,97x) \cdot t + 2493x \quad (10-7)$$

în care : $c_{au} = 1,01$ kJ/(kg·K) — căldura specifică medie a aerului uscat (la presiune constantă) ;

$c_v = 1,97$ kJ/(kg·K) — căldura specifică medie a vaporilor de apă ;

x — conținutul de umezeală al aerului, în kg vapor/kg aer uscat) ;

t — temperatura aerului (la termometrul uscat), în °C ;

$r_0 = 2493$ kJ/kg — căldura specifică de vaporizare a apei la 0°C.

5. Legătura între parametrii aerului umed x , t , φ , I se stabilește ușor pe diagrama $I-x$ a lui Ramzin (fig. 10-1), folosită cu preponderență și se rezolvă problemele după statica uscării convective cu aer.

6. Densitatea aerului umed $\rho_{aer\ umed}$ (în kg/m³) la presiunea P și temperatura T , exprimată în K, se determină cu ecuația :

$$\rho_{aer\ umed} = \rho_{au} + \rho_v \quad (10-8)$$

în care densitatea aerului uscat ρ_{au} și densitatea vaporilor de apă ρ_v se deduc fiecare la presiunea parțială a sa :

$$\rho_{au} = \frac{M_{au} \cdot T_0 (P - \varphi \cdot p_{sat})}{22,4 T \cdot P_0} \quad (10-9)$$

$$\rho_v = \frac{M_v \cdot T_0 \cdot \varphi \cdot p_{sat}}{22,4 T \cdot P_0} \quad (10-10)$$

în care : P este presiunea totală a amestecului vaporilor-aer ;
 P_0 — presiunea barometrică (0,1013 MPa, sau 1 atm).
 Din expresiile (10-8) — (10-10) obținem :

$$\begin{aligned} \rho_{aer\ umed} &= \frac{M_{au} T_0 \cdot P}{22,4 T \cdot P_0} \left[1 - \left(1 - \frac{M_v}{M_{au}} \right) \cdot \frac{\varphi \cdot p_{sat}}{P} \right] = \\ &= 1,293 \frac{273 P}{T \cdot 101\,300} \left(1 - 0,378 \frac{\varphi \cdot p_{sat}}{P} \right) = \frac{3,48 \cdot 10^{-3}}{T} (P - 0,378 \varphi \cdot p_{sat}) \end{aligned} \quad (10-11)$$

7. Volumul specific al aerului umed (raportat la 1 kg aer uscat) v_{sp} (în m³/kg) se calculează cu formula :

$$v_{sp} = \frac{R_a \cdot T}{P - \varphi \cdot p_{sat}} \quad (10-12)$$

în care : R_a este constanta gazelor pentru aer, egală cu 287 J/(kg·K) ;
 T — temperatura absolută a aerului, K ;
 P — presiunea totală a amestecului de vaporii și aer, în Pa ;
 $\varphi \cdot p_{sat} = p_v$ — presiunea parțială a vaporilor de apă, în Pa.

8. Debitul de aer uscat în uscător L (în kg/s) este :

$$L = W \cdot l \quad (10-13)$$

în care : W este productivitatea uscătorului în umiditate evaporată, în kg/s ;
 l — consumul specific de aer uscat, în kg/kg apă evaporată ;

$$l = \frac{1}{x_2 - x_0} \quad (10-14)$$

x_0 și x_2 — conținuturile de umezeală inițial și final ale aerului.

9. Consumul de căldură în calorifer Q (în W) la varianta normală (principală) a procesului de uscare :

$$Q = L(I_1 - I_0) \quad (10-15)$$

în care : I_0 și I_1 sint entalpiile aerului la intrarea în calorifer și la ieșirea din el, în J/kg aer uscat.

Din bilanțul termic al instalației de uscare pentru varianta normală a uscării rezultă

$$Q = L(I_2 - I_0) + \Sigma Q \quad (10-16)$$

în care : I_2 este entalpia aerului la ieșirea din uscător, în J/kg aer uscat ;
 ΣQ — suma consumurilor de căldură pentru încălzirea materialului, încălzirea mijloacelor de transport, pierderi în mediul înconjurător (vezi mai jos).

Mărimea ΣQ fiind neglijabilă în comparație cu $L(I_2 - I_0)$ — consumul principal de căldură, pentru evaporarea apei și încălzirea aerului și vaporilor, — obținem ecuația pentru uscătorul teoretic :

$$Q_T = L(I_2 - I_0) \quad (10-17)$$

10. Consumul specific de căldură q (în J/kg apă evaporată) în uscătorul real este :

$$q = \frac{Q}{W} = \frac{I_1 - I_0}{x_2 - x_0} = l(I_1 - I_0) \quad (10-18)$$

în uscătorul teoretic la starea finală a aerului :

$$q_T = \frac{I_2 - I_0}{x_2 - x_0} \quad (10-19)$$

Diferența consumurilor specifice de căldură dintre uscătorul real și uscătorul teoretic este :

$$q - q_T = \frac{I_1 - I_2}{x_2 - x_0} = \Delta \quad (10-20)$$

În absența încălzirii suplimentare în camera de uscare este egală cu :

$$\Delta = \frac{\Sigma Q}{W} = q_m + q_t + q_p - c \cdot \theta_i \quad (10-21)$$

în care :

$$q_m = \frac{G_f}{W} c_f (\theta_f - \theta_i)^*$$

$$q_t = \frac{G_t}{W} c_t (\theta_f - \theta_i)$$

$$q_p = \frac{Q_p}{W}$$

c_f, c_t, c — căldurile specifice ale materialului uscat, mijloacelor de transport, apei, în J/(kg·K) ;

θ_i, θ_f — temperatura inițială (a materialului umed la intrare în uscător) și finală (a materialului uscat, la ieșirea din uscător), în °C.

* $Q_m = G_f \cdot c_f \cdot \theta_f - G_i \cdot c_i \cdot \theta_i = G_f \cdot c_f (\theta_f - \theta_i) - W \cdot c \cdot \theta_i$.

11. Randamentul termic al uscătorului este :

$$\eta = \frac{r}{q} \quad (10-22)$$

în care : r este căldura latentă de vaporizare a apei, determinată la temperatura materialului la uscare (temperatura termometrului umed), în J/kg;

q — consumul specific de căldură în uscător, în J/kg.

12. La măsurarea umezelii relative cu psihrometrul mobil, presiunea parțială a vaporilor de apă din aer se poate calcula după formula psihrometrică :

$$p_v = p'_{sat} - A(t_{usc} - t_{um}) \cdot P \quad (10-23)$$

în care : p'_{sat} este presiunea vaporilor saturați la temperatura termometrului umed ;

$t_{usc} - t_{um}$ — diferența dintre temperaturile termometrului uscat și umed ;

P — presiunea barometrică ;

A — coeficient, depinzând de o serie de factori, dintre care cel mai important este viteza aerului.

Pentru $w > 0,5$ m/s :

$$A = 0,00001 \left(65 + \frac{0,75}{w} \right) \quad (10-24)$$

Determinarea aproximativă după datele psihrometrului a umezelii relative a aerului, în diagrama $I-x$ a lui Ramzin — este dată în exemplul 10-12, figura 10-6.

13. Viteza de evaporare a apei de pe suprafața umedă a materialului (în prima perioadă de uscare) G (în kg/m²·h) se poate calcula cu ecuația :

$$G = 0,04075 w^{0,8} \cdot \Delta p \quad (10-25)$$

în care : w este viteza aerului la suprafața materialului, în m/s ;
 $\Delta p = p_{sat} - p_v$ — diferența dintre presiunea vaporilor saturați din stratul de aer de la suprafața materialului umed și presiunea parțială a vaporilor din aerul care circulă, în mm Hg.

Valoarea pentru p_{sat} se ia din tabelele de abur pentru temperatura termometrului umed ; p_v se determină cu formula (10-23) sau cu ajutorul diagramei Ramzin (fig. 10-1).

14. Durata uscării în condiții constante (pentru aer) se poate calcula cu ecuația aproximativă :

a) pentru perioada vitezei constante :

$$\tau_1 = \frac{1}{N} (u'_i - u'_{cr}) \quad (10-26)$$

b) pentru perioada vitezei descrescînde :

$$\tau_2 = \frac{u'_{cr} - u'_{ech}}{N} \cdot 2,3 \lg \frac{u'_{cr} - u'_{ech}}{u'_f - u'_{ech}} \quad (10-27)$$

în care : N este viteza de uscare în prima perioadă, exprimată prin numărul de kg de umiditate evaporată într-o secundă (ce revine la 1 kg material uscat) ;

$u'_i, u'_{cr}, u'_f, u'_{ech}$ sînt conținuturile în umiditate a materialului, inițial, respectiv critic, final și la echilibru (raportate la substanța uscată).

Durata totală a uscării :

$$\tau = \tau_1 + \tau_2.$$

Datorită unei treceri neomogene a aerului peste material, prezenței zonelor „moarte” și altor cauze în formulele teoretice (10-26) și (10-27) trebuie introdus un coeficient de siguranță, egal cu 1,5–2.

Relația aproximativă pentru determinarea duratei de uscare (fără a lua în considerare conținutul în umiditate la echilibru) are forma :

$$\tau = \frac{u'_i - u'_{cr}}{N} + \frac{u'_{cr}}{N} 2,3 \lg \frac{u'_{cr}}{u'_f} \quad (10-28)$$

15. Forța motoare a procesului de uscare (în prima perioadă) poate fi exprimată în următoarele forme :

a) ca diferență dintre temperaturile aerului și suprafeței materialului umed, care se ia egală cu temperatura termometrului umed t_{umed} .

$$\kappa = t_{usc} - t_{umed} \quad (10-29)$$

Mărimea κ se numește de asemenea potențialul uscării.

b) ca diferență dintre umezeala aerului saturat x_{sat} (în stratul de suprafață) și nesaturat x (în centrul curentului de aer) :

$$\Delta x = x_{sat} - x \quad (10-30)$$

Forța motoare medie se determină din expresiile :

$$\kappa_{med} = \frac{\kappa_1 - \kappa_2}{2,3 \lg \frac{\kappa_1}{\kappa_2}} \quad (10-31)$$

și

$$\Delta \kappa_{med} = \frac{\Delta \kappa_1 - \Delta \kappa_2}{2,3 \lg \frac{\Delta \kappa_1}{\Delta \kappa_2}} \quad (10-32)$$

în care :

$$\kappa_1 = t_1 - t_{umed} ; \kappa_2 = t_2 - t_{umed}$$

$$\Delta \kappa_1 = x_{sat} - x_1 ; \Delta \kappa_2 = x_{sat} - x_2.$$

Indicarea temperaturilor și conținuturilor de umezeală — ca în exemplul 10-14, fig. 10-8.

16. Viteza de uscare N în prima perioadă poate fi determinată fie pe cale experimentală, fie prin coeficientul de transfer de masă.

Deoarece cantitatea de apă evaporată (în kg/s) este :

$$W = \beta \cdot A \cdot \Delta x_{med} \quad (10-33)$$

se obține :

$$N = \frac{W}{G_{usc}} = \frac{\beta A \cdot \Delta x_{med}}{G_{usc}} = \beta \cdot f \cdot \Delta x_{med} \quad (10-34)$$

în care : β este coeficient parțial de transfer de masă pentru faza gazoasă, în $\text{kg}/(\text{m}^2 \cdot \text{s} \cdot \frac{\text{kg}}{\text{kg}})$;

A — aria suprafeței de evaporare, în m^2 ;

Δx_{med} — forța motoare medie, în kg umiditate/kg aer uscat ;

$f = \frac{A}{G_{usc}}$ — suprafața specifică (pe kg de substanță uscată), în m^2/kg .

17. Coeficientul parțial de transfer de masă β poate fi determinat din ecuația criterială :

$$\text{Nu}'_g = A \text{Re}_g^n (\text{Pr}'_g)^{0,33} \cdot \text{Gu}^{0,135} \quad (10-35)$$

în care :

$$\text{Nu}'_g = \frac{\beta l}{D} ; \quad \text{Re}_g = \frac{w \cdot l}{\nu} ; \quad \text{Pr}'_g = \frac{\nu}{D}$$

Dimensiunea caracteristică pentru calculul lui Nu_g și Re_g este lungimea l a suprafeței de evaporare în direcția mișcării agentului de uscare.

Criteriul parametric al lui Guhman este :

$$\text{Gu} = \frac{T_{usc} - T_{um}}{T_{usc}}$$

în care T_{usc} și T_{um} sînt temperaturile termometrului uscat și a celui umed, în K.

Mărimile A și n din ecuația (10-35) depind de criteriul Re_g (tabelul 10-1).

Facem remarcă următoare, că la intensificarea procesului de uscare valoarea coeficientului de schimb de masă poate fi mai ridicată calculîndu-se din ecuația (10-35).

18. Durata uscării și dimensiunile uscătorului în contracurent în condiții variabile de uscare (pentru aer și material) se pot determina cu ajutorul

Tabelul 10-1

Re_g	A	n
1 — 200	0,900	0,50
200 — 6 000	0,870	0,54
6 000 — 70 000	0,347	0,65

ecuațiilor (10-36) și (10-38). Pentru prima perioadă de uscare într-un uscător în contracurent este necesar să existe o suprafață a materialului (în m^2) :

$$A_1 = \frac{L}{\beta} \ln \frac{x_{sat} - x_1}{x_{sat} - x_2} \quad (10-36)$$

Pentru perioada a doua de uscare într-un uscător în contracurent crește aria suprafeței materialului (în m^2) :

$$A_2 = \frac{L \cdot u_{cr}^*}{\beta} \int_{x_0}^{x_1} \frac{dx}{(x_{sat} - x) \left[u^* - \frac{L}{V_m} (x_1 - x_0) \right]} \quad (10-37)$$

Prima parte a ecuației (10-37) poate fi integrată pentru că variabilă este numai x .

În urma integrării obținem următoarea expresie :

$$A_2 = \frac{u_{cr}^*}{\beta} \frac{V_m}{x_{sat} + \frac{u_{cr}^* \cdot V_m}{L} - x_1} \ln \frac{(x_{sat} - x_0) \frac{u_{cr}^* \cdot V_m}{L}}{(x_{sat} - x_1) \left(x_0 + \frac{u_{cr}^* \cdot V_m}{L} - x_1 \right)} \quad (10-38)$$

Aria totală a suprafeței materialului care trebuie expusă în uscător este :

$$A = A_1 + A_2$$

Notațiile din ecuațiile (10-36) — (10-38) au următoarele semnificații :

L — debitul de aer uscat, care trece prin uscător, în kg/h ;

V_m — debitul de material, care trece prin uscător (calculat la substanța uscată), în m^3/h ;

β — coeficient parțial de transfer de masă, determinat pe cale experimentală, în $\text{kg}/(\text{m}^2 \cdot \text{h} \cdot \frac{\text{kg}}{\text{kg}})$;

u^* — excesul de umiditate (liberă) din material ($u^* = u'_i - u'_{ech}$) în momentul de la începutul perioadei de micșorare a vitezei, în kg umiditate/ m^3 material uscat ;

u_{cr} — excesul de umiditate (liberă) în material la punctul critic, în kg umiditate/ m^3 material uscat ;

x_0 — conținutul de umezeală al aerului care intră în zona a doua a uscătorului, în kg/kg aer (conform fig. 10-13) ;

x_1 — conținutul de umezeală al aerului care iese din zona a doua a uscătorului și intră în prima zonă, în kg/kg aer ;

x_2 — conținutul de umezeală al aerului care iese din uscător, în kg/kg aer ;

x_{sat} — conținutul de umezeală al aerului saturat, în kg/kg aer.

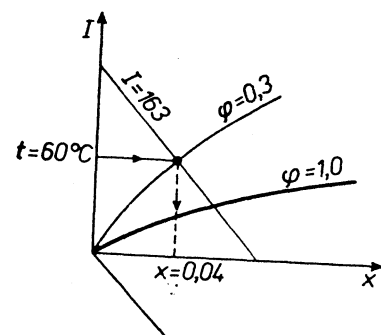


Fig. 10-2. Schița la exemplul 10-1.

10.2. EXEMPLE

Exemplul 10-1. Să se determine pe diagrama $I-x$ a lui Ramzin (fig. 10-1) entalpia și conținutul de umezeală al aerului la 60°C și $\varphi = 0,3$.
Rezolvare. Conform indicațiilor din figura 10-2, obținem: $I = 163$ kJ/kg aer uscat; $x = 0,04$ kg/kg aer uscat.

Exemplul 10-2. Să se determine presiunea parțială a vaporilor de apă dintr-un amestec de vaporii și aer la 80°C și $I = 150$ kJ/kg aer uscat.

Rezolvare. Pe diagrama Ramzin (fig. 10-1) se găsește punctul de intersecție al izotermei de 80°C cu linia $I = 150$ kJ/kg aer uscat și se proiectează acest punct pe curba presiunii parțiale a vaporilor de apă, care se găsește în partea de jos a diagramei; punctul obținut se proiectează la dreapta pe axa ordonatelor, pe care sînt notate presiunile parțiale ale vaporilor de apă (în mm Hg).

La $t = 80^\circ\text{C}$ și $I = 150$ kJ/kg aer uscat se găsește $p_v = 28$ mm Hg. Schema rezolvării grafice este dată în figura 10-3.

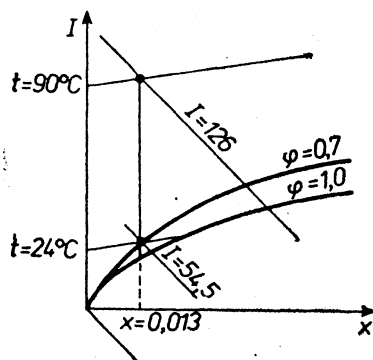


Fig. 10-4. Schița la exemplul 10-3.

Exemplul 10-3. Aerul cu temperatura de 24°C și $\varphi = 0,7$ se încălzește în calorifer pînă la 90°C .

Să se găsească entalpia și conținutul de umezeală al aerului la ieșirea din calorifer.

Rezolvare (fig. 10-4). Starea inițială a aerului este determinată în diagrama $I-x$ de punctul de intersecție a izotermei $t = 24^\circ\text{C}$ cu curba $\varphi = 0,7$. Acestui punct îi corespunde $x = 0,013$ kg/kg aer uscat și $I = 54,5$ kJ/kg aer uscat. Schimbarea stării aerului prin încălzirea lui în calorifer are loc la un conținut constant

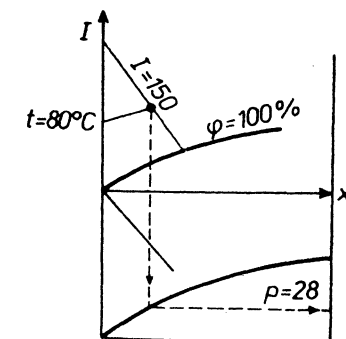


Fig. 10-3. Schița la exemplul 10-2.

de umezeală, adică la $x = \text{const}$. În consecință, starea finală a aerului este determinată de punctul de intersecție al dreptei $x = 0,013$ cu izoterma $t = 90^\circ\text{C}$.

Acestui punct îi corespunde entalpia $I = 126$ kJ/kg aer uscat.

Exemplul 10-4. Să se determine pe cale analitică conținutul în umezeală și entalpia aerului la 30°C și $\varphi = 0,75$; $P = 0,098$ MPa (1 at).

Rezolvare. Pentru determinarea analitică a conținutului în umezeală al aerului se întrebuințează formula (10-5). În acest caz la $t = 30^\circ\text{C}$ presiunea vaporilor saturați este $p_{sat} = 0,0433$ at (tabelul LVI).

Înlocuind valorile corespunzătoare, obținem:

$$x = 0,622 \frac{\varphi \cdot p_{sat}}{P - \varphi \cdot p_{sat}} = 0,622 \frac{0,75 \cdot 0,0433}{1 - 0,75 \cdot 0,0433} = 0,021 \text{ kg/kg aer uscat.}$$

Entalpia aerului se calculează cu ecuația (10-7). Înlocuind valorile corespunzătoare, rezultă:

$$I = (1,01 + 1,97x) \cdot t + 2493x = (1,01 + 1,97 \cdot 0,021)30 + 2493 \cdot 0,021 = 83 \text{ kJ/kg aer uscat.}$$

Exemplul 10-5. Pe baza datelor din exemplul precedent să se determine volumul specific al aerului umed, raportat la 1 kg aer uscat, adică la $(1 + x)$ kg amestec aer-vaporii.

Rezolvare. Volumul specific al aerului umed se determină cu formula (10-12):

$$v_{sp} = \frac{R_a \cdot T}{P - \varphi \cdot p_{sat}} = \frac{287 \cdot 303}{9,81 \cdot 10^4 - 0,75 \cdot 0,0433 \cdot 9,81 \cdot 10^4} = 0,92 \text{ m}^3/\text{kg aer uscat.}$$

Exemplul 10-6. Să se afle presiunea parțială a vaporilor de apă, densitatea și conținutul de umezeală al aerului, dacă temperatura lor este 60°C , presiunea absolută $P_{abs} = 380$ mm Hg și $\varphi = 0,4$.

Rezolvare. Din tabelul XXXVIII se află $p_{sat} = 149,4$ mm Hg. După ecuația (10-6) presiunea parțială a vaporilor de apă este:

$$p_v = p_{sat} \cdot \varphi = 149,4 \cdot 0,4 = 59,8 \text{ mm Hg}$$

Densitatea aerului umed după ecuația (10-11) este:

$$\rho_{aer. umed} = 1,293 \frac{T_s \cdot P}{T \cdot P_s} \left(1 - \frac{0,378 \cdot \varphi \cdot p_{sat}}{P} \right) = 1,293 \frac{273 \cdot 380}{333 \cdot 760} \left(1 - \frac{0,378 \cdot 59,8}{380} \right) = 0,5 \text{ kg/m}^3$$

Conținutul de umezeală al aerului după ecuația (10-5) este:

$$x = 0,622 \frac{\varphi \cdot p_v}{P - p_v} = 0,622 \frac{59,8}{380 - 59,8} = 0,116 \text{ kg/kg aer uscat.}$$

Exemplul 10-7. Să se determine umezeala relativă a aerului φ la $t = 150^\circ\text{C}$ și $P = 760$ mm Hg, dacă conținutul de umezeală al acestuia este $x = 0,07$ kg/kg aer uscat.

Rezolvare. La presiunea atmosferică vaporii de apă saturați nu pot avea temperatura mai mare de 100°C . De aceea la o temperatură a amestecului de aer-vapori mai înaltă decât 100°C $p_{sat} = P$. Atunci ecuația (10-5) devine :

$$x = 0,622 \frac{\varphi \cdot P}{P - \varphi \cdot P} = 0,622 \frac{\varphi}{1 - \varphi}$$

adică, la un conținut dat de umezeală x umezeala relativă φ este o mărime constantă, nedepinzând de temperatură.

În acest caz :

$$0,07 = 0,622 \frac{\varphi}{1 - \varphi}$$

de unde : $\varphi \approx 0,1 = 10\%$

Exemplul 10-8. Să se afle conținutul de umezeală al aerului umed la $t = 60^\circ\text{C}$ și $\varphi = 50\%$, dacă presiunea barometrică $P = 765$ mm Hg, și să se determine eroarea la calculul acestui conținut de umezeală cu ajutorul diagramei Ramzin, construită pentru $P = 745$ mm Hg.

Rezolvare. Din tabelul XXXVIII pentru $t = 60^\circ\text{C}$ se scoate

$$p_{sat} = 149,4 \text{ mm Hg. Atunci :}$$

$$x = 0,622 \frac{\varphi \cdot p_{sat}}{P - \varphi \cdot p_{sat}} = 0,622 \frac{0,5 \cdot 149,4}{765 - 0,5 \cdot 149,4} = 0,0672 \text{ kg/kg aer uscat}$$

Din diagrama Ramzin (fig. 10-1) la $t = 60^\circ\text{C}$ și $\varphi = 50\%$ se determină $x = 0,0695$ kg/kg.

Eroarea reprezintă :

$$\frac{0,0695 - 0,0672}{0,0672} \cdot 100 = 3,4\%$$

Exemplul 10-9. Să se determine consumul de aer și consumul de căldură într-un uscător teoretic pentru a îndepărta dintr-un material umed 100 kg apă/h, dacă starea inițială a aerului (înaintea caloriferului) este : $t_2 = 15^\circ\text{C}$, $\varphi_0 = 0,8$, iar la ieșirea din uscător : $t_2 = 44^\circ\text{C}$, $\varphi_2 = 0,5$.

Rezolvare. Pe diagrama $I-x$ se găsește : $x_0 = 0,009$ kg/kg ; $x_2 = 0,03$ kg/kg. Din ecuația (10-14) se determină consumul specific de aer uscat :

$$l = \frac{1}{x_2 - x_0} = \frac{1}{0,03 - 0,009} = 47,6 \text{ kg/kg apă evaporată.}$$

Consumul specific de căldură se determină cu ajutorul ecuației (10-19), după ce s-au stabilit entalpiile din diagrama $I-x$.

În condițiile exemplului dat :

$$I_2 = 121,5 \text{ kJ/kg ; } I_0 = 40 \text{ kJ/kg.}$$

Consumul specific de căldură :

$$q = \frac{I_2 - I_0}{x_2 - x_0} = \frac{121,5 - 40}{0,03 - 0,009} = 3880 \text{ kJ/kg apă evaporată}$$

Consumul orar de aer uscat se determină cu ecuația (10-13) :

$$L = W \cdot l = 100 \cdot 47,6 = 4760 \text{ kg/h}$$

Consumul de căldură :

$$Q = W \cdot q = \frac{100 \cdot 3880}{3600} = 108 \text{ kW}$$

Exemplul 10-10. În calorifer intră un amestec de aer proaspăt ($t^\circ = 25^\circ\text{C}$; $\varphi_0 = 0,5$) și aer recirculat ($t_2 = 50^\circ\text{C}$; $\varphi_2 = 0,8$) într-un raport de masă de 1 : 3 (calculat față de aerul uscat). Să se stabilească parametrii amestecului înaintea caloriferului și după încălzirea lui în calorifer până la 80°C .

Rezolvare. Din diagrama $I-x$ se determină conținutul de umezeală și entalpia aerului proaspăt și recirculat în condițiile date t și φ .

— la $t_0 = 25^\circ\text{C}$ și $\varphi_0 = 0,5$ corespunde $x_0 = 0,01$ și $I_0 = 50$ kJ/kg ;

— la $t_2 = 50^\circ\text{C}$ și $\varphi_2 = 0,8$ corespunde $x_2 = 0,069$ și $I_2 = 228$ kJ/kg.

Prin urmare, conținutul de umezeală al amestecului este egal cu :

$$x_{am} = 0,25 \cdot 0,01 + 0,75 \cdot 0,069 = 0,0542 \text{ kg/kg}$$

iar entalpia :

$$I_{am} = 0,25 \cdot 50 + 0,75 \cdot 228 = 183,5 \text{ kJ/kg}$$

Apoi, în diagramă se găsește punctul cu coordonatele :

$$x = 0,0542 \text{ și } I = 183,5$$

Acestui punct îi corespund :

$$t_{am} = 45^\circ\text{C și } \varphi_{am} = 0,85$$

Încălzirea amestecului în calorifer are loc la $x = \text{const.}$

Prin urmare, punctul intersecției liniei de $x = 0,0542$ kg/kg cu izoterma de 80°C dă starea amestecului după calorifer. Acestui punct îi corespund : $I_{am} = 147$ kJ/kg și $\varphi_{am} = 0,018$.

Exemplul 10-11. Să se determine punctul de rouă pentru aerul care are $t = 40^\circ\text{C}$ și $\varphi = 0,8$.

Rezolvare. Punctul de rouă corespunde acelei temperaturi, la care aerul umed cu conținut în umezeală dat devine saturat cu vapori de apă. La răcirea aerului umed sub această temperatură are loc condensarea vaporilor de apă. Pentru a determina punctul de rouă este necesar să se găsească pe diagrama $I-x$ punctul care corespunde stării inițiale a aerului, apoi se parcurge dreapta $x = \text{const.}$ până la intersecția cu curba $\varphi = 1$. În cazul pro-

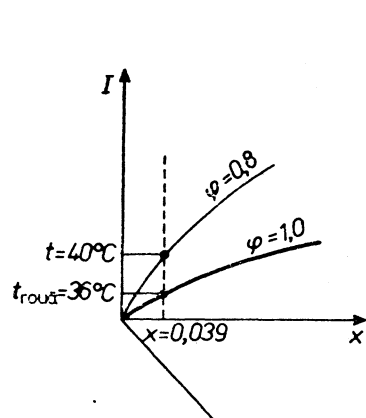


Fig. 10-5. Schița la exemplul 10-11.

blemei $x = 0,039$ kg/kg și punctul de rouă corespunde temperaturii $t = 36^\circ\text{C}$ (vezi schema de rezolvare din fig. 10-5).

Exemplul 10-12. Indicațiile psihrometrului sînt: la termometrul uscat $t = 40^\circ\text{C}$, la termometrul umed $t_{um} = 35^\circ\text{C}$. Să se determine aproximativ cu diagramă $I-x$ umezeala relativă a aerului.

Rezolvare. Se determină în diagrama $I-x$ punctul de intersecție a izotermei t_{um} cu curba $\varphi = 100\%$ (punctul A din fig. 10-6). Din acest punct, se avansează pe dreapta de temperatura termometrului umed constantă ($t_{um} = \text{const.}$)*, pînă la intersecția cu izoterma t . În punctul de intersecție B se găsește valoarea căutată φ .

Dacă în diagrama Ramzin, pentru simplificarea ei, dreapta $t_{um} = \text{const.}$ nu este trasată, ca în figura 10-1, a atunci umezeala relativă aproximativă a aerului se poate determina, avansîndu-se din punctul A pe dreapta $I = \text{const.}$ pînă la intersecția ei cu izoterma t . Dreptele $t_{um} = \text{const.}$ și $I = \text{const.}$ sînt apropiate și la valori nu prea mari ale diferenței ($t - t_{um}$) eroarea determinată la o astfel de aproximare nu este prea mare.

În cazul problemei la $t = 40^\circ\text{C}$ și $t_{um} = 35^\circ\text{C}$ se găsește pe dreapta $I = \text{const.}$ umezeala relativă $\varphi = 70\%$.

Exemplul 10-13. Să se găsească temperatura materialului, care iese din uscător, dacă umiditatea lui este mai mare decît umiditatea critică și aerul care părăsește uscătorul are $t_2 = 100^\circ\text{C}$ și $x_2 = 0,0135$ kg/kg.

Rezolvare. În prima perioadă de uscare temperatura materialului umed este egală cu temperatura termometrului umed t_{um} . Pentru găsirea ei, se coboară de la punctul A pe dreapta $I = \text{const.}$ pînă la intersecția cu curba $\varphi = 1$ în punctul B, prin care trece izoterma $t_{um} = 60^\circ\text{C}$.

* În figura 10-1, b dreptele $t_{um} = \text{const.}$ sînt trasate punctat.

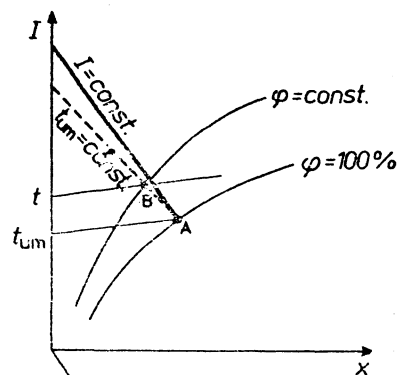


Fig. 10-6. Schița la exemplul 10-12.

Exemplul 10-14. Să se găsească forța motoare a unui proces de uscare Δx_{med} și x_{med} pentru un uscător teoretic, pentru următoarele condiții:

$$t_0 = 22^\circ\text{C}, t_2 = 50^\circ\text{C}$$

$$\varphi_0 = 0,75, \varphi_2 = 0,45$$

Rezolvare. Pe diagrama $I-x$ (fig. 10-8) se găsesc:

$$x_1 = 0,0125 \text{ kg/kg}; x_2 = 0,037 \text{ kg/kg}; x_{sat} = 0,043 \text{ kg/kg}; \theta \approx 37^\circ\text{C}$$

Rezultă:

$$\Delta x_{med} = \frac{\Delta x_1 - \Delta x_2}{2,3 \lg \frac{\Delta x_1}{\Delta x_2}} = \frac{(0,043 - 0,0125) - (0,043 - 0,037)}{2,3 \lg \frac{0,043 - 0,0125}{0,043 - 0,037}} = 0,0152 \text{ kg/kg}$$

$$x_{med} = \frac{x_1 - x_2}{2,3 \lg \frac{x_1}{x_2}} = \frac{(111 - 37) - (50 - 37)}{2,3 \lg \frac{111 - 37}{50 - 37}} = 35^\circ\text{C} = 35 \text{ K}$$

Exemplul 10-15. Folosind indicațiile psihrometrului să se determine umezeala relativă a aerului, care iese dintr-un uscător, dacă temperatura termometrului uscat este $t = 85^\circ\text{C}$, temperatura termometrului umed este $t_{um} = 68^\circ\text{C}$, presiunea barometrică $P = 750$ mm Hg, iar viteza aerului $w = 1$ m/s.

Rezolvare. Umezeala relativă a aerului este:

$$\varphi = \frac{p_v}{p_{sat}}$$

Din tabelul LVI se găsește că presiunea vaporilor saturanți la $t = 85^\circ\text{C}$ este $p_{sat} = 0,59$ at. Se determină apoi presiunea parțială a vaporilor de apă p_v cu formula (10-23):

$$p_v = p'_{sat} - A(t_{usc} - t_{um}) \cdot P$$

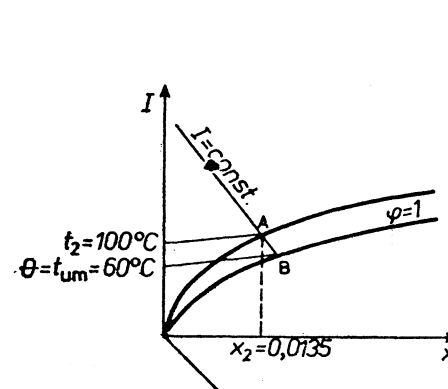


Fig. 10-7. Schița la exemplul 10-13.

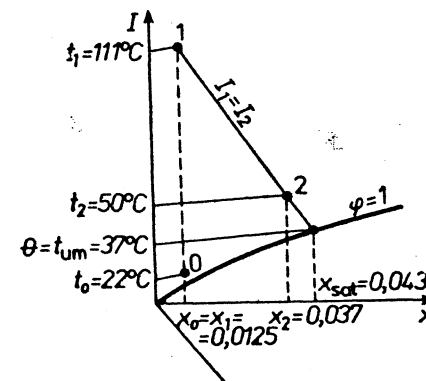


Fig. 10-8. Schița la exemplul 10-14.

Din tabelul LVI se scoate presiunea vaporilor saturați la temperatura termometrului umed :

$$p'_{sat} = 0,2912 \text{ at.}$$

Coefficientul A se determină cu formula (10-24) :

$$A = 0,00001 \left(65 + \frac{6,75}{w} \right) = 0,00001 \left(65 + \frac{6,75}{1} \right) = 0,00072$$

Apoi se determină :

$$\varphi = \frac{0,2912 - 0,00072(85 - 68) \frac{750}{735}}{0,59} = 0,47$$

Exemplul 10-16. Să se determine consumul de aer, consumul și presiunea aburului de încălzire necesare într-un uscător în contracurent, care funcționează continuu după varianta normală de uscare.

Capacitatea uscătorului raportată la materialul umed	$G_t = 350 \text{ kg/h}$
Umiditatea inițială a materialului	$u_i = 42\%$
Umiditatea finală a materialului	$u_f = 11\%$
Temperatura materialului care intră în uscător	$\theta_1 = 18^\circ\text{C}$
Temperatura materialului, care iese din uscător	$\theta_2 = 47^\circ\text{C}$

Caracteristicile stării aerului :

— înaintea caloriferului	$t_0 = 15^\circ\text{C}$; $\varphi_0 = 70\%$
— după uscător	$t_2 = 45^\circ\text{C}$, $\varphi_2 = 60\%$
Căldura specifică a materialului uscat ($u_f = 11\%$)	$c_m = 2,35 \cdot 10^3 \text{ J/kg} \cdot \text{K}$
Masa dispozitivului de transport (transportor din oțel)	$G_{tr} = 600 \text{ kg}$
Pierderile de căldură ale uscătorului și caloriferului în mediul înconjurător	$Q_p = 12\%$ din suma tuturor celorlalți termeni din bilanțul termic
Umezeala aburului de încălzire	6%

Rezolvare. Cantitatea de apă evaporată în uscător se determină cu ecuația :

$$W = G_t \frac{u_i - u_f}{100 - u_f} = 350 \frac{42 - 11}{100 - 11} = 122 \text{ kg/h}$$

Din diagrama $I-x$ se găsesc conținutul de umezeală și entalpia aerului înainte de calorifer și la ieșirea din uscător :

$$x_0 = 0,0077 ; x_2 = 0,038$$

$$I_0 = 35 \text{ kJ/kg} ; I_2 = 145 \text{ kJ/kg}$$

Consumul de aer în uscător pentru a evapora W kg/h umiditate, este ,

$$L = \frac{W}{x_2 - x_0} = \frac{122}{0,038 - 0,0077} = 4030 \text{ kg/h.}$$

Consumul de căldură în uscătorul teoretic se determină din ecuația :

$$Q_t = L(I_2 - I_0) = \frac{4030 (145 \cdot 10^3 - 35 \cdot 10^3)}{3600} = 123000 \text{ W}$$

În uscătorul real se consumă căldură pentru încălzirea materialului :

$$G_f \cdot c_m (\theta_2 - \theta_1) = \frac{(350 - 122) 2,35 \cdot 10^3 (47 - 18)}{3600} = 4300 \text{ W}$$

de asemenea la încălzirea dispozitivului de transport :

$$G_{tr} \cdot c_{tr} (\theta_2 - \theta_1) = \frac{600 \cdot 0,5 \cdot 10^3 (47 - 18)}{3600} = 2420 \text{ W}$$

în care $0,5 \cdot 10^3$ este căldura specifică a oțelului, în $\text{J/kg} \cdot \text{K}$.

Din cantitatea totală de căldură, care urmează să se introducă în calorifer, trebuie să se scadă cantitatea de căldură adusă de umiditatea materialului umed :

$$W \cdot \theta_1 \cdot c_{aza} = \frac{122 \cdot 18 \cdot 4,19 \cdot 10^3}{3600} = 2560 \text{ W}$$

Atunci, cantitatea totală de căldură, care trebuie să fie admisă în calorifer, considerînd și pierderile în mediul înconjurător, va fi :

$$Q = (123000 + 4300 + 2420 - 2560) 1,12 = 142500 \text{ W}$$

Comparînd consumul de căldură în uscătorul teoretic și cel real, se poate vedea, că în acesta din urmă, consumul de căldură este numai cu 15% mai mare.

Deoarece :

$$Q = L(I_1 - I_0) = 142500 \text{ W}$$

rezultă :

$$I_1 - I_0 = \frac{Q}{L} = \frac{142500 \cdot 3600}{4030} = 127,5 \cdot 10^3 \text{ J/kg aer uscat}$$

Deci :

$$I_1 = 127,5 + I_0 = 127,5 + 35 = 162,5 \text{ kJ/kg aer uscat.}$$

Acestei valori a lui I_1 îi corespunde o temperatură a aerului după calorifer $t_1 \approx 138^\circ\text{C}$ (din diagrama $I-x$).

Diferența dintre temperaturile aburului de încălzire și aerului la ieșirea din calorifer este :

$$\Delta t = t_{abur \text{ încălz}} - t_1 = 10 \text{ K}$$

Atunci :

$$t_{abur \text{ încălz}} = 138 + 10 = 148^\circ\text{C}$$

căreia îi corespunde o presiune a aburului de încălzire

$$p \approx 0,461 \text{ MPa, sau } 4,7 \text{ at (v. tabelul LVI)}$$

Consumul de abur de încălzire este :

$$D = \frac{Q}{r \cdot x'} = \frac{142500}{2122 \cdot 10^3 \cdot 0,94} = 0,0715 \text{ kg/s} = 257 \text{ kg/h}$$

în care : $r = 2\,122$ kJ/kg — căldura de condensare a aburului de încălzire la 148°C (v. tabelul LVI);

x' — conținutul de vapori al aburului de încălzire.
Consumul specific de abur de încălzire este :

$$d = \frac{D}{W} = \frac{257}{122} = 2,1 \text{ kg abur de încălzire/kg apă evaporată.}$$

Exemplul 10-17. Să se determine coeficientul mediu de transmitere a căldurii (raportat la diferența dintre temperatura aburului de încălzire și temperatura materialului uscat) într-un element de probă al unui uscător tubular pentru turbă, în următoarele condiții :

Productivitatea elementului de uscător (calculată pentru turba absolut uscată)	$G_{usc} = 11,2$ k/h
Umiditatea inițială a turbei (calculată la materialul uscat)	$u'_i = 0,57$ kg/kg
Umiditatea finală a turbei	$u'_f = 0,148$ kg/kg
Temperatura turbei, la intrarea în uscător	$\theta_1 = 20^\circ\text{C}$
Temperatura turbei la ieșirea din uscător	$\theta_2 = 52^\circ\text{C}$
Căldura specifică a turbei absolut uscate	$c = 1,26 \cdot 10^3$ J/kg·K
Caracteristicile aerului	
— înainte de uscător	$t_0 = 22^\circ\text{C}$, $\varphi_0 = 0,34$
— după uscător	$t_2 = 82^\circ\text{C}$, $\varphi_2 = 0,37$
Presiunea barometrică	$P = 773$ mm Hg
Temperatura aburului de încălzire	$t = 100^\circ\text{C}$
Suprafața de încălzire a țevilor	$A = 2,18$ m ²

Rezolvare. Coeficientul mediu de transmitere a căldurii se determină din ecuația :

$$K = \frac{Q}{A \cdot \Delta t_m}$$

în care : Q este cantitatea de căldură transmisă prin suprafața de încălzire, în W ;

Δt_m — diferența medie de temperatură, în K.

Cantitatea de căldură transmisă prin suprafața de încălzire este :

$$Q = Q_1 + Q_2 + Q_3$$

în care : Q_1 este cantitatea de căldură consumată pentru evaporarea umidității și încălzirea aerului ;

Q_2 — căldura consumată pentru încălzirea turbei ;

Q_3 — pierderi de căldură în mediul înconjurător.

Cantitatea de apă evaporată — după formula (10-3), este :

$$W = G_{usc}(u'_i - u'_f) = \frac{11,2(0,57 - 0,148)}{3\,600} = 0,0013 \text{ kg/s}$$

Se determină conținuturile de umezeală inițială și finală ale aerului după formula (10-5) :

$$x_0 = 0,622 \frac{0,34 \cdot 0,0270}{1,017 - 0,34 \cdot 0,0270} = 0,0057 \text{ kg/kg}$$

$$x_2 = 0,622 \frac{0,37 \cdot 0,5233}{1,017 - 0,37 \cdot 0,5233} = 0,146 \text{ kg/kg}$$

Entalpia aerului înainte de intrarea în uscător — după formula(10-7), este :

$$I_0 = (1,0 \cdot 10^3 + 1,97 \cdot 10^3 \cdot 0,0057)22 + 2493 \cdot 10^3 \cdot 0,0057 = 36,5 \cdot 10^3 \text{ J/kg}$$

iar la ieșirea din uscător $I_2 = 470 \cdot 10^3$ J/kg.

Atunci :

$$Q_1 = W \frac{I_2 - I_0}{x_2 - x_0} = 0,0013 \frac{470 \cdot 10^3 - 36,5 \cdot 10^3}{0,146 - 0,0057} = 4\,050 \text{ W}$$

$$Q_2 = G_{usc}(i_2 - i_0)$$

în care : i_2 și i_0 sînt entalpia turbei la ieșirea și la intrarea în uscător (calculată la 1 kg turbă uscată)

$$i_2 = (1,26 \cdot 10^3 \cdot 1 + 4,19 \cdot 10^3 \cdot 0,148)52 = 97,8 \cdot 10^3 \text{ J/kg}$$

$$i_0 = (1,26 \cdot 10^3 \cdot 1 + 4,19 \cdot 10^3 \cdot 0,57)20 = 73 \cdot 10^3 \text{ J/kg}$$

Prin urmare :

$$Q_2 = \frac{11,2}{3\,600} (97,8 \cdot 10^3 - 73 \cdot 10^3) = 77 \text{ W}$$

Pierdere de căldură în mediul înconjurător Q_3 se poate lua egală cu 10% din Q_1 . Atunci, cantitatea totală de căldură va fi :

$$Q = 4\,050 + 77 + 405 = 4\,532 \text{ W.}$$

Diferența medie de temperatură în uscător este :

$$\Delta t_m = \frac{(100 - 20) + (100 - 52)}{2} = 64^\circ\text{C} = 64 \text{ K}$$

Coeficientul de transmitere a căldurii este :

$$K = \frac{Q}{A \cdot \Delta t_m} = \frac{4\,532}{2,18 \cdot 64} = 32,4 \text{ W/(m}^2 \cdot \text{K)}$$

Exemplul 10-18. Să se determine randamentul unui uscător teoretic cu aer în următoarele condiții : procesul de uscare decurge la $I = 115$ kJ/kg, starea aerului variază de la $\varphi_0 = 0,8$; $t_0 = 20^\circ\text{C}$ la $\varphi_2 = 0,6$; $t_2 = 40^\circ\text{C}$.

Rezolvare. Cu ajutorul diagramei $I-x$ a lui Ramzin (fig. 10-1) se găsește din formula (10-19) consumul specific de căldură în uscător pentru evaporarea a 1 kg umiditate $q = 3\,820$ kJ/kg. Din tabelele pentru abur LVI pentru $t_m = 33^\circ\text{C}$ la $I = 115$ kJ/kg căldura de evaporare r este egală cu $2\,420$ kJ/kg.

Prin urmare, randamentul uscătorului după formula (10-22) este :

$$\eta = \frac{r}{q} = \frac{2\,420}{3\,820} 100 = 63,3\%$$

Exemplul 10-19. O pastă de coloranți a fost uscată într-un uscător cameră cu recirculație de aer. La analiza umidității unor probe s-au obținut următoarele rezultate (tabelul 10-2):

Tabelul 10-2

Timpul scurs de la începutul uscării, h	0	2	2,5	4	5	6	8	10	12	14	16	18	20
Conținutul în umiditate al materialului, în % din greutatea materialului uscat	104,0	84,0	79,1	63,9	53,9	43,9	32	21,9	14,0	8,0	5	3	1,5

Să se determine viteza de uscare în funcție de timp; cu datele obținute să se construiască o curbă și să se găsească conținutul critic în umiditate al materialului.

Rezolvare. Se întocmește tabelul 10-3.

Tabelul 10-3

Timpul de la începutul uscării, h	Viteza de uscare $\frac{\Delta u'}{\Delta \tau}$ (calculată la materialul uscat), în %/h	Timpul de la începutul uscării, h	Viteza de uscare $\frac{\Delta u'}{\Delta \tau}$ (calculată la materialul uscat), în %/h
2	$\frac{104 - 84}{2} = 10$	10	$\frac{32 - 21,9}{2} = 5,05$
2,5	$\frac{84 - 79,1}{0,5} = 9,8$	12	$\frac{21,9 - 14}{2} = 3,95$
4	$\frac{79,1 - 63,9}{1,5} = 10,14$	14	$\frac{14 - 8}{2} = 3,0$
5	$63,9 - 53,9 = 10$	16	$\frac{8 - 5}{2} = 1,50$
6	$53,9 - 43,9 = 10$	18	$\frac{5 - 3}{2} = 1,00$
8	$\frac{43,9 - 32}{2} = 5,95$	20	$\frac{3,0 - 1,5}{2} = 0,75$

Pe baza datelor din acest tabel se construiește o curbă în coordonate „viteza de uscare — durate de uscare” (fig. 10-9) și se găsește, că materialul atinge conținutul critic în umiditate după 6 ore de la începutul uscării.

Exemple

Acesta corespunde la 43,9% umiditate, raportată la materialul absolut uscat, sau $\frac{43,9 \cdot 100}{100 + 43,9} = 30,6\%$ umiditate, raportată la masa totală a produsului.

Exemplul 10-20. Pentru a usca un material umed de la 33 la 9% umiditate (calculată la substanța uscată) într-un uscător industrial au fost necesare 7 ore. Conținutul critic în umiditate al materialului corespunde la 16%, iar la echilibru 5%. Se cere să se determine durata necesară pentru uscarea acestui material de la 37 până la 7% umiditate, dacă condițiile de uscare rămân neschimbate. Perioada de punere în funcțiune se poate neglija.

Rezolvare. Se determină viteza de uscare N în prima perioadă. Durata primei perioade de uscare [ecuația (10-26)] este:

$$\tau = \frac{u' - u'_{cr}}{N} = \frac{0,33 - 0,16}{N} = \frac{0,17}{N}$$

Durata perioadei a doua [ecuația (10-27)] este:

$$\tau_2 = \frac{u'_{cr} - u'_{ech}}{N} 2,3 \lg \frac{u'_{cr} - u'_{ech}}{u'_f - u'_{ech}} = \frac{0,16 - 0,05}{N} 2,3 \lg \frac{0,16 - 0,05}{0,09 - 0,05} = \frac{0,111}{N}$$

Durata totală de uscare este de 7 ore.

Deci:

$$\tau_1 + \tau_2 = 7 = \frac{0,17}{N} + \frac{0,111}{N} = \frac{0,281}{N}$$

de unde:

$$N = 0,0402 \text{ kg}/(\text{kg} \cdot \text{s})$$

În noile condiții de umidități inițială și finală ale materialului:

$$\tau_1 = \frac{0,37 - 0,16}{0,0402} = 5,22 \text{ h}$$

$$\tau_2 = \frac{0,16 - 0,05}{0,0402} 2,3 \lg \frac{0,16 - 0,05}{0,07 - 0,05} = 4,66 \text{ h}$$

Timpul total necesar pentru uscare va fi:

$$\tau = 5,22 + 4,66 = 9,9 \text{ h.}$$

Exemplul 10-21. Să se determine durata de uscare a cristalelor de acid salicilic, (forma hidratată) într-un uscător pneumatic cu aer și lungimea necesară în următoarele condiții: capacitatea de producție $G_f = 250 \text{ kg/h}$ produs uscat, diametrul echivalent al particulelor $d_p = 1 \text{ mm}$, densitatea materialului $\rho_{mat} = 1480 \text{ kg/m}^3$.

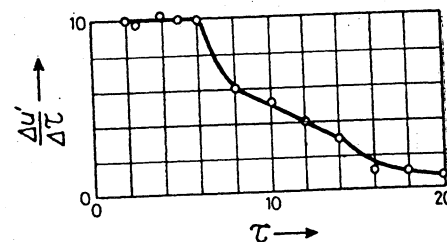


Fig. 10-9. Schița la exemplul 10-19.

Caracteristicile stării aerului:

— înaintea caloriferului	$t_0 = 15^\circ\text{C}$; $\varphi_0 = 0,7$
— după calorifer	$t_1 = 90^\circ\text{C}$
— la ieșirea din uscător	$t_2 = 50^\circ\text{C}$
Temperatura cristalelor la intrare	$\theta_1 = 15^\circ\text{C}$
Temperatura cristalelor la ieșire	$\theta_2 = 40^\circ\text{C}$
Căldura specifică a cristalelor uscate	$c_f = 1,16 \cdot 10^3 \text{ J/(kg} \cdot \text{K)}$
Umiditatea cristalelor (raportată la substanța absolut uscată):	
— inițială	$u'_i = 15\%$
— finală	$u'_f = 1\%$

Rezolvare. Durata uscării se poate determina din ecuația transmiterii căldurii:

$$\tau = \frac{Q}{\alpha \cdot A \cdot \Delta t_{med}}$$

Pentru determinarea consumului de aer și căldură pentru uscare se reprezintă procesul de uscare în diagrama $I-x$ (fig. 10-10).

În uscătorul teoretic la $I_1 = 111 \text{ kJ/kg}$ procesul de uscare se desfășoară pe dreapta de entalpie constantă BC' și consumul specific de căldură q este egal cu:

$$q'_i = \frac{I_1 - I_0}{x'_i - x_0} = \frac{111 - 33,5}{0,023 - 0,0075} = 5000 \text{ kJ/kg apă evaporată}$$

în care: $x'_2 = 0,023$ — conținutul de umezeală al aerului în punctul C' .

În uscătorul real conținutul de umezeală final al aerului x_2 (în punctul C) va fi mai mic decât x'_2 . Valoarea lui se determină pe următoarea cale.

Din ecuația dreptei procesului real de uscare BC :

$$I = I_1 - \Delta(x - x_0)$$

pentru o valoare dată a lui x , se determină I , se calculează în prealabil cantitatea de umiditate evaporată W și pierderea de căldură Δ pentru procesul real de uscare.

După ecuația (10-3):

$$W = G_{usc} \frac{u'_i - u'_f}{100} = 250 \cdot 0,99(0,15 - 0,01) = 34,6 \text{ kg/h}$$

După ecuația (10-21) la $q_i = 0$:

$$\begin{aligned} \Delta &= q_m + q_p - c\theta_1 \\ q_m &= \frac{G_f \cdot c_f(\theta_2 - \theta_1)}{W} \\ &= \frac{250 \cdot 1,16 \cdot 10^3(40 - 15)}{34,6} = \end{aligned}$$

$$= 209,5 \cdot 10^3 \text{ J/kg umiditate evaporată}$$

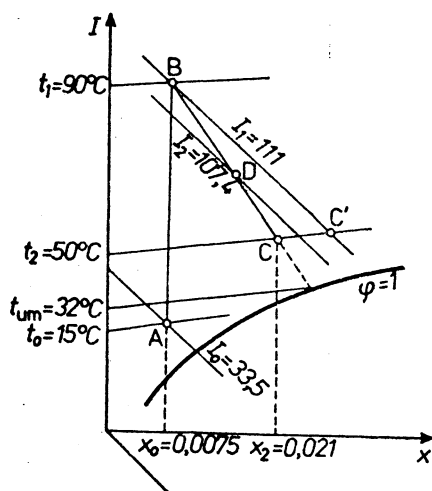


Fig. 10-10. Schița la exemplul 10-21.

Considerând pierderile specifice de căldură q_p egale cu 5,5% din q : $q_p = 0,055 \cdot 5000 = 275 \text{ kJ/kg umiditate evaporată}$.

În acest caz:

$$\Delta = q_m + q_p - c\theta_1 = 209,5 + 275 - 4,19 \cdot 15 = 421,7 \text{ kJ/kg apă evaporată}$$

Se dă pentru x o valoare arbitrară $x = 0,016$ și se determină:

$$I = I_1 - \Delta(x - x_0) = 111 - 421,7(0,016 - 0,0075) = 107,4 \text{ kJ/kg}$$

Trasând prin punctele B și D ($x_D = 0,016$; $I_D = 107,4$) o linie dreaptă pînă la intersecția cu izoterma $t_2 = 50^\circ\text{C}$, se obține punctul C , pentru care se găsește $x_2 = 0,021 \text{ kg/kg}$.

Cantitatea de aer uscat necesară pentru uscare este:

$$L = \frac{W}{x_2 - x_0} = \frac{34,6}{0,021 - 0,0075} = 2560 \text{ kg/h}$$

Consumul de căldură, predat aerului în calorifer, este:

$$Q = L(I_1 - I_0) = \frac{2560(111 \cdot 10^3 - 33,5 \cdot 10^3)}{3600} = 55200 \text{ W}$$

Coefficientul parțial de transmitere a căldurii α de la aerul cald la particulele de material supus uscării în uscătorul tubular, poate fi determinat aproximativ din figura 10-11, construită după datele lui Fedorov*. (Fedorov I. M., Teoria i rascet proțessa sușchi vo vzveșennom sostoeanii. Gosenergoizdat, 1955).

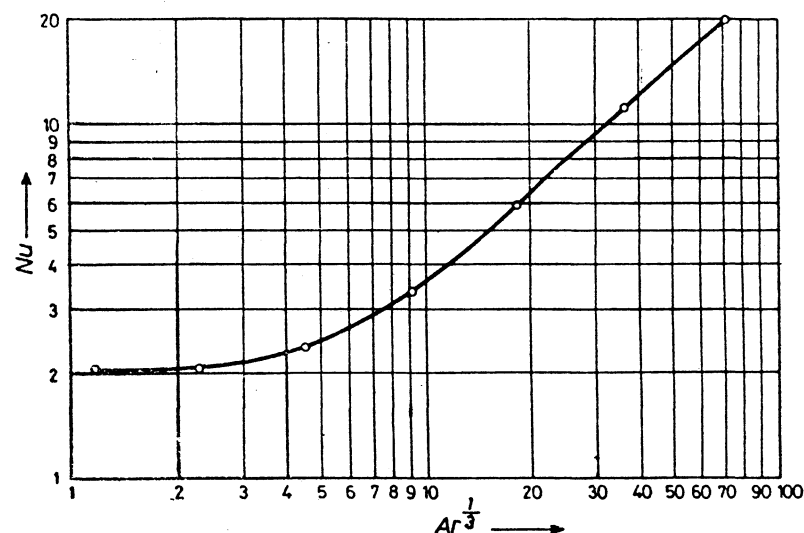


Fig. 10-11. Dependența criteriului Nu de criteriul Ar (la exemplul 10-21).

Criteriul lui Nusselt este :

$$Nu = \frac{\alpha \cdot d_p}{\lambda}$$

Criteriul lui Arhimede este :

$$Ar = \frac{d_p^3 (\rho_{mat} - \rho_m) g}{\nu^2 \cdot \rho_m}$$

în care : $d_p = 10^{-3}$ m — diametrul particulelor ;
 $\lambda = 0,0285$ W/(m·K) — coeficientul de conductivitate termică a aerului la temperatura medie a lui de $\frac{90 + 50}{2} = 70^\circ\text{C}$;

$\rho_{mat} = 1480$ kg/m³ — densitatea materialului ;
 $\rho_m = 1,03$ kg/m³ — densitatea aerului la 70°C ;
 $\nu = 2 \cdot 10^{-5}$ m²/s — vîscozitatea cinematică a aerului.

Înlocuind aceste valori, se obține :

$$Ar = \frac{10^{-9} (1480 - 1,03) 9,81}{2^2 \cdot 10^{-10} \cdot 1,03} = 3,52 \cdot 10^4$$

Atunci :

$$Ar^{1/3} = 32,8$$

Din figura 10-11 se găsește $Nu = 10$.

De aici :

$$\alpha = \frac{Nu \cdot \lambda}{d_p} = 10 \frac{0,0285}{0,001} = 285 \text{ W/m}^2 \cdot \text{K}$$

Numărul de particule de material, care trec prin uscător pe o secundă :

$$n = \frac{G_f}{\frac{\pi d_p^3}{6} \cdot \rho_{mat} \cdot 3600}$$

Aria suprafeței totale exterioare a particulelor este :

$$A = n \cdot \pi \cdot d_p^2 = \frac{6G_f}{d_p \cdot \rho_{mat} \cdot 3600} = \frac{6 \cdot 250}{0,001 \cdot 1480 \cdot 3600} = 0,281 \text{ m}^2/\text{s}$$

Diferența medie de temperatură se determină în mod aproximativ* în felul următor :

$$\begin{array}{ccc} 90 & \xrightarrow{\text{aer}} & 50 \\ 32 & \xrightarrow{\text{material}} & 40 \\ \hline \Delta t_1 = 58 & & \Delta t_2 = 10 \\ \hline \Delta t_m = \frac{58 - 10}{2,3 \lg \frac{58}{10}} & = & 27,3^\circ\text{C} = 27,3 \text{ K} \end{array}$$

* Neluînd în considerație durata scurtă a perioadei de încălzire inițială a materialului, temperatura inițială a lui trebuie admisă aici egală cu temperatura termometrului umed, adică 32°C (v. fig. 10-10).

Cantitatea de căldură, primită de material în uscător de la aerul cald se determină prin însumarea următorilor termeni (admițîndu-se aproximația, că toată apa se evaporă la $t_m = 32^\circ\text{C}$).

1) încălzirea materialului umed :

$$Q_1 = (G_f \cdot c_f + W \cdot c)(t_m - \theta_{1,i}) = \left(\frac{250}{3600} 1,16 + \frac{34,6}{3600} 4,19 \right) (32 - 15) = 2,05 \text{ kW}$$

2) evaporarea apei :

$$Q_2 = W \cdot r = \frac{34,6}{3600} 2420 = 23,25 \text{ kW}$$

3) încălzirea materialului uscat

$$Q_3 = G_f \cdot c_f (\theta_2 - t_m) = \frac{250}{3600} 1,16 (40 - 32) = 0,65 \text{ kW}$$

Căldura totală este :

$$Q = Q_1 + Q_2 + Q_3 = 2,05 + 23,25 + 0,65 = 25,95 \text{ kW}$$

Durata de uscare este :

$$\tau = \frac{Q}{\alpha \cdot A \cdot \Delta t_m} = \frac{25,95 \cdot 10^3}{285 \cdot 0,28 \cdot 27,3} = 11,9 \text{ s}$$

Lungimea uscătorului poate fi determinată din următoarea relație :

$$\tau = \frac{l}{w - w_{sed}}$$

în care : l este lungimea tubului, în m ;

w — viteza aerului în uscător, în m/s ;

w_{sed} — viteza de sedimentare (în spirală), în m/s ; ea se determină din figura 3-1, în care se redă dependența $Li = f(Ar)$ pentru particulele de formă colțuroasă.

Pentru $Ar = 3,52 \cdot 10^4$ corespunde $Li = 205$, de unde :

$$w_{sed} = \sqrt[3]{\frac{Li \cdot \nu_m \cdot \rho_{mat} \cdot g}{\rho_m}} = \sqrt[3]{\frac{205 \cdot 2 \cdot 10^{-5} \cdot 1,48 \cdot 10^3 \cdot 9,81}{1,03}} = 3,86 \text{ m/s}$$

De obicei se consideră $w = (1,1 - 1,25)w_{sed}$. Aici se consideră $w = 3,86 \cdot 1,2 = 4,64$ m/s. Atunci :

$$l = \tau(w - w_{sed}) = 11,9(4,64 - 3,86) = 9,28 \text{ m}$$

În realitate timpul de staționare a particulelor în uscătorul tubular este mai mare, decît cel calculat, deoarece în calcul nu se ia timpul de antrenare a particulelor, ci numai după stabilirea regimului de mișcare a lor ; aceasta se confirmă prin date experimentale.

Lungimea suplimentară l_p a tubului pentru particulele de dimensiunile 0,2–1 mm poate fi determinată din relația empirică* :

$$l_p = w \cdot d$$

în care w este viteza aerului, în m/s ;

d — diametrul particulelor, în mm.

În exemplul dat $l_p = 4,64 \cdot 1 = 4,64$ m. Atunci lungimea totală a uscătorului tubular va fi :

$$L = 9,28 + 4,64 \approx 14 \text{ m}$$

Diametrul uscătorului se determină din ecuația debitului :

$$D = \sqrt{\frac{V}{0,785 w}}$$

$$V = \frac{2560}{1,03 \cdot 3600} = 0,69 \text{ m}^3/\text{s}$$

Atunci :

$$D = \sqrt{\frac{0,69}{0,785 \cdot 4,64}} = 0,224 \text{ m}$$

Exemplul 10-22. Să se determine debitul de aer și cantitatea de căldură necesare la uscarea a 1 t de material umed de la $u_i = 50\%$ la $u_f = 6\%$ (raportată la masa totală) într-un uscător teoretic, care funcționează : a) după varianta normală de uscarea ; b) cu încălzire intermediară (considerind că aerul se încălzește în calorifer până la 100°C) ; c) cu recircularea a 80% din aerul utilizat.

Să se compare, de asemenea, potențialele de uscarea pentru aceste variante.

Parametrii aerului atmosferic sînt : $t_0 = 25^\circ\text{C}$; $x_0 = 0,0095$ kg/kg aer uscat.

Parametrii aerului recirculat sînt : $t_2 = 60^\circ\text{C}$; $x_2 = 0,041$ kg/kg aer uscat.

Rezolvare. Se determină cantitatea de umiditate evaporată la uscarea

$$W = G_i \frac{u_i - u_f}{100 - u_f} = 1000 \frac{50 - 6}{100 - 6} = 468 \text{ kg/h}$$

a) varianta normală de uscarea (ABC — din fig. 10-12).

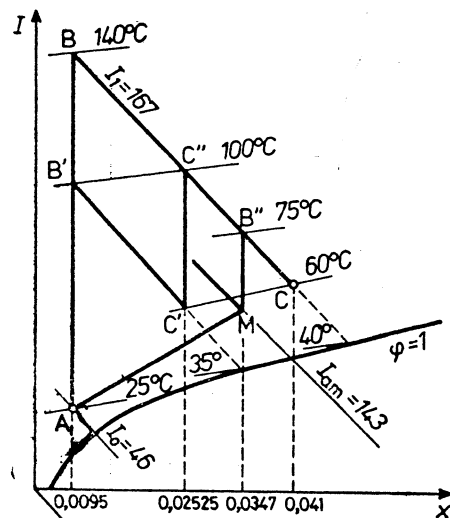


Fig. 10-12. Schița la exemplul 10-22.

* Această relație este obținută prin prelucrarea datelor experimentale ale lui I. M. Fedorov, la viteze ale aerului de 15...50 m/s.

Consumul specific de aer uscat este :

$$l = \frac{1}{x_2 - x_0} = \frac{1}{0,041 - 0,0095} = 31,8 \text{ kg/kg umiditate evaporată.}$$

Consumul total de aer uscat este :

$$L = l \cdot W = 31,8 \cdot 468 = 14900 \text{ kg/h}$$

Consumul specific de căldură este :

$$q = l(I_2 - I_0) = 31,8(167 - 46) = 3860 \text{ kJ/kg umiditate evaporată.}$$

Valorile entalpiilor se găsesc, folosind diagrama $I-x$ a lui Ramzin (fig. 10-1).

Consumul total de căldură este :

$$Q = W \cdot q = \frac{468}{3600} 3860 = 502 \text{ kW}$$

b) în procesul de uscarea cu încălzire intermediară ($AB'C'C''C$ — în fig. 10-12) sînt necesare două calorifere pentru încălzirea aerului pînă la 100°C . În acest caz, în prima zonă de uscarea conținutul de umezeală al aerului crește pînă la 0,02525 kg/kg aer uscat și consumul specific de aer uscat va fi :

$$l' = \frac{1}{0,02525 - 0,0095} = 63,6 \text{ kg/kg umiditate evaporată.}$$

Deoarece în prima zonă a uscătorului se evaporă numai jumătate din umiditatea totală, adică $468/2 = 234$ kg/h, atunci debitul orar de aer uscat va fi :

$$L = l' \cdot \frac{W}{2} = 63,6 \cdot 234 = 14900 \text{ kg/h.}$$

În zona a doua a uscătorului are loc evaporarea restului de umiditate cu ajutorul aceluiași aer, care a fost preîncălzit pînă la 100°C în caloriferul intermediar.

Căldura folosită la încălzirea aerului se consumă în cele două calorifere, iar consumul de căldură va fi egal cu :

$$Q = l'(I_2' - I_0) \frac{W}{2} + l'(I_2 - I_2') \frac{W}{2} = \frac{W}{2} l'(I_2 - I_0)$$

Deoarece $l'/2 = l$, rezultă :

$$Q = W \cdot l(I_2 - I_0) = \frac{468}{3600} 31,8(167 - 46) = 500 \text{ kW}$$

c) pentru procesul de uscarea cu recircularea a 80% din aerul utilizat ($AMB''C$ — pe fig. 10-12) se determină caracteristicile amestecului, care intră în calorifer :

$$x_{am} = 0,2x_0 + 0,8x_2 = 0,2 \cdot 0,0095 + 0,8 \cdot 0,041 = 0,0347 \text{ kg/kg aer uscat}$$

$$I_{am} = 0,2I_0 + 0,8I_2 = 0,2 \cdot 46 + 0,8 \cdot 167 = 143 \text{ kJ/kg aer uscat}$$

Atunci consumul specific de aer uscat va fi:

$$l'' = \frac{1}{x_2 - x_{am}} = \frac{1}{0,041 - 0,0347} = 159 \text{ kg/kg umiditate}$$

iar debitul de aer (amestec), care intră în uscător este:

$$L'' = W \cdot l'' = 468 \cdot 159 = 74\,500 \text{ kg/h}$$

Debitul de aer atmosferic (20%) va fi:

$$L = 74\,500 \cdot 0,2 = 14\,900 \text{ kg/h}$$

Consumul specific de căldură este:

$$q = \frac{I_2 - I_{am}}{x_2 - x_{am}} = \frac{467 - 143}{0,041 - 0,0347} = 3\,820 \text{ kJ/kg umiditate}$$

Debitul de căldură va fi:

$$Q = W \cdot q = \frac{468}{3\,600} \cdot 3\,820 = 495 \text{ kW}$$

Din compararea debitelor de aer și căldură necesare uscării în cele trei variante considerate rezultă, că la aceiași parametri inițiali și finali ai aerului (v. poziția punctelor A și C pe diagrama din fig. 10-12) acestea sînt aceleași.

Se compară forțele motrice (potențialele) medii de uscare:

$$a) x_{med} = \frac{(t_1 - t_{am}) - (t_2 - t_{am})}{2,3 \lg \frac{t_1 - t_{am}}{t_2 - t_{am}}} = \frac{(140 - 40) - (60 - 40)}{2,3 \lg \frac{140 - 40}{60 - 40}} = 49,8^\circ\text{C} = 49,8 \text{ K.}$$

$$b) x_{med 1} = \frac{(100 - 35) - (60 - 35)}{2,3 \lg \frac{100 - 35}{60 - 35}} = 41,8^\circ\text{C} = 41,8 \text{ K}$$

$$x_{med 2} = \frac{(100 - 40) - (60 - 40)}{2,3 \lg \frac{100 - 40}{60 - 40}} = 36,5^\circ\text{C} = 36,5 \text{ K}$$

$$x_{med} = \frac{41,8 + 36,5}{2} = 39,15^\circ\text{C} = 39,15 \text{ K}$$

$$c) x_{med} = \frac{(75 - 40) - (60 - 40)}{2,3 \lg \frac{75 - 40}{60 - 40}} = 26,7^\circ\text{C} = 26,7 \text{ K}$$

Din compararea forțelor motrice (potențialelor) de uscare rezultă că valoarea cea mai mică a forței motrice (condițiile cele mai blinde de uscare) s-a obținut în cazul variantei cu recircularea unei părți din aerul utilizat, iar valoarea cea mai mare — în cazul variantei normale de uscare.

Exemplul 10-23. Un material oarecare se usucă într-un uscător în contracurent cu funcționare continuă de la 50 la 3,5% umiditate, calculată la greutatea totală. Capacitatea uscătorului este de 2 260 kg material umed/h. Masa specifică a materialului uscat este 640 kg/m³. La 1 kg material uscat corespunde 0,0615 m² suprafață de evaporare.

La o uscare experimentală anterioară s-a găsit că conținutul critic în umiditate al materialului este 20%, iar conținutul în umiditate la echilibru este 1,5% din greutatea totală. În prima perioadă de uscare, cînd suprafața materialului este saturată cu umiditate, viteza de uscare este 2,44 $\frac{\text{kg umiditate}}{\text{m}^2 \cdot \text{h}}$.

Aerul utilizat în acet caz avea umiditatea de 0,0306 kg/kg. Conținutul de umezeală al aerului saturat la temperatura dată a materialului este $x_{sat} = 0,0495$ kg/kg. Cu ajutorul acestor date se determină coeficientul parțial de transfer de masă:

$$\beta = \frac{2,44}{0,0495 - 0,0306} = 129 \text{ kg/m}^2 \cdot \text{h pe unitatea de diferență de umezeală } (\Delta x = 1).$$

Să se determine durata de uscare necesară.

Rezolvare (fig. 10-13). Cu ajutorul ecuației (10-36) se determină durata primei perioade de uscare, în care toată suprafața materialului este saturată cu umiditate. Cu parametrii dați în problemă: $t_0 = 20^\circ\text{C}$; $\phi_0 = 0,5$; $t_1 = 140^\circ\text{C}$ și $t_2 = 63^\circ\text{C}$, se găsește $x_0 = 0,0075$ și $x_2 = 0,0294$ kg/kg. Apoi, printr-un calcul obișnuit, care nu se mai dă aici pe larg, se găsește că debitul orar de aer uscat: $L = 49\,700$ kg/h; $x_1 = 0,0124$ kg/kg; $x_{sat} = 0,0495$ kg/kg.

Atunci din ecuația (10-36) se determină:

$$A_1 = \frac{2,3 \cdot 49\,700}{129} \lg \frac{0,0495 - 0,0124}{0,0495 - 0,0294} = 237 \text{ m}^2.$$

La capacitatea de producție a uscătorului indicată, cantitatea de material introdusă pe oră corespunde unei suprafețe de evaporare de:

$$2\,260 \cdot 0,5 \cdot 0,0615 = 69,5 \text{ m}^2/\text{h}.$$

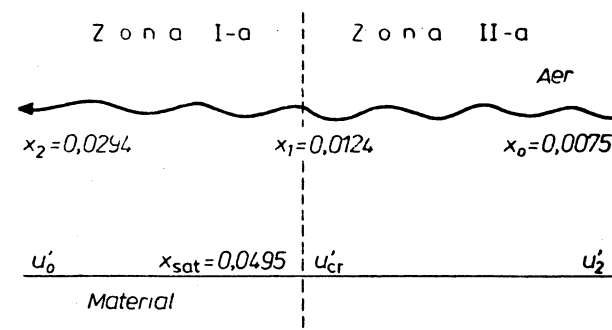


Fig. 10-13. Schița la exemplul 10-23.

Prin urmare, în prima zonă a uscătorului, corespunzătoare primei perioade de uscare, cantitatea de material trebuie să stea timp de $237/69,5 = 3,41$ h, adică durata primei perioade de uscare este de 3 h 25 min.

Trecând la determinarea duratei perioadei a doua de uscare, se găsește :

a) volumul de material uscat :

$$V_M = \frac{2\,260 \cdot 0,5}{640} = 1,77 \text{ m}^3/\text{h}$$

b) conținutul critic de umiditate :

$$u'_{cr} = \frac{20 \cdot 640}{80} = 160 \text{ kg/m}^3 \text{ material uscat}$$

c) conținutul în umiditate la echilibru :

$$u'_{ech} = \frac{1,5 \cdot 640}{98,5} = 9,75 \text{ kg/m}^3 \text{ material uscat.}$$

Conținutul inițial în umiditate liberă în punctul critic este :

$$u^*_{cr} = u'_{cr} - u'_{ech} = 160 - 9,75 = 150,25 \text{ kg/m}^3 \text{ material uscat}$$

Suprafața de evaporare necesară pentru zona a doua a uscătorului A_2 se determină cu ecuația (10-38), în care :

$$\frac{u^*_{cr} \cdot V_M}{L} = \frac{150,25 \cdot 1,77}{49\,700} = 0,0054$$

$$A_2 = \frac{150,25}{129} \cdot \frac{1,77}{0,0495 + 0,0054 - 0,0124} \cdot \ln \frac{(0,0495 - 0,0075)0,0054}{(0,0495 - 0,0124)(0,0075 + 0,0054 - 0,0124)} = 120 \text{ m}^2$$

adică, în a doua zonă a uscătorului, corespunzătoare perioadei a doua de uscare, cantitatea de material trebuie să stea încărcată timp de $120/69,5 = 1,73$ h. Deci, durata perioadei a doua de uscare este de 1 h 44 min.

Durata totală de uscare este prin urmare :

$$\tau = 3 \text{ h } 25 \text{ min} + 1 \text{ h } 44 \text{ min} = 5 \text{ h } 9 \text{ min}$$

Exemplul 10-24. Într-un uscător, lucrând după varianta normală de uscare, se îndepărtează din material 1 000 kg/h umiditate. Aerul atmosferic ($t_0 = 10^\circ\text{C}$; $\phi_0 = 78\%$) se încălzește într-un calorifer cu abur, presiunea aburului citită la manometru fiind de 4 at. Psihrometrul de pe conducta de aer, după uscător indică $t_2 = 50^\circ\text{C}$, $t_{um} = 37,5^\circ\text{C}$.

Admițându-se un consum specific de căldură cu 13% mai mare decât în uscătorul teoretic, să se determine : debitul ventilatorului de aspirație, debitul aburului de încălzire, avînd umiditatea de 5%, și suprafața de schimb de căldură a caloriferului, dacă coeficientul total de transmitere a căldurii este de $30 \text{ W/m}^2 \cdot \text{K}$.

Rezolvare. Pe diagrama $I-x$ se găsesc : $x_0 = 0,006 \text{ kg/kg}$ aer uscat ; $I_0 = 25,1 \text{ kJ/kg}$; $x_2 = 0,037 \text{ kg/kg}$ aer uscat ; $I_2 = 146,6 \text{ kJ/kg}$; $p_c = 41,5 \text{ mm Hg}$ (fig. 10-14).

Consumul specific de aer după ecuația (10-14) este :

$$l = \frac{1}{x_2 - x_0} = \frac{1}{0,037 - 0,006} = 32,3 \text{ kg/kg apă evaporată}$$

Debitul de aer uscat :

$$L = W \cdot l = 1000 \cdot 32,3 = 32\,300 \text{ kg/h}$$

Volumul specific al aerului umed după ecuația (10-12) :

$$v_{sp} = \frac{R_a T}{P - p_c} = \frac{287(273 + 50)}{(745 - 41,5)133,3} = 0,988 \text{ m}^3/\text{kg aer uscat}$$

Debitul ventilatorului de aspirație este :

$$V = L \cdot v_{sp} = 32\,300 \cdot 0,988 = 31\,900 \text{ m}^3/\text{h}$$

Consumul specific de căldură în uscătorul teoretic se determină cu formula (10-19) :

$$q_T = \frac{I_2 - I_0}{x_2 - x_0} = l(I_2 - I_0) = 32,3(146,6 - 25,1) = 3\,920 \text{ kJ/kg apă evaporată}$$

Pentru uscătorul real :

$$q = 1,13 \cdot q_T = 1,13 \cdot 3\,920 = 4\,430 \text{ kJ/kg apă evaporată}$$

Din ecuația (10-18) :

$$q = \frac{I_1 - I_0}{x_2 - x_0} = l \cdot (I_1 - I_0)$$

Se determină :

$$I_1 = I_0 + \frac{q}{l} = 25,1 + \frac{4\,430}{32,3} = 162,1 \text{ kJ/kg.}$$

Această entalpie I_1 determinată pentru punctul B corespunde la temperatura $t_1 = 144^\circ\text{C}$.

Consumul de căldură în calorifer :

$$Q = W \cdot q = \frac{1\,000}{3\,600} 4\,430 = 1\,230 \text{ kW}$$

Debitul aburului de încălzire :

$$G_{abur} = \frac{Q}{r \cdot x} = \frac{1\,230}{2\,117 \cdot 0,95} = 0,613 \text{ kg/s} = 2,2 \text{ t/h}$$

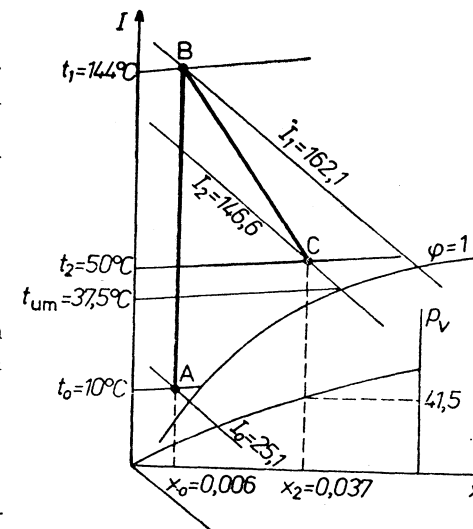


Fig. 10-14. Schița la exemplul 10-24.

Diferența medie de temperatură în calorifer :

$$\begin{array}{ccc} 151,1 & \longrightarrow & 151,1 \\ 10,0 & \longrightarrow & 144,0 \\ \hline \Delta t_{intr} = 141,1 & & \Delta t_{iesire} = 7,1 \\ \Delta t_m = \frac{\Delta t_{intr} - \Delta t_{iesire}}{2,3 \lg \frac{\Delta t_{intr}}{\Delta t_{iesire}}} = \frac{141,1 - 7,1}{2,3 \lg \frac{141,1}{7,1}} = 45^\circ\text{C} = 45 \text{ K} \end{array}$$

Suprafața de schimb de căldură a caloriferului va fi :

$$A = \frac{Q}{K \cdot \Delta t_m} = \frac{1 \cdot 230 \cdot 10^3}{30 \cdot 45} = 910 \text{ m}^2$$

10.3. PROBLEME

10-1. De câte ori este mai mare cantitatea de umiditate din 1 kg material umed care trebuie îndepărtată prin uscarea acestuia de la 50 la 25%, decît la uscarea de la 2 pînă la 1% umiditate (calculate la greutatea totală). În ambele cazuri, prin uscător trece 1 kg de material umed.

10-2. Să se găsească entalpia, conținutul de umezeală, temperatura termometrului umed și punctul de rouă pentru aerul care părăsește uscătorul la $t = 50^\circ\text{C}$ și $\varphi = 0,7$.

10-3. Temperatura aerului la termometrul uscat este 50°C , iar la termometrul umed 30°C . Să se determine toate caracteristicile aerului.

10-4. Să se găsească conținutul de umezeală și umezeala relativă a unui amestec vapori-aer la 50°C , dacă se știe că presiunea parțială a vaporilor de apă în amestec este 0,1 at.

10-5. Să se determine conținutul în vapori de apă în amestec: a) cu aerul, b) cu hidrogenul; c) cu etanolul (raportat la 1 kg gaz uscat) la $t = 35^\circ\text{C}$ și $\varphi = 0,45$. Presiunea totală $P_{abs} = 1,033$ at.

10-6. Să se compare consumul specific de aer și de căldură într-un uscător în timp de vară și în timp de iarnă (în condițiile Bucureștiului)*, dacă în ambele cazuri, aerul care iese din uscător va avea $t_2 = 40^\circ\text{C}$ și $\varphi_2 = 0,6$. Uscătorul este teoretic, cu varianta normală de uscare. Pentru caracteristicile de stare ale aerului în diferite regiuni și în diferite perioade ale anului, vezi tabelul XL.

10-7. Presiunea totală (absolută) a amestecului vapori-aer la 150°C și umezeală relativă $\varphi = 0,5$ reprezintă 745 mm Hg. Să se determine presiunea parțială a vaporilor de apă și a aerului, cit și conținutul de umezeală al aerului.

10-8. Aerul umed cu temperatura de 130°C și $\varphi = 0,3$ se găsește sub o presiune $P_{abs} = 7$ at. Să se determine presiunea parțială a aerului, densitatea și conținutul lui de umezeală.

10-9. Care este debitul de umiditate transportat de aerul intrat în uscător cu debitul de 200 kg/h (raportat la aerul perfect uscat), cu $t_1 = 95^\circ\text{C}$, $\varphi_1 = 5\%$ și ieșit din uscător cu $t_2 = 50^\circ\text{C}$ și $\varphi_2 = 60\%$? Să se determine, de asemenea, consumul specific de aer.

10-10. Aerul umed cu temperatura de 130°C și $\varphi = 1$ se găsește la presiunea $P_{abs} = 7$ at. Să se determine presiunea parțială a vaporilor de apă, densitatea aerului umed și conținutul lui de umezeală.

Comparați rezultatele problemelor 10-10 și 10-8.

10-11. Să se determine debitul unui ventilator de tiraj pentru un uscător, în care din materialul de uscat se îndepărtează 100 kg/h umiditate în următoarele condiții: $t_0 = 15^\circ\text{C}$, $\varphi_0 = 0,8$, $t_2 = 45^\circ\text{C}$, $\varphi_2 = 0,6$, $P = 750$ mm Hg.

* Leningradului, în original.

10-12. Aerul se încălzește într-un calorifer înainte de intrarea în uscător pînă la 113°C . La ieșirea din uscător temperatura aerului este 60°C și $\varphi_2 = 0,3$.

Să se determine punctul de rouă al aerului la ieșirea din calorifer. Procesul de uscare are loc după dreapta $l = \text{const}$.

10-13. Să se determine consumul orar de aer atmosferic și consumul de căldură, și de asemenea, temperatura amestecului de aer înainte de intrarea în calorifer, într-un uscător cu recirculație parțială de aer în următoarele condiții:

- Caracteristicile aerului (raportate la aer uscat):
atmosferic $I_0 = 50 \text{ kg/kg}$; $\varphi_0 = 0,7$
epuizat $I_2 = 260 \text{ kg/kg}$; $\varphi_2 = 0,8$

Debitul de aer recirculat 80% (din cel intrat în uscător).

- Umiditatea materialului (raportată la masa totală):
inițială $u_i = 47\%$
finală $u_f = 5\%$

Capacitatea uscătorului (în material umed) $G_t = 1,5 \text{ t/h}$

10-14. Să se determine debitul de aer necesar la uscare și consumul de căldură la calorifer în următoarele condiții:

- + Caracteristicile aerului:
atmosferic $x_0 = 0,01$; $t_0 = 20^\circ\text{C}$
epuizat $x_2 = 0,028$; $t_2 = 34^\circ\text{C}$
- Umiditatea materialului (raportată la masa totală):
inițială $u_i = 50\%$
finală $u_f = 13\%$
- Capacitatea uscătorului în material absolut uscat $G_u = 1 \text{ t/h}$
- Pierderile de căldură ΣQ_0 cu materialul, cu mijloacele de transport și în mediul înconjurător (fără calculul căldurii introduse cu umiditatea) 15% din cantitatea totală de căldură.

10-15. Să se determine randamentul unui uscător teoretic, dacă caracteristicile aerului variază de la $\varphi_0 = 0,7$ și $t_0 = 20^\circ\text{C}$ la $\varphi_2 = 0,6$ și $t_2 = 50^\circ\text{C}$. Umiditatea se evaporă la temperatura termometrului umed.

10-16. Să se găsească potențialul mediu de uscare într-un uscător teoretic la $t_0 = 20^\circ\text{C}$, $\varphi_0 = 0,7$ și $t_2 = 50^\circ\text{C}$, $\varphi_2 = 0,4$. Evaporarea se produce la temperatura termometrului umed.

10-17. Într-un uscător teoretic intră aer din calorifer cu temperatura de 85°C pentru care potențialul de uscare este 43°C . Potențialul de uscare al aerului care părăsește uscătorul este de 8°C . Să se găsească presiunea parțială a vaporilor de apă din aerul care iese din uscător și procentul volumetric de vapori de apă din el, dacă presiunea în uscător (absolută) $P = 750$ mm Hg.

10-18. Un material umed avînd umiditatea inițială 33%, umiditatea critică 17% și umiditatea la echilibru 2% se usucă în condiții constante de uscare pînă la 9% umiditate în timp de 8 h. Să se determine durata uscării pînă la 3% umiditate în aceleași condiții. Umiditatea este dată în procente din masa substanței complet uscată.

10-19. Să se determine suprafața de încălzire a unui uscător tambur cu vid, în care se pot usca 200 kg/h (material uscat). Umiditatea inițială este 50% și finală 5% (din masa totală). Coeficientul total de transfer termic este $350 \text{ W/m}^2 \cdot \text{K}$; temperatura de uscare 60°C ; căldura specifică a materialului uscat $1,26 \cdot 10^3 \text{ J/kg} \cdot \text{K}$; temperatura inițială a materialului 20°C ; presiunea aburului de încălzire $P_{abs} = 1,5$ at. Pierderile de căldură reprezintă 10% din cantitatea totală de căldură cedată de aburul de încălzire.

10-20. Să se găsească punctul de rouă și umezeala relativă a aerului care iese dintr-un uscător, folosind indicațiile psihrometrului, $t_{u,sc} = 50^\circ\text{C}$, $t_{u,um} = 35^\circ\text{C}$.

10-21. Să se determine temperatura materialului umed (în prima perioadă de uscare) dintr-un uscător teoretic, dacă aerul atmosferic intră în calorifer la $t_0 = 15^\circ\text{C}$ și $\varphi_0 = 0,8$ și se încălzește în el pînă la $t_1 = 123^\circ\text{C}$.

10-22. Într-un uscător cu capacitatea de 1 t/h (în raport cu materialul umed) se usucă un material de la umiditatea de 55% până la 8% (în raport cu masa totală). Aerul atmosferic are $t_0 = 20^\circ\text{C}$, $\varphi_0 = 0,75$ și se încălzește în calorifer până la $t_1 = 110^\circ\text{C}$. Potențialul de uscare la ieșirea din uscător $x_2 = 10^\circ\text{C}$. Să se determine consumul de aer și de abur de încălzire, dacă presiunea aburului $P_{ab} = 2,5$ at, iar gradul de uscare al acestuia este de 93%.

10-23. Într-un uscător cu capacitatea de 500 kg/h (în raport cu produsul absolut uscat) se usucă un material de la 42% până la 9% umiditate (raportată la substanța absolut uscată). Temperatura aerului, care intră în calorifer, $t_0 = 20^\circ\text{C}$, iar punctul său de rouă $t_r = 8^\circ\text{C}$. Procesul de uscare în uscătorul teoretic are loc la $I = 125$ kJ/kg. Uscarea se face după varianta normală. Să se determine consumul de abur de încălzire și suprafața de încălzire a caloriferului, dacă presiunea (absolută) aburului de încălzire este 2 at și umiditatea 5%, iar coeficientul total de transfer de căldură $K = 32$ W/m²·K. Suma tuturor pierderilor de căldură reprezintă 15% din consumul de căldură în uscătorul teoretic. $T_2 \approx 45^\circ\text{C}$

10-24. Aerul cu $t = 60^\circ\text{C}$ și $\varphi = 0,2$ se răcește cu apă rece într-un schimbător de căldură multitubular în contracurent până la punctul de rouă. Apa de răcire se încălzește de la 15 până la 25°C. Să se determine debitul de aer care se răcește, presiunea parțială a vaporilor de apă și procentul lor în volum de aer, precum și debitul de apă de răcire, dacă suprafața schimbătorului de căldură este de 15 m², iar coeficientul total de transfer termic $K = 46$ W/m²·K.

10-25. Să se găsească temperatura și conținutul în umezeală al aerului care iese dintr-un uscător teoretic, dacă potențialul de uscare mediu $x_{med} = 41^\circ\text{C}$. Aerul intră în calorifer cu $t_0 = 15^\circ\text{C}$ și $\varphi_0 = 70\%$. Entalpia aerului care trece din calorifer în uscător este $I = 144$ kJ/kg. Să se determine, de asemenea, temperatura materialului umed (în prima perioadă de uscare)

10-26. Să se determine temperatura aerului care intră într-un uscător teoretic, dacă forța motoare medie a procesului de uscare $\Delta x_{med} = 0,0136$ kg/kg, temperatura aerului care iese din uscător $t_2 = 45^\circ\text{C}$, iar umezeala lui relativă $\varphi_2 = 60\%$.

10-27. Să se determine debitul de aer, consumul de abur și presiunea acestuia pentru un uscător cu aer în contracurent, care funcționează după varianta normală de uscare. Capacitatea uscătorului este de 600 kg/h material umed cu umiditatea inițială 50% (raportată la masa totală), iar cea finală 9%. Aerul care intră în calorifer are $t_0 = 10^\circ\text{C}$, $\varphi_0 = 80\%$, aerul care iese din uscător are $t_2 = 50^\circ\text{C}$, $\varphi_2 = 50\%$. Temperatura aburului de încălzire se impune. Umiditatea aburului de încălzire este 6%.

Calculul se va face: a) pentru uscătorul teoretic; b) pentru uscătorul real, considerind că temperatura materialului la intrarea în uscător este 16°C, iar la ieșire 55°C. Căldura specifică a materialului uscat este 1,68 kJ/kg·K. Masa instalației de transport (transportor din oțel) care suportă încărcarea orară de material brut este de 450 kg. Pierderile de căldură ale uscătorului și caloriferului în mediul înconjurător se vor considera 10% din cantitatea de căldură transmisă aerului în calorifer.

10-28. Într-un uscător teoretic care funcționează după varianta cu preîncălzirea intermediară a aerului (în trepte), intră 1 800 kg/h material umed cu umiditatea inițială 39%. Umiditatea finală este 8% (raportată la masa totală). Aerul la ieșirea din uscător are temperatura de 45°C. Temperatura aerului atmosferic este 20°C. Instalația de uscare are în total 3 calorifere, aerul încălzindu-se în fiecare din ele până la 70°C. După fiecare calorifer, aerul se saturează în uscător cu vaporii de apă până la $\varphi = 0,7$. Să se determine debitul de aer uscat și consumul de abur de încălzire. Presiunea aburului de încălzire $P_{ab} = 3$ at, umiditatea lui fiind 5%. Se va reda schema procesului în diagrama Ramzin.

10-29. Consumul de abur în caloriferul unui uscător la presiunea $P_{rei} = 2$ at și umiditatea de 10% este de 200 kg/h. Consumul de căldură este cu 10% mai mare decât consumul de căldură într-un uscător teoretic. Suprafața de încălzire a caloriferului este 41 m². Aerul atmosferic are $t_0 = 25^\circ\text{C}$ și punctul de rouă $t_r = 10^\circ\text{C}$. Procesul de uscare decurge la $I_1 = 100$ kJ/kg. Presiunea parțială a vaporilor de apă în aerul care părăsește uscătorul este 25 mm Hg.

Să se determine coeficientul total de transfer de căldură în calorifer și capacitatea uscătorului raportată la material umed, dacă materialul la intrarea în uscător are umiditatea 60%, iar la ieșirea din uscător 10% (raportată la masa totală).

10-30. Într-un uscător cu capacitatea de 500 kg/h (raportat la material uscat) se usucă material de la 70% la 10% umiditate (raportat la masa totală). Indicațiile psihrometrului pentru aerul atmosferic sînt de 15° și 20°C. Din uscător aerul iese cu temperatura de 45°C și umezeala relativă 50%. Pierderile de căldură în uscător și calorifer reprezintă 8% din consumul de căldură într-un uscător teoretic.

Să se determine suprafața de încălzire a caloriferului și consumul de abur de încălzire, dacă presiunea acestuia este $P_{ab} = 2$ at și umiditatea 5%.

Coeficientul total de transfer termic în calorifer este 35 W/m²·K.

10-31. 1 000 kg material umed cu umiditatea inițială 50% se usucă până la umiditatea finală 8% (raportată la masa totală). Uscarea se face: a) într-un uscător sub vid la o temperatură a materialului în timpul uscării de 40°C; b) într-un uscător atmosferic cu aer, la aceeași temperatură a materialului (în prima perioadă). Aerul atmosferic are $t_0 = 20^\circ\text{C}$, $\varphi = 0,7$; ieșind din uscător, aerul are $t_2 = 55^\circ\text{C}$. În ambele cazuri materialul umed intră în uscător la 15°C și iese la 40°C. Căldura specifică a materialului uscat este $1,26 \cdot 10^3$ J/kg·K.

Să se determine consumurile specifice de căldură în ambele uscătoare neglijindu-se pierderile de căldură în mediul înconjurător.

10-32. Într-un uscător teoretic cu capacitatea de 600 kg/h material absolut uscat se usucă material de la umiditatea 35 la 8% (raportat la masa totală). Indicațiile psihrometrului, stabilite în încăperea din care intră aerul în calorifer sînt $t_0 = 18^\circ\text{C}$ și $t_{um} = 15^\circ\text{C}$. La ieșirea din uscător aerul are $t_2 = 40^\circ\text{C}$ și $\varphi_2 = 0,65$.

Să se determine consumul de abur și suprafața caloriferului, dacă presiunea aburului $P_{ab} = 2$ at și coeficientul total de transfer termic $K = 33$ W/m²·K.

10-33. Să se determine consumul de aer, consumat de abur de încălzire, presiunea necesară aburului și suprafața caloriferului pentru un uscător cu productivitatea de 600 kg/h material umed cu umiditatea inițială de 50% și finală de 9% (raportată la masa totală). Indicațiile psihrometrului pentru aerul care intră în calorifer sînt 10°C și 5°C. Aerul la ieșirea din uscător are $t_2 = 15^\circ\text{C}$, $\varphi_2 = 50\%$. Temperatura aburului de încălzire se ia cu 15°C mai mare decât temperatura aerului la ieșirea din calorifer. Umiditatea aerului de încălzire este 6%. Consumul de căldură este cu 10% mai mare decât consumul de căldură în uscătorul teoretic. Coeficientul total de transfer de căldură în calorifer este 35 W/m²·K.

10-34. Să se determine productivitatea în material uscat, suprafața de încălzire a caloriferului și partea de aer recirculat într-un uscător teoretic cu recircularea aerului utilizat. Consumul de aer atmosferic proaspăt este de 6 000 kg/h, entalpia lui 50 kJ/kg, iar presiunea parțială a vaporilor de apă din el 12 mm Hg. Umiditatea inițială a materialului este 40%, iar cea finală 7% (raportată la masa totală).

Parametrii amestecului de aer la intrarea în calorifer sînt: $x = 0,034$; $t = 40^\circ\text{C}$. În calorifer aerul se încălzește până la 88°C. Coeficientul total de transfer de căldură este de 47 W/m²·K. Presiunea aburului de încălzire $P_{rei} = 2$ at.

10.4. EXEMPLU DE CALCUL AL UNUI USCĂTOR ÎN STRAT FLUIDIZAT PENTRU USCAREA CLORURII DE POTASIU

Date de calcul:

Productivitatea (material uscat) $G_r = 20$ t/h

Umiditatea materialului (raportată la masa totală):

inițială $u_i = 10\%$

finală $u_f = 0,5\%$

Diametrul mediu al particulelor $d = 0,25$ mm

($d_{max} = 0,5$ mm,

$d_{min} = 0,1$ mm)

Temperatura materialului, care intră la uscare . . . $\theta_i = 20^\circ\text{C}$

Căldura specifică a materialului uscat $c_m = 0,712 \cdot 10^3$ J/kg·K

Densitatea sării $\rho_{sai} = 2 \cdot 10^3$ kg/m³

Pentru uscare se folosesc gaze de ardere. Pierderile de căldură sînt egale cu 15% din consumul de căldură pentru încălzirea materialului și evaporarea umidității.

Alegerea construcției uscătorului și condițiile lui de funcționare.

Factorii care influențează alegerea construcției uscătorului:

1) starea materialului de uscat — în vrac, granular în stare umedă;
2) materialul suportă încălzirea pînă la o temperatură mare ($t_{top, e} = 770^\circ\text{C}$);

3) raportul dintre dimensiunea maximă a particulelor și cea minimă
 $\frac{d_{max}}{d_{min}} = \frac{0,5}{0,1} = 5$;

4) se îndepărtează în special umiditatea de suprafață;

5) sita se alege (recomandată pentru uscarea sărurilor) cu diametrul orificiilor $d_0 = 5$ mm;

6) se admite o oarecare neuniformitate a materialului de uscat în ceea ce privește conținutul de umiditate finală, întrucît prin păstrare toate particulele de sare vor căpăta aceeași umiditate.

Factorul 3) permite alegerea în prealabil a aparatului de uscare cu o singură cameră, cu pereți verticali.

Pentru asigurarea celor mai bune condiții hidrodinamice alegem un aparat cu secțiune circulară.

Înălțimea stratului fluidizat în aparat o vom lua de 4 ori mai mare decît înălțimea zonei de acțiune a curentului — zona de stabilizare hidrodinamică [10-6].

Ultima se determină din ecuația:

$$h_c = 20 \cdot d_0 = 20 \cdot 5 = 100 \text{ mm};$$

$$h = 4 \cdot h_c = 4 \cdot 100 = 400 \text{ mm}.$$

Temperatura gazelor de ardere, diluate cu aer intrate sub sită se consideră $t_1 = 800^\circ\text{C}$, temperatura gazelor la evacuare $t_2 = 125^\circ\text{C}$, ceea ce nu duce la condensarea vaporilor în aparatele de desprăfuire (cicloane, filtre).

Temperatura sării descărcate se poate lua aproximativ egală cu temperatura gazelor evacuate, adică $\theta_g = 125^\circ\text{C}$.

Pentru asigurarea unei fluidizări uniforme, alimentarea cu sare umedă sub formă de granule se face cu ajutorul unui distribuitor, care împrăștie materialul uniform pe suprafața stratului.

Descărcarea sării din aparat se recomandă să se facă direct lingă sita pentru scoaterea din aparat a granulelor.

Calculul

1. Debitul de material umed este:

$$G_t = G_f \frac{100 - u_f}{100 - u_t} = 20\,000 \frac{0,995}{0,9} = 22\,100 \text{ kg/h} = 6,15 \text{ kg/s}$$

2. Debitul de umiditate evaporată este:

$$W = G_t - G_f = 22\,100 - 20\,000 = 2\,100 \text{ kg/h} = 0,584 \text{ kg/s}$$

3. Consumul de căldură:

$$\begin{aligned} Q &= Q_{evap} + Q_{inc} + Q_{per} = 1,15 \{ W[r + c_i(t_2 - \theta_1)] + G_f \cdot c_m(\theta_2 - \theta_1) \} = \\ &= 1,15 \{ 0,584 [2\,490 \cdot 10^3 + 1,97 \cdot 10^3 (125 - 20)] + \\ &+ 5,56 \cdot 0,712 \cdot 10^3 (125 - 20) \} = 2\,280 \cdot 10^3 \text{ W} \end{aligned}$$

Consumul specific de căldură

$$q = \frac{Q}{W} = \frac{2\,280}{0,584} = 3\,900 \frac{\text{kJ}}{\text{kg umiditate}}$$

4. Consumul de gaze pentru uscare:

$$L = \frac{Q}{c_g(t_1 - t_2)} = \frac{2\,280 \cdot 10^3}{1,05 \cdot 10^3 (800 - 125)} = 3,22 \text{ kg/s}$$

Căldura specifică a gazelor c_g s-a luat la temperatura medie, egală cu $0,5(800 + 125) \approx 463^\circ\text{C}$.

Consumul specific de gaze:

$$l = \frac{L}{W} = \frac{3,22}{0,584} = 5,5 \frac{\text{kg}}{\text{kg umiditate}}$$

5. Viteza gazelor.

Mai întîi se calculează viteza critică de fluidizare pentru particulele de mărime medie, utilizînd graficul $L_t = f(\text{Ar})$ pentru temperatura stratului, care poate fi considerată egală cu temperatura gazelor evacuate, adică 125°C . Criteriul lui Arhimede este:

$$\text{Ar} = \frac{d^3 \cdot \rho_m \cdot g}{\nu^2 \cdot \rho_g} = \frac{2,5^3 \cdot 10^{-12} \cdot 2 \cdot 10^3 \cdot 9,81}{2,47^2 \cdot 10^{-10} \cdot 0,885} = 5,67 \cdot 10^2$$

în care ρ_g se calculează la fel ca pentru aer

$$\rho_g = 1,293 \frac{273}{273 + 125} = 0,885 \text{ kg/m}^3$$

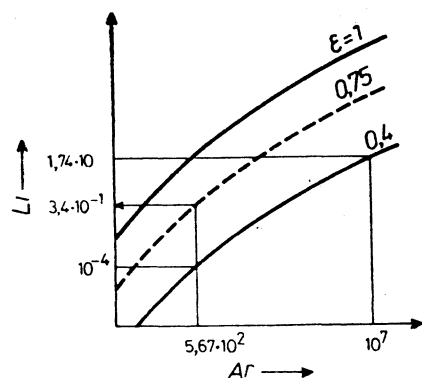
$$\nu = 2,47 \cdot 10^{-5} \text{ m}^2/\text{s}$$

Valoarea critică a criteriului lui Liașcenko este:

$$\text{Li}_{cr} = 10^{-4}$$

Viteza critică de fluidizare va fi:

$$w_{cr} = \sqrt[3]{\frac{\text{Li}_{cr} \cdot \nu \cdot g \cdot \rho_m}{\rho_g}} = \sqrt[3]{\frac{10^{-4} \cdot 2,47 \cdot 10^{-5} \cdot 9,81 \cdot 2 \cdot 10^3}{0,885}} = 0,038 \text{ m/s}.$$

Fig. 10-15. Determinarea criteriului Li .

Valoarea de lucru a criteriului Li se alege la o porozitate a stratului fluidizat $\varepsilon = 0,75$, deoarece pentru procesele de uscare care au loc în prima perioadă, intensitatea procesului este cu atât mai mare cu cât viteza gazelor este mai mare.

Pentru $\varepsilon = 0,75$ se găsește $Li = 3,4 \cdot 10^{-1}$ (fig. 10-15). Atunci numărul (sau coeficientul) de fluidizare este :

$$Kw = \sqrt[3]{\frac{Li}{Li_{cr}}} = \sqrt[3]{\frac{3,4 \cdot 10^{-1}}{10^{-4}}} = 15$$

Viteza gazelor (raportată la întreaga secțiune a sitei) este :

$$w = Kw \cdot w_{cr} = 15 \cdot 0,038 = 0,57 \text{ m/s.}$$

Viteza gazelor imediat lângă sită este mai mare din cauza temperaturii mai ridicate. Această viteză este egală cu :

$$w_{sita} = w \frac{273 + t_1}{273 + t_2} = 0,57 \frac{273 + 800}{273 + 125} = 1,54 \text{ m/s}$$

Dacă secțiunea liberă a sitei se consideră egală cu 10% din suprafața ei totală, viteza gazelor în orificiile sitei va fi egală cu :

$$w_0 = 10 \cdot 1,54 = 15,4 \text{ m/s}$$

Această viteză este suficientă pentru fluidizarea stratului nu numai cu particule cu diametrul maxim ($d_{max} = 0,5 \text{ mm}$) ci și pentru particule mai mari (bulgări), după cum se vede din calculul următor :

Dacă se consideră numărul de fluidizare pentru particulele mai voluminoase, nu mai mare decât este necesar pentru mișcarea lor (de exemplu, $K_w = 3$), atunci viteza critică de fluidizare pentru aceste particule va fi :

$$w_{cr(w)} = \frac{\rho_0}{K_w} = \frac{15,4}{3} = 5,13 \text{ m/s}$$

Atunci

$$Li_{cr(0)} = \frac{w_{cr(0)}^2 \cdot \rho_g}{v \cdot g \cdot \rho_m} = \frac{5,13^2 \cdot 0,33}{1,31 \cdot 10^{-4} \cdot 9,81 \cdot 2 \cdot 10^3} = 1,74 \cdot 10$$

unde :

$$\rho_g = 1,293 \frac{273}{273 + 800} = 0,33 \text{ kg/m}^3$$

$$v = 1,31 \cdot 10^{-4} \text{ m}^2/\text{s}$$

Valorii $Li_{cr} = 1,74 \cdot 10$ îi corespunde $Ar = 10^7$. Atunci diametrul particulelor voluminoase (bulgări) este :

$$d = \sqrt[3]{\frac{Ar \cdot v^2 \cdot \rho_g}{\rho_m \cdot g}} = \sqrt[3]{\frac{10^7 \cdot 1,31^2 \cdot 10^{-8} \cdot 0,33}{2 \cdot 10^3 \cdot 9,81}} = 0,0143 \text{ m}$$

În felul acesta sînt în stare de deplasare la sită cu orificii chiar și bulgări de sare cu diametrul $\approx 14 \text{ mm}$.

6. Mărirea sitei

Suprafața totală a sitei se determină din expresia :

$$S_{sita} = \frac{L}{\rho_g \cdot w} = \frac{3,22}{0,885 \cdot 0,57} = 6,39 \text{ m}^2$$

Diametrul sitei :

$$D_{sita} = \sqrt{\frac{S_{sita}}{0,785}} = \sqrt{\frac{6,39}{0,785}} = 2,85 \text{ m}$$

7. Spațiul de separare

Înălțimea spațiului de separare se consideră de 4 ori mai mare decât înălțimea stratului fluidizat :

$$h_{sep} = 4 \cdot 400 = 1600 \text{ mm}$$

Înălțimea totală a aparatului (deasupra sitei) va fi :

$$h + h_{sep} = 400 + 1600 = 2000 \text{ mm}$$

Se verifică dacă din aparat vor fi antrenate particulele de sare cele mai mici (diametrul $\sim 0,1 \text{ mm}$).

Criteriul lui Arhimede :

$$Ar = \frac{d^3 \cdot \rho_m \cdot g}{v^2 \cdot \rho_g} = \frac{1 \cdot 10^{-12} \cdot 2 \cdot 10^3 \cdot 9,81}{2,47^2 \cdot 10^{-10} \cdot 0,885} = 3,64 \cdot 10$$

Criteriul lui Liașcenko care corespunde antrenării particulelor va fi $Li_{antr} = 0,15$, iar viteza de antrenare a particulelor cu diametrul de $0,1 \text{ mm}$ este :

$$w_{antr} = \sqrt[3]{\frac{Li_{antr} \cdot v \cdot \rho_m \cdot g}{\rho_g}} = \sqrt[3]{\frac{0,15 \cdot 2,47 \cdot 10^{-10} \cdot 2 \cdot 10^3 \cdot 9,81}{0,885}} = 0,435 \text{ m/s}$$

Viteza efectivă a gazului în spațiul de separare în aparatul cu pereți verticali este :

$$w = \frac{L + W}{\rho_g \cdot S_{sita}} = \frac{(3,22 + 0,584)(273 + 125)}{1,293 \cdot 273 \cdot 6,39} = 0,672 \text{ m/s}$$

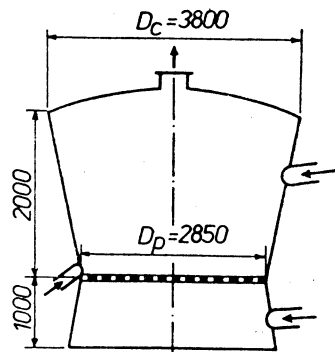


Fig. 10-16. Schița uscătorului.

(cu o oarecare aproximație, densitatea gazelor care se evacuează este calculată ca pentru aer).

În felul acesta, aparatul cu pereți verticali nu asigură sedimentarea în spațiul de separare a particulelor de sare cu un diametru mai mic de 0,1 mm. Pentru a asigura depunerea lor, secțiunea aparatului de separare trebuie lărgită pînă la valoarea :

$$S_{sep} = 1,1 S_{sita} \frac{w}{w_{antr}} = 1,1 \cdot 6,39 \cdot \frac{0,672}{0,435} = 11 \text{ m}^2$$

Aici coeficientul 1,1 se introduce pentru o oarecare reducere a vitezei curentului în comparație cu viteza de antrenare, necesare pentru asigurarea depunerii particulelor.

Diametrul spațiului de separare va fi :

$$D_{sep} = \sqrt{\frac{11}{0,785}} \approx 3,8 \text{ m}$$

Schița uscătorului este dată în fig. 10-16.

10.5. EXEMPLU DE CALCUL AL UNUI USCĂTOR CU VALȚURI

Să se determine dimensiunile principale ale unui uscător cu două valțuri pentru pasta de carbonat de nichel, cu o productivitate de 90 kg/h pastă. Umiditatea inițială a materialului este de 75%, iar cea finală 10% (raportată la masa totală). Încălzirea uscătorului se face cu abur indirect ($P_{abs} = 1 \text{ at}$). Grosimea stratului de material este $\sim 1 \text{ mm}$. Grosimea peretelui valțului de fontă este 10 mm. La suprafața materialului se suflă aer cu o viteză de 1,5 m/s.

Temperatura aerului este 40°C , iar $\varphi = 40\%$.

Rezolvare. Calculul uscătorului se poate face pe baza coeficientului total de transmitere a căldurii de la abur la aer. Procesul transmiterii căldurii în uscătorul cu valțuri are loc în felul următor : căldura aburului care se condensează este transmisă peretelui tamburului, iar de la acesta, la materialul care se usucă. Umiditatea evaporată din material difuzează în aer, ducând cu sine și cantitatea corespunzătoare de căldură. Se poate calcula cantitatea de umiditate care a difuzat și, plecînd de la această cantitate se determină coeficientul parțial echivalent de transmitere a căldurii.

Se consideră coeficientul parțial de transmitere a căldurii de la aburul care condensează către peretele tamburului $\alpha = 9280 \text{ W/m}^2 \cdot \text{K}$. Coeficientul de conductivitate termică a fontei este $\lambda_f = 46,4 \text{ W/m} \cdot \text{K}$, iar coeficientul de conductibilitate termică mediu pentru materialul care se usucă $\lambda_{mat} = 0,8 \text{ W/m} \cdot \text{K}$.

Coeficientul parțial echivalent de transmitere a căldurii la evaporarea umidității se stabilește din următoarea ecuație :

$$\alpha_{evap} = \frac{q_{evap}}{\Delta t} = \frac{G \cdot r}{\theta_{mat} - t_{aer}}$$

în care r este căldura latentă de vaporizare, J/kg.

Dacă umiditatea evaporată G (în $\text{kg/m}^2 \cdot \text{h}$) se calculează cu ecuația (10-25)

$$G = 0,04075 \cdot w^{0,8} \cdot \Delta p$$

atunci coeficientul parțial de transfer de căldură α_{evap} (în $\text{W/m}^2 \cdot \text{K}$) poate fi calculat din ecuația :

$$\alpha_{evap} = \frac{0,04075 w^{0,8} \cdot \Delta p \cdot r}{\Delta t \cdot 3600}$$

Se admite (cu o verificare ulterioară) că temperatura suprafeței exterioare a materialului este $\theta_{mat} = 80^\circ\text{C}$ (temperatura admisibilă pentru carbonat de nichel este de maximum 85°C). Presiunea vaporilor de apă saturați la 80°C este $p_{sat} = 355 \text{ mm Hg}$; presiunea parțială a vaporilor de apă în aer la $t = 40^\circ\text{C}$ și $\varphi = 0,4$ este $p_v = 22,4 \text{ mm Hg}$. Căldura latentă de vaporizare a apei la presiunea atmosferică este $r = 2264 \cdot 10^3 \text{ J/kg}$.

Deci, coeficientul parțial echivalent la evaporare este :

$$\alpha_{evap} = \frac{0,04075 \cdot 1,5^{0,8} (355 - 22,4) 2264 \cdot 10^3}{(80 - 40) \cdot 3600} = 294 \frac{\text{W}}{\text{m}^2 \cdot \text{K}}$$

Coeficientul total de transmitere a căldurii de la aburul care se condensează la aer este :

$$K = \frac{1}{\frac{1}{9280} + \frac{0,01}{46,4} + \frac{0,001}{0,8} + \frac{1}{294}} = 203 \frac{\text{W}}{\text{m}^2 \cdot \text{K}}$$

Încărcarea termică specifică a suprafeței de încălzire este :

$$q = K(t_{vap} - t_{aer}) = 203(100 - 40) = 12180 \text{ W/m}^2$$

Se verifică temperatura materialului θ_{mat} , admisă anterior, cu ecuație :

$$\Delta t = \frac{q}{\alpha_{evap}} = \frac{12180}{294} = 41,4^\circ\text{C} = 41,4 \text{ K}$$

Temperatura suprafeței materialului este

$$\theta_{mat} = t_{aer} + \Delta t = 40 + 41,4 = 81,4^\circ\text{C}$$

ceea ce este foarte aproape de valoarea impusă

Debitul de apă, evaporat în uscător este :

$$W = G_i \frac{u_i - u_f}{100 - u_f} = 90 \frac{75 - 10}{100 - 10} = 65 \text{ kg/h}$$

Consumul de căldură pentru încălzirea materialului și pentru evaporarea umidității este :

$$Q = \frac{90 \cdot 3,46 \cdot 10^3 (81,4 - 15) + 65 \cdot 2 \cdot 264 \cdot 10^3}{3 \cdot 600} = 46 \, 500 \text{ W}$$

Suprafața de încălzire necesară uscătorului cu valțuri este :

$$A = \frac{Q}{q} = \frac{46 \, 500}{12 \, 180 \cdot 0,75} = 5,38 \text{ m}^2$$

unde 0,75 — coeficient care indică suprafața efectivă de contact dintre material și suprafața de încălzire a valțurilor.

După norme, uscătorul cu două valțuri cel mai apropiat are $A = 5,2 \text{ m}^2$ (diametrul valțurilor 600 mm, lungimea 1 400 mm). Se va alege acest uscător deși suprafața de încălzire este mai mică decât cea necesară, rezultată din calcul. Pentru a realiza capacitatea cerută trebuie să se mărească puțin presiunea aburului de încălzire, ceea ce este ușor de realizat în practică.

La determinarea consumului de abur trebuie avut în vedere și pierderile de căldură ale uscătorului.

11. RĂCIRE MODERATĂ ȘI ÎNAINȚATĂ

11.1. LEGILE DE BAZĂ ȘI FORMULE DE CALCUL

1. Pentru ciclul de răcire (reversibil) Carnot 1-2-3-4, compus din două procese izoterme și două procese izentropice (fig. 11-1), coeficientul frigorific este :

$$\epsilon_c = \frac{Q_0}{L} = \frac{Q_0}{L_c - L_a} = \frac{Q_0}{Q - Q_0} = \frac{T_0}{T - T_0} \quad (11-1)$$

unde : Q_0 este cantitatea de căldură preluată de agentul frigorific (mediul de lucru) de la produsul care se răcește la temperatura T_0 , W ;

Q — cantitatea de căldură cedată de agentul frigorific (mediul de lucru) apei la temperatura T , W ;

L_c — puterea consumată de compresor la comprimarea izentropică a vaporilor de agent frigorific, W ;

L_a — puterea obținută la destinderea izentropică a agentului frigorific în detentor ;

$L = L_c - L_a = Q - Q_0$ — puterea teoretică consumată în ciclu, W.

După cum rezultă din formula ((11-1), ϵ_c teoretic depinde numai de valorile temperaturilor T și T_0 și nu depinde de natura agentului de răcire.

2. Pentru ciclul real umed al unei mașini frigorifice cu compresor cu vapori 1-2-3-4' (fig. 11-2) coeficientul frigorific este :

$$\epsilon = \frac{Q_0}{L} = \frac{Q_0}{Q - Q_0} = \frac{H_1 - H'_4}{H_2 - H_1} = \frac{H_1 - H_2}{H_2 - H_1} \quad (11-2)$$

unde : L este puterea consumată de compresor la comprimarea vaporilor agentului de răcire, W ;

H_1, H_2, H_3, H_4 — entalpia agentului de răcire în punctele corespunzătoare ale ciclului (fig. 11-2), J/kg.

Celelalte notații au aceeași semnificație ca și în formula 11-1.

3. Pentru ciclul uscat a unei instalații frigorifice cu comprimarea vaporilor într-o singură treaptă (fig. 11-3) rezultă :

a) fără subrăcirea agentului frigorific lichid (procesul 1-2-3-4-4') :

$$\epsilon = \frac{Q_0}{L} = \frac{H_1 - H'_4}{H_2 - H_1} = \frac{H_1 - H_4}{H_2 - H_1} \quad (11-3)$$

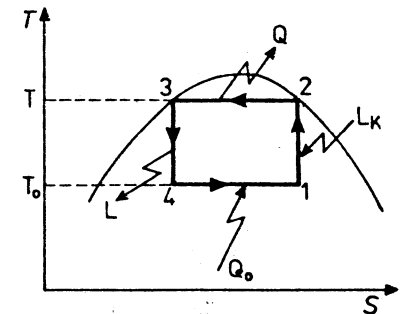


Fig. 11-1. Ciclul de răcire Carnot.

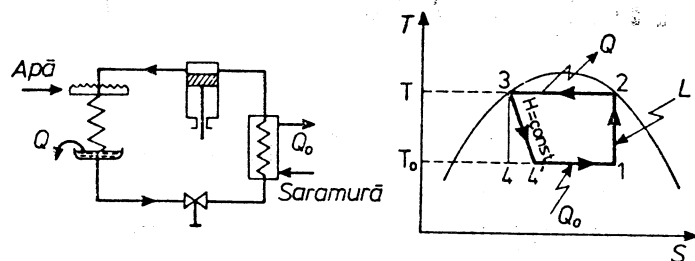


Fig. 11-2. Ciclu umed.

b) cu subrăcirea agentului frigorific lichid (procesul 1-2-3-4-5-6):

$$\epsilon = \frac{Q_0}{L} = \frac{H_1 - H_5}{H_2 - H_1} = \frac{H_1 - H_5}{H_2 - H_1} \quad (11-4)$$

În ultima formulă:

- ϵ — coeficientul frigorific;
- $Q_0 = G(H_1 - H_5)$ — capacitatea frigorifică a instalației, W;
- $L = Q - Q_0 = G(H_2 - H_1)$ — puterea teoretică consumată de compresor, W;
- $Q = G(H_2 - H_5)$ — cantitatea de căldură cedată de agentul frigorific apei, în condensator (inclusiv subrăcirea agentului frigorific lichid), W;
- G — cantitatea de agent frigorific dintr-un ciclu, kg/s;
- H_1, H_2, \dots — entalpiile agentului frigorific în punctele corespunzătoare ale ciclului, J/kg.

În figura 11-4 este reprezentat în coordonate p - H ciclul uscat al unei instalații frigorifice cu comprimare într-o treaptă.

4. Puterea reală N (kW), consumată de instalația de răcire cu comprimare este:

$$N = \frac{L}{1000 \eta_t} \quad (11-5)$$

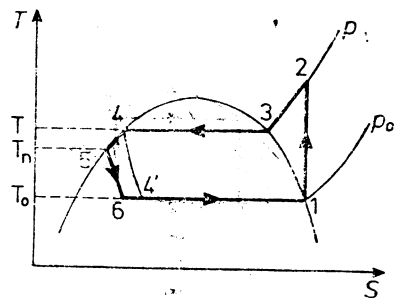
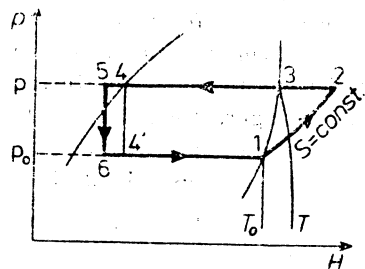


Fig. 11-3. Ciclu uscat.

Fig. 11-4. Ciclu uscat în coordonate p - H .

unde: η este randamentul total egal cu:

$$\eta = \eta_t \cdot \eta_{mec} \cdot \eta_i \cdot \eta_m \quad (11-6)$$

- η_t — randamentul indicat al compresorului care ține seama de diferența dintre procesul real de funcționare și cel teoretic (izentropic); mărimea η_t depinde de gradul de comprimare al agentului frigorific, adică de raportul dintre presiunea de condensare p și presiunea de vaporizare p_0 ; valorile în figura 11-5;
- η_{mec} — randamentul mecanic al compresorului, care ține seama de pierderile provocate prin frecare;
- η_i — randamentul sistemului de transmisie;
- η_m — randamentul motorului compresorului.

În calcule aproximative se admit de obicei:

$$\eta_{mec} = 0,8 - 0,9, \quad \eta_m = \eta_i = 0,95$$

5. Capacitatea frigorifică a compresorului Q_0 (W) este:

$$Q_0 = \lambda V_g \cdot q_v \quad (11-7)$$

unde: λ este coeficientul de debit al compresorului, adică raportul dintre volumul real de vapori aspirați într-o secundă de compresor și volumul geometric V_g (m^3/s) descris de piston; pentru compresoarele cu amoniac se pot folosi valorile coeficienților de debit λ indicate în figura 11-5, în funcție de raportul dintre presiunea în condensator p și presiunea din evaporator p_0 ;

q_v — capacitatea frigorifică volumetrică (J/m^3) a agentului frigorific, egală cu:

$$q_v = \rho_t (H_1 - H_5) \quad (11-8)$$

- H_1 și H_5 — entalpiile agentului frigorific la ieșirea și intrarea în evaporator (vezi fig. 11-3) sau 11-4), J/kg;
- ρ_t — densitatea vaporilor aspirați de compresor, $\frac{kg}{m^3}$.

6. La recalcularea capacității frigorifice Q_0 a compresorului pentru alte condiții la număr de rotații constant (Q_0) se utilizează formula:

$$\frac{Q_0}{Q'_0} = \frac{q_v \cdot \lambda}{q'_v \cdot \lambda'} \quad (11-9)$$

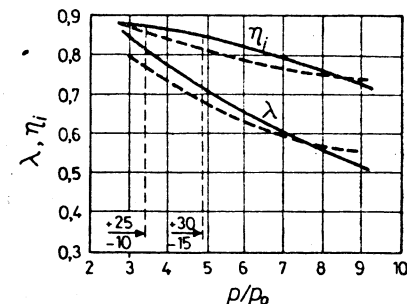


Fig. 11-5. Valoarea coeficienților η_t și λ pentru compresoare cu amoniac, verticale în echicurent (—) și pentru compresoare cu amoniac orizontale cu dublu efect (-----).

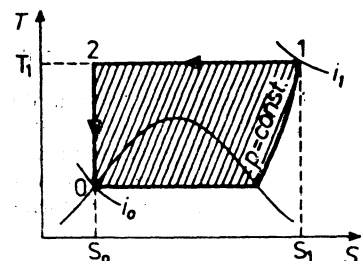


Fig. 11-6. Procesul ideal de lichefiere a gazului.

Se consideră condiții normale de funcționare a unei instalații frigorifice cu comprimare într-o singură treaptă următoarele: temperatura de evaporare -10°C , temperatura de condensare $+25^{\circ}\text{C}$, temperatura de subrăcire a agentului frigorific lichid $+15^{\circ}\text{C}$.

7. *Lucrul mecanic minim necesar* pentru lichefierea a 1 kg gaz în procesul ideal de lichefiere (fig. 11-6) este:

$$L_{\min} = T_1(S_1 - S_0) - (H_1 - H_0) \quad (11-10)$$

unde: T_1 , S_1 , H_1 sint temperatura, entropia și entalpia gazului în starea inițială (punctul 1);

S_0 și H_0 — entropia și entalpia lichidului (punctul 0).

Deși procesul ideal de lichefiere nu este realizabil practic, totuși L_{\min} are importanță ca termen de comparație pentru ciclurile reale.

8. *Lichefierea aerului cu destindere fără cedare de lucru mecanic exterior* — prin laminare (ciclul Linde).

a. Ciclul regenerativ simplu — vezi figura 11-10.

Capacitatea frigorifică a ciclului q (J/kg) este:

$$q = H_1 - H_3 \quad (11-11)$$

unde: H_1 , H_3 sint entalpiile aerului destins și comprimat la temperatura de intrare în schimbătorul de căldură, J/kg.

Fracția de aer lichefiat este:

$$y = \frac{q - q_{\text{pierd}}}{H_1 - H_0} = \frac{(H_1 - H_3) - q_{\text{pierd}}}{H_1 - H_0}$$

unde: H_0 este entalpia aerului lichid (la presiunea aerului destins), J/kg;

q_{pierd} — pierderile totale de frig raportate la 1 kg de aer prelucrat.

b. Ciclul cu răcire preliminară (cu amoniac).

Capacitatea frigorifică a ciclului q' (J/kg) este:

$$q' = H'_1 - H'_3 \quad (11-13)$$

unde: H'_1 și H'_3 sint entalpiile aerului destins și comprimat la temperatura de intrare în schimbătorul de căldură principal după răcitorul de amoniac, J/kg.

Fracția de aer lichefiat este:

$$y = \frac{q' - q_{\text{pierd}}}{H'_1 - H_0} = \frac{(H'_1 - H'_3) - q_{\text{pierd}}}{H'_1 - H_0} \quad (11-14)$$

Cantitatea de căldură q_a (J/kg) transmisă în schimbătorul de căldură cu amoniac (raportată la 1 kg aer comprimat) este:

$$q_a = q' - q + y(H_1 - H'_1) \quad (11-15)$$

unde: q' este capacitatea frigorifică specifică a ciclului [formula (11-13)];

q — capacitatea frigorifică specifică a ciclului în cazul cînd lipsește răcirea preliminară cu amoniac [formula (11-11)];

H_1 și H'_1 — vezi formulele (11-11) și (11-13).

c. Ciclul cu circulația aerului sub presiune — vezi pag. 470.

Capacitatea frigorifică specifică a ciclului q (J/kg) este:

$$q = (H_2 - H_3) + M(H_1 - H_2) \quad (11-16)$$

unde: H_1 , H_2 , H_3 sint entalpiile aerului destins, aerului comprimat la presiunea medie și aerului comprimat la presiune înaltă care corespunde temperaturii de intrare în schimbătorul de căldură principal, J/kg.

M — fracția de aer destins la presiunea joasă (de obicei 0,2–0,4).

Fracția de aer lichefiat este:

$$y = \frac{(H_2 - H_3) + M(H_1 - H_2) - q_{\text{pierd}}}{H_1 - H_0} \quad (11-17)$$

Notațiile sint aceleași ca și în formula (11-12).

9. *Lichefierea aerului cu destinderea lui și cedarea de lucru în exterior în detentor.*

a. Ciclul de presiune medie — vezi figura 11-12.

Capacitatea frigorifică a ciclului q (J/kg) este:

$$q = (H_1 - H_2) + M(H_3 - H_4) \quad (11-18)$$

unde: H_1 , H_2 sint entalpiile aerului destins și comprimat la temperatura de intrare în schimbătorul de căldură principal, J/kg;

H_3 , H_4 — entalpia aerului comprimat la intrarea și ieșirea din detentor, J/kg;

M — fracția aerului, intrată în detentor (de obicei se ia $M = 0,8$).

Pentru aerul care se destinde în detentor se admite de obicei în acest ciclu:

$$H_3 - H_4 = 0,65 \cdot \Delta H_{iz} = 0,65(H_3 - H_5)$$

unde: ΔH_{iz} este variația entalpiei aerului în procesul izentropic;

H_5 — entalpia aerului la presiunea după detentor și la aceeași entropie ca și H_3 , J/kg.

Fracția aerului lichefiat este:

$$y = \frac{(H_1 - H_2) + M(H_3 - H_4) - q_{\text{pierd}}}{H_1 - H_0} \quad (11-19)$$

Notațiile sint aceleași ca și în formula (11-18).

b. Ciclul de presiune înaltă (ciclul Heilandt) — vezi figura 11-13.

Capacitatea frigorifică specifică a ciclului q (J/kg) este :

$$q = (H_1 - H_3) + M(H_3 - H_4) \quad (11-20)$$

unde : H_1, H_3 sînt entalpiile aerului destins și comprimat la temperatura de intrare în schimbătorul principal și în detentor, J/kg ;

H_4 — entalpia aerului la ieșirea din detentor, J/kg ;

M — fracția aerului intrată în detentor (de obicei se admite $M = 0,45 \dots 0,5$).

În acest ciclu pentru aerul destins în detentor se poate considera :

$$H_3 - H_4 = 0,75 \cdot \Delta H_{iz} = 0,75(H_3 - H_5)$$

Fracția aerului lichefiat este :

$$y = \frac{(H_1 - H_3) + M(H_3 - H_4) - q_{pierd}}{H_1 - H_6} \quad (11-21)$$

c. Ciclul de presiune joasă cu turbodetentor (Kapița) — vezi figura 11-14.

Fracția aerului lichefiat este :

$$y = \frac{(H_1 - H_2) + (1 - ay)(H_3 - H_4) - q_{pierd}}{H_1 - H_6} \quad (11-22)$$

unde : H_1, H_2 sînt entalpiile aerului destins și comprimat la temperatura de intrare în schimbătorul principal, J/kg ;

H_3, H_4 — entalpiile aerului comprimat înainte și după detentor, J/kg ;

a — coeficient care ține seama de evaporare în timpul laminării lichidului de la presiunea de condensare pînă la presiunea atmosferică (la presiunea de condensare $p_{abs} = 5,89 \cdot 10^5$ Pa = 6 ata ; $a = 1,25$).

Pentru aerul care se destinde în turbodetentor se poate admite :

$$H_3 - H_4 = 0,8 \cdot \Delta H_{iz} = 0,8(H_3 - H_5) \quad (11-23)$$

unde : H_5 este entalpia aerului la presiunea după detentor și la aceeași entropie ca și H_3 , J/kg.

d. Pierderile de frig q_{pierd} se compun din doi termeni :

$$q_{pierd} = q_{m,t} + q_{aer} \quad (11-24)$$

Pierderile de frig nerecuperabile (J/kg) sînt :

$$q_{aer} = c_p \cdot t \quad (11-25)$$

unde : c_p este căldura specifică a aerului la temperatura de ieșire din schimbătorul de căldură, J/kg·K ;

Δt — diferența de temperatură între aerul comprimat care intră în schimbătorul de căldură și aerul destins care iese din schimbătorul de căldură, K.

Pierderile de frig în mediul înconjurător (prin izolație), $q_{m,t}$ reprezintă de obicei 4—12 kJ la 1 m³ (în condiții normale) de aer prelucrat.

11.2. EXEMPLE

Exemplul 11-1. Să se determine coeficientul frigorigic a unei instalații de răcire cu comprimare care funcționează după ciclul Carnot, dacă temperatura în vaporizator este -23°C iar în condensator 27°C .

Rezolvare. Folosind formula (11-1) se obține :

$$\epsilon_c = \frac{T_0}{T - T_0} = \frac{273 - 23}{(273 + 27) - (273 - 23)} = 5$$

Exemplul 11-2. Să se calculeze puterea teoretică consumată de o instalație frigorifică care lucrează după ciclul ideal al lui Carnot și care îndepărtează într-o secundă 17 400 J la -19°C (temperatura de vaporizare). Temperatura de condensare este 15°C .

Rezolvare. Coeficientul frigorigic are valoarea :

$$\epsilon_c = \frac{T_0}{T - T_0} = \frac{254}{268 - 254} = 7,5$$

Puterea teoretică consumată este :

$$N = \frac{L}{1000} = \frac{Q_0}{\epsilon_c \cdot 10^3} = \frac{17\,400}{7,5 \cdot 10^3} = 2,32 \text{ kW}$$

Exemplul 11-3. Să se calculeze puterea teoretică minimă a compresorului de amoniac al unei instalații frigorifice (după ciclul Carnot) și consumul de apă în condensator dacă se fabrică 500 kg/h gheață din apă, la 0°C . Amoniacul fierbe la -7°C și se condensează la 20°C . Apa din condensator se încălzește de la 10 pînă la 15°C .

Rezolvare. Căldura degajată la solidificarea apei este :

$$Q_0 = \frac{500 \cdot 339,1 \cdot 10^3}{3\,600} = 47\,100 \text{ W}$$

în care $339,1 \cdot 10^3$ J/kg este căldura de solidificare a apei.

Lucrul mecanic al compresorului (exclusiv lucrul efectuat prin destindere izentropică) este :

$$L = \frac{Q_0}{\epsilon_c} = \frac{T - T_0}{T_0} Q_0 = \frac{293 - 266}{266} 47\,100 = 4\,780 \text{ W}$$

Căldura preluată de apă în condensator este :

$$Q = Q_0 + L = 47\,100 + 4\,780 = 51\,880 \text{ W} = 51,9 \text{ kW}$$

Debitul de apă este :

$$\frac{51\,880}{(15 - 10) \cdot 4,187 \cdot 10^3} = 2,378 \text{ kg/s}$$

Exemplul 11-4. Să se determine capacitatea frigorifică a agentului de răcire, coeficientul frigorigic, cantitatea de căldură primită în condensator, cantitatea de agent frigorigic în circulație și puterea teoretică consumată de

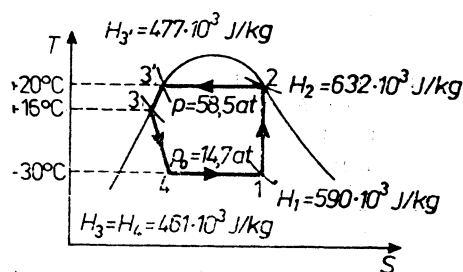


Fig. 11-7. Schița la exemplul 11-4.

o mașină frigorifică cu bioxid de carbon, care funcționează după ciclul umed, dacă temperatura de vaporizare este -30°C , temperatura de condensare 20°C , temperatura de subrăcire 16°C . Capacitatea de răcire a instalației trebuie să fie $58\,150\text{ W}$.

În figura 11-7 este prezentat ciclul mașini în coordonate $T-S$. Valorile entalpiilor au fost determinate cu ajutorul diagramei $T-S$

pentru bioxid de carbon (v. fig. XXVII). Linia 1-2 reprezintă comprimarea în compresor, linia 2-3' condensarea, linia 3'-3 subrăcirea agentului frigorific lichid, linia 3-4 destinderea, linia 4-1 vaporizarea.

Rezolvare. Capacitatea frigorifică specifică a agentului frigorific este :

$$q_0 = H_1 - H_4 = (590 - 461)10^3 = 129 \cdot 10^3 \text{ J/kg}$$

Coeficientul frigorific este :

$$\epsilon = \frac{Q_0}{L} = \frac{H_1 - H_4}{H_2 - H_1} = \frac{(590 - 461) \cdot 10^3}{(632 - 590) \cdot 10^3} = 3,1$$

Cantitatea de căldură cedată în condensator, raportată la 1 kg de bioxid de carbon în circulație este :

$$q = H_2 - H_3 = (632 - 461) \cdot 10^3 = 171 \cdot 10^3 \text{ J/kg}$$

Cantitatea de agent frigorific în circulație este :

$$G = \frac{Q_0}{q_0} = \frac{58\,150}{129 \cdot 10^3} = 0,440 \text{ kg/s}$$

Cantitatea de căldură cedată în condensator este :

$$Q = 171 \cdot 10^3 \cdot 0,448 = 76,9 \text{ kW}$$

Puterea teoretică necesară este :

$$N_t = G(H_2 - H_1) = 0,448(632 - 590) \cdot 10^3 = 0,448 \cdot 42 \cdot 10^3 =$$

$$18,7 \cdot 10^3 \text{ W} = 18,7 \text{ kW}$$

Exemplul 11-5. Să se determine coeficientul de debit al unui compresor de amoniac cu simplu efect, avînd cursa pistonului de $0,32\text{ m}$, diametrul cilindrului $0,25\text{ m}$ și turația 180 rot/min . Compresorul lucrează cu vapori ușați fără subrăcire. Temperatura de vaporizare este -10°C , temperatura de condensare 30°C , capacitatea frigorifică $93\,000\text{ W}$.

Rezolvare. Capacitatea frigorifică specifică a amoniacului este :

$$q_0 = H_1 - H_4 = (1\,430 - 327) \cdot 10^3 = 1\,106 \cdot 10^3 \text{ J/kg}$$

Conținutul caloric a fost determinat cu ajutorul diagramei $T-S$ pentru amoniac (v. fig. XXVI).

Capacitatea frigorifică volumetrică a amoniacului este :

$$q_v = q_0 \cdot \rho_1 = 1\,106 \cdot 2,39 \cdot 10^3 = 2\,640 \cdot 10^3 \text{ J/m}^3$$

în care $\rho_1 = 2,39\text{ kg/m}^3$ este densitatea vaporilor aspirați de compresor (v. tabela XLVIII).

Volumul descris de piston este :

$$V_p = \frac{\pi \cdot D^2}{4} s \frac{n}{60} = \frac{3,14 \cdot 0,25^2}{4} 0,32 \frac{180}{60} = 0,047 \text{ m}^3/\text{s}$$

Coeficientul de debit se calculează cu formula (11-7) :

$$\lambda = \frac{Q_0}{V_p \cdot q_v} = \frac{93\,000}{0,047 \cdot 2\,640 \cdot 10^3} = 0,745$$

Exemplul 11-6. Un compresor de amoniac marca 3-AV (vertical) are o capacitatea frigorifică $Q_0 = 174\,000\text{ W}$ în condiții normale. Care va fi capacitatea frigorifică a acestui compresor dacă va lucra la o temperatură de vaporizare de -25°C , temperatura de condensare fiind 30°C , iar cea de subrăcire 25°C ?

Rezolvare. Pentru determinarea capacității frigorifice în condițiile de lucru se utilizează formula (11-9) :

$$Q'_0 = Q_0 \frac{q'_0 \lambda'}{q_0 \lambda}$$

După cum se vede din formulă, pentru recalcularea capacității frigorifice a compresorului, trebuie să se determine q'_0 , λ' , q_v și λ .

Pornind de la determinarea condițiilor normale de lucru ($t_{ev} = -10^{\circ}\text{C}$, $t_{cond} = 25^{\circ}\text{C}$, $t_{subr} = 15^{\circ}\text{C}$), cu ajutorul diagramei $T-S$ (v. fig. XXVI) și a tabelului XLVIII, se găsește :

$$q_v = q_0 \cdot \rho = (H_1 - H_4) \cdot \rho = (1\,430 - 251) \cdot 10^3 \cdot 2,39 = 2\,830 \cdot 10^3 \text{ J/m}^3$$

În mod analog se găsește q'_v :

$$q'_v = (H'_1 - H'_4) \cdot \rho' = (1\,410 - 299) \cdot 10^3 \cdot 1,297 = 1\,440 \cdot 10^3 \text{ J/m}^3$$

Pentru determinarea lui λ se găsește raportul dintre presiunea de condensare și presiunea de vaporizare în condiții normale, adică raportul dintre presiunea p , corespunzătoare temperaturii de condensare de 25°C și presiunea p_0 , corespunzătoare temperaturii de vaporizare la -10°C (v. tabela XLVIII) :

$$\frac{p}{p_0} = \frac{1\,004}{281} = 3,45$$

Pentru acest raport al presiunilor, $\lambda = 0,82$ (v. fig. 11-5).

În mod analog, se determină λ' , pornind de la condițiile de lucru date. Se calculează raportul dintre presiunea p , corespunzând temperaturii de condensare de 30°C , și presiunea p_0 , corespunzând temperaturii de vaporizare de -25°C :

$$\frac{p}{p_0} = \frac{1\,167}{152} = 7,7$$

Pentru acest raport al presiunilor, $\lambda' = 0,57$ (v. fig. 11-5).

Capacitatea frigorifică a compresorului în condițiile de lucru este:

$$Q'_0 = Q_0 \frac{q'_0 \lambda'}{q_r \lambda} = 174\,000 \frac{1\,440 \cdot 10^3 \cdot 0,57}{2\,830 \cdot 10^3 \cdot 0,82} = 62\,000 \text{ W} = 62 \text{ kW}$$

Exemplul 11-7. Să se determine dimensiunile cilindrului și puterea consumată de un compresor orizontal cu o singură treaptă și cu simplu efect, care lucrează cu amoniac gazos după ciclul uscat. Capacitatea frigorifică necesară este $290\,000 \text{ W}$ la temperatura de vaporizare de -20°C . Temperatura de condensare este 25°C , temperatura de subrăcire 20°C . Să se determine de asemenea, coeficientul frigorific al instalației.

În figura 11-8 este arătat ciclul în coordonate $T-S$ corespunzător condițiilor date. Linia 1-2 reprezintă comprimarea în compresor, linia 2-3' răcirea vaporilor supraîncălziți și condensarea, linia 3'-3 subrăcirea lichidului, linia 3-4 destinderea, linia 4-1 vaporizarea.

Rezolvare. Valorile entalpiei amoniacului în diverse puncte ale ciclului se găsesc pe diagrama $T-S$ (v. fig. XXVI).

Capacitatea frigorifică specifică a amoniacului este:

$$q_0 = H_1 - H_4 = (1\,420 - 276) \cdot 10^3 = 1\,144 \cdot 10^3 \text{ J/kg}$$

Cantitatea de amoniac care circulă este:

$$G = \frac{Q_0}{q_0} = \frac{290\,000}{1\,144 \cdot 10^3} = 0,254 \text{ kg/s}$$

Capacitatea frigorifică volumetrică a amoniacului este:

$$q_v = q_0 \rho_1 = 1\,140 \cdot 10^3 \cdot 1,6 = 1\,830 \cdot 10^3 \text{ J/m}^3$$

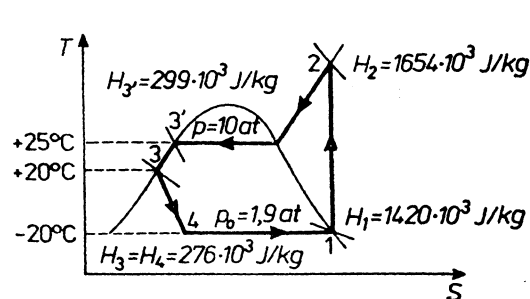


Fig. 11-8. Schița la exemplul 11-7.

în care $\rho_1 = 1,6 \text{ kg/m}^3$ este densitatea vaporilor aspirați de compresor (v. tabela XLVIII).

Volumul deservit de piston e secundă este:

$$V_v = \frac{Q_0}{q_v \lambda} = \frac{290\,000}{1\,830 \cdot 10^3 \cdot 0,7} = 0,227 \text{ m}^3/\text{s}$$

$$\text{Raportul } \frac{p}{p_0} = \frac{10}{1,9} = 5,3$$

Din figura 11-5 se găsește valoarea $\lambda = 0,7$.

Dacă se consideră turația $n = 210 \text{ rot/min}$, volumul cilindrului este:

$$V = \frac{0,227 \cdot 60}{210} = 0,065 \text{ m}^3$$

De obicei, raportul dintre cursa pistonului s și diametrul D este $\frac{s}{D} = 1,1 \div 1,3$. Se consideră acest raport egal cu 1,2. Atunci:

$$0,065 = \frac{\pi D^2}{4} \cdot 1,2 D$$

de unde:

$$D = 0,41 \text{ m} = 410 \text{ mm}$$

$$s = 410 \cdot 1,2 = 490 \text{ mm}$$

Puterea teoretică a compresorului este:

$$N_t = G(H_2 - H_1) \cdot 0,254(1\,654 - 1\,420) \cdot 10^3 = 59,5 \cdot 10^3 \text{ W} = 59,5 \text{ kW}$$

Puterea consumată efectiv este:

$$N = \frac{N_t}{\eta} = \frac{59,5}{0,643} = 92,5 \text{ kW}$$

Aici η este randamentul total, dat de formula 11-6:

$$\eta = \eta_t \cdot \eta_{mec} \cdot \eta_s \cdot \eta_m$$

Valoarea randamentului indicat η_t la $\frac{p}{p_0} = 5,3$ se determină din figura 11-5. Pentru acest raport al presiunilor $\eta_t = 0,84$.

Se admite:

$$\eta_{mec} = 0,85; \quad \eta_s = 0,95; \quad \eta_m = 0,95$$

Atunci:

$$\eta = 0,84 \cdot 0,85 \cdot 0,95 \cdot 0,95 = 0,643$$

Coeficientul frigorific este:

$$\varepsilon = \frac{q_0}{H_2 - H_1} = \frac{1\,144 \cdot 10^3}{(1\,654 - 1\,420) \cdot 10^3} = 4,88$$

Exemplul 11-8. Să se determine, pornind de la condițiile exemplului precedent, cantitatea de apă introdusă în condensator și suprafața de transmitere a căldurii a condensatorului (inclusiv subrăcirea amoniacului lichid), dacă temperatura inițială a apei este 15°C , cea finală 21°C , coeficientul total

de transmitere a căldurii pentru zona de condensare (cuprinzând răcirea vaporilor supraîncălziți) $K' = 2330 \text{ W/m}^2 \cdot \text{K}$, iar pentru zona de subrăcire a amoniacului lichid $K'' = 465 \text{ W/m}^2 \cdot \text{K}$.

Rezolvare. Cantitatea totală de căldură transmisă în condensator se determină cu formula :

$$Q = G(H_2 - H_3) = 0,254(1654 - 276) \cdot 10^3 = 350 \cdot 10^3 \text{ W} = 350 \text{ kW}$$

Cantitatea de căldură transmisă în zona de răcire a vaporilor supraîncălziți și în zona de condensare este :

$$Q' = G(H_2 - H_3) = 0,254(1654 - 299) \cdot 10^3 = 344 \cdot 10^3 \text{ W} = 344 \text{ kW}$$

Cantitatea de căldură transmisă în zona de subrăcire a amoniacului lichid este :

$$Q'' = (350 - 344) \cdot 10^3 = 6 \cdot 10^3 \text{ W} = 6 \text{ kW}$$

Cantitatea de apă introdusă în condensator este :

$$G_{\text{apă}} = \frac{Q}{(t_{\text{fin}} - t_{\text{in}}) \cdot c_a} = \frac{350 \cdot 10^3}{(21 - 15) \cdot 4,19 \cdot 10^3} = 13,9 \text{ kg/s}$$

Temperatura apei după zona de subrăcire a amoniacului lichid este :

$$t = 15 + \frac{6 \cdot 10^3}{13,9 \cdot 4,19 \cdot 10^3} = 15,1^\circ \text{C}$$

Diferența medie de temperatură în zona de condensare, fără a considera temperatura de supraîncălzire a amoniacului (fig. 11-9) este :

$$\Delta t'_m = \frac{(25 - 15,1) - (25 - 21)}{2,3 \lg \frac{25 - 15,1}{25 - 21}} = 6,5^\circ \text{C} = 6,5 \text{ K}$$

Diferența medie de temperatură în zona de subrăcire a amoniacului lichid este :

$$\Delta t''_m = \frac{(25 - 15,1) + (20 - 15)}{2} = 7,4^\circ \text{C} = 7,4 \text{ K}$$

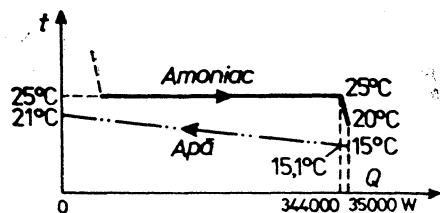


Fig. 11-9. Schița la exemplul 11-8.

Suprafața de transmitere a căldurii în zona de condensare este :

$$F' = \frac{Q'}{K' \Delta t'_m} = \frac{344 \cdot 10^3}{2330 \cdot 6,5} = 22,8 \text{ m}^2$$

Suprafața de transmitere a căldurii în zona de subrăcire este :

$$F'' = \frac{Q''}{K'' \Delta t''_m} = \frac{6 \cdot 10^3}{465 \cdot 7,4} = 1,68 \text{ m}^2$$

Suprafața totală a condensatorului este :

$$F = F' + F'' = 22,8 + 1,68 = 24,5 \text{ m}^2$$

Încărcarea calorică specifică (căldura cedată într-o secundă de 1 m^2 suprafață de transmitere a căldurii) este :

$$q_F = \frac{350 \cdot 10^3}{24,5} = 14,3 \cdot 10^3 \text{ W/m}^2$$

Exemplul 11-9. Aerul conține 5,8% vol. vaporii de tetraclorură de carbon. Dacă se răcește acest amestec gazos la presiunea atmosferică (760 mm Hg), la ce temperatură începe condensarea tetraclorurii de carbon ? Să se determine de asemenea, până la ce presiune trebuie comprimat amestecul gazos, pentru ca la răcirea lui ulterioară la presiune constantă până la 30°C , să se condenseze 75% din tetraclorura de carbon conținută în aer.

Rezolvare. Condensarea tetraclorurii de carbon din amestecul gazos începe cînd presiunea ei parțială în amestec devine egală cu presiunea vaporilor saturați.

Presiunea parțială a tetraclorurii de carbon în amestecul gazos :

$$p = y \cdot P = 0,058 \cdot 760 = 44 \text{ mm Hg}$$

Din diagrama presiunii vaporilor saturați de tetraclorură de carbon, în funcție de temperatură (v. fig. XXIV) se găsește că presiunii de 44 mm Hg îi corespunde temperatura $\sim 8^\circ \text{C}$, la care începe condensarea tetraclorurii de carbon.

Se determină presiunea P , până la care trebuie comprimat amestecul gazos, pentru ca după răcire la 30°C să condenseze 75% din tetraclorura de carbon.

Din 5,8 moli tetraclorură de carbon conținuți în 100 moli amestec inițial, trebuie să rămînă în fază gazoasă după condensare $5,8 \cdot 0,25 = 1,45$ moli. Numărul total de moli în amestecul gazos după condensare este :

$$(100 - 5,8) + 1,45 = 95,65$$

Presiunea parțială a tetraclorurii de carbon în fază gazoasă deasupra lichidului este egală cu presiunea vaporilor saturați la 30°C și este de 145 mmHg (fig. XXIV).

Presiunea totală a amestecului P se găsește din proporția :

$$1,45 - 145$$

$$95,65 - P$$

de unde :

$$P = \frac{95,65 \cdot 145}{1,45} = 9565 \text{ mm Hg} = 13 \text{ at} = 1,275 \text{ MPa}$$

Exemplul 11-10. Să se determine din diagrama $T-S$ (v. fig. XXIX) procentul de aer lichid format după destinderea aerului comprimat de la 80 at și 140 K pînă la 1 at.

Rezolvare. Se găsește punctul de intersecție al izobarei de 80 at cu izoterma de 140 K și din aceasta, pe linia $H = \text{const.}$ se coboară pînă la intersecția cu izobara de 1 at. Luînd raportul porțiunii situate pe izobara de 1 at la dreapta punctului găsit, pînă la linia limită a vaporilor, față de întregul segment cuprins între linia lichidului și aceea a vaporilor la $p = 1$ at, se obține procentul de lichid în amestecul de vapori și lichid format, egal cu 33%.

Exemplul 11-11. Să se determine ce cantitate de căldură trebuie preluată pentru a lichefia la presiunea atmosferică 1 kg de aer și care este lucrul mecanic minim ce trebuie consumat pentru aceasta. Temperatura inițială a aerului este 290 K.

Rezolvare. Din diagrama $T - S$ pentru aer (v. fig. XXIX) se găsește că la $p = 1$ at :

$$H_0 - H_1 = 502 \cdot 10^3 - 92 \cdot 10^3 = 410 \cdot 10^3 \text{ J/kg}$$

Lucrul mecanic teoretic minim consumat pentru a lichefia 1 kg de aer se calculează cu formula (11-10) :

$$L_{min} = T_1(S_1 - S_0) - (H_1 - H_0) = 290(3,75 - 0) \cdot 10^3 - 410 \cdot 10^3 = 677 \cdot 10^3 \text{ J/kg}$$

Valorile pentru S_1 și S_0 se determină din diagrama $T - S$ pentru aer. Deci :

$$L_{min} = \frac{677}{3600} = 0,188 \text{ kWh/kg}$$

Exemplul 11-12. Să se determine cantitatea de aer lichid obținută pe oră și puterea consumată pentru aceasta, dacă se prelucerează 200 kg/h aer comprimat la 200 at. Instalația funcționează după ciclul regenerativ obișnuit Linde. Temperatura aerului înainte și după compresor (la intrarea în schimbător de căldură) este 25°C. Aerul se destinde la 1 at. Pierderile în mediul înconjurător se consideră $4,19 \cdot 10^3$ J la 1 Nm³ aer. Nerecuperarea 5°C.

Rezolvare. În figura 11-10 este dată schema de principiu a instalației și reprezentarea procesului în coordonate $T - S$. Pentru calcul se utilizează diagrama $T - S$ pentru aer (v. fig. XXIX).

Capacitatea frigorifică specifică a ciclului se determină cu formula (11-11) :

$$q = H_1 - H_3 = (510 - 474) \cdot 10^3 = 36 \cdot 10^3 \text{ J/kg}$$

Pierderile de frig raportate la 1 kg de aer prelucrat se determină cu formulele (11-24) și (11-25) :

a) pierderile prin nerecuperare* :

$$q_{ner} = c_p \cdot \Delta t = 1,01 \cdot 10^3 \cdot 5 = 5,05 \cdot 10^3 \text{ J/kg}$$

b) pierderile în mediul înconjurător :

$$q_{mt} = \frac{4,19 \cdot 10^3}{1,29} = 3,25 \cdot 10^3 \text{ J/kg}$$

* Aici nu se consideră micșorarea cantității de aer recirculat în cantitatea de aer lichefiat.

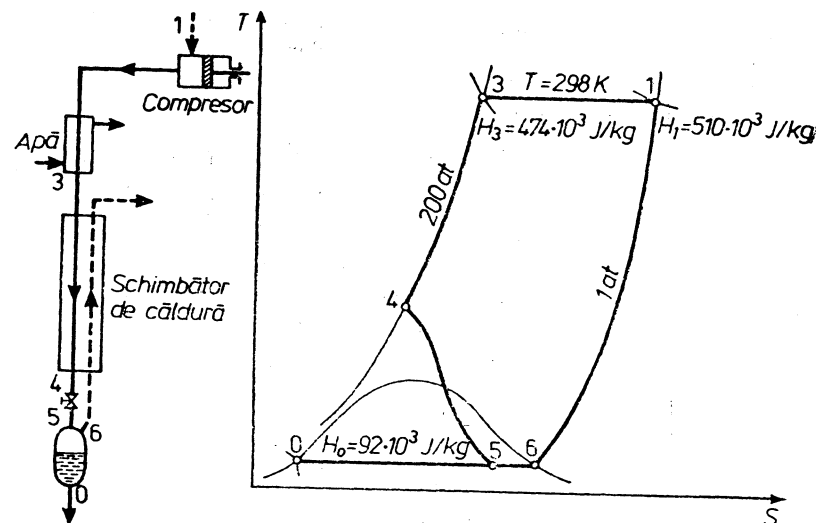


Fig. 11-10. Schița la exemplul 11-12.

Pierderile totale sînt :

$$q_{pterd} = (5,05 + 3,25) \cdot 10^3 = 8,3 \cdot 10^3 \text{ J/kg}$$

Fracția de aer lichefiat se determină cu formula (11-12) :

$$y = \frac{(H_1 - H_3) - q_{pterd}}{H_1 - H_0} = \frac{(36 - 8,3) \cdot 10^3}{(510 - 92,1) \cdot 10^3} = 0,067$$

Cantitatea de aer lichefiat este :

$$G_l = 200 \cdot 0,067 = 13,4 \text{ kg/h}$$

Puterea consumată la axul compresorului se determină cu formula (2-20) :

$$N = 1,69 G_s R T \ln \frac{p_2}{p_1} = 1,69 \frac{200}{3600} \cdot \frac{287}{1000} \cdot 298 \ln \frac{200}{1} = \frac{1,69}{18} \cdot 0,287 \cdot 298 \cdot 2,3 \lg 200 = 42,5 \text{ kW}$$

Consumul specific de energie pe 1 kg aer lichid este :

$$N_{sp} = \frac{42,5}{13,4} = 3,16 \text{ kWh/kg}$$

Exemplul 11-13. Să se determine cantitatea de aer prelucrat pentru a obține 50 kg/h aer lichid și puterea consumată pentru aceasta, dacă lichefierea se face după ciclul cu răcirea prealabilă a aerului pînă la -35°C (cu

ajutorul amoniacului). Presiunea de comprimare 200 at, destinderea 1 at. Temperatura inițială a aerului este 25°C. Pierderile totale de frig în mediul înconjurător și prin nerecuperare se consideră 8,8 kJ/kg.

Rezolvare. Pentru determinarea entalpiei se utilizează diagrama $T - S$ pentru aer (v. fig. XXIX).

Capacitatea frigorifică a ciclului se determină cu formula (11-13):

$$q' = H'_1 - H'_3 = (449 - 386) \cdot 10^3 = 63 \cdot 10^3 \text{ J/kg}$$

în care: H'_1 este entalpia aerului la $p = 1$ at și $t = -35^\circ\text{C}$;

H'_3 — entalpia aerului la $p = 200$ at și $t = -35^\circ\text{C}$.

Fracția de aer lichefiată se determină cu formula (11-14):

$$y = \frac{(H'_1 - H'_3) - q_{\text{pierd}}}{H'_1 - H'_0} = \frac{(63 - 8,8) \cdot 10^3}{(449 - 92) \cdot 10^3} = 0,153$$

Cantitatea de aer ce trebuie prelucrată pentru a obține 50 kg/h aer lichid este:

$$G = \frac{50}{0,153} = 327 \text{ kg/h}$$

Cantitatea de căldură transmisă în schimbătorul de căldură cu amoniac se determină cu formula (11-15):

$$q_a = q' - q + y(H_1 - H'_1) = 63 \cdot 10^3 - 36 \cdot 10^3 + 0,153(510 - 449) \cdot 10^3 = 36 \cdot 10^3 \text{ J/kg}$$

în care: $q = 36 \cdot 10^3 \text{ J/kg}$ și $H_1 = 510 \cdot 10^3 \text{ J/kg}$ (v. exemplul 11-12).

Se determină puterea la axul compresorului de aer:

$$N = 1,69 \cdot G_s \cdot R T \ln \frac{p_2}{p_1} = 1,69 \cdot \frac{327}{3600} \cdot 287 \cdot 298 \cdot 2,3 \lg 200 = 69,5 \cdot 10^3 \text{ W} = 69,5 \text{ kW}$$

Puterea necesară compresorului de amoniac este:

$$N_{am} = \frac{36 \cdot 327}{8540 \cdot 0,66} = 2,11 \text{ kW}$$

în care: 8540 kJ/kWh — capacitatea frigorifică specifică (teoretică) a instalației frigorifice cu amoniac la temperatura de vaporizare a amoniacului, egală cu -40°C * [11-4]; 0,66 — randamentul total al compresorului de amoniac.

Puterea totală consumată este:

$$N = 69,5 + 2,11 = 71,61 \text{ kW}$$

Consumul specific de energie la 1 kg aer lichid este:

$$N_{sp} = \frac{71,61}{50} = 1,43 \text{ kWh/kg}$$

* Temperatura de -40°C a fost luată considerind $\Delta t = 5 \text{ K}$ între temperatura aerului și a amoniacului.

Exemplul 11-14. Să se determine cantitatea de aer lichefiat și consumul specific de energie pentru a obține aer lichid după schema cu circulația aerului sub presiune. Presiunea înaltă a aerului este 200 at, iar cea medie 50 at. Temperatura aerului la intrarea în schimbătorul de căldură este 20°C . Procentul de aer destins pînă la presiunea joasă, $M = 0,3$. Pierderile de frig datorită nerecuperării și în mediul înconjurător reprezintă $10,5 \text{ kJ/Nm}^3$ aer de presiune înaltă care intră în instalație.

Rezolvare. În figura 11-11 este dată schema de principiu a unei instalații cu recircularea aerului de presiune înaltă și reprezentarea procesului în coordonate $T - S$.

Pentru determinarea conținutului caloric al aerului se utilizează diagrama $T - S$ pentru aer (v. fig. XXIX). Capacitatea frigorifică specifică a ciclului se determină cu formula (11-16):

$$q = (H_2 - H_3) + M(H_1 - H_2) = (494 - 467) \cdot 10^3 + 0,3(505 - 494) \cdot 10^3 = 30 \cdot 10^3 \text{ J/kg}$$

Fracția lichefiată y se determină cu ecuația (11-17):

$$y = \frac{(H_2 - H_3) + M(H_1 - H_2) - q_{\text{pierd}}}{H_1 - H_0} = \frac{30 \cdot 10^3 - \frac{10,5 \cdot 10^3}{1,29}}{(505 - 92) \cdot 10^3} = 0,053$$

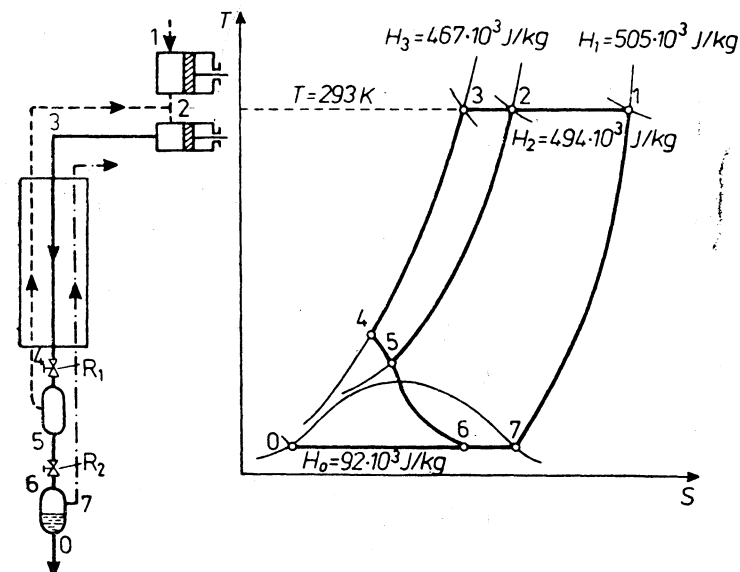


Fig. 11-11. Schița la exemplul 11-14.

Puterea la axul compresorului se determină cu formulele :

$$N' = 1,69 \frac{1}{3600} 287 \cdot 293 \cdot \lg \frac{200}{50} = 54,5 \text{ W}$$

$$N'' = 1,69 \frac{0,3}{3600} 287 \cdot 293 \cdot \lg \frac{50}{1} = 46,1 \text{ W}$$

$$N = \frac{54,5 + 46,1}{1000} = 0,1 \text{ kW}$$

Consumul specific de energie pe 1 kg aer lichid este :

$$N_{sp} = \frac{0,1}{0,053} = 1,89 \text{ kWh/kg}$$

Exemplul 11-15. La obținerea aerului lichid cu cedare de lucru mecanic în exterior într-un detentor, după ciclul de presiune medie, se consumă o putere de 110 kW (la axul compresorului). Câte kilograme de aer lichid se obțin pe oră, dacă aerul se comprimă până la 35 at ? În detentor se introduce 80% din aerul prelucrat ; temperatura aerului înainte de detentor este -110°C ; nereguparea este 5°C . Pierderile de frig în mediul înconjurător prin izolație reprezintă 0,93 kW. Se consideră că lucrul mecanic recuperat prin detentor la axul compresorului este jumătate din căderea teoretică (izentropică) de căldură. Temperatura aerului care intră după compresor, în schimbătorul de căldură al instalației, este 25°C . Să se determine, de asemenea, consumul specific de energie pe 1 kg aer lichid.

Rezolvare. În figura 11-12 este dată schema de principiu a instalației și reprezentarea procesului în coordonate $T - S$. Pentru determinarea conținutului caloric se folosește diagrama $T - S$ pentru aer (v. fig. XXIX).

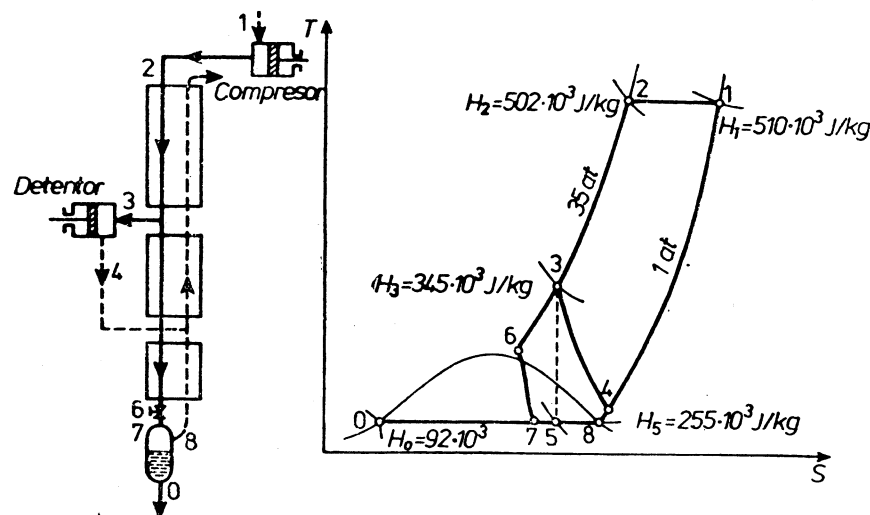


Fig. 11-12. Schema de principiu a instalației.

Capacitatea frigorifică specifică se determină cu formula (11-18) :

$$q = (H_1 - H_2) + M(H_3 - H_4) = (510 - 502) \cdot 10^3 + 0,8 \cdot 58 \cdot 10^3 = 54 \cdot 10^3 \text{ J/kg}$$

în care : $H_3 - H_4 = 0,65(H_3 - H_2) = 0,65(345 - 255) \cdot 10^3 = 58 \cdot 10^3 \text{ J/kg}$

Lucrul mecanic cedat în detentor la destinderea a 1 kg aer este :

$$L_{det} = 0,5(345 - 255) \cdot 10^3 = 44,6 \cdot 10^3 \text{ J/kg}$$

Se determină cantitatea de aer G , în kg/s, comprimat de compresor, din ecuația :

$$L = L_c - L_{det} = 1,69 G R T \cdot 2,3 \lg 35 - 0,8 \cdot G \cdot 44,6$$

Conform datelor : $L = 110 \text{ kW}$

deci :

$$110 = 1,69 \cdot G \cdot 287 \cdot 298 \cdot 2,3 \lg 35 - 0,8 \cdot 44,6 \cdot G$$

de unde :

$$G = 0,231 \text{ kg/s sau } 0,231 \cdot 3600 = 835 \text{ kg/h}$$

Pierderile de frig se determină cu formulele* (11-24) și (11-25) :

$$Q_{ner} = G \cdot c_p \cdot \Delta t = 0,231 \cdot 1,01 \cdot 10^3 \cdot 5 = 1,17 \cdot 10^3 \text{ W}$$

Conform condițiilor date :

$$q_{mi} = 0,93 \cdot 10^3 \text{ W}$$

Pierderile totale de frig sînt :

$$Q_{pterd} = (1,17 + 0,93) \cdot 10^3 = 2,100 \text{ W}$$

sau, calculînd la 1 kg aer prelucrat, rezultă :

$$q_{pterd} = \frac{2,1 \cdot 10^3}{0,231} = 9,1 \cdot 10^3 \text{ J/kg}$$

Fracția lichefiată se determină cu formula (11-19) :

$$y = \frac{(H_1 - H_2) + M(H_3 - H_4) - q_{pterd}}{H_1 - H_0} = \frac{(54 - 9,1) \cdot 10^3}{(510 - 92) \cdot 10^3} = 0,107$$

Cantitatea de aer lichid obținut este :

$$G_1 = 835 \cdot 0,107 = 89,3 \text{ kg/h}$$

Consumul specific de energie pe 1 kg aer lichid este :

$$N_{sp} = \frac{110}{89,3} = 1,23 \text{ kWh/kg}$$

* Fără a considera micșorarea curenților de înapoiere la lichefierea unei părți din aer.

Exemplul 11-16. Să se determine randamentul procesului de lichefiere a aerului, după procedeul cu cedare de lucru mecanic în exterior, după ciclul de presiune înaltă, știind că aerul este comprimat de compresor la 200 at. Temperatura inițială a aerului este 30°C; în detentor se introduce jumătate din aerul prelucrat. Pierderile totale de frig se consideră 8,4 kJ, calculate la 1 kg aer prelucrat. Destinderea în detentor se face de la 200 at la 10 at și apoi de la 10 at până la 1 at prin destindere simplă. Cantitatea de lucru mecanic cedată de detentor la axul compresorului se ia ca în exemplul precedent.

Rezolvare. În figura 11-13 este dată schema de principiu a instalației și reprezentarea procesului în coordonate $T - S$. Pentru determinarea entalpiei aerului se utilizează diagrama $T - S$ pentru aer (v. fig. XXIX).

Capacitatea frigorifică specifică a ciclului se determină cu formula (11-20)

$$q = (H_1 - H_3) + M(H_3 - H_4) = (515 - 482) \cdot 10^3 + 0,5 \cdot 119 \cdot 10^3 = 93,2 \cdot 10^3 \text{ J/kg}$$

în care :

$$H_3 - H_4 = 0,75(H_3 - H_5) = 0,75(482 - 322) \cdot 10^3 = 119 \cdot 10^3 \text{ J/kg}$$

Fracția lichefiată se determină cu formula (11-21) :

$$y = \frac{(H_1 - H_3) + M(H_3 - H_4) - q_{\text{pierd}}}{H_1 - H_6} = \frac{(93,2 - 8,4) \cdot 10^3}{(515 - 92) \cdot 10^3} = 0,2$$

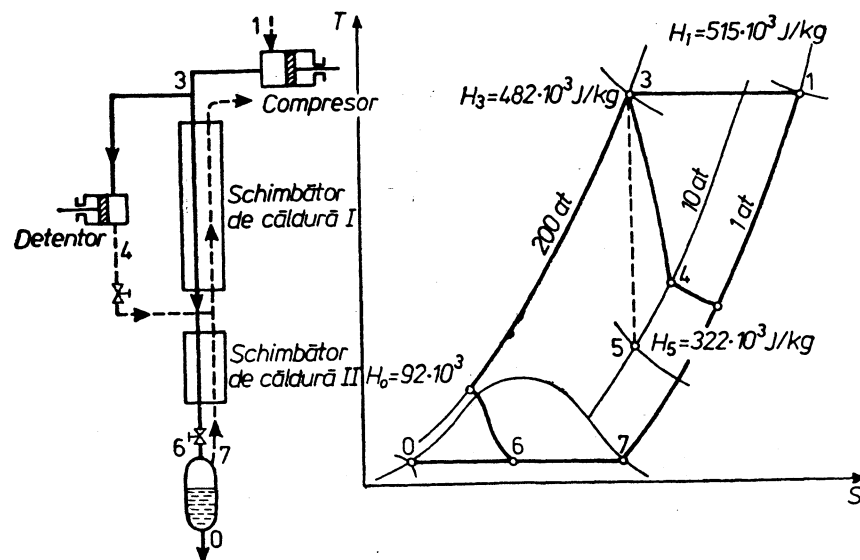


Fig. 11-13. Schița la exemplul 11-16.

Puterea consumată la comprimarea aerului este :

$$N_c = 1,69 \cdot G_s \cdot RT \ln \frac{p_2}{p_1} = 1,69 \cdot \frac{1}{3600} \cdot 287 \cdot 303 \cdot 2,3 \lg 200 = 216 \text{ W}$$

Puterea reînnoasă la axul compresorului prin destinderea aerului în detentor este :

$$N_{det} = \frac{0,5}{3600} \cdot 0,5(482 - 322) \cdot 10^3 = 11,1 \text{ W}$$

Puterea efectiv consumată la axul compresorului este :

$$N = N_c - N_{det} = 216 - 11,1 = 204,9 \text{ W} = 0,205 \text{ kW}$$

Consumul specific pentru 1 kg aer lichid este :

$$N_{sp} = \frac{0,205}{0,2} = 1,02 \text{ kWh/kg}$$

Randamentul procesului de lichefiere este :

$$\eta = \frac{0,188}{1,02} \cdot 100 = 18,5\%$$

în care 0,188 kWh/kg este lucrul mecanic minim, teoretic, necesar pentru lichefierea a 1 kg aer la temperatura inițială a acestuia de 303 K (v. exemplul 11-11).

Exemplul 11-17. Să se determine consumul specific de energie la lichefierea aerului după ciclul la presiune scăzută cu turbodetentor (fig. 11-14). Aerul intră în instalație la 30°C și presiunea de 6 at. Nerecuperarea este 5 grd., pierderile în mediul înconjurător 8,4 kJ/N·m³.

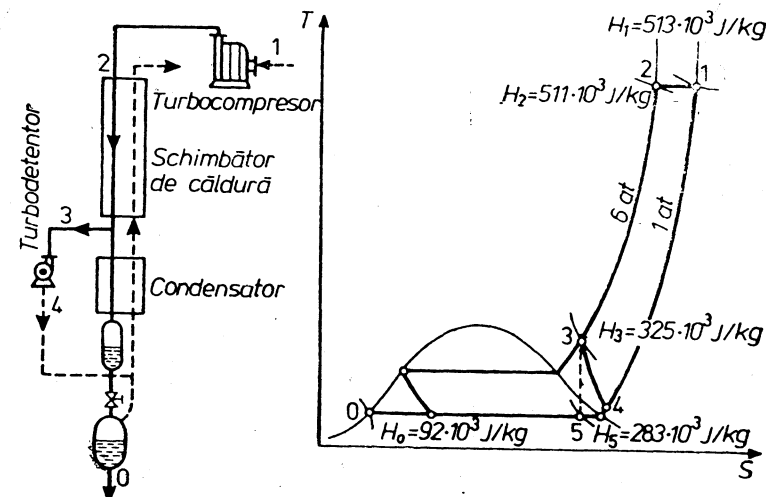


Fig. 11-14. Schița la exemplul 11-17.

Rezolvare. Se consideră temperatura aerului înainte de turbodetentor egală cu 122 K, în care caz, după formula (11-23) se obține :

$$H_3 - H_4 = 0,8(325 - 283) \cdot 10^3 = 33,5 \cdot 10^3 \text{ J/kg}$$

Entalpiile se iau din diagrama $T - S$ pentru aer (XXIX).

Frakția lichefiată se determină cu formula (11-25) :

$$y = \frac{(513 - 511) \cdot 10^3 + 33,5 \cdot 10^3(1 - 1,25y) - \frac{8,4 \cdot 10^3}{1,29} - 1,01 \cdot 10^3 \cdot 5(1 - y)}{(513 - 92) \cdot 10^3}$$

de unde $y = 0,052$

Lucrul mecanic recuperat în turbodetentor, calculat pentru 1 kg aer prelucrat, este :

$$L_{det} = \frac{(H_3 - H_4)(1 - ay)0,85}{3600} = \frac{33,5 \cdot 10^3(1 - 1,25 \cdot 0,052)0,85}{3600} = 0,0074 \text{ kWh/kg}$$

în care 0,85 este coeficientul de cedare a puterii de către turbodetentor ; $a = 1,25$ (v. formula 11-22).

Consumul specific de energie pentru 1 kg aer lichid la un randament izotermic al compresorului de 0,6 este :

$$N_{sp} = \frac{\frac{287 \cdot 303 \cdot 2,3 \lg 6,3}{1000 \cdot 0,6 \cdot 3600} - 0,0074}{0,052} = 1,26 \text{ kWh/kg}$$

în care 6,3 reprezintă gradul de comprimare în compresor (considerind și pierderile hidraulice ale instalației).

Exemplul 11-18. La cercetarea unei instalații pentru lichefierea aerului, care funcționează cu cedare de lucru mecanic după ciclul de joasă presiune, s-a măsurat presiunea înaintea turbodetentorului de 6 at și temperatura de 120 K. Presiunea și temperatura după turbodetentor au fost, respectiv, 1,6 at și 89 K. Puterea măsurată cedată de turbodetentor este 100 kW. Să se determine cantitatea de aer care trece prin turbodetentor și randamentul termodinamic al turbodetentorului.

Rezolvare. Se determină pierderea de căldură reală și izentropică în turbodetentor, utilizând diagrama $T - S$ pentru aer (v. fig. XXIX).

Entalpia aerului la 6 at și 120 K	322 · 10 ³ J/kg
Entalpia aerului după destindere izentropică pînă la 1,6 at	289 · 10 ³ J/kg
Entalpia aerului la 1,6 at și 89 K	296 · 10 ³ J/kg

De aici :

$$\Delta H_{real} = (322 - 296) \cdot 10^3 = 26,6 \cdot 10^3 \text{ J/kg}$$

$$\Delta H_{izen.} = (322 - 289) \cdot 10^3 = 33,3 \cdot 10^3 \text{ J/kg}$$

Randamentul termodinamic al detentorului este :

$$\eta = \frac{26,6 \cdot 10^3}{33,3 \cdot 10^3} = 0,8$$

Se determină cantitatea aproximativă de aer care trece prin turbodetentor (neglijînd pierderile de energie) :

$$G = \frac{3600 N}{\Delta H_{real}} = \frac{3600 \cdot 100 \cdot 10^3}{26,6 \cdot 10^3} = 13500 \text{ kg/h}$$

Exemplul 11-19. Să se găsească presiunea aerului necesară pentru stabilirea unui anumit regim într-o instalație pentru obținerea oxigenului gazos. Instalația lucrează fără răcire prealabilă și după ciclul de regenerare obișnuit. Nerecuperarea este 5°C, iar pierderile prin izolație 12,6 kJ la 1 Nm³ aer prelucrat. Temperatura aerului înaintea schimbătorului de căldură este 25°C.

Rezolvare. Pierderile de frig se determină cu formulele (11-24) și (11-28) :

$$q_{ner} = 1,01 \cdot 10^3 \cdot 5 = 5,05 \cdot 10^3 \text{ J/kg}$$

$$q_{ms} = \frac{12,6 \cdot 10^3}{1,29} = 9,74 \cdot 10^3 \text{ J/kg}$$

$$q_{pierd} = 5,05 \cdot 10^3 + 9,74 \cdot 10^3 = 14,8 \cdot 10^3 \text{ J/kg}$$

Pentru compensarea acestor pierderi, 1 kg aer comprimat, destins în instalație, trebuie să dea $\Delta H = 14,8 \text{ kJ kg}$.

Efectul destinderii se determină la 25°C (temperatura de intrare a aerului comprimat în schimbătorul de căldură) :

$$\Delta H = H_1 - H_3$$

în care H_1 este entalpia aerului la 1 at și 25°C, egală cu $510 \cdot 10^3 \text{ J/kg}$ (din diagrama $T - S$, v. fig. XXIX).

Deci :

$$14,8 \cdot 10^3 = 510 \cdot 10^3 - H_3$$

$$H_3 = 495,2 \cdot 10^3 \text{ J/kg}$$

Din diagrama $T - S$ se vede că acestei entalpii a aerului la 20°C îi corespunde o presiune de 65 at.

Exemplul 11-20. Într-o instalație de fracționare a aerului, care lucrează după procedeul cu cedare de lucru mecanic în exterior, după ciclul de presiune medie, se obțin 100 Nm³/h oxigen gazos și 25,8 kg oxigen în stare lichidă ; oxigenul se obține cu o puritate de 99%. Presiunea de comprimare a aerului este 40 at. Temperatura aerului comprimat înaintea detentorului este 160 K. Destinderea în detentor se face pînă la 6 at. Randamentul termodinamic al detentorului este 0,65. Azotul eliminat conține 5% oxigen. Nerecuperarea este 5°C. Temperatura aerului care intră în instalație este 300 K. Pierderile în mediul înconjurător reprezintă 6,3 kJ la 1 Nm³ aer prelucrat. Să se determine fracția de aer care trece în detentor.

Rezolvare. Cantitatea totală de oxigen obținut este :

$$V_{O_2} = 100 + \frac{25,8}{1,43} = 118 \text{ m}^3/\text{h}$$

în care 1,43 reprezintă densitatea oxigenului în condiții normale, în kg/Nm³.

Cantitatea de aer prelucrat B și de azot eliminat A (în condiții normale) se găsește din ecuația bilanțului de materiale :

$$B = 118 + A$$

$$0,21B = 0,99 \cdot 118 + 0,05A$$

de unde :

$$B = 695 \text{ m}^3/\text{h}; \quad A = 577 \text{ m}^3/\text{h}$$

Se determină pierderile totale de frig.

Nerecuperarea este :

$$q_{ner} = \frac{(100 \cdot 1,43 \cdot 0,92 \cdot 10^3 + 577 \cdot 1,25 \cdot 1,05 \cdot 10^3)}{3600} = 1230 \text{ W} = 1,23 \text{ kW}$$

Pierderile în mediul înconjurător sînt :

$$q_{mt} = \frac{695 \cdot 6,3 \cdot 10^3}{3600} = 1210 \text{ W} = 1,21 \text{ kW}$$

Frigul ieșit cu oxigenul lichid este :

$$q_l = \frac{25,8 \cdot 406 \cdot 10^3}{3600} = 2930 \text{ W} = 2,93 \text{ kW}$$

în care $406 \cdot 10^3$ este diferența între entalpia oxigenului gazos la 300 K și a oxigenului lichid (la 1 ata), în J/kg.

Total :

$$Q_{pterd} = 1230 + 1210 + 2930 = 5730 \text{ W} = 5,73 \text{ kW}$$

Capacitatea frigorifică a instalației, obținută prin destindere, este :

$$G\Delta H_{dest} = \frac{695 \cdot 1,29 \cdot 8,38 \cdot 10^3}{3600} = 2080 \text{ W} = 2,08 \text{ kW}$$

în care $8,38 \cdot 10^3$ este diferența între entalpia aerului la 1 at și la 40 at (la 300 K), în J/kg.

Pierdere teoretică (izentropică) de căldură în detentor este :

$$\Delta H_{it} = H_{p=40 \text{ at}} - H_{p=6 \text{ at}} = (333 - 283) \cdot 10^3 = 50 \cdot 10^3 \text{ J/kg}$$

Pierdere reală de căldură este :

$$\Delta H_{real} = 50 \cdot 10^3 \cdot 0,65 = 32,5 \cdot 10^3 \text{ J/kg}$$

Cantitatea de aer care intră în detentor se determină cu ecuația :

$$5730 - 2080 = 32,5 \cdot 10^3 x$$

de unde :

$$x \approx 0,1 \text{ kg/s} = 360 \text{ kg/h}$$

Fracția de aer trecută în detentor este :

$$\frac{360}{695 \cdot 1,29} = 0,40$$

Exemplul 11-21. Să se determine cantitatea de umiditate separată și energia consumată la răcirea a 3 000 kg/h aer (calculat ca aer uscat), saturat cu vapori de apă și care se găsește la presiunea de 6 ata. Aerul se răcește (pe seama amoniacului care fierbe) de la 0 pînă la -40°C . Capacitatea frigorifică a mașinii cu amoniac este 5 130 kJ/kWh.

Rezolvare. Căldura care trebuie eliminată pentru răcirea aerului uscat este :

$$Q_1 = G_{aer} \cdot c_p \cdot (t_{in} - t_{fin}) = \frac{3000 \cdot 1,03 \cdot 10^3 (0 + 40)}{3600} = 34300 \text{ W}$$

în care $c_p = 1,03 \cdot 10^3 \text{ J/kg} \cdot \text{K}$, este căldura specifică a aerului uscat la 6 ata în intervalul dat de temperatură.

Se află cantitatea de umiditate care se separă la răcire.

Cantitatea de umiditate din aerul care intră în răcitor este :

$$G'_u = G_{aer} \cdot 0,622 \frac{\varphi p_{sat}}{p - \varphi p_{sat}} = 3000 \frac{0,622 \cdot 1 \cdot 4,6}{6 \cdot 760 - 4,6} = 1,89 \text{ kg/h}$$

în care $p_{sat} = 4,6 \text{ mm Hg}$ este presiunea vaporilor saturați de apă la 0°C . (v. tabelul XXXVIII).

Cantitatea de umiditate din aerul care iese din răcitor este :

$$G''_u = 3000 \cdot 0,622 \frac{0,09}{6 \cdot 760 - 0,09} = 0,038 \text{ kg/h}$$

în care $p_{sat} = 0,09 \text{ mm Hg}$ este presiunea vaporilor de apă saturați la -40°C .

Cantitatea de umiditate care rămîne în răcitor este :

$$G_u = G'_u - G''_u = 1,89 - 0,038 = 1,852 \text{ kg/h}$$

Cantitatea de căldură care se degajă la condensarea și solidificarea umidității este :

$$\begin{aligned} Q_2 &= G_u [r + q + c(t_{in} - t_{fin})] = \\ &= \frac{1,852 [2490 \cdot 10^3 + 335 \cdot 10^3 + 2,09 \cdot 10^3 (0 + 40)]}{3600} = \\ &= 1490 \text{ W} = 1,49 \text{ kW} \end{aligned}$$

în care :

$r = 2490 \cdot 10^3 \text{ J/kg}$ este căldura de condensare la 0°C ;

$q = 335 \cdot 10^3 \text{ J/kg}$ este căldura de topire;

$c = 2,09 \cdot 10^3 \text{ J/kg} \cdot \text{K}$ este căldura specifică a gheții.

Cantitatea totală de căldură eliminată cu amoniacul este :

$$Q_1 + Q_2 = 34\,300 + 1\,490 = 35\,790 \text{ W} = 35,8 \text{ kW}$$

Energia consumată de instalația frigorifică de amoniac este :

$$N = \frac{35,8 \cdot 3\,600}{5\,130} = 25 \text{ kW}$$

Exemplul 11-22. Să se determine cantitatea de aer prelucrat pentru a obține 100 m³/h oxigen cu puritatea de 99%. Azotul eliminat conține 4% oxigen.

Rezolvare. Se notează cu x cantitatea de aer căutată (în m³). Atunci :

$$0,21x = 100 \cdot 0,99 + (x - 100) \cdot 0,04$$

în care 0,21 este procentul de oxigen în aer.

De aici rezultă :

$$x = 560 \text{ m}^3/\text{h}$$

Exemplul 11-23. Să se determine cantitatea de azot care se formează în buzunarele coloanei inferioare a unui aparat de fracționare a aerului cu două coloane (fig. 11-15) și cantitatea de lichid îmbogățit în oxigen din blază, raportată la 1 m³ aer intrat. Puritatea azotului în buzunare este de 98%, iar lichidul din blază conține 40% oxigen.

Rezolvare. Se notează cu x cantitatea de azot (în m³) obținută în buzunare și cu y cantitatea de lichid din blază. Atunci

$$x + y = 1$$

și în raport cu oxigenul :

$$0,02x + 0,4y = 0,21 \cdot 1$$

Rezolvind ecuațiile bilanțului de materiale, se obține :

$$x = 0,5 \text{ m}^3 ; y =$$

$$= 0,5 \text{ m}^3 \text{ (la } 0^\circ\text{C și } 760 \text{ mm Hg)}$$

Exemplul 11-24. Să se determine cifra de reflux și cantitățile de azot și oxigen (calculate la m³ aer) obținute în partea superioară a unei coloane de fracționare (fig. 11-15), utilizând datele din exemplul precedent și considerând că puritatea azotului este de 99% iar a oxigenului de 98%.

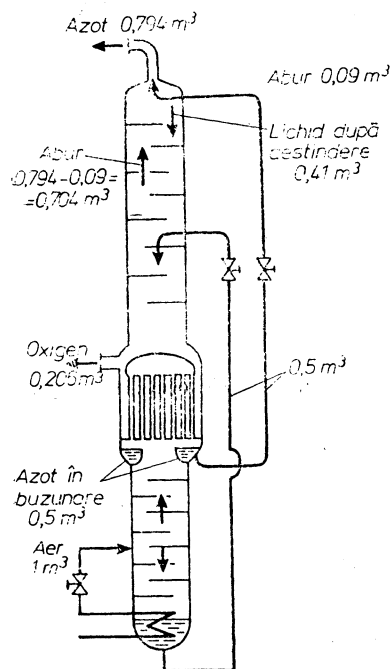


Fig. 11-15. Schița la exemplele 11-23 și 11-24.

Rezolvare. Se stabilesc ecuațiile bilanțului de materiale. Se notează cu x cantitatea de azot care iese și cu y cantitatea de oxigen care iese. Atunci :

$$x + y = 1$$

$$0,01x + 0,98y = 0,21$$

de unde :

$$x = 0,794 \text{ m}^3 ; y = 0,206 \text{ m}^3$$

Se găsește raportul dintre cantitatea de lichid L care curge în coloană și cantitatea de vapori care se ridică G .

Refluxul de azot lichid din buzunarele coloanei inferioare se introduce la vârful coloanei și prin aceasta, după cum rezultă din diagrama de stare pentru azot, la destinderea azotului, de la 6 at până la 1 at, se formează ~ 18% vapori. Conform exemplului precedent, în buzunare se formează 0,5 m³ azot. Deci, cantitatea de azot lichid care curge ca reflux în coloana superioară este :

$$L = (1 - 0,18) \cdot 0,5 = 0,41 \text{ m}^3$$

Cantitatea de vapori care se ridică spre vârful coloanei este :

$$G = 0,794 - 0,5 \cdot 0,18 = 0,704 \text{ m}^3$$

în care $0,5 \cdot 0,18$ este cantitatea de vapori formată după destinderea azotului lichid care trece din buzunarele coloanei inferioare în coloana superioară, în m³.

$$\text{Raportul } \frac{L}{G} = \frac{0,41}{0,704} = 0,582$$

Se determină cifra de reflux.

$$\frac{R}{R + 1} = 0,582$$

de unde : $R = 1,39$.

Exemplul 11-25. Să se determine energia consumată pentru a obține 1 m³ oxigen gazos cu puritatea de 99,5%, într-o instalație cu rectificare dublă, care funcționează după ciclul cu regenerare simplă fără răcire prealabilă cu amoniac. Azotul eliminat conține 5% oxigen. Pierderile totale de frig reprezintă 6,3 kJ la 1 kg aer prelucrat. Temperatura aerului comprimat care intră în instalație (după compresor) este 25°C.

Rezolvare. Se determină cantitatea de aer x necesară pentru a obține 1 m³ oxigen :

$$0,21x = 1 \cdot 0,995 + (x - 1) \cdot 0,05$$

$$x = 5,9 \text{ m}^3$$

Se determină presiunea de comprimare a aerului la regimul stabilit, dacă pierderile de frig sînt de 6,3 kJ/kg :

$$\Delta H = H_1 - H_3$$

$$6,3 \cdot 10^3 = 510 \cdot 10^3 - H_3$$

în care $510 \cdot 10^3$ este entalpia aerului la 1 at și 25°C , în J/kg (diagrama $T - S$, v. fig. XXIX).

De aici :

$$H_3 = (510 - 6,3) \cdot 10^3 = 504,7 \cdot 10^3 \text{ J/kg}$$

Din diagrama $T - S$ se vede că acestei entalpії la 25°C îi corespunde o presiune de 60 at.

Lucrul mecanic necesar pentru a comprima 1 kg aer la 60 at se determină cu formula :

$$L = 1,69 G R T \ln \frac{p_2}{p_1} = 1,69 \cdot 1 \cdot 287 \cdot 298 \cdot 2,31 \text{ g } 60 = \\ = 590 \cdot 10^3 \text{ J/kg} = 590 \text{ kJ/kg}$$

Pentru a obține 1 m^3 oxigen se comprimă 5,9 m^3 aer. Deci consumul de energie pentru 1 m^3 oxigen reprezintă :

$$N_{sp} = \frac{590 \cdot 5,9 \cdot 1,29}{3 \ 600} = 1,25 \text{ kWh/m}^3$$

Exemplul 11-26. Prin izolația unui rezervor (tanc) de depozitare a oxigenului pătrund din mediul exterior $83,8 \text{ kJ/m}^2 \cdot \text{h}$ căldură (calculată la suprafața exterioară). Diametrul interior al rezervorului (de formă sferică) este 1 200 mm. Diametrul exterior al mantalei exterioare de formă cilindrică este 1 900 mm, iar înălțimea 2 300 mm. Să se determine cit oxigen se evaporă pe oră în rezervor și după cite ore se va evapora tot oxigenul, dacă rezervorul a fost umplut la 0,75 din capacitatea sa. Oxigenul se păstrează la presiune atmosferică.

Rezolvare. Suprafața exterioară a mantalei cilindrice a rezervorului este :

$$A = \frac{2\pi D^2}{4} + \pi DH = 2 \frac{3,14 \cdot 1,9^2}{4} + 3,14 \cdot 1,9 \cdot 2,3 = 19,34 \text{ m}^2$$

Căldura care pătrunde în rezervor este :

$$Q = \frac{19,34 \cdot 83,8 \cdot 10^3}{3 \ 600} = 450 \text{ W} = 0,45 \text{ kW}$$

Cantitatea de oxigen evaporată pe oră este :

$$G_{O_2} = \frac{450 \cdot 3 \ 600}{213,7 \cdot 10^3} = 7,6 \text{ kg/h}$$

în care $213,7 \cdot 10^3 \text{ J/kg}$ este căldura de vaporizare a oxigenului la presiunea atmosferică.

Cantitatea de oxigen conținută în rezervorul umplut la 0,75 din capacitatea sa este :

$$G = 0,75 \frac{\pi D_{int}^2}{6} 1 \ 100 = 0,75 \frac{3,14 \cdot 1,2^2}{6} 1 \ 100 = 743 \text{ kg}$$

în care 1 100 kg/m^3 este densitatea oxigenului lichid.

Durata de evaporare a întregii cantități de oxigen este :

$$\tau_{evap} = \frac{743}{7,6} = 98 \text{ h}$$

11.3. PROBLEME

11-1. Să se calculeze coeficientul frigorific și puterea necesară unei instalații frigorifice care lucrează după ciclul Carnot, dacă capacitatea ei frigorifică este 6 400 W la temperatura de vaporizare de -10°C . Temperatura de condensare este 22°C .

11-2. Să se găsească lucrul mecanic minim consumat (calculat după ciclul Carnot) și consumul de apă în condensator la fabricarea a 100 kg gheață pe oră din apă cu temperatura de 0°C . Agentul frigorific se evaporă la -5°C și se condensează la 25°C . Apa în condensator se introduce cu 12°C și iese cu 20°C . Căldura de solidificare a apei este 335 kJ/kg .

11-3. Să se determine capacitatea frigorifică specifică a unui agent frigorific și coeficientul frigorific al unui ciclu pentru : a) amoniac; b) bioxid de carbon și c) difluor-diclorometan CF_2Cl_2 (freon 12). Temperatura de vaporizare este -15°C , temperatura de condensare 30°C . Ciclul este uscat; lipsește subrăcirea înainte de destindere.

11-4. Să se calculeze coeficientul frigorific teoretic al unei mașini frigorifice cu bioxid de carbon, dacă temperatura de condensare este 20°C iar temperatura de vaporizare -40°C . Ciclul este uscat; lipsește subrăcirea lichidului înainte de destindere.

11-5. Să se compare coeficienții frigorifici teoretici ai unei instalații frigorifice de comprimare cu amoniac, care lucrează la temperatura de vaporizare de -20°C și temperatura de condensare de 30°C ; a) pentru ciclul Carnot; b) pentru ciclul umed real; c) pentru ciclul uscat fără subrăcirea amoniacului lichid; d) pentru ciclul uscat cu subrăcirea amoniacului lichid pînă la 25°C după condensare.

11-6. Ținînd seama de condițiile problemei precedente, să se compare coeficienții frigorifici pentru o instalație frigorifică cu freon, utilizînd diagrama $H - \lg p$ pentru freon (v. fig. XXVIII).

11-7. În condensatorul unei instalații frigorifice cu amoniac se încălzesc 20 m^3/h apă cu 6 K. Puterea teoretică consumată de compresor este 23,5 kW. Să se determine capacitatea frigorifică a instalației și coeficientul frigorific.

11-8. Să se determine volumul de amoniac aspirat pe oră, de către un compresor în următoarele condiții : capacitatea frigorifică 58 200 W; temperatura de condensare 25°C ; lipsește subrăcirea; temperatura de vaporizare -15°C ; ciclul este uscat.

11-9. O cantitate de 1 000 kg/h alcool etilic trebuie răcită de la 20°C pînă la -15°C . Răcirea se face cu amoniac care fierbe la -25°C .

Să se determine puterea teoretică consumată de compresor. Temperatura de condensare este 25°C , ciclul este uscat; nu există subrăcirea lichidului înainte de destindere.

11-10. Un compresor de amoniac de tip G. D. (orizontal) are o capacitate frigorifică de 697 800 W la o temperatură de vaporizare de -15°C și o temperatură de condensare de 25°C . Să se determine capacitatea frigorifică a acestui compresor, dacă temperatura de vaporizare va fi -5°C și temperatura de condensare 30°C .

11-11. O instalație frigorifică cu bioxid de carbon, cu capacitate frigorifică de 116 300 W lucrează la o temperatură de vaporizare de -15°C , presiunea în condensator fiind 75 ata. Să se determine capacitatea frigorifică a acestui compresor, dacă temperatura de condensare va fi -5°C și temperatura de condensare 30°C . Compresorul funcționează uscat. Să se determine coeficientul frigorific și puterea teoretică necesară.

11-12. O instalație frigorifică cu amoniac cu capacitatea de 116 300 W cu compresor de tip vertical, lucrează la o temperatură de vaporizare de -15°C , temperatura de condensare de 30°C și cea de subrăcirea de 25°C . Compresorul funcționează uscat. Să se determine : pre-

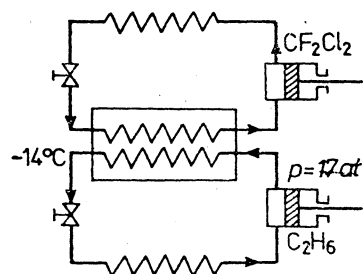


Fig. 11-16. Schița la problema 11-14.

11-14. Într-o instalație frigorifică în cascadă, care lucrează cu un circuit de freon și unul de etan (fig. 11-16), etanul se condensează la -14°C și presiunea de 17 ata. Cantitatea de căldură cedată freonului în fierbere de etanul care se condensează, reprezintă 23 260 W.

Temperatura de evaporare a freonului este cu 5°C mai scăzută decât temperatura de condensare a etanului. Freonul se condensează la 30°C și nu are loc subrăcirea freonului lichid, iar ciclul este uscat. Să se determine gradul de comprimare al freonului în compresor (raportul între presiunea de condensare și presiunea de evaporare) și debitul de apă în condensatorul de freon, dacă apa se încălzește cu 8°C .

11-15. Aerul comprimat la 100 at se răcește în evaporatorul unei instalații frigorifice cu amoniac, cu două trepte, până la o temperatură care depășește cu 5°C temperatura de evaporare a amoniacului. După răcire, aerul comprimat se destinde până la presiunea de 4 ata. Să se determine temperatura aerului după destindere, dacă amoniacul se evaporă sub o presiune de 0,42 ata.

11-16. Să se calculeze pe diagrama $T-S$ efectul integral Joule-Thompson la destinderea aerului până la 1 at: a) la temperatura inițială a aerului de 15°C și presiunea inițială de 50 at; b) la temperatura inițială a aerului de -50°C și presiunea inițială de 200 at.

11-17. Să se determine consumul de energie pentru a obține 1 kg aer lichid după ciclul obișnuit cu regenerare, în condițiile: a) temperatura inițială a aerului 15°C și presiunea de comprimare 50 at și b) temperatura inițială 15°C și presiunea de comprimare 200 at. Destinderea se face în ambele cazuri până la 1 at. Pierderile de frig datorită nerecuperării și în mediul înconjurător se neglijează.

11-18. Să se determine fracțiunea de aer lichefiat și consumul de energie pentru 1 kg aer lichid în ciclul simplu cu regenerare, la o temperatură inițială a aerului de 30°C și presiunea de comprimare 200 ata. Pierderile totale de frig reprezintă 10,5 kJ la 1 kg aer prelucrat.

11-19. Să se determine consumul de energie pentru 1 kg aer lichid, dacă se lucrează cu destindere simplă de la 200 at la 1 at cu răcire prealabilă cu amoniac la -50°C . Capacitatea frigorifică specifică a mașinii cu amoniac este 4820 kJ la 1 kWh. Pierderile de frig prin nerecuperare și în mediul înconjurător se vor neglija. Temperatura inițială a aerului este 15°C .

11-20. Să se determine fracțiunea de aer lichefiat și consumul de energie pentru 1 kg aer lichid, obținut într-o instalație care lucrează cu circulația aerului la presiune. Presiunea de comprimare este 200 ata, presiunea intermediară este 50 ata; presiunea joasă 1 ata; $M=0,2$; temperatura inițială a aerului este 25°C . Pierderile de frig se neglijează.

11-21. Să se determine puterea necesară și cantitatea de aer lichid obținut într-o instalație care funcționează la o presiune medie, după procedeul cu destindere și efectuare de lucru mecanic în exterior, la prelucrarea a 300 Nm^3/h aer. Aerul se comprimă până la 40 at; temperatura aerului înainte de detentor este -80°C ; temperatura aerului după compresor (înainte de intrarea în schimbătorul de căldură), 30°C ; procentul de aer trimis în detentor este 0,8. Să se determine, de asemenea, și consumul de energie pentru 1 kg aer lichid. Pierderile totale de frig se consideră 11,5 kJ la 1 kg aer prelucrat.

siunea în condensator și în vaporizator, coeficientul frigorific, volumul de vapori aspirați de compresor pe oră, puterea teoretică și cea reală necesară, temperatura amoniacului la ieșirea din compresor, debitul de apă în condensator, dacă apa se încălzește cu 7°C .

11-13. Un compresor vertical pentru amoniac cu doi cilindri, cu o singură treaptă de comprimare, are diametrul cilindrilor 150 mm, cursa pistonului 150 mm și efectuează 400 rot/min. Să se calculeze capacitatea frigorifică în condiții normale și în condiții de lucru ale acestui compresor, dacă vaporizarea se face la 2 ata, iar condensarea la 12 ata. Amoniacul se subrăcește cu 6°C înainte de destindere. Să se calculeze de asemenea puterea efectivă pentru condițiile de lucru.

11-22. Să se determine consumul de energie pentru 1 kg aer lichid într-un ciclu de presiune înaltă, cu efectuare de lucru mecanic în exterior, la comprimarea aerului până la 200 at și presiunea după detentor 8 at; $M=0,5$. Pierderile totale de frig reprezintă 14,7 kJ la 1 kg aer prelucrat. Temperatura inițială a aerului este 30°C .

11-23. La încercarea unui turbodetentor, s-a stabilit că aerul din el s-a destins de la 4 până la presiunea de 1,2 at și prin aceasta, turbodetentorul a cedat o putere de 4 kW, în timp ce prin el au trecut 650 kg/h aer. Să se determine randamentul termodinamic al turbodetentorului. Aerul comprimat a intrat în turbodetentor la 114 K.

11-24. Să se determine consumul de energie pentru 1 kg aer lichid într-o instalație de joasă presiune cu turbodetentor, știind că în compresor se comprimă 6 000 Nm^3/h aer până la 7 ata. Turbodetentorul cedează o putere de 55 kW. Pierderile prin nerecuperare și în mediul înconjurător reprezintă 6,3 kJ la 1 Nm^3 aer comprimat. Pentru compresor se consideră un randament izotermic de 0,7. Aerul intră în instalație cu 35°C . În turbodetentor se dirijează 80% din aerul prelucrat. Coeficientul de vaporizare $\alpha=1,25$.

11-25. Citi metri cubi de aer trebuie prelucrați pentru a obține 200 m^3 oxigen cu puritatea de 99%, dacă azotul eliminat conține 10% oxigen?

11-26. Conform datelor practice, pierderile de frig reprezintă 335 kJ la 1 m^2 suprafață exterioră a mantalei unui rezervor cilindric, izolat și umplut cu metan lichid. Dimensiunile interioare ale rezervorului sînt: $D=H=1,1$ m. Rezervorul este acoperit peste tot cu o izolație groasă de 300 mm. Să se determine durata de evaporare a întregului lichid, dacă rezervorul a fost la început complet plin. Densitatea metanului lichid este 415 kg/m^3 .

11-27. Să se determine consumul de energie la obținerea a 1 kg metan lichid după ciclul simplu cu regenerare. Metanul se comprimă până la 150 at. Temperatura metanului după compresor este 300 K. Se folosește diagrama $T-S$ pentru metan (v. [11-8]).

11-28. Să se determine consumul de energie la obținerea a 1 kg metan lichid după ciclul cu răcire prealabilă cu amoniac, până la -45°C , la presiunea de comprimare a metanului de 150 at. Capacitatea frigorifică specifică a instalației frigorifice cu amoniac este 4 820 kJ/kWh.

11-29. Într-o instalație de fracționare a aerului pentru fabricarea oxigenului gazos, care lucrează după ciclul de presiune medie și cedare de lucru mecanic în exterior, presiunea aerului la intrare este 20 at. Nerecuperarea reprezintă 8°C , pierderile în mediul înconjurător 8,38 kJ la 1 m^3 aer prelucrat. Aerul se destinde în detentor de la 20 at (140 K) la 6 at; randamentul detentorului este 0,65. Să se determine procentul de aer trimis în detentor, neglijînd efectul de destindere a aerului de la 6 până la 1 at.

11.4. RĂSPUNSURI LA PROBLEME

Cap. 1. BAZELE HIDRAULICEI APLICATE

- 1-1. $M=15,8$; $=0,616 \text{ kg}/\text{m}^3$.
- 1-2. 4,43 kg/m^3 .
- 1-3. 7,3% CO_2 ; 69,2% N_2 ; 23,5% H_2O .
- 1-4. 0,995-10 Pa.
- 1-5. a) 1,8 m; b) 1,1 m. W
- 1-6. 6 șuruburi; $0,716 \cdot 10^5 \text{ Pa}$ sau 0,73 at.
- 1-7. $3,31 \cdot 10^4 \text{ N}$.
- 1-8. $0,33 \cdot 10^{-4} \text{ m}^2/\text{s}$.
- 1-9. $1,5 \cdot 10^{-5} \text{ Pa} \cdot \text{s}$.
- 1-10. 0,07 P = 0,007 $\text{Pa} \cdot \text{s}$.
- 1-11. 0,72 m/s.

- 1-12. $w_i=13,1 \text{ m/s}$; $w_e=10,1 \text{ m/s}$.
- 1-13. $w_j=2,0 \text{ m/s}$; $w_o=10,4 \text{ m/s}$.
- 1-14. 73 mm.
- 1-16. 0,105 m.
- 1-17. Regim tranzitoriu.
- 1-18. a) Regim tranzitoriu; b) regim laminar.
- 1-19. 0,056 m/s.
- 1-20. 2 840 kg/h .
- 1-21. $\tau=1 \text{ h } 13 \text{ min.}$; $\alpha=0,632$.
- 1-22. 0,06 m^3/s .
- 1-23. $w=0,47 \text{ m/s}$; $G=47 800 \text{ kg}/\text{h}$.
- 1-24. 280 kg/h .
- 1-25. $2,88 \cdot 10^4 \text{ Pa}$.

- 1-26. $1,37 \cdot 10^4$ Pa ($e = 0,01$ mm).
 1-27. 520 Pa ($e = 0,8$ mm).
 1-28. $1,15 \cdot 10^4$ Pa ($e = 0,2$ mm).
 1-29. a) se micșorează de 10 ori;
 se modifică de $\frac{\lambda_1 T_1}{\lambda_2 T_2}$ ori.
 1-30. $56,5$ m³/h.
 1-31. 50 mm.
 1-32. a) se mărește de 16 ori; b) se mărește de 32 ori.
 1-33. 7,1 m.
 1-34. 5,9 l/min.
 1-35. 1,51 kW.
 1-36. 821 Pa.
 1-37. Pentru toluen 15,6 Pa; pentru apă 513 Pa.
 1-39. Raport 1:13,6; $w = 0,271$ m/s.
 1-40. 1,43 kW.
 1-41. Se mărește de 8 ori.
 1-42. 4,0 kW.
 1-43. 10,2 kW.
 1-44. 4,7 kW.
 1-45. $\Delta p = 3\,360$ Pa; $N = 0,35$ kW
 1-46. $w = 1,7$ m/s; $\lambda = 0,0255$.
 1-47. $4,79 \cdot 10^{-2}$ kg/s; regim laminar.
 1-49. 21 m³/h.
 1-50. Iarna $1,71 \cdot 10^4$ kg/h; vara $1,46 \cdot 10^4$ kg/h.
 1-51. 776 Pa sau 79 mm CA.
 1-52. $36,7 \cdot 10^4$ sau 3,74 at.
 1-53. 4,48 m.
 1-54. 354 Pa.
- 2-10. $\eta = 0,59$; $Q = 71,2$ m³/h;
 $H = 68$ m; $N = 22,4$ kW.
 2-11. $Q_1 = 0,4^3$ m³/min; $Q_2 = 0,3$ m³/min.
 2-12. 0,257 m³/min.
 2-13. 18,2 m³/h
 2-14. 4,2 kW.
 2-15. $\eta = 0,48$; $Q = 4\,170$ m³/h;
 $\Delta p = 734$ Pa; $N = 1,77$ kW.
 2-16. 940 m³/h.
 2-17. 1 650 m³/h.
 2-18. 1 800 rot/min.
 2-19. 117°C; 118 kJ/kg.
 2-20. 4,6 kW.
 2-21. 0,89.
 2-22. 3,25 m³/min; 13,0 kW.
 2-23. 5,46 m³/min; 13,2 kW.
 2-24. $20,3 \cdot 10^5$ Pa sau 20,7 at.
 2-25. $3,62 \cdot 10^5$ Pa sau 3,69 at — aer;
 $9,2 \cdot 10^5$ Pa sau 9,37 at — etan.
 2-26. o singură treaptă: 261 kJ/kg;
 două trepte 220 kJ/kg.
 2-27. 4 trepte.
 2-28. o singură treaptă: $4,28 \cdot 10^3$ kJ/kg;
 două trepte $3,54 \cdot 10^3$ kJ/kg.
 2-29. 10,7 m³/h (în condiții normale).
 2-30. două trepte: $N = 83,2$ kW;
 debit de apă 4,13 m³/h;
 trei trepte: $N = 80,0$ kW,
 debit de apă 3,96 m³/h.

Cap. 3. METODE HIDRODINAMICE DE SEPARARE. AMESTECAREA ÎN MEDIU LICHID

- 2-1. 15,6 m.
 2-2. 467 m.
 2-3. 0,69.
 2-4. 18,3 kW.
 2-5. 43°C.
 2-6. 2,22 m³/min; plungerul mare 0,0184 m³/s; cel mic 0,0186 m³/s.
 2-7. 0,89.
 2-8. Nu mai mult de 2,2 m.
 2-9. 1,86 kW.
- 3-1. a) $\frac{d_2}{d_1} = 1,73$; b) $\frac{d_2}{d_1} = 2,06$.
 3-2. a) $w_s = 7,65 \cdot 10^{-5}$ m/s;
 b) la 15°C $w_s = 7,86 \cdot 10^{-3}$ m/s,
 la 500°C $w_s = 3,93 \cdot 10^{-3}$ m/s.
 3-3. 16,8 m/s.
 3-4. 7,63 m/s.
 3-5. 226 mm.
 3-6. 11,4 μm.
 3-8. 5,14 m.

- 3-9. ~2 ori.
 3-10. TN-15; $\Delta p = 808$ Pa sau 82,4 mm Hg.
 3-12. 1 070 kg/m³.
 3-13. a) 0,08 m/s; b) 0,11 m/s.
 3-14. 0,93 mm.
 3-15. 2 990 kg.
 3-16. 4 200 kg.
 3-17. 1 h 36 min.
 3-18. 2 h
 3-19. 1 h 20 min.
 3-20. 58,5 min.
 3-21. 110 cm³/dm³.
 3-24. centrifugă cu funcționare periodică, verticală, cu descărcare gravitațională.
 3-25. supercentrifugă.
 3-26. $1,375 \cdot 10^5$ Pa sau 1,4 at.
 3-27. ~600 rot/min.
 3-28. a) 1,04 m; b) 0,082 m.
 3-30. de 200 ori.
 3-31. 1 min 18 s.
 3-32. 4,8 kW.
 3-33. 3 centrifuge.
 3-34. se mărește cu mai puțin de 100%.
 3-35. 6,53 m³/h.
 3-36. de 27 ori.
 3-37. 5,07 m³/h.
 3-38. 6,15 μm.
 3-39. 0,28 m/s; 2 279 Pa.
 3-40. 0,48; 462 mm.
 3-41. 1,3 mm; 50%.
 3-42. 137 W.
 3-43. 240 rot/min.
 3-44. se mărește de 1,3 ori.
 3-45. 0,58 m.
- Cap. 4. TRANSFERUL DE CĂLDURĂ ÎN APARATURA CHIMICĂ
- 4-1. se mărește de 10 ori.
 4-2. $1,74 \cdot 10^4$ kJ.
 4-3. 38 W.
 4-4. se mărește cu 20%.
 4-5. 217°C.
 4-6. a) 0,151 W/(m·K); 0,0165 W/(m·K); 0,471 W/(m·K).
 4-7. a) 285 kg/h; b) 259 kg/h; 2 820 kg/h.
 4-8. 94,6°C.
 4-9. 92 000 W.
 4-10. 548 kg/h.
 4-11. 4,15 m³/h.
 4-12. echicurent: 36,7°C; contracurent: 50,5°C.
 4-13. 38,4°C.
 4-14. suprafața schimbătorului existent este insuficientă.
 4-15. 9,36 W/(m²·K).
 4-16. 2 140 W/(m²·K).
 4-17. 63,8 W/m².
 4-18. a) nu se modifică; b) se mărește cu 9,1%.
 4-19. a) de la 52,6 la 50,3 W/(m²·K); b) de la 1 960 la 730 W/(m²·K).
 4-20. 28 700 W/m².
 4-21. 3,2 m²; 582 kg/h.
 4-22. 124 W/(m²·K).
 4-23. 664 W/(m²·K).
 4-24. 1 456 W/(m²·K).
 4-25. 1) 41,8 W/(m²·K); 2) 72,3 W/(m²·K).
 4-26. 95 W/(m²·K).
 4-27. se mărește de 1,94 ori.
 4-28. 4 070 W/(m²·K).
 4-29. 2 110 W/(m²·K).
 4-30. 284 W/(m²·K).
 4-31. 1 100 W/(m²·K).
 4-32. 1 675 W/(m²·K).
 4-33. 5 380 W/(m²·K).
 4-34. 3 900 W/(m²·K).
 4-35. $G = 1\,510$ kg/h; $L = 40,3$ m.
 4-36. $L = 3,38$ m; $G = 286$ kg/h.
 4-37. a) debitul de apă; 39,8 m³/h, $F = 17,7$ m²; b) debitul de aer: 111 000 m³/h (în condiții normale), $F = 357$ m².
 4-38. două schimbătoare, $F = 56$ m².
 4-39. $L = 3,36$ m; $G = 336$ kg/h.
 4-40. a) 258 W/(m²·K); b) 256 W/(m²·K).
 4-41. $q = 128,5$ W/m²; $K = 1,92$ W/(m²·K).
 4-42. 214 W/m².

4-43. 771 kg/24 h.

4-44. cu 80%.

4-45. 166 mm.

Cap. 5. EVAPORARE. CRISTALIZARE

5-1. I. a) 1,185 kg/kg; b) 1,023 kg/kg.

II. a) 1,150 kg/kg; b) 1,068 kg/kg.

5-2. 0,141 kg/s.

5-3. scade cu 37,5%.

5-4. $3,48 \cdot 10^5$ Pa sau 3,55 at.

5-5. 1 100 kg.

5-6. 530 kg; 0,56 m³.

5-7. 78 kW.

5-8. 1 993 J/kg·grd.

5-9. 2 792 J/kg·grd; 196 kg.

5-10. 44%; 2 710 kg/h.

5-11. 2,2 mm.

5-12. a) 178 kW; b) 0,026 kW.

5-13. 1 460 kg/h; 980 kg/h; 3,9 m².

5-14. 305 kJ/kg; 2 080 J/kg·grd.

5-15. 2 032 kJ/kg; 2 810 J/kg·grd.

5-16. 85°C; 264 kJ/kg.

5-17. $1,81 \cdot 10^4$ Pa sau 136,1 mm Hg

5-18. 81,55°C.

5-19. 152 m².5-20. $2,92 \cdot 10^4$ Pa sau 0,298 at.5-21. 43 m²; 2 170 kg/h.

5-22. crește de 1,95 ori.

5-23. 910 kg/h.

5-24. 85 m²; 1 495 kg/h.5-25. 35 m³/h; 1 495 kg/h.

5-26. 1 640 kg/h; 560 kg/h.

5-27. 35°C.

5-28. I. 11,8% (masă); II. 18,0% (masă); III. 43,0% (masă).

5-29. 4 corpuri.

5-30. 13,6 kg/h; 4,1%.

5-31. 25,5%.

5-32. 11,4%; 21,3 grd.

5-33. 86 kg/h.

5-34. 180 kg/h; 14 kW.

5-35. 15°C.

5-36. 1 300 kg.

5-37. 20,3 m²; 7 660 kg/h.**Cap. 6. BAZELE TRANSFERULUI DE MASĂ. ABSORBȚIA**6-1. $\rho_{am} = 1 050$ kg/m³; $\bar{X} = 1,333$ kg nitrobenzen/kg benzen; $C_x = 4,86$ kmol nitrobenzen/m³ amestec.6-2. 1 143 kg/m³.6-3. 1,59 kg alcool/kg aer; $\rho_{am} = 1,08$ kg/m³.6-4. 0,634 kg/m³ hidrogen; 11,59 kg/m³ metan; 4,74 kg/m³ etilenă.6-5. $\Delta C_y = 5,15 \cdot 10^{-3}$ C₂H₂/m³ gaz. $\Delta \bar{C}_y = 0,1340$ kg C₂H₂/m³ gaz. $\Delta C_x = 5,26 \cdot 10^{-3}$ kmol C₂H₂/m³ lichid. $\Delta \bar{C}_x = 0,1369$ kg C₂H₂/m³ lichid.6-7. $\Delta x = 0,08$ kmol cloroform/kmol amestec; $y = 0,10$ kmol cloroform/kmol amestec.

6-8. a) 13,8% masă; b) 42,5%.

6-9. a) 40,5%; b) 85%.

6-11. 0,00122 kmol/m²·h·kPa.6-12. $\Delta Y_{mra} = 0,02$ kmol benzen/kmol gaz inert; $n_{0y} = 1,66$.6-13. $L = 175 000$ kg/h; $n_{0y} = 6,02$; $\Delta p_m = 5,67$ mm Hg.6-14. $L = 1 475$ kg/h; $H_{umpl} = 7,2$ m.6-15. $L = 760$ kg/h; $H_{umpl} = 1,93$ m; $n_{0y} = 4,68$.

6-17. 0,038 m/s.

6-18. $2,16 \cdot 10^{-6}$ m/s.

6-19. 0,0285 m/s.

6-20. $D = 2,15$ m; $H = 5,4$ m.6-21. $H_{umpl} = 5,1$ m; $K_y = 0,0132$ kg amoniac/m²·s $\frac{\text{kg amoniac}}{\text{kg aer}}$.

6-22. 5,1 m.

6-23. $L = 12,3$ t/h; $X_b = 0,0611$ kmol benzen/kmol ulei; $D = 1,59$ m; $H_{umpl} = 7,02$ m; $H_t = 4,0$ m.6-24. 30 m³/h.6-25. $D = 1,03$ m; $X_b = 0,149$ kmol benzen/kmol absorbant.**Cap. 7. DISTILAREA. RECTIFICAREA**

7-1. a) 99°C; 10,2% (masă) crezol, 89,8% (masă) apă; 1,85% (volum) crezol; 14 mm Hg; b) 74°C; 7,25% (masă) crezol, 92,75% (masă) apă; 1,29% (volum) crezol; 3,9 mm Hg.

7-2. a) 94 kg; b) 31,3 kg.

7-3. $x_E = 0,408$; $P = 962$ mm Hg sau 128,3 kPa.7-4. a) $x = 0,675$; $y^* = 0,90$; b) la 50°C presiunea nu poate depăși 400 mm Hg.

7-6. 4,2% (mol) apă; 13,0% (mol) acid acetic; 82,8% (mol) acetona.

7-7. 465 kg; 43,8% (masă) benzen.

7-8. $W = 22,6$ kg; $D = 2 577,4$ kg; $x_D = 73,6\%$.

7-9. 608 kmol/oră.

7-11. 12,1% (masă).

7-12. 0,897.

7-13. 7,2% (masă); 13 000 kg/oră.

7-14. $G_D = 17 150$ kg/oră; $G_W = 64 700$ kg/oră; $G_e = 68 400$ kg/oră.

7-15. 25,4% (masă); 4 330 kg/oră.

7-16. 68,4% (mol).

7-17. 74,4% (mol); 80,3% (mol).

7-18. a) 76,7% mol; b) 17,96% mol.

7-19. $n_c = 9$; 720 kg/oră.7-20. 7,1% (masă); $G_e = 4 400$ kg/oră; $G_{apa} = 97 100$ kg/oră.7-21. 59,2 m²; 2 170 kg/oră.

7-22. În deflegmator: 4 700 kJ/kg; în blază: 5 787 kJ/kg.

7-23. 3,21; 83 t/oră.

7-24. 9,4 m²; 10,75 t/oră.7-25. $n_t = 17$.

7-26. 190 kg/oră.

7-27. a) $G_D = 1 760$ kg/oră; $G_W = 4 240$ kg/oră; b) $p = 328$ mm Hg; $n_t = 13$; c) $m_{abur} = 1 435$ kg/oră; $G_{apa} = 46,5$ t/h.**Cap. 8. EXTRAȚIA**8-2. $x_{A_1} = 62,2$; $x_{B_1} = 24,8$; $x_{A_2} = 18,9$; $x_{B_2} = 25,1\%$ masă; 1,74 kg.8-3. $G'_E = 1 940$; $G'_E = 180$ kg; $x_{E_1} \approx 55\%$ (masă) (după îndepărtarea solventului); $G_{E_1} = 1 735$; $G'_E = 99$ kg; $x_{E_2} = 35\%$ (masă) (după îndepărtarea solventului); $G_{R_1} = 915$; $G'_R = 850$ kg; $x_{R_2} = 4\%$ (masă) (după îndepărtarea solventului).8-4. $G_S \approx 1 333$ kg/h; $n_c = 4$.8-5. $n_c \approx 3$; $x_E = 4$ g/l; 1,2 g/l; 0,6 g/l.8-6. $G_{Smin} = 99$ kg; $n_c = 8$.

8-7. 63% (masă); 70% (masă).

8-8. 38,9 kg; 256 kg.

8-9. 77,8 kg; 450 kg; $n_c = 7$.8-10. Extract 58% (masă); rafinat $\sim 0\%$; $n_{cmin} = 11$.8-11. $n_c = 18$; $G_{S_1} = 1 718$ kg; $G_S = 1 734$ kg.

8-12. a) 7,7 kg; b) 99,6%; c) 24,9% (masă).

8-13. $n_c = 2$.8-14. $n_c = 6$.

8-15. a) 0,1 t sau 2%; b) 28,8 t; c) I—10%; II—7,9%; III—6,1%; IV—4,7%; V—3,6%.

8-16. 1) 565 kg; 2) $n_c = 3$.**Cap. 9. ADSORBȚIA**

9-1. 1 430 kg; 2,55 m; 1 h 22 min.

9-2. $\tau = 225$ min; $\tau_0 = 65$ min.9-4. $u = 0,08$ m/s; $H_0 = 0,4$ m.9-5. $Q = 1,21 \cdot 10^6$ kJ.9-6. $2,94 \cdot 10^{-5}$ m/s.

Cap. 10. USCAREA

- 10-1. de 33 ori.
 10-2. $x = 0,060$ kg/kg; $I = 209$ kJ/kg; $t_a = 43^\circ\text{C}$; $t_r = 42^\circ\text{C}$.
 10-3. $x = 0,020$ kg/kg; $I = 105$ kJ/kg; $t_r = 24^\circ\text{C}$; $\varphi = 0,25$; $p_v = 23$ mm Hg.
 10-4. $x = 0,069$ kg/kg; $\varphi = 0,8$.
 10-5. a) $0,0159$ kg/kg; b) $0,231$ kg/kg; c) $0,0154$ kg/kg.
 10-6. $l_3 = 36,4$ kg/kg; $q_a = 4350$ kJ/kg; $l_1 = 47,6$ kg/kg; $q_1 = 3710$ kJ/kg.
 10-7. $x = 0,622$ kg/kg; $p = 372,5$ mm Hg.
 10-8. $x = 0,083$ kg/kg; $p_v = 6,06 \cdot 10^5$ Pa sau $6,173$ at; $\rho = 5,68$ kg/m³.
 10-9. $4,6$ kg/h; $43,5$ kg/kg.
 10-10. $p_e = 270,3$ kPa sau $2,755$ at; $\rho = 5,05$ kg/m³; $x = 0,404$ kg/kg.
 10-11. 3230 m³ aer umed/h.
 10-12. 25°C .
 10-13. 9700 kg/h; 566 kW.
 10-14. 47200 kg/h; 910 kW.
 10-15. $71,3\%$.
 10-16. $35,8^\circ\text{C}$.
 10-17. $7,4$ kPa sau 56 mm Hg; $7,4\%$.
 10-18. $16,5$ h.
 10-19. $5,81$ m².
 10-20. 33°C ; $0,39$.
 10-21. 38°C .
 10-22. $L = 20800$ kg/h; $G_a = 950$ kg/h.
 10-23. 320 kg/h; 132 m².
 10-24. $L = 1710$ kg/h; $G_a = 1315$ kg/h; $p_v = 30$ mm Hg; $3,95\%$.
 10-25. $\theta = 38^\circ\text{C}$; $t_2 = 53^\circ\text{C}$; $x_2 = 0,035$ kg/kg.
 10-26. 127°C .
 10-27. $L = 7400$ kg/h; $G_a = 590$ kg/h; $p_{abs} = 8$ ata.
 10-28. $L = 16200$ kg/h; $G_a = 960$ kg/h.

- 10-29. 34 W/(m²·K); 156 kg/h.
 10-30. 868 m²; 1865 kg/h.
 10-31. a) 2545 kJ/kg; b) 3685 kJ/kg.
 10-32. 150 m²; 401 kg/h.
 10-33. $L = 6840$ kg/h; $G_a = 565$ kg/h; $p_{abs} = 10$ ata; $F = 135$ m².
 10-34. $G = 423$ kg/h; $F = 70$ m²; procentul de aer uzat recirculat = $60,8\%$.
 Cap. 11. RĂCIREA MODERATĂ ȘI ÎNĂINTATĂ
 11-1. $\epsilon = 8,22$; $N = 0,78$ kW.
 11-2. $L = 1042$ kW; $G_a = 0,31$ kg/s.
 11-3. a) $q_0 = 111$ kJ/kg; $\epsilon = 4,84$; b) $q_0 = 119,6$ kJ/kg; $\epsilon = 1,96$; c) $q_0 = 118,5$ kJ/kg; $\epsilon = 4,87$.
 11-4. $1,89$.
 11-5. a) $5,06$; b) $4,38$; c) $4,16$; d) $4,27$.
 11-6. a) $5,06$; b) $4,50$; c) $4,00$; d) $4,13$.
 11-7. $Q_0 = 116,5$ kW; $\epsilon = 4,96$.
 11-8. $99,5$ m³/h.
 11-9. $5,82$ kW.
 11-10. 1098 kW.
 11-11. $3,08$; $37,8$ kW.
 11-12. $p_e = 1166,9$ kPa sau $11,895$ at; $p_e = 206,4$ kPa sau $2,41$ at; $\epsilon = 4,94$; $V = 189$ m³/h; $N_t = 23,6$ kW; $N = 36,3$ kW; $t = 97^\circ\text{C}$; $V_a = 14,3$ m³/h.
 11-13. $Q_0 = 85950$ W; $Q' = 53730$ W; $N = 23,2$ kW.
 11-14. $\frac{p}{p_0} = 4,75$; $G_s = 3125$ kg/h.
 11-15. -82°C .
 11-16. a) 11°C ; b) 73°C .
 11-17. a) $4,92$ kWh/kg; b) $2,10$ kWh/kg.
 11-18. $0,0545$ kg/kg; consum de energie pentru 1 kg de aer lichid 4 kWh/kg.

- 11-19. $1,084$ kWh/kg.
 11-20. $0,066$ kg/kg; consum de energie pentru 1 kg de aer lichid $1,31$ kWh/kg.
 11-21. $N = 46,7$ kW; $G_1 = 46,6$ kg/kg; consumul de energie pentru 1 kg de aer lichid 1 kWh/kg.
 11-22. $1,07$ kWh/kg.
 11-23. $0,69$.
 11-24. $0,995$ kWh/kg.
 11-25. 1618 m³.
 11-26. 113 h.
 11-27. $2,2$ kWh/kg.
 11-28. $1,15$ kWh/kg.
 11-29. $0,67$.

BIBLIOGRAFIE

- 0-1. Kasatkin, A. G., *Procese și aparate principale în tehnologia chimică* (trad. din l. rusă), ed. a 2-a, București, Editura tehnică, 1963.
 0-2. Planovschii, A. N., Nikolaev, P. I., *Professi i apparati himiceskoi i neptehimiceskoi tehnologii*, izd. 2-a, Moskva „Himica”, 1972.
 0-3. Tilorovschii, Ia., *Professi himiceskoi tehnologii* (trad. din l. polonă), „Gozhimizdat”, 1958; Osnovi professov himiceskoi tehnologii, Leningrad, „Himica”, 1967.
 0-4. Planovschii, A. N., Ramm, V. M., Kagan, C. Z., *Professi i apparati himiceskoi tehnologii*, izd. 5-a, „Himica”, 1968.
 0-5. Averbuh, Ia., D., Zaostrovskii, F. P., Matusevich, L. N., *Professi i apparati himiceskoi tehnologii*, Prelegeri. P. I. Sverdlovsk. Izd. Uralsk. Polit. Inst., 1969.
 0-6. Bird, P., Stewart, V., Lightfoot, E., *Fenomene de transfer* (trad. din l. engl.), Moskva, „Himica”, 1974.
 0-7. Kirpichev, V. P., *Teoria podobia*, Izd. A. N. SSSR, Moskva, 1953.
 0-8. Guhman, A. A., *Wedenie v teorii podobia*, ed. 2-a, Moskva, „Višsaia škola”, 1973.
 0-9. Braines, Ia. M., *Podobie i modelirovanie v himiceskoi i neftehimiceskoi tehnologii*, Moskva, „Gostoptehizdat”, 1961.
 0-10. Dolejalik, V., *Podobie i modelirovanie v himiceskoi tehnologii*, Moskva, „Gostoptehizdat”, 1960.
 0-11. Venikov, V. A., *Teoria podobia — modelirovanie*, Moskva „Višsaia škola”, 1966.
 0-12. Guhman, A. A., *Primenenie teorii podobia k issledovaniiu professov teplo-massooobmena*, Moskva, „Višsaia škola”, 1967.
 0-13. Sedov, L. I., *Metodi podobia i pazmernosti v mehanike*, izd. 5-a, Moskva, „Nauka”, 1965.
 0-14. Alabujev, P. M. ș.a., *Teoria podobia i pazmernosti. Modelirovanie*, Moskva, „Višsaia škola”, 1968.
 0-15. Kafarov, V. V., *Metodi chibernetiki v himii i himiceskoi tehnologii*, izd. 2-e, Moskva, „Himica”, 1971.
 0-16. Bocharinov, A. I., Kafarov, V. V., *Metodi optimizatii v himiceskoi tehnologii*, Moskva „Himica”, 1969.
 0-17. Bondari, A. G., *Matimaticeskoe modelirovanie v himiceskoi tehnologii*, Kiev, „Višcea škola”, 1973.
 0-18. Zakgeim, A. Iu., *Vvedenie v modelirovanie himiko-tehnologiceskih professov*, Moskva, „Himica”, 1973.
 0-19. Kafarov, V. V., Perov, V. L., Mešalkin, V. P., *Prinipi matematiceskogo modelirovanie himiko-tehnologiceskih sistem*, Moskva, „Himica”, 1974.
 0-20. * * * *Albom matematiceskih opisani i algoritmov upravlennia tipovimi professami himiceskoi tehnologii*. Vip. 1, 2, Moskva, NIITEHIM, 1965, 1967.
 0-21. Einberg, V. D., *Osnovi programmirovanie na algoritmicom eazike ALGOL-60*, Moskva, „Mašinostroenie”, 1973.
 0-22. Belevskii, E. I., Deghen, A. B., Etlin, Iu. B., *ALGOL-60*, Leningrad, „Gidrometeoizdat”, 1966.
 0-23. Kuškova, A. D., *Standartnie algoritmi rasciela professov himiceskoi tehnologii. Metodiceskoe posobie*, Izd. LTI, 1976.

- 0-24. * * * *Spruvocinik himika*, izd. 2-a, Moskva-Leningrad, „Himica“, 1966.
- 0-25. Perry, J., *Spruvocinik injenera-himika* (trad. din l. engl.), ed. 4-a, AN SSSR, Leningrad, „Himica“, 1969.
- 0-26. Levenspiel, O., *Injenerne oformlenie himiceskih professov*, (trad. din l. engl.), Moskva, „Himica“, 1969.
- 0-27. Batuner, L. M., Pezin, M. E., *Matematicheskie metodî v himiceskoi tehnike*, ed. 6-a, Leningrad, „Himica“, 1971.
- 0-28. Bennet, K. O., Mayers, J. E., *Ghidrodinamika teploobmen i massoobmen*, (trad. din l. engl.), Moskva, „Nedra“, 1966.
- 0-29. Benedek, P., Laszlo, A., *Naucinie osnovi himiceskoi tehnologii*, (trad. din l. magh.), Leningrad, „Himica“, 1970.
- 0-30. Rosenbrock, H., Stern, S., *Vicislitelinie metodî dlea injenerovhimikov* (trad. din l. engl.), Moskva, „Mir“, 1968.
- 0-31. Beskov, S. D., *Tehnohimiceshie rascioti*, Moskva, „Viškaia škola“, 1962.
- 0-32. Floarea, O., Smighelschi, O., *Calcule de procese și aparate în tehnologia chimică*, Buc., Editura tehnică, 1966.
- 0-33. Romankov, P. G., Neskov, A. A., *Sbornik rasciotnih diagramm po kursu professov i apparatov himiceskoi tehnologii*, Moskva-Leningrad, „Himica“, 1966.
- 0-34. Bretschneider, S., *Svoistva gazov i jidkostei*, (trad. din l. polonă), AN SSSR, Leningrad, „Himica“, 1966.
- 0-35. Read, R., Scherwood, T., *Spoistva gazov i jidkostei*, (trad. din l. engl.), Moskva, „Gostoptehizdat“, 1964.
- 0-36. Lascinschi, A. A., Tolcinskii, A. R., *Osnovi konstruirovania i rascioli himiceskoi aparatury*, Leningrad, „Mašinstroenie“, 1970.
- 0-37. Iablonschi, P. A., *Posobie po kursovomu proektirovaniu*, izd. 7-a, LTI, 1975.
- 0-38. Romankov, P. G., *Rukovodstvo k praktičeskim zaneatiam v laboratorii professov i apparatov himiceskoi tehnologii*, izd. 4-a, Leningrad, „Himica“, 1975.
- 0-39. Cernobiliskii, I. I., Bondari, A. G. ș.a., *Mașini i aparati himiceskih proizvodstv*, Moskva, „Mašinstroenie“, 1975.
- 0-40. Stabnikov, V. N., Popov, V. D., Rediko, F. A., Liseanski, V. M., *Professi i apparati piscevih proizvodstv*, izd. 3-1, Moskva, „Pisc. Prom.“, 1966.
- 0-41. Skoblo, A. I., Tregubova, I. A., Egorov, N. N., *Professiiapparati neftepererabativaiușcel i neftehimiceskoi promișlennosti*, Moskva, „Gostoptehizdat“, 1962.
- 0-42. Batuner, L. M., *Professi i apparati organiceskogo sinteza i biohimiceskoi tehnologii*, Moskva-Leningrad, „Himica“, 1966.
- 0-43. Reibsfeld, V. O., Erkeva, L. N., *Oborudovanie proizvodstvooovnogo organiceskogo sinteza*, Leningrad, „Himica“, 1974.
- 0-44. Melnik, B. D., Melnikov, E. V., *Kratkii injenernii spruvocinik po tehnologii neorganiceskih vesestv*, Moskva-Leningrad, „Himica“, 1968.
- 0-45. Kozulin, N. A., Sokolov, V. N., Sapire, A. Ia., *Primeri i zadaci po kursu oborudovanea zavodov himiceskoi promișlennosti*, Moskva-Leningrad, „Mašinstroenie“, 1966.
- 0-46. Elenkov, D., *Protesi i apparati v himiceskata promișlenost*, Sofia, „Tehnika“, 1962.
- 0-47. Adilphi, G., Adolph, H., *Grundzüge der Verfahrenstechnik für Chemiker, Okonomen — Ingenieure der chemischen Industrie*, Leipzig VEB, Deutscher Verlag für Grundstoff-Industrie, 1970.
- 0-48. Bratu, Em., *Operații și utilaje în industria chimică*, Vol. 1, București, 1960.
- 0-49. McCabe W., Smith, J. Unit., *Operations of chemical engineering*, N. Y., „Mc. Graw Hill Brook“, Co. 1967.
- 0-50. Coulson, J. M., Richardson, J. F., *Chemical Engineering*, V. 1-2, London, „Pergamon Press“, 1968.
- La cap. 1. Bazele hidraulicii aplicate.
- 1-1. Prandtl, L., *Ghidroaeromehanika*, izd. 2-a (trad. din l. germ.), I.L., 1951.
- 1-2. Loiteanski, L. G., *Mehanika jidkosti i gaza*, izd. 4-a, Moskva, „Nauka“, 1973.
- 1-3. Frenkel, N. Z., *Ghidraulika*, izd. 2-a, Moskva-Leningrad, „Gosenergoizdat“, 1956.
- 1-4. Ciugaev, P. P., *Ghidraulika*, Leningrad, „Energhica“, 1971.
- 1-5. Millionikov, M. D., *Turbulentniie tecenie v pograničnom sloe i v trubah*, Moskva, „Nauka“, 1969.
- 1-6. Levici, V. G., *Fiziko-himiceskaia hidrodinamica*, izd. 2-a, Moskva, „Fizmatgiz“, 1959.
- 1-7. Romankov, P. G., Kurochikina, M. I., *Ghidromehaneskie professi himiceskoi tehnologii*, izd. 2-a, Leningrad, „Himica“, 1974.

- 1-8. Kutateladze, S. S., Stirikovici, M. A., *Ghidraulika gazojidkostnih sistem*, Moskva-Leningrad, „Gosenergoizdat“, 1958.
- 1-9. Soy, G., *Ghidrodinamika mnogofaznih sistem* (trad. din l. engl.), Moskva, „Mir“, 1971.
- 1-10. Iollis, G., *Odnomerniie duhfazniie tecenie*, Moskva, „Mir“, 1972.
- 1-11. Wilkinson, U. L., *Nentunovskie jidkosti. Ghidromehanika, peremeșvanie i teploobmen* (trad. din l. engleză), Moskva, „Mir“, 1964.
- 1-12. Ivanov, E. A., Sepelev, A. V., Lealin, E. V., *Truboprovodi v himiceskoi promișlennosti*, Moskva, „Mașghiz“, 1963.
- 1-13. Idelleik, I. E., *Spravocinik po ghidrovliceskim soprotepleniam*, Moskva-Leningrad, „Gosenergoizdat“, 1960.
- 1-14. Altuli, A. D., *Ghidravliceskie soprotivlenie*, Moskva, „Nedra“, 1970.
- 1-15. Idelleik, I. E., *Aerodinamika promișlennih apparatov*, Moskva-Leningrad, „Energhica“, 1964.
- 1-16. * * * *Spravocinik mașinostritelea*, t. 2, izd. 2-a, Moskva, „Mașchiz“, 1960, La cap. 2. Pompe. Ventilatoare. Compresoare.
- 2-1. Cercasskii, V. M., Romanova, T. M., Kauli, R. A. Nasosi, *Kompresori, ventileatori*, izd. 2-a, Moskva, „Energhica“, 1968.
- 2-2. Kalinuschin, M. P., *Ventileatornie ustanovki*, izd. 6-a, Moskva, „Viškaia škola“, 1967.
- 2-3. Stark, S. B., *Osnovi ghidravliki, nasosi i vozduhoduvniie mașini. Sbornik zadaci*, Moskva, „Metalurgizdat“, 1961.
- 2-4. Kiselev, V. I., *Nasosi, kompresori i ventileatori*, Moskva, „Metalurgizdat“, 1961.
- 2-5. Sidorov, M. D., *Spravocinik po vozduhoduvnim i gazoduvnim mașinam*, Moskva-Leningrad, „Mașghiz“, 1962.
- La cap. 3. Metode hidromecanice de separare. Hidrodinamica stratului fluidizat. Amestecarea în mediu lichid.
- 3-1. Ujov, V. N., *Borba s pilitu v promișlennosti*, Moskva, „Goshimizdat“, 1962.
- 3-2. Gordon, G. M., Peisahov, I. L., *Pileulavlanie i ocistka gazov*, izd. 2-a, Moskva-Leningrad, „Metalurgica“, 1968.
- 3-3. Usakov, S. G., Zverev, N. I., *Inerționnaia separația pili*, Moskva, „Energhica“, 1974.
- 3-4. Kouzov, P. A., *Ikazanie po rasciotu jiklonov (46-52). Metodiceskie materialii dlea proektirovania GPI Santexproekt*, Moskva, 1971.
- 3-5. Ujov, V. N., Valdberg, A. Ia., *Ociska gazov mokrimi filtrami*, Moskva, „Himica“, 1972.
- 3-6. Monteid, A. E., *Mnogokamerniie sgustiteli v proizvodstve glinozema*, Moskva-Leningrad, „Metalurgizdat“, 1952.
- 3-7. Malinovskala, T. A., *Razdelenie suspenzii v promișlennosti organiceskogo sinteza*, Moskva, „Himica“, 1971.
- 3-8. Pozin, M. E., Muhlenov, I. P., Tarat, E. Ia., *Penniie gazoocistiteli, teploobmeniki i absorberi. Rabota i rasciot pennih apparatov*, Leningrad, Goshimizdat, 1959.
- 3-9. Jupikov, V. A., *Filtrirovanie*, izd. 3-e, Moskva, „Himica“, 1971.
- 3-10. Olevskii, V. A., *Konstrukții i rasciot mehaniceskih klasifikatorov i ghid-ojklonov*, Moskva, Gosgortehizdat, 1960.
- 3-11. Pavarov, A. I., *Ghidrojkloni*, Moskva, Leningrad, Gosgortehizdat, 1961.
- 3-12. Sokolov, V. I., *Sovremennie promișlennie jentrifughi*, izd. 2-e, Leningrad, „Mašinstroenie“, 1967.
- 3-13. Aerov, M. E., Todes, O. M., *Ghidravliceskie i teplovie osnovi raboti apparatov so stacionarnim i kipeascim zernistim sloem*, Moskva, Leningrad, „Himica“, 1968.
- 3-14. Razumov, I. M., *Psevdoojjenie i pnevmotransport*, izd. 2-e, Moskva, „Himica“, 1972.
- 3-15. Ghelperin, N. I., Einstein, V. G., Kvașa, V. B., *Osnovi tehniki psevdoojjeniea*, Moskva, „Himica“, 1967.
- 3-16. Davidson, J., Harrison, D., *Psevdoojjenie* (trad. din l. engl.), Moskva, „Himica“, 1973.
- 3-17. Zabrodskii, S. S., *Visokotemperaturniie ustanovki s kipeascim sloem*, Moskva, „Energhica“, 1971.
- 3-18. Cilenov, V. A., Mihaïlov, N. V., *Vibrokipeașcii sloi*, Moskva, „Haijka“, 1972.
- 3-19. Seerbacek, Z., Tausk, P., *Peremeșvanie v himiceskoi promișlennosti* (trad. din l. cehă), Leningrad, Goshimizdat, 1963.

- 3-20. Strenk, F. *Peremeštvanie i apparati s mesalkami* (trad. din l. polonă), Leningrad, „Himiea” 1975.
- 3-21. Lipatov, A. N., Novikov, O. P., *Samorozgrujatusciesen separatori*, Moskva, „Mašinostroenie”, 1975.
La cap. 4. Transferul de căldură în aparatura chimică.
- 4-1. Miheev, M. A., Miheeva, I. M., *Osnovi teploperedaci*, Moskva, „Energhiea”, 1973.
- 4-2. Kutateladze, S. S., *Osnovi teorii teploobmenia*, izd. 4-e, Novosibirsk, „Nauka”, 1970.
- 4-3. Isaccenko, I. P., Osipova, V. A., Sukome, A. S., *Teploperedacea*, izd. 3-e, „Energhiea”, 1975.
- 4-4. Hobler, T., *Teploperedacea i teploobmeniki* (trad. din l. polonă), Leningrad, „Goshimizdat”, 1961.
- 4-5. Greber, G., Erk, S., Grigull, U., *Osnovi ucenia o teploobmene* (trad. din l. germană), Moskva, IL, 1958.
- 4-6. Iakov, M., *Voprosi teploperedaci* (trad. din l. engleză), Moskva, L., 1960.
- 4-7. Balafka, B., Sikopa, K., *Professi teploobmena v apparatah himiceskoi promišlennosti* (trad. din l. cehă), Moskva, Maşghiz, 1962.
- 4-8. Cecetkin, A. V., *Visokotemperaturnie teploosisteli*, izd. 3-e, „Energhiea”, 1971.
- 4-9. Dolinin, N. P., *Ustanovki dlea nagreva himiceskoi apparaturi visokotemperaturninie organiceskimi teploosisteleami*, Moskva, Maşghiz, 1963.
- 4-10. Petuhov, B. S., *Teploobmen i sproivlenie pri laminarnom tecenie jdkosti v trubah*, Moskva, „Energhiea”, 1967.
- 4-11. Kutateladze, S. S., Borişanskii, V. M., *Spravocinik po teploperedace*, Leningrad—Moskva, „Gosenergoizdat”, 1959.
- 4-12. Gherasimov, S. G., *Teplotehniceskii spravocinik*, Moskva, Leningrad, „Gosenergoizdat”, t. I, 1957, t. II, 1958.
- 4-13. Vargaftik, N. B., *Spravocinik po teplofiziceskim svoistvam gazov i jdkostei*, izd., 2-e, Moskva, „Nauka”, 1972.
- 4-14. Koşkin, V. K., Kalinin, E. K. ş.a., *Nestaŭionarnii teploobmen*, Moskva, Leningrad, „Mašinostroenie”, 1973.
- 4-15. Steidl, H. ş.a., *Uvod do prouden tekutin a sdileni tepla Praha*, „Academia”, 1975.
- 4-16. Krasnoŭekov, E. A., Sukomei, A. S., *Zadacnik po teploperedace*, Moskva, Leningrad, „Gosenergoizdat”, 1963.
- 4-17. Cirkii, V. S., *Teploprovodnosti promišlennih materialov. Spravocinoe posobie*, izd. 2-e, Moskva, „Maşghiz”, 1962.
- 4-18. Tederherd, N. V., *Teploprovodnosti gazov i jdkostei*, Moskva, Leningrad, „Gosenergoizdat”, 1963.
- 4-19. Grigoriev, V. A. ş.a., *Kratkii spravocinik po teploobmennim apparatam*, Moskva, Leningrad, Gosenergoizdat, 1962.
- 4-20. Voronov, E. G., Tananaiko, Iu. M., *Teploobmen v jdkostnim pleukam*, Kiev, „Tehnika”, 1972.
- 4-21. Klimentko, A. P., Kanejev, G. E., *Rasciot teploobmennih apparatov na E.B.M.*, Moskva, Leningrad, „Energhiea”, 1966.
- 4-22. * * * *Proektirovanie i optimizaŭia teploobmennih aparatov na E.T.V.M.*, 1—3. Kiev, Inst. Kibernetiki AN, SSSR, 1970.
- 4-23. Manikovskii, O. H., Toŭcinskii, A. R., Alexandrov, M. B., *Teploobmennaea apparatura himiceskih proizvodstv*, Leningrad, „Himiea”, 1976.
La cap. 5. Evaporare. Cristalizare.
- 5-1. Tiscenko, I. A., *Rasciot mnogokorpusnogo viparnogo apparata*, ONTI, 1938.
- 5-2. Cernobilskii, I. I., *Viparnie ustanovki*, Kiev, „Vişsaia škola”, 1970.
- 5-3. Kolaci, T. A., Radun, D. V., *Viparnie stanŭii*, Moskva, Maşghiz., 1963.
- 5-4. Planovskii, A. N., Nikolaev, P. I., *Tipovoi rasciot treohkorpusnoi viparnoi ustanovki*, MIXM, 1954.
- 5-5. Nepenin, Iu. N., *Professi i apparati himiceskoi tehnologii. Rukovodstvo k kursovomu proektirovaniiu*, Leningrad, VZLTi, 1956.
- 5-6. Taubman, E. I., *Rasciot i modelirovanie viparnih ustanovok*, Moskva, „Himiea”, 1970.
- 5-7. * * * *Apparati viparnie. Katalog-spravocinik*, Ukr. NII himias, Moskva, „Himiea”, 1970.
- 5-8. Matusevlei, L. N., *Cristallizaŭia iz restvorov himiceskoi promišlennosti*, Moskva, „Himiea” 1968.

- 5-9. Udima, P. G., *Apparati s pogrujnimi gorelkami*, Moskva, „Mašinostroenie”, 1965.
- 5-10. Bemfort, A. V., *Promišlennaea kristallizaŭia* (trad. din l. engleză), Moskva, „Ximiea”, 1969.
La cap. 6. Bazele transferului de masă. Absorbŭia.
- 6-1. Kafarov, V. V., *Osnovi massoperedaci*, izd. 2-e, Moskva, „Vişsaia škola”, 1972.
- 6-2. Ramm, V. M., *Absorbŭia gazov*, Moskva, „Himiea”, 1966.
- 6-3. Hobler, T., *Massoperedacea i absorbŭia* (trad. din l. polonă), Leningrad, „Himiea”, 1964.
- 6-5. Kogan, V. B., Fridman, V. M., Kafarov, V. V., *Ranovesie mejdu jdkostin i parom*, kn. 1—2, Moskva, Leningrad, „Nauka”, 1966.
- 6-6. Treval, R. E., *Mass-transfer Operations*, 2 unded., Mc. Graw-Hill Book Co, 1968.
La cap. 7. Distilarea şi rectificarea.
- 7-1. Laguturov, S. A., *Osnovi teorii i rasciotu peregonki i rektificaŭii*, izd. 2-e, Moskva „Himiea”, 1974.
- 7-2. Aleksandrov, I. A., *Rektificaŭionnie i absorbŭionnie apparati*, izd. 2-e, Moskva, „Himiea”, 1971.
- 7-3. Stabnikov, V. N., *Rektificaŭionnie apparati*, Moskva, „Mašinostroenie”, 1965.
- 7-4. Stabnikov, V. N., *Peregonka i rektificaŭia spirta*, Moskva, Piscepromizdat, 1962.
- 7-5. Kasatkin, A. G., Planovskii, A. N., Cehov, O. S., *Rasciot talericeatnih rektificaŭionnih i absorbŭionnih apparatov*, Standardghiz, 1961.
- 7-6. Südre, E. K., Teare, E. N., Milkal, V. Ia., *Distilleaŭia*, Leningrad, „Himiea”, 1971.
- 7-7. Kogan, V. B., *Azeotropnaia i ekstrakŭionnaia rektificaŭia*, Leningrad, „Himiea”, 1971.
- 7-8. Platonov, V. M., Bergo, B. G., *Razdelenie mnogokomponentnih smesi*, Moskva, „Himiea”, 1965.
- 7-9. Stabnikov, V. N., *Rasciot i konstruirovanie kontaktnih ustroistv rektificaŭionnih i absorbŭionnih apparatov*, Kiev, „Tehnika”, 1970.
- 7-10. Ziolkowski, Z., *Destylacja i rektifikacja w przemysle chemicznym*, Warszawa, Wydawnictwa naukowotechn., 1966.
- 7-11. Kirschbaum, E., *Destillier-und Rektifiziertechntk* IV Aufl. Berlin, Springer Verlag, 1969.
- 7-12. * * * *Kolonnie apparati iz stali i ciuguna. Otrastevie normali*. NIIX immaş., 1964.
La cap. 8. Extracŭia.
- 8-1. Ziuklovskii, Z., *Jdkostnaia ekstrakŭia v himiceskoi promišlennosti* (trad. din l. polonă), Leningrad, „Goshimizdat”, 1963.
- 8-2. Alders, L., *Jdkostnaia ekstrakŭia*, (trad. din l. engleză), izd 2-e, Moskva, „Izdatinlit”, 1962.
- 8-3. Treybal, R., *Jdkostnaia ekstrakŭia* (trad. din l. engleză), Moskva, „Himiea”, 1966.
- 8-4. Hanson, K., *Poslednie dostiŭenie v oblasti jdkostnoi ekstrakŭii* (trad. din l. engleză), Moskva, „Himiea”, 1974.
- 8-5. * * * *Jdkostnaia ekstrakŭia (Teoria i praktika) Sbornik statei.*, Moskva, „Goshimizdat”, 1958.
- 8-6. Braunstein, B. I., Jelezneak, A. S., *Fizico-himiceskie osnovi jdkostnoi ekstrakŭii*, Moskva, Leningrad, „Himiea”, 1966.
- 8-7. Axelrod, G. A., Liseanskii, V. M., *Extraghirovanie. Sistema tveordoe telo. jdkosti.*, Leningrad, „Himiea”, 1974.
La cap. 9. Adsorbŭia.
- 9-1. Timofeev, D. P., *Kinetika adsorbŭii*, Moskva, Izd. AN SSSP, 1962.
- 9-2. Romankov, D. G., Lepilin, V. N., *Neprerivnaia adsorbŭia parov i gazov*, Leningrad, „Himiea”, 1968.
- 9-3. Şerpionova, E. N., *Promišlennaea adsorbŭia gazov i parov*, izd. 2-e, Moskva, „Vişsaia škola”, 1969.
- 9-4. Nikolaevskii, K. M., *Proektirovanie rekuperaŭii letucih rastvoritelei s adsorberami periodiceskogo deistviea*, Moskva, „Oboronghiz”, 1961.
- 9-5. Sokolov, V. A., Toroceşnikov, N. S., Keltev, N. V., *Molekulearnie sita i ih primenenie*, Moskva, „Himiea”, 1964.
- 9-6. Korallikov, N. M., *Teoreticeskie osnovi ionoobmennoi tehnologii*, Rigo, „Liesma”, 1968.
La cap. 10. Uscarea.

- 10-1. Likov, A. V., *Tepló- i massóobmen v professah suški*, Moskva, Leningrad, „Gosenergoizdat“, 1956.
- 10-2. Luric, M. Iu., *Sušilinoe delo*, izd. 2-e, Moskva, Leningrad, „Gosenergoizdat“, 1948.
- 10-3. Lebedev, P. D., *Rasciot i proektirovanie sušlinih ustanovok*, Moskva, Leningrad, „Gosenergoizdat“, 1963.
- 10-4. Ghinzburg, A. S., *Osnovi teorii i tehniki suski piscevih produktov*, Moskva, „Pisc. prom.“, 1973.
- 10-5. Kriseher, O., *Naucinie osnovi tehniki suški* (trad. din l. germ.), Moskva, IL, 1961.
- 10-6. Romankov, P. G., Raseovskaia, N. B., *Suška vo vzvešnom sostoeanii*, izd. 2-e, Leningrad, „Himica“, 1968.
- 10-7. Likov, M. B., Lecnick, B. I., *Raspilitelinie sušilki*, Moskva, „Mašinostroenie“, 1966.
- 10-8. Ghingzburg, A. S., *Infrakrasnaia suška v piscevoi promišlennosti*, Moskva, „Pisc. prom.“, 1966.
- 10-9. Likov, M. V. *Suska v himiceskoi promišlennosti*, Moskva, „Himica“, 1970.
- 10-10. Krasnikov, V. V., *Konvektivnaia suška*, Moskva, „Energhiea“, 1973.
- 10-11. Muštaev, V. I., Efimov, M. G., Uleanov, V. M., *Teoria i rasciot sušilinih professon*, Moskva, MIHM, 1974.
- La cap. 11. Răcirea moderată și înaintată.
- 11-1. * * * *Holodilnie mašini*, Moskva, „Pisc. prom.“, 1973.
- 11-2. Komarov, N. S., *Holod.*, izd. 5-e, „Ghizlegpiscprom.“, 1953.
- 11-3. Kocetkov, N. D., *Holodilinaia tehnika.*, Moskva, „Mašinostroenie“, 1966.
- 11-4. Komarov, N. S., *Spravočnik holodilišcika*, izd. 2-e, „Maščiz“, 1962.
- 11-5. Budnevel, S. F., *Professi glubokogo ohlaje nica*, Moskva, Leningrad, „Mašinostroenie“, 1966.
- 11-6. Rosenfel, I. M., Teacev, A. G., Gureviel, E. S., *Primeri i rascioti holodilinih mašin i apparatov*, Moskva, „Gostorghizdat“, 1960.
- 11-7. Fastovskii, V. G., *Razdelenie gazovih smesi*, Moskva, Leningrad, „Gostehizdat“, 1947.
- 11-8. Malkov, M. P., Danilov, I. B. ș.a., *Spravočnik po fiziko-tehniceskim osnovam glubokogo ohlajdenia*, Moskva—Leningrad, „Gosenergoizdat“, 1963.
- 11-9. Ghelperin, N. I., *Cpravocinic po razdeleniu gazovih smesi metodom glubocogo ohlajdenia*, izd. 2-e, Moskva, Goshimizdat, 1963.
- 11-10. * * * *Holodilinaea tehnika*, Entiklopediceskii, spravocinik, Moskva, Gostorghizdat, t. I, 1960 ; t. II, 1961.

ANEXE

Tabele

Tabelul I

Masele atomice ale unor elemente

Denumirea	Simbol	Masa atomică	Denumirea	Simbol	Masa atomică
Aluminiu	Al	26,98	Cripton	Kr	83,8
Argint	Ag	107,87	Litiu	Li	6,94
Argon	Ar	39,95	Magneziu	Mg	24,31
Arsen	As	74,92	Mangan	Mn	54,94
Aur	Au	197	Mercur	Hg	200,6
Azot	N	14,007	Molibden	Mo	95,94
Bariu	Ba	137,34	Nichel	Ni	58,7
Beriliu	Be	9,01	Oxigen	O	16
Bismut	Bi	209	Platină	Pt	195,1
Bor	B	10,81	Plumb	Pb	207,2
Brom	Br	79,9	Potasiu	K	39,1
Cadmium	Cd	112,4	Radiu	Ra	226
Calciu	Ca	40,08	Siliciu	Si	28,09
Carbon	C	12,01	Sodiu	Na	22,99
Clor	Cl	35,45	Staniu	Sn	118,7
Cobalt	Co	58,93	Stibiu	Sb	121,75
Crom	Cr	52	Stronțiu	Sr	87,62
Cupru	Cu	63,55	Sulf	S	32,06
Fer	Fe	55,85	Titan	Ti	47,9
Fluor	F	19	Uranu	U	238,03
Fosfor	P	30,97	Vanadiu	V	50,94
Heliu	He	4,003	Xenon	Xe	131,3
Hidrogen	H	1,008	Zinc	Zn	65,38
Iod	I	126,9			

Tabelul II

Densitatea materialelor solide

Material	Densitatea, kg/m ³	Densitatea în vrac, kg/m ³	Material	Densitatea, kg/m ³	Densitatea în vrac, kg/m ³
1	2	3	1	2	3
Alabastru	2 500	—	Ciment	2 900	—
Antracit	1 600	—	Cocs	1 500	500
Apatită	3 190	1 850	Cretă bulgări	2 200	1 300
Argilă uscată	—	1 330	Cuarț	2 650	1 500
Azbest	2 600	—	Email	2 350	—
Beton	2 300	—	Faolit	1 730	—
Calcar	2 650	1 800	Fosforit	—	1 600
Caolin	2 200	—	Granit	2 700	—
Cauciuc	930	—	Huilă	1 350	800
Cenușă	2 200	680	Mangal	1 450	200
Ceramică antiacidă	2 600	—	Marmură	2 600	—
Căramidă	1 500	—	Nisip uscat	1 500	1 200

Tabelul II (continuare)

1	2	3	1	2	3
Pământ uscat	1 800	1 300	Vinoplast	1 380	—
Parafină	900	—	Ghips cristalizat	2 240	1 300
Paronit	1 200	—	Metale		
Piatră turnată	3 000	—	Alamă	8 500	—
Piele uscată	860	—	Aluminu	2 700	—
Pin	500	—	Cupru laminat	8 800	—
Pirită	5 000	3 300	Fontă cenușie	7 250	—
Plută	240	—	Oțel	7 850	—
Potasă	2 230	—	Plumb	11 400	—
Rășină	1 500	—	Materiale refractare		
Sare gemă	2 350	1 020	Cărămidă dinas	1 900	—
Silitră	2 230	1 200	Magnezită	2 900	—
Sedă cristalizată	1 450	800	Șamotă	1 900	—
Sticlă	2 500	—			
Testelit	1 380	—			

Tabelul III

Densitatea citorva lichide la 0—20°C

Lichidul	Densitatea kg/m ³	Lichidul	Densitatea, kg/m ³
Acid azotic 92%	1 500	Sulfură de carbon	1 290
Amoniac 26%	910	Acid sulfuric 98%	1 830
Anilină	1 040	Acid sulfuric 60%	1 500
Acetonă	810	Acid sulfuric 30%	1 220
Benzină	760	Acid clorhidric 30%	1 150
Alcool butilic	810	Acid clorhidric fumans	1 210
Benzen	900	Toluen	870
Apă	1 000	Acid acetic 100%	1 060
Glicerină 100%	1 270	Acid acetic 70%	1 070
Glicerină 80%	1 130	Acid acetic 30%	1 040
Diclorețan	1 250	Fenol topit	1 060
Eter etilic	710	Clorbenzen	1 130
Sodă caustică, 10%	1 110	Clorură de calciu, 25%	1 195
Sodă caustică 30%	1 330	Clorură de sodiu, 25%	1 189
Petrol lampant	850	Cloroform	1 530
Xilol	880	Tetraclorură de carbon	1 630
Păcură	890—950	Acetat de etil	900
Alcool metilic, 100%	800	Clorură de etil	1 280
Alcool metilic 90%	820	Alcool etilic, 100%	790
Alcool metilic 30%	950	Alcool etilic, 70%	850
Acid formic	1 240	Alcool etilic, 40%	920
Naftalină topită	1 100	Alcool etilic, 10%	980
Țiței	790—950	Mercur	13 600
Nitrobenzen	1 260		

Tabelul IV

Densitatea lichidelor organice (în kg/m³) în funcție de temperatură

Lichidul	Temperatura, °C									
	0	20	40	60	80	100	120	140	160	180
Anilină	1 037	1 023	1 007	990	972	952	933	914	896	878
Acetonă	813	791	767	745	721					
Benzen	900	879	858	836	815	793	769	744	719	691
n-Hexan	677	660	641	622	602	581	559	534	506	475
Glicerină	1 267	1 259	1 250	1 238	1 224	1 208	1 188	1 163	1 126	
m-Xilol	882	865	847	831	813	796	777	759		
Alcool metilic	810	792	774	756	736	714	690	664	634	598
Alcool propilic	819	804	788	770	752	733	711	688	660	629
Alcool etilic	806	790	772	754	735	716	693	663	633	598
Toluen	885	866	847	829	810	791	773	754		
Acid formic		1 049	1 028	1 006	984	960	936	909	883	856
Tetraclorură de carbon	1 634	1 595	1 555	1 517	1 477	1 435	1 391	1 344	1 297	1 247
Eter etilic	736	714	689	666	640	611	576	539	495	

Tabelul V

Proprietățile fizice principale ale unor gaze

Denumirea	Formula	Densitatea la 0°C și 760 mm Hg, kg/m ³	Masa moleculară	Constanta g-calor J/(kg·K)	$k = \frac{c_p}{c_v}$	Temperatura de fierbere la 760 mm Hg, °C	Căldura latentă de evaporare la 760 mm Hg, kJ/kg	Punctele critice	
								Temperatura, °C	Presiunea absolută ata, kg/cm ²
Azot	N ₂	1,25	28	297	1,40	-195,8	199,1	-147,1	33,49
Amoniac	NH ₃	0,77	17	488	1,29	-33,4	1 374	+132,4	11,5
Argon	Ar	1,78	39,9	209	1,66	-185,9	163	-122,4	48,00
Acetilenă	C ₂ H ₂	1,171	26,0	320	1,24	-83,7	830	+35,7	61,6
Aer	—	1,293	(29,0)	287	1,40	-195	197	-140,7	37,2
Benzen	C ₆ H ₆	—	78,1	106	1,1	+80,2	394	+288,5	47,7
Butan	C ₄ H ₁₀	2,673	58,1	143	1,08	-0,5	387	+152	37,5
Bioxid de azot	NO ₂	—	46,0	181	1,31	+21,2	712	+158,2	100,00
Bioxid de sulf	SO ₂	2,93	64,1	130	1,25	-10,8	394	+157,5	77,78
Bioxid de carbon	CO ₂	1,98	44,0	189	1,30	-78,2	574	+31,1	72,9
Clor	Cl ₂	3,22	70,9	117	1,36	-33,8	306	+144,0	76,1
Clorură de metil	CH ₃ Cl	2,3	50,5	165	1,28	-24,1	406	+148	66,0
Etan	C ₂ H ₆	1,36	30,1	277	1,20	-88,5	486	+32,1	48,85
Etilenă	C ₂ H ₄	1,26	28,1	297	1,20	-103,7	482	+9,7	50,7
Heliu	He	0,179	4,0	2 080	1,66	-268,9	19,5	-268,0	2,26
Hidrogen	H ₂	0,0899	2,02	4 130	1,407	-252,8	455	-239,9	12,80
Hidrogen sulfurat	H ₂ S	1,54	34,1	244	1,30	-60,2	549	+100,4	188,9
Metan	CH ₄	0,72	16,0	519	1,31	-161,6	511	-82,15	45,6
Oxygen	O ₂	1,429	32	260	1,40	-183,0	213	-118,8	49,71
Pentan	C ₅ H ₁₂	—	72,2	115	1,69	+36,1	360	+197,1	33,0
Propan	C ₃ H ₈	2,02	44,1	189	1,33	-42,1	427	+95,6	43
Propilenă	C ₃ H ₆	1,91	42,1	198	1,17	-47,7	440	+91,4	45,4
Oxid de carbon	CO	1,25	28,0	297	1,40	-191,5	212	-140,2	34,53

Tabelul VI

Viscozitatea dinamică a apei

Temperatura, °C	Viscozitatea dinamică, mPa·s (cP)	Temperatura, °C	Viscozitatea dinamică, mPa·s (cP)	Temperatura, °C	Viscozitatea dinamică, mPa·s (cP)
0	1,792	33	0,7523	67	0,4233
1	1,731	34	0,7371	68	0,4174
2	1,673	35	0,7225	69	0,4117
3	1,619	36	0,7085	70	0,4061
4	1,567	37	0,6947	71	0,4006
5	1,519	38	0,6814	72	0,3952
6	1,473	39	0,6685	73	0,3900
7	1,428	40	0,6560	74	0,3849
8	1,386	41	0,6439	75	0,3799
9	1,346	42	0,6321	76	0,3750
10	1,308	43	0,6207	77	0,3702
11	1,271	44	0,6097	78	0,3655
12	1,236	45	0,5988	79	0,3610
13	1,203	46	0,5883	80	0,3565
14	1,171	47	0,5782	81	0,3521
15	1,140	48	0,5683	82	0,3478
16	1,111	49	0,5588	83	0,3436
17	1,083	50	0,5494	84	0,3395
18	1,056	51	0,5404	85	0,3355
19	1,030	52	0,5315	86	0,3315
20	1,005	53	0,5229	87	0,3276
20,2	1,000	54	0,5146	88	0,3239
21	0,9810	55	0,5064	89	0,3202
22	0,9579	56	0,4985	90	0,3165
23	0,9358	57	0,4907	91	0,3130
24	0,9142	58	0,4832	92	0,3095
25	0,8937	59	0,4759	93	0,3060
26	0,8737	60	0,4688	94	0,3027
27	0,8545	61	0,4618	95	0,2994
28	0,8360	62	0,4550	96	0,2962
29	0,8180	63	0,4483	97	0,2930
30	0,8007	64	0,4418	98	0,2899
31	0,7840	65	0,4355	99	0,2868
32	0,7679	66	0,4293	100	0,2838

Tabelul VII

Viscozitatea dinamică a glicerinei

Temperatura, °C	Viscozitatea dinamică, mPa·s (cP)	Temperatura, °C	Viscozitatea dinamică, mPa·s (cP)
0	12 100	70	59
5	7 050	80	35
10	3 950	90	21
15	2 350	100	13
20	1 480	120	5,2
30	600	140	1,8
40	330	160	1,0
50	180	180	0,45
60	102	200	0,22

Tabelul VIII

Viscozitatea dinamică a citorva soluții apoase

Substanța dizolvată	Concentrația, % masă	Temperatura, °C				
		0	20	30	40	60
		Viscozitatea dinamică, η , 10 ³ Pa·s				
NaOH	5	—	1,3	1,05	0,85	—
	15	—	2,78	2,10	1,65	—
	25	—	7,42	5,25	3,86	—
NaCl*	5	1,86	1,07	0,87	0,71	0,51
	15	2,27	1,36	1,07	0,89	0,64
	25	3,31	1,89	—	—	—
NaNO ₃	10	—	1,07	0,88	0,72	0,54
	20	—	1,18	1,03	0,86	0,62
	30	—	1,33	1,3	1,07	0,79
Na ₂ CO ₃	10	—	1,74	1,38	1,1	—
	20	—	4,02	2,91	2,25	—
	30	—	—	8,35	5,6	—
KOH	10	—	1,23	1,0	0,83	—
	20	—	1,63	1,33	1,11	—
	30	—	2,36	1,93	1,57	—
KCl	5	1,7	0,99	0,8	0,66	0,48
	15	1,58	1,0	0,83	0,69	0,52
	20	—	1,02	0,85	0,72	0,54
KNO ₃	5	1,68	0,98	0,8	0,66	0,49
	15	—	0,98	0,8	0,69	0,51
	30	—	—	0,89	—	—
NH ₄ NO ₃	10	1,58	0,96	0,79	0,66	0,5
	30	1,51	1,0	0,84	0,73	0,57
	50	—	1,33	1,14	0,99	0,77
MgCl ₂	10	2,8	1,5	—	—	—
	20	5,3	2,7	—	—	—
	35	19,3	10,1	—	—	—
CaCl ₂ **	10	2,17	1,27	—	—	—
	20	3,14	1,89	—	—	—
	35	8,9	5,1	—	—	—

* Vezi și tabelul L

** Vezi și tabelul LI

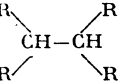
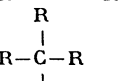
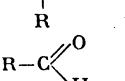
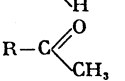
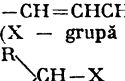
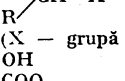
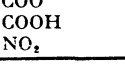
Tabelul IX

Constantele atomice ale viscozității

Atomii	H	O	N	Cl	Br	I	C
Constanta atomică, n	2,7	29,7	37,0	60,0	79,0	110,0	50,2

Tabelul X

Corecții la constantele atomice ale viscozității

Nr.	Caracterul legăturii și al grupărilor	p	-y μ, CP	+y μ, CP
1	Legatură dubla	-15,5	0,2	4,0
2	Inel cu cinci atomi de carbon	-24,0	0,19	3,75
3	Inel cu șase atomi de carbon	-21,0	0,18	3,35
4	Catena laterală a inelului cu 6 atomi de carbon:		0,17	3,25
	— masa moleculară <17	-9,0	0,16	3,0
	— masa moleculară >16	-17,0	0,15	2,75
5	Așezare în poziții orto și para ale substituenților secundari	+3,0	0,14	2,55
6	Așezare în poziție meta a substituenților secundari	+1,0	0,13	2,25
7		+8,0	0,12	2,0
8		+13,0	0,11	1,90
9		+16,0	0,10	1,80
10		+5,0	0,09	1,70
11		+4,0	0,08	1,60
12		+6,0	0,07	1,50
13		+24,7	0,06	1,40
14	OH	-19,6	0,05	1,30
15	COOH	-7,9	0,04	1,20
16	NO ₂	-16,4	0,03	1,10

Tabelul XI

Valoarea $\sqrt{M \cdot T_K}$ pentru câteva gaze

Gazul	M	T _K , K	$\sqrt{M \cdot T_K}$
Vapori de apă	18	647	108
Aer	29	132,7	61,9
Bioxid de carbon	44	304	115,5
Azot	28	126	59,5
Oxigen	32	154	70,2
Hidrogen	2	33	8,13
Oxid de carbon	28	134	61,4
Metan	16	190	55,1
Etilenă	28	283	89,0
Etan	30	305	95,6
Propan	44	370	128
Butan	58	426	157
Pentan	72	470	184
Hexan	86	508	209

Tabelul XII

Valorile medii ale rugozității conductelor

Conducte	ϵ , mm
Țevi din oțel trase și sudate, la coroziune neînsemnată	0,2
Țevi din oțel, vechi și ruginite	0,67 și mai mult
Țevi din oțel de acoperire, impregnate cu ulei de în fier	0,125
Țevi de fontă pentru apă, care au fost utilizate	1,4
Țevi tehnice netede din aluminiu	0,015 — 0,06
Țevi trase, curate, din alamă, cupru sau plumb; țevi de sticlă	0,0015 — 0,01
Țevi de beton, suprafață bună netezită prin frecare	0,3 — 0,8
Țevi din beton, suprafață grosieră, cu asperități	3 — 9
Conducte pentru petrol la condiții medii de exploatare și conducte pentru abur saturant	0,2
Conducte pentru abur, cu funcționare periodică	0,5
Conducte de are comprimat de la compresoare	0,8
Conducte pentru condensat, cu funcționare periodică	1,0

Tabelul XIV

Valorile diametrului echivalent și ale coeficientului A în regim laminar pentru diferite secțiuni

Forma secțiunii	d_e	A
Cerc cu diametrul d	d	64
Pătrat cu latura a	a	57
Triunghi echilateral cu latura a	0,58a	53
Inel cu lățimea a	2a	96
Dreptunghi cu laturile a și b:		
$\frac{a}{b} \approx 0$	2a	96
$\frac{a}{b} = 0,1$	1,81a	85
$\frac{a}{b} = 0,25$	1,60a	73
$\frac{a}{b} = 0,5$	1,30a	62
Elipsă a — semiaxa mică, b — semiaxa mare:		
$\frac{a}{b} = 0,1$	1,55a	78
$\frac{a}{b} = 0,3$	1,40a	73
$\frac{a}{b} = 0,5$	1,30a	68

Tabelul XV

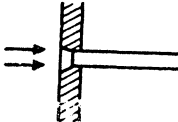
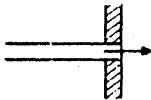
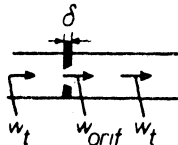
Coeficienții de debit ai diafragmelor

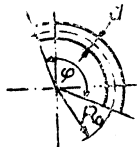
Re = $\frac{wd\rho}{\eta}$	m							
η	0,05	0,1	0,2	0,3	0,4	0,5	0,6	0,7
5 000	0,6032	0,6110	0,6341	—	—	—	—	—
10 000	0,6026	0,6092	0,6261	0,6530	0,6890	0,7367	0,7975	—
20 000	0,5996	0,6050	0,6212	0,6454	0,6765	0,7186	0,7753	0,8540
30 000	0,5990	0,6038	0,6187	0,6403	0,6719	0,7124	0,7650	0,8404
50 000	0,5984	0,6032	0,6168	0,6384	0,6666	0,7047	0,7553	0,8276
100 000	0,5980	0,6026	0,6162	0,6359	0,6626	0,6992	0,7472	0,8155
400 000	0,5978	0,6020	0,6150	0,6340	0,6600	0,6950	0,7398	0,8019

d — diametrul interior al țevii, m; w — viteza medie a lichidului sau gazului în țeavă, m/s; d_0 — diametrul orificiului normal al diafragmei, m; $m = (d_0/d)^2$.

Tabloul XIII

Coeficienții rezistențelor locale

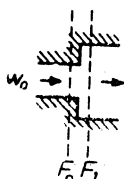
Tipul de rezistență	Valoarea coeficientului rezistenței locale																																																
<p>Intrare în țevă</p> 	<p>Cu colțuri ascuțite: $\xi = 0,5$ Cu colțuri rotunjite: $\xi = 0,2$</p>																																																
<p>Ieșire din țevă</p> 	<p>$\xi = 1$</p>																																																
<p>Diafragmă (orificiu) cu margini ascuțite în țevă dreaptă</p>  <p>$m = \left(\frac{d_{orif}}{D} \right)^2$</p> <p>$d_{orif}$ — diametrul orificiului diafragmei, m; δ — grosimea diafragmei, m; w_{orif} — viteza medie în orificiu, m/s; w_t — viteza medie în țevă, m/s; D — diametrul țevii, m</p>	<p>Pentru $\frac{\delta}{d_{orif}} = 0 \div 0,015$ pierderea de presiune $\Delta p = \xi \frac{\rho \cdot w_t^2}{2}$ Valoarea ξ se determină din tabelul:</p> <table><tr><td>m</td><td>0,02</td><td>0,04</td><td>0,06</td><td>0,08</td><td>0,1</td><td>0,12</td><td>0,14</td><td>0,16</td><td>0,18</td><td>0,20</td><td>0,22</td></tr><tr><td>ξ</td><td>7 000</td><td>1 670</td><td>730</td><td>400</td><td>245</td><td>165</td><td>117</td><td>86,0</td><td>65,6</td><td>51,5</td><td>40,0</td></tr></table> <table><tr><td>m</td><td>0,24</td><td>0,26</td><td>0,28</td><td>0,30</td><td>0,34</td><td>0,40</td><td>0,50</td><td>0,60</td><td>0,70</td><td>0,80</td><td>0,90</td></tr><tr><td>ξ</td><td>32,0</td><td>26,8</td><td>22,3</td><td>18,2</td><td>13,1</td><td>8,25</td><td>4,00</td><td>2,00</td><td>0,97</td><td>0,42</td><td>0,13</td></tr></table>	m	0,02	0,04	0,06	0,08	0,1	0,12	0,14	0,16	0,18	0,20	0,22	ξ	7 000	1 670	730	400	245	165	117	86,0	65,6	51,5	40,0	m	0,24	0,26	0,28	0,30	0,34	0,40	0,50	0,60	0,70	0,80	0,90	ξ	32,0	26,8	22,3	18,2	13,1	8,25	4,00	2,00	0,97	0,42	0,13
m	0,02	0,04	0,06	0,08	0,1	0,12	0,14	0,16	0,18	0,20	0,22																																						
ξ	7 000	1 670	730	400	245	165	117	86,0	65,6	51,5	40,0																																						
m	0,24	0,26	0,28	0,30	0,34	0,40	0,50	0,60	0,70	0,80	0,90																																						
ξ	32,0	26,8	22,3	18,2	13,1	8,25	4,00	2,00	0,97	0,42	0,13																																						

Curbă sau ramificație de secțiune rotundă (patrată)	Coeficientul de rezistență $\xi = A \cdot B$ se determină din tabel:									
	Unghiul φ , grade	20	30	45	60	90	110	130	150	180
	A	0,31	0,45	0,6	0,78	1,0	1,13	1,20	1,28	1,40
 d — diametrul interior al țevii, m ; R_0 — raza de curbură a țevii, m	R_0/d	1,0	2,0	4,0	6,0	15	30	50		
	B	0,21	0,15	0,11	0,09	0,06	0,04	0,03		
Cot de 90°, standardizat, din fontă	Trecerea nominală, mm				12,5	25	37	50		
	ξ				2,2	2	1,6	1,1		
Ventil normal	Valoarea ξ la deschiderea completă a ventilului									
	D, mm	13	20	40	80	100	150	200	250	350
	ξ	10,8	8,0	4,9	4,0	4,1	4,4	4,7	5,1	5,5

Tabelul XIII (continuar)

Tipul de rezistență	Valoarea coeficientului rezistențelocale ξ									
Ventil pentru echicurent	Pentru $Re = \frac{w \cdot D}{\nu} \geq 3 \cdot 10^3$ valoarea ξ se determină din tabel:									
	$D, \text{ mm}$	25	38	50	65	76	100	150	200	250
	ξ	1,04	0,85	0,79	0,65	0,60	0,50	0,42	0,36	0,32
	Pentru $Re < 3 \cdot 10^3$ coeficientul de rezistență $\xi = \xi_i \cdot K$ Valoarea ξ_i se determină ca și la $Re \geq 3 \cdot 10^3$, iar valoarea K este dată în tabel:									
	Re	5 000	10 000	20 000	50 000	100 000	200 000	300 000		
Robinet de probă	K	1,40	1,07	0,94	0,88	0,91	0,93	1		
	Trecerea nominală, mm			13	19	25	32	38	50 și mai mult	
	ξ			4	2	2	2	2	2	
Vană	Trecerea nominală, mm			15—100		175—200		300 și mai mult		
	ξ			0,5		0,25		0,15		

Lărgire bruscă



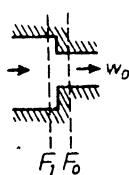
F_0 — aria secțiunii minime, m^2 ;
 w_0 — viteza curentului în secțiunea minimă,
 m/s ;
 F_1 — aria secțiunii maxime, m^2

$$Re = \frac{w_0 \cdot d_e}{\nu}$$

$$\Delta p_{\text{lărgire}} = \xi \frac{\rho \cdot w_0^2}{2}$$

$Re = \frac{w_0 \cdot d_e}{\nu}$	F_0/F_1					
	0,1	0,2	0,3	0,4	0,5	0,6
10	3,1	3,1	3,1	3,1	3,1	3,1
100	1,70	1,40	1,20	1,10	0,90	0,80
1 000	2,0	1,60	1,30	1,05	0,90	0,60
3 000	1,00	0,70	0,60	0,40	0,30	0,20
3 500 și mai mult	0,81	0,64	0,50	0,36	0,25	0,16

Îngustare bruscă



F_0 — aria secțiunii minime, m^2 ;
 w_0 — viteza curentului în secțiunea minimă,
 m/s ;
 F_1 — aria secțiunii maxime, m^2

$$Re = \frac{w_0 \cdot d_e}{\nu}$$

$$\Delta p_{\text{îngustare}} = \xi \frac{\rho \cdot w_0^2}{2}$$

$Re = \frac{w_0 \cdot d_e}{\nu}$	F_0/F_1					
	0,1	0,2	0,3	0,4	0,5	0,6
10	5,0	5,0	5,0	5,0	5,0	5,0
100	1,30	1,20	1,10	1,00	0,90	0,80
1 000	0,64	0,50	0,44	0,35	0,30	0,24
10 000	0,50	0,40	0,35	0,30	0,25	0,20
> 10 000	0,45	0,40	0,35	0,30	0,25	0,20

Tabelul XVI

Valorile coeficientului de corecție K

Diametrul țevii, m	m = 0,1	m = 0,2	m = 0,3	m = 0,4	m = 0,5	m = 0,6	m = 0,7
0,05	1,0037	1,0063	1,0082	1,0118	1,0144	1,0172	1,02
0,10	1,0024	1,0045	1,0064	1,0065	1,0108	1,013	1,0148
0,20	1,0017	1,0023	1,0034	1,004	1,0052	1,006	1,007
0,30	1,0005	1,001	1,001	1,001	1,001	1,001	1,001

$$m = \left(\frac{d_0}{d} \right)^2$$

Tabelul XVII

Caracteristica umpluturilor scruberelor

Tipul umpluturii	Diametrul elementelor umpluturii, mm	Numărul de elemente la 1 m³ volum de umplură	Volumul liber, m³/m³	Suprafața specifică, m²/m³	Masa a 1 m³ umplură, kg
Inele de porțelan	8 × 8 × 1,5	1 465 000	0,64	570	600
Inele ceramice	15 × 15 × 2	250 000	0,70	330	690
Inele ceramice	25 × 25 × 3	53 000	0,74	204	532
Inele ceramice	35 × 35 × 4	20 200	0,78	140	505
Inele ceramice	50 × 50 × 5	6 090	0,785	87,5	530
Inele ceramice	35 × 35 × 2,5	19 000	0,83	147	—
Inele de fier	50 × 50 × 1	6 000	0,95	110	430
Inele de fier	42	14 400	0,388	80,5	—
Pietriș rotund	43,2	12 600	0,565	68	1 200
Andezit bucăți	42,6	14 000	0,56	77	455
Cocs bucăți	40,8	15 250	0,545	86	585
Cocs bucăți	28,6	27 700	0,535	110	660
Cocs bucăți	24,4	61 800	0,532	120	600
Catalizator pentru sinteza amoniacului în bucăți	6,1	5 200 000	0,465	960	2 420
Catalizator pentru conversia CO în tablete	d = 11,5 h = 6	1 085 000	0,38	460	1 100
Catalizator de vanadiu pentru acid sulfuric în tablete	d = 11 h = 6,5	1 000 000	0,43	415	614

Tabelul XVIII

Caracteristica umpluturilor din lemn (șipci din lemn)

Secțiunea șipci	Dimensiunile secțiunii transversale, mm	Distanța dintre șipci, mm	Distanța între rîndurile de șipci, mm	Suprafața specifică, m²/m³
dreptunghiulară	12,5 × 100 12,5 × 100 12,5 × 100	25,0 12,5 10,0	20 20 20	50 75 89
triunghiulară	30 × 30 × 30	30	12,5	78

Anexe

Tabelul XIX

Dependența presiunii atmosferice de altitudine

Altitudinea, m	-600	0	+100	200	300	400	500	600	700	800	900	1 000	1 500
Presiunea atmosferică, m H ₂ O	11,3	10,3	10,2	10,1	10,0	9,8	9,7	9,6	9,5	9,4	9,3	9,2	8,6

Tabelul XX

Înălțimea admisibilă de aspirație (în m) la pomparea apei

Turația pompei, rot/min	Temperatura apei, °C						
	0	20	30	40	50	60	70
50	7	6,5	6	5,5	4	2,5	0
60	6,5	6	5,5	5	3,5	2	0
90	5,5	5	4,5	4	2,5	1	0
120	4,5	4	3,5	3	1,5	0,5	0
150	3,5	3	2,5	2	0,5	0	0
180	2,5	2	1,5	1	0	0	0

Tabelul XXI

Valorile constantelor c și m pentru diferite tipuri de agitatoare

Tipul agitatorului	Caracteristica geometrică			Valorile constantelor		Observații
	H ₀ /d	D/d	h/d	c	m	
Cu două palete	2	2	0,36	111,0 14,35	1,0 0,31	Re < 20 Re = 100 - 5 · 10 ⁴
Cu două palete	3	3	0,33	6,8	0,2	
Cu două palete sub un unghi de 45°	3	3	0,33	4,05	0,2	
Cu patru palete	3	3	0,33	8,52	0,2	
Cu patru palete inclinate în sus cu 45°	3	3	0,33	5,05	0,2	
Cu patru palete inclinate în sus cu 60°	3	3	0,33	6,30	0,18	
Ancoră cu două palete	1,11	1,11	0,11	6,2	0,25	
Ancoră cu patru palete	1,11	1,11	0,11	6,0	0,25	
* Elice cu două palete cu inclinare de 22,5°	3	3	0,33	0,985	0,15	
* Elice cu trei palete cu inclinare d	3,5	3,8	1	230 4,63 1,19	1,67 0,35 0,15	Re < 30 Re < 3 · 10 ³ Re > 3 · 10 ³
Turbină cu trei palete cu deschidere centrală de 37 mm	3	3	0,33	3,90	0,2	
Turbină cu șase palete cu aparat de dirijare	1,78	2,4	0,25	5,98	0,15	

Tabelul XXII

Tensiunea superficială a lichidelor
Transformarea în SI: 1 dyn/cm = 10⁻³ N/m

Lichidul	Temperatura, °C	Tensiunea superficială, dyn/cm	Formula relației $\sigma_t = f(t)$
Acetonă	0	26,2	$\sigma_t = \sigma_0 - 0,092t$
	20	23,7	
	40	21,2	
	60	18,6	
	80	16,0	
Acetat de etil	20	23,9	
Acid acetic	20	27,8	
Acid formic	17	37,5	
Alcool etilic	0	24,1	
	20	22,8	
	40	20,2	
	60	18,4	
	80	16,6	
Alcool metilic	20	22,6	$\sigma_t = \sigma_0 - 0,146t$
Alcool propilic	20	23,8	
Anilină	20	42,9	
Apă	0	75,6	
	20	72,8	
	40	66,2	
	60	58,9	
	80	51,6	
Azot lichid	-196	8,5	
Benzen	0	31,6	
	20	27,6	
	40	23,7	
	60	21,7	
	80	19,7	
Cloroform	10	28,5	$\sigma_t = \sigma_0 - 0,115t$
Eter etilic	0	21,7	
	20	17,0	
	40	13,2	
	60	9,4	
	80	5,6	
Oxigen lichid	-183	13,2	
Sulfură de carbon	19	33,6	
	46	29,4	
	73	27,3	
	100	26,8	
	127	26,8	
Terebentină	15	27,3	$\sigma_t = \sigma_0 - 0,115t$
Tetraclorură de carbon	20	26,8	
Toluen	15	28,8	
Ulei de măsline	20	32,0	
Ulei de parafină	25	26,4	

Tabelul XXIII

Tensiunea superficială a soluțiilor apoase (în dyn/cm)
Transformarea în SI: 1 dyn/cm = 10⁻³ N/m

Substanța dizolvată	Temperatura °C	Concentrația, % masă			
		5	10	20	50
0	1	2	3	4	5
H ₂ SO ₄	18	—	74,1	75,2	77,3
NH ₄ OH	20	—	72,7	71,1	65,4
NaOH	20	74,6	77,3	85,8	—
NaCl	18	74,0	75,5	—	—
Na ₂ SO ₄	18	73,8	75,2	—	—
NaNO ₃	30	72,1	72,8	74,4	79,8

Tabelul XXIII (continuare)

0	1	2	3	4	5
KCl	18	73,6	74,8	77,3	—
KNO ₃	18	73,0	73,6	75,0	—
K ₂ CO ₃	10	75,8	77,0	79,2	106,4
NH ₄ OH	18	66,5	63,5	59,3	—
NH ₄ Cl	18	73,3	74,5	—	—
NH ₄ NO ₃	100	59,2	60,1	61,6	67,5
MgCl ₂	18	73,8	—	—	—
CaCl ₂	18	73,7	—	—	—

Tabelul XXIV

Gradul de negru pentru câteva materiale

Materialul	ε	Materialul	ε
Aluminiu	0,05—0,07	Lac de aluminiu	0,4
Azbest	0,96	Vopsea de ulei	0,78—0,96
Apă	0,93	Cupru	0,57—0,87
Gips	0,78—0,9	Plumb	0,28
Cherestea	0,9	Sticlă	0,94
Fier oxidat	0,74—0,96	Fontă rugoasă oxidată	0,96
Fier zincat	0,27	Tencuială	0,93
Zidărie de cărămidă	0,93	Lac	0,8—0,98

Tabelul XXV

Căldura specifică medie a câtorva materiale solide la 0—100°C, în kJ/(kg·K)

Aluminiu	0,92	Magneziu	0,92
Azbest	0,84	Cupru	0,385
Beton	1,13	Cretă	0,88
Bronz	0,385	Naftelină	1,30
Viniplast	1,76	Parafină	2,72
Lemn	2,72	Nisip uscat	0,80
Fier	0,50	Plută	1,68
Caolin	0,92	Rășină	1,68
Huile	1,30	Plumb	0,13
Cuarț	0,80	Oțel	0,50
Cărămidă	0,92	Sticlă	0,42—0,84
Cărămidă refractară	0,88—1,01	Textolit	1,47
Cocs	0,84	Celuloză	1,55
Alamă	0,394	Zinc	0,38
Gheață	2,14	Fontă	0,50
Piatră turnată	0,84	Zgură	0,75
Lină	1,63		

Tabelul XXVI

Căldura specifică medie a câtorva lichide, în kJ/(kg·K) (care lipsesc în figura 11)

Azot lichid	2,01	Oxigen lichid	1,68
Acid azotic	2,77	Ulei de motoare	1,68
Amoniac	4,19	Nitrobenzan	1,38
Benzină	1,84	Anhidridă sulfuroasă	1,31
Hexan	2,51	Terebentină	1,76
Petrol lampant	2,10	Fenol	2,35

Tabelul XXVII

Căldura molară a gazelor, kJ/(kmol·K)* (la $p_{abs} = 1$ atm)

Gazul	Temperatura, °C			
	0	100	300	600
Azot, oxigen, aer, oxid de carbon	29,0	29,3	36,0	31,0
Amoniac	35,3	37,9	43,2	50,1
Hidrogen	29,1	29,3	29,7	30,4
Vapori de apă	35,0	35,5	36,7	39,3
Metan	35,7	39,7	47,8	59,8
Hidrogen sulfurat	34,3	35,8	38,8	43,3
Bioxid de carbon și bioxid de sulf	38,6	41,1	45,7	54,3
Clor	36,3	36,4	36,7	37,0

* Datele pot fi folosite cu aproximație și pentru presiuni de ordinul a cîteva atmosfere.

Tabelul XXVIII

Coeficienții de conductivitate termică a unor materiale la 0—100°C

Materialul	Densitatea pentru materiale granulare densitatea în vrac, kg/m ³	Coeficient de conductivitate termică, W/(m·K)
0	1	2
Azbest	600	0,151
Beton	2 300	1,28
Viniplast	1 380	0,163
Pîslă de lînă	300	0,047
Lemn (pin) perpendicular pe fibră	600	0,140—0,171
Lemn (pin) de-a lungul fibrei	600	0,384
Zidărie din cărămidă obișnuită	1 700	0,698—0,811
Zidărie din cărămidă refractară	1 840	1,05*
Zidărie din cărămidă izolanță	600	0,116—0,299
Vopsea de ulei	—	0,233
Gheață	920	2,33
Piatră turnată	3 000	0,693
Magnezie 85% praf	216	0,070
Crustă, piatră de cazan	—	1,163—3,49
Rumeguș de lemn	230	0,070—0,093
Fenoplast	30	0,047
Nisip uscat	1 500	0,349—0,811
Praf de plută	160	0,047
Rugină	—	1,16

Tabelul XXVIII (continuare)

	0	1	2
Sovelit		450	0,098
Sticlă		2 500	0,698—0,814
Vată de sticlă		200	0,035—0,070
Textolit		1 380	0,244
Plăci de turbă		220	0,061
Faolit		1 730	0,419
Vată de zgură		250	0,076
Email		2 350	0,872—1,163
Aluminiu	Metale		
Bronz		2 700	203,5
Alamă		8 000	64,0
Cupru		8 500	93,0
Plumb		8 800	384
Oțel		11 400	34,9
Oțel inoxidabil		7 850	46,5
Fontă		7 900	17,5
		7 500	46,5—93,0

* Pentru temperatură de 800—1 100°C.

Tabelul XXIX

Coeficienții de conductivitate termică ai soluțiilor

Substanța dizolvată	Concentrația, % masă	Temperatura, °C	Coeficientul de conductivitate termică, W/(m·K)
NH ₃	26	18	0,45
BaCl ₂	21	32	0,58
KBr	40	32	0,50
KOH	21	32	0,58
K ₂ SO ₄	42	32	0,55
KCl	10	32	0,60
	15	32	0,58
MgSO ₄	30	32	0,56
MgCl ₂	22	32	0,59
	11	32	0,58
CuSO ₄	29	32	0,52
NaBr	18	32	0,58
	20	32	0,57
Na ₂ CO ₃	40	32	0,54
NaCl	10	32	0,58
	12,5	32	0,58
H ₂ SO ₄	25	32	0,48
	30	32	0,52
	60	32	0,44
HCl	90	32	0,35
	12,5	32	0,52
	25	32	0,48
CH ₃ COOH	38	32	0,44
CH ₃ ·CH ₂ OH	50	25	0,36
	10	12	0,52
	30	12	0,42
	50	13	0,32
	70	14	0,24
	90	15	0,19

Tabelul XXX

Coeficienții de conductivitate termică ai gazelor la $p_{abs} = 1 \text{ atm}^*$

Gazul	Temperatura, °C			
	0	50	100	200
Azot	0,0233	0,0267	0,0314	0,0384
Amoniac	0,0209	0,0256	0,0314	—
Hidrogen	0,1628	0,1861	0,2210	0,2559
Vapori de apă	0,0163	0,0198	0,0244	0,0326
Aer	0,0244	0,0279	0,0326	0,0395
Oxygen	0,0244	0,0291	0,0326	0,0407
Metan	0,0302	0,0361	0,0465	—
Oxid de carbon	0,0221	0,0244	—	—
Bioxid de carbon	0,0140	0,0186	0,0233	0,0314
Etan	0,0174	0,0233	0,0314	—
Etilenă	0,0163	0,0209	0,0267	—

* Vezi observația de la tabelul XXVII.

Tabelul XXXI

Valorile medii ale conductivității termice a pereților impurificați

Purtătorul de căldură	Conductivitatea termică a peretelui cu depuneri $\frac{1}{\alpha} \cdot 1,163^{-1}, \text{ W/(m}^2 \cdot \text{K)}$
Apă impurificată	1 200—1 600*
Apă de calitate medie	1 600—2 500*
Apă de calitate bună	2 500—5 000*
Apă purificată	2 500—5 000*
Apă distilată	10 000
Produse petroliere curate, uleiuri, vapori de agenți frigorifici	2 500
Produse petroliere brute	1 000
Lichide organice, soluții de săruri, agenți frigorifici lichizi	5 000
Vapori de apă cu resturi de ulei	5 000
Vapori de compuși organici	10 000
Aer	2 400

* Pentru apă, valorile mai mici ale conductivității termice a impurităților corespund la temperaturi mai înalte.

Tabelul XXXII

Coeficienții de dilatare volumică ai apei (în K^{-1})

$t, ^\circ\text{C}$	$\beta \cdot 10^4$	$t, ^\circ\text{C}$	$\beta \cdot 10^4$	$t, ^\circ\text{C}$	$\beta \cdot 10^4$
5	1,5	50	46	100	75
10	9	60	52	120	85
20	21	70	58	140	97
30	30	80	64	160	110
40	39	90	70		

Tabelul XXXIII

Coeficienții de dilatare volumică ai lichidelor la $\approx 20^\circ\text{C}$ (în K^{-1})

Lichidul	$\beta \cdot 10^4$	Lichidul	$\beta \cdot 10^4$
Anilină	85	Soluție NaCl, 26%	44
Benzină	125	Acid sulfuric	57
Benzen	124	Sulfură de carbon	121
Glicerină	53	Terebentină	94
Petrol lampant	100	Alcool amilic	93
m-xilol	101	Alcool metilic	122
Ulei de măsline	70	Alcool etilic	110
Ulei de parafină	90	Toluen	109
Pentan	159	Acid acetic	107
Soluție CaCl_2 , 6%*	25	Cloroform	126
Soluție CaCl_2 , 41%	46	Eter etilic	163

* Valorile lui β pentru soluții de săruri se găsesc în Danilova, G. N. și alții — Culegere de probleme și calcule pentru transmiterea căldurii, Moskova-Leningrad, Gostorgizdat, 1961.

Tabelul XXXIV

Caracteristicile de bază ale schimbătoarelor de căldură multitubulare cu țevi cu diametrul de $25 \times 2 \text{ mm}$. Pasul țevilor 32 mm

Diametrul mantalei (in- terior) mm	Numărul de țevi	Lungimea țevelor, mm							
		1 000	1 500	2 000	2 500	3 000	4 000	5 000	6 000
		Aria suprafeței de schimb, m²*							
Schimbătoare cu o trecere									
150	13	1,0	1,5	2,5	4,0	6,0			
259	43			6,5	8,0	10	13	17	20
400	121	9,0	14	18	23	28	37	47	56
600	283		33	43	54	87	87	109	131
800	511			77	97	117	157	197	237
1 000	823			124	156	189	253	318	382
Schimbătoare cu două treceri									
400	110		12	17	21	25	34	42	51
600	266		30	40	51	61	82	102	123
800	488			74	93	121	189		
1 000	792			119		181	244	305	
1 200	1 152			174	220		355	445	
1 400	1 596			240	301	366	490		
Schimbătoare cu patru treceri									
400	90				17	21			42
600	232				44	53	72	90	108
800	446			67	85	102	137	172	207
1 000	736			111	140		226	384	342
1 200	1 088				207	250	335	420	506
1 400	1 518				288	348	466	585	705
1 600								780	940
1 800									1 200

Tabelul XXXVI (continuare)

0	1	2	3	4	5	6	7	8	9
MgCl ₂	38,61	—	—	—	—	—	—	—	—
MgSO ₄	—	—	—	—	—	—	—	—	—
NaOH	48,32	60,13	69,97	77,53	84,03	88,89	93,02	95,92	98,47
NaCl	—	—	—	—	—	—	—	—	—
NaNO ₃	—	—	—	—	—	—	—	—	—
Na ₂ SO ₄	—	—	—	—	—	—	—	—	—
Na ₂ CO ₃	—	—	—	—	—	—	—	—	—
CuSO ₄	—	—	—	—	—	—	—	—	—
ZnSO ₄	—	—	—	—	—	—	—	—	—
NH ₄ NO ₃	87,09	93,20	96,00	97,61	98,84	—	—	—	—
NH ₄ Cl	—	—	—	—	—	—	—	—	—
(NH ₄) ₂ SO ₄	—	—	—	—	—	—	—	—	—

Tabelul XXXVII

Căldura de dizolvare în apă, q , a citorva săruri (1 kmol sare în n kmoli apă)

Formula sării	Masa molară, kg/kmol	q , kJ/kmol	n
NaCl	58,5	+ 4 944	100
Na ₂ SO ₄	142	- 1 927	400
Na ₂ SO ₄ · 10 H ₂ O	322	+ 78 600	400
NaNO ₃	85	+ 21 080	200
K ₂ CO ₃ · 1,5 H ₂ O	165	+ 1 590	400
KCl	74,6	+ 17 560	100
KNO ₃	101	+ 35 700	200
KOH · 2 H ₂ O	92	- + 126	170 + 30
(NH ₄) ₂ SO ₄	132	+ 9 930	400
CaCl ₂ · 6 H ₂ O	219	+ 18 060	400
MgCl ₂ · 6 H ₂ O	203	- 12 360	400

Notă: Semnul plus arată dizolvarea endotermă, iar semnul minus indică dizolvarea exotermă.

Tabelul XXXVIII

Presiunea vaporilor de apă saturați în intervalul de temperatură -20°C + 100°C
Transformarea în SI: 1 mm Hg = 133,3 Pa

t , °C	p , mm Hg	t , °C	p , mm Hg	t , °C	p , mm Hg	t , °C	p , mm Hg	t , °C	p , mm Hg
-20	0,772	5	6,54	30	31,82	55	118,0	80	355,1
19	0,850	6	7,01	31	33,70	56	123,8	81	369,7
18	0,935	7	7,51	32	35,66	57	129,8	82	384,9
17	1,027	8	8,05	33	37,73	58	136,1	83	400,6
16	1,128	9	8,61	34	39,90	59	142,6	84	416,8
15	1,238	10	9,21	35	42,18	60	149,4	85	433,6
14	1,357	11	9,84	36	44,56	61	156,4	86	450,9
13	1,486	12	10,52	37	47,07	62	163,8	87	468,7

Tabelul XXXVIII (continuare)

0	1	2	3	4	5	6	7	8	9
12	1,627	13	11,23	38	49,65	63	171,4	88	487,1
11	1,780	14	11,99	39	52,44	64	179,3	89	506,1
10	1,946	15	12,79	40	55,32	65	187,5	90	525,8
9	2,125	16	13,63	41	58,34	66	196,1	91	546,1
8	2,321	17	14,53	42	61,50	67	205,0	92	567,0
7	2,532	18	15,48	43	64,80	68	214,2	93	588,6
6	2,761	19	16,48	44	68,26	69	223,7	94	610,9
5	3,008	20	17,54	45	71,88	70	233,7	95	633,9
4	3,276	21	18,65	46	75,65	71	243,9	96	657,6
3	3,566	22	19,83	47	79,60	72	254,6	97	682,1
2	3,879	23	21,07	48	83,71	73	265,7	98	707,3
1	4,216	24	22,38	49	88,02	74	277,2	99	733,2
0	4,579	25	23,76	50	92,51	75	289,1	100	760,0
+1	4,93	26	25,21	51	97,20	76	301,4		
2	5,29	27	26,74	52	102,1	77	314,1		
3	5,69	28	28,35	53	107,2	78	327,3		
4	6,10	29	30,04	54	112,5	79	341,0		

Tabelul XXXIX

Proprietățile fizice ale apei (pe linia de saturație).

p , at	t , °C	ρ , kg/m ³	i , kJ/kg	c_p , kJ/kg·K	$\lambda \cdot 10^3$, W/m·K	$\alpha \cdot 10^7$, m ² /s	$\eta \cdot 10^4$, Pa·s	$\nu \cdot 10^6$, m ² /s	$\beta \cdot 10^4$, K ⁻¹	$\sigma \cdot 10^4$, kg/s ²	Pr
1	0	1 000	0	4,23	55,1	1,31	1 790	1,79	-0,63	756	13,7
1	10	998	41,9	4,19	57,5	1,37	1 310	1,31	+0,70	762	9,52
1	20	998	83,8	4,19	59,9	1,43	1 000	1,01	1,82	727	7,02
1	30	996	126	4,18	61,8	1,49	804	0,81	3,21	712	5,42
1	40	992	168	4,18	63,4	1,53	657	0,66	3,87	697	4,31
1	50	988	210	4,18	64,8	1,57	549	0,556	4,49	677	3,54
1	60	983	251	4,18	65,9	1,61	470	0,478	5,11	662	2,98
1	70	978	293	4,19	66,8	1,63	406	0,415	5,70	643	2,55
1	80	972	335	4,19	67,5	1,66	355	0,365	6,32	626	2,21
1	90	965	377	4,19	68,0	1,68	315	0,326	6,95	607	1,95
1,03	100	958	419	4,23	68,3	1,69	282	0,295	7,5	589	1,75
1,46	110	951	461	4,23	68,5	1,69	256	0,268	8,0	569	1,58
2,02	120	943	503	4,23	68,6	1,72	231	0,244	8,6	549	1,43
2,75	130	935	545	4,27	68,6	1,72	212	0,226	9,2	529	1,32
3,68	140	926	587	4,27	68,5	1,72	196	0,212	9,7	507	1,23
4,85	150	917	629	4,32	68,4	1,72	185	0,202	10,3	487	1,17
6,30	160	907	671	4,36	68,3	1,72	174	0,191	10,8	466	1,10
8,08	170	897	713	4,40	67,9	1,72	163	0,181	11,5	444	1,05
10,23	180	887	755	4,44	67,5	1,72	153	0,173	12,2	424	1,01

Tabelul XI

Temperatura medie și umezeala realtivă a aerului atmosferic în cîteva localități ale R.S.R.

Denumirea localității	Ianuarie		Iulie	
	t, °C	%	t, °C	%
Alba Iulia	-3,3	86	20,5	66
Alexandria	-3,2	87	22,7	61
Arad	-1,1	83	21,4	58
Bala Mare	-2,4	84	19,9	67
Bacău	-4,3	81	20,8	60
Bistrița	-4,4	81	19,1	71
Brașov	-3,9	80	17,8	65
Brăila	-2,3	82	23,1	58
București-Filaret	-2,8	85	22,9	56
București-Băneasa	-3,3	87	22,3	57
Buzău	-2,4	80	22,5	59
Calafat	-1,5	84	23,4	60
Calărași	-2,0	86	23,1	61
Cluj	-4,4	85	18,9	65
Cîmpulung Muscel	-2,8	78	18,4	66
Constanța	-0,3	88	22,2	74
Craiova	-2,5	83	22,7	58
Deva	-2,2	86	20,5	68
Fălticeni	-4,3	78	18,9	66
Galați	-3,1	85	22,6	61
Huși	-3,5	79	21,3	59
Iasi	-3,6	81	21,3	62
Jimbolia	-1,5	88	21,4	60
Lugoj	-1,0	85	21,4	65
Mangalia	-0,2	89	21,8	76
Oradea	-1,5	86	21,2	65
Ploiești	-2,1	83	22,0	61
Pitești	-2,4	76	20,8	62
Piatra Neamț	-3,3	72	19,5	62
Roman	-4,9	80	19,9	64
Rîmnicu Sărat	-2,8	78	22,1	60
Rîmnicu Vilcea	-2,4	74	21,3	59
Sibiu	3,8	85	19,6	68
Sulina	-0,6	87	22,4	72
Timișoara	-1,2	86	21,6	62
Trgu Jiu	-2,5	82	21,6	62
Trgu Mureș	-4,3	82	19,4	70
Trgu Ocna	-2,7	67	20,0	59
Trgoviste	-2,3	84	21,0	66
Tulcea	-1,5	84	22,9	57
Drobeta Turnu Severin	-0,9	82	23,1	59
Vaslui	-4,2	84	21,0	58

Tabelul XII
Valorile coeficientului lui Henry, E, pentru soluțiile apoase ale cîtorva gaze (în tabel se dau valorile $E \cdot 10^{-6}$ în mm Hg)
Transformarea în SI: 1 mm Hg = 133,3 Pa

Gazul	Temperatură, °C										
	0	5	10	15	20	25	30	40	60	80	100
Acetilenă	0,55	0,64	0,73	0,82	0,92	1,01	1,11	—	—	—	—
Aer	32,8	37,1	41,7	46,1	50,4	54,7	58,6	66,1	76,5	81,7	81,6
Azot	40,2	45,4	50,8	56,1	61,1	65,7	70,2	79,2	90,9	95,9	95,4
Bioxid de carbon	0,553	0,666	0,792	0,93	1,08	1,24	1,41	1,77	2,59	—	—
Brom	0,0162	0,0209	0,0278	0,0354	0,0451	0,056	0,0688	0,101	0,191	0,307	—
Clor	0,204	0,25	0,297	0,346	0,402	0,454	0,502	0,6	0,731	0,73	—
Etan	9,55	11,8	14,4	17,2	20	23	26	32,2	42,9	50,2	52,6
Etilenă	4,19	4,96	5,84	6,8	7,74	8,67	9,62	—	—	—	—
Hidrogen	44	46,2	48,3	50,2	51,9	53,7	55,4	57,1	58,1	57,4	56,6
Hidrogen sulfurat	0,203	0,239	0,278	0,321	0,367	0,414	0,463	0,566	0,782	1,03	1,12
Metan	17	19,7	22,6	25,6	28,5	31,4	34,1	39,5	47,6	51,8	53,3
Oxid de carbon	26,7	30	33,6	37,2	40,7	44	47,1	52,9	62,5	64,3	64,3
Oxygen	19,3	22,1	24,9	27,7	30,4	33,3	36,1	40,7	47,8	52,2	53,3

Tabelul XLIII

Coeficienții de difuzie ai gazelor și vaporilor în aer (în condiții normale)*

Substanța	$D_0 \cdot 10^4$ m ² /s	D_0 m ² /h	Substanța	$D_0 \cdot 10^4$ m ² /s	D_0 m ² /h
Acid clorhidric	13,0	0,0467	Bioxid de carbon	13,8	0,0497
Alcool etilic	10,2	0,0367	Bioxid de sulf	10,3	0,037
Alcool metilic	13,3	0,0478	Eter etilic	7,8	0,028
Amoniac	17,0	0,0612	Hidrogen	61,1	0,22
Anhidridă sulfurică	9,4	0,034	Oxigen	17,8	0,64
Azot	13,2	0,0475	Sulfură de carbon	8,9	0,0321
Benzen	7,7	0,0277	Vapori de apă	21,9	0,079

* La alte temperaturi și presiuni:

$$D = D_0 \cdot \frac{p_0}{p} \cdot \left(\frac{T}{T_0} \right)^{3/2}$$

Coeficienții de difuzie ai citorva gaze în apă la 20°C*

Gazul	$D \cdot 10^4$ m ² /s	D m ² /h	Gazul	$D \cdot 10^4$ m ² /s	D m ² /h
Amoniac	1,8	6,6	Clor, hidrogen sulfurat	1,6	5,8
Acid clorhidric (la 12°C)	2,3	8,3	Hidrogen	5,3	19,1
Azot	1,9	6,9	Oxigen	2,1	7,5
Bioxid de carbon, pro- toxid de azot	1,8	6,4			

* La alte temperaturi: $D_t = D_{20}[1 + 0,02(t - 20)]$

Proprietățile fizice ale citorva lichide organice

Lichidul	Formula chimică	Masa molară, kg/kmol	Densitatea, kg/m ³	Tempera- tura de fierbere, °C	Presiunea vaporilor saturați, mm Hg	Temperatura de solidificare, °C
0	1	2	3	4	5	6
Acetonă	CH ₃ COCH ₃	58,08	810	56	186	- 94,3
Benzină	—	—	690—760	70—120	—	—
Benzen	C ₆ H ₆	78,11	900	80,2	75	5,5
Dicloretan	ClCH ₂	98,97	1 250	83,7	65	—
Izopropilacetat	CH ₃ COOC ₃ H ₇	130,18	870	142,5	6	—
Xiloli (amestec)	C ₈ H ₈ (C ₂ H ₅) ₂	106,16	860	136—145	10	-13 ÷ ÷ -48
Metil acetat	CH ₃ COOCH ₃	74,08	930	57,5	170	—
Propilacetat	CH ₃ COOC ₃ H ₇	102,13	890	101,6	25	—
Sulfură de carbon	CS ₂	76,13	1 290	46,3	298	-112
Terebentină	C ₁₀ H ₁₆	136,1	850—880	155—190	4	—

Tabelul XLIV (continuare)

0	1	2	3	4	5	6
Alcool butilic	C ₄ H ₉ OH	74,12	810	117,7	4,7	- 90
Alcool izoamilic	C ₅ H ₁₁ OH	88,15	810	132	2,2	-117
Alcool izobutilic	C ₄ H ₉ OH	74,12	800	108	8,8	-108
Alcool izopropilic	C ₃ H ₇ OH	60,09	785	82,4	32,4	- 89
Alcool metilic	CH ₃ OH	32,04	800	64,7	95,7	- 98
Alcool propilic	C ₃ H ₇ OH	60,09	800	97,2	14,5	-126
Alcool etilic	C ₂ H ₅ OH	46,07	790	78,3	44	-114,5
Toluen	C ₆ H ₅ CH ₃	92,13	870	110,8	22,3	- 95
Tetraclorură de carbon	CCl ₄	153,84	1 630	76,7	90,7	- 22,8
Cloroform	CHCl ₃	119,38	1 530	61,2	160	—
Acetat de etil	CH ₃ COOC ₂ H ₅	88,10	900	77,15	73	- 83,6
Eter etilic	C ₂ H ₅ OC ₂ H ₅	74,12	710	34,5	442	-116,3

Tabelul XLV

Căldura latentă de vaporizare a citorva substanțe (kJ/kg)

Substanța	Temperatura °C				
	0	20	60	100	140
Amoniac	1 265,4	1 190,0	—	—	—
Anilină	—	—	—	—	435,8 (la 184°C)
Acetonă	565,7	553,1	519,6	473,5	—
Benzen	448,3	435,8	408,5	379,2	346,1
Alcool butilic	703,9	687,2	653,6	611,7	561,5
Apă	2 493,1	2 446,9	2 359,0	2 258,4	2 149,5
Bioxid de carbon	235,1	155,4	—	—	—
Eter etilic	337,6	366,6	326,4	282,4	228,4
Alcool izopropilic	775,2	750,0	699,7	636,9	557,3
Alcool metilic	1 198,3	1 173,2	1 110,4	1 013,9	892,6
Nitrobenzen	—	—	—	—	331,9 (la 211°C)
Alcool propilic	812,9	791,9	745,8	683,0	595,0
Sulfură de carbon	374,6	367,0	344,4	316,4	282,4
Toluen	414,8	407,7	388,8	368,7	344,0
Acid acetic	—	—	—	406,4	395,5
Freon 12	155,0	144,9	132,4	—	—
Clor	266,5	253,1	222,0	176,8	71,23
Clorbenzen	375,8	369,5	354,1	338,1	320,5
Cloroform	271,5	263,1	247,6	231,3	—
Tetraclorură de carbon	218,3	213,7	201,9	185,6	168,0
Acetat de etil	427,4	411,5	385,9	355,7	317,2
Alcool etilic	921,8	913,4	879,9	812,9	712,3

Tabelul XLVI

Temperatura de fierbere (°C) a câtorva lichide organice la presiuni mai mici de 1 atm

Presiunea absolută, mm Hg	Anilină	Glicerină	m-Xilol	Nitrobenzen	Toluen	Octan
10	69,4	167,2	28,3	84,9	6,4	19,2
20	82,0	182,2	41,1	99,3	18,4	31,5
40	96,7	198,0	55,3	115,4	31,8	45,1
60	106,0	208,0	64,4	125,8	40,3	53,8
100	119,9	220,1	76,8	139,9	51,9	65,7
200	140,1	240,0	95,5	161,2	69,5	83,6
400	161,9	263,0	116,7	185,8	89,5	104,0
760	184,4	290,0	139,1	210,6	110,6	125,6

Tabelul XLVII

Compoziția la echilibru a lichidelor și vaporilor pentru cîteva sisteme binare la $p_{atm} = 1$ atm

Alcool metilic-apă			Cloroform-benzen		
t, °C	% (mol) Alcool metilic		t, °C	% (mol) cloroform	
	în lichid	în vapor		în lichid	în vapor
93,5	4	23,0	79,0	15	20
91,2	6	30,4	78,2	22	30
87,7	10	41,8	77,3	29	40
81,7	20	57,9	76,4	36	50
78,0	30	66,5	75,3	44	60
75,3	40	72,9	74,0	54	70
73,1	50	77,9	71,9	66	80
71,2	60	82,5	68,9	79	90
69,3	70	87,0	61,4	100	100
67,5	80	91,5			
66,0	90	95,6			
64,5	100	100			

Tabelul XLVIII

Apă-acid acetic			Azot-oxygen		
t, °C	% (mol) apă		T, K	% (mol) azot	
	în lichid	în vapor		în lichid	în vapor
118,1	0	0	90,1	0	0
115,4	5	9,2	89,5	3,5	13,0
113,8	10	16,7	89	6,2	20,2
110,1	20	30,2	88	11,5	30,4
107,5	30	42,5	87	17,1	39,7
105,8	40	53,0	86	22,2	47,8
104,4	50	62,6	85	27,7	55,7
103,2	60	71,6	84	33,8	63,1
102,1	70	79,5	83	40,5	70,1

Tabelul XLVII (continuare)

0	1	2	3	4	5
101,3	80	86,4	82	47,8	76,4
100,6	90	93,0	81	56,6	82,3
100,0	100	100	80	66,6	88,0
			79	78,4	93,2
			78	91,9	97,8
			77,3	100	100

Tabelul XLVIII

Proprietățile fizice ale vaporilor saturați de amoniac

Temperatura, °C	Presiunea, ata	Volumul specific		Densitatea		Căldura de vaporizare $r = H'' - H'$, kJ/kg
		lichid v' , l/kg	vapori v'' , m ³ /kg	lichid, kg/l	vapori, kg/m ³	
-50	0,4168	1,4245	2,6170	0,7020	0,382	1 416
-45	0,5562	1,4367	2,0015	0,6960	0,500	1 402
-40	0,7318	1,4493	1,5503	0,6900	0,645	1 388
-35	0,9503	1,4623	1,2151	0,6839	0,823	1 374
-30	1,219	1,4757	0,9630	0,6777	1,038	1 360
-25	1,546	1,4895	0,7712	0,6714	1,297	1 345
-20	1,940	1,5037	0,6236	0,6650	1,604	1 329
-15	2,410	1,5185	0,5087	0,6585	1,966	1 314
-10	2,966	1,5338	0,4184	0,6520	2,390	1 297
-5	3,619	1,5496	0,3469	0,6453	2,883	1 281
0	4,379	1,5660	0,2897	0,6386	3,452	1 263
+5	5,259	1,5831	0,2435	0,6317	4,108	1 246
+10	6,271	1,6008	0,2058	0,6247	4,859	1 227
+15	7,431	1,6193	0,1740	0,6175	5,718	1 210
+20	8,741	1,6386	0,1494	0,6103	6,694	1 188
+25	10,225	1,6588	0,1283	0,6028	7,795	1 168
+30	11,895	1,6800	0,1107	0,5952	9,034	1 146
+35	13,765	1,7023	0,0959	0,5875	10,431	1 124
+40	15,850	1,7257	0,0833	0,5795	12,005	1 101
+45	18 165	1,7504	0,0726	0,5713	12,774	1 078
+50	20,727	1,7766	0,0635	0,5629	15,756	1 053

Tabelul XLIX

Proprietățile fizice ale vaporilor saturați ale difluor-diclorometan metanului (freon-12)

Temperatura, °C	Presiunea, ata	Densitatea		Căldura de vaporizare, r, kJ/kg
		lichid kg/l	vapori, kg/m ³	
0	1	2	3	4
+40	9,78	1,25	53,1	132,4
+30	7,59	1,29	41,2	138,7
+25	6,63	1,31	36,1	142,0
+20	5,79	1,33	31,5	145,0
+10	4,32	1,36	23,8	150,0

Tabelul XLIX (continuare)

0	1	2	3	4
0	3,15	1,39	17,7	155,0
-10	2,24	1,43	12,8	160,0
-15	1,86	1,44	10,8	161,7
-20	1,54	1,46	9,04	163,8
-25	1,26	1,47	7,52	165,5
-30	1,03	1,49	6,2	167,6
-35	0,824	1,5	5,07	169,3
-40	0,655	1,52	4,1	171,0
-50	0,399	1,54	2,6	175,0
-60	0,231	1,57	1,56	178,0
-70	0,125	1,6	0,888	182,0
-80	0,063	1,63	0,47	185,0

Tabelul I.

Proprietățile fizice ale soluțiilor apoase de clorură de sodiu la temperaturi reduse

Conținutul de sare în soluție, % masă	Densitatea la 15°C, kg/m³	Temperatura de înghețare, °C	Coeficient de viscozitate dinamică, $\eta \cdot 10^4$ Pa·s					Conductivitatea termică λ , W/m·K		
			0°C	-5°C	-10°C	-15°C	-20°C	0°C	-10°C	-20°C
0,1	1 000	0,0	17,66	—	—	—	—	0,5815	—	—
1,5	1 010	-0,9	17,85	—	—	—	—	0,5780	—	—
2,9	1 020	-1,8	18,05	—	—	—	—	0,5757	—	—
4,3	1 030	-2,6	18,25	—	—	—	—	0,5734	—	—
5,6	1 040	-3,5	18,44	—	—	—	—	0,5710	—	—
7,0	1 050	-4,4	18,74	—	—	—	—	0,5687	—	—
8,3	1 060	-5,4	19,13	23,05	—	—	—	0,5664	—	—
9,6	1 070	-6,4	19,62	23,74	—	—	—	0,5641	—	—
11,0	1 080	-7,5	20,21	24,43	—	—	—	0,5606	—	—
12,3	1 090	-8,6	20,80	25,21	—	—	—	0,5582	—	—
13,6	1 100	-9,8	21,48	26,09	—	—	—	0,5559	—	—
14,9	1 110	-11,0	22,37	27,17	33,45	—	—	0,5536	0,5187	—
16,2	1 120	-12,2	23,25	28,35	34,92	—	—	0,5513	0,5164	—
17,5	1 130	-13,6	24,33	29,72	36,79	—	—	0,5489	0,5140	—
18,8	1 140	-15,1	25,60	31,20	38,75	47,77	—	0,5466	0,5117	—
20,0	1 150	-16,6	26,88	32,77	40,81	50,13	—	0,5443	0,5094	—
21,2	1 160	-18,2	28,25	34,43	43,07	52,78	—	0,5420	0,5071	—
22,4	1 170	-20,0	29,63	36,40	45,62	55,82	68,67	0,5408	0,5059	0,4768
23,1	1 175	-21,2	30,41	37,47	47,09	57,49	70,44	0,5396	0,5047	0,4757
23,7	1 180	-17,2	31,39	38,55	48,66	59,35	—	0,5385	0,5036	—
24,9	1 190	-9,5	32,96	40,71	—	—	—	0,5361	—	—
26,1	1 200	-1,7	34,73	—	—	—	—	0,5338	—	—
26,3	1 203	0,0	35,02	—	—	—	—	0,5338	—	—

Tabelul LI

Proprietățile fizice ale soluțiilor apoase de clorură de calciu la temperaturi scăzute

Conținutul de sare în soluție, %	Densitatea la 15°C, kg/m³	Temperatura de înghețare, °C	Coeficient de viscozitate dinamică $\eta \cdot 10^4$ Pa·s/m²				Conductivitate termică, λ W/m·K			
			0°C	-10°C	-20°C	-30°C	0°C	-10°C	-20°C	-30°C
0,1	1 000	0,0	17,76	—	—	—	0,5815	—	—	—
5,9	1 050	-3,0	19,82	—	—	—	0,5675	—	—	—
11,5	1 100	-7,1	22,96	—	—	—	0,5524	—	—	—
16,8	1 150	-12,7	27,66	43,65	—	—	0,5350	0,504	—	—
17,8	1 160	-14,2	28,74	45,13	—	—	0,5303	0,500	—	—
18,9	1 170	-15,7	29,92	46,70	—	—	0,5257	0,497	—	—
19,9	1 180	-17,4	31,20	48,46	—	—	0,5210	0,493	—	—
20,9	1 190	-19,2	32,77	50,72	—	—	0,5164	0,490	—	—
21,9	1 200	-21,2	34,43	53,27	86,13	—	0,5117	0,486	0,465	—
22,8	1 210	-23,3	36,20	56,11	90,15	—	0,5071	0,484	0,463	—
23,8	1 220	-25,7	38,16	59,25	94,76	—	0,5024	0,480	0,459	—
24,7	1 230	-28,3	40,22	62,69	99,96	—	0,4978	0,477	0,457	—
25,7	1 240	-31,2	42,58	66,81	105,7	148,1	0,4931	0,473	0,455	0,437
26,6	1 250	-34,6	45,22	70,83	111,7	158,9	0,4885	0,470	0,452	0,436
27,5	1 260	-38,6	48,07	75,24	118,5	171,7	0,4838	0,464	0,449	0,435
28,4	1 270	-43,6	51,21	80,25	126,9	188,4	0,4792	0,463	0,446	0,434
29,4	1 280	-50,1	54,94	86,33	136,9	212,9	0,4745	0,459	0,444	0,433
30,3	1 290	-50,6	58,86	93,29	149,6	238,4	0,4699	0,456	0,442	0,430
31,2	1 300	-41,6	63,37	100,6	161,9	265,9	0,4652	0,452	0,438	0,429
32,1	1 310	-33,9	68,28	108,7	176,3	307,1	0,4605	0,449	0,436	0,428
33,0	1 320	-27,1	73,87	117,3	191,9	—	0,4571	0,444	0,434	—
33,9	1 330	-21,2	80,15	127,2	210,0	—	0,4524	0,441	0,431	—
34,7	1 340	-15,6	86,52	138,1	—	—	0,4478	0,438	—	—
35,6	1 350	-10,2	93,20	151,9	—	—	0,4431	0,433	—	—
36,4	1 360	-5,1	100,9	—	—	—	0,4396	—	—	—
37,3	1 370	0,0	109,2	—	—	—	0,4350	—	—	—

Tabelul LII

Căldura specifică a soluțiilor apoase de clorură de sodiu și de calciu (în kJ/(kg·K))

Densitatea la 15°C, kg/m³	Clorură de sodiu			Densitatea la 15°C, kg/m³	Clorură de calciu			
	0°C	-10°C	-20°C		0°C	-10°C	-20°C	-30°C
0	1	2	3	4	5	6	7	8
1 010	4,077	—	—	1 100	3,503	—	—	—
1 020	4,006	—	—	1 110	3,444	—	—	—
1 030	3,943	—	—	1 120	3,385	—	—	—
1 040	3,884	—	—	1 130	3,331	3,306	—	—
1 050	3,830	—	—	1 140	3,276	3,251	—	—
1 060	3,775	—	—	1 150	3,226	3,201	—	—
1 070	3,725	—	—	1 160	3,176	3,155	—	—
1 080	3,679	—	—	1 170	3,130	3,109	—	—
1 090	3,633	—	—	1 180	3,088	3,063	—	—
1 100	3,591	3,582	—	1 190	3,046	3,021	—	—

Tabelul LII (continuare)

0	1	2	3	4	5	6	7	8
1 110	3,553	3,541	—	1 200	3,004	2,979	2,954	—
1 120	3,515	3,503	—	1 210	2,967	2,941	2,916	—
1 130	3,478	3,469	—	1 220	2,933	2,908	2,883	—
1 140	3,444	3,432	—	7 1 230	2,899	2,874	2,849	—
1 150	3,411	3,398	—	1 240	2,870	2,845	2,819	2,795
1 160	3,377	3,365	—	1 250	2,841	2,816	2,791	2,765
1 170	3,344	3,335	3,323	1 260	2,812	2,786	2,761	2,736
1 175	3,331	3,323	3,310	1 270	2,782	2,757	2,732	2,707
1 203	3,251	—	—	1 280	2,757	2,732	2,707	2,682
				1 286	2,740	2,715	2,690	2,665
				1 370	2,531	—	—	—

Tabelul LIII

Căldurile de adsorbție pe cărbune a citorva substanțe organice

Substanța	Formula	Căldura de adsorbție	
		kJ/kmol	kJ/kg
Benzină	—	50 280	628,5
Benzen*	C ₆ H ₆	61 590	789,8
Clorură de butil primară	CH ₃ (CH ₂) ₃ Cl	65 360	706,4
Clorură de butil secundară	CH ₃ CHClCH ₂ CH ₃	60 340	652,4
Clorură de trimetil metan	(CH ₃) ₃ CCl	56 980	615,9
Diclor metan	CH ₂ Cl ₂	51 960	611,3
Clorură de izopropil	CH ₃ CHClCH ₃	54 890	699,3
Metan	CH ₄	18 860	1 230
Clorură de metil	CH ₃ Cl	38 550	763,4
Clorură de propil	CH ₃ (CH ₂) ₂ Cl	61 170	779,3
Sulfură de carbon*	CS ₂	52 380	689,3
Alcool metilic	CH ₃ OH	54 890	1 715
Alcool propilic	C ₃ H ₇ OH	68 720	1 145
Alcool etilic*	C ₂ H ₅ OH	62 850	1 386
Tetraclorură de carbon*	CCl ₄	64 110	415,2
Cloroform*	CHCl ₃	60 760	508,2
Bromură de etil*	C ₂ H ₅ Br	58 240	534,6
Iodură de etil*	C ₂ H ₅ I	58 660	376,3
Clorură de etil*	C ₂ H ₅ Cl	50 280	779,3
Formiat de etil*	HCOOC ₂ H ₅	60 760	820,8
Eter etilic*	(C ₂ H ₅) ₂ O	64 950	877,8

Observație 1. Valorile căldurii de adsorbție sînt date pentru condițiile adsorbției a 1 kmol vapori pe 1 kg cărbune la 0°C (cu excepția benzinei, pentru care corelația între cantitatea de substanță adsorbită și cantitatea de cărbune nu se respectă).

2. Pentru substanțele notate cu asterisc, căldura de adsorbție s-a calculat cu formula (9-8): $q = m \cdot a^*$ (în j/kg cărbune).

Tabelul LIV

Gradul de îndepărtare a substanțelor extrase la prelucrarea succesivă cu aceleași cantități de solvent proaspăt

Raportul curenților	Numărul de spălări							
	1		2		3		4	
	gradul de îndepărtare, %	volumul total de solvent	gradul de îndepărtare, %	volumul total de solvent	gradul de îndepărtare, %	volumul total de solvent	gradul de îndepărtare, %	volumul total de solvent
1	50,00	1	75,00	2	87,50	3	93,75	4
2	66,67	2	88,89	4	96,30	6	98,76	8
3	75,00	3	93,75	6	98,44	9	99,61	12
4	80,00	4	96,00	8	99,20	12	99,84	16
5	83,33	5	97,22	10	99,54	15	99,92	20
6	85,71	6	97,96	12	99,71	18	99,96	24
7	87,50	7	98,44	14	99,81	21	99,98	28
8	88,89	8	98,76	16	99,86	24	99,98	32
9	90,00	9	99,00	18	99,90	27	99,99	36
10	90,90	10	99,17	20	99,92	30	99,99	40

Tabelul LV

Gradul de îndepărtare (în % masă) a substanței extrase la prelucrarea materialului solid în contracurent

Raportul curenților a	Numărul de extracții n _e					
	1	2	3	4	5	6
1	50,00	66,67	75,00	80,00	83,33	85,71
2	66,67	85,71	93,00	96,77	98,42	99,21
3	75,00	92,31	97,50	99,17	99,73	99,91
4	80,00	95,24	98,82	99,71	99,93	—
5	83,33	96,77	99,36	99,87	99,97	—
6	85,71	97,67	99,61	99,94	—	—
7	87,50	98,24	99,75	99,96	—	—
8	88,89	98,63	99,83	99,98	—	—
9	90,00	98,90	99,88	99,99	—	—
10	90,90	99,10	99,91	—	—	—

Tabelul LVI

Proprietățile vaporilor de apă saturați în funcție de temperatură

Temperatura, C°	Presiunea absolută, ata	Volumul specific, m ³ /kg	Densitatea, kg/m ³	Entalpia lichidului saturat, i' kJ/kg	Entalpia vaporilor saturați, i'' kJ/kg	Căldura latentă de vaporizare, r, kJ/kg
1	2	3	4	5	6	7
0	0,0062	206,5	0,00484	0	2 493,1	2 493,1
5	0,0089	147,1	0,00680	20,95	2 502,7	2 481,7
10	0,0125	106,4	0,00940	41,90	2 512,3	2 470,4

Tabelul LVI (continuare)

1	2	3	4	5	6	7
15	0,0174	77,9	0,01283	62,85	2 522,4	2 459,5
20	0,0238	57,8	0,01729	83,80	2 532,0	2 448,2
25	0,0323	43,40	0,02304	104,75	2 541,7	2 436,9
30	0,0433	32,93	0,03036	125,70	2 551,3	2 425,6
35	0,0573	25,25	0,03960	146,65	2 561,0	2 414,3
40	0,0752	19,55	0,05114	167,60	2 570,6	2 403,0
45	0,0977	15,28	0,06543	188,55	2 579,8	2 391,3
50	0,1258	12,054	0,0830	209,50	2 589,5	2 380,0
55	0,1605	9,589	0,1043	230,45	2 598,7	2 368,2
60	0,2031	7,687	0,1301	251,40	2 608,3	2 356,9
65	0,2550	6,209	0,1611	272,35	2 617,5	2 345,2
70	0,3177	5,052	0,1979	293,30	2 626,3	2 333,0
75	0,393	4,139	0,2416	314,3	2 636	2 321
80	0,483	3,414	0,2929	335,2	2 644	2 310
85	0,590	2,832	0,3531	356,2	2 653	2 297
90	0,715	2,365	0,4229	377,1	2 662	2 285
95	0,862	1,985	0,5039	398,1	2 671	2 273
100	1,033	1,675	0,5970	419,0	2 679	2 260
105	1,232	1,421	0,7036	440,4	2 687	2 248
110	1,461	1,212	0,8254	461,3	2 696	2 234
115	1,724	1,038	0,9635	482,7	2 704	2 221
120	2,025	0,893	1,1199	504,1	2 711	2 207
125	2,367	0,7715	1,296	525,4	2 718	2 194
130	2,755	0,6693	1,494	546,8	2 726	2 179
135	3,192	0,5831	1,715	568,2	2 733	2 165
140	3,685	0,5096	1,962	589,5	2 740	2 150
145	4,238	0,4469	2,238	611,3	2 747	2 125
150	4,855	0,3933	2,543	632,7	2 753	2 120
160	6,303	0,3075	3,252	654,1	2 765	2 089
170	8,080	0,2431	4,113	719,8	2 776	2 056
180	10,23	0,1944	5,145	763,8	2 785	2 021
190	12,80	0,1568	6,378	808,3	2 792	1 984
200	15,85	0,1276	7,840	852,7	2 798	1 945
210	19,55	0,1045	9,567	897,9	2 801	1 904
220	23,66	0,0862	11,600	943,2	2 803	1 860
230	28,53	0,07155	13,98	989,3	2 802	1 813
240	34,13	0,05967	16,76	1 035	2 799	1 763
250	40,55	0,04998	20,01	1 082	2 792	1 710
260	47,85	0,04199	23,82	1 130	2 783	1 653
270	56,11	0,03538	28,27	1 178	2 770	1 593
280	65,42	0,02988	33,47	1 226	2 754	1 528
290	75,88	0,02525	39,60	1 275	2 734	1 459
300	87,6	0,02131	46,93	1 327	2 710	1 384
310	100,7	0,01799	55,59	1 380	2 682	1 302
320	115,2	0,01516	65,95	1 437	2 650	1 213
330	131,3	0,01273	78,53	1 498	2 613	1 117
340	149,0	0,01064	93,98	1 564	2 571	1 009
350	168,6	0,00884	113,2	1 638	2 519	881,2
360	190,3	0,00716	139,6	1 730	2 444	713,6
370	214,5	0,00585	171,0	1 890	2 304	411,5
374	225	0,00310	322,6	2 100	2 100	0

Tabelul LVII

Proprietățile vaporilor de apă saturați în funcție de presiune

Presiunea absolută, ata	Temperatura, °C	Volumul specific m³/kg	Densitatea kg/m³	Entalpia lichidului saturat, t' kJ/kg	Entalpia vaporilor saturați, t'' kJ/kg	Căldura latentă de vaporizare, r, kJ/kg
1	2	3	4	5	6	7
0,01	6,6	131,60	0,00760	27,7	2 506	2 478
0,015	12,7	89,64	0,01116	53,2	2 518	2 465
0,02	17,1	68,27	0,01465	71,6	2 526	2 455
0,025	20,7	55,28	0,01809	86,7	2 533	2 447
0,03	23,7	46,53	0,02149	99,3	2 539	2 440
0,04	28,6	35,46	0,02820	119,8	2 548	2 429
0,05	32,5	28,73	0,03481	136,2	2 556	2 420
0,06	35,8	24,19	0,04133	150,0	2 562	2 413
0,08	41,1	18,45	0,05420	172,2	2 573	2 400
0,10	45,4	14,96	0,06686	190,2	2 581	2 390
0,12	49,0	12,60	0,07937	205,3	2 588	2 382
0,15	53,6	10,22	0,09789	224,6	2 596	2 372
0,20	59,7	7,977	0,1283	250,1	2 607	2 358
0,30	68,7	5,331	0,1876	287,9	2 620	2 336
0,40	75,4	4,072	0,2456	315,9	2 632	2 320
0,50	80,9	3,304	0,3027	339,0	2 642	2 307
0,60	85,5	2,785	0,3590	358,2	2 650	2 296
0,70	89,3	2,411	0,4147	375,0	2 657	2 286
0,80	93,0	2,128	0,4699	389,7	2 663	2 278
0,90	96,2	1,906	0,5246	403,1	2 668	2 270
1,0	99,1	1,727	0,5790	415,2	2 677	2 264
1,2	104,2	1,457	0,6865	437,0	2 686	2 249
1,4	108,7	1,261	0,7931	456,3	2 693	2 237
1,6	112,7	1,113	0,898	473,1	2 703	2 227
1,8	116,3	0,997	1,003	483,6	2 709	2 217
2,0	119,6	0,903	1,107	502,4	2 710	2 208
3,0	132,9	0,6180	1,618	558,9	2 730	2 171
4,0	142,9	0,4718	2,120	601,1	2 744	2 141
5,0	151,1	0,3825	2,614	637,7	2 754	2 117
6,0	158,1	0,3222	3,104	667,9	2 768	2 095
7,0	164,2	0,2785	3,591	694,3	2 769	2 075
8,0	169,6	0,2454	4,075	718,4	2 776	2 057
9,0	174,5	0,2195	4,536	740,0	2 780	2 040
10	179,0	0,1985	5,037	759,6	2 784	2 024
11	183,2	0,1813	5,516	778,1	2 787	2 009
12	187,1	0,1668	5,996	795,3	2 790	1 995
13	190,7	0,1545	6,474	811,2	2 793	1 984
14	194,1	0,1438	6,952	826,7	2 795	1 968
15	197,4	0,1346	7,431	840,9	2 796	1 956
16	200,4	0,1264	7,909	854,8	2 798	1 943
17	203,4	0,1192	8,389	867,7	2 799	1 931
18	206,2	0,1128	8,868	880,3	2 800	1 920
19	208,8	0,1070	9,349	892,5	2 801	1 909
20	211,4	0,1017	9,83	904,2	2 802	1 898
30	232,8	0,06802	14,70	1 002	2 801	1 800
40	249,2	0,05069	19,73	1 079	2 793	1 715
50	262,7	0,04007	24,96	1 143	2 780	1 637
60	274,3	0,03289	30,41	1 199	2 763	1 565
70	284,5	0,02769	36,12	1 249	2 746	1 497

Tabelul LVII (continuare)

1	2	3	4	5	6	7
80	293,6	0,02374	42,13	1 294	2 726	1 432
90	301,9	0,02064	48,45	1 337	2 705	1 369
100	309,5	0,01815	55,11	1 377	2 684	1 306
120	323,1	0,01437	69,60	1 455	2 638	1 183
140	335,0	0,01164	85,91	1 531	2 592	1 061
160	345,7	0,00956	104,6	1 606	2 540	934
180	355,4	0,00782	128,0	1 684	2 483	799
200	364,2	0,00614	162,9	1 783	2 400	617
225	374	0,00310	322,6	2 100	2 100	0

Corelații între unitățile de măsură

Tabelul LVIII

Mărimea	Unitatea de măsură în SI	Corelația între unitățile de măsură în SI și unitățile de măsură cele mai des întâlnite în literatură ale altor sisteme
1	2	3
Lungimea	m	$1 \mu\text{m} = 10^{-6} \text{ m}$ $1 \text{ \AA} = 10^{-10} \text{ m}$ $1 \text{ ft} = 0,3048 \text{ m}$ $1 \text{ in} = 25,4 \cdot 10^{-3} \text{ m}$ $1 \text{ t} = 1 000 \text{ kg}$ $1 \text{ q} = 100 \text{ kg}$ $1 \text{ lb} = 0,454 \text{ kg}$ $t^{\circ}\text{C} = (t + 273,15) \text{ K}$
Masa	kg	$t^{\circ}\text{F} = \left[\frac{5}{9} (t - 32) + 273,15 \right] \text{ K}$
Temperatura	K	$1^{\circ} = \frac{\pi}{180} \text{ rad}$ $1' = \frac{\pi}{10 800} \text{ rad}$
Unghi plan	rad	$1 \text{ rotație} = 2\pi \text{ rad} = 6,28 \text{ rad}$ $1 \text{ kgf} = 9,81 \text{ N}$ $1 \text{ dyn} = 10^{-5} \text{ N}$ $1 \text{ sten} = 10^3 \text{ N}$ $1 \text{ lbf} = 4,45 \text{ N}$
Greutate (forță de greutate)	N	$1 \text{ cP} = \frac{1}{9 810} \frac{\text{kgf} \cdot \text{s}}{\text{m}^2} = 10^{-3} \text{ Pa} \cdot \text{s} = 1 \text{ mPa} \cdot \text{s}$ $1 \text{ lbf} \cdot \text{s/ft}^2 = 47,88 \text{ Pa} \cdot \text{s}$ $1 \text{ St} = 1 \text{ cm}^2/\text{s} = 10^{-4} \text{ m}^2/\text{s}$ $1 \text{ ft}^2/\text{s} = 0,093 \text{ m}^2/\text{s}$ $1 \text{ ft}^2/\text{h} = 25,81 \text{ m}^2/\text{s}$
Coeficientul de viscozitate dinamică	Pa · s	$1 \text{ bar} = 10^5 \text{ Pa}$ $1 \text{ mbar} = 100 \text{ Pa}$ $1 \text{ dyn/cm}^2 = 1 \text{ bar} = 0,1 \text{ Pa}$ $1 \text{ kgf/cm}^2 = 1 \text{ at} = 9,81 \cdot 10^4 \text{ Pa} = 735 \text{ mm Hg}$ $1 \text{ atm} = 101 325 \text{ Pa} = 760 \text{ mm Hg}$
Coeficientul de viscozitate cinematică	m ² /s	
Presiunea	Pa	

Tabelul LVIII (continuare)

1	2	3
Coeficientul de difuzie	m ² /s	$1 \text{ kgf/m}^2 = 9,81 \text{ Pa}$ $1 \text{ mm CA} = 9,81 \text{ Pa}$ $1 \text{ mm Hg} = 133,3 \text{ Pa}$ $1 \text{ lbf/in}^2 = 6 894,76 \text{ Pa}$ $1 \text{ lbf/ft}^2 = 47,88 \text{ Pa}$ $1 \text{ ft}^2/\text{s} = 0,0929 \text{ m}^2/\text{s}$ $1 \text{ kgf} \cdot \text{m/s} = 9,81 \text{ W}$ $1 \text{ erg/s} = 10^{-7} \text{ W}$ $1 \text{ kcal/h} = 1,163 \text{ W}$ $1 \text{ lbf} \cdot \text{ft/s} = 1 356 \text{ W}$
Puterea	W	$1 \text{ kgf/m} = 9,81 \text{ J/m}^2$ $1 \text{ erg/cm}^2 = 1 \text{ dyn/cm} = 10^{-3} \text{ J/m}^2$
Tensiune superficială	N/m	$1 \text{ l} = 10^{-3} \text{ m}^3$ $1 \text{ ft}^3 = 28,3 \text{ dm}^3 = 2,83 \cdot 10^{-2} \text{ m}^3$ $1 \text{ in}^3 = 16,387 \text{ cm}^3 = 16,39 \cdot 10^{-6} \text{ m}^3$
Volum	m ³	$1 \text{ m}^3/\text{t} = 10^{-3} \text{ m}^3/\text{kg}$ $1 \text{ dm}^3/\text{kg} = 1 \text{ cm}^3/\text{g} = 10^{-3} \text{ m}^3/\text{kg}$
Volum specific	m ³ /kg	$1 \text{ t/m}^3 = 1 \text{ kg/dm}^3 = 1 \text{ g/cm}^3 = 10^3 \text{ kg/m}^3$ $1 \text{ kgf} \cdot \text{s/m}^4 = 9,81 \text{ kg/m}^2$ $1 \text{ lb/ft}^2 \approx 16,02 \text{ kg/m}^2$ $1 \text{ lb/in}^2 \approx 27,68 \cdot 10^3 \text{ kg/m}^2$ $1 \text{ kcal/(m}^2 \cdot \text{h)} = 1,163 \text{ W/m}^2$
Densitate	kg/m ³	
Densitatea fluxului termic (încărcarea termică, solicitarea termică)	W/m ²	
Suprafața	m ²	$1 \text{ ft}^2 = 0,0929 \text{ m}^2$ $1 \text{ in}^2 = 6,451 \cdot 10^{-4} \text{ m}^2$ $1 \text{ kgf} \cdot \text{m} = 9,81 \text{ J}$ $1 \text{ erg} = 10^{-7} \text{ J}$ $1 \text{ kW} \cdot \text{h} = 3,6 \cdot 10^6 \text{ J}$ $1 \text{ kcal} = 4,1868 \cdot 10^3 \text{ J} = 4,19 \text{ kJ}$ $1 \text{ lbf} \cdot \text{ft} = 1,356 \text{ J}$ $1 \text{ lbf} \cdot \text{in} = 0,113 \text{ J}$ $1 \text{ BTU} = 1 055,1 \text{ J}$
Lucrul mecanic, energie, cantitate de căldură	J	$1 \text{ lb/s} = 0,454 \text{ kg/s}$ $1 \text{ lb/h} = 1,26 \cdot 10^{-4} \text{ kg/s}$
Debit masic	kg/s	$1 \text{ l/min} = 16,67 \cdot 10^{-6} \text{ m}^3/\text{s}$ $1 \text{ ft}^3/\text{s} = 28,3 \cdot 10^{-3} \text{ m}^3/\text{s}$ $1 \text{ in}^3/\text{s} = 16,4 \cdot 10^{-6} \text{ m}^3/\text{s}$ $1 \text{ ft/s} = 0,3048 \text{ m/s}$
Debit volumic	m ³ /s	$1 \text{ rot/min} = \frac{\pi}{30} \text{ rad/s}$
Viteza liniară	m/s	$1 \text{ rot/s} = 2\pi \text{ rad/s}$ $1 \text{ kcal/(kg} \cdot ^{\circ}\text{C)} = 4,19 \text{ kJ/(kg} \cdot \text{K)}$ $1 \text{ erg/(g} \cdot \text{K)} = 10^{-4} \text{ J/(kg} \cdot \text{K)}$ $1 \text{ BTU/(lb} \cdot ^{\circ}\text{F)} = 4,19 \text{ kJ/(kg} \cdot \text{K)}$ $1 \text{ kcal/(m}^2 \cdot \text{h} \cdot ^{\circ}\text{C)} = 1,163 \text{ W/(m}^2 \cdot \text{K)}$ $1 \text{ BTU/(ft}^2 \cdot \text{h} \cdot ^{\circ}\text{F)} = 5,6 \text{ W/(m}^2 \cdot \text{K)}$ $1 \text{ kcal/(m} \cdot \text{h} \cdot ^{\circ}\text{C)} = 1,163 \text{ W/(m} \cdot \text{K)}$ $1 \text{ BTU/(ft} \cdot \text{h} \cdot ^{\circ}\text{F)} = 1,73 \text{ W/(m} \cdot \text{K)}$
Viteza unghiulară	rad/s	$1 \text{ kcal/kg} = 1 \text{ cal/g} = 4,19 \text{ kJ/kg}$ $1 \text{ BTU/lb} = 2 326 \text{ J/kg}$ $1 \text{ in/s}^2 = 25,4 \cdot 10^{-3} \text{ m/s}^2$ $1 \text{ ft/s}^2 = 0,3048 \text{ m/s}^2$
Căldură specifică	J/(kg · K)	
Coeficient parțial sau total de transfer termic	W/(m ² · K)	
Coeficient de conductivitate termică	W/(m · K)	
Căldură latentă	J/kg	
Accelerația liniară	m/s ²	

Tabelul LVIII (continuare)

1	2	3
Frecvența	Hz	$1 \text{ Hz} = 1 \text{ s}^{-1}$ $1 \text{ rot/s} = 1 \text{ Hz}$ $1 \text{ rot/min} = \frac{1}{60} \text{ Hz}$
Entalpia	J/kg	$1 \text{ kcal/kg} = 1 \text{ cal/g} = 4,19 \text{ kJ/kg}$ $1 \text{ BTU/lb} = 2326 \text{ J/kg}$
Entropia	J/(kg·K)	$1 \text{ kcal/(kg·°C)} = 4,19 \text{ kJ/(kg·K)}$ $1 \text{ BTU/(lb·°F)} = 4,19 \text{ kJ/(kg·K)}$

DIAGrame ȘI NOMOGRAMe *

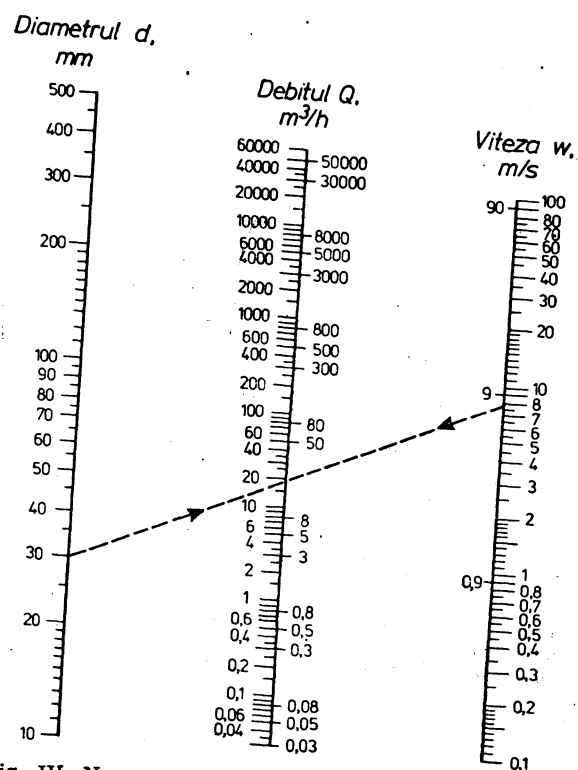


Fig. IV. Nomogramă pentru determinarea debitului de lichid sau gaz în țevi cu secțiunea circulară.

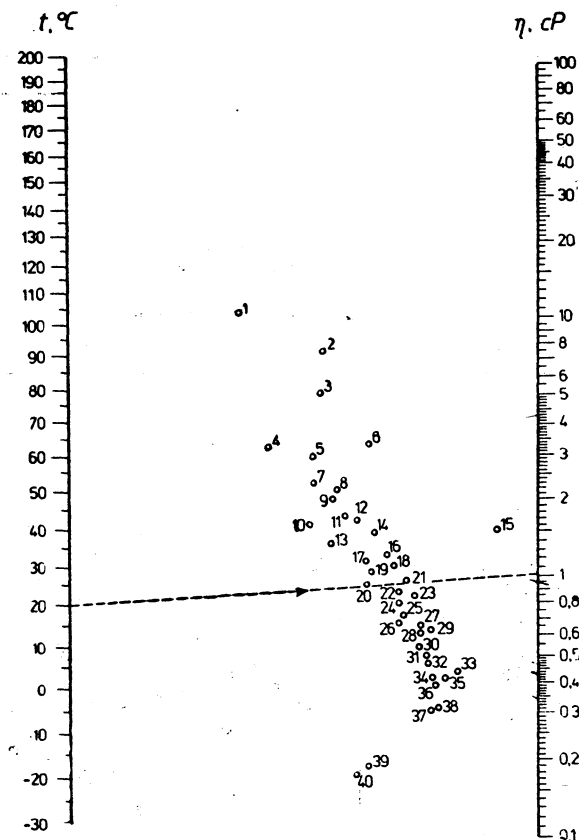


Fig. V. Nomogramă pentru determinarea coeficientului de viscozitate dinamică a lichidelor la diferite temperaturi.

Lichidul	Nr. punctului	Lichidul	Nr. punctului
0	1	2	4
Alcool amilic	17	Pentan	38
Amoniac	39	Mercur	15
Anilină	8	Acid sulfuric 111%	2
Benzen	25	Acid sulfuric 98%	3
Alcool butilic	11	Acid sulfuric 60%	6
Apă	20	Anhidridă sulfurică	35
Hexan	36	Sulfură de carbon	33
Heptan	31	Tebentină	16
Glicerină, 100%	1	Toluen	27
Glicerină, 50%	7	Acid acetic, 100%	18

Fig. V (continuare)

0	1	2	3
Bioxid de carbon			
Eter etilic	40	Acid acetic, 70%	12
Acetat de metil	37	Fenol	5
Alcool metilic, 100%	32	Clorobenzen	22
Alcool metilic, 90%	28	Cloroforn	22
Alcool metilic, 30%	24	Tetraclorură de carbon	29
Natralină	13	Acetat de etil	21
Nitrobenzen	9	Etilenglicol	30
Octan	14	Clorură de etil	4
Acetonă	28	Alcool etilic, 100%	23
	34	Alcool etilic, 40%	19

(transformarea în SI: 1 cP = 1 · 10⁻³ Pa·s)

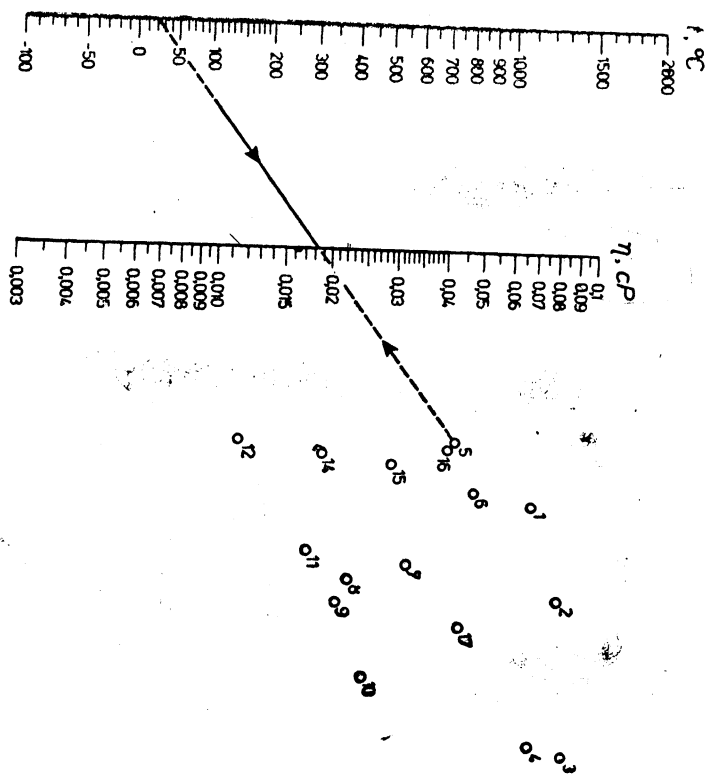


Fig. VI. Nomogramă pentru determinarea coeficientului viscozității dinamice la gaze la $p=1 \text{ atm}^*$:
 1 — O_2 ; 2 — NO ; 3 — CO_2 ; 4 — HCl ; 5 — aer; 6 — N_2 ; 7 — SO_2 ; 8 — CH_4 ; 9 — C_2H_6 ; 10 — H_2O ; 11 — NH_3 ; 12 — C_2H_4 ; 13 — C_2H_2 ; 14 — SH_2 ; 15 — SH_2 ; 16 — H_2 ; 17 — CO ; 18 — C_3 ; (transformarea în SI: 1 cP = 0,10⁻³ Pa·s).

* Datele din nomogramă se pot folosi și pentru presiuni de cîteva atmosfere.

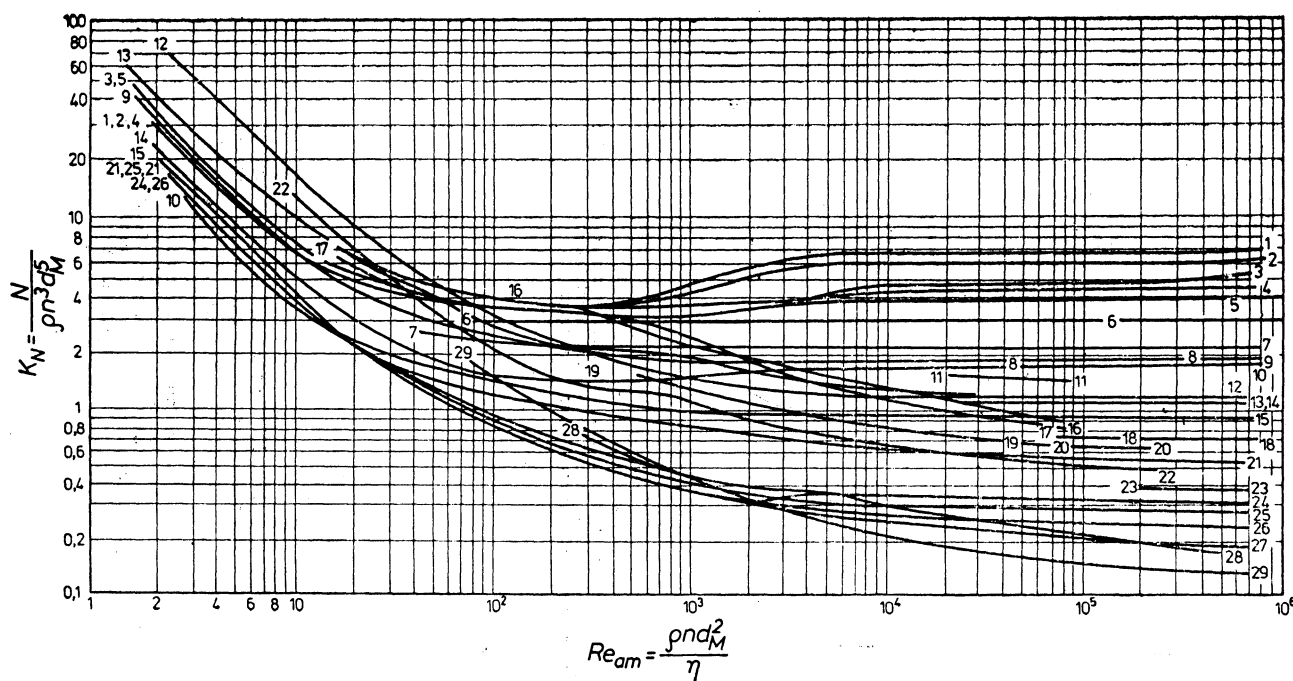
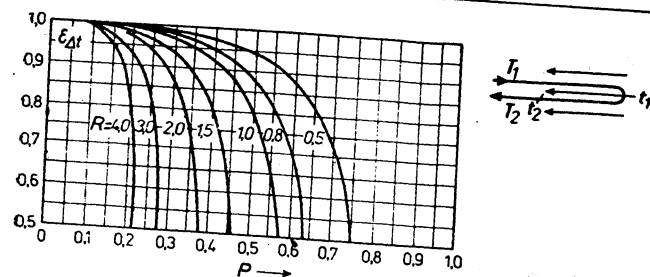


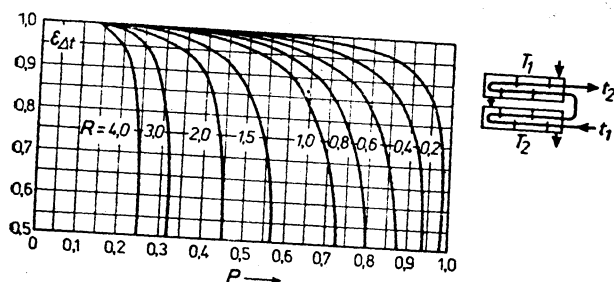
Fig. VII. Dependenta criteriului puterii de criteriul Reynolds :

1 — agitator turbină deschis cu șase palete verticale drepte ($b=0,2d$; $l=0,25d$) la $D/d=3$, în vase cu patru șicane ($B/d=0,17$); 2 — agitator turbină de tip 1 la $B/d=0,1$; 3 — agitator turbină deschis cu șase șicane ($B/d=0,1$); 4 — agitator turbină de tip 1 pentru $B/d=0,04$; 5 — agitator turbină deschis cu șase palete în formă de săgeată ($b=0,2d$; $l=0,25d$) la $D/d=3$ în vase cu patru șicane ($B/d=0,1$); 6 — agitator cu discuri radiale cu șase palete drepte verticale ($b=0,1d$; $l=0,35d$), discul inferior cu $D/d=2,5$, în vase cu patru șicane ($B/d=0,25$); 7 — agitator turbină radial cu șaisprezece palete cu stator în vase fără șicane; 8 — agitator cu două palete drepte verticale ($b=0,25d$) sub unghi de 45° la $D/d=3$ în vase cu patru șicane ($B/d=0,1$); 9 — agitator cu opt palete drepte ($b=0,25d$) sub unghi de 45° la $D/d=3$ în vase cu patru șicane ($B/d=0,1$); 10 — agitator cu două palete de tip 8 la $D/d=3$ în vase fără șicane; 11 — agitator turbină deschis cu șase palete cu stator la $D/d=2,4$ în vase fără șicane; 12 — agitator turbină 12, fără stator, la $D/d=3$ în vase cu patru șicane ($B/d=0,1$); 13 — agitator turbină de tip 15, dar pentru $b=1,33d$ și palete de tip 9 la $D/d=3$ în vase fără șicane; 14 — agitator cu elice cu patru palete de tip 15 la $D/d=3,3$ în vase fără șicane; 15 — agitator cu elice cu patru palete de tip 9 la $D/d=3,3$ în vase fără șicane; 16 — agitator cu elice cu patru palete de tip 15 la $D/d=3,3$ în vase fără șicane; 17 — agitator cu elice cu patru palete de tip 15 la $D/d=3,3$ în vase fără șicane; 18 — agitator cu elice cu patru palete de tip 15 la $D/d=3,3$ în vase fără șicane; 19 — agitator cu patru palete de tip 15 la $D/d=3,3$ în vase fără șicane; 20 — agitator cu două palete de tip 15 la $D/d=3,3$ în vase fără șicane; 21 — agitator cu elice cu patru palete de tip 15 la $D/d=3,3$ în vase fără șicane; 22 — agitator cu elice cu patru palete de tip 15 la $D/d=3,3$ în vase fără șicane; 23 — agitator elice cu trei palete tip 15 la $s=1,05d$ și $D/d=9,6$ în vase cu patru șicane ($B/d=0,1$); 24 — la fel pentru $s=1,04d$ și $D/d=4,5$ în vase fără șicane; 25 — la fel pentru $s=1,04d$ și $D/d=4,5$ în vase fără șicane; 26 — la fel pentru $s=1,05d$ și $D/d=2,7$ în vase fără șicane; 27 — la fel pentru $s=1,05d$ și $D/d=2,7$ în vase fără șicane; 28 — la fel pentru $s=d$ și $D/d=3,8$ în vase fără șicane; 29 — agitator cu două palete de tip 8 cu palete înguste ($b=(0,13+0,17)d$) la $D/d=1,1$ în vase fără șicane.

Caracteristicile agitatorului: D — diametrul vasului, d — diametrul letei; B — lățimea șicanei; s — pasul agitatorului elice.



a



b

Fig. VIII. Coeficienții de corecție $\varepsilon_{\Delta t}$ pentru schimbătoare de căldură cu curenți paraleli și încrucișați:
a — cu o singură trecere în spațiul intertubular și 2, 3, 6 și mai multe în spațiul tubular; b — cu două treceri în spațiul intertubular cu șicane transversale și 4 treceri în spațiul tubular

$$P = \frac{t_2 - t_1}{T_1 - t_1}$$

$$R = \frac{T_1 - T_2}{t_2 - t_1}$$

$P = \frac{\text{încălzire fluid rece}}{\text{dif. temp. intrare}}$

$R = \frac{\text{răcire fluid cald}}{\text{încălzire fluid rece}}$

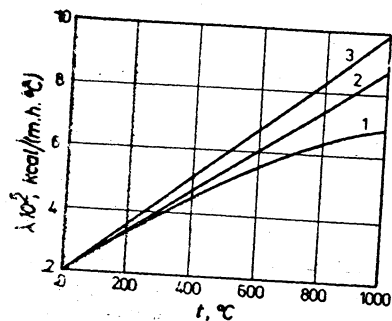


Fig. IX. Coeficienții de conductivitate termică ai gazelor de ardere. Compoziția gazelor % (în vol.):
CO₂—13; O₂—5; (N₂+H₂O)—82:
1 — conținutul de vapori de apă 10%;
2 — conținutul de vapori de apă 15%;
3 — conținutul de vapori de apă 20%;
(transformarea în SI: 1 kcal/(m·h·°C) = 1,163 W/(m·K)).

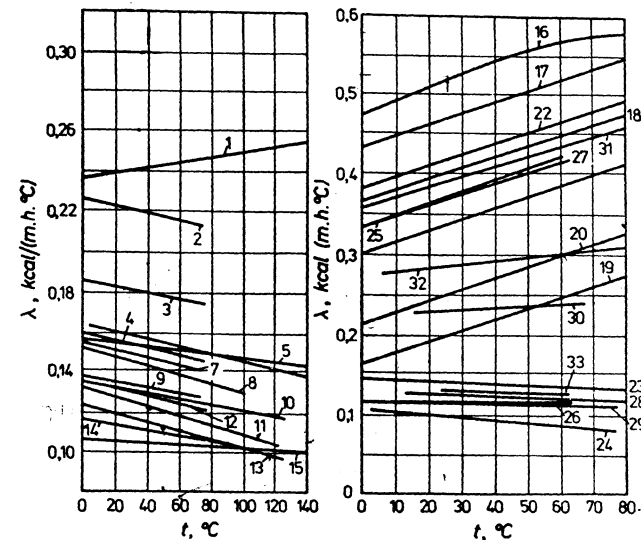


Fig. X. Coeficienții de conductivitate termică ai citorva lichide.

Substanța	Nr. punctului	Substanța	Nr. punctului
Amoniac, 26%	31	Acid formic	2
Anilină	6	Nitrobenzen	10
Acetonă	8	Octan	33
Benzen	11	Acid siulfuric, 98%	30
Alcool butilic	9	Sulfură de carbon	23
Ulei de vaselină	15	Acid clorhidric, 30%	27
Apă	16	Toluen	13
Hexan	26	Acid acetic	7
Glicerină anhidră	1	Clorură de calciu, 25%	17
Glicerină, 50%	25	Clorură de sodiu, 25%	18
Eter etilic	29	Tetraclorură de carbon	24
Alcool izopropilic	12	Alcool etilic, 100%	4
Ulei de ricin	5	Alcool etilic, 80%	19
Petrol lampant	28	Alcool etilic, 60%	20
Xilol	14	Alcool etilic, 40%	21
Alcool metilic, 100%	3	Alcool etilic, 20%	22
Alcool metilic, 40%	32		

(transformarea în SI: 1 kcal/(m·h·°C) = 1,163 W/(m·K))

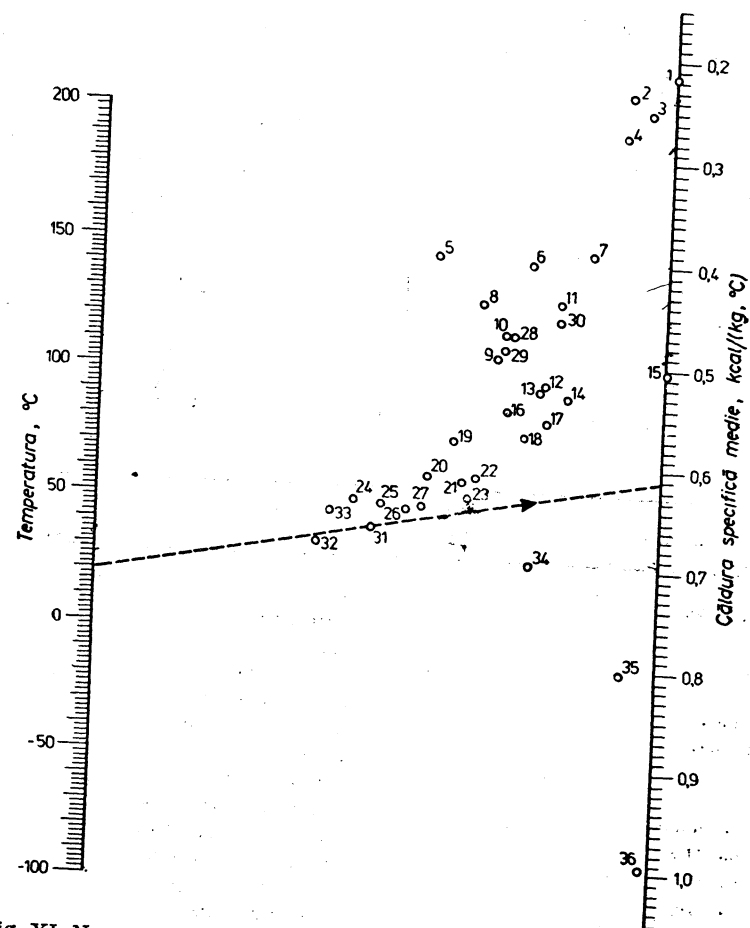


Fig. XI. Nomogramă pentru determinarea căldurii specifice a lichidelor.

Fig. XI. (continuare)

Substanța	Nr. punctului	Substanța	Nr. punctului
Acetat de amil	12	Alcool propilic	25
Anilină	14	Acid sulfuric, 100%	7
Acetonă	18	Sulfură de carbon	4
Benzen	24	Acid clorhidric, 30%	26
Bromură de etil	1	Toluen (de la -60 la 40°C)	28
Alcool butilic	24	Toluen (de la 40 la 100°C)	30
Apă	36	Acid acetic, 100%	16
Heptan	19	Clorbenzen	6
Glicerină	21	Clorură de calciu, 25%	34
Difenil	8	Clorură de sodiu, 25%	35
Eter etilic	17	Clorură de etil	11
Alcool izobutilic	33	Cloroform	3
Izopentan	20	Tetraclorură de carbon	2
Alcool izopropilic (de la 0 la 50°C)	32	Acetat de etil	13
Alcool izopropilic (de la -50 la 0°C)	27	Etilenglicol	22
Iodură de etil	5	Alcool etilic	31
Octan	15	Alcool metilic	23
		<i>o</i> - și <i>m</i> - xilol	9
		<i>p</i> -xilol	10

(transformarea în SI: $1 \text{ kcal/(kg} \cdot ^\circ\text{C)} = 4,19 \cdot 10^3 \text{ J/(kg} \cdot \text{K)}$)

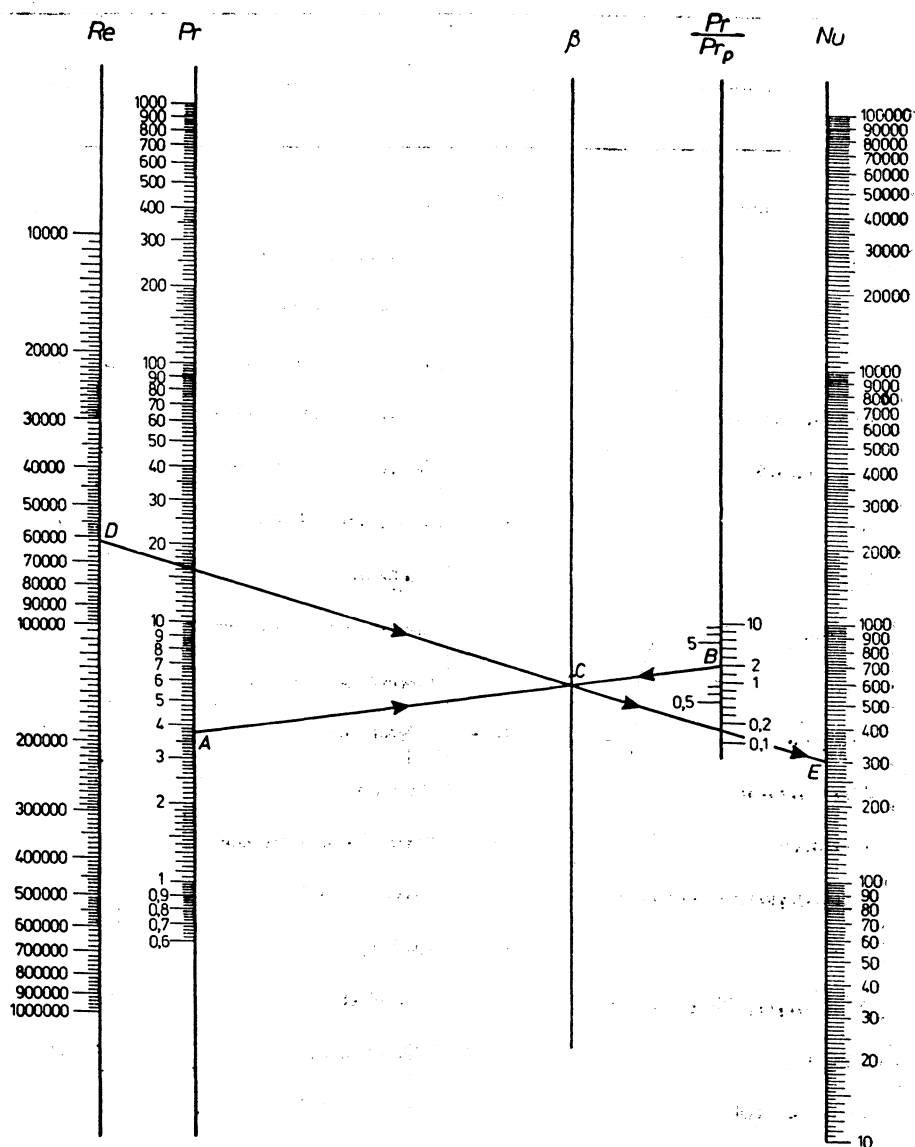


Fig. XII. Nomogramă pentru determinarea coeficientului parțial de transfer termic în țevi drepte la $Re > 10\,000$ și $\epsilon_s = 1$ în I etapă: $ABO \rightarrow C$; II etapă: $DCO \rightarrow E$.

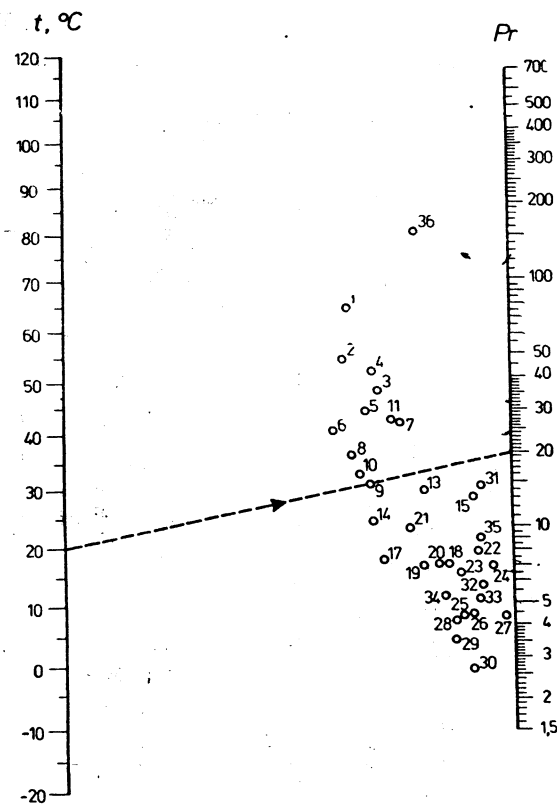


Fig. XIII. Valorile criteriului Pr pentru lichide.

Substanța	Nr. punctului	Substanța	Nr. punctului
Acetat de amil	31	Octan	33
Amoniac, 26%	14	Pentan	26
Anilină	5	Acid sulfuric, 111%	1
Acetonă	25	Acid sulfuric, 98%	2
Benzen	22	Acid sulfuric, 60%	4
Bromură de etil	29	Sulfură de carbon	30
Alcool butilic	11	Acid clorhidric, 30%	21
Apă	17	Toluen	23
Heptan	32	Acid acetic, 100%	15
Eter etilic	28	Acid acetic, 50%	9
Glicerină, 50%	6	Clorbenzen	35
Alcool izoamilic	3	Cloroform	34
Alcool izopropilic	7	Tetraclorură de carbon	18
Iodură de etil	27	Acetat de etil	24
Xilol	19	Etilenglicol	36
Alcool metilic, 100%	20	Alcool etilic, 100%	13
Alcool metilic, 40%	10	Alcool etilic, 50%	8

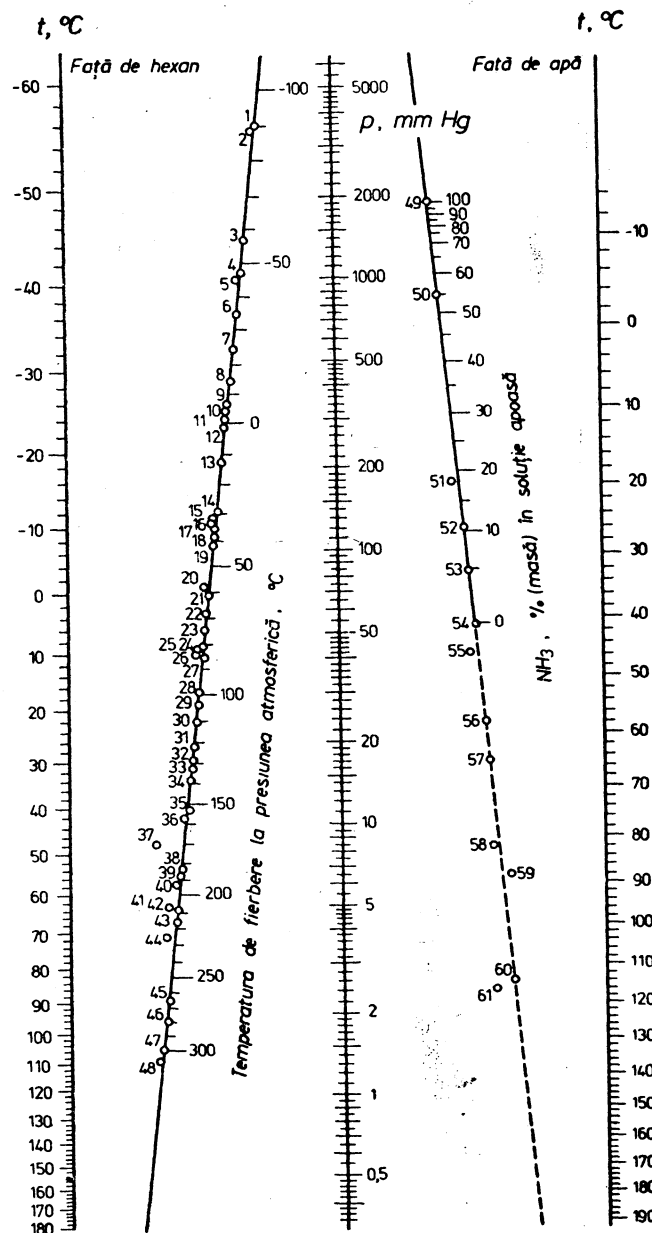


Fig. XIV. Nomogramă pentru determinarea presiunii vaporilor saturați și temperaturii de fierbere a câtorva lichide.

* După datele diverșilor autori.

Fig. XIV (continuare)

Substanța	Nr. punctului	Substanța	Nr. punctului
Alenă	6	Metilmonosilan	3
Amoniac	49	Alcool metilic	52
Anilină	40	Formiat de metil	16
Acetilenă	2	Naftalină	43
Acetonă	51	α -naftol	47
Benzen	24	β -naftol	48
Brombenzen	35	Nitrobenzen	37
Bromură de etil	18	Octan	31
α -bromnaftalină	46		32*
1,3-butadienă	10	Pentan	17
Butan	11	Propan	5
α -butilenă	9	Propilenă	4
β -butilenă	12	Acid propionic	56
Butilenglicol	58	Mercur	61
Apă	54	Tetralină	42
Hexan	22	Toluen	30
Heptan	28	Acid acetic	55
Glicerină	60	Fluorbenzen	27
Decalină	38	Clorbenzen	33
Decan	36	Clorură de vinil	8
Dioxan	29	Clorură de metil	7
Difenil	45	Clorură de metilen	19
1,2-diclorețan	26	Clorură de etil	13
Eter etilic	15	Cloroform	21
Izopren	14	Tetraclorură de carbon	23
Iodobenzen	39	Etan	1
m-crezol	44	Acetat de etil	25
o-crezol	41	Etilenglicol	59
m-xilol	34	Alcool etilic	53
Acid izooleic	57	Formiat de etil	20
Metilamină	50		

* După datele diverșilor autori

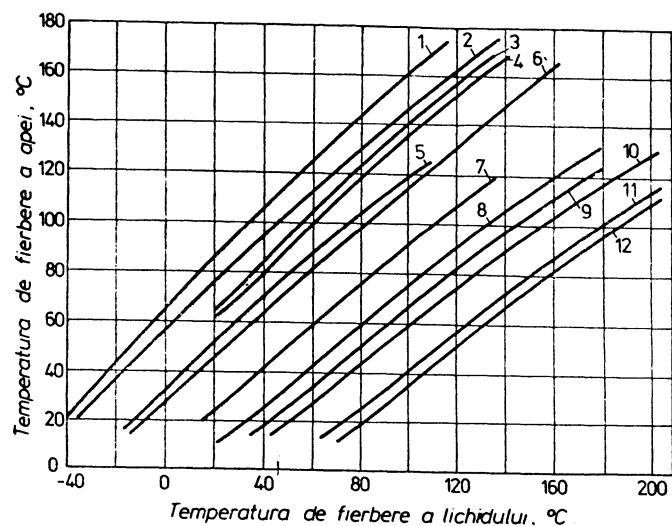


Fig. XV. Diagrama liniarității pentru determinarea temperaturii de fierbere (față de apă):

1 — eter etilic; 2 — sulfură de carbon; 3 — acetonă; 4 — cloroform; 5 — tetraclorură de carbon; 6 — benzen; 7 — toluen; 8 — clorbenzen; 9 — o-xilol; 10 — brombenzen; 11 — benzaldehidă; 12 — anilină.

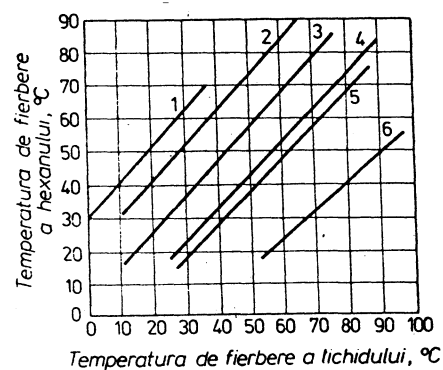


Fig. XVI. Diagrama liniarității pentru determinarea temperaturii de fierbere (față de hexan):

1 — eter etilic; 2 — sulfură de carbon; 3 — cloroform; 4 — tetraclorură de carbon; 5 — benzen; 6 — toluen.

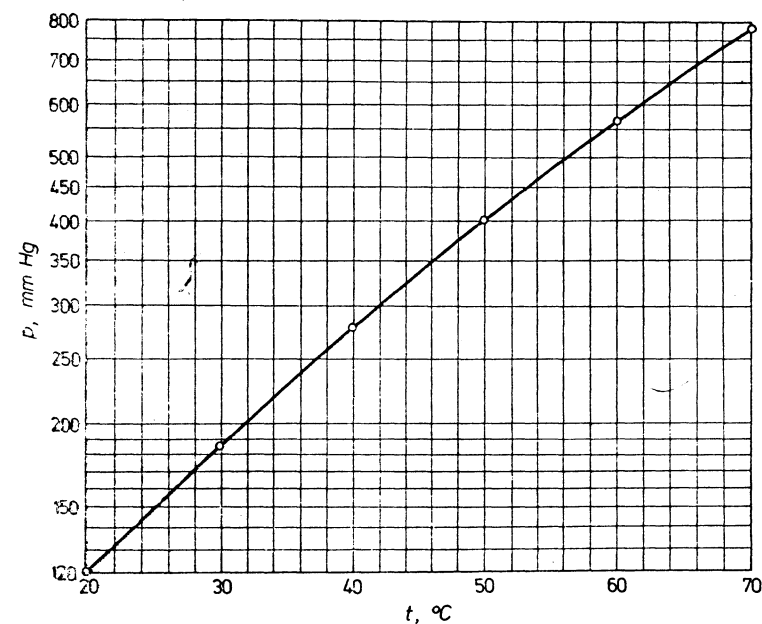


Fig. XVII. Dependența presiunii vaporilor saturați de hexan de temperatură.

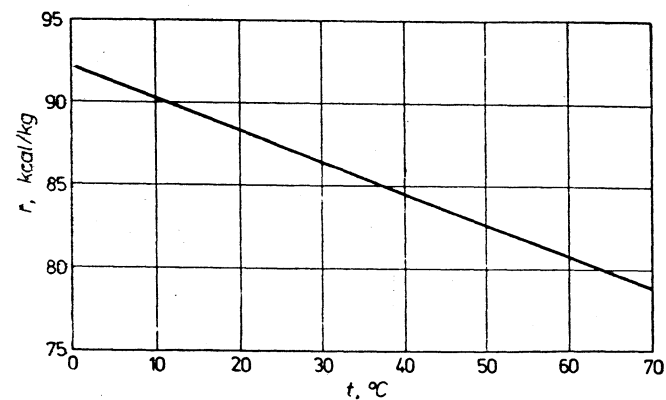


Fig. XVIII. Dependența de temperatură a căldurii de vaporizare a hexanului.
(transformarea în SI: 1 kcal/kg=4,19 kJ/kg).

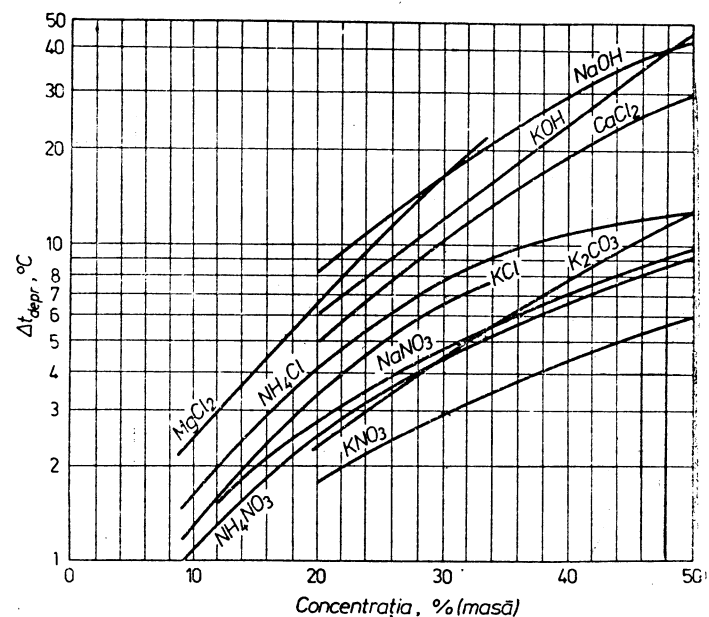


Fig. XIX. Creșterea temperaturii de fierbere (la presiunea atmosferică) în funcție de concentrație, pentru soluții apoase.

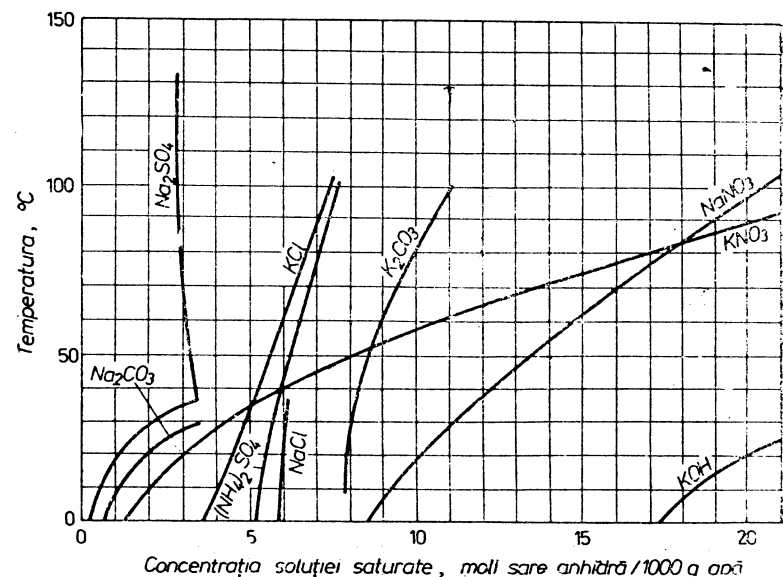


Fig. XX. Solubilitatea în apă a citorva săruri, în funcție de temperatură.

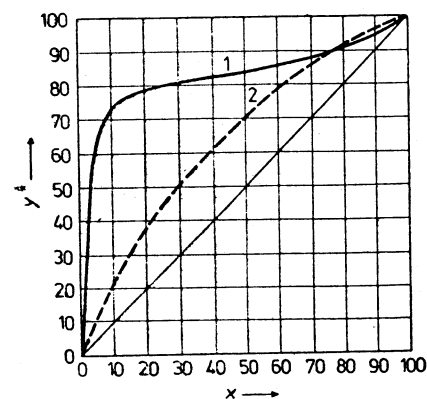


Fig. XXI. Curbe de echilibru lichid-vapori, la presiunea $p=1$ ata :
1 — acetonă-apă ; 2 — tetraclorură de carbon — toluen.

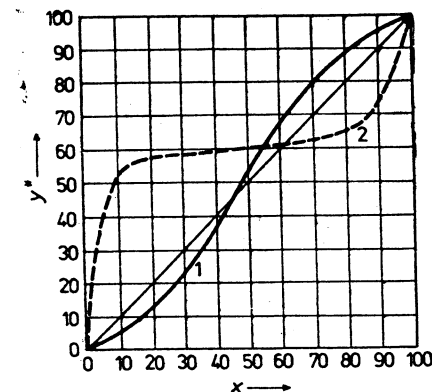


Fig. XXII. Curbe de echilibru lichid-vapori (cu punct de azeotrop) la $p=1$ ata :
1 — apă — acid formic ; 2 — alcool metilic — benzen.

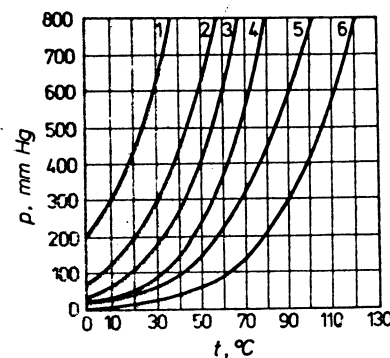


Fig. XXIII. Presiunea vaporilor saturați ai unor lichide organice în funcție de temperatură :
1 — eter etilic ; 2 — acetonă ; 3 — alcool metilic ; 4 — alcool etilic ; 5 — acid formic ; 6 — acid acetic. (transformarea în SI : 1 mm Hg=133,3 Pa).

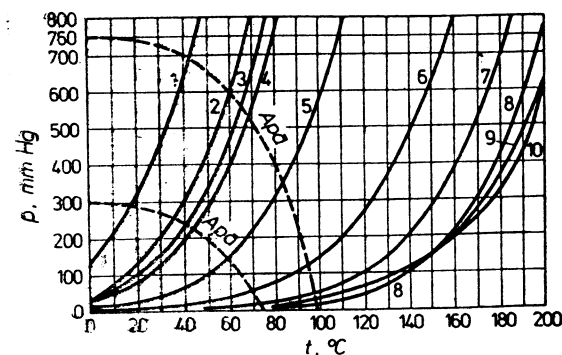


Fig. XXIV. Presiunea vaporilor saturați a lichidelor organice nemiscibile cu apa, în funcție de temperatură :
1 — sulfură de carbon ; 2 — hexan ; 3 — tetraclorură de carbon ; 4 — benzen ; 5 — toluen ; 6 — terbenzină ; 7 — anilină ; 8 — crezol ; 9 — nitrobenzen ; 10 — nitrotoluen.

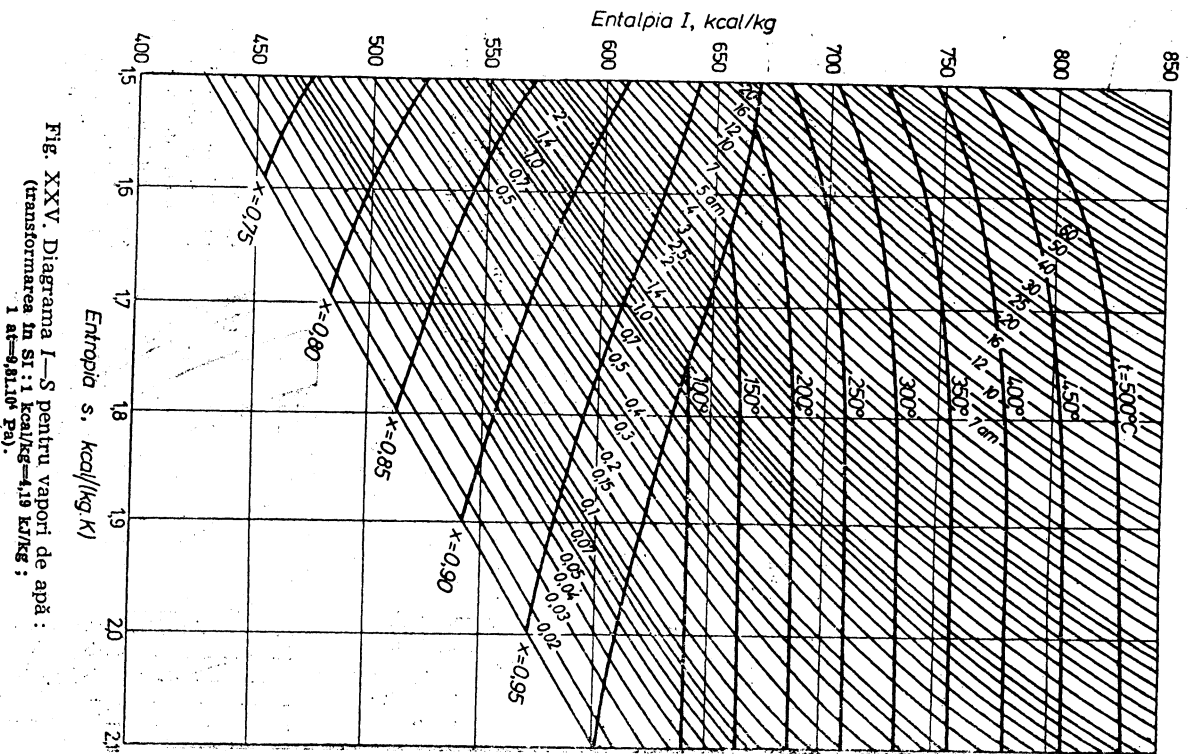


Fig. XXV. Diagrama $I-S$ pentru vapori de apă:
(transformarea în SI: 1 kcal/kg=4,19 kJ/kg;
1 at=9,810⁵ Pa).

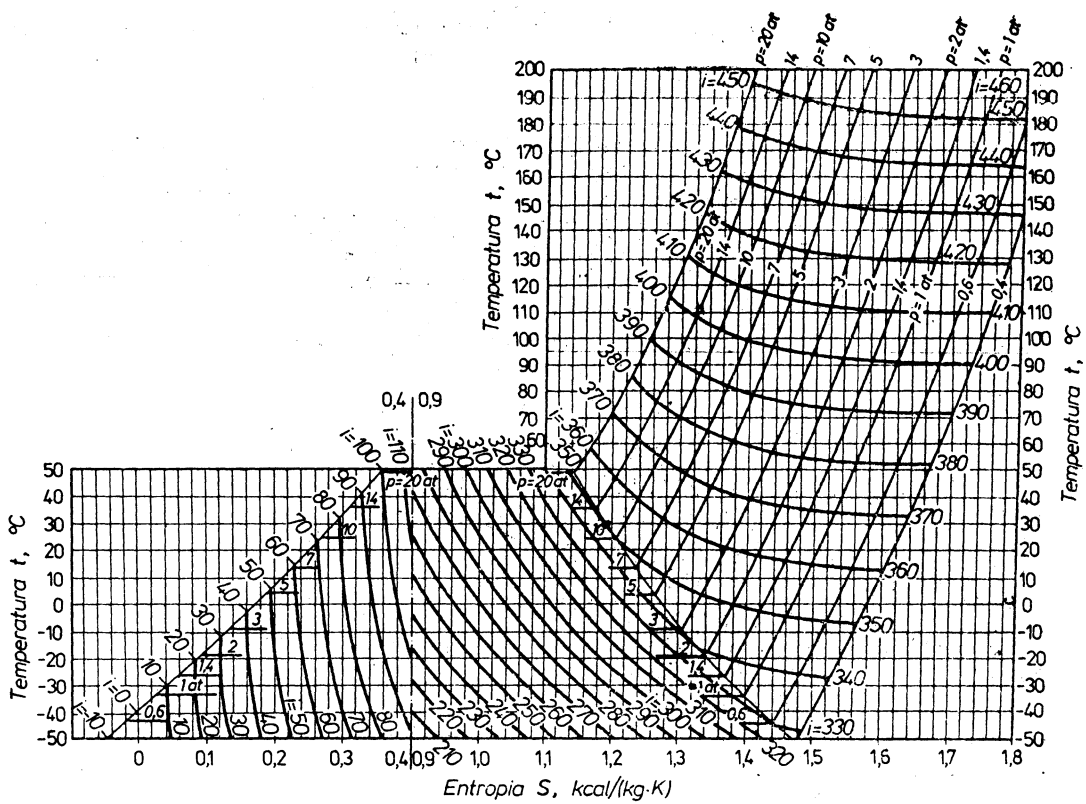


Fig. XXVI. Diagrama $T-S$ pentru amoniac:
(transformarea în SI: 1 kcal/kg=4,19 kJ/kg);
1 at=9,810⁵ Pa).

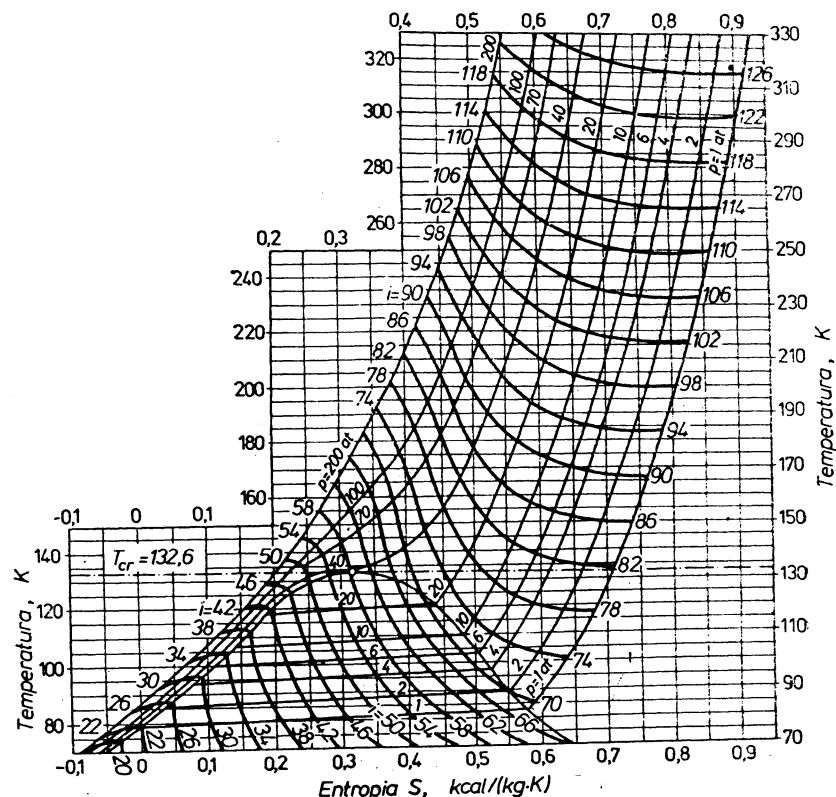


Fig. XXIX. Diagrama T—S pentru aer :
(transformarea în SI : 1 kcal/kg=4,19 kJ/kg 1 at=9,81·10⁴ Pa).

INDICATORUL TABELOR ȘI DIAGRAAMELOR PREZENTATE ÎN ANEXA

	Nr. tabelului	Nr. diagramei
Masele atomice ale elementelor	I	
Presiunea vaporilor saturați :	XXXVIII	
apă	LVI	
hexan		XVII
lichide	XLVI	XIV
		XXIII
		XXIV
Diagrame :		
de liniaritate		XV, XVI
i — lg p pentru freon-12		XXVIII

Fig. XXIX (continuare)

	Nr. tabelului	Nr. diagramei
I — S pentru vapori de apă		XXV
T — S pentru amoniac		XXVI
T — S pentru aer		XXIX
T — S pentru bioxid de carbon		XXVII
Coefficientul viscozității dinamice :		
soluții apoase	VIII	
apă	VI	
gaze		VI
glicerină	VII	
lichide		V
constantele atomice ale viscozității	IX	
corecții la constantele atomice ale viscozității	X	
Difuzia gazelor :		
în apă	XLIII	
în aer	XLII	
Schimbătoare de căldură multitubulare :		
caracteristici de bază	XXXIV	
dispunerea țevilor	XXXV	II, III
cu mai multe treceri		VIII
Coefficienți :		
de debit ai diaframelor	XV	
parțiali de transfer termic la Re > 10 000		XII
Criteriul Pr pentru lichide		XIII
Rezistențe locale	XIII	
Puterea la amestecare		VII
Dilatarea volumică :		
a apei	XXXII	
a lichidelor	XXXIII	
Densitatea :		
lichidelor	III, IV	
materiaalelor solide	II	
Tensiunea superficială :		
a lichidelor	XXII	
soluțiilor apoase	XXIII	
Compoziția amestecurilor lichid-vapori la echilibru	XLVII	XXI
		XXII
Solubilitatea în apă :		
a gazelor	XXI	
a sărurilor		XX
Proprietățile :		
apei	XXXIX	
gazelor	V	
vaporilor de apă saturați	LVI	
	LVII	
lichidelor organice	XLIV	
agenților frigorifici	XLVIII	
	XLIX	
soluțiilor refrigeratoare	L, LI, LII	
Încălzitori pentru scrubere	XVII	
	XVIII	
	LVIII	
Corelația între unitățile de măsură		
Temperatura medie și umezeala relativă medie a aerului		XL
atmosferic		XXIV
Gradul de negru		

Fig. XXIX (continuare)

	Nr. tabelului	Nr. diagramei
Temperatura de fierbere :		
a soluțiilor apoase	XXXVI	XIX
a apei	XXXVIII	
a lichidelor organice	LVII	
Conductivitatea termică a depunerilor	XLVI	XIV
Căldura specifică :	XXXI	
a gazelor	XXVII	
a lichidelor	XXVI	XI
a materialelor solide	XXV	
Coefficientul de conductivitate termică :		
a soluțiilor apoase	XXIX	
a gazelor	XXX	
a gazelor de ardere		IX
a lichidelor		X
a materialelor solide	XXVIII	
Căldura de adsorbție	LIII	
Căldura latentă de vaporizare :		
a apei	LVI	
a hexanului		XVIII
a lichidelor	XLV	
Căldura de dizolvare a sărurilor	XXXVII	
Rugozitatea pereților țevilor	XII	

Redactor : ing. Cecilia Simion
Tehnoredactor : Valeriu Morărescu
Coperta + Supracoperta : Otto Necșoiu Paraschiv

Bun de tipar : 29.06.1981.
Coli de tipar : 34,75. C.Z. 66.02(076).

Întreprinderea poligrafică „Oltenia”
Str. Mihai Viteazul nr. 4
Comanda nr. 90

